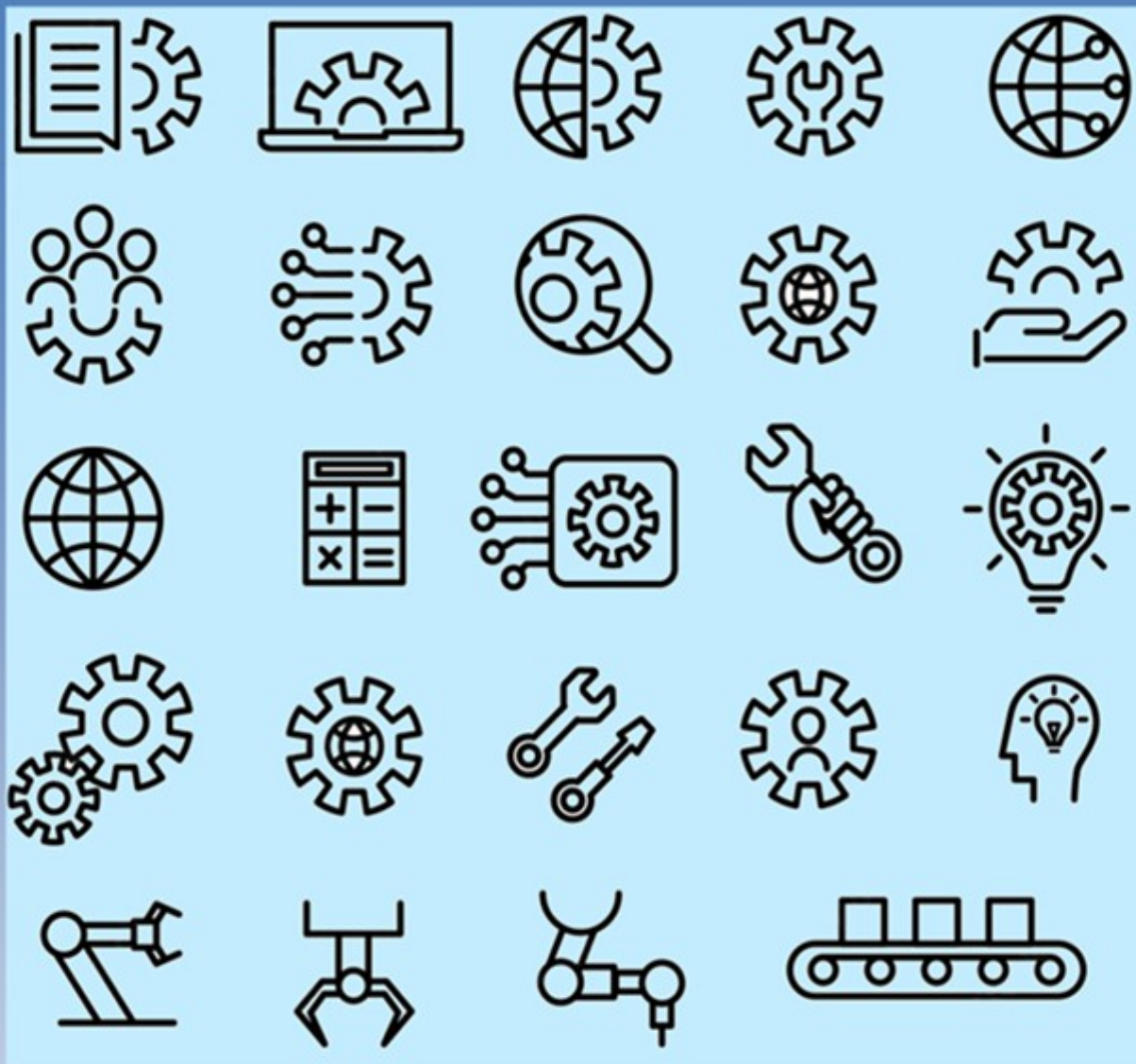


# Automazione Industriale e Meccatronica III



Arduino Simulations  
in TinkerCAD Without Hardware



Questo testo contiene una serie di lezioni ed esercitazioni che possono essere realizzate con

- il simulatore **ThinkerCad** disponibile sul sito <https://www.tinkercad.com/>
- il simulatore **Wokwi** disponibile sul sito <https://wokwi.com/>
- il simulatore **CircuitJS** disponibile sul sito <https://www.falstad.com/circuit/circuitjs.html>
- il simulatore **SimulIDE** disponibile sul sito <https://www.simulide.com/p/home.html>
- il simulatore **NL5 lite** disponibile sul sito <https://sidelinesoft.com/nl5/index.php?page=download>
- un foglio di calcolo (Excel, Calc ...)
- un kit Arduino R1

I simulatori in oggetto permettono di programmare una scheda Arduino UNO e di risolvere semplici problemi di automazione industriale utilizzando i più comuni componenti elettronici ed una serie di sensori ed attuatori.

La maggior parte delle esercitazioni proposte contiene una breve descrizione dei componenti utilizzati. Per ulteriori dettagli è necessario fare riferimento a testi specifici di elettronica ed automazione.

Una conoscenza di base dell'elettronica e dell'elettrotecnica è necessaria per capire gli schemi proposti.

Quasi tutti gli esercizi presentano una possibile soluzione software da caricare su una scheda Arduino.

Il vantaggio offerto dall'utilizzo di ThinkerCAD, rispetto ad altri software di simulazione, è la possibilità di replicare in modo identico il circuito su una breadboard e di utilizzare lo stesso programma simulato sulla scheda Arduino.

*Questo testo può essere utilizzato liberamente **SOLO PER SCOPI DIDATTICI**.*

*Qualsiasi altro utilizzo deve essere concordato con l'autore e non può essere distribuito su altri siti web.*

*Il testo aggiornato periodicamente è reperibile a questo indirizzo web:*

<http://www.energiazero.org/cartelle.asp?dir=thinkercad>

*Si ringrazia in anticipo per eventuali segnalazioni di errori e/o miglioramenti apportabili al testo alla seguente mail: [energiazero.org@gmail.com](mailto:energiazero.org@gmail.com)*

### **NOTA BENE:**

*Alcuni esempi e immagini sono stati reperiti sul web cercando materiale che non fosse coperto da copyright. Si ringraziano tutti coloro che hanno reso disponibile il materiale.*

*Se per errore fosse stato inserito materiale protetto, cortesemente segnalatelo alla mail sopra citata.*

## SOMMARIO

INTRODUZIONE .....	2
⬆ il microcontrollore .....	13
La scheda Arduino UNO R3 .....	14
I pin di Arduino: digitali, PWM ed analogici .....	16
Microcontrollore industriale .....	17
Modulo relè WiFi ESP32-S3 industriale a 8 canali .....	17
Resistenza esterna di pull-up con MCU .....	21
Ingresso dell'MCU impostato ad INPUT-PULLUP .....	22
LINGUAGGIO DI PROGRAMMAZIONE DI ARDUINO .....	23
LE VARIABILI .....	23
LE COSTANTI .....	23
LE STRUTTURE PRINCIPALI .....	23
STRUTTURE DI CONTROLLO .....	24
OPERATORI ARITMETICI .....	26
OPERATORI di CONFRONTO e BOOLEANI .....	26
OPERATORI COMPOSTI .....	27
LE FUNZIONI di INPUT E OUTPUT .....	28
FUNZIONI TEMPORALI .....	30
FUNZIONI MATEMATICHE .....	31
FUNZIONI TRIGONOMETRICHE .....	31
NUMERI CASUALI .....	32
COMUNICAZIONE SERIALE .....	32
⬆ AUTOMAZIONE CON ARDUINO .....	33
CARATTERISTICHE E LIMITI .....	33
LIVELLI LOGICI .....	34
TTL (Transistor-Transistor Logic): .....	34
CMOS: .....	34
diodo LED .....	35
INGRESSO DIGITALE CON PARTITORE DI TENSIONE .....	36
PULSANTE (PUSH BUTTON) .....	37
INTERRUTTORE (SLIDER) .....	38
INTERRUTTORE e PULSANTE in modalita' PULL-UP (LOGICA INVERSA) .....	39
POTENZIOMETRO .....	40
GESTIONE RELE' CON ARDUINO .....	41
VALUTAZIONE DEL TEMPO TRASCORSO CON ARDUINO millis() .....	42
LETTURA ANALOGICA MEDIATA .....	43
ESERCIZIO millis() .....	44
Finecorsa meccanico .....	45
IL TRANSISTOR .....	48

transistor BJT ( <i>bipolar junction transistor</i> ).....	49
transistor MOS (MOSFET) .....	49
BJT vs MOS (MOSFET): Caratteristiche Tecniche .....	50
Quando usare i transistor BJT e MOSFET .....	50
IL TRANSISTOR BJT .....	51
ESERCIZIO BJT.....	52
TRANSISTOR PER PILOTARE RELE' DI POTENZA (TENSIONE>5V) .....	53
ESERCIZIO BJT + RELE' .....	54
ESERCIZIO BJT + RELE' .....	55
IL TRANSISTOR DI POTENZA (DARLINGTON).....	56
TIP120 per attivare ELEMENTO riscaldante resistivo.....	57
IL TRANSISTOR MOSFET .....	58
DIMENSIONAMENTO MOSFET come interruttore.....	59
Controllo motore MOSFET di potenza .....	60
circuito motore CC MOSFET di potenza semplice.....	60
IRF520 MOSFET .....	61
MODULO IRF520 MOSFET.....	62
ESERCIZIO CON NMOS .....	63
CONFRONTO FRA TRANSISTOR BJT E NMOS .....	64
SHIELD MOSFET 4 CANALI ROSSA .....	66
SHIELD MOSFET 4 CANALI BLU.....	67
Relay Shield Arduino IMPILABILE .....	68
Layout shield .....	69
TEST DEI 4 RELE' DELLO SHIELD .....	70
Simulazione nastro traspostatore.....	71
ELETTROVALVOLE PNEUMATICHE .....	72
PANNELLO DI ELETTROPNEUMATICA .....	73
Azionamento cilindri pneumatici .....	74
1° ESERCIZIO.....	74
2° ESERCIZIO.....	79
🏠 SENSORI DI PROSSIMITA' .....	81
Tipi di sensori di prossimità .....	81
1. Sensore di prossimità induttivo .....	81
2. Sensore di prossimità capacitivo.....	82
3. Sensore di prossimità a ultrasuoni.....	83
4. Sensore di prossimità ottico.....	84
5. Sensore di prossimità magnetico .....	84
Configurazioni e applicazioni dei sensori .....	86
Contatto DRY (aSCIUTTO ) e WET (bagnato) .....	87
CABLAGGIO SENSORI 2 e 3 fili CON ALIMENTAZIONE.....	88
SENSORE A 2 FILI .....	88

SENSORE A 3 FILI .....	88
Terminali E COLLEGAMENTI.....	89
Letture SENSORI PROSSIMITA' a 2 FILI.....	90
COLLEGAMENTO AD ARDUINO IN MODALITA' PULL-UP CON Vcc<=5V .....	90
Letture contatto bagnato CON TENSIONE Vcc > 5V con Arduino .....	90
Sensore reed a due fili .....	91
SEQUENZA PNEUMATICA CON GESTIONE FINECORSA REED ATTIVI .....	92
Ciclo While .....	93
Ciclo While CON GESTIONE STOP.....	94
Sensore A INFRAROSSI a TRE fili E18-D80NK (NPN).....	96
Cablaggio sensore di distanza a infrarossi E18-D80NK (NPN).....	98
SENSORI PNP e NPN (3 FILI).....	99
Uscite PNP .....	99
Uscite NPN .....	99
SENSORE A ULTRASUONI .....	100
Funzionamento del sensore per Arduino.....	100
Sensore di distanza ad ultrasuoni HC SR04 con Arduino .....	102
Principio di funzionamento:.....	102
Schema – ESP32 con sensore a ultrasuoni HC-SR04 .....	104
ESERCIZIO THINKERCAD MISURA DISTANZA CON SENSORE ULTRASUONI .....	105
⬆ SISTEMI DI MOVIMENTAZIONE .....	106
- NASTRO TRASPORTATORE - GUIDA LINEARE.....	106
IL NASTRO TRASPORTATORE .....	107
Monitorare STATO sensori senza bloccare il codice .....	108
Guida lineare.....	110
CONTROLLO VERSO ROTAZIONE MOTORE .....	111
GESTIONE GUIDA LINEARE.....	112
⬆ SISTEMI DI SUPERVISIONE .....	114
SCADA .....	114
LINGUAGGIO HTML.....	115
ESEMPIO PAGINA HTML.....	115
Marcatori Strutturali Principali .....	116
PRINCIPALI Marcatori di Contenuto e Formattazione .....	116
Marcatori di stile .....	117
WEB SERVER .....	117
ESP32 S3.....	118
Wi-Fi + Bluetooth 5 (LE) .....	118
Sicurezza .....	118
PINOUT ESP32-S3 DevKitC-1 (Espressif Systems).....	118
D1 R32.....	119
Controllo motore CC con sensore infrarossi E18-D80NK (NPN) .....	120

Controllo cilindro pneumatico con sensori reed.....	124
Cablaggio eps32 D1 R32 con rele shield: .....	124
WEBSERVER ESP32 per controllo motore CC.....	128
Istruzione = R"rawliteral()rawliteral";.....	129
Operatore condizionale ternario .....	129
⊞ SENSORI E TRASDUTTORI SISTEMI DI CONTROLLO .....	130
Elenco dei più comuni trasduttori.....	131
Proprieta' Generali dei Sensori .....	131
Tempo di Risposta DEI PRINCIPALI SENSORI .....	132
Sensori Ottici e Fotoelettrici .....	132
Sensori di Pressione .....	132
Sensori di Prossimità (Induttivi e Capacitivi).....	132
Sensori di Posizione e Distanza .....	132
Sensori di Temperatura (I più lenti) .....	132
SENSORE DI TEMPERATURA TMP36 .....	133
CURVA CARATTERISTICA DEL SENSORE TMP36 .....	134
ESERCIZIO CON SENSORE TMP36.....	135
TERMISTORE NTC (Negative Temperature Coefficient).....	137
MONITORARE TEMPERATURA TRAMITE TERMISTORE NTC .....	138
MONITORARE TEMPERATURA con TERMISTORE NTC e LCD 16x2 I2C .....	139
SISTEMI DI CONTROLLO DELLA TEMPERATURA CON MICROCONTROLLORE .....	141
SISTEMA CONTROLLO TEMPERATURA ON-OFF CON TRANSISTOR.....	142
SISTEMA CONTROLLO TEMPERATURA ON-OFF CON RELE' .....	143
SISTEMA CONTROLLO TEMPERATURA ON-OFF CON L298P .....	144
CONTROLLO ON-OFF CON ISTERESI .....	145
CONTROLLO DI TEMPERATURA PROPORZIONALE .....	149
Controllo ON-OFF vs PROPORZIONALE .....	151
TERMORESISTENZE .....	152
Perché utilizzare un sensore al platino .....	152
Differenza tra Pt100 e Pt1000.....	152
Come scegliere il giusto sensore al platino .....	153
Sostituzione delle termoresistenze: nota sulle norme industriali .....	153
Convertire la resistenza Pt100/Pt1000 in temperatura .....	154
Curva caratteristica delle termoresistenze .....	155
TERMORESISTENZA PT100 con partitore di tensione .....	156
TERMORESISTENZA PT1000 CON AMPLIFICATORI DIFFERENZIALE .....	157
Termocoppie .....	159
Digitalizzatore di termocoppia .....	161
Termocoppia Tipo K .....	162
Sonda termocoppia tipo K COMMERCIALE .....	163
Collegamento del modulo MAX6675 a un Arduino .....	164

SENSORE DI UMIDITA' DHT22.....	165
DATI TECNICI .....	165
ESTENSIMETRI INDUSTRIALI .....	166
Resistenza degli estensimetri.....	168
Il ponte di Wheatstone .....	168
Collegamento a quarto di ponte .....	168
Legame deformazione elastica E variazione di resistenza elettrica .....	169
Misura della deformazione E DELLA FORZA assiale .....	169
ESERCIZIO .....	170
ESTENSIMETRO CON AMPLIFICATORE DIFFERENZIALE .....	171
FOGLIO DI CALCOLO per valutare deformazioni elastiche .....	172
MISURA DELLA FORZA e della DEFORMAZIONE IN UNA PROVA DI TRAZIONE .....	173
circuito con AMPLIFICATORE DIFFERENZIALE DA STRUMENTAZIONE .....	174
Realizzazioni .....	174
CELLE DI CARICO .....	175
Scheda elettronica per Cella di carico - HX711 .....	176
Schema di collegamento ad Arduino .....	177
SENSORE DI FORZA (FSR Force Sensitive Resistor).....	178
Esercitazione Arduino .....	179
ESERCIZIO CON seNsore di forza.....	180
INTERRUPT E CONTEGGIO IMPULSI DA UN TRASDUTTORE .....	182
ENCODER MAGNETICI .....	184
RILIEVO VELOCITA' MOTORE CC CON ENCODER .....	185
CONTROLLO VELOCITA MOTORE CC CON ENCODER E POTENZIOMETRO.....	187
ENCODER OTTICI .....	189
Encoder incrementale .....	189
Encoder incrementale: risoluzione .....	190
Encoder incrementale: esempio d'uso .....	190
Encoder assoluto.....	190
Encoder assoluto: single-turn o multi-turn .....	191
Misura di velocità dal segnale encoder.....	192
Encoder avanzati.....	192
ESERCIZIO INCREMENTALE .....	193
ENCODER OTTICO AD INFRAROSSI.....	194
SIMULARE L'ENCODER CON UN GENERATORE DI IMPULSI .....	195
☞ esempi applicazioni sensori .....	197
SISTEMA DI CONTROLLO QUALITA' SACCHI DI CEMENTO .....	198
SISTEMA DI CONTROLLO QUALITA' SACCHI DI CEMENTO CON SCARTO .....	202
SISTEMA CONTA PEZZI CON SENSORE ULTRASUONI .....	203
☞ ATTUATORI .....	205
MOTORE IN CORRENTE CONTINUA (C.C.).....	206

775 D SHAFT .....	207
Parti principali del motore C.C. A SPAZZOLE .....	208
Motori CC senza spazzole BLDC (brushless) .....	209
Parti fondamentali del motore BLDC .....	209
Funzionamento del motore brushless .....	209
PWM (pulse wide modulation): modulazione di larghezza d'impulso.....	210
regolazione velocità di un motore d.c. mantenendo alta la coppia motrice .....	211
Problemi nella regolazione PWM di un motore DC .....	211
ESERCIZIO PWM MOTORE CC .....	213
Disturbi elettromagnetici nei motori CC a spazzole.....	214
ESERCIZIO RICAVERE LA CURVA "V- N°" e "V-Pot." DEL MOTORE C.C. a 12v ASSEGNATO .....	215
ESERCIZIO PWM MOTORE CC + COMANDI SU SERIALE .....	216
Controllo velocità motore CC in PWM con Mosfet.....	218
REGOLAZIONE VELOCITÀ MOTORE C.C. CON MODULO MOSFET IRF520 .....	221
ENCODER .....	222
INVERSIONE VERSO DI ROTAZIONE MOTORE C.C. CON 2 RELE' .....	223
ESERCIZIO VERSO ROTAZIONE MOTORE CON RELE' .....	223
ESERCIZIO VERSO ROTAZIONE MOTORE c.c CON RELE' + COMANDI SERIALE.....	225
gestione VERSO DI ROTAZIONE MOTORE c.c. CON 4 BJT .....	227
ESERCIZIO VERSO ROTAZIONE MOTORE c.c CON BJT + COMANDI SERIALE .....	228
ESERCIZIO VERSO ROTAZIONE MOTORE CON BJT + COMANDI SERIALE + VELOCITÀ' .....	229
DRIVER L298N H-Bridge .....	231
Utilizzo di una curva motore CC.....	233
Determinazione di quale motore (e riduttore) utilizzare.....	233
Approfondire lo stato di un motore attualmente in funzione in un sistema .....	235
Massa termica.....	235
ESEMPI CURVE DI POTENZA MOTORE 775 A 12- 6- 4 VOLT.....	236
CURVE POTENZA MOTORI DC RS-550 .....	238
SERVOMOTORI.....	240
Tipologie di riduttori per l'automazione .....	241
PLANETARIO (EPICICLOIDALE).....	241
CICLOIDALE .....	242
ARMONICO.....	244
Il gioco NEI RIDUTTORI (backlash).....	245
Comparazione e scelta .....	246
Analisi dei Punti Chiave.....	246
GESTIONE SERVOMOTORE DIRETTA CON ARDUINO .....	247
ESERCIZIO GESTIONE SERVOMOTORE CON ARDUINO E POTENZIOMETRO .....	248
MOTORE STEPPER (PASSO-PASSO) .....	249
DRIVER A4988 .....	251
Utilizzo del driver passo-passo A4988 .....	252

Utilizzo del driver passo-passo A4988 + potenziometro.....	254
Utilizzo del driver passo-passo A4988 con mezzo passo .....	256
GUIDA LINEARE CON MOTORE STEPPER E BARRA FILETTATA t8 passo 2mm .....	258
DRIVER DRV8825 contro A4988.....	261
MOTORI ASINCRONI 230V / 400v .....	262
DATI DI TARGA DI UN MOTORE AC.....	263
SIGNIFICATO DEI dati .....	263
CARATTERISTICHE DEL motore a induzione AC .....	264
Corrente ASSORBITA dal motore AC.....	265
Potenza del motore a induzione AC.....	265
Capacità di carico TERMICO del motore AC.....	266
Statore di un motore asincrono .....	267
collegamento a stella E A triangolo .....	269
OSSERVAZIONI .....	269
Rotore del motore asincrono.....	270
VELOCITA' DI ROTAZIONE DEL MOTORE A INDUZIONE AC.....	271
Il campo magnetico rotante.....	273
MOTORE DC O MOTORE AC? .....	275
Vantaggi di un motore AC: .....	275
Vantaggi di un motore DC: .....	275
REGOLAZIONE della VELOCITA' DEL MOTORE AC → INVERTER .....	276
Circuito inverter basato su Arduino .....	278
Funzionamento del circuito .....	279
△ Azionamenti meccanici IN AC.....	281
Bilancio energetico DI UN AZIONAMENTO .....	282
l'equazione di bilancio di energia.....	282
Trasmissione delle forze NEGLI AZIONAMENTI .....	283
A regime .....	283
IN MOTO VARIO .....	283
CARATTERISTICHE STATICHE DI MOTORI ROTATIVI.....	284
Esercizio .....	285
CARATTERISTICHE STATICHE DEI CARICHI .....	286
ANALISI A REGIME DI UNA MACCHINA CON MOTORE ASINCRONO E RIDUTTORE DI VELOCITA' .....	287
ANALISI IN TRANSITORIO DI UNA MACCHINA CON MOTORE ASINCRONO E RIDUTTORE DI VELOCITA' .....	289
MOTORIDUTTORI .....	290
Esempio.....	290
ESERCIZIO SISTEMA DI SOLLEVAMENTO BARCHE.....	291
AZIONAMENTI MECCANICI CON MOTORI ELETTRICI A INDUZIONE .....	293
MOMENTO DI INERZIA DI PEZZI COMPLESSI .....	294
ARGANO PER SOLLEVAMENTO .....	295
ARGANO PER SOLLEVAMENTO 2 .....	296

AZIONAMENTI MECCANICI: AGITATORE PER LIQUIDI .....	297
NASTRO TRASPORTATORE .....	299
ESERCIZIO .....	301
△ SISTEMI DI REGOLAZIONE .....	302
SISTEMA DI RISCALDAMENTO resistivo .....	302
REGOLAZIONE DEL NUMERO DI GIRI DI MOTORE C.C. AD ALTA VELOCITA' .....	304
MODULO IR LM393 .....	305
DISEGNARE IL SUPPORTO PER IL MODULO IR LM393 E IL DISCO FORATO (ENCODER) .....	307
ESERCITAZIONE .....	308
SCHEMA THINKERCAD .....	309
SCHEMA THINKERCAD CON UTILIZZO DEGLI INTERRUPT .....	311
SCHEMA THINKERCAD CON LCD 16x2 E CON UTILIZZO DEGLI INTERRUPT .....	313
△ SISTEMI DI CONTROLLO .....	315
SCHEMA A BLOCCHI DI SISTEMA DI CONTROLLO DI TEMPERATURA .....	316
ESEMPIO CONTROLLO PID con transistor .....	317
ESEMPIO CONTROLLO ON-OFF con rele' .....	318
GENERARE SEGNALI ANALOGICI (DAC) CON ARDUINO .....	319
ESERCIZIO: VARIARE LA LUMINOSITA' DI UN DIODO LED .....	320
COME VARIARE LA VELOCITA' DI UN MOTORE C.C. MANTENENDO ALTA LA COPPIA MOTRICE .....	321
sISTEMA DI CONTROLLO TEMPerATURA E UMIDITA' .....	322
SISTEMA DI CONTROLLO ON-OFF .....	324
SISTEMA DI CONTROLLO PID (proporzionale – integrale – derivativo) .....	325
IMPLEMENTAZIONE NUMERICA PID .....	326
Integrazione numerica dell'errore (metodo dei rettangoli) .....	327
Derivazione numerica dell'errore .....	327
Simulazione sistema di controllo di temperatura di un locale che disperde calore .....	329
Controllo ON-OFF .....	330
Controllo ON-OFF con isteresi .....	331
Controllo proporzionale P .....	332
Controllo proporzionale-integrale PI .....	333
Regole di Ziegler-Nichols .....	336
CONTROLLO DI TEMPERATURA ON-OFF CON SENSORE TMP36 .....	337
CONTROLLO LIVELLO ON-OFF CON SENSORE ULTRASUONI .....	339
CONTROLLO LIVELLO ON-OFF CON SENSORE ULTRASUONI 2 .....	341
CONTROLLO DI LIVELLO CON SENSORE ANALOGICO .....	342
CONTROLLO LIVELLO con sensore analogico non lineare .....	344
DIMENSIONAMENTO DEL PARTITORE DI TENSIONE .....	344
CONTROLLO temperatura con sensore analogico non lineare .....	347
CONTROLLO DI TEMPERATURA CON TERMISTORE NTC E RELE' .....	348
CONTROLLO DI TEMPERATURA ON-OFF CON termistore NTC E NMOS .....	350
CONTROLLO IN POSIZIONE di una guida lineare con motore c.c. e encoder ottico increm. ....	352

Schema a blocchi.....	352
logica del sistema di controllo .....	353
SIMULAZIONE CON EXCEL DEL SISTEMA DI CONTROLLO PROPORZIONALE .....	354
SIMULAZIONE CON EXCEL DEL SISTEMA DI CONTROLLO PID .....	355
SCHEMA Sistema di controllo posizione con Arduino e transistor di potenza TIP120.....	357
SCHEMA Sistema di controllo con transistor di potenza TIP120 e PONTE H L298N .....	358
CONTROLLO IN POSIZIONE E IN VELOCITA' .....	359
CONTROLLO DI TEMPERATURA "P.I.D." CON NTC E RF520 .....	360
ESP32 .....	363
La scheda di sviluppo DevKitC.....	364
Come collegare un sensore elettronico ad ESP32 .....	367
I canali di comunicazione disponibili.....	367
Le librerie di comunicazione software per ESP32 .....	367
Esempi di codice C++ per leggere i sensori I2C .....	368
Esempi di codice C++ per leggere i sensori SPI .....	368
⬆️ robotica industriale .....	370
Sistemi robotici .....	371
Tipi di giunto .....	371
Tipi di robot.....	371
Robot collaborativi (cobot) .....	372
Le differenze tra robot e cobot: 4 cose da sapere .....	<b>Errore. Il segnalibro non è definito.</b>
Arresto monitorato .....	<b>Errore. Il segnalibro non è definito.</b>
Guida manuale .....	<b>Errore. Il segnalibro non è definito.</b>
Monitoraggio della velocità e della separazione .....	<b>Errore. Il segnalibro non è definito.</b>
Limitazione di potenza e forza .....	<b>Errore. Il segnalibro non è definito.</b>
ROBOT PLANARE .....	374
MECCATRONICA: DIMENSIONAMENTO LINK LASER PLANARE .....	375
dimensionare i link del robot planare assegnato .....	377
SOLLECITAZIONI SUI LINK DEL ROBOT PLANARE nella posizione distesa.....	378
PIANO VERTICALE: TAGLIO + FLESSIONE.....	379
PIANO ORIZZONTALE .....	379
CALCOLO SFORZI E DEFORMAZIONE PETG nella posizione distesa .....	380
CALCOLO SFORZI E DEFORMAZIONE ALLUMINIO 6061 nella posizione distesa .....	381
MIGLIORARE LA RESISTENZA A DEFORMAZIONE ELASTICA TRAMITE NERVATURE LATERALI.....	382
CALCOLO SFORZI E DEFORMAZIONE sul modello effettivo in ABS nella posizione distesa .....	383
SOLLECITAZIONI SUI LINK DEL ROBOT PLANARE nella posizione ad angolo retto .....	384
CINEMATICA DEL ROBOT .....	386
CINEMATICA DIRETTA DEL ROBOT PLANARE A 2 LINK.....	386
FOGLIO DI CALCOLO .....	386
CINEMATICA INVERSA DEL ROBOT DEL ROBOT PLANARE .....	388

FOGLIO DI CALCOLO.....	388
ESERCIZIO CINEMATICA INVERSA DEL ROBOT DEL LASER PLANARE .....	389
ESERCIZIO TAGLIO LASER SCARA 2 ASSI .....	397
ESERCIZIO TAGLIO LASER SCARA 2 ASSI CON EMERGENZA E RESET .....	400
FOGLIO DI CALCOLO.....	400
ESERCIZIO TAGLIO LASER SCARA 3 ASSI .....	403
ROBOT SCARA .....	406
MOVIMENTI E ANGOLI DEL ROBOT SCARA .....	406
Applicazioni tipiche DEL ROBOT SCARA .....	407
END EFFECTOR .....	407
ESERCIZIO ROBOT SCARA.....	408
ROBOT ANTROPOMORFO .....	412
CINEMATICA DIRETTA ED INVERSA robot a 3 link.....	413
Codice G per la programmazione CNC.....	414
Il codice G in sintesi .....	414
Blocchi di Codice G.....	415
Programmi in codice G .....	416
Modali e codici di indirizzo .....	417
Panoramica dei codici G e dei codici M .....	418
Cicli fissi in codice G.....	421
△ ELETTRONEUMATICA.....	422
ELETTROVALVOLE PNEUMATICHE .....	423
COMANDO ATTUATORI ELETTRONEUMATICI CON ARDUINO .....	425
SENSORI MAGNETICI (REED SWITCHES) .....	426
ESERCITAZIONE SEQUENZA PNEUMATICA.....	427
FORMULE Elementi circuitali ideali.....	429
Resistore .....	429
Condensatore.....	429
Induttore .....	430
Sorgenti.....	430
Il resistore pull-up NEI MCU.....	431
Come funzionano i resistori pull-up? .....	432
Come trovare l'impedenza di ingresso di un circuito integrato .....	433

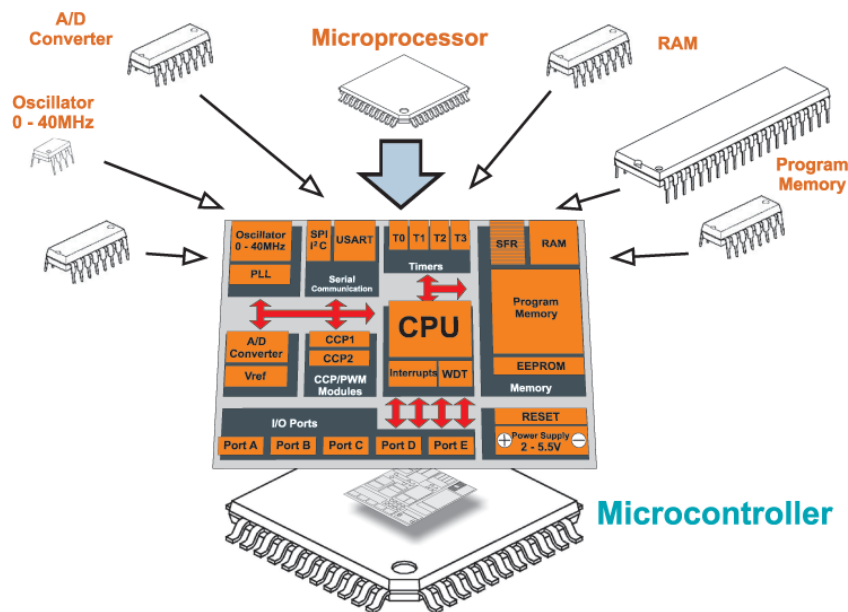
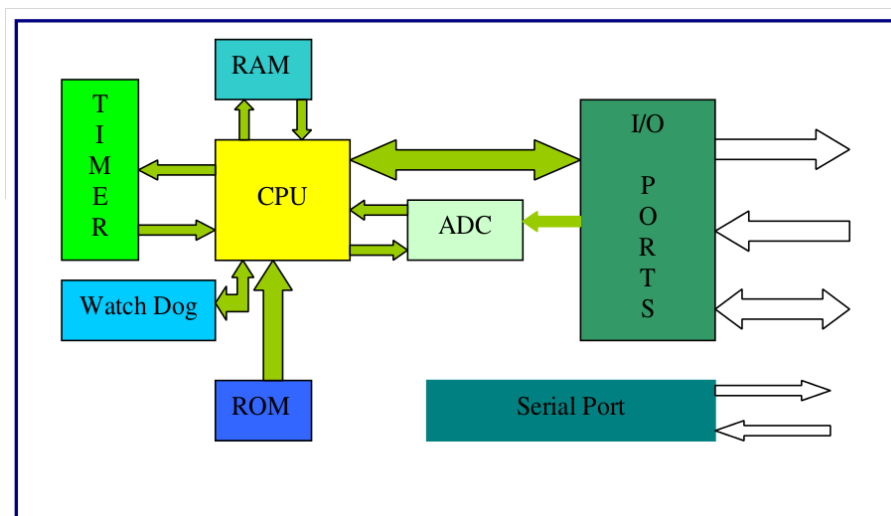


# IL MICROCONTROLLORE

Un microcontrollore (microcontroller o MCU, MicroController Unit) è un single-chip computer, ovvero un microcalcolatore integrato su un singolo chip. Come suggerisce il nome, il microcontrollore è utilizzato principalmente per realizzare sistemi di controllo digitale e, in particolare, nei dispositivi cosiddetti embedded. Si tratta di sistemi elettronici di elaborazione a microprocessore progettati appositamente per una determinata applicazione (special purpose) ovvero non riprogrammabili dall'utente per altri scopi.

Il microcontrollore si differenzia rispetto al microprocessore in quanto al proprio interno contiene normalmente anche una certa quantità di memoria RAM e di EPROM e vari dispositivi periferici integrati, come timer, convertitori AD etc. Si tratta dunque di un vero e proprio computer completo di tutto ciò che occorre per il suo funzionamento.

La figura seguente mostra uno schema della struttura interna di un MCU.

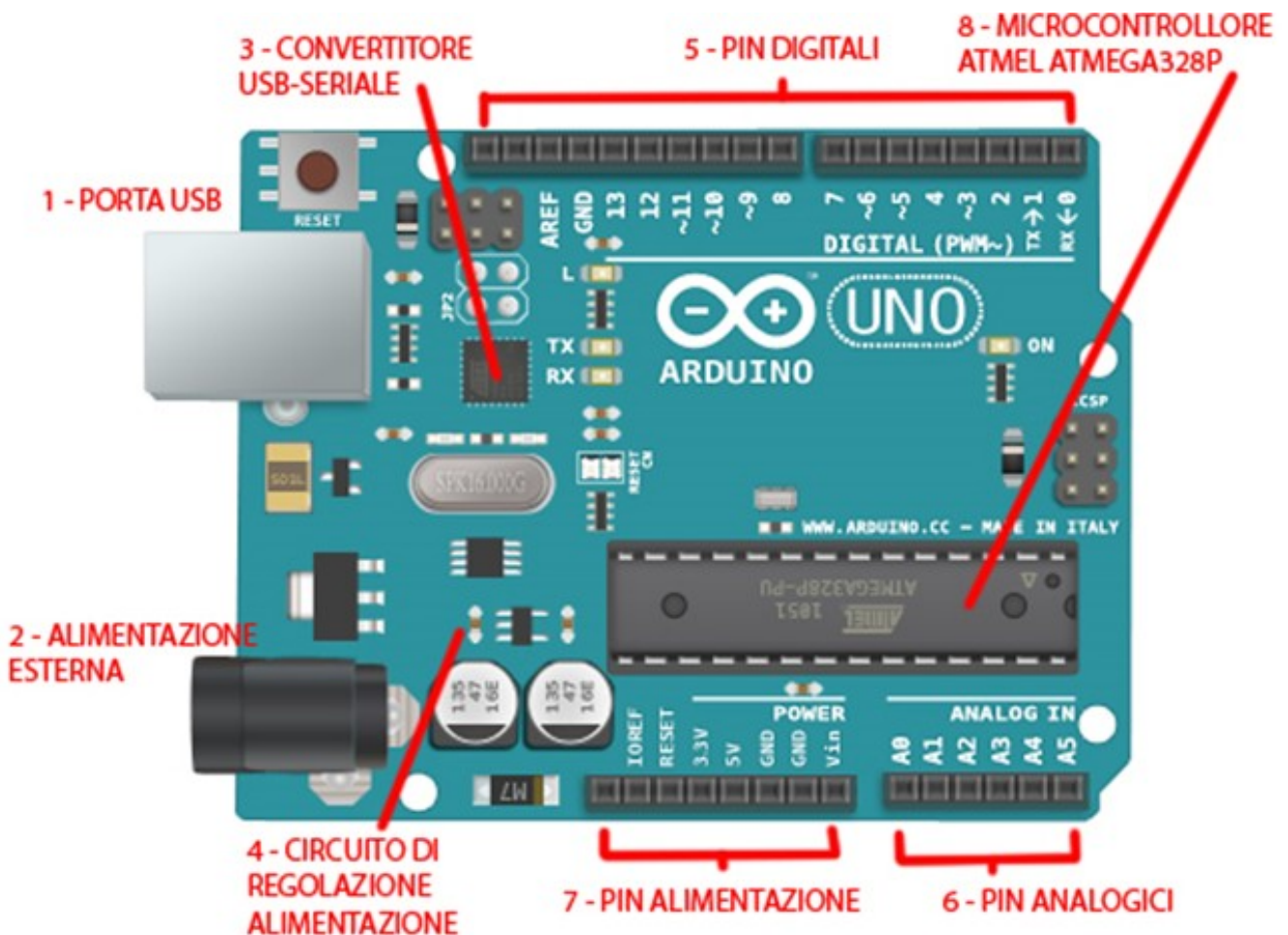


Si noti che generalmente il MCU non viene collegato a chip di memoria esterni (a differenza del microprocessore): l'intero programma di gestione del MCU e i relativi dati devono dunque risiedere sulla memoria interna integrata on chip.

A differenza del Personal Computer (PC), che è un dispositivo general purpose (cioè di applicazione generale, che può eseguire un gran numero di programmi diversi), i microcontrollori hanno una potenza piuttosto limitata e sono utilizzati in applicazioni specifiche, spesso per eseguire sempre lo stesso identico compito.

Arduino è una piattaforma hardware composta da una serie di schede elettroniche dotate di un microcontrollore. È stata ideata e sviluppata nel 2005 da alcuni membri dell'Interaction Design Institute di Ivrea come strumento per la prototipazione rapida e per scopi hobbistici, didattici e professionali. Il nome della scheda deriva da quello del bar di Ivrea frequentato dai fondatori del progetto, nome che richiama a sua volta quello di Arduino d'Ivrea, Re d'Italia nel 1002.

Con Arduino si possono realizzare in maniera relativamente rapida e semplice piccoli dispositivi come controllori di luci, di velocità per motori, sensori di luce, automatismi per il controllo della temperatura e dell'umidità e molti altri progetti che utilizzano sensori, attuatori e comunicazione con altri dispositivi. La scheda è abbinata a un semplice ambiente di sviluppo integrato per la programmazione del microcontrollore. Tutto il software a corredo è libero, e gli schemi circuitali sono distribuiti come hardware libero e per questo motivo è molto utilizzato nella didattica educativa.



### 1- PORTA USB

È la porta con cui si collega la scheda al computer tramite cavo apposito. Il suo ruolo, ovviamente, è anche quello di scambiare i dati con il computer permettendo l'upload dello sketch.

Una volta che lo sketch è caricato sulla scheda, questa porta può anche essere utilizzata per alimentare la scheda con un alimentatore esterno da 5 V con uscita USB.

### 2- ALIMENTAZIONE ESTERNA

Questo jack permette l'alimentazione esterna alla scheda.

Si suggerisce di non superare i 12 V onde evitare problemi di stabilità e surriscaldamento della scheda.

### **3- CONVERTITORE USB-SERIALE**

E' una parte importantissima della scheda che consente la comunicazione bidirezionale tra il computer e la scheda, in particolare, tra il computer e il microcontrollore, scambiando dati e consentendo l'upload degli sketch.

### **4- CIRCUITO DI REGOLATORE DI ALIMENTAZIONE**

Nel caso siano presenti sia alimentazioni tramite USB che tramite jack, grazie a questo ripartitore, la scheda è in grado di scegliere dove prendere la tensione necessaria.

È considerata fonte primaria quella proveniente dal jack esterno. In ogni caso, come già detto, la tensione proveniente dal jack non dovrebbe mai superare i 12V, ma nemmeno essere inferiore ai 7V. In quest'ultimo caso, infatti, è possibile che il sistema non riesca a fornire alla scheda i 5V nominali di cui ha bisogno per funzionare.

### **5- PIN DIGITALI**

Sono 14 PIN che rispondono ad una logica digitale I/O. Significa che possono essere collegati in lettura a dei sensori o a dei dispositivi esterni a patto che essi funzionino con logica digitale.

La logica digitale è quella booleana, ovvero che prevede solo due stati, 0 e 1 (acceso/spento, on/off, alto/basso) e che, in termini elettrici, associa 0V allo 0 e 5 V all'1.

Se colleghiamo a questo PIN una lampadina potremmo accenderla e spegnerla non modulare, almeno in linea teorica, la sua luminosità.

Una menzione speciale meritano i PIN 3, 5, 6, 9, 10 e 11 che possono essere utilizzati come PIN analogici e impulsi PWM (Pulse Width Modulation che vedremo negli esempi in seguito) utilissimi per la regolazione di attuatori come motori e servomotori.

### **6- PIN ANALOGICI**

Sono 6 PIN che possono leggere e inviare segnali analogici, con valori cioè compresi tra 0V e 5V.

In particolare il microcontrollore legge la tensione presente sul PIN e restituisce un valore compreso tra 0 e 1023 (un numero a 10 bit).

Alcuni sensori provvedono a mappare il valore risultante nella scala desiderata (ad esempio temperatura o distanza), in altri casi, la conversione va effettuata nel codice stesso.

### **7- PIN ALIMENTAZIONE**

Sono i PIN dedicati all'alimentazione dei sensori, degli attuatori o dei circuiti creati e collegati alla scheda. Possono fornire una tensione di 5V e 3,3V con i rispettivi PIN, mentre quelli contrassegnati con GND servono per raccogliere la "massa", il ritorno della corrente dal circuito.

Una piccola menzione per i due PIN RESET e Vin. Il primo serve per resettare il microcontrollore con azione identica a quella del pulsante dedicato installato a bordo macchina.

Il secondo permette di prelevare alimentazione in quantità pari a quella fornita dal jack o di restituire la stessa direttamente al regolatore di tensione di Arduino (non useremo questi due PIN in questo corso).

### **8- MICROCONTROLLORE ATMEL ATMEGA328P**

È il vero cuore della scheda che consente di agire come microcontrollore, controllando cioè dispositivi esterni, integrando quella che è la memoria su cui è salvato il programma.

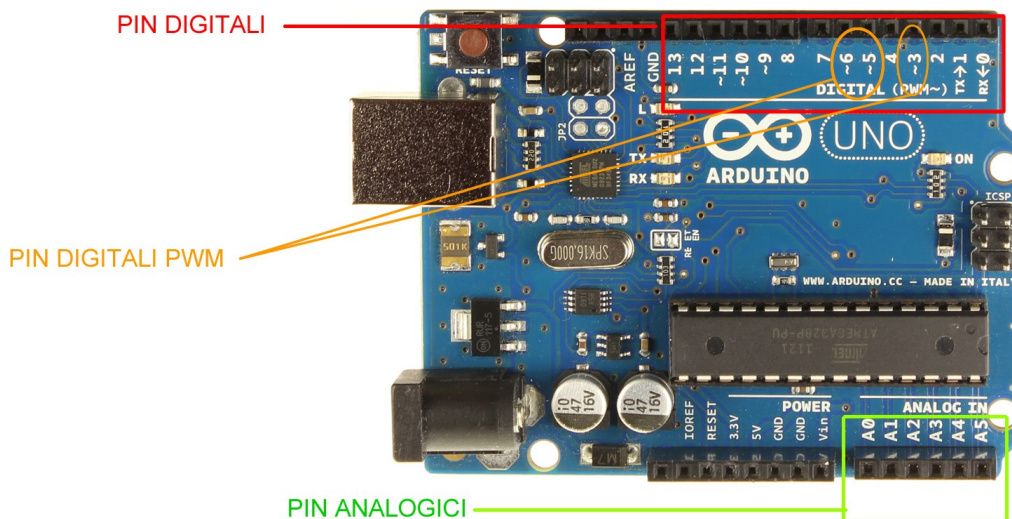
## I PIN DI ARDUINO: DIGITALI, PWM ED ANALOGICI

I PIN DI ARDUINO SONO LE PORTE CHE CONSENTONO ALLA SCHEDA DI COMUNICARE E QUINDI RICEVERE ED EMETTERE INFORMAZIONI VERSO I DISPOSITIVI AD ESSO CONNESSI.

Arduino ha un totale di 19 pin che si dividono in 2 macro categorie: pin analogici (5 pin) e pin digitali (14 pin). I pin digitali sono utilizzabili sia per ricevere segnali e quindi acquisire informazioni (input) che per emettere segnali ossia spedire informazioni (output). I pin digitali si dividono a loro volta in base al supporto o meno della funzione PWM.

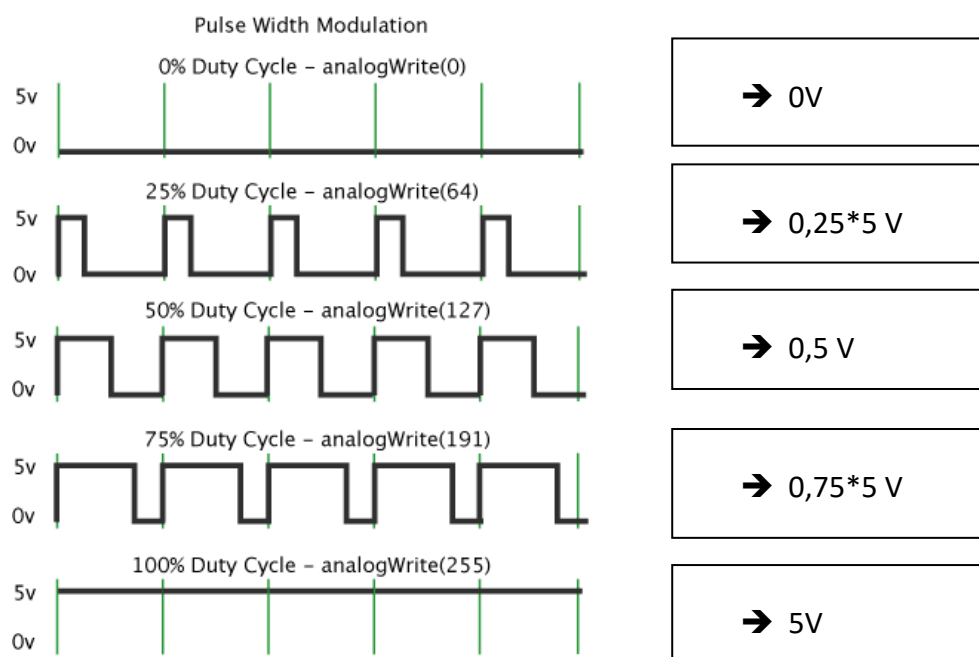
I pin che non hanno PWM sono: 1,2,4,7,8,12,13,15.

Questi pin sono come detto prima in grado di gestire solo segnali 0 e 1 (low/high) il che significa che possono essere utilizzati in situazioni come un relè, un pulsante e tutte quelle situazioni in cui vi è sono fondamentalmente 2 stati o possibilità.



Con un pin PWM è possibile generare in uscita un segnale analogico da 0-5V con una risoluzione di 8 bit ( $5/255$  volt  $\approx 0,02V$ ). Un segnale PWM (pulse wide modulation) è in termini molto semplicistici, un onda quadra 0-5V (ad alta frequenza) con delle durate prestabilite per la parte alta (5V).

Ciò permette di simulare un valore analogico di tensione compreso tra 0-5V con uno digitale con la maggior parte degli attuatori (transistor, relè, motori CC ...).



I pin analogici invece sono in grado solo di ricevere segnali ed hanno un range che va da 0 a 1023. Questa tipologia di pin è utilizzata quindi per leggere tutti quei sensori come trimmer, potenziometri, fotoresistenze, ultrasuoni, IR.

A differenza di un microcontrollore per uso obbistico o domestico, quello industriale deve essere in grado di funzionare anche in ambienti critici e di interfacciarsi facilmente con altri dispositivi industriali che tipicamente funzionano a 24-30V o in tensione alternata.

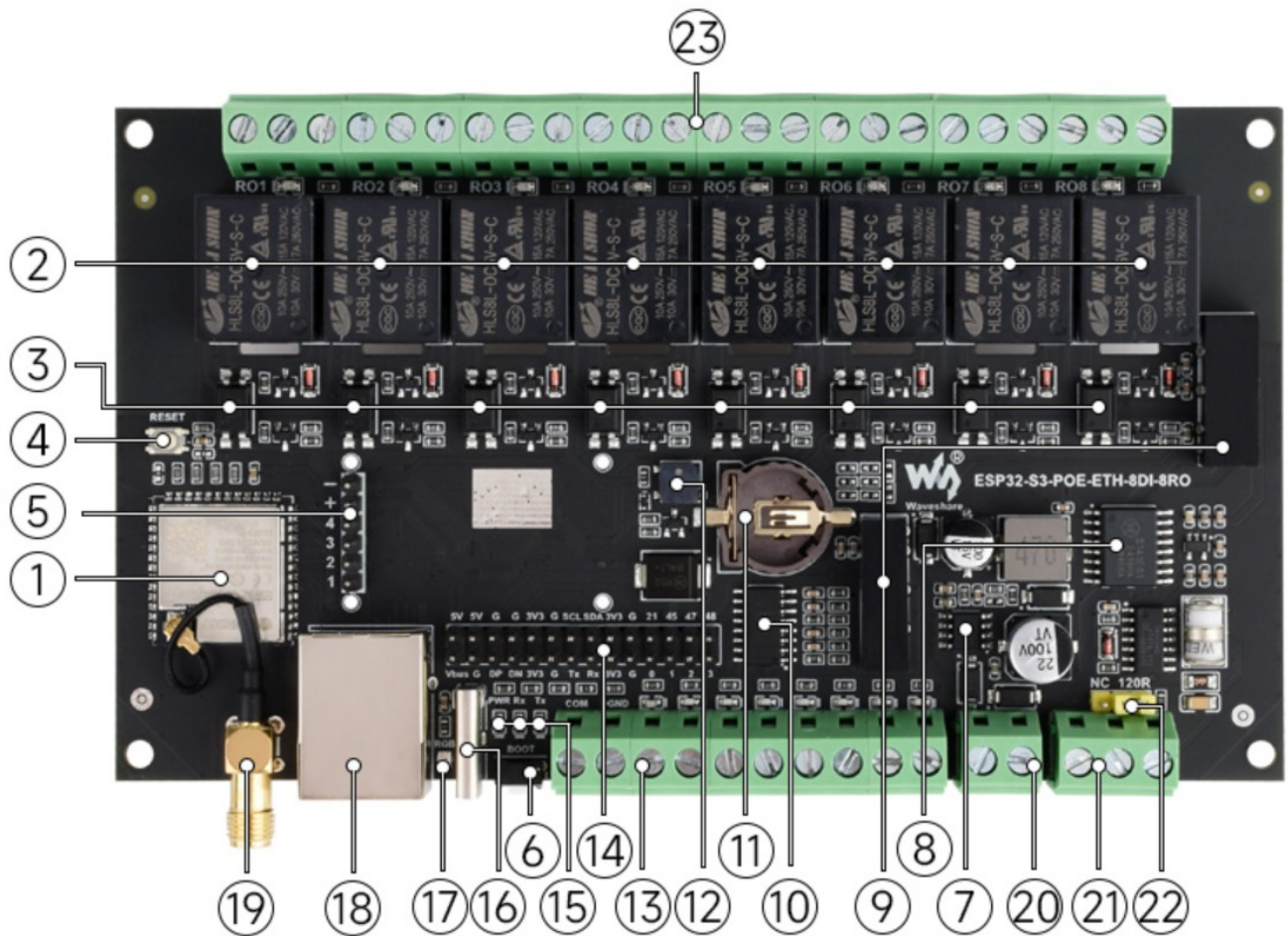
Un esempio di microcontrollore industriale basato sul chip ESP32 è il seguente.

### MODULO RELÈ WIFI ESP32-S3 INDUSTRIALE A 8 CANALI

Basato su ESP32-S3, supporta WiFi / Bluetooth.

Interfacce di ingresso digitale, RS485 e porta Ethernet integrate.

Circuiti di protezione integrati come isolamento di potenza e isolamento optoaccoppiatore, sicuri, stabili e affidabili.

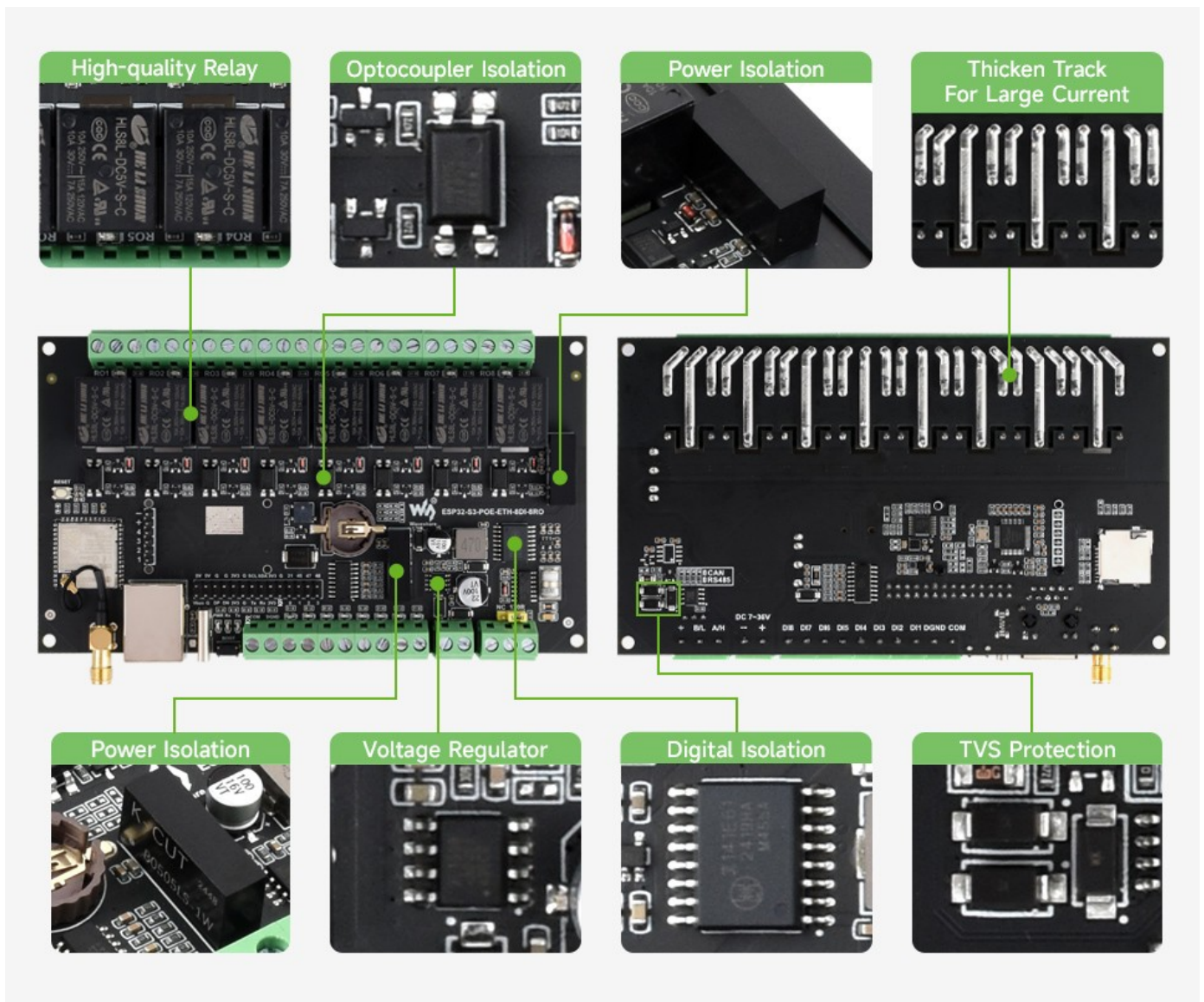


#### Caratteristiche

- Basato sul microcontrollore ESP32-S3 con processore dual-core Xtensa LX7 a 32 bit, in grado di funzionare a 240 MHz
- Comunicazione wireless dual-mode Wi-Fi a 2,4 GHz e Bluetooth LE integrata, con prestazioni RF superiori
- Relè di alta qualità, portata dei contatti:  $\leq 10A$  250V AC / 30V DC
- Supporta ingressi digitali passivi e attivi, con isolamento optoaccoppiatore bidirezionale. Il relè supporta il controllo del collegamento degli ingressi digitali.
- Interfaccia RS485 isolata integrata, per la connessione a vari moduli o sensori industriali RS485 Modbus
- Connettore pin integrato, che consente l'accesso ad altri dispositivi
- Porta USB Type-C integrata per alimentazione, download del firmware e debug
- Morsetto a vite per alimentazione integrata, supporta un ingresso di tensione ampio 7~36 V, adatto per applicazioni industriali
- Chip RTC integrato, supporta attività pianificate

- Chip Ethernet W5500 integrato per estendere la porta di rete 10/100Mbps tramite interfaccia SPI
- Opzionale per la versione con porta di rete PoE, con modulo PoE integrato per funzionalità PoE (conforme allo standard IEEE 802.3af)
- Isolamento dell'optoaccoppiatore integrato per prevenire interferenze dal circuito ad alta tensione esterno collegato al relè
- Isolamento digitale integrato per prevenire interferenze da segnali esterni
- Isolamento dell'alimentatore unibody integrato, che fornisce una tensione isolata stabile, senza bisogno di alimentazione aggiuntiva per il terminale isolato
- Slot per scheda TF integrato per l'archiviazione di immagini e file su scheda TF esterna
- Cicalino integrato, LED RGB, alimentatore e indicatori RS485 TX/RX per il monitoraggio dello stato operativo dei dispositivi
- Custodia in ABS montata su guida, facile da installare, sicura da usare

Circuiti di protezione di isolamento multipli integrati



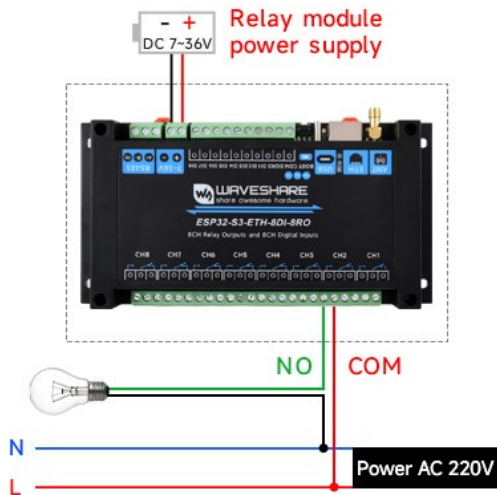
Supporta RS485 e controllo remoto Bluetooth / WiFi

Relè a 8 canali integrati e ingressi digitali a 8 canali

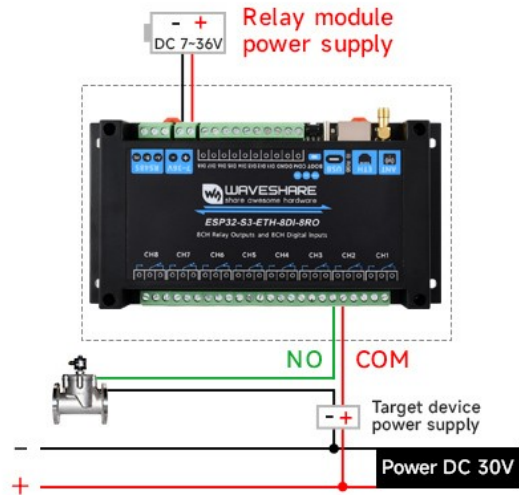
Portata dei contatti del relè integrato fino a 10 A 250 V CA / 30 V CC

Controllo diretto di elettrodomestici a 220 V CA o dispositivi inferiori a 30 V CC

### AC 220V Device Connection



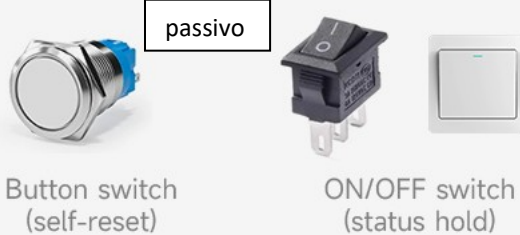
### DC 30V Device Connection



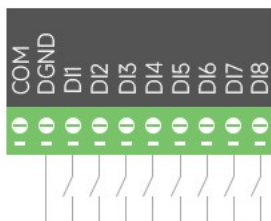
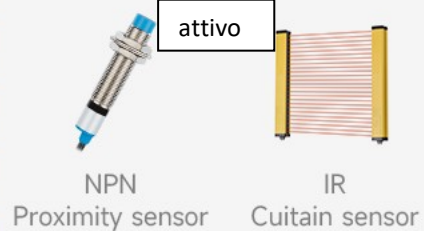
Supporta l'ingresso digitale passivo (contatto asciutto) e attivo (contatto bagnato).



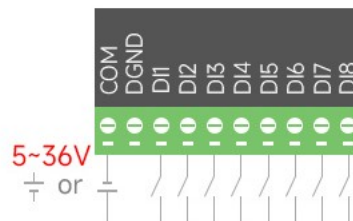
Passive digital input (dry contact)



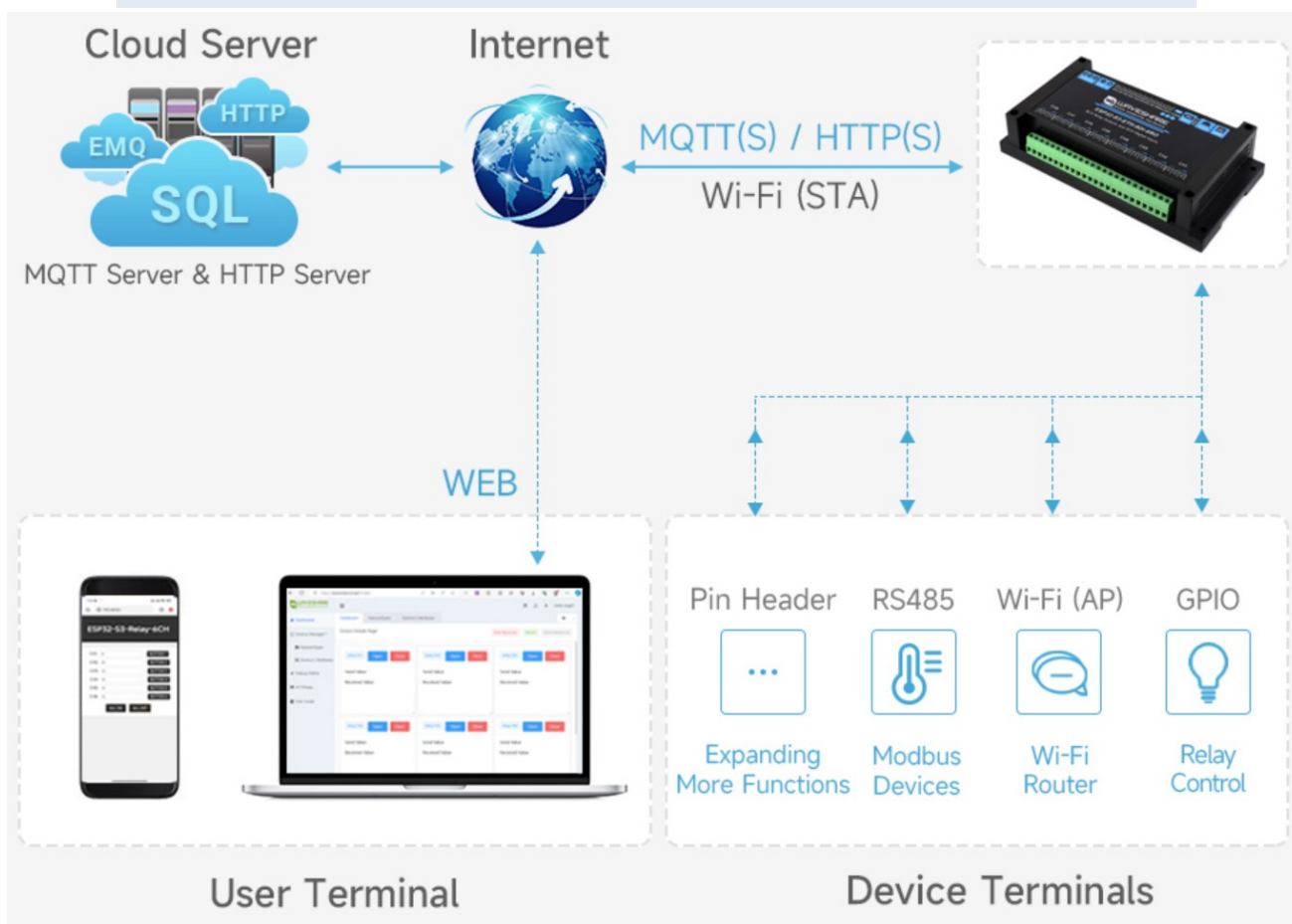
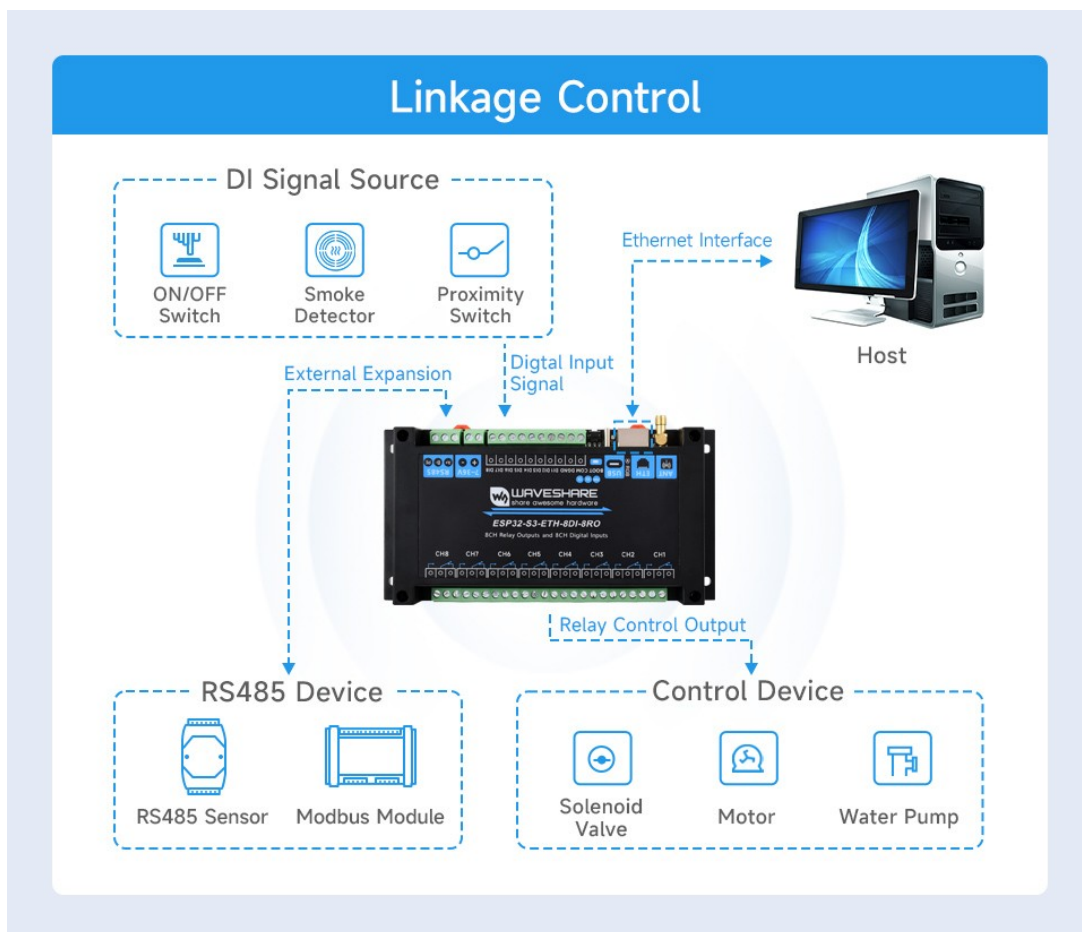
Active digital input (wet contact)



Digital input dry contact wiring diagram

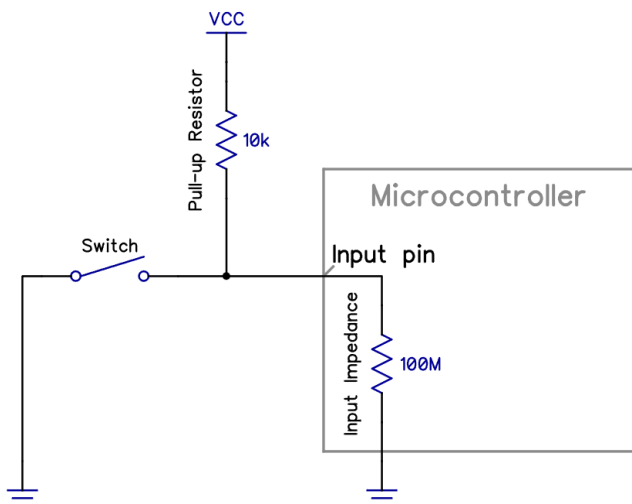


Digital input wet contact wiring diagram

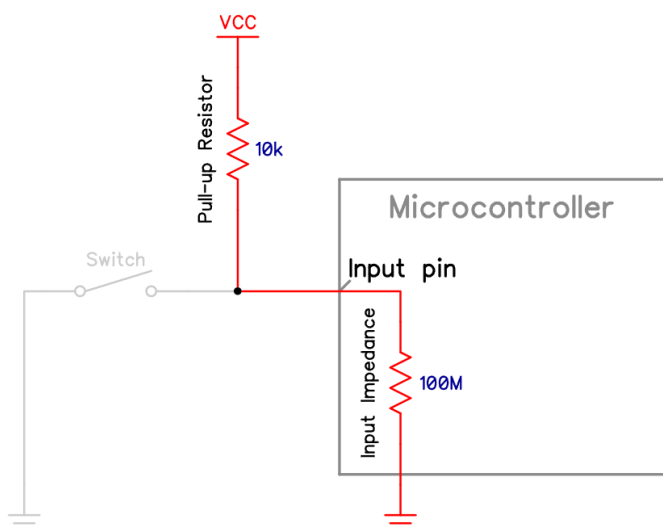


## RESISTENZA ESTERNA DI PULL-UP CON MCU

Ingresso dell'MCU impostato ad INPUT. Presenta elevate impedenza in ingresso (fino a 100M).



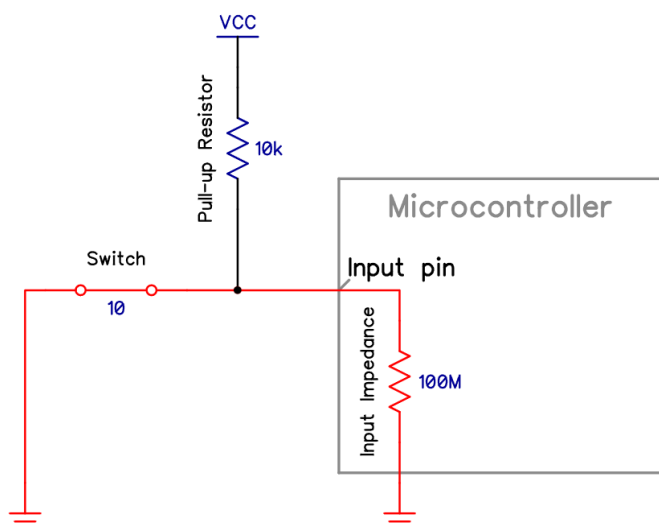
La definizione degli stati LOW e HIGH dipende dalla famiglia logica: per TTL, HIGH va da 2 V a 5 V, e per CMOS-5 V, HIGH va da 3,5 V a 5 V.



$$R_{tot} = R_{pu} + R_{ip} = 10 \text{ k}\Omega + 100 \text{ M}\Omega = 100.010 \text{ M}\Omega$$

$$V_{ip} = 5 \text{ V} \cdot \frac{100 \text{ M}\Omega}{10 \text{ k}\Omega + 100 \text{ M}\Omega} = 5 \text{ V} \cdot \frac{100 \text{ M}\Omega}{100.010 \text{ M}\Omega} \approx 4.9995000 \text{ V}$$

L'ingresso viene sicuramente letto **ALTO**.



$$R_{tot} = R_{pu} + R_{parallel} \approx 10 \text{ k}\Omega + 9.999999 \Omega = 10009.999999 \Omega$$

$$I_{tot} = \frac{V_{CC}}{R_{tot}} \approx 0.0005 \text{ A}$$

$$V_{pu} = I_{tot} \cdot R_{pu} \approx 4.9950 \text{ V}$$

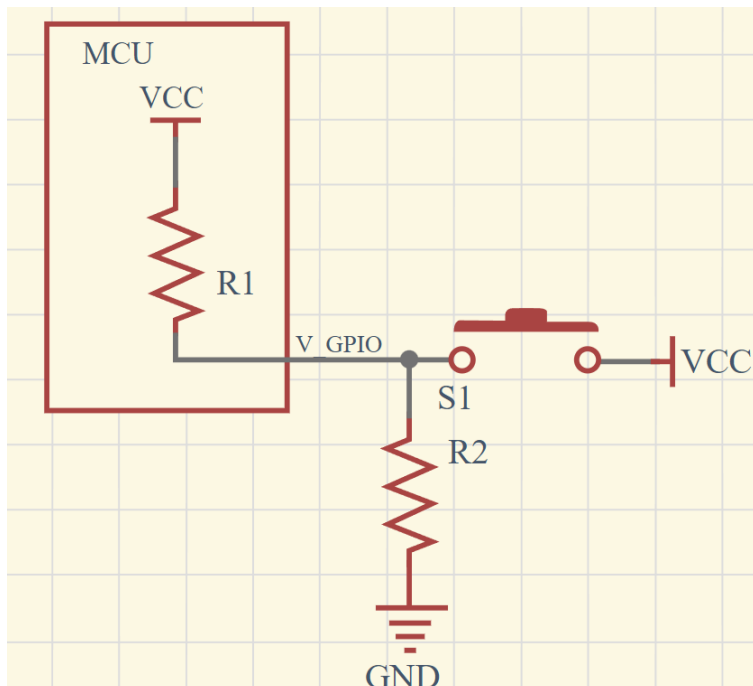
$$V_{ID} = V_{CC} - V_{pu} \approx 0.0050 \text{ V}$$

L'ingresso viene sicuramente letto **BASSO**.

Per un interruttore chiuso, l'impedenza del pin di ingresso è meno importante rispetto a un interruttore aperto. Ma in entrambi i casi una resistenza pull-up di 10K è una buona scelta. Quindi un resistore di pull-up deve avere una resistenza molto inferiore alla resistenza/impedenza del circuito a cui funge da ingresso. In questo caso, le equazioni precedenti generano tensioni prossime a Vcc quando l'interruttore è aperto, e 0 quando l'interruttore è chiuso.

## INGRESSO DELL'MCU IMPOSTATO AD INPUT-PULLUP.

Il circuito seguente mostra un pin GPIO con una resistenza di pull-up interna debole (la maggior parte dei microcontrollori moderni ha resistenze di pull-up su ciascun pin GPIO, in Arduino 20-50K, negli ESP32 45K) e una resistenza di pull-down esterna forte.



$$V_{GPIO} = \frac{V_{CC} \cdot R_1}{R_1 + R_2}$$

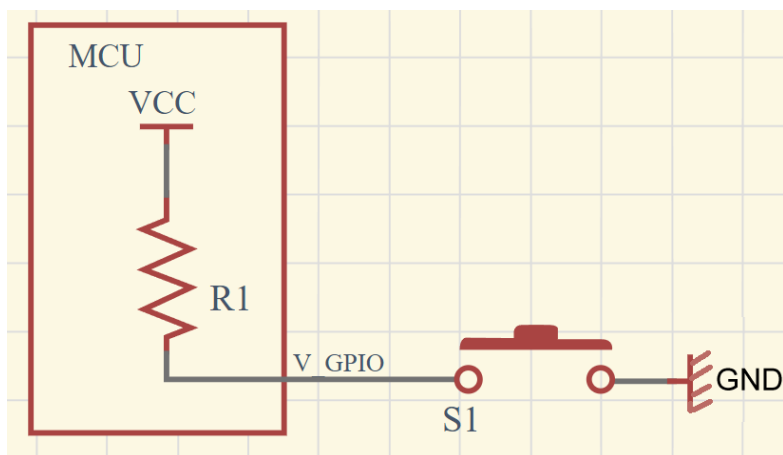
Ad interruttore aperto con  $R_2 = 200K$  e  $R_1 = 20k$  abbiamo 0,45V che vengono sicuramente interpretati come segnale **BASSO**.

Quando l'interruttore è chiuso, il segnale è portato **ALTO**, non a causa della resistenza di pull-up interna, ma perché è collegata direttamente a VCC.

NB: questa configurazione con resistenza di pull-down esterna permette di ridurre al minimo la corrente assorbita (0 in ingresso al micro).

I resistori pull-up/pull-down rappresentano un ottimo modo per impedire che gli ingressi GPIO del microcontrollore assumano valori indefiniti nei progetti embedded; tuttavia, devono essere dimensionati correttamente (deboli o forti) in base ai requisiti di consumo energetico e ai circuiti esistenti (ad esempio i resistori pull-up/pull-down interni) per garantire il corretto funzionamento del circuito.

Un'altra soluzione che comporta un maggiore assorbimento di corrente è la seguente che non usa la resistenza di pull-down ma collega a massa l'interruttore. A interruttore aperto il micro legge **ALTO** (è connesso a Vcc). A interruttore chiuso legge **BASSO** (è connesso direttamente a massa e scorre corrente). Abbiamo quindi una logica **INVERSA**.



## LE VARIABILI

Sono dei contenitori di dati, il loro valore viene modificato durante l'esecuzione del programma.

**boolean** - E' una variabile booleana, quindi il suo valore è vero o falso.

**byte** - Contiene un numero tra 0 e 255.

**int** - Contiene un numero intero compreso tra -32'768 e 32'767 (16 bit, 2 byte). Mettendo davanti ad int "const" diventa una costante, quindi dopo che è stata dichiarata non può più cambiare. (viene usata ad esempio per assegnare un nome ad un pin).

**short** - Come "int" ma anche per "Arduini" con architettura Arm (es. Arduino Due, int in queste schede è di 4 byte)

**unsigned int** - Come int ma solo numeri positivi, quindi tra 0 e 65'535.

**word** - Come "unsigned int" ma anche per "Arduini" con architettura Arm.

**long** - Contiene un numero tra -2'147'483'648 e 2'147'483'647 (32 bit, 4 byte).

**unsigned long** - Come long ma solo numeri positivi, quindi da 0 a 4'294'967'295.

**float** - Può memorizzare numeri con la virgola.

**double** - Nelle schede con architettura Arm contiene un numero fino a  $1'7976931348623157 \times 10^{308}$  (8 byte).

**char** - Contiene un singolo carattere di testo (il numero corrispondente nella tabella ASCII).

**string** - Contiene più caratteri di testo. Es: `char Str1[] = "esempio";`

## LE COSTANTI

Le costanti sono le variabili preimpostate nel linguaggio di Arduino

**INPUT** e **OUTPUT** - sono usate per definire se uno specifico Pin deve essere di ingresso o di uscita.

**HIGH** e **LOW** - sono usati per esempio quando si vuole accendere o spegnere un Pin di Arduino.

**true** e **false** - indicano che la condizione può essere vera o falsa.

## LE STRUTTURE PRINCIPALI

La struttura base di un programma Arduino si sviluppa in almeno due parti:

### **void setup ( )**

{Qui mettiamo la parte dello sketch che deve essere eseguita una sola volta (ad esempio dichiarazioni di input e output).}

### **void loop ( )**

{Qui mettiamo la parte dello sketch che deve essere eseguita ciclicamente fino allo spegnimento di Arduino. Le istruzioni vengono eseguite in sequenza dalla prima all'ultima.}

## STRUTTURE DI CONTROLLO

Le strutture di controllo servono a far eseguire al nostro Arduino delle operazioni di logica

**If** - è il "se" di Arduino, tramite questa struttura è possibile prendere delle decisioni all'interno del programma.

*Esempio: se a è maggiore di b accendi "led1", altrimenti il "led1" rimarrà spento.*

```
if (a > b)
{
  digitalWrite(led1, HIGH);
}
```

**If...else** - come if ma se la condizione messa tra parentesi è falsa verrà eseguito tutto il codice che segue else.

*Esempio: se a è maggiore di b accendi "led1". Altrimenti accendi "led2".*

```
if (a > b)
{
  digitalWrite(led1, HIGH);
}
else
{
  digitalWrite(led2, HIGH);
}
```

**for** - Ripete il codice per il numero di volte inserito.

*Esempio: scrivi 3 volte "esempio" sul monitor seriale.*

```
for (int i=0;i<3;i++)
{
  Serial.print("esempio");
}
```

**switch case** - Vengono eseguiti diversi blocchi di programma a seconda del valore della variabile posta tra parentesi.

*Esempio: se il valore di "sensore1" è uguale a 600 accendi "led1", se è uguale a 700 accendi "led2".*

*Se il valore di "sensore1" è diverso sia da 600 che da 700, spegni "led1" e "led2".*

```
switch (sensore1)
{
  case 600:
    digitalWrite(led1, HIGH);
    break;
  case 700:
    digitalWrite(led2, HIGH);
    break;
  default:
    digitalWrite(led1, LOW);
    digitalWrite(led2, LOW);
}
```

**while** - Esegue un blocco di codice infinite volte fino a quando la condizione posta tra le parentesi diventa vera. (se lo è già all'inizio non viene eseguito)

*Esempio: tieni acceso "led1" finchè "sensore1" diventa più piccolo di 600.*

```
while (sensore1 < 600)
{
  digitalWrite (led1, HIGH);
}
```

**do while** - Il ciclo "Do While" funziona nello stesso modo del ciclo While, con l'eccezione che viene provata la condizione solo al termine del ciclo, in questo modo il ciclo "Do While" verrà eseguito sempre almeno una volta.

*Esempio: attendi finchè il valore di un sensore diventa stabile, aspetta 50 millisecondi infinite volte, finchè il valore del sensore diventa più basso di 100.*

```
do
{
  delay(50);
  x = readSensors();
}
while (x < 100);
```

**Break** - Questa struttura serve a bloccare un ciclo "for", "while" o "do". Viene utilizzato anche per separare le varie condizioni nella funzione "switch case".

**Continue** - Questo comando fa saltare il resto del codice all'interno del ciclo, e riavvia il ciclo.

*Esempio: Crea un salto tra l'incremento del valore di "x"*

```
for (x = 0; x < 255; x ++ )
{
  if ( ( x > 120 ) && ( x < 180 ) )
  {
    continue;
  }
  analogWrite ( PWMpin, x );
  delay (50);
}
```

**Return** - Termina una funzione che si sta eseguendo e ne restituisce un risultato.

*Esempio: se la lettura è maggiore di 400 restituisci 1, altrimenti 0*

```
int checkSensor ( )
{
  if ( analogRead(0) > 400 )
  {
    return 1;
  }
  else
  {
    return 0;
  }
}
```

## OPERATORI ARITMETICI

Questi operatori vengono utilizzati per cambiare il valore contenuto in una variabile.

**=** - Assegnazione: assegna ad una variabile un valore.

*Esempio: assegna alla variabile "valoresensore" il valore di tensione presente in ingresso al pin analogico 0*

```
valoresensore = analogRead(0);
```

**+** - Addizione: aggiungi un valore ad una variabile.

*Esempio: somma al valore di "Y" il valore 3.*

```
Y = Y + 3;
```

**-** - Sottrazione: sottrai un valore ad una variabile.

**\*** - Moltiplicazione: moltiplica una variabile per un valore.

**/** - Divisione: dividi una variabile per un valore.

**%** - Modulo: assegna alla variabile il valore del resto di una divisione.

*Esempio: 7 diviso 5 uguale 1 con resto 2. La variabile x ora avrà valore 2.*

```
X = 7 % 5;
```

## OPERATORI DI CONFRONTO E BOOLEANI

Questi operatori vengono usati all'interno degli "if" per testare i valori delle variabili.

**==** - Uguale a

*Esempio: se "variabile1" è uguale a 10, accendi "led1".*

```
if ( variabile1 == 10)
{
    digitalWrite (led1, HIGH);
}
```

**!=** - Diverso da

**<** - Minore di

**>** - Maggiore di

**<=** - Minore o uguale a

**>=** - Maggiore o uguale a

Se si vogliono testare più condizioni nello stesso "if" si devono usare gli operatori booleani:

**&&** - "and" testa se la condizione 1 e la condizione 2 sono vere

*Esempio: se "valoresensore" è compreso tra 100 e 200, esegui il codice successivo.*

```
if ( valoresensore >= 100) && (valoresensore <= 200)
{
  \\inserire il codice da eseguire
}
```

**||** - "or" testa se la condizione 1 o la condizione 2 sono vere

*Esempio: se "valoresensore1" o "valoresensore2" sono maggiori di "100", esegui il codice successivo.*

```
if ( valoresensore1 > 100) || (valoresensore2 > 100)
{
  \\inserire il codice da eseguire
}
```

**!** - "not" testa se la condizione è falsa

*Esempio: se "x" vale "falso" (quindi zero) esegui il codice successivo.*

```
if ( !x)
{
  \\inserire il codice da eseguire
}
```

## OPERATORI COMPOSTI

Servono a eseguire operazioni come incrementare il valore di una variabile.

**++** - Incremento.

*Esempio: incrementa di uno il valore di "val" (val++ è come scrivere val = val+1)*

```
val++;
```

**--** - Decremento.

**+=** - Addizione composta.

*Esempio: incrementa di "y" il valore "val" (val += y è come scrivere val = val+y)*

```
val += y;
```

**-=** - Sottrazione composta.

**\*=** - Moltiplicazione composta.

**/=** - Divisione composta.

## LE FUNZIONI DI INPUT E OUTPUT

Sono le funzioni necessarie all'utilizzo dei pin I/O di Arduino.

**pinMode ( )** - Serve a definire se intendiamo utilizzare un pin come ingresso o come uscita.

*Esempio: classico esempio di lampeggio di un led, in questo caso definisco il pin "ledPin" come uscita (OUTPUT) perché devo collegarci un led che è un dispositivo di uscita.*

*Se collegassi un pulsante avrei dovuto definirlo come ingresso (INPUT)*

```
int ledPin = 13;
```

```
void setup()
```

```
{  
pinMode ( ledPin, OUTPUT );  
}
```

```
void loop()
```

```
{  
digitalWrite ( ledPin, HIGH );  
delay ( 1000 );  
digitalWrite ( ledPin, LOW );  
delay ( 1000 );  
}
```

**digitalWrite ( )** - Permette di scrivere un valore su un pin digitale. Tipicamente viene usato per portare un pin di uscita a livello alto (5 Volt su Arduino Uno) o basso (0 Volt).

Può anche essere usato per forzare un pin di ingresso a livello alto o basso, tramite le resistenze di pull-up interne ad Arduino.

*Esempio di utilizzo: accende il led interno collegato al pin 13*

```
digitalWrite ( ledPin, HIGH );
```

**digitalRead ( )** - Consente di leggere il valore di un pin, essendo digitale il valore può assumere solo 2 valori: alto (HIGH) o basso (LOW)

*Esempio: leggi lo stato di un pulsante, successivamente accendi un led se il pulsante è premuto, spegnilo se il pulsante è a riposo.*

```
int ledPin = 13;
```

```
int pulsantePin = 3;
```

```
int val = 0;
```

```
void setup()
```

```
{
```

```
pinMode ( ledPin, OUTPUT );  
pinMode ( pulsantePin, INPUT );  
}
```

```
void loop()  
{  
val = digitalRead ( pulsantePin );  
digitalWrite ( ledPin, val );  
}
```

**analogRead ( )** - Legge la tensione applicata su un pin di ingresso analogico.

Il valore di questa tensione può andare da 0 a 5V e viene acquisita da Arduino come un valore su una scala tra 0 e 1023.

**analogWrite ( )** - Manda in uscita una tensione 0 - 5 Volt modulata in PWM. Questa tensione viene vista da molti utilizzatori (ad esempio un led) come una tensione variabile.

Per ottenere ciò dobbiamo scrivere nel campo del valore un numero tra 0 e 255, dove 0 è il led spento e 255 è il led acceso alla massima luminosità.

*Esempio: leggendo il valore analogico di un potenziometro collegato al pin 3 si otterrà un valore con un range da 0 a 1023.*

*Dividiamo questo numero per 4 (quindi circa 255) e portiamolo in uscita ad un led collegato su un pin pwm (ad esempio il 9).*

*Otterremo una regolazione della luminosità del led girando il potenziometro.*

```
int ledPin = 9;  
int potenziometroPin = 3;  
int val = 0;  
  
void setup()  
{  
pinMode ( ledPin, OUTPUT );  
}  
  
void loop()  
{  
val = analogRead ( potenziometroPin );  
analogWrite ( ledPin, val / 4 );  
}
```

## FUNZIONI TEMPORALI

Queste funzioni sono quelle che ci permettono di mettere in pausa il programma o di conoscerne il tempo trascorso dal suo avvio

**millis ( )** - Restituisce il numero in millisecondi trascorsi da quando il programma è partito.

*Esempio: stampa sul monitor seriale il tempo trascorso dall'avvio del programma*

*unsigned long tempo;*

```
void setup()
{
  Serial.begin(9600);
}
void loop()
{
  Serial.print("Time: ");
  tempo = millis();
  Serial.println(tempo); // va a capo
  delay(1000);
}
```

**micros ( )** - Stessa cosa di millis ma in microsecondi.

**delay ( )** - Mette in pausa il programma per il valore (in millisecondi) che inseriamo tra parentesi.

*Esempio: anche qui metto l'esempio di un lampeggio di un led.*

*Il led viene acceso, passano 1000 millisecondi (1 secondo) poi si spegne, passano altri 1000 millisecondi e il loop riparte.*

```
int ledPin = 13;

void setup()
{
  pinMode(ledPin, OUTPUT); // sets the digital pin as output
}

void loop()
{
  digitalWrite(ledPin, HIGH);
  delay(1000);
  digitalWrite(ledPin, LOW);
  delay(1000);
}
```

**delayMicroseconds ( )** - Stessa cosa di delay ma in microsecondi.

## FUNZIONI MATEMATICHE

**min ( x, y )** - Calcola il valore più piccolo fra x e y.

*Esempio: assegna alla variabile "Val" il valore più piccolo tra 3 e 10*

*Val = min ( 3, 10 );*

**max ( x, y )** - Calcola il valore più grande fra x e y.

**abs ( x )** - Calcola il valore assoluto di x.

**constrain ( x, a, b )** - Restituisce il valore "x" solo se è compreso tra i valori "a" e "b".

Se "x" è più piccolo di "a" restituisce "a" se invece è più grande di "b" restituisce "b".

*Esempio: limita il valore di un sensore "sensVal" tra 10 e 150, se "sensVal" è compreso tra i due valori allora lascia "sensVal" invariato.*

*sensVal = constrain ( sensVal, 10, 150 );*

**map ( value, fromLow, fromHigh, toLow, toHigh )** - Cambia il range di un valore.

*Esempio: converti un valore con range 0 - 1000 in un valore con range 0 - 200.*

*Se "variabile" vale 10, "valore" sarà 2.*

*valore = map ( variabile, 0, 1000, 0, 200 );*

**pow ( base, exponent )** - Indicando la base e l'esponente, esegue l'elevazione a potenza di un numero. Funziona anche con una frazione come esponente.

**sqrt ( x )** - Calcola la radice quadrata del numero x.

## FUNZIONI TRIGONOMETRICHE

La funzioni trigonometriche di base di Arduino

**sin ( rad )** - Calcola il seno di un angolo (in radianti).

**cos ( rad )** - Calcola il coseno di un angolo (in radianti).

**tan ( rad )** - Calcola il valore della tangente di un angolo (in radianti).

## NUMERI CASUALI

Ottenere numeri "random" da Arduino

### **randomSeed (seed)**

La sequenza di numeri casuali di arduino è una catena di numeri, molto lunga ma limitata. Infatti pur essendo i numeri non collegati tra di loro ha la limitazione che l'ordine di questi numeri casuali è sempre lo stesso. Il comando randomSeed avvia la sequenza in un punto ben preciso, infatti al posto di "seed" va inserito un numero.

Se si vuole partire da un punto casuale basta inserire la lettura di un pin analogico non collegato a nulla, l'instabilità su quel pin genererà ad ogni loop un valore di lettura diverso.

**random ( min, max )** - Questa funzione restituisce un numero intero, di valore compreso fra min e max-1. Se min non è specificato il valore minimo restituito sarà 0.

*Esempio:*

*stampa su monitor seriale un numero casuale, compreso tra 0 e 299.*

```
long randNumber;
void setup()
{
  Serial.begin (9600);
  randomSeed ( analogRead (0) );
}

void loop()
{
  randNumber = random (300);
  Serial.println (randNumber);
  delay(50);
}
```

## COMUNICAZIONE SERIALE

Si utilizzano per inviare e ricevere dati tra Arduino e il PC tramite un cavo USB.

**Serial.begin ( speed )** - Serve ad impostare la velocità della comunicazione tra arduino e pc. Generalmente si usa 9600 bps (bit al secondo) ma si possono impostare anche altre velocità, fino a 115.200 bps.

*Esempio: inizializza la porta seriale a 9600 bps*

```
Serial.begin(9600);
```

**Serial.print ( val, format )** - Invia un valore al pc tramite la comunicazione seriale. Il formato indica il sistema numerico utilizzato.

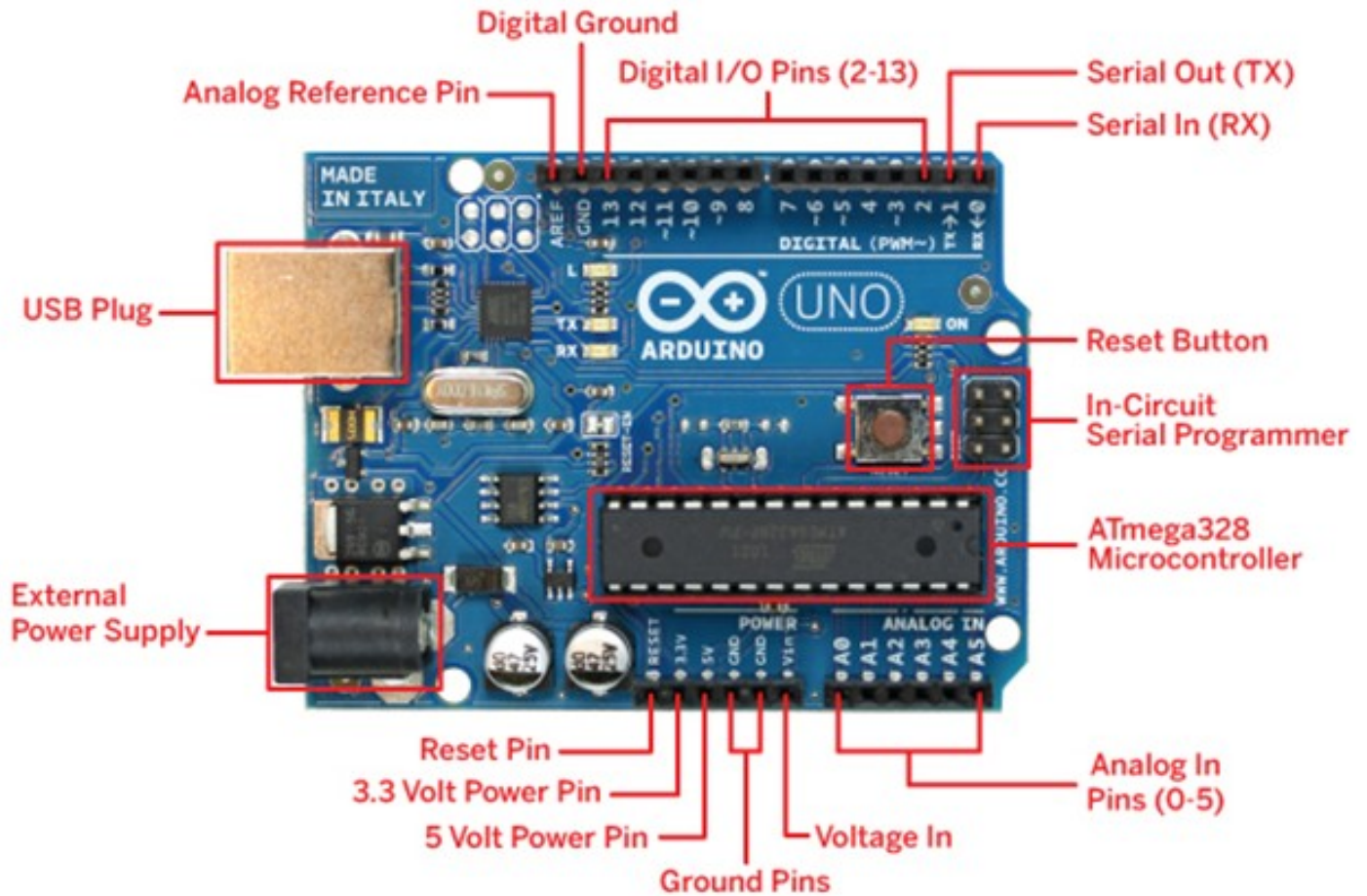
*Esempio:*

```
Serial.print(32); // stampa sul serial monitor 32.
Serial.Print(32, DEC); // stampa 32 in decimale (32)
Serial.Print(32, HEX); // stampa 32 in esadecimale (20)
Serial.Print(32, OCT); // stampa 32 in ottale (40)
Serial.Print(32, BIN); // stampa 32 in binario (100000)
// stampa il valore associato al numero 32 nella tabella ASCII ( carattere spazio)
Serial.Print(32, BYTE);
```

**Serial.println ( val, format )** - Invia un valore al pc con in coda il carattere "A CAPO"



# AUTOMAZIONE CON ARDUINO



## CARATTERISTICHE E LIMITI

I pin digitali possono leggere e generare tensioni di 5V (0V=LOW, 5V=HIGH).

I pin analogici (A0-A5) possono leggere tensioni variabili fra 0-5V con risoluzione 10 bit ( $2^{10} \rightarrow 0-1023$ ).

I pin PWM possono generare *finiti* segnali analogici variabili fra 0-5V con risoluzione 8 bit (0-255).

La corrente erogata dal singolo pin può arrivare a 30-40 mA.

Complessivamente la corrente che si prelevare da una scheda Arduino UNO deve superare I 300-400 mA.

## LIVELLI LOGICI

### TTL (TRANSISTOR-TRANSISTOR LOGIC):

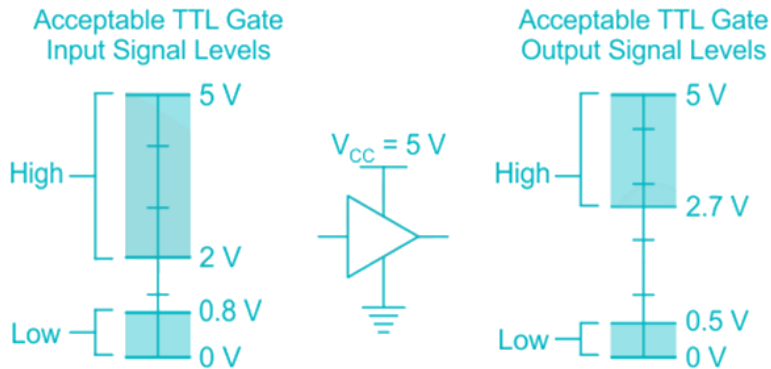
A TTL input signal is defined as "low" when between 0 V and 0.8 V with respect to the ground terminal.

A TTL input signal is defined as "high" when between 2 V and 5 V.

if a voltage signal ranging between 0.8 V and 2.0 V is sent into the input of a TTL gate, there is no certain response from the gate and therefore it is considered "uncertain" (precise logic levels vary slightly between sub-types and by temperature).

TTL outputs are typically restricted to narrower limits of between 0.0 V and 0.4 V for a "low".

TTL outputs are typically restricted to narrower limits of between 2.4 V and 5 V for a "high", providing at least 0.4 V of noise immunity.

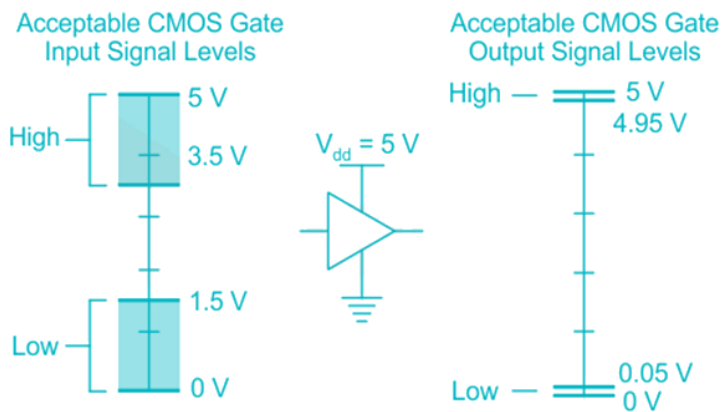


### CMOS (COMPLEMENTARY METAL-OXIDE-SEMICONDUCTOR)

For a CMOS gate operating at a power supply voltage of 5 volts,

The acceptable input signal voltages range from 0 volts to 1.5 volts for a "low" logic state and 3.5 volts to 5 volts for a "high" logic state.

Acceptable output signal voltages range from 0 volts to 0.05 volts for a "low" logic state, and 4.95 volts to 5 volts for a "high" logic state:



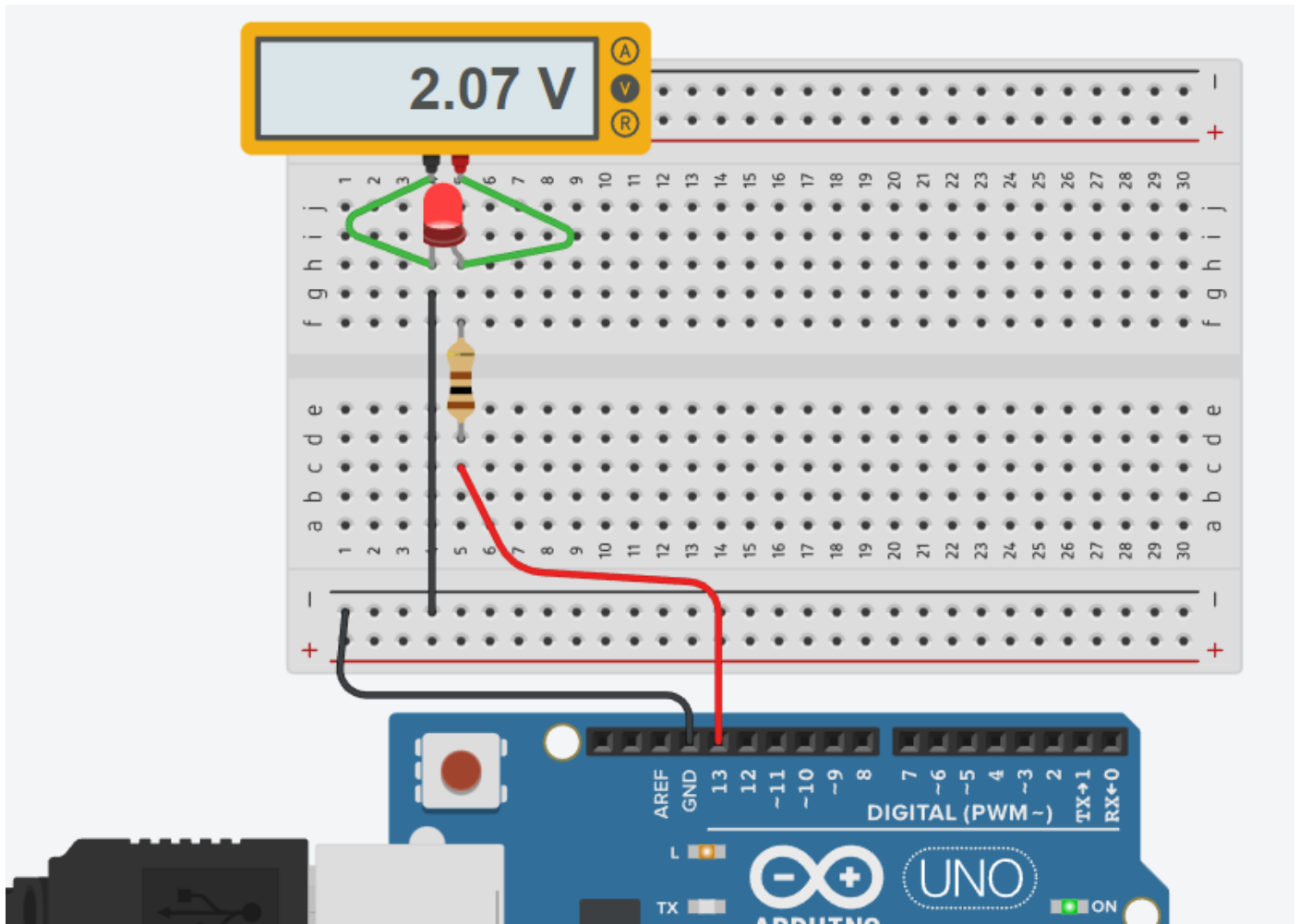
Specifications	TTL	ECL	CMOS
FAN IN	12-14	> 10	> 10
FAN OUT	10	25	50
power dissipation (mW)	10	75	0.001
Noise margin	0.5	0.16(least)	1.5 (highest)
Propagation delay(ns)	10	>3	15
Noise immunity	very good	good	excellent

## DIODO LED

Il Led è un componente elettronico costituito da una giunzione P-N con arseniuro di gallio o con fosforo di gallio che emette luce quando attraversato da una corrente compresa tra 10 e 30mA (dall'anodo al catodo).

La caduta di tensione ai capi del Led è di circa 2V (dipende dal colore del Led).

Il circuito sottostante accende e spegne il Led con una frequenza di 1 sec. .

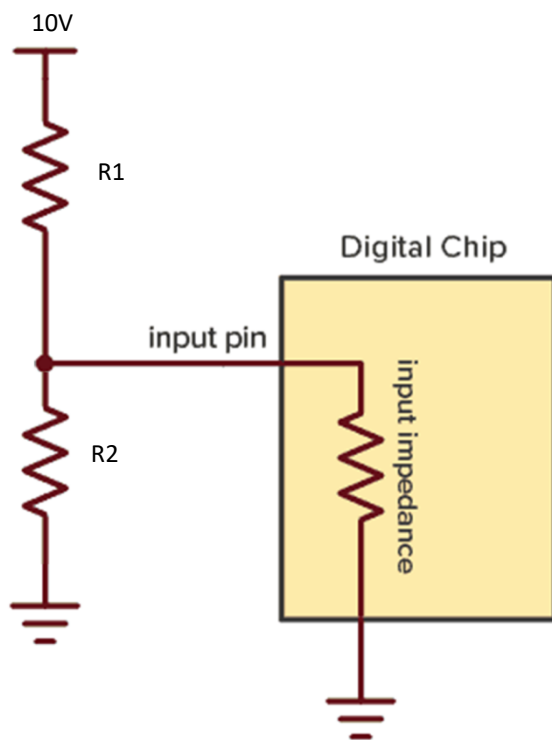


### CODICE

```
void setup()
{
  pinMode(LED_BUILTIN, OUTPUT);
}

void loop()
{
  digitalWrite(LED_BUILTIN, HIGH);
  delay(1000); // Wait for 1000 millisecond(s)
  digitalWrite(LED_BUILTIN, LOW);
  delay(1000); // Wait for 1000 millisecond(s)
}
```

Ai pin di Arduino non è possibile applicare tensioni superiori a 5V (si danneggerebbero).  
Di conseguenza è necessario ridurre una tensione >5V mediante un partitore di tensione.



I pin dei MCU presentano impedenze oltre a 1M ohm

Fissando  $R1=R2= 10k$  sulla R2 otteniamo 5V. Però in parallelo alla R2 abbiamo l'impedenza del PIN.

### **Cosa cambia?**

In pratica nulla perché 1M in parallelo a 1k danno una resistenza di ancora 1K e quindi all'ingresso del PIN rileviamo (mediante altro circuito interno) 5V.

### **Calcoli:**

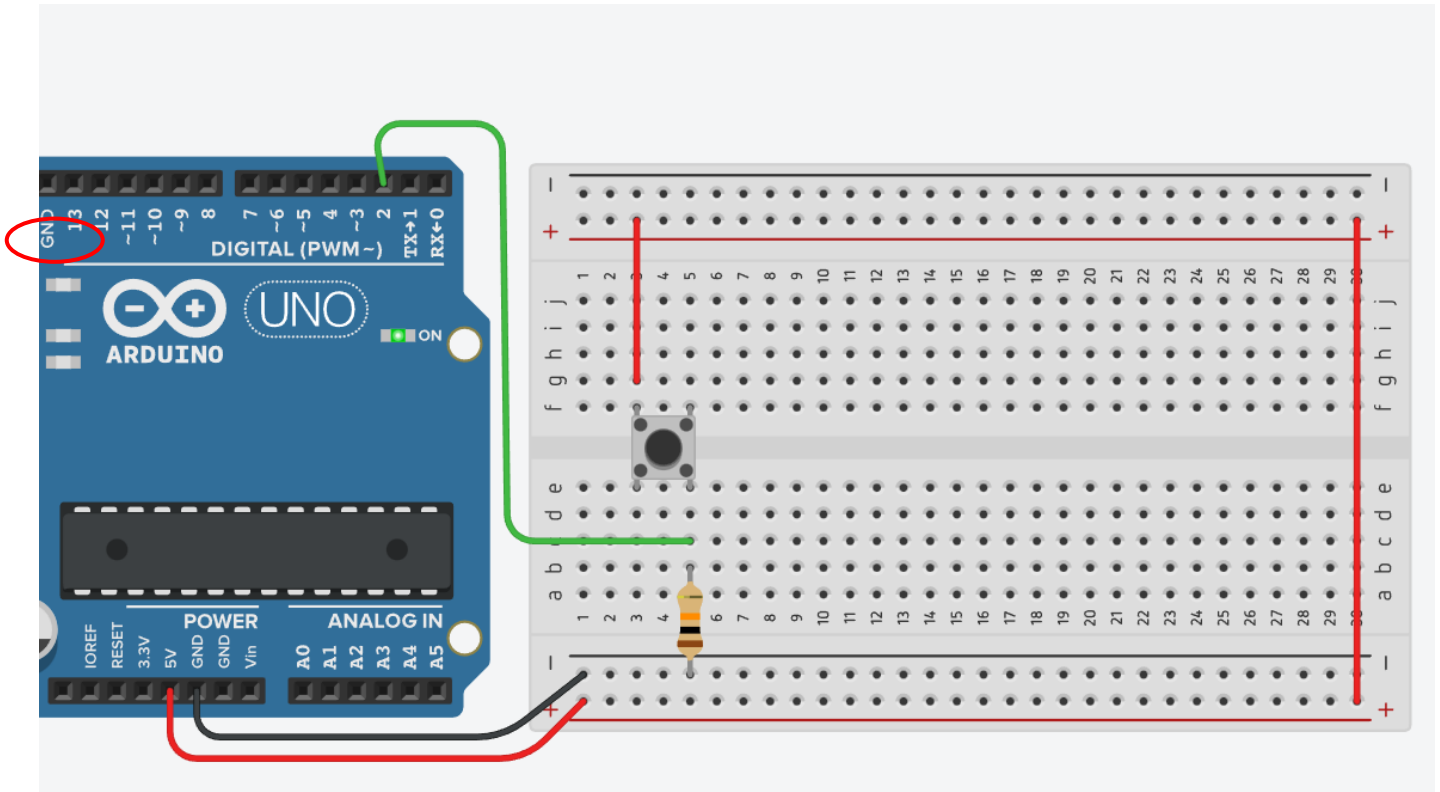
$$R_{eq} = (1/R1 + 1/impedenza)^{-1} = (1/1000 + 1/1000000)^{-1} = 999 \text{ ohm}$$

$$V_{out} = V_{cc} * 999 / (1000 + 999) = 4,997 \text{ V}$$

## PULSANTE (PUSH BUTTON)

*E' un pulsante che non mantiene lo stato se viene rilasciato.*

Lo schema mostra come utilizzare il pulsante in modalità NA (normalmente aperto) per accendere il LED interno di Arduino. La resistenza serve a proteggere il pin 2 nel caso in cui non fosse impostato come INPUT.



### CODICE

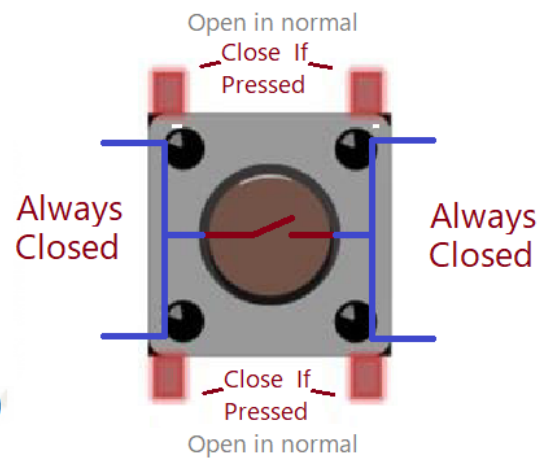
```
int buttonState = 0;

void setup()
{
  pinMode(2, INPUT);
  pinMode(LED_BUILTIN, OUTPUT);
}

void loop()
{
  // read the state of the pushbutton value
  buttonState = digitalRead(2);
  // check if pushbutton is pressed.
  if (buttonState == HIGH) {
    // turn LED on
    digitalWrite(LED_BUILTIN, HIGH);
  } else {
    // turn LED off
    digitalWrite(LED_BUILTIN, LOW);
  }
  delay(10); // Delay a little bit to improve simulation performance
}
```



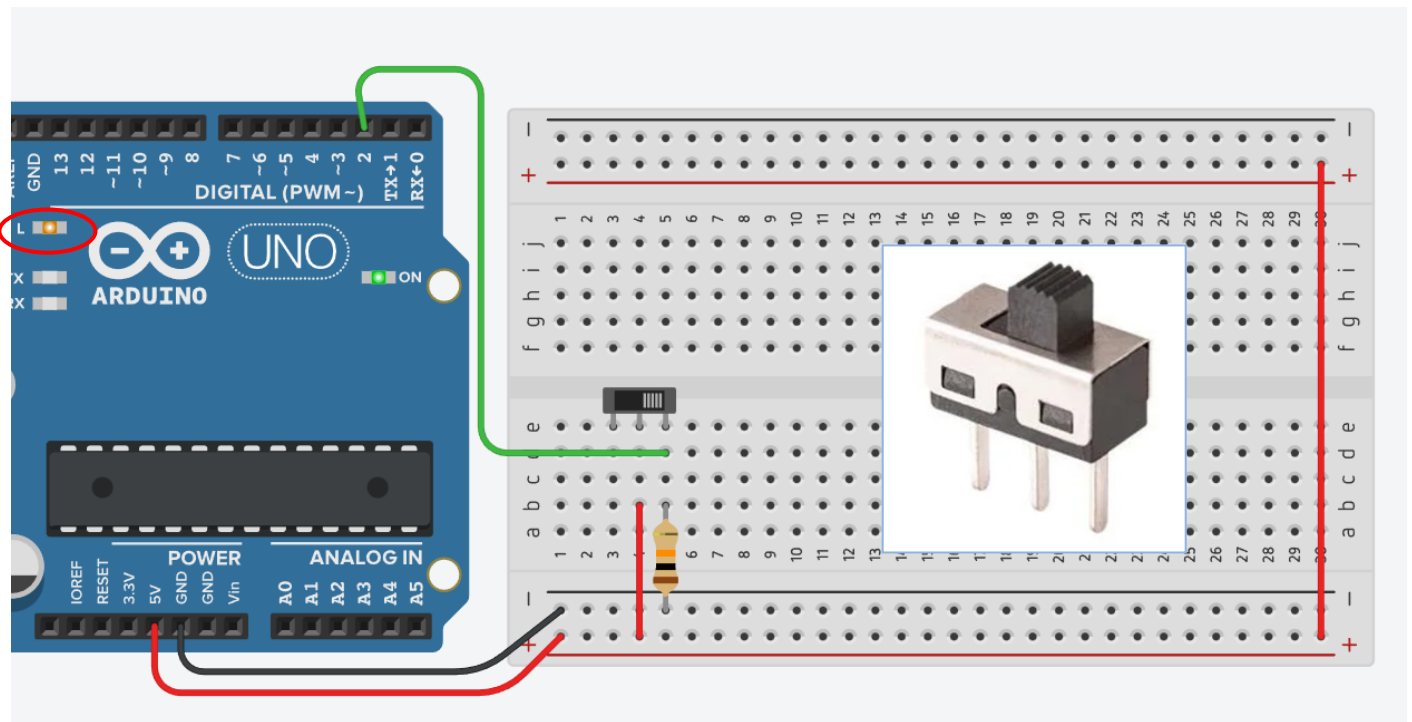
Push Button (4 Pins)



## INTERRUTTORE (SLIDER)

E' un pulsante che mantiene lo stato se viene rilasciato.

Lo schema mostra come utilizzare il pulsante in modalità NA (normalmente aperto) per accendere il LED interno presente sulle schede Arduino. La resistenza in serie all'interruttore è fondamentale per limitare la corrente in uscita da Arduino quando l'interruttore viene chiuso.



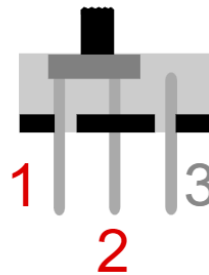
### CODICE

```
int buttonState = 0;

void setup()
{
  pinMode(2, INPUT);
  pinMode(LED_BUILTIN, OUTPUT);
}

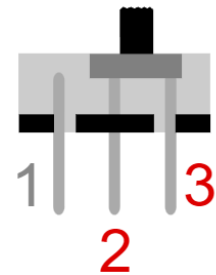
void loop()
{
  // read the state of the pushbutton value
  buttonState = digitalRead(2);
  // check if pushbutton is pressed.
  if (buttonState == HIGH) {
    // turn LED on
    digitalWrite(LED_BUILTIN, HIGH);
  } else {
    // turn LED off
    digitalWrite(LED_BUILTIN, LOW);
  }
  delay(10); // Delay a little bit to improve simulation performance
}
```

Left  
Position



APERTO  
PIN Arduino  
legge massa

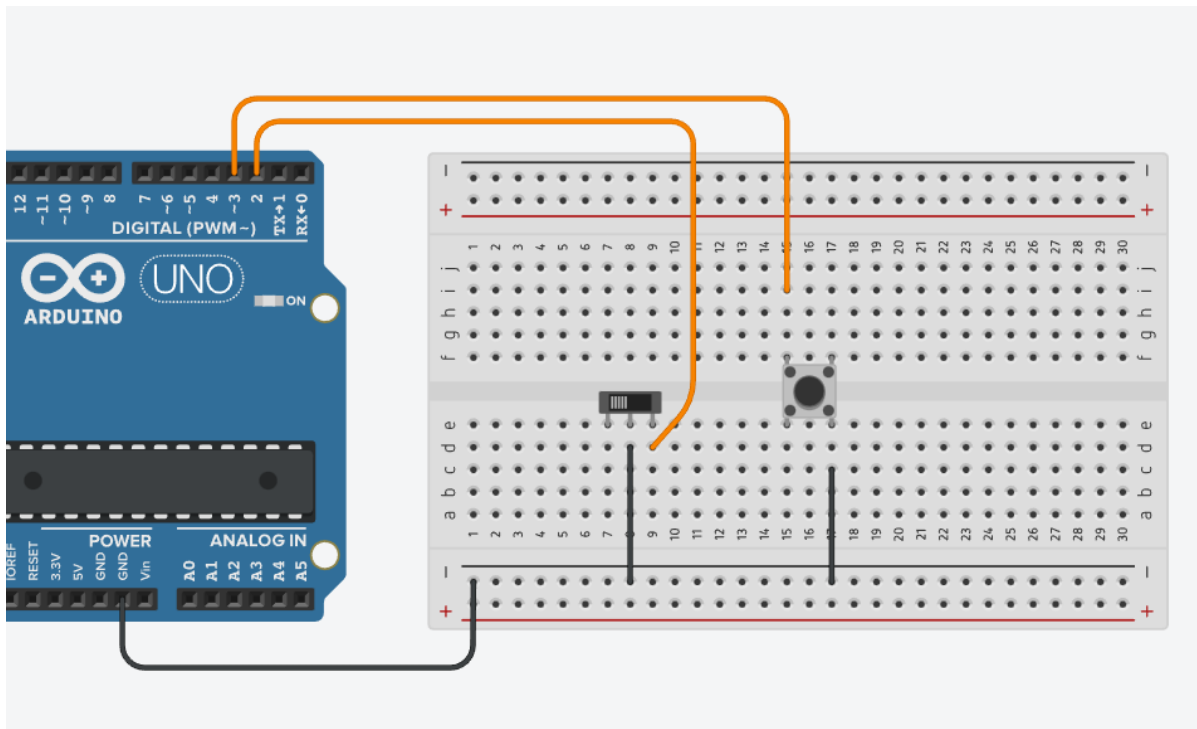
Right  
Position



CHIUSO  
PIN Arduino  
legge 5V

## INTERRUTTORE E PULSANTE IN MODALITA' PULL-UP (LOGICA INVERSA)

Si evita l'utilizzo di resistenze esterne usando quelle interne di Arduino connesse ai PIN digitali.  
Bisogna prestare attenzione a leggere l'ingresso: HIGH quando l'interruttore è aperto e LOW quando è chiuso.



### CODICE

```
void setup() {
  Serial.begin(9600);
  //configure pin 2-3 as an input and enable the internal pull-up resistor
  pinMode(2, INPUT_PULLUP);
  pinMode(3, INPUT_PULLUP);
  pinMode(LED_BUILTIN, OUTPUT); // PIN13
}

void loop() {
  int button1 = digitalRead(2);
  Serial.println(button1);

  int button2 = digitalRead(3);
  Serial.println(button2);

  // Con il pullup la logica è invertita, significa il pulsante
  //va HIGH quando è aperto e LOW quando viene premuto.
  // Attivare il pin 13 quando il pulsante è premuto e spento quando non lo è:

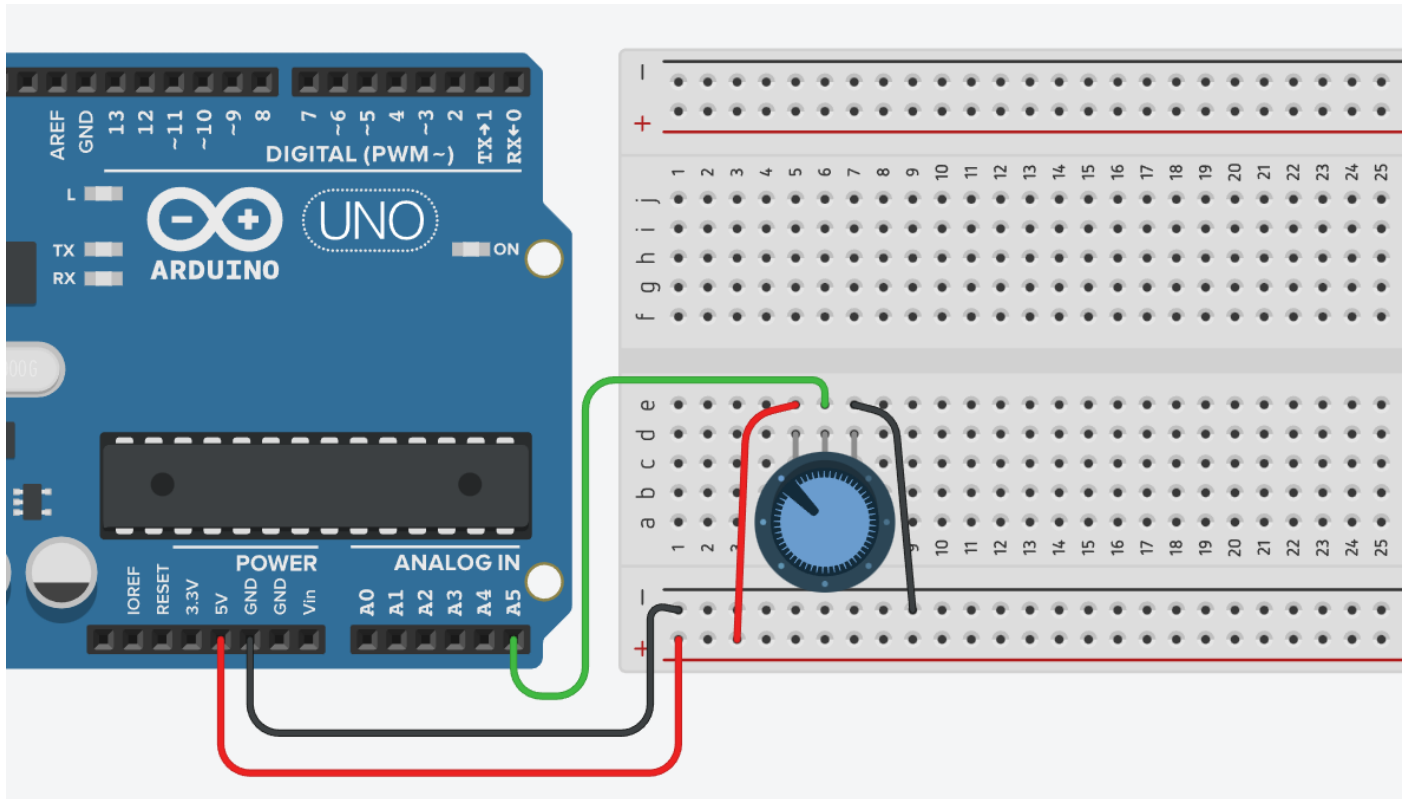
  if (button1 == LOW || button2 == LOW) {
    digitalWrite(LED_BUILTIN, HIGH);
  }
  else {
    digitalWrite(LED_BUILTIN, LOW);
  }

  delay(100);
}
```

## POTENZIOMETRO

Il potenziometro è un dispositivo elettrico equivalente ad un partitore di tensione resistivo variabile (cioè a due resistori collegati in serie, aventi la somma dei due valori di resistenza costante, ma di cui può variare il valore relativo).

Può essere usato per generare un segnale di controllo analogico (0-5V) per regolare degli attuatori (es. luminosità di un LED, velocità di un motore ecc.).



### CODICE

```
int sensorValue = 0;

void setup()
{
  pinMode(A5, INPUT);
  Serial.begin(9600); // ATTIVA LA COMUNICAZIONE SERIALE
}

void loop()
{
  // read the input on analog pin 0:
  sensorValue = analogRead(A5);
  // print out the value you read:
  Serial.print("Valore analogico: ");
  Serial.println(sensorValue); // VA A CAPO
  Serial.print("Volt: ");
  Serial.println(sensorValue * 5.0/1024.0);

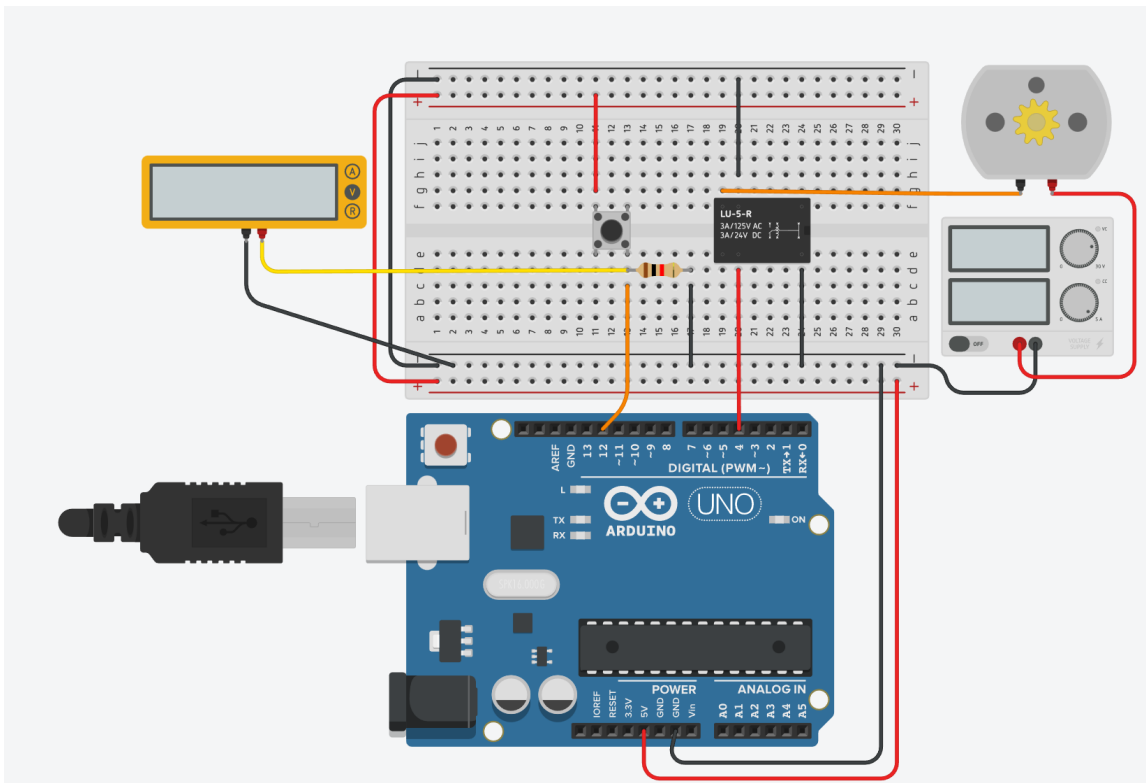
  delay(1000); // Delay a little bit to improve simulation performance
}
```

### MONITOR SERIALE

```
Valore analogico: 1023

Volt: 5.00
Valore analogico: 1023
```

Attivare un motore CC tramite un relè quando viene premuto un pulsante di START.



### CODICE

```
int pinAvvio = 12;
int pinRele= 4;
int stato_bottone=LOW;

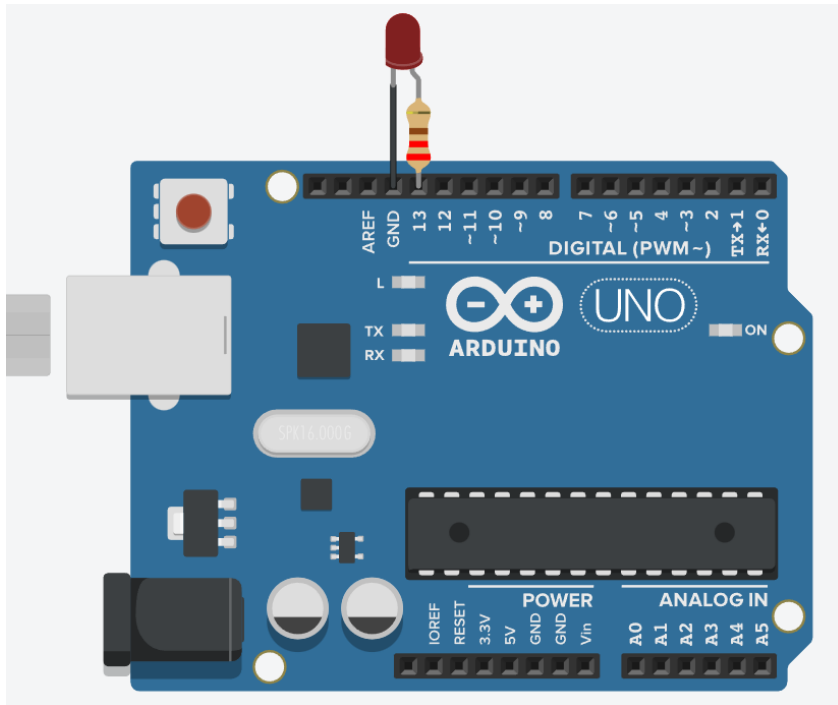
void setup()
{
  pinMode(pinAvvio, INPUT);
  pinMode(pinRele, OUTPUT);
}

void loop()
{
  stato_bottone= digitalRead(pinAvvio);
  if (stato_bottone ==HIGH)
  {
    digitalWrite(pinRele, HIGH);
  }
  else
  {
    digitalWrite(pinRele, LOW);
  }
}
```

## VALUTAZIONE DEL TEMPO TRASCORSO CON ARDUINO MILLISECOND()

Per valutare il tempo trascorso in Arduino si deve impiegare la funzione “millis()” che ritorna il numero di millisecondi trascorsi dall’accensione di arduino. Questo tempo va salvato in una variabile di tipo **long** ( $2^{32}$  → da -2.147.483.648 a 2.147.483.647).

Bisogna prestare attenzione al fatto che “millis()” non torna l’ora attuale ma l’intervallo di tempo trascorso dall’accensione e quindi va usata per valutare se è trascorso un determinato intervallo di tempo!



### CODICE

```
const int ledPin = 13;
int ledState = 0;
long previousMillis = 0; // ultimo tempo di aggiornamento del LED
long dt = 0;

// const indica che non varia
const long interval = 1000; // intervallo di blink (milliseconds)

void setup() {
  pinMode(ledPin, OUTPUT);
}

void loop() {
  long currentMillis = millis();
  dt= currentMillis – previousMillis;

  if (dt >= interval) {
    previousMillis = currentMillis; // save the last time you blinked the LED

    // if the LED is off turn it on and vice-versa:
    if (ledState == LOW) { ledState = HIGH; }
    else { ledState = LOW; }

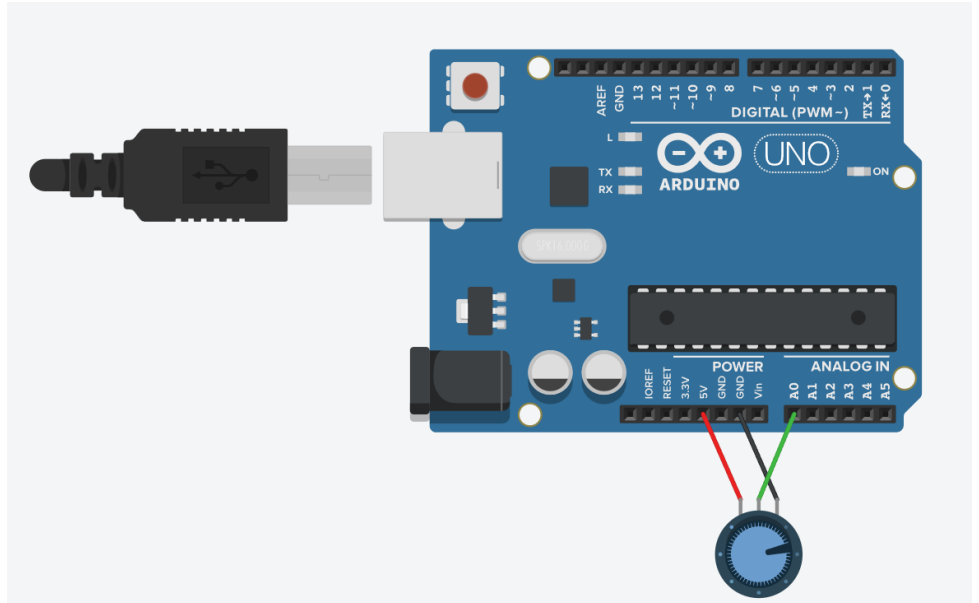
    // set the LED with the ledState of the variable:
    digitalWrite(ledPin, ledState);
  }
}
```

In generale quando si deve acquisire un dato analogico da un sensore è preferibile effettuare più letture a breve distanza una dall'altra (il breve dipende dal tempo di risposta del sensore) in modo da mediare eventuali errori di lettura o variazioni indesiderate dovute a disturbi esterni. Anche in questo caso è necessario utilizzare la funzione "millis()".

Nell'esempio sottostante viene effettuata la lettura del potenziometro per 5 volte ad intervalli di 1 sec. Al termine delle 5 letture (si utilizza una variabile contatore "n" per tenere traccia delle letture effettuate) viene calcolata la media che viene stampata a schermo.

Da notare che ad ogni intervallo (dentro il blocco "if ( dt > 1000) { " va incrementato il contatore e aggiornato il tempo della lettura fatta.

Dopo le 5 letture va resettato sia il contatore che il valore della media!



Un potenziometro che permette di regolare la tensione sul pin A0 da 0-5V è il componente adatto a simulare un sensore analogico con uscita in tensione.

### CODICE

```
int sensorValue = 0;
int sensorValueM = 0;
int n=0;
long t0=0;
long dt=0;

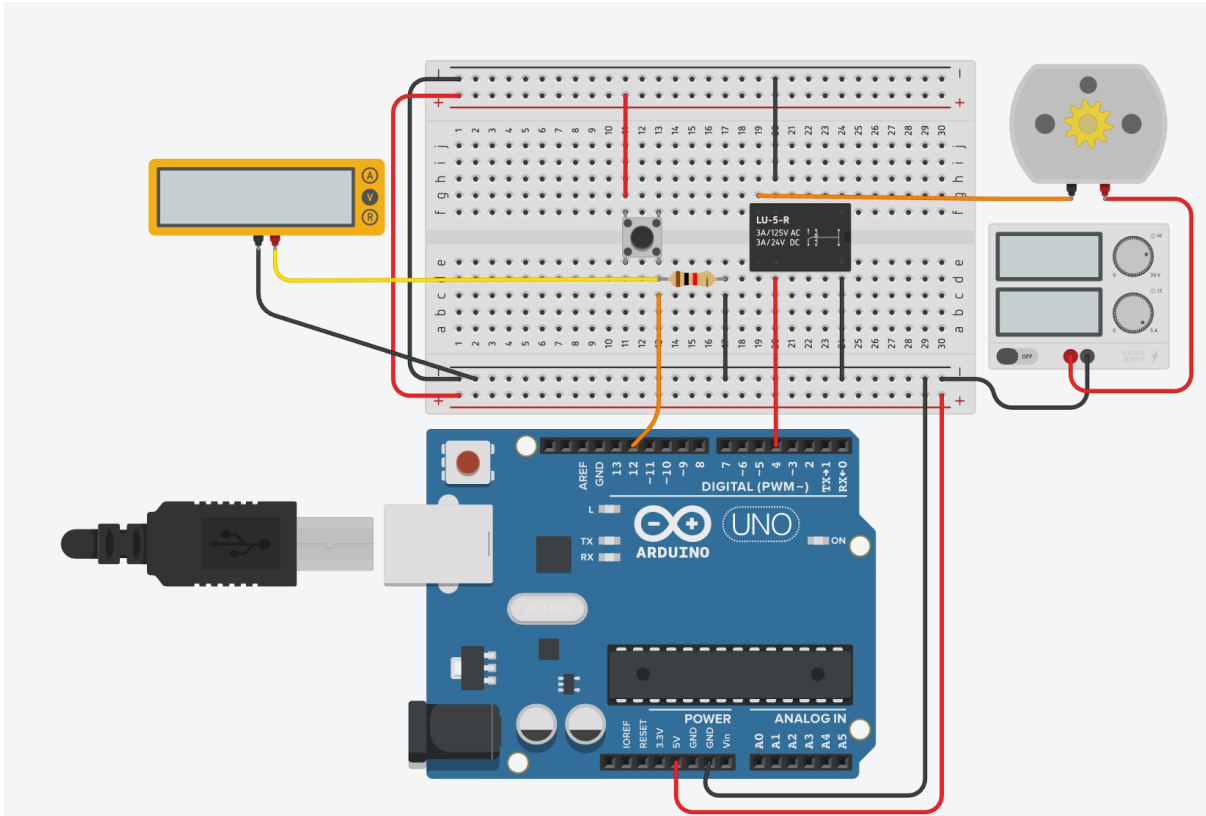
void setup()
{
  pinMode(A0, INPUT);
  Serial.begin(9600);
}

void loop()
{
  dt = millis() - t0;
  // leggo sensore ogni 1 sec
  if ( dt > 1000) {
    sensorValue = analogRead(A0);
    sensorValueM = sensorValueM + sensorValue;
    Serial.print("Sensore "); Serial.println(sensorValue);
    n= n+1; // contatore
    t0= millis(); // tempo attuale
  }

  if (n>=5) {
    sensorValueM = sensorValueM / 5;
    Serial.print("Media "); Serial.println(sensorValueM);
    n=0;
    sensorValueM = 0;
  }
  delay(10); // 10ms
}
```

## ESERCIZIO MILLIS()

Attivare un motore DC tramite un relè quando viene premuto per almeno 3 secondi un pulsante di START.



### CODICE

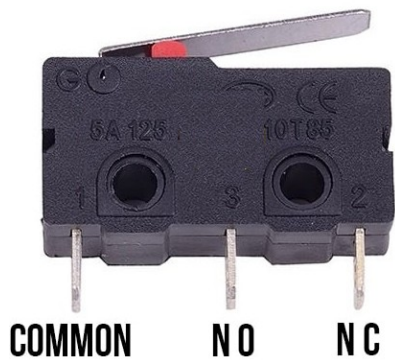
```
int stato_bottone=LOW;
long tempo;
long counter=0;
long delta_t;

void setup()
{
  pinMode(4, OUTPUT); // pin comando relè
  pinMode(12, INPUT); // pin stato bottone
}

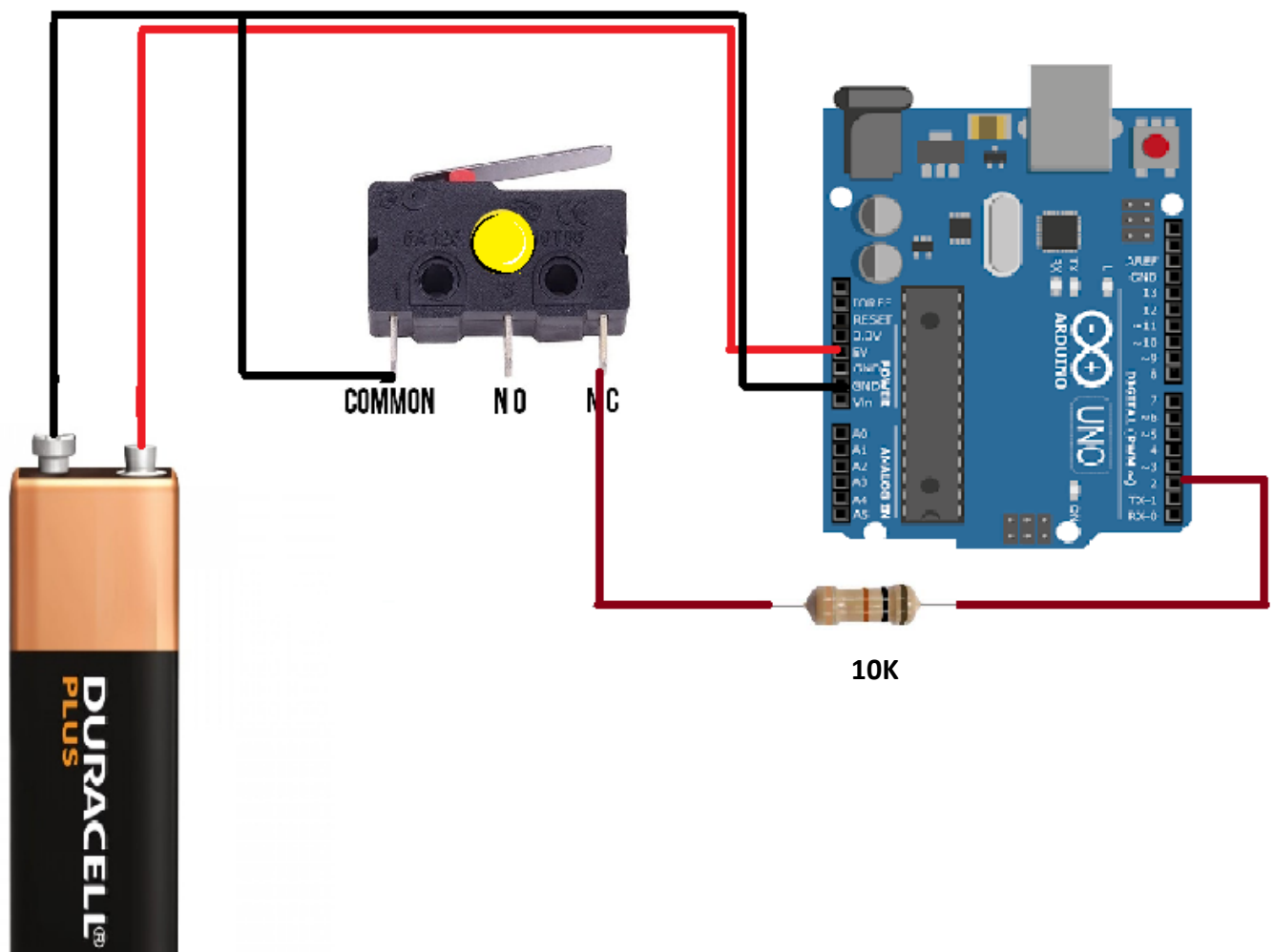
void loop()
{
  stato_bottone= digitalRead(12);
  if (stato_bottone ==HIGH){
    counter++;
    if (counter==1) {tempo = millis();}
    delta_t = millis() - tempo;
    if (delta_t>=3000){ digitalWrite(4, HIGH); }
  }
  else
  {
    tempo = millis();
    digitalWrite(4, LOW);
    counter=0;
  }
}
```

Il finecorsa meccanico ha tre pin:

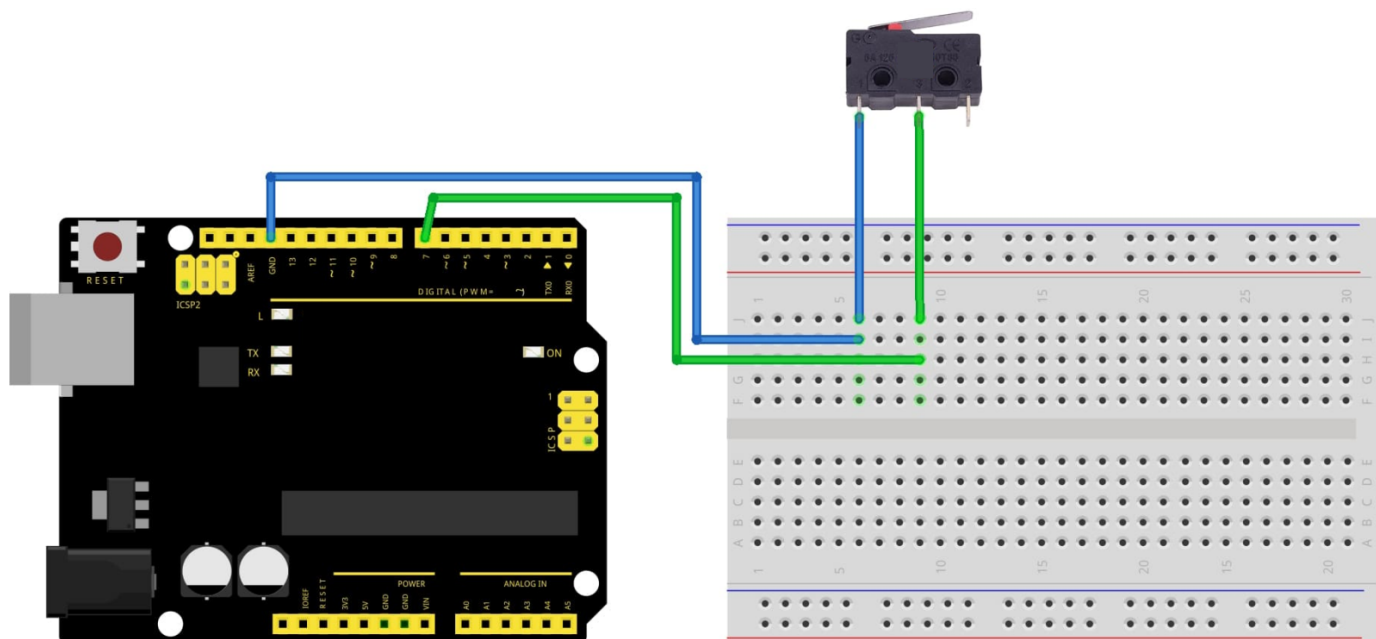
- Comune – Come suggerisce il nome, è il pin comune tra i pin normalmente aperti (NO) e normalmente chiusi (NC).
- Normalmente aperto : normalmente aperto significa che non c'è contatto tra questo pin e il pin comune finché non viene premuto/attivato il finecorsa.
- Normalmente chiuso – Normalmente chiuso significa che c'è sempre contatto tra questo pin e il pin comune. Quando il finecorsa viene premuto/attivato, il contatto viene interrotto.



Il finecorsa è fondamentalmente un interruttore unipolare a due vie (SPDT).



## Schema elettrico dell'interruttore di finecorsa Arduino - Normalmente aperto (è la configurazione più comune).



## Codice Arduino per interruttore di finecorsa normalmente aperto

```
#define LIMIT_SWITCH_PIN 7

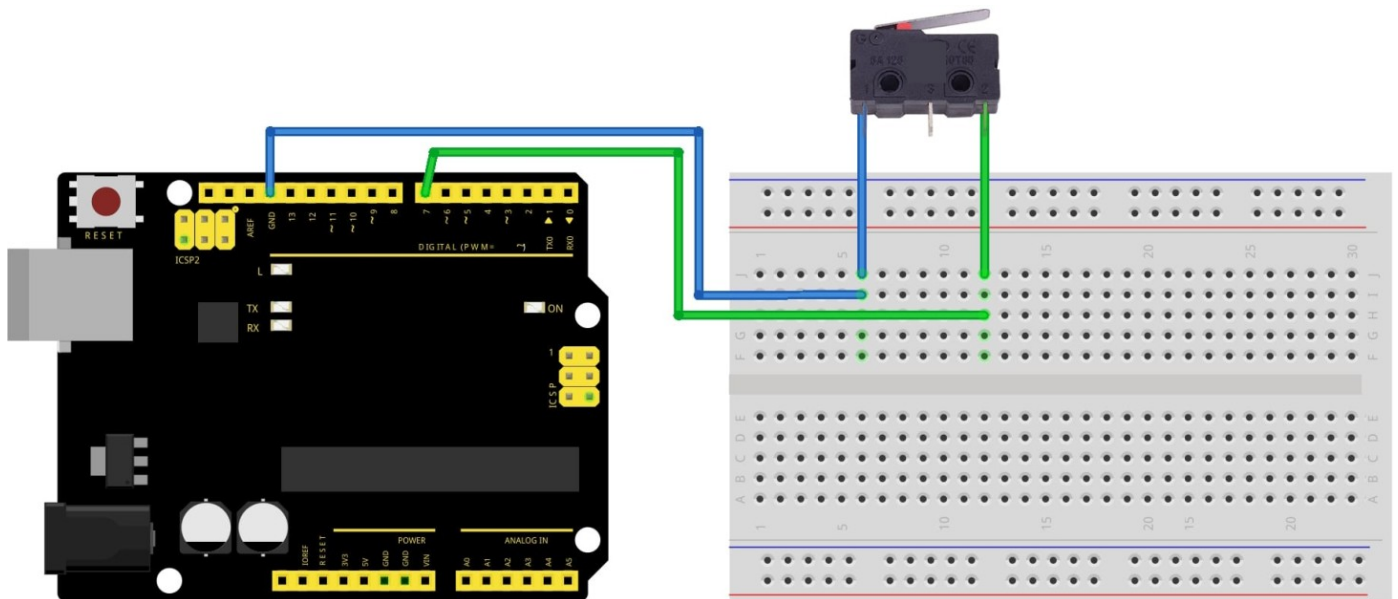
void setup() {
  Serial.begin(9600);
  pinMode(LIMIT_SWITCH_PIN, INPUT_PULLUP);
}

void loop() {
  if (digitalRead(LIMIT_SWITCH_PIN) == HIGH)
  {
    Serial.println("Activated!");
  }

  else
  {
    Serial.println("Not activated.");
  }

  delay(100);
}
```

## Schema elettrico dell'interruttore di finecorsa Arduino - Normalmente chiuso



## Codice Arduino per interruttore di finecorsa normalmente chiuso

```
#define LIMIT_SWITCH_PIN 7

void setup() {
  Serial.begin(9600);
  pinMode(LIMIT_SWITCH_PIN, INPUT_PULLUP);
}

void loop() {

  if (digitalRead(LIMIT_SWITCH_PIN) == LOW)
  {
    Serial.println("Activated!");
  }

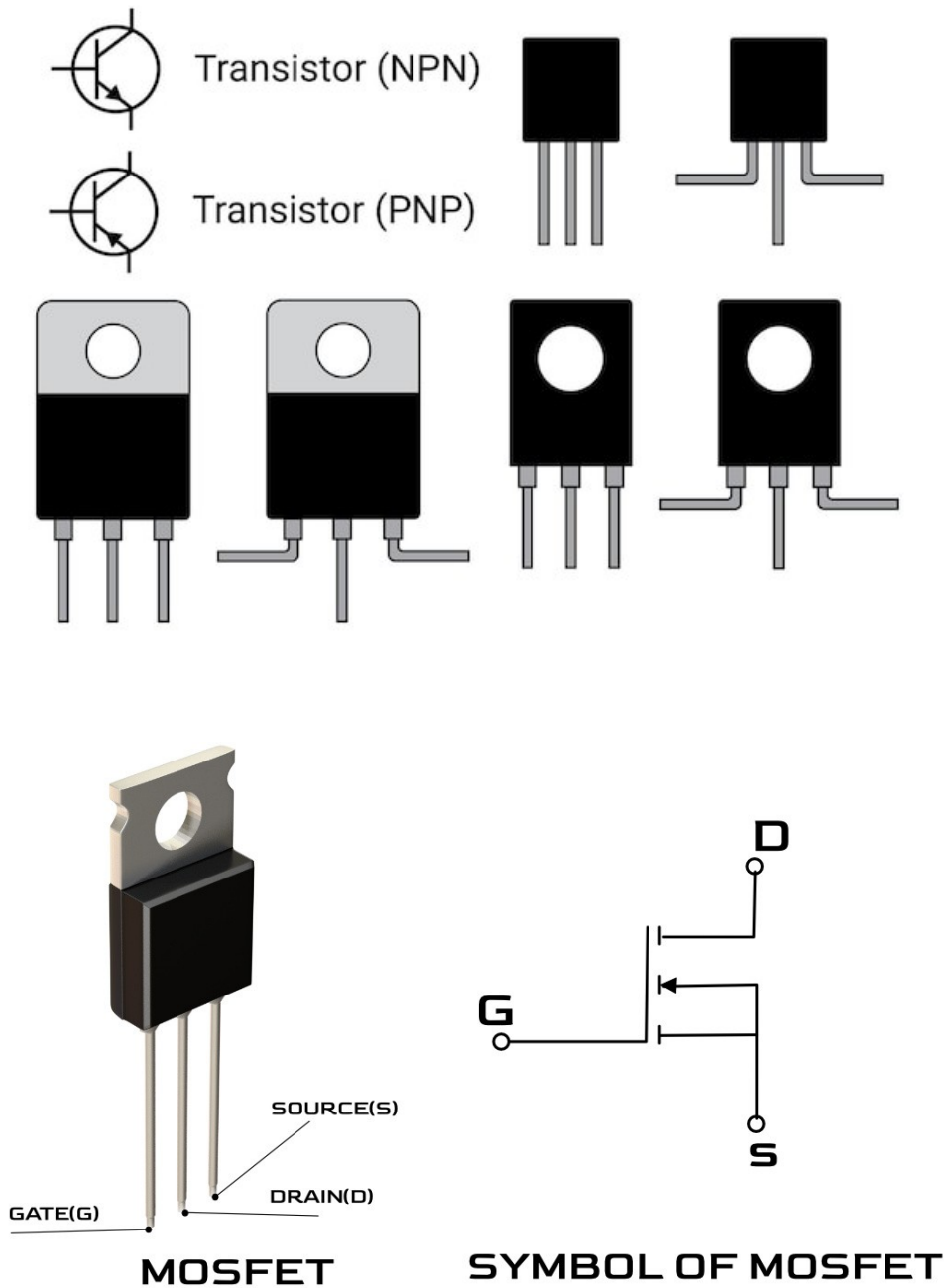
  else
  {
    Serial.println("Not activated.");
  }

  delay(100);
}
```

## IL TRANSISTOR

I transistor si possono dividere in due grandi famiglie:

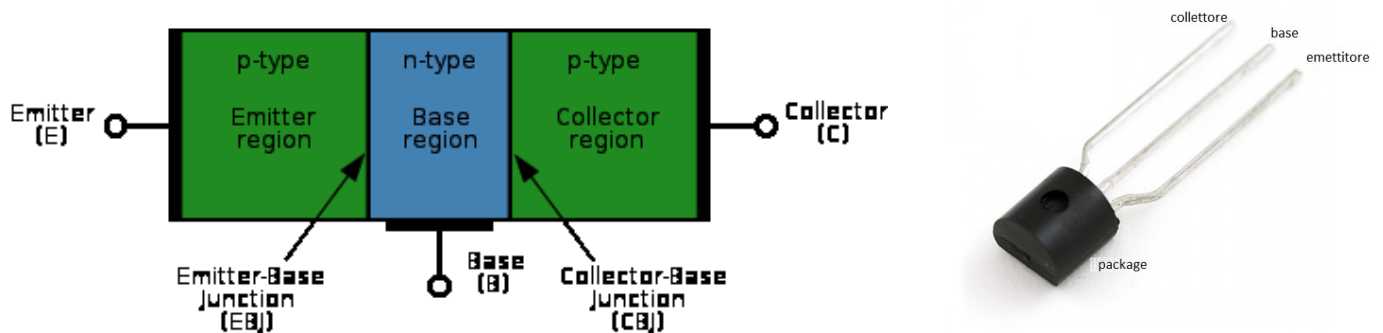
1. la famiglia dei "BJT: bipolar junction transistor"
2. la famiglia dei "MOSFET: metal-oxide-semiconductor-field-effect-transistor" comunemente detto MOS.



## TRANSISTOR BJT (BIPOLAR JUNCTION TRANSISTOR)

La differenza principale tra le due famiglie risiede nella tecnologia con cui vengono realizzati.

Il BJT viene implementato tramite una giunzione bipolare costituita da silicio drogato in maniere differenti in tre zone dette regione di base, regione di collettore e regione di emettitore.

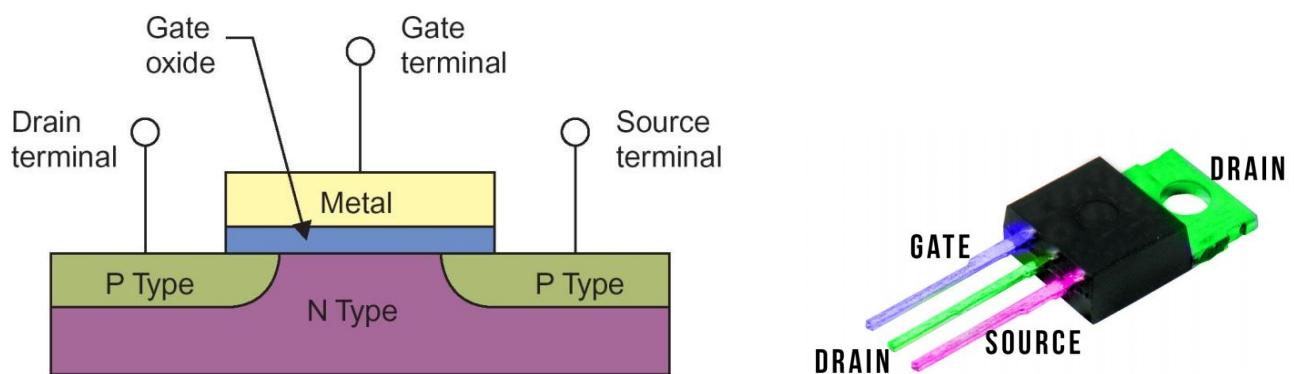


I terminali delle tre regioni vengono metallizzati per creare i contatti che successivamente usciranno dal package del componente per poter essere saldati sulla scheda elettronica.

L'applicazione di tensioni adeguate sui terminali di collettore ed emettitore e l'imposizione di un flusso di corrente nella regione di base fanno funzionare il BJT in una delle sue tre regioni di lavoro: saturazione e interdizione nel caso si voglia farlo lavorare come interruttore, zona lineare nel caso si voglia realizzare un amplificatore.

## TRANSISTOR MOS (MOSFET)

Il MOS (MOSFET) invece è strutturato in maniera differente tramite tre strati: lo strato di metallo, lo strato di ossido e quello di semiconduttore.



Il principio fisico su cui si basa è diverso rispetto a quello del BJT. I terminali sono sempre tre, cambiano solo i nomi: qui abbiamo gate, drain e source.

Come dice il nome stesso del transistor il funzionamento si basa sul cosiddetto effetto di campo che crea un canale in cui possono fluire gli elettroni tra source e drain, quando ai terminali sono applicate le corrette tensioni.

Anche con questo dispositivo le regioni di lavoro sono tre: interdizione e triodo che determinano il funzionamento come interruttore e la saturazione che determina il funzionamento come amplificatore.

## BJT VS MOS (MOSFET): CARATTERISTICHE TECNICHE

Fatta una sintetica panoramica sulle principali tecnologie costruttive, possiamo addentrarci nelle caratteristiche tecniche delle due famiglie di transistor per capire quali siano gli aspetti di maggiore rilievo che fanno pendere l'ago della bilancia dalla parte dei BJT o dalla parte dei MOS.

Nell'ambito digitale, ad esempio dei microprocessori e dei circuiti integrati regna sovrano senza rivali il MOSFET.

La sua caratteristica di essere auto-isolato (auto-isolato: dispositivo che può essere implementato nella stessa regione di silicio assieme ad altri componenti ad esso uguali, senza interferire con il funzionamento dei dispositivi adiacenti, grazie ad un isolamento elettrico dato dal processo produttivo) rende molto facile la connessione in serie o in parallelo di questi dispositivi senza strati di silicio aggiuntivi, operazione che con i BJT non è possibile senza l'aggiunta di strati di silicio tra un transistor e l'altro. Questo riduce notevolmente i costi e la complessità del progetto rendendo il MOS il dispositivo perfetto.

Quando si comincia a parlare di commutazioni, trasferimento di potenza e quindi, di convertitori switching di potenza è opportuno riconsiderare il BJT. Infatti per il trasferimento di potenze maggiori di 1 kW e correnti superiori ai 200 A il MOSFET lascia il posto al BJT (e ad altri componenti ...).

Il BJT infatti regge potenze fino a 2 kW e correnti fino a 500 A. Se per le piccole potenze c'è bisogno di frequenze di commutazione elevate il MOS si rivela un'ottima scelta perché il BJT non sostiene elevate frequenze di commutazione.

Inoltre nei convertitori switching la dimensione dei componenti, come induttori e condensatori, risulta inversamente proporzionale alla frequenza. Per cui se in fase di progetto si decide di mantenere contenute le dimensioni dei componenti aumentando la frequenza di commutazione, con il MOS possiamo andare fino a frequenze di qualche MHz contro i 100 kHz scarsi del BJT.

Altro aspetto in cui il MOSFET vince la battaglia con il BJT è il metodo di controllo.

- nel BJT il circuito di pilotaggio deve essere in grado di dare corrente costante nella base del BJT, operazione non sempre facile soprattutto in fase di commutazione o quando si pilotano carichi che richiedono grandi quantità di corrente.
- il MOS a sua volta deve essere pilotato con una tensione di gate costante molto più facile da ottenere sia in fase di commutazione sia in fase di pilotaggio di carichi che richiedono grandi correnti.

## QUANDO USARE I TRANSISTOR BJT E MOSFET

Nell'elettronica digitale, nei microprocessori e nei circuiti integrati si utilizza il MOSFET.

La sua principale caratteristica è quella di essere auto-isolato: dispositivo che può essere implementato nella stessa regione di silicio assieme ad altri componenti ad esso uguali, senza interferire con il funzionamento dei dispositivi adiacenti, grazie ad un isolamento elettrico dato dal processo produttivo.

Questo facilita la connessione in serie o in parallelo di questi dispositivi senza strati di silicio aggiuntivi, operazione che con i BJT non è possibile senza l'aggiunta di strati di silicio tra un transistor e l'altro. La cosa riduce notevolmente i costi e la complessità del progetto rendendo il MOSFET il transistor utilizzato nella realizzazione dei microchip.

Se abbiamo bisogno di commutazioni, trasferimento di potenza e quindi, di convertitori switch di potenza è ben utilizzare il transistor BJT. Infatti per il trasferimento di potenze maggiori di 1 kW e correnti superiori ai 200 A il transistor BJT è da preferire al transistor MOSFET. Il BJT riesce a mantenere potenze fino a 2 kW e correnti fino a 500 A. Tuttavia considerando che per le piccole potenze c'è bisogno di frequenze di commutazione elevate il MOS è di nuovo un'ottima scelta rispetto al transistor BJT. Inoltre quando spento non permette alla corrente di scorrere, e ciò si traduce nella riduzione della potenza dissipata. Tale dispositivo fornisce un considerevole risparmio energetico e previene il surriscaldamento del circuito, una delle principali problematiche dei circuiti integrati.

Riassumendo:

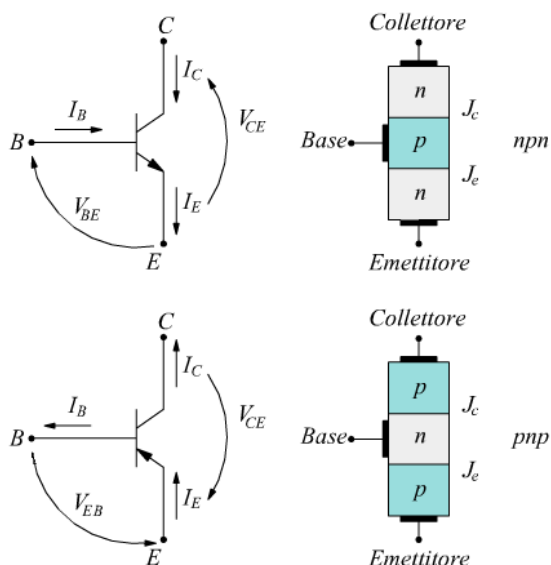
- il MOSFET può gestire i cambi di stato con frequenze nell'ordine dei MHz,
- il BJT riesce a gestire frequenze di commutazione al di sotto dei 100 kHz.

## IL TRANSISTOR BJT

Il transistor a giunzione bipolare (abbreviazione comunemente utilizzata BJT, dall'inglese bipolar junction transistor) è una tipologia di transistor largamente usata nel campo dell'elettronica analogica principalmente come amplificatore di corrente e interruttore elettronico.

Esso è composto da tre strati di materiale semiconduttore drogato (drogaggio: aggiunta al semiconduttore puro ("intrinseco") di piccole percentuali di atomi non facenti parte del semiconduttore stesso, es. fosforo e arsenico per giunzione "n" e boro e alluminio per giunzione "p", allo scopo di modificare le proprietà elettroniche del materiale), solitamente silicio, in cui lo strato centrale ha drogaggio opposto agli altri due, in modo da formare una doppia giunzione p-n.

Ogni strato è un terminale. Quello centrale prende il nome di *base*, quelli esterni sono detti *collettore* ed *emettitore*.



### DIMENSIONAMENTO DI MASSIMA DELLA R<sub>b</sub> PER ATTIVARE IL TRANSISTOR

Parametro fondamentale di un transistor è il suo h<sub>FE</sub>, cioè il guadagno di corrente o fattore di amplificazione:

$$I_c = hFE \cdot I_b$$

Sigla BJT	tipo	hFE(min)	hFE(MAX)	V <sub>ce</sub>	I <sub>c</sub>
BC107	NPN	110	800	5V	2mA
BC107A	NPN	110	220	5V	2mA
BC107B	NPN	200	450	5V	2mA
BC107C	NPN	420	800	5V	2mA
BC337	NPN	100	600	1V	50mA
BC327	PNP	100	600	1V	50mA

Nei dimensionamenti conviene tutelarsi prendendo il valore minimo.

La corrente I<sub>c</sub> gestibile con un semplice BJT è dell'ordine delle centinaia di milli-ampere.

Nota la I<sub>c</sub> necessaria all'utilizzatore (motore, lampada ecc.) si calcola la I<sub>b</sub> attraverso l'h<sub>FE</sub> del transistor scelto (che deve essere in grado di gestire la I<sub>c</sub> richiesta):  $I_b = I_c / hFE$ .

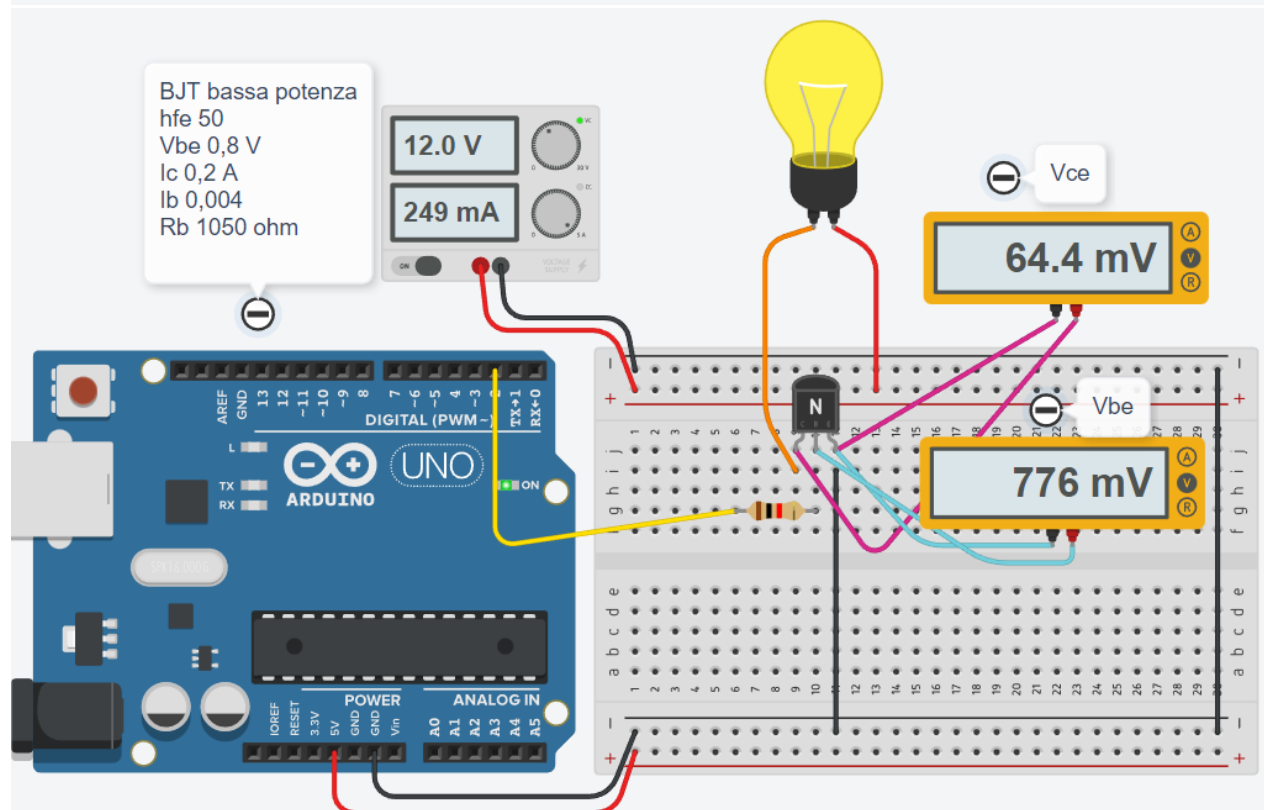
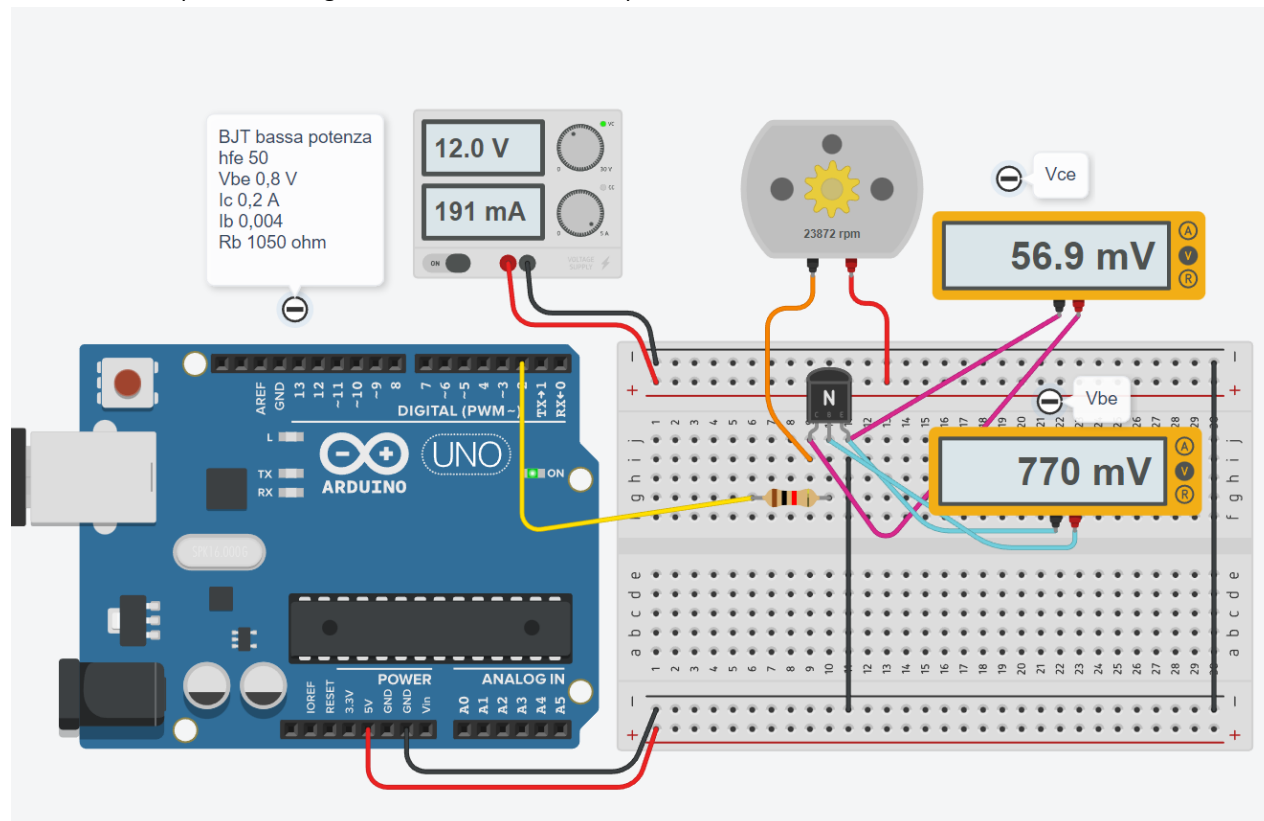
Ipotesizzando una caduta di tensione tipica V<sub>be</sub> del transistor di 0.8V (recuperabile dalla scheda tecnica del BJT) si ricava la R<sub>b</sub> necessaria a limitare la corrente di base:  $R_b = (V_{micro} - 0.8) / I_b$  ohm.

Ad esempio per un motore che assorbe 200mA con un BJT che ha h<sub>FE</sub>=50 la R<sub>b</sub> comandata da Arduino vale:

$$I_b = 0.2/50 \quad R_b = (5-0.8) / (0.2/50) = 1050 \text{ ohm.}$$

## ESERCIZIO BJT

Avviare una lampada di emergenza e un motore di bassa potenza a 12V tramite un transistor BJT.



### COMPITO

1. Modificare il circuito per avviare un motore di bassa potenza a 5V.
2. Modificare il circuito per avviare un motore di bassa potenza a 24V.

## TRANSISTOR PER PILOTARE RELE' DI POTENZA (TENSIONE >5V)

Nel caso in cui l'utilizzatore da attivare sia collegato alla rete elettrica a 220V si può utilizzare un relè di potenza (generalmente con una tensione bobina superiore a 5V) attivato da un transistor pilotato dal microcontrollore a 5V (la corrente  $I_c$  richiesta dalla bobina del relè non può essere fornita direttamente dal microcontrollore).

Il transistor verrà pilotato dal microcontrollore a 5V sulla resistenza di base dove è richiesta una corrente  $I_b$  molto inferiore a quella di collettore necessaria ad attivare il relè ( $I_b = I_c / hFE$ ).

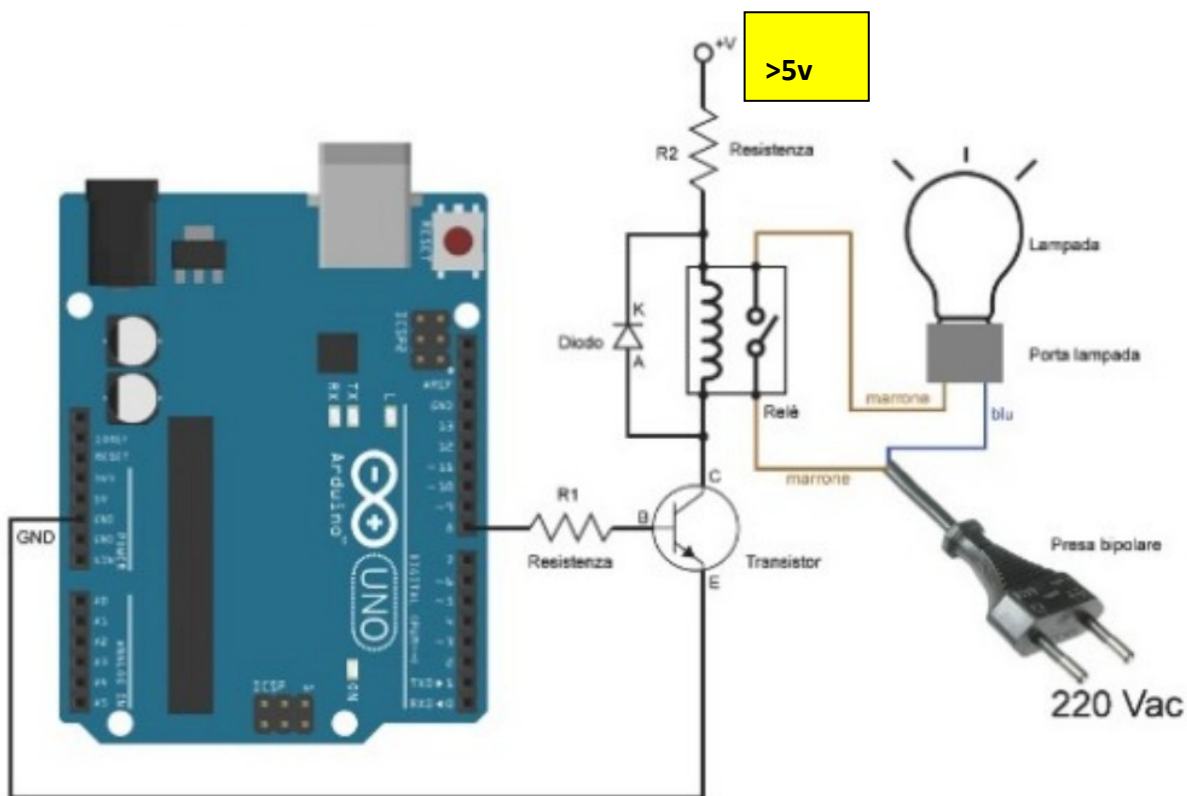
Del relè deve essere nota la corrente minima necessaria ad attivare la bobina e la tensione minima richiesta ai suoi capi.

La  $R_2$  in serie alla bobina del relè serve per limitare correttamente la tensione sulla bobina poiché generalmente l'alimentatore usato per il relè è a 12 o 24V.

Ad esempio se il relè necessita di 12V e 100mA, utilizzando un alimentatore da 24V, sulla  $R_2$  dovremo avere  $24 - 12 = 12V$  (trascurando la  $V_{ce}$  nel transistor).

Di conseguenza per avere una  $I_c = 50mA$  servirà una resistenza  $R_2 = 12 / 0.05 = 240 \text{ ohm}$ .

La potenza che la  $R_2$  deve dissipare è pari a  $Pot. = 0.05 * 12V = 0.6 \text{ watt}$  (→ scegliere R da 1 watt).



## ESERCIZIO BJT + RELE'

Si vuole accendere e spegnere una lampada a 220V tramite Arduino.

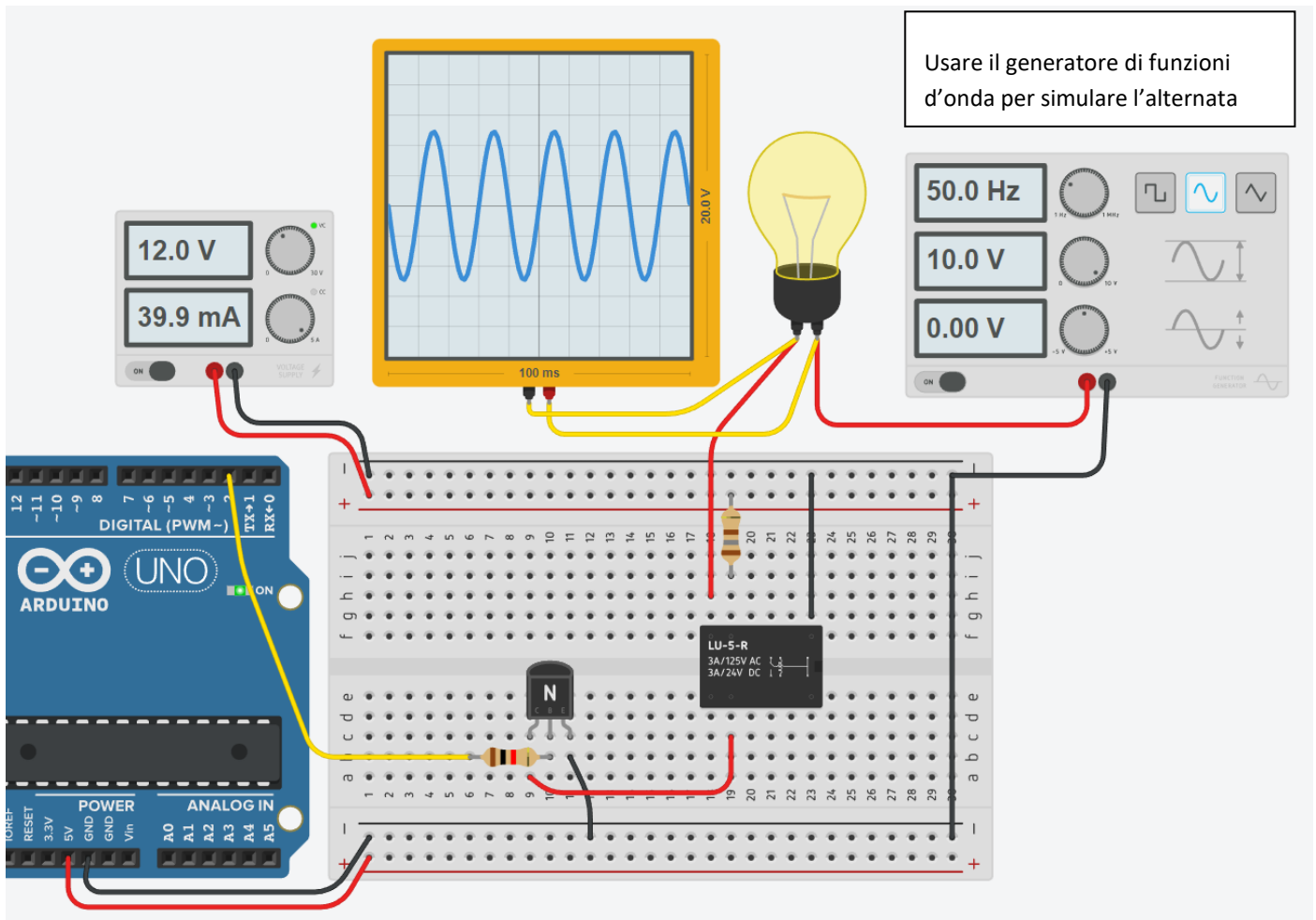
Il relè impiegato ha una bobina che necessita di una tensione di alimentazione di 5V e una corrente di 40 mA.

La sua resistenza vale quindi  $(V/I) = 125 \text{ ohm}$ .

Trascurando la caduta di tensione  $V_{ce}$  sul transistor servirà una resistenza  $R_2$  in serie al relè che abbia una caduta di tensione pari a 7V (12-5).

Quindi la  $R_2$  varrà  $175 \text{ ohm}$  ( $7/0.04$ ) con una potenza da dissipare pari a circa 0.28W (scegliere R da 1 watt!).

La resistenza di base  $R_1$  si calcola noto l' "hfe" del transistor.



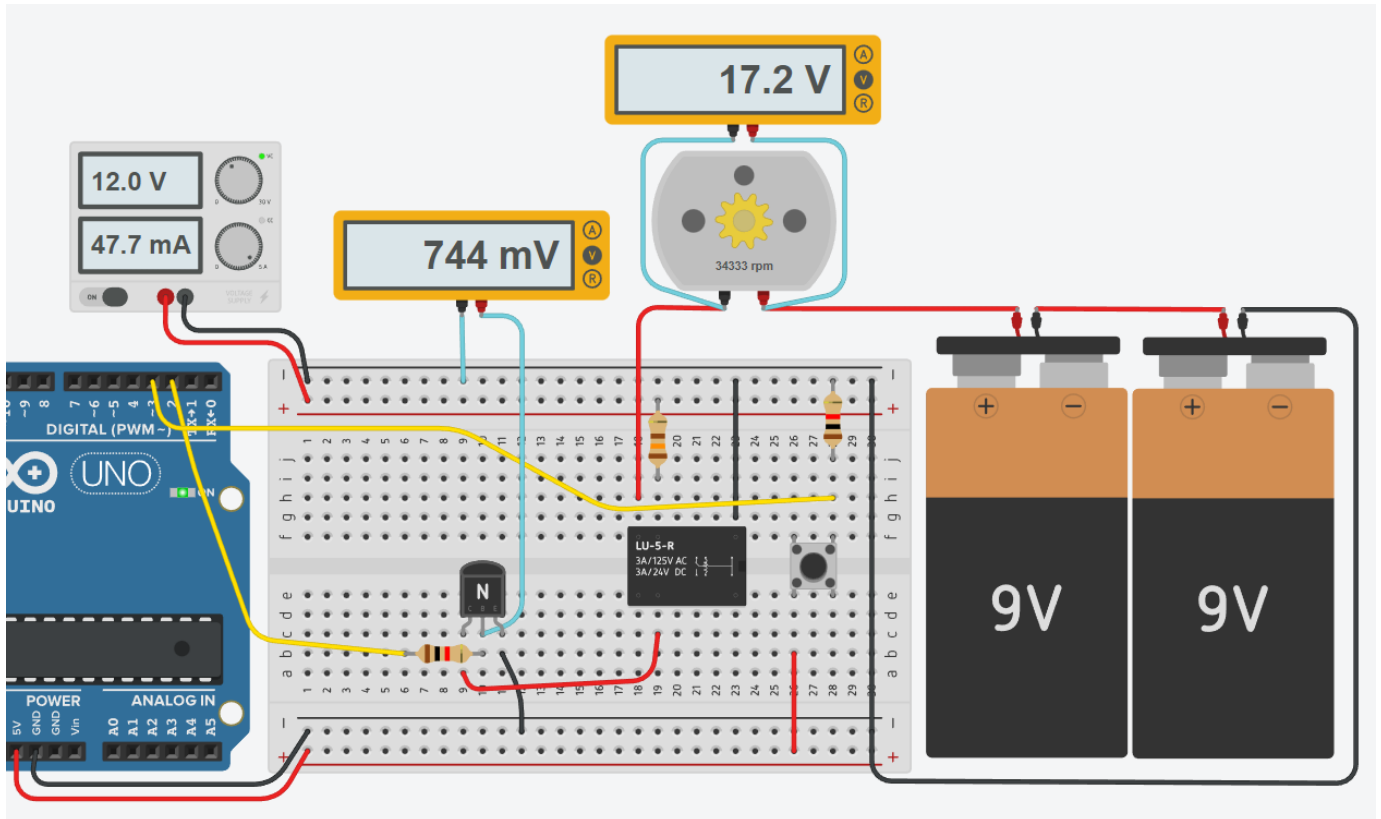
## CODICE

```
void setup()
{
  pinMode(2, OUTPUT);
}

void loop()
{
  digitalWrite(2, HIGH);
}
```

## ESERCIZIO BJT + RELÈ'

Si vuole avviare il motore CC da 18v per 10 s quando viene premuto il pulsante start.  
Il motore viene comandato tramite un relè che assorbe 48mA con una tensione di 6V.  
Per alimentare il relè si ha un alimentatore da 12V.



### CODICE

```
int statoStart;
long t0;
bool flagAttivo=false;
int tempoAttivazione=10*1000;

void setup()
{
  Serial.begin(9600);
  pinMode(2, OUTPUT); // pin BJT
  pinMode(3, INPUT);  // pin START
}

void loop()
{
  statoStart= digitalRead(3);
  Serial.println(statoStart);

  if (statoStart== HIGH) {
    t0= millis();
    digitalWrite(2, HIGH);
    Serial.println("ON");
    flagAttivo= true;
  }
  else if (flagAttivo && (millis()-t0)>tempoAttivazione) {
    digitalWrite(2, LOW);
    Serial.println("OFF");
    flagAttivo= false;
  }
  delay(100);
}
```

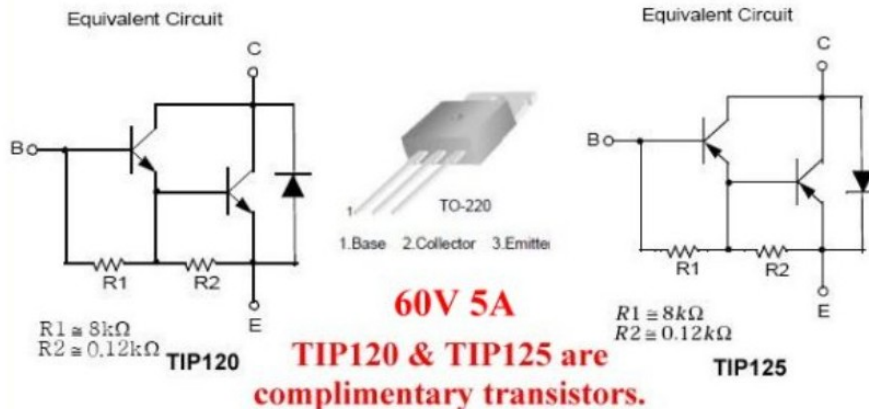
## IL TRANSISTOR DI POTENZA (DARLINGTON)

Un Darlington utilizza almeno due transistor bipolari in cui i collettori sono legati insieme, l'emettitore del transistor più piccolo è legato alla base del transistor più grande, mentre le connessioni del circuito sono fatte all'emettitore dal transistor più grande e la base del transistor più piccolo è l'ingresso.

In questo modo si ottiene un guadagno di potenza maggiore di quello che può fornire un singolo transistor.

Il guadagno di corrente è il prodotto dell' $h_{fe}$  di ogni singolo transistor, mentre la maggior parte della corrente è trasportata dal transistor più grande.

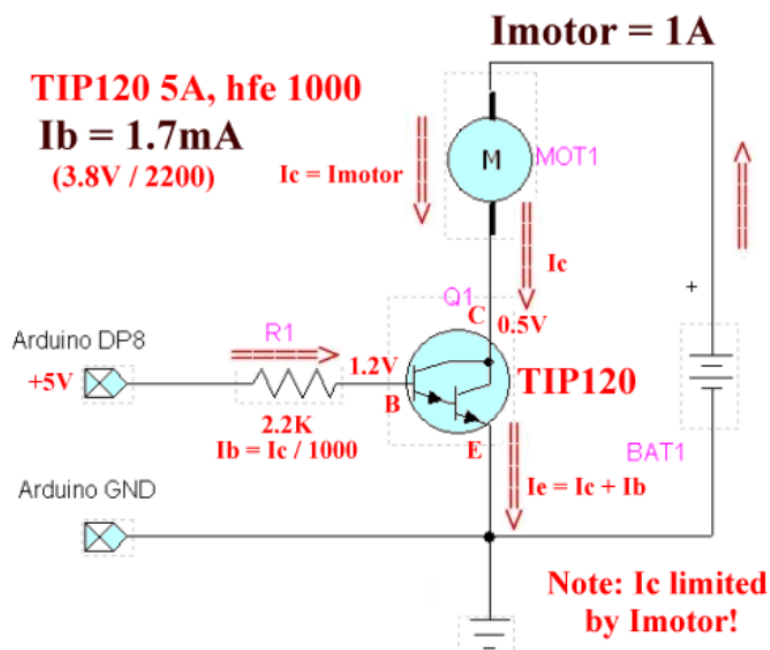
Un classico transistor di potenza è il TIP 120 di cui si allega un estratto del datasheet.



Symbol	Parameter	Test Condition	Min.	Max.	Units
$h_{FE}$	* DC Current Gain	$V_{CE} = 3V, I_C = 0.5A$ $V_{CE} = 3V, I_C = 3A$	1000 1000		
$V_{CE(sat)}$	* Collector-Emitter Saturation Voltage	$I_C = 3A, I_B = 12mA$ $I_C = 5A, I_B = 20mA$		2.0 4.0	V
$V_{BE(on)}$	* Base-Emitter ON Voltage	$V_{CE} = 3V, I_C = 3A$		2.5	V

Farchild TIP120 (NPN) and TIP125 (PNP) Darlington Transistors

Collegamento tipico del TIP120 per pilotare un motore CC.



## TIP120 PER ATTIVARE ELEMENTO RISCALDANTE RESISTIVO

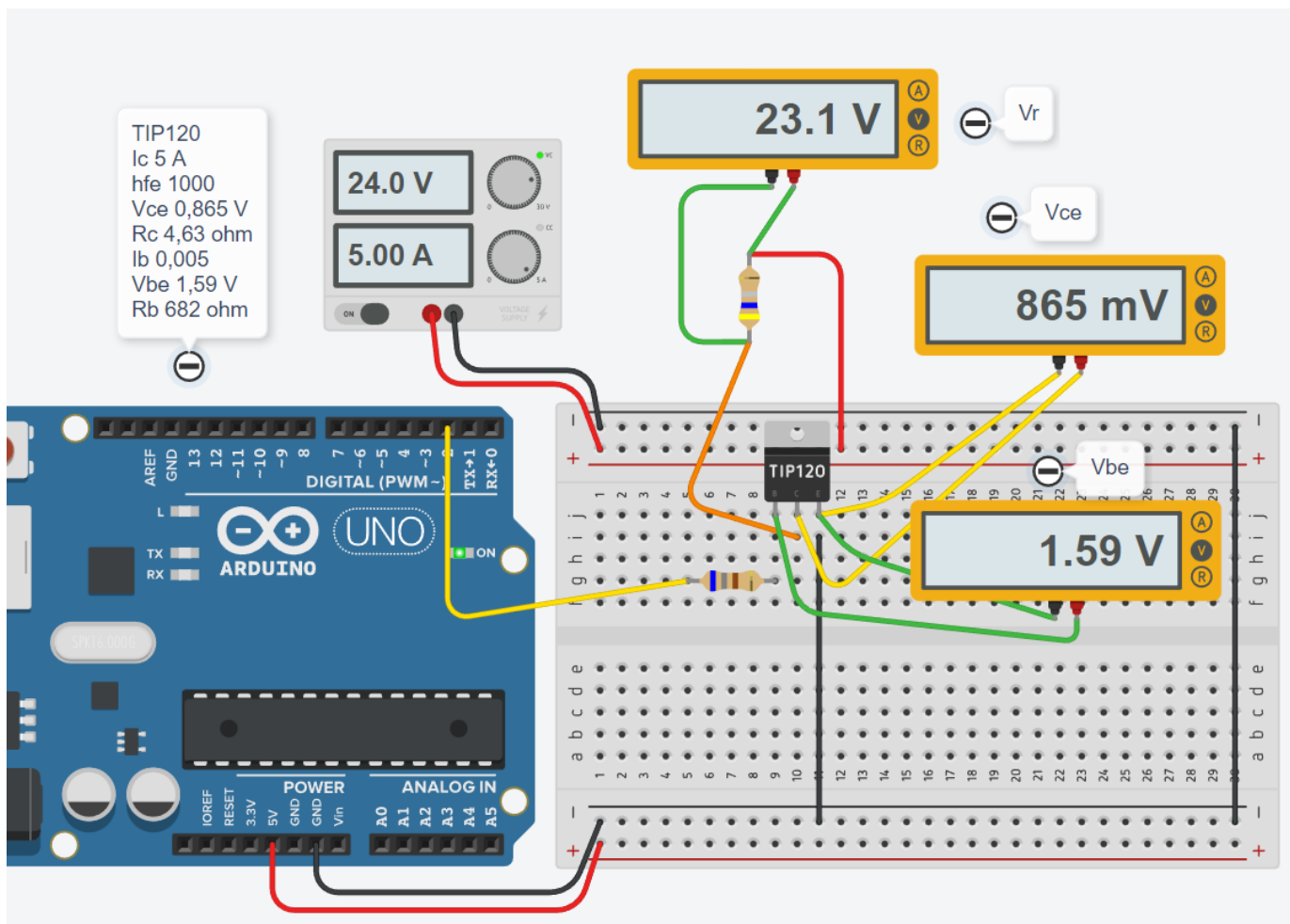
Una resistenza elettrica percorsa da corrente continua genera un potenza termica pari a quella elettrica assorbita (Joule) :

Pot = V\*I [watt] .

Tramite un transistor di potenza TIP120 (Ic max 5A) si vuole generare una potenza termica di circa 115 watt.

Sul simulatore Thinkercad si può osservare la corrente prodotta dal generatore di tensione: 5A.

Il prodotto VRxI= 23.1x5=115.5watt fornisce la potenza dissipata dalla resistenza.



NOTA:

Regola empirica per calcolare la differenza di temperatura dovuta alla dissipazione termica:

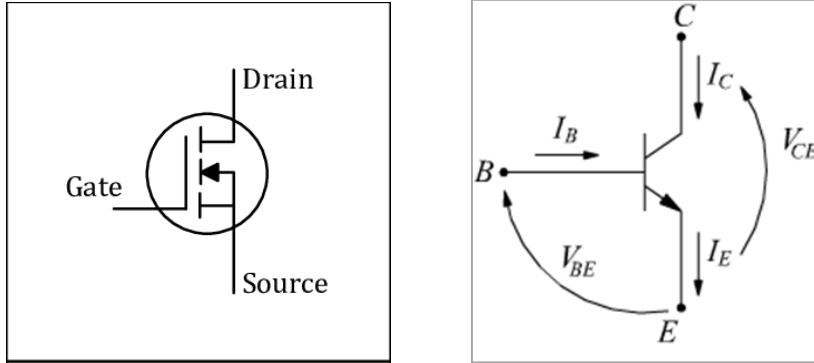
$$\Delta T \approx \frac{R(T)I^2}{80 \div 100 \text{ mW}/^\circ\text{C}}$$

## IL TRANSISTOR MOSFET

Un MOSFET a canale N è un transistor che funziona utilizzando una tensione di ingresso positiva.

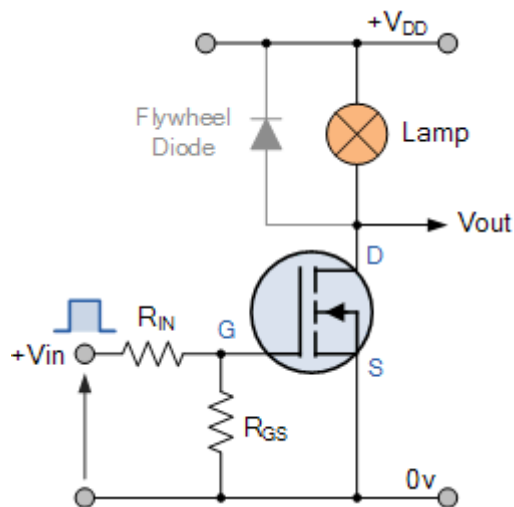
Ha una resistenza di ingresso estremamente elevata (quasi infinita) che consente di utilizzare il MOSFET come interruttore comandato da un microcontrollore (in grado di produrre una tensione positiva sufficiente a portarlo in saturazione). Come per il BJT può anche essere usato come amplificatore di corrente.

La nomenclatura dei pin del MOSFET è diversa da quella del BJT:



Applicando un'opportuna tensione di pilotaggio al gate G di un MOSFET, la resistenza del canale drain-source (D-S),  $R_{DS(on)}$  varia da un valore di molte centinaia di k $\Omega$  (circuito aperto) ad un valore inferiore a 1 $\Omega$  (cortocircuito).

### Un esempio di utilizzo del MOSFET come interruttore



In questo circuito viene utilizzato un MOSFET a canale N per accendere e spegnere una semplice lampada.

La tensione di ingresso del gate  $V_{GS}$  viene portata ad un livello di tensione positivo appropriato (da minimo 2-3V e oltre) per accendere il dispositivo e a un livello di tensione 0 per spegnerlo .

Se il carico resistivo della lampada dovesse essere sostituito da un carico induttivo come una bobina, un solenoide o un relè, sarebbe necessario un "diodo di protezione" in parallelo al carico per proteggere il MOSFET da eventuali correnti di ritorno.

La potenza dissipata nel MOSFET ( $P_D$ ) dipende dalla corrente che scorre attraverso il canale  $I_D$  a saturazione e anche dalla "resistenza" del canale  $R_{DS(on)}$  .

## DIMENSIONAMENTO MOSFET COME INTERRUTTORE

Supponiamo di dover accendere una lampada di potenza a 6 V (24 W).

Il MOSFET standard impiegato ha un valore di resistenza di attivazione del canale  $R_{DS(on)}$  di 0,1 ohm.

Calcolare la potenza dissipata nel dispositivo di commutazione MOSFET.

La corrente che scorre attraverso la lampada è calcolata come:

$$P = V \times I_D$$

$$\therefore I_D = \frac{P}{V} = \frac{24}{6} = 4.0 \text{ amps}$$

Quindi la potenza dissipata nel MOSFET sarà data come:

$$P = I^2 \cdot R$$

$$P_D = I_D^2 \times R_{DS}$$

$$\therefore P_D = 4^2 \times 0.1 = 1.6 \text{ watts}$$

Quando si utilizza il MOSFET come interruttore per controllare motori CC o carichi elettrici con correnti di spunto elevate, la resistenza del canale "ON" ( $R_{DS(on)}$ ) tra drain D e il source S è molto importante.

Poiché la relazione di potenza di base è:  $P = I^2 R$ , un valore di resistenza del canale  $R_{DS(on)}$  elevato comporterebbe semplicemente la dissipazione e lo spreco di grandi quantità di potenza all'interno del MOSFET stesso con conseguente aumento eccessivo della temperatura, che se non controllato potrebbe causare il riscaldamento e il danneggiamento del MOSFET a causa di un sovraccarico termico.

Un valore  $R_{DS(on)}$  più basso per la resistenza del canale è anche un parametro desiderabile in quanto aiuta a ridurre la tensione di saturazione effettiva del canale ( $V_{DS(sat)} = I_D \cdot R_{DS(on)}$ ) attraverso il MOSFET e quindi funzionerà ad una temperatura più bassa.

I MOSFET di potenza hanno generalmente un valore  $R_{DS(on)}$  inferiore a 0,01Ω che consente loro di funzionare a temperature basse, prolungando la loro durata operativa.

Una delle principali limitazioni quando si utilizza un MOSFET come dispositivo di commutazione è la massima corrente di drenaggio D che può gestire.

Quindi il parametro  $R_{DS(on)}$  è una guida importante per l'efficienza di commutazione del MOSFET ed è semplicemente dato come rapporto di  $V_{DS} / I_D$  quando il transistor è attivo.

Quando si utilizza un MOSFET o qualsiasi tipo di transistor ad effetto di campo come dispositivo di commutazione a stato solido, è sempre consigliabile selezionare quelli che hanno un valore  $R_{DS(on)}$  molto basso e dotarli di un dissipatore di calore adatto per aiutare ridurre qualsiasi fuga termica e danni.

*I MOSFET di potenza utilizzati come interruttore generalmente hanno una protezione da sovracorrente integrata nel loro design, ma per applicazioni ad alta corrente il transistor a giunzione bipolare BJT è una scelta migliore.*

## CONTROLLO MOTORE MOSFET DI POTENZA

L'elevatissima resistenza di ingresso (o di gate) del MOSFET, la velocità di commutazione molto elevata e la facilità con cui possono essere pilotati li rendono ideali per interfacciarsi con amplificatori operazionali, porte logiche standard e microcontrollori.

Tuttavia, è necessario prestare attenzione per garantire che la tensione di ingresso gate-source (G-S) sia scelta correttamente perché quando si utilizza il MOSFET come interruttore, il dispositivo deve presentare una bassa resistenza del canale  $R_{DS(on)}$ , proporzionale alla tensione di gate di ingresso.

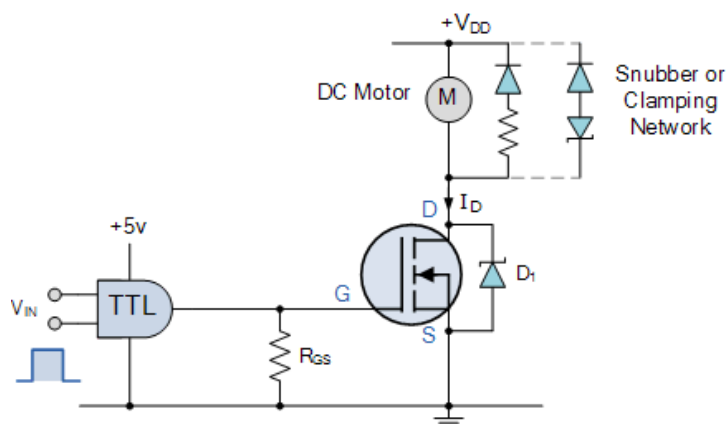
I MOSFET di potenza di tipo a *soglia bassa* potrebbero non commutare su "ON" fino a quando non sono stati applicati almeno 3 V o 4 V alla sua porta e se l'uscita dalla porta logica è solo +5 V logico potrebbe non essere sufficiente per portare completamente il MOSFET in saturazione.

Per micro controllori tipo Arduino, ESP32 ecc. sono disponibili MOSFET a *soglia bassa* progettati per l'interfacciamento con soglie comprese tra 1,5 V e 2,0 V.

I MOSFET di potenza possono essere utilizzati per controllare il movimento di motori CC o motori passo-passo brushless direttamente dalla logica del computer o utilizzando controller di tipo PWM (pulse-width modulation).

I MOSFET, controllati in PWM, possono essere utilizzati per controllare di velocità di funzionamento dei motori CC in modo fluido e silenzioso.

## CIRCUITO MOTORE CC MOSFET DI POTENZA SEMPLICE



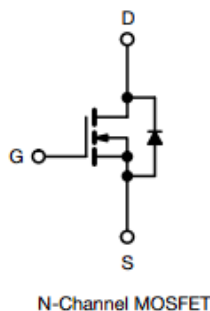
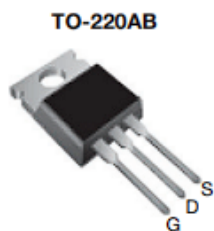
Poiché il carico del motore è induttivo, un semplice diodo di protezione è collegato in parallelo al motore per dissipare l'eventuale fem generata dal motore quando il MOSFET lo spegne.

È inoltre possibile utilizzare una rete di bloccaggio formata da un diodo zener in serie con il diodo per consentire una commutazione più rapida e un migliore controllo della tensione inversa di picco e del tempo di caduta.

Per una maggiore sicurezza, è anche possibile posizionare un diodo zener o al silicio  $D_1$  aggiuntivo attraverso il canale di un interruttore MOSFET quando si utilizzano carichi induttivi, come motori, relè, solenoidi, ecc., per sopprimere i transitori di commutazione di sovratensione e il rumore, fornendo una protezione aggiuntiva all'Interruttore MOSFET se necessario.

Il resistore  $R_{GS}$  viene utilizzato come resistore di pull-down per aiutare a ridurre la tensione di uscita TTL a 0 V quando il MOSFET è disattivato. Tipicamente si usa 1K.

## Power MOSFET



### FEATURES

- Dynamic dV/dt rating
- Repetitive avalanche rated
- 175 °C operating temperature
- Fast switching
- Ease of paralleling
- Simple drive requirements
- Material categorization: for definitions of compliance please see [www.vishay.com/doc?99912](http://www.vishay.com/doc?99912)



Available  
**RoHS\***  
 Available  
 HALOGEN  
**FREE**  
 Available

### Note

\* This datasheet provides information about parts that are RoHS-compliant and / or parts that are non RoHS-compliant. For example, parts with lead (Pb) terminations are not RoHS-compliant. Please see the information / tables in this datasheet for details

### DESCRIPTION

Third generation power MOSFETs from Vishay provide the designer with the best combination of fast switching, ruggedized device design, low on-resistance and cost-effectiveness.

The TO-220AB package is universally preferred for all commercial-industrial applications at power dissipation levels to approximately 50 W. The low thermal resistance and low package cost of the TO-220AB contribute to its wide acceptance throughout the industry.

### PRODUCT SUMMARY

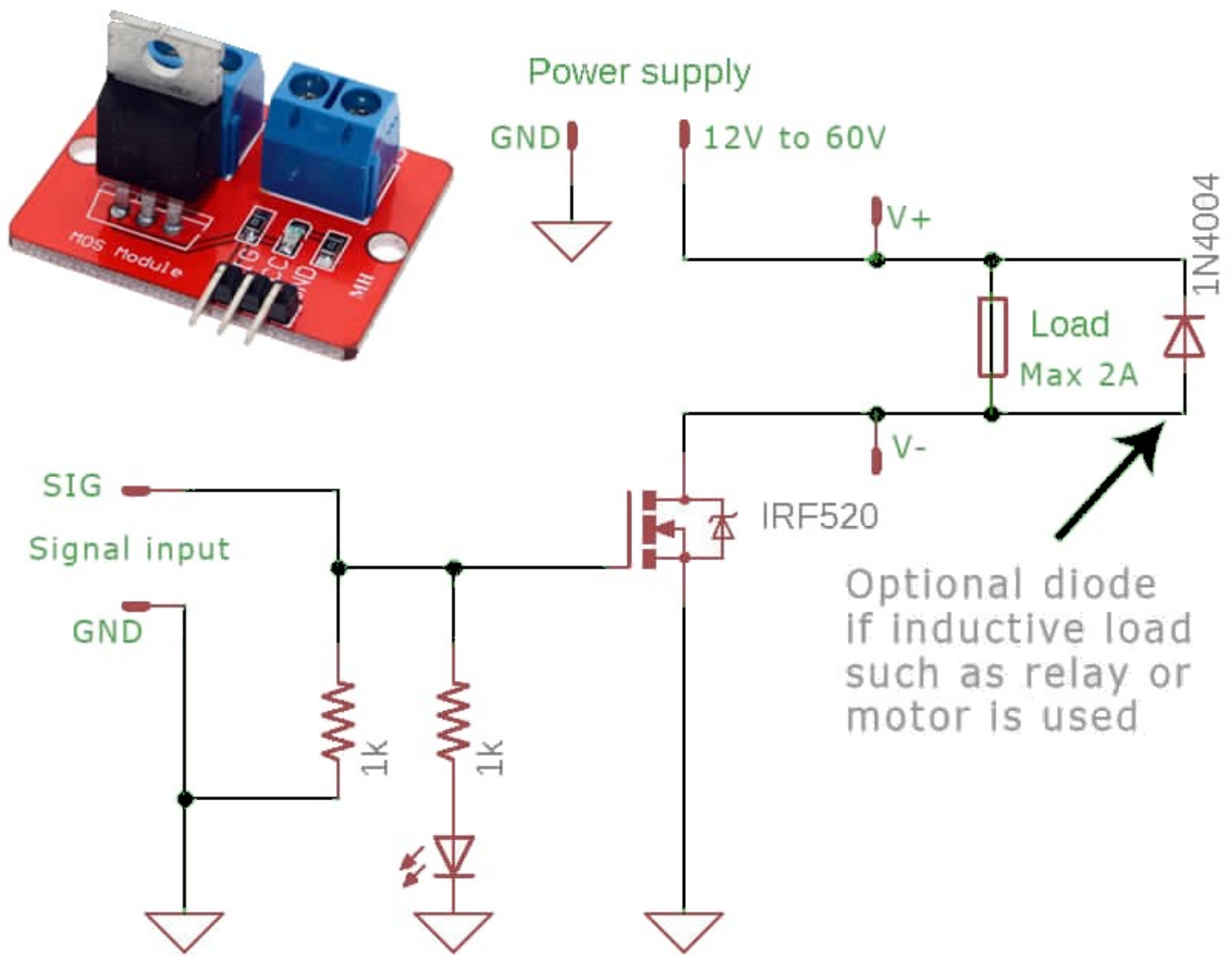
$V_{DS}$ (V)	100	
$R_{DS(on)}$ ( $\Omega$ )	$V_{GS} = 10\text{ V}$	0.27
$Q_g$ max. (nC)	16	
$Q_{gs}$ (nC)	4.4	
$Q_{gd}$ (nC)	7.7	
Configuration	Single	

### ORDERING INFORMATION

Package	TO-220AB
Lead (Pb)-free	IRF520PbF
Lead (Pb)-free and halogen-free	IRF520PbF-BE3

### ABSOLUTE MAXIMUM RATINGS ( $T_C = 25\text{ }^\circ\text{C}$ , unless otherwise noted)

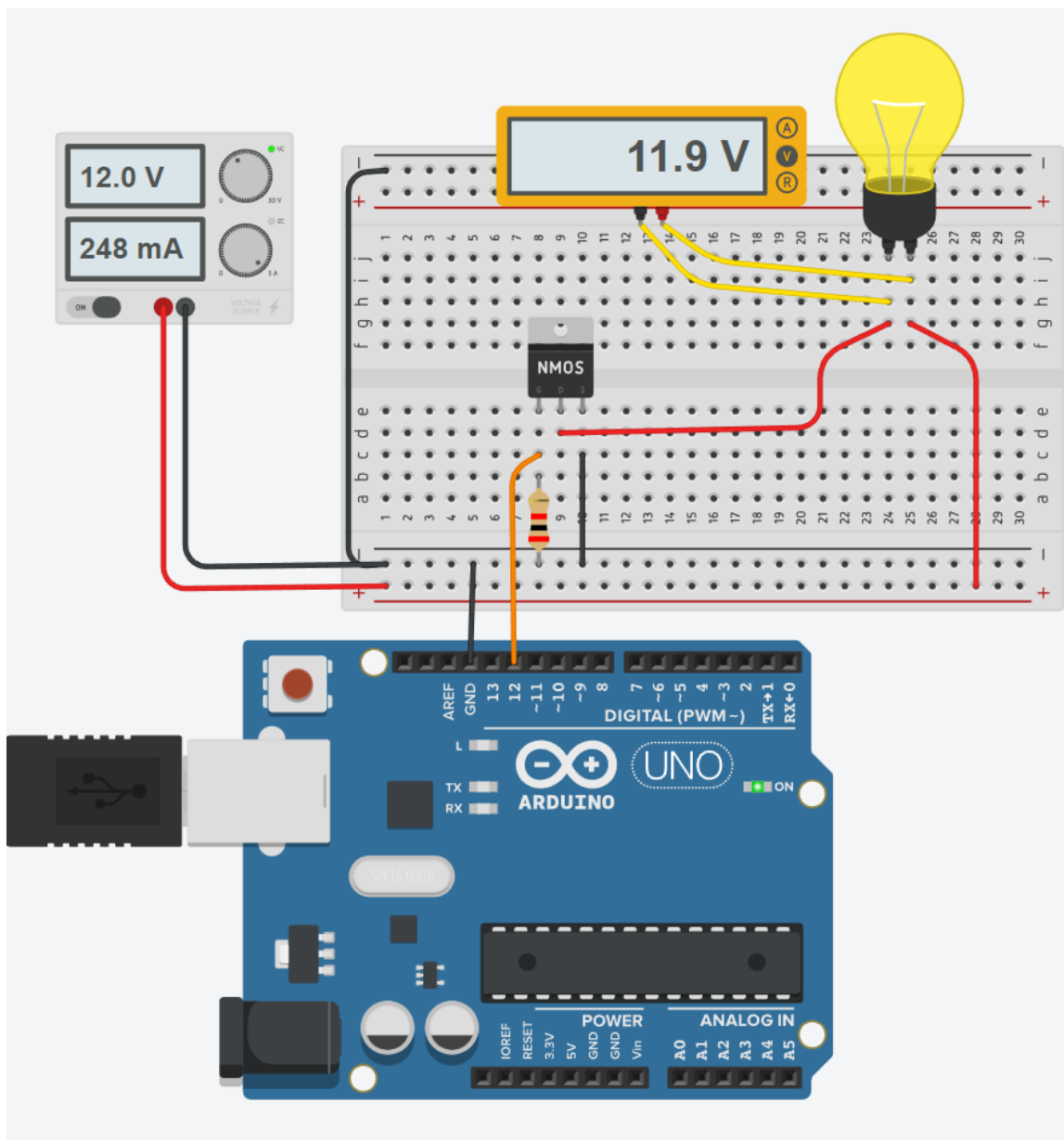
PARAMETER	SYMBOL	LIMIT	UNIT
Drain-source voltage	$V_{DS}$	100	V
Gate-source voltage	$V_{GS}$	$\pm 20$	
Continuous drain current	$I_D$	$T_C = 25\text{ }^\circ\text{C}$	9.2
		$T_C = 100\text{ }^\circ\text{C}$	6.5
Pulsed drain current <sup>a</sup>	$I_{DM}$	37	A
Linear derating factor		0.40	W/ $^\circ\text{C}$
Single pulse avalanche energy <sup>b</sup>	$E_{AS}$	200	mJ
Repetitive avalanche current <sup>a</sup>	$I_{AR}$	9.2	A
Repetitive avalanche energy <sup>a</sup>	$E_{AR}$	6.0	mJ
Maximum power dissipation	$P_D$	60	W
Peak diode recovery dV/dt <sup>c</sup>	dV/dt	5.5	V/ns
Operating junction and storage temperature range	$T_J, T_{stg}$	-55 to +175	$^\circ\text{C}$
Soldering recommendations (peak temperature) <sup>d</sup>	For 10 s	300	
Mounting torque	6-32 or M3 screw	10	lbf · in
		1.1	N · m



IRF520 MOSFET module can control DC load using Arduino without a relay. This device can work with up to 100V and continuously control a 2A load. With proper heat sink it can handle up to 9A.

## ESERCIZIO CON NMOS

Attivare una lampada a 12V e 250mA tramite un MOSFET.



### CODICE

```
void setup()
{
  pinMode(12, OUTPUT);
}

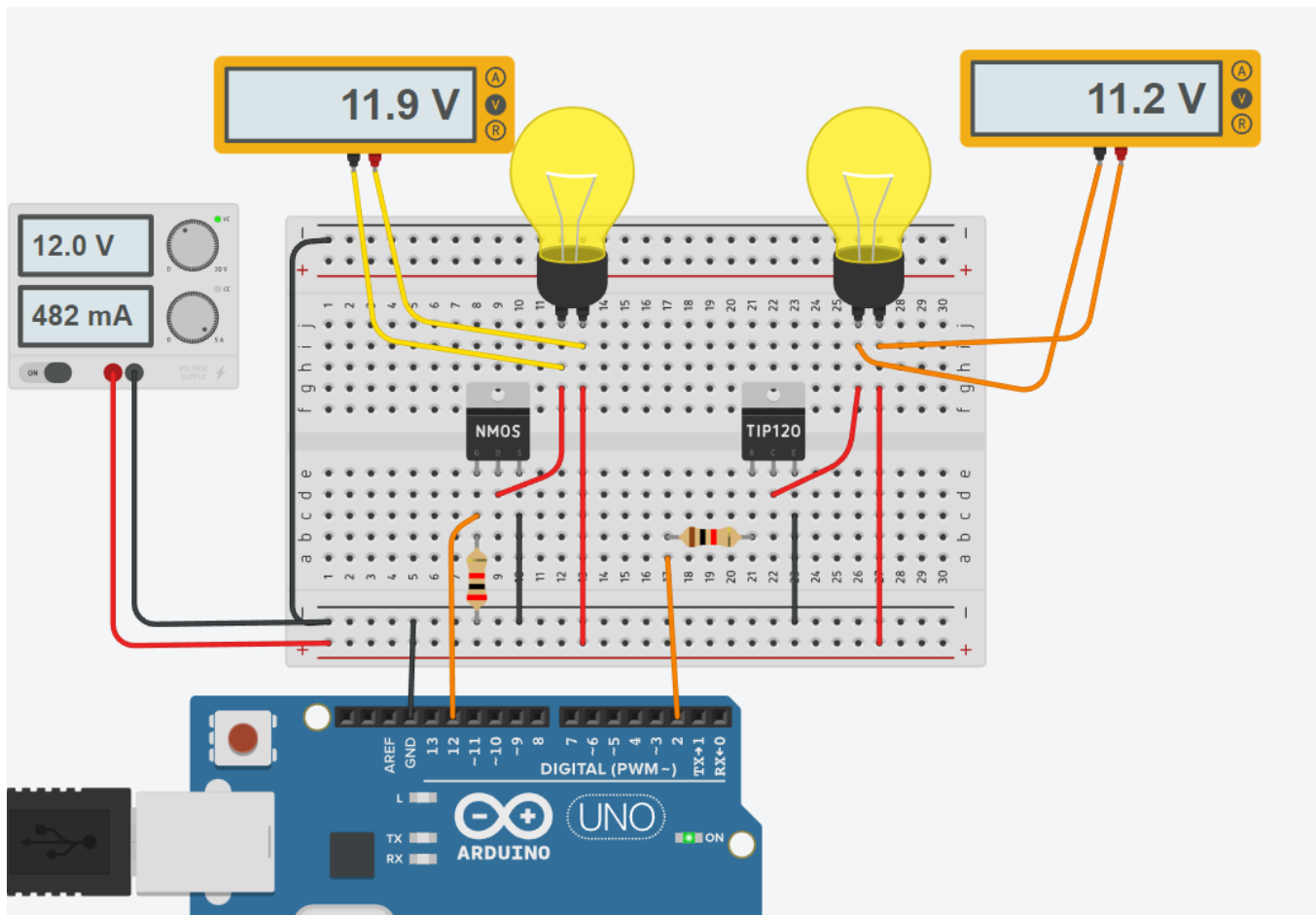
void loop()
{
  digitalWrite(12, HIGH);
  delay(1000); // Wait for 1000 millisecond(s)
  digitalWrite(12, LOW);
  delay(1000); // Wait for 1000 millisecond(s)
}
```

## CONFRONTO FRA TRANSISTOR BJT E NMOS

Il circuito sottostante mostra lo stesso utilizzatore (lampadina) controllato tramite un TIP120 e NMOS.

La differenza sostanziale è che con l'NMOS si ha una caduta di tensione  $V_{DS}$  quasi trascurabile rispetto alla caduta di tensione  $V_{CE}$  del BJT.

In questo modo si ha un minore spreco di potenza elettrica ( $V \cdot I$ ) e quindi meno calore dissipato dal transistor.

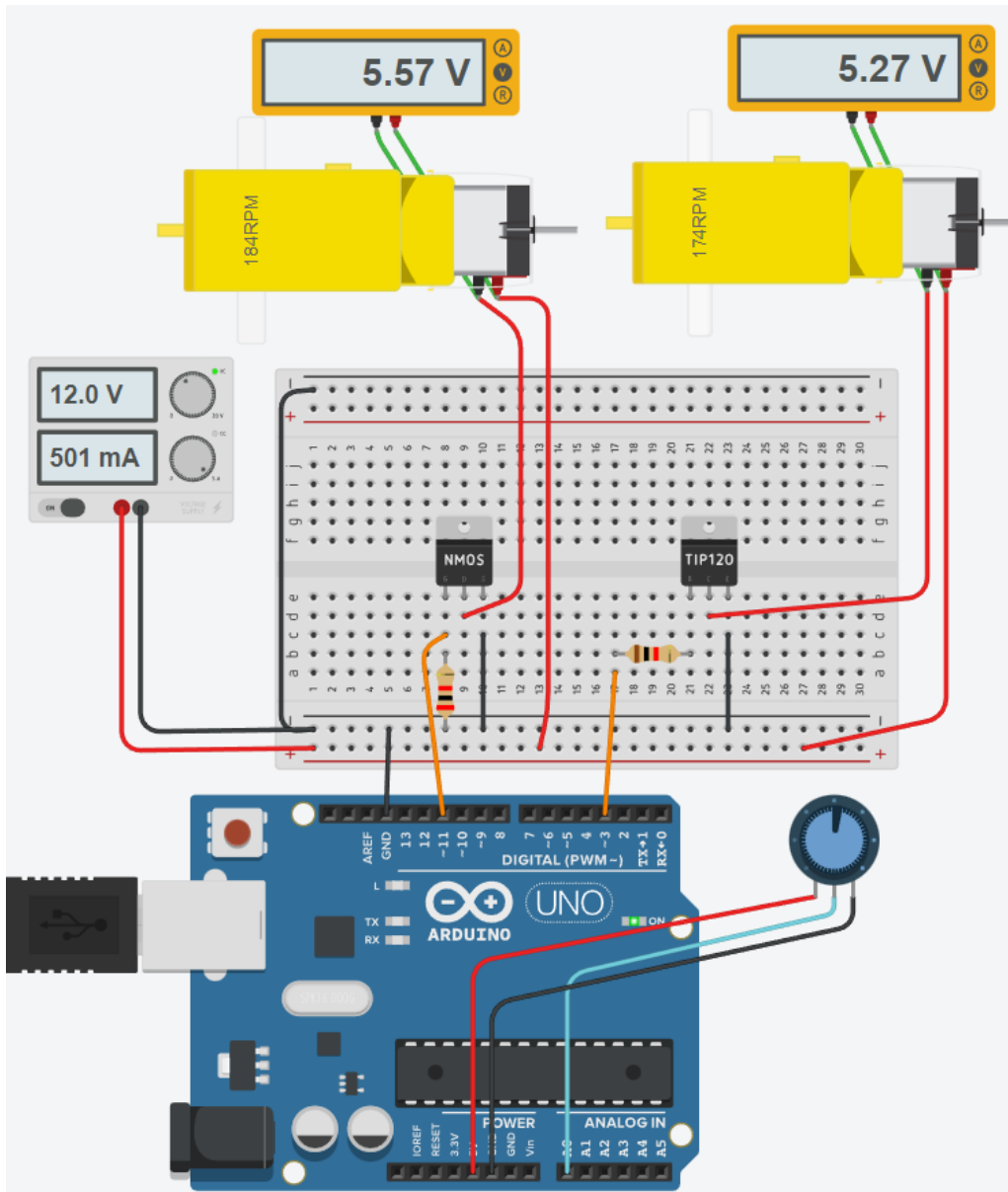


### CODICE

```
void setup()
{
  pinMode(12, OUTPUT);
  pinMode(2, OUTPUT);
}

void loop()
{
  digitalWrite(12, HIGH);
  digitalWrite(2, HIGH);
  delay(1000); // Wait for 1000 millisecond(s)
  digitalWrite(12, LOW);
  digitalWrite(2, LOW);
  delay(1000); // Wait for 1000 millisecond(s)
}
```

Il circuito sottostante mostra lo stesso utilizzatore (motoriduttore CC) controllato in PWM tramite un TIP120 e NMOS. La tensione di alimentazione dei motori viene regolata tramite un potenziometro.



## CODICE

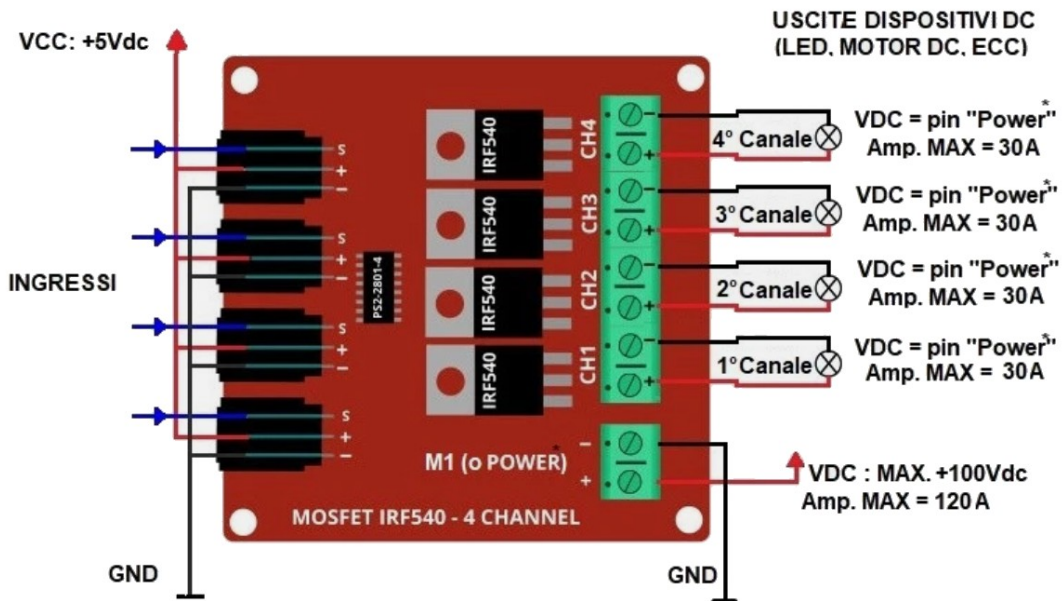
```
int valPot;

void setup()
{
  pinMode(11, OUTPUT);
  pinMode(3, OUTPUT);
  pinMode(A0, INPUT);
  Serial.begin(9600);
}

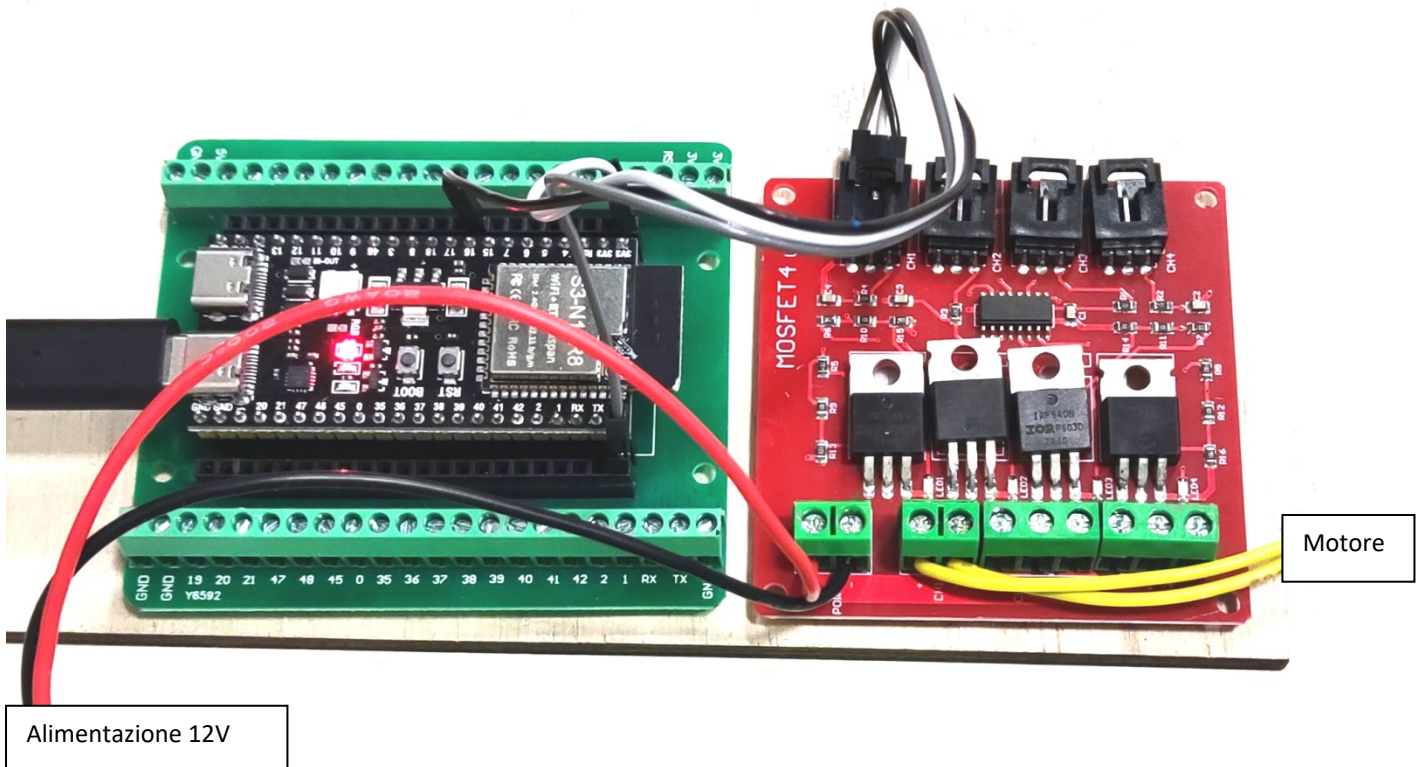
void loop()
{
  valPot= analogRead(A0);
  Serial.println(valPot);
  analogWrite(11, valPot/4);
  analogWrite(3, valPot/4);
  delay(200); // Wait for 1000 millisecond(s)
}
```

## SHIELD MOSFET 4 CANALI ROSSA

Questa scheda ospita 4 mosfet di potenza IRF540 (fino a 140W) e permette quindi comandare contemporaneamente fino a 4 carichi con una tensione massima di 100V. Questi mosfet possono essere utilizzati anche con una tensione di pilotaggio di 3.3V tipica dei micro ESP32.

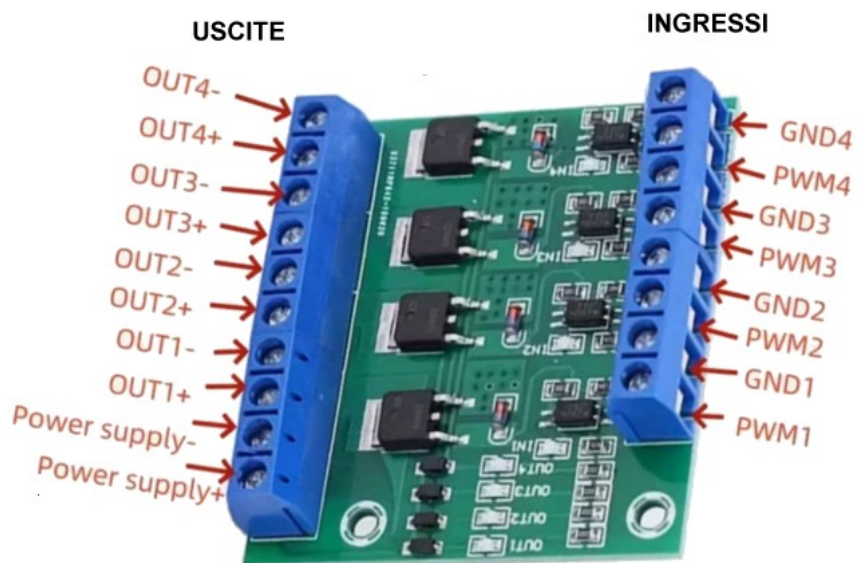


Ogni INGRESSO necessita di tre connessioni: massa, alimentazione e segnale (3.3-5V o PWM per regolazione corrente)

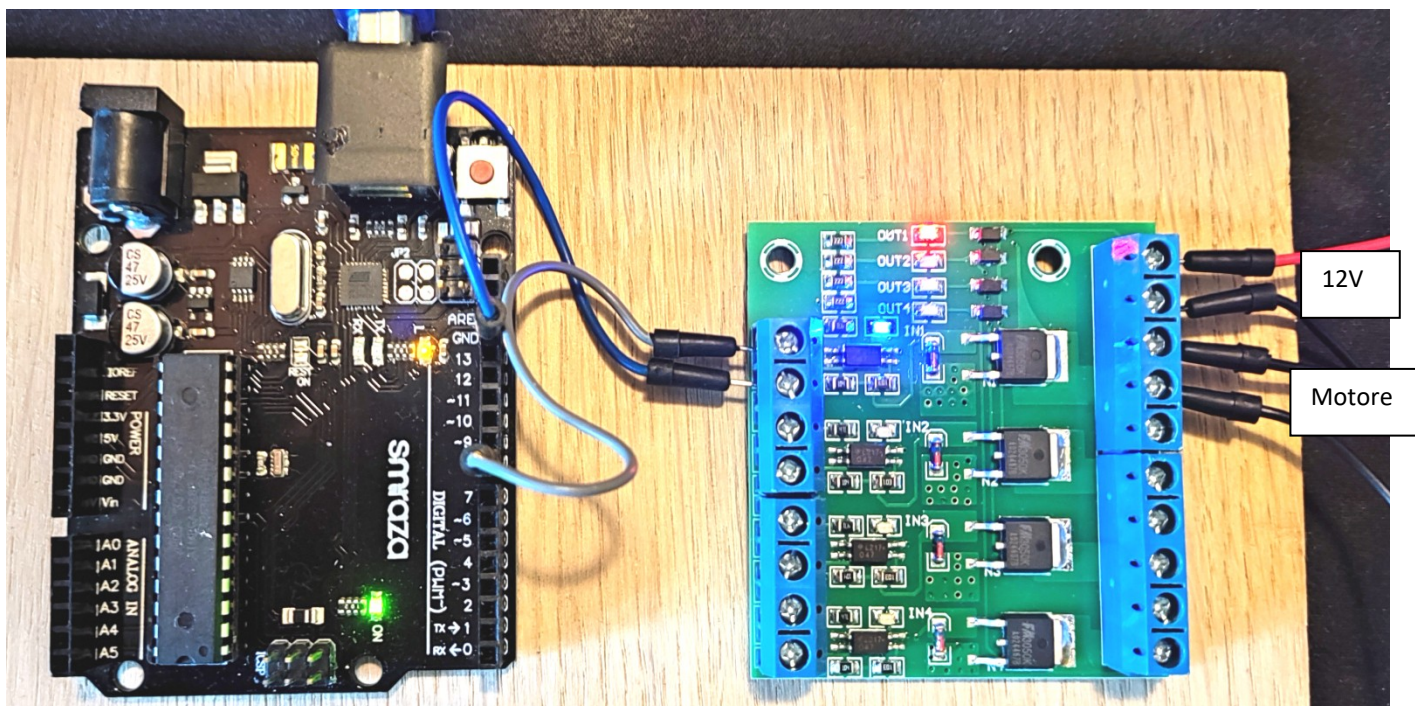


## SHIELD MOSFET 4 CANALI BLU

Questa scheda ospita 4 mosfet di potenza IRF540 (fino a 140W) con una tensione massima di 100V. Necessita di una tensione di comando di almeno 5V e quindi non può essere utilizzata gli EPS32.



Ogni INGRESSO necessita di 2 connessioni: massa, e segnale (5V o PWM per regolazione corrente)



```
int pinMotore=8;

void setup()
{
  pinMode(pinMotore,OUTPUT);
}

void loop()
{
  digitalWrite(8,HIGH);
  delay(2000);
  digitalWrite(8,LOW);
  delay(2000);
}
```



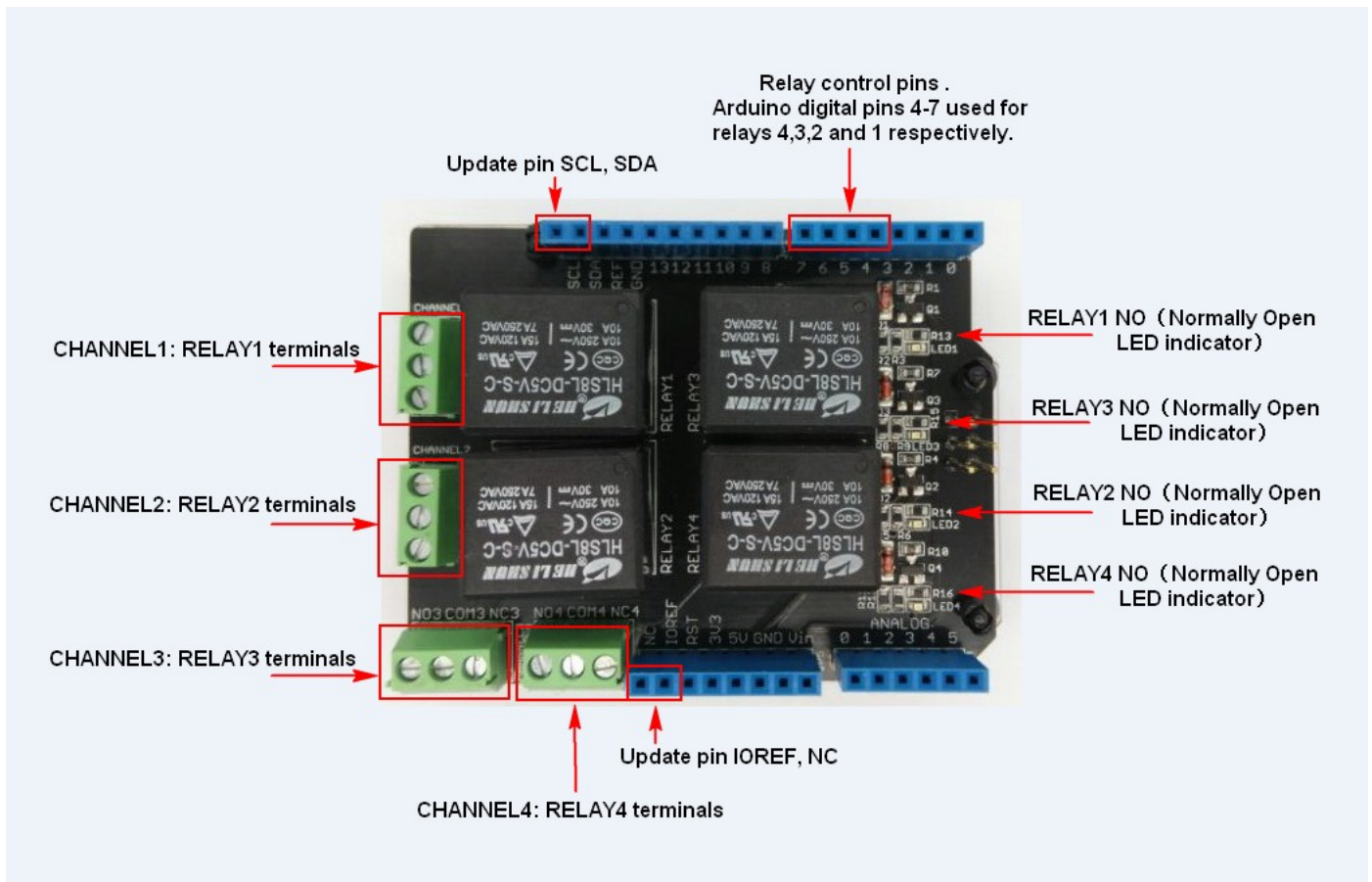
Relay Shield fornisce una soluzione per il controllo di dispositivi ad alta corrente che non possono essere controllati dai pin I/O digitali di Arduino a causa dei limiti di corrente e tensione.

Relay Shield è dotato di quattro relè di alta qualità e fornisce interfacce NO/NC, quattro indicatori LED dinamici per mostrare lo stato acceso/spento di ciascun relè e il fattore di forma dello shield standardizzato per garantire una connessione fluida alla scheda Arduino o ad altre schede compatibili con Arduino.

Articolo	Minimo	Tipico	Massimo	Unità
Tensione di alimentazione	4.75	5	5.25	VDC
Corrente di lavoro	8	-	250	mA
Tensione di commutazione	-	-	30	VDC
Corrente di commutazione	-	-	8	UN
Frequenza	-	1	-	Hz
Potenza di commutazione	-	-	70	O
Vita del relè	100000	-	-	Ciclo
scarica da contatto ESD	-	±4	-	KV
scarica dell'aria ESD	-	±8	-	KV
Dimensione	-	68,7X53,5X30,8	-	mm
Peso netto	-	55±2	-	G

**Attenzione**

- Applicare 2 strati di nastro isolante sulla parte superiore del connettore USB dell'Arduino in modo da impedire allo shield di entrare in contatto col connettore (cortocircuito ...).
- Non utilizzare una tensione superiore a 35 V CC lato relè.



- Digitale 4 – controlla il pin COM4 del RELAY4 (situato in J4)
- Digitale 5 – controlla il pin COM3 del RELAY3 (situato in J3)
- Digitale 6 – controlla il pin COM2 del RELAY2 (situato in J2)
- Digitale 7 – controlla il pin COM1 del RELAY1 (situato in J1)

Descrizione del pin dell'interfaccia/terminale J1:

COM1 (pin comune) : il pin del relè controllato dal pin digitale.

NC1 (normalmente chiuso) : questo terminale sarà collegato a COM1 quando il pin di controllo RELAY1 (pin I/O digitale 7) è impostato basso e scollegato quando il pin di controllo RELAY1 è impostato alto.

NO1 (normalmente aperto) : questo terminale sarà collegato a COM1 quando il pin di controllo RELAY1 (pin I/O digitale 7) è impostato su alto e scollegato quando il pin di controllo RELAY1 è impostato su basso.

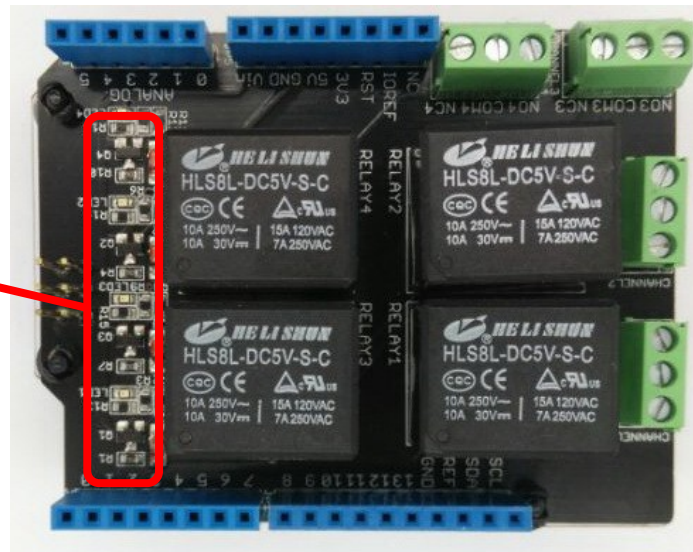
I terminali J2-4 sono simili a J1, tranne per il fatto che controllano rispettivamente RELAY2-RELAY4.

**Nota:** per controllare i quattro diversi relè sono necessari solo quattro pin I/O digitali Arduino, dal 4 al 7. Inoltre, per alimentare il Relay Shield sono necessari anche i pin 5V e due GND Arduino.

## TEST DEI 4 RELE' DELLO SHIELD

Accendere e spegnere in sequenza tutti e quattro i rele' dello shield.

Led che indicano  
l'attivazione dei  
relè



### CODICE

```
int pinRele1 = 4;
int pinRele2 = 5;
int pinRele3 = 6;
int pinRele4 = 7;

void setup() {
  pinMode(pinRele1, OUTPUT);
  pinMode(pinRele2, OUTPUT);
  pinMode(pinRele3, OUTPUT);
  pinMode(pinRele4, OUTPUT);
}

void loop() {
  digitalWrite(pinRele1,HIGH); delay(200);
  digitalWrite(pinRele2,HIGH); delay(200);
  digitalWrite(pinRele3,HIGH); delay(200);
  digitalWrite(pinRele4,HIGH);
  delay(2000);

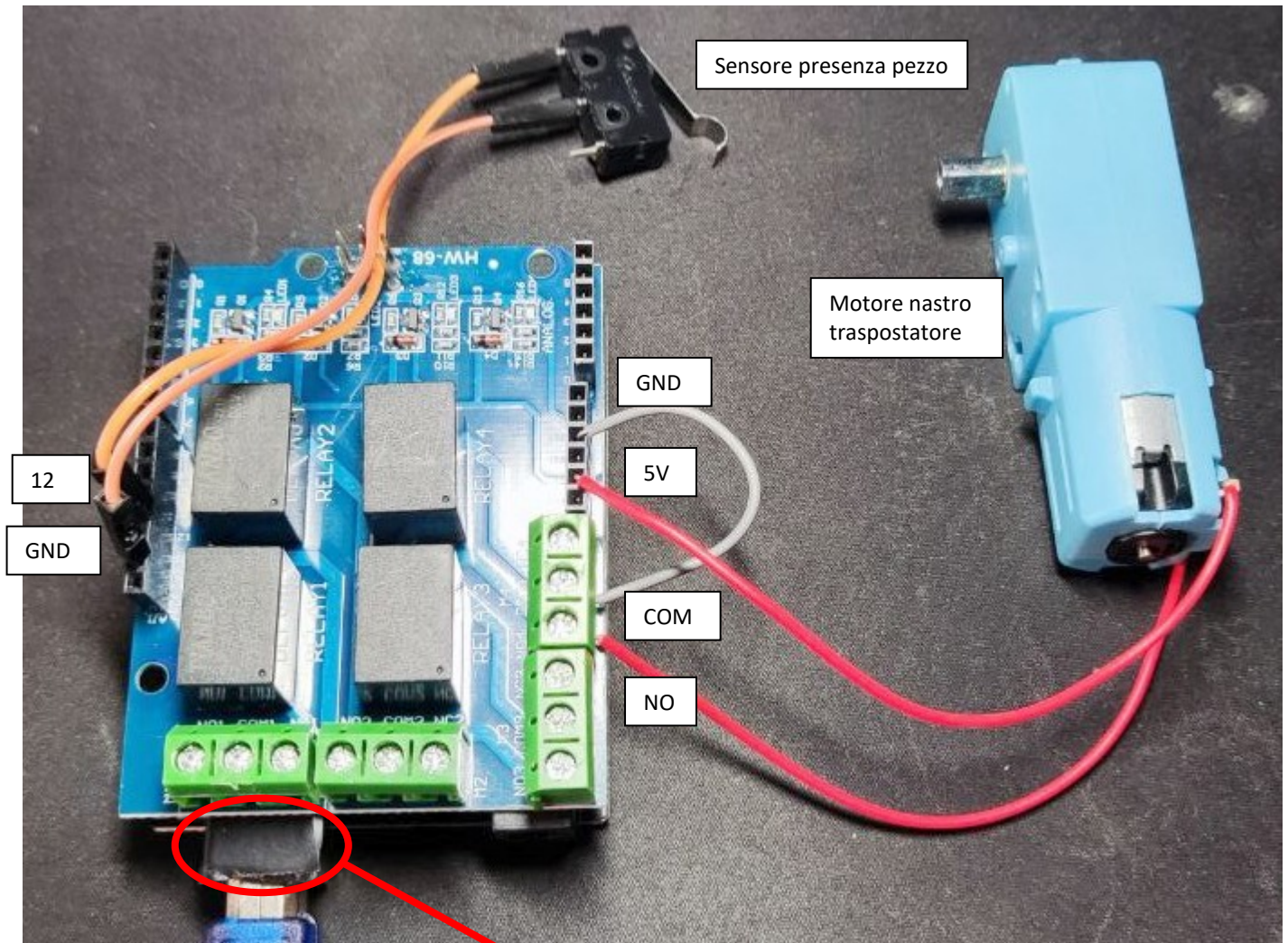
  digitalWrite(pinRele1,LOW); delay(200);
  digitalWrite(pinRele2, LOW); delay(200);
  digitalWrite(pinRele3, LOW); delay(200);
  digitalWrite(pinRele4, LOW);
  delay(2000);
}
```

## SIMULAZIONE NASTRO TRASPOSTATORE

Finchè il sensore di presenza (connesso in modalità pullup) non segnala la presenza del pezzo il motore resta attivo.

MODIFICHE DA FARE:

- 1- aggiungere uno slider (pulsante di attivazione) per avviare il motore solo se slider attivato
- 2- modificare il programma in modo da non usare il "delay"



### CODICE

```
int pinMotor = 4;
int pinFinecorsa = 12;
int statoFinecorsa=1;

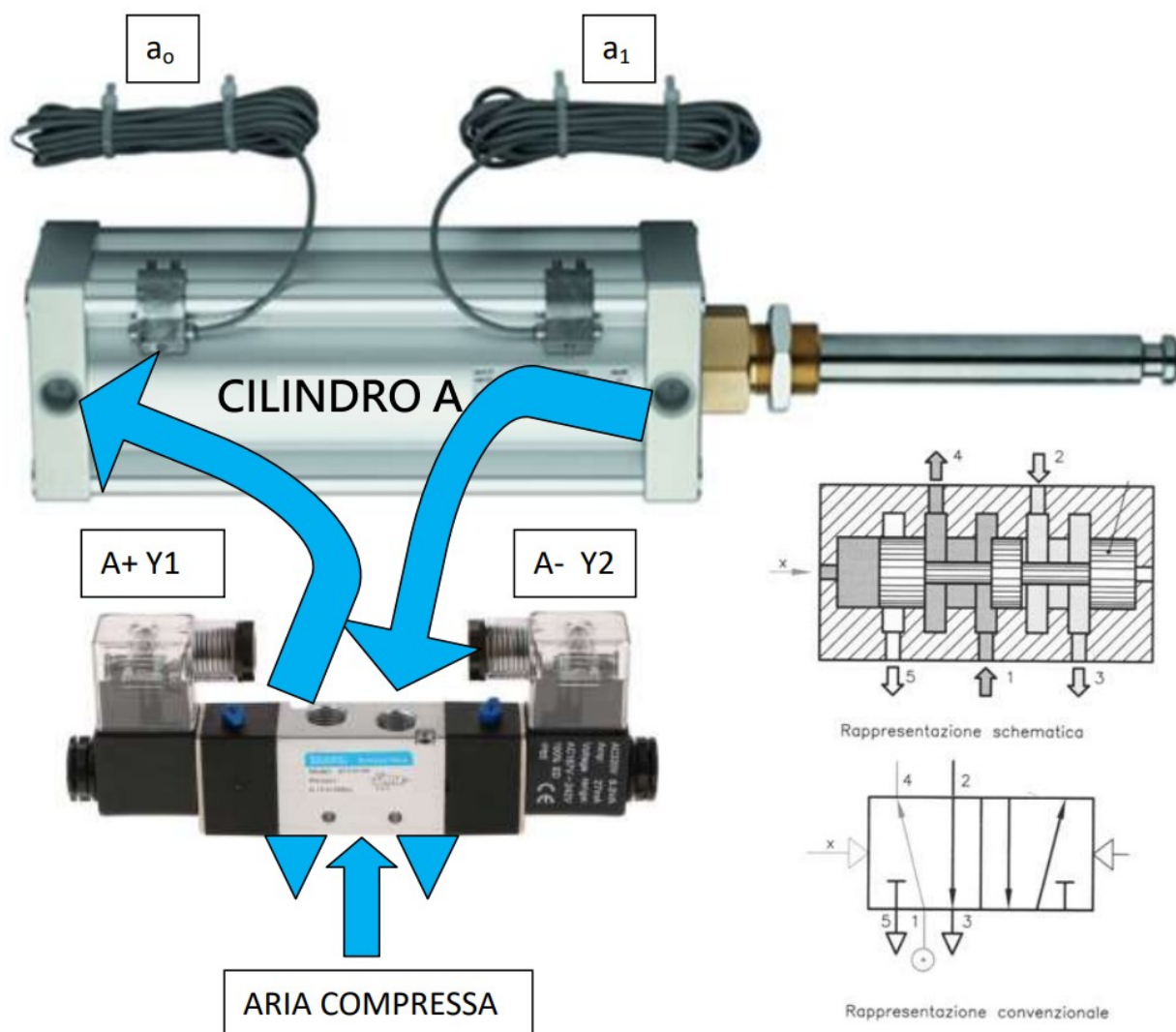
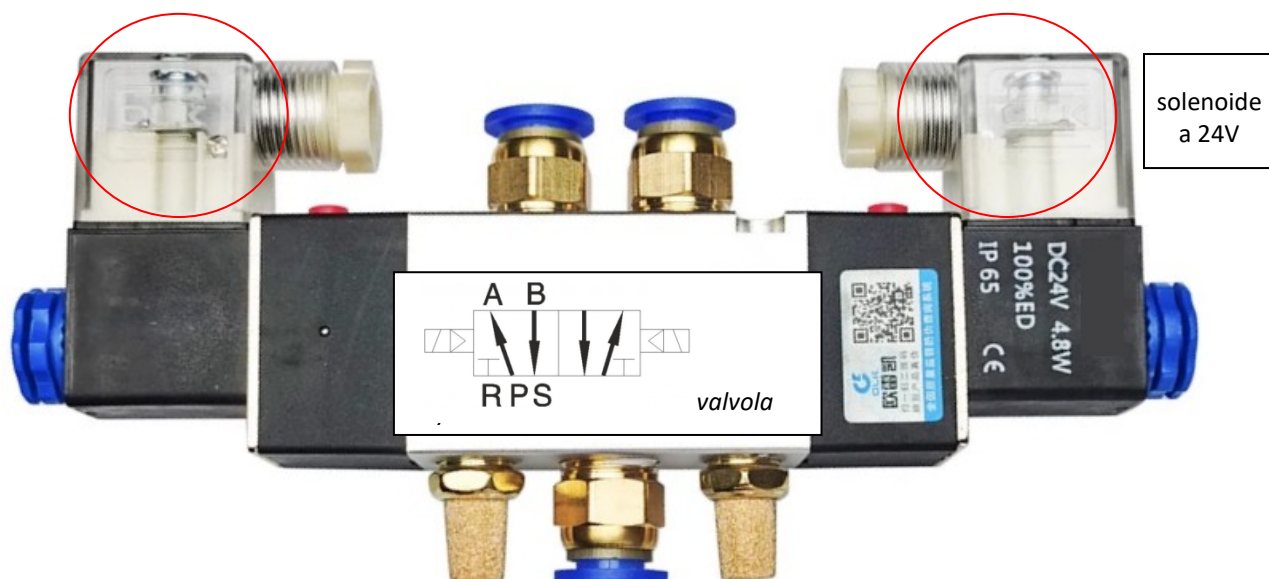
void setup() {
  pinMode(pinMotor, OUTPUT);
  pinMode(pinFinecorsa, INPUT_PULLUP);
}

void loop() {
  statoFinecorsa = digitalRead(pinFinecorsa);
  if (statoFinecorsa == 1) { digitalWrite(pinMotor,HIGH); }
  else { digitalWrite(pinMotor,LOW); }
  delay(20);
}
```

Mettere 2 strati di nastro isolante per evitare contatto diretto fra shield e connettore!

## ELETTROVALVOLE PNEUMATICHE

Una elettrovalvola (o valvola a solenoide) è una valvola che utilizza la forza elettromagnetica per funzionare. Quando una corrente elettrica viene fatta passare attraverso la bobina del solenoide (generalmente alimentata a 24V), viene generato un campo magnetico che provoca il movimento di un perno metallico che permette il passaggio dell'aria da una via ad un'altra.



## PANNELLO DI ELETTROPNEUMATICA

Il pannello per effettuare delle prove utilizza due cilindri connessi a due elettrovalvole 5/2.

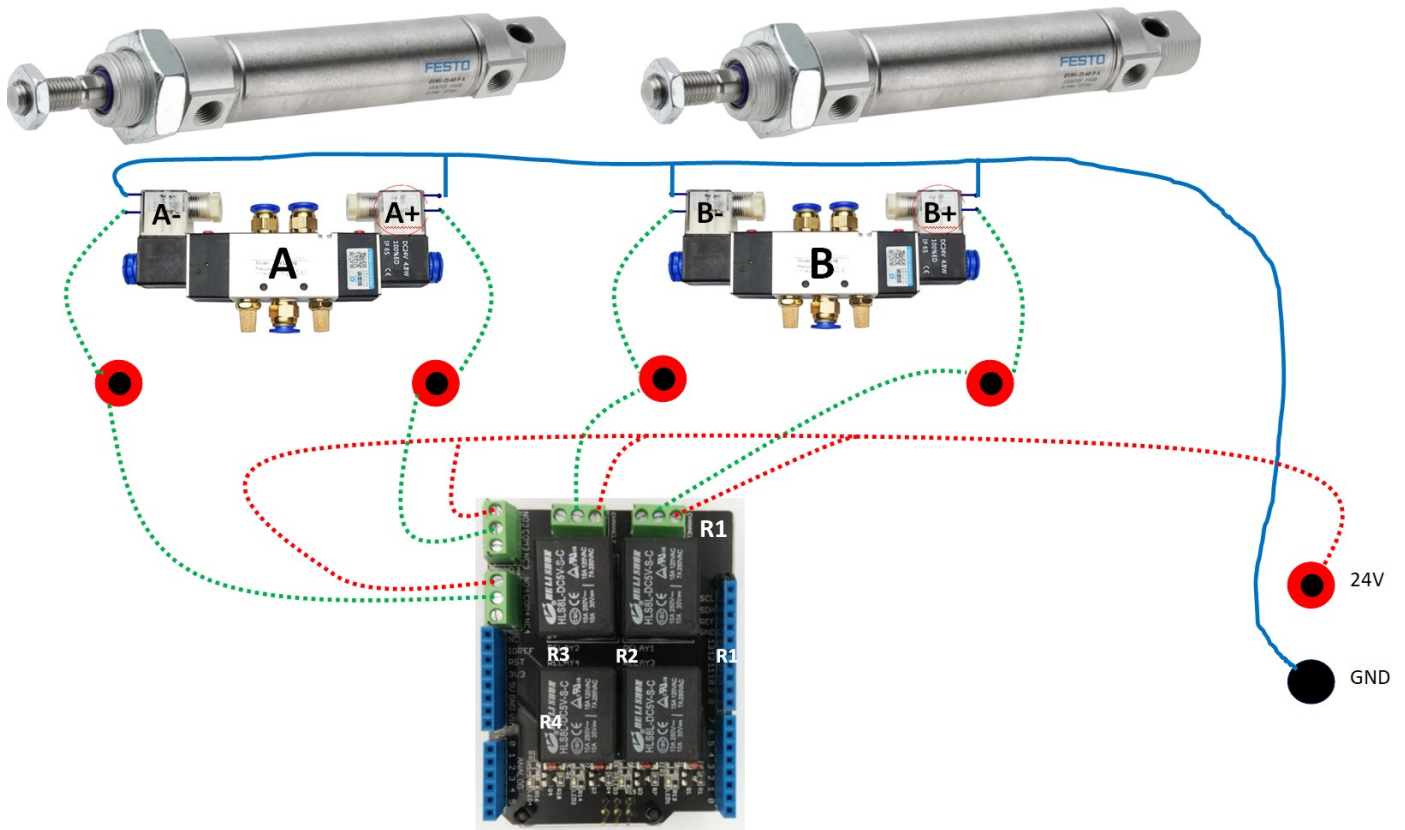
L'uscita dei 4 solenoidi delle elettrovalvole sono tutte connesse a massa.

I quattro ingressi invece sono disponibili per il collegamento esterno a 24V.

Per attivare una fase dei cilindri è necessario alimentare il solenoide corrispondente della elettrovalvola connessa tramite la chiusura del contatto NO dei relè comandati da Arduino in modo da far fluire la corrente dal generatore esterno (24V) al solenoide la cui uscita è già a massa (si chiude il circuito di alimentazione).

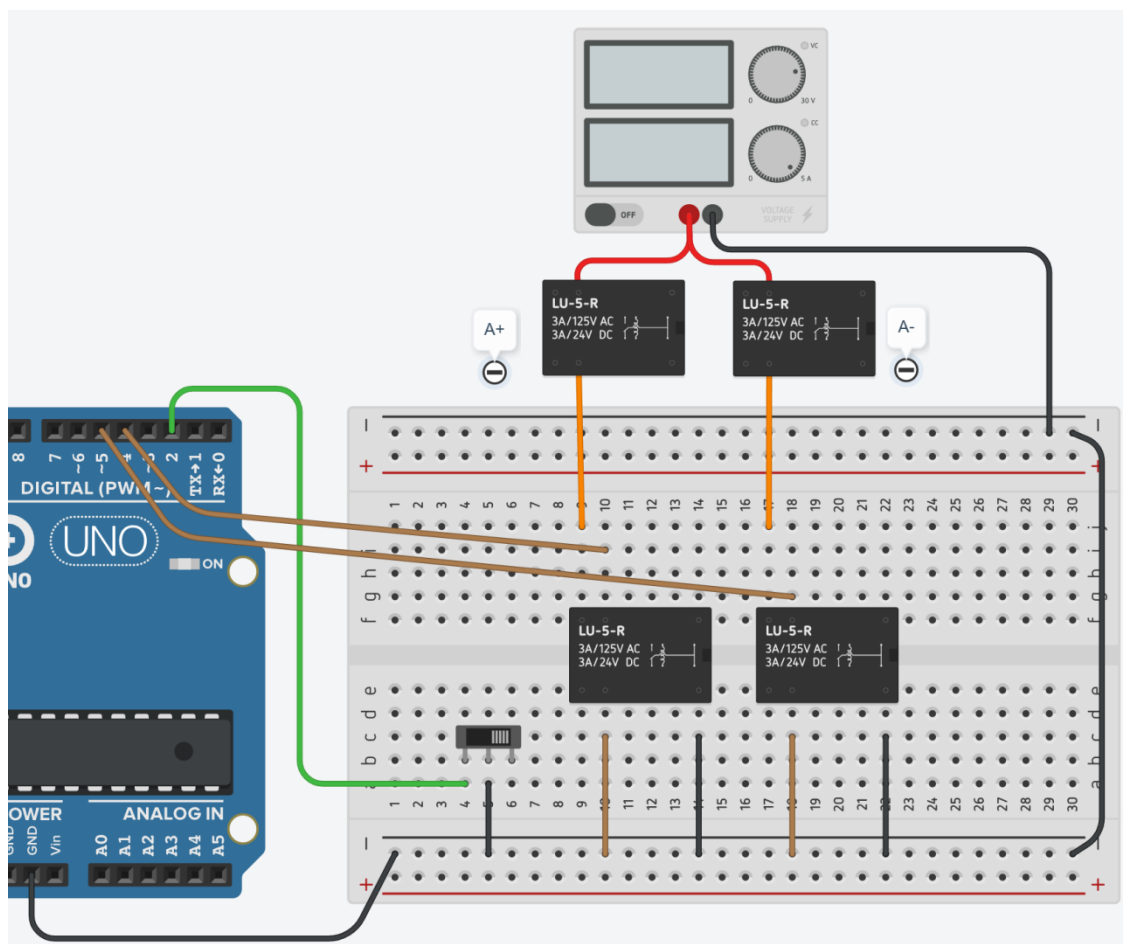
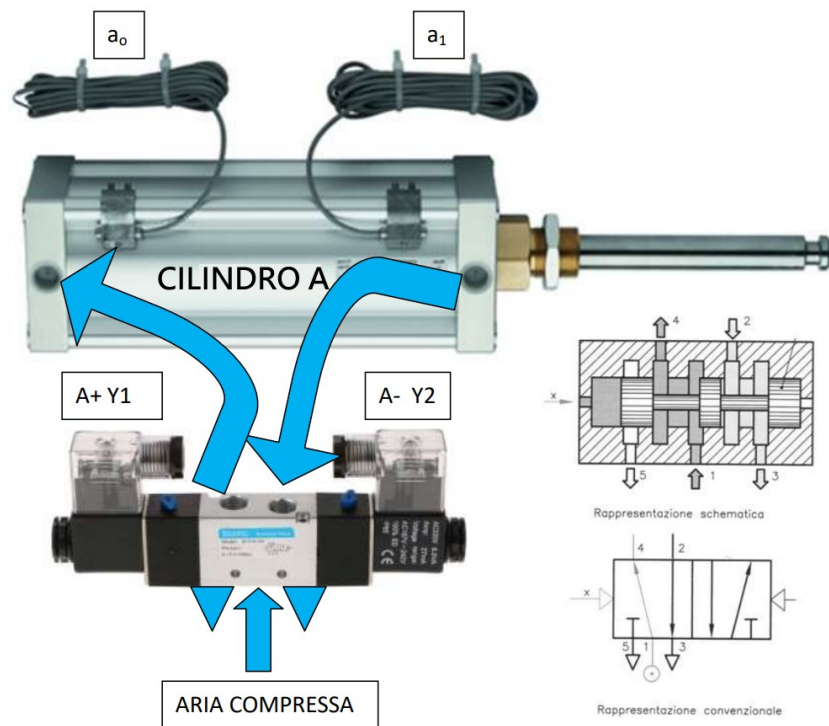
### ESEMPIO

Ad esempio per attivare la fase B+ del cilindro B (a destra) si deve attivare da Arduino il relè R1 in modo che la corrente dal generatore 24V possa arrivare al solenoide B+



## 1° ESERCIZIO

Simulare la sequenza pneumatica manuale A+ A-. Non utilizzare i finecorsa.  
 Mantenere lo stato dello stelo per 2 secondi. L'avvio avviene premendo Start.



## Codice

```
long t0=0;
int n=0;

void setup() {
  Serial.begin(9600);
  pinMode(2, INPUT_PULLUP);
  pinMode(4, OUTPUT);
  pinMode(5, OUTPUT);

  //disattivo bobine A
  digitalWrite(4, LOW);
  digitalWrite(5, HIGH);
}

void loop() {
  int sensorVal = digitalRead(2);

  // Start
  if (sensorVal == LOW && n<1) {
    n= n+1;
    // A
    Serial.println("A+");
    digitalWrite(4, HIGH);
    digitalWrite(5, LOW);
    delay(1000);
    // A-
    Serial.println("A-");
    digitalWrite(4, LOW);
    digitalWrite(5, HIGH);
    delay(1000);
  }

  if (sensorVal == HIGH) {
    if (millis() - t0 > 1000) {
      Serial.println("riposo");
      digitalWrite(4, LOW);
      digitalWrite(5, HIGH);
      n=0;
      t0= millis();
    }
  }
}
```

## Codice

```
// Definizione dei pin
const int PIN_INTERR_START = 2; // Pin per l'interruttore START
const int PIN_RELE_APIU = 4; // Pin per il relè A+ (APIU)
const int PIN_RELE_AMENO = 5; // Pin per il relè A- (AMENO)

// Costanti di temporizzazione (in millisecondi)
const long DURATA_RELE = 2000; // 2 secondi

// Variabili di stato
enum StatoSequenza {
  STANDBY,
  ATTIVA_APIU,
  ATTIVA_AMENO,
  INTERRUZIONE
};
StatoSequenza statoCorrente = STANDBY;

// Variabili per la gestione del tempo
unsigned long tempoInizioFase = 0;
```

```

int statoInterruttore = HIGH; // Lo stato dell'interruttore

void setup() {
  pinMode(PIN_INTERR_START, INPUT_PULLUP);
  // Configurazione dei pin dei relè come output
  pinMode(PIN_RELE_APIU, OUTPUT);
  pinMode(PIN_RELE_AMENO, OUTPUT);
  // Assicurati che i relè siano disattivati all'avvio
  digitalWrite(PIN_RELE_APIU, LOW);
  digitalWrite(PIN_RELE_AMENO, LOW);

  Serial.begin(9600); // Avvio della comunicazione seriale per debug
  Serial.println("Sistema avviato. Stato: STANDBY");
}

void loop() {
  // Legge lo stato attuale dell'interruttore
  statoInterruttore = digitalRead(PIN_INTERR_START);

  // *** Logica di Interruzione Prioritaria ***
  if (statoInterruttore == HIGH && (statoCorrente == ATTIVA_APIU || statoCorrente == ATTIVA_AMENO)) {
    statoCorrente = INTERRUZIONE;
    Serial.println("Interruttore rilasciato. Interruzione sequenza.");
  }

  // *** Logica della Macchina a Stati ***
  switch (statoCorrente) {
    case STANDBY:
      // Aspetta che l'interruttore START venga premuto (LOW)
      if (statoInterruttore == LOW) {
        // Avvia la prima fase
        tempoInizioFase = millis(); // Registra il tempo di inizio
        digitalWrite(PIN_RELE_APIU, HIGH); // Attiva il relè A+
        statoCorrente = ATTIVA_APIU;
        Serial.println("START premuto. Stato: ATTIVA_APIU");
      }
      break;

    case ATTIVA_APIU:
      // Verifica se sono trascorsi 2 secondi
      if (millis() - tempoInizioFase >= DURATA_RELE) {
        digitalWrite(PIN_RELE_APIU, LOW); // Disattiva il relè A+

        // Avvia la seconda fase
        tempoInizioFase = millis(); // Aggiorna il tempo di inizio
        digitalWrite(PIN_RELE_AMENO, HIGH); // Attiva il relè A-
        statoCorrente = ATTIVA_AMENO;
        Serial.println("Tempo A+ scaduto. Stato: ATTIVA_AMENO");
      }
      // Se l'interruttore viene rilasciato, si passa a INTERRUZIONE tramite la logica prioritaria.
      break;

    case ATTIVA_AMENO:
      // Verifica se sono trascorsi 2 secondi
      if (millis() - tempoInizioFase >= DURATA_RELE) {
        digitalWrite(PIN_RELE_AMENO, LOW); // Disattiva il relè A-
        statoCorrente = STANDBY;
        Serial.println("Tempo A- scaduto. Sequenza terminata. Stato: STANDBY");
      }
      // Se l'interruttore viene rilasciato, si passa a INTERRUZIONE tramite la logica prioritaria.
      break;

    case INTERRUZIONE:
      // Disattiva entrambi i relè e torna in STANDBY
      digitalWrite(PIN_RELE_APIU, LOW);
      digitalWrite(PIN_RELE_AMENO, LOW);

      // La sequenza è interrotta. Torna in STANDBY per aspettare una nuova pressione.
      statoCorrente = STANDBY;
      Serial.println("Relè disattivati. Stato: STANDBY");
      break;
  }
}

```

```

// Definizione dei pin
const int PIN_PULS_START = 2; // Pin per il pulsante START
const int PIN_PULS_STOP = 3; // Pin per il pulsante STOP
const int PIN_RELE_APIU = 4; // Pin per il relè A+ (APIU)
const int PIN_RELE_AMENO = 5; // Pin per il relè A- (AMENO)

// Costanti di temporizzazione (in millisecondi)
const long DURATA_RELE = 2000; // 2 secondi

// Variabili di stato
enum StatoSequenza {
    STANDBY,
    ATTIVA_APIU,
    ATTIVA_AMENO,
    STOP_INTERRUZIONE
};
StatoSequenza statoCorrente = STANDBY;

// Variabili per la gestione del tempo
unsigned long tempoInizioFase = 0;

// Variabili per il debounce dei pulsanti (opzionale ma consigliato)
int statoPulsStart = LOW;
int statoPulsStop = LOW;

void setup() {
    // Configurazione dei pin dei pulsanti come input con pull-up interno
    pinMode(PIN_PULS_START, INPUT_PULLUP);
    pinMode(PIN_PULS_STOP, INPUT_PULLUP);

    // Configurazione dei pin dei relè come output
    pinMode(PIN_RELE_APIU, OUTPUT);
    pinMode(PIN_RELE_AMENO, OUTPUT);

    // Assicurati che i relè siano disattivati all'avvio (HIGH o LOW a seconda del modulo relè, qui assumiamo
LOW = OFF)
    digitalWrite(PIN_RELE_APIU, LOW);
    digitalWrite(PIN_RELE_AMENO, LOW);

    Serial.begin(9600); // Avvio della comunicazione seriale per debug
    Serial.println("Sistema avviato. Stato: STANDBY");
}

void loop() {
    // Lettura e gestione dello stato dei pulsanti (i pulsanti usano pull-up, quindi LOW = premuto)
    statoPulsStart = digitalRead(PIN_PULS_START);
    statoPulsStop = digitalRead(PIN_PULS_STOP);

    // *** Gestione prioritaria del pulsante STOP ***
    // Se STOP è premuto e non siamo già in STOP, interrompi tutto
    if (statoPulsStop == LOW && statoCorrente != STOP_INTERRUZIONE) {
        statoCorrente = STOP_INTERRUZIONE;
        Serial.println("Pulsante STOP premuto. Interruzione immediata.");
    }

    // *** Logica della Macchina a Stati ***
    switch (statoCorrente) {
        case STANDBY:
            // Aspetta che il pulsante START venga premuto
            if (statoPulsStart == LOW) {
                // Avvia la prima fase
                tempoInizioFase = millis(); // Registra il tempo di inizio
                digitalWrite(PIN_RELE_APIU, HIGH); // Attiva il relè A+
                statoCorrente = ATTIVA_APIU;
                Serial.println("START premuto. Stato: ATTIVA_APIU");
            }
            break;

        case ATTIVA_APIU:
            // Verifica se sono trascorsi 2 secondi
            if (millis() - tempoInizioFase >= DURATA_RELE) {
                digitalWrite(PIN_RELE_APIU, LOW); // Disattiva il relè A+

                // Avvia la seconda fase
                tempoInizioFase = millis(); // Aggiorna il tempo di inizio
                digitalWrite(PIN_RELE_AMENO, HIGH); // Attiva il relè A-
                statoCorrente = ATTIVA_AMENO;
                Serial.println("Tempo A+ scaduto. Stato: ATTIVA_AMENO");
            }
    }
}

```

```

// NOTA: Se viene premuto STOP, la condizione 'if (statoPulsStop == LOW...)' all'inizio del loop
// cambia lo stato in STOP_INTERRUZIONE, uscendo da questa fase al prossimo loop().
break;

case ATTIVA_AMENO:
// Verifica se sono trascorsi 2 secondi
if (millis() - tempoInizioFase >= DURATA_RELE) {
    digitalWrite(PIN_RELE_AMENO, LOW); // Disattiva il relè A-
    statoCorrente = STANDBY;
    Serial.println("Tempo A- scaduto. Sequenza terminata. Stato: STANDBY");
}
// NOTA: Se viene premuto STOP, la condizione 'if (statoPulsStop == LOW...)' all'inizio del loop
// cambia lo stato in STOP_INTERRUZIONE, uscendo da questa fase al prossimo loop().
break;

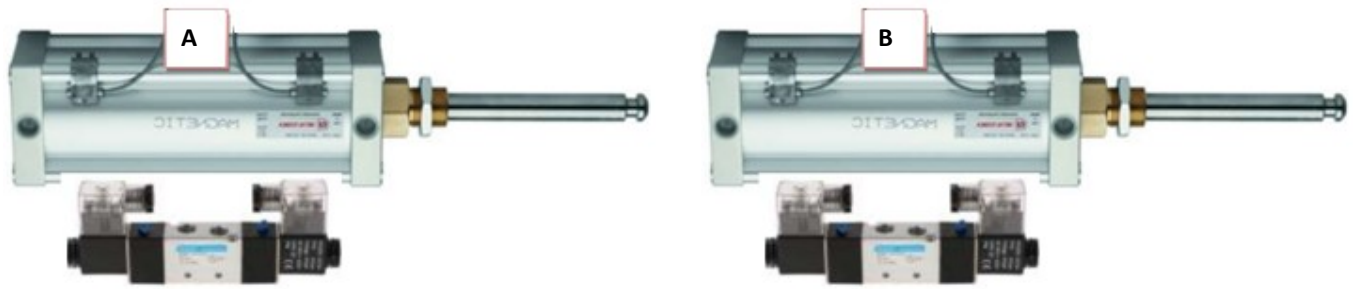
case STOP_INTERRUZIONE:
// Disattiva entrambi i relè e torna in STANDBY
digitalWrite(PIN_RELE_APIU, LOW);
digitalWrite(PIN_RELE_AMENO, LOW);

// Aspetta che il pulsante STOP venga rilasciato prima di tornare in STANDBY
if (statoPulsStop == HIGH) {
    statoCorrente = STANDBY;
    Serial.println("Relè disattivati. Stato: STANDBY");
}
break;
}
}

```

## 2° ESERCIZIO

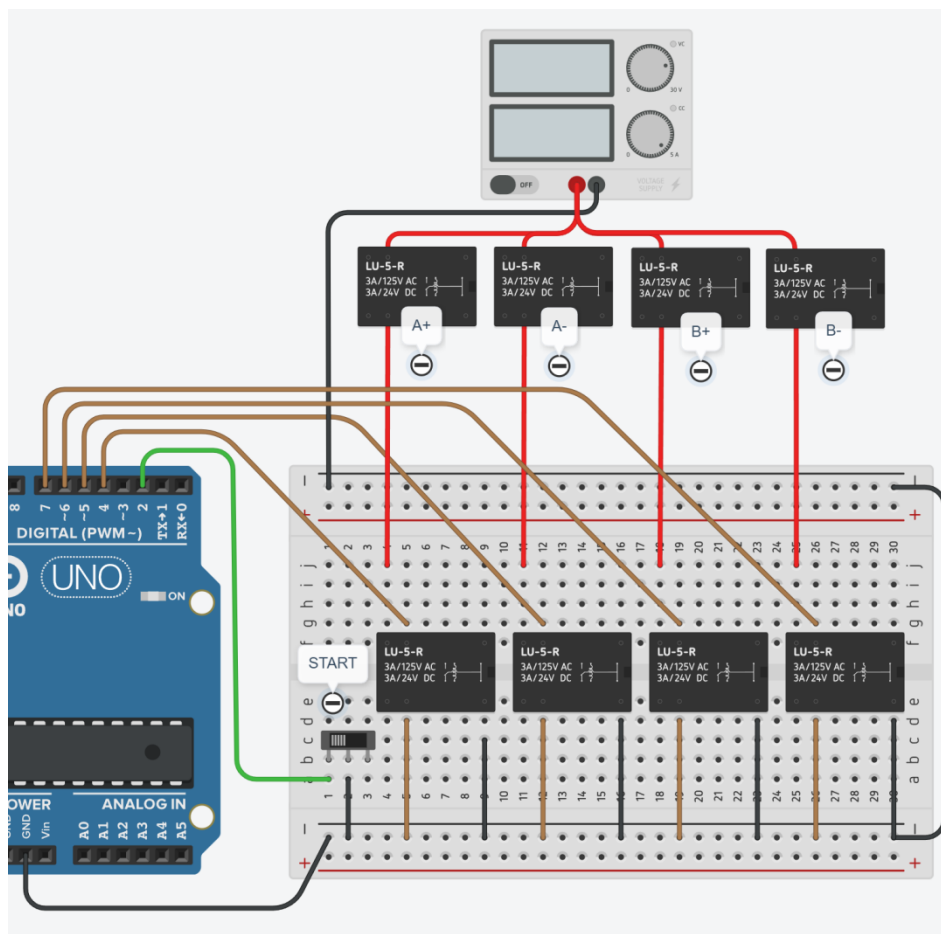
Realizzare la sequenza pneumatica manuale **A+A-B+B-** utilizzando lo shield relè per comandare le elettrovalvole a 24V. Non utilizzare i finecorsa. Mantenere lo stato dello stelo per 2 secondi. L'avvio avviene premendo Start.



24V



Simulazione Thinkercad



## Codice

```
long t0=0;
int n=0;

void setup() {
  Serial.begin(9600);
  pinMode(2, INPUT_PULLUP);
  pinMode(4, OUTPUT);
  pinMode(5, OUTPUT);
  pinMode(6, OUTPUT);
  pinMode(7, OUTPUT);

  //parto con A- attivo --> stelo dentro
  digitalWrite(4, LOW); digitalWrite(5, HIGH);
  //parto con B- attivo --> stelo dentro
  digitalWrite(6, LOW); digitalWrite(7, HIGH);
}

void loop() {
  int sensorVal = digitalRead(2);

  // Start
  if (sensorVal == LOW && n<1) {
    n= n+1;
    // A+
    Serial.println("A+");
    digitalWrite(4, HIGH);
    digitalWrite(5, LOW);
    delay(2000);
    // A-
    Serial.println("A-");
    digitalWrite(4, LOW);
    digitalWrite(5, HIGH);
    delay(2000);
    // B+
    Serial.println("B+");
    digitalWrite(6, HIGH);
    digitalWrite(7, LOW);
    delay(2000);
    // B-
    Serial.println("B-");
    digitalWrite(6, LOW);
    digitalWrite(7, HIGH);
    delay(2000);
  }

  if (sensorVal == HIGH) {
    if (millis() - t0 > 1000) {
      Serial.println("riposo");
      digitalWrite(4, LOW); digitalWrite(5, HIGH);
      digitalWrite(6, LOW); digitalWrite(7, HIGH);
      n=0;
      t0= millis();
    }
  }
}
```



# SENSORI DI PROSSIMITA'

Il sensore di prossimità si riferisce a un tipo di sensore senza contatto che emette un campo di energia per rilevare la presenza o l'assenza di un oggetto. Può trattarsi di un sensore di prossimità per dispositivi mobili, un sensore di prossimità per sistemi di sicurezza o i diversi tipi di sensori di prossimità utilizzati nell'automazione industriale.

A causa della loro natura senza contatto, i sensori di prossimità presentano molti vantaggi rispetto ai sensori di contatto. Sono affidabili, durevoli e richiedono poca manutenzione. Inoltre non producono alcun movimento fisico o trasferimento di calore all'oggetto target e possono essere utilizzati in ambienti difficili.

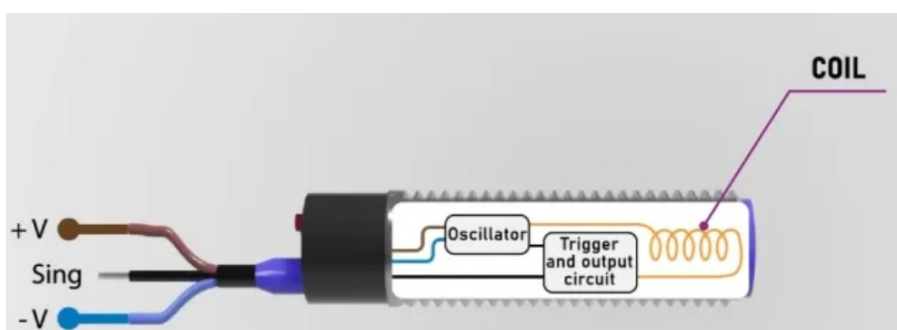
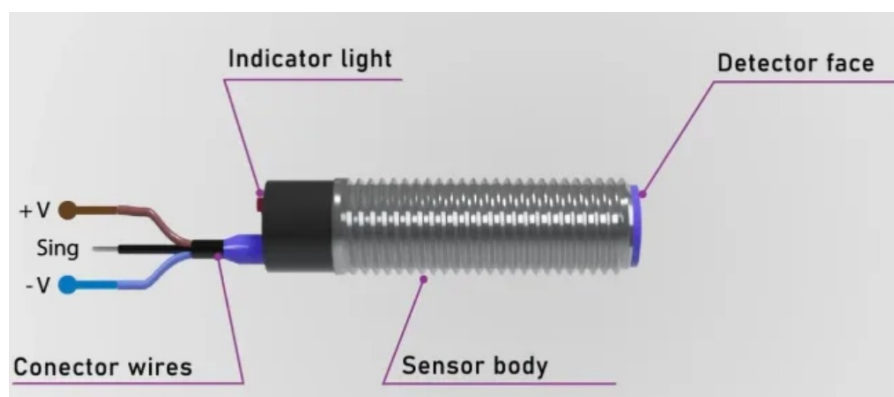
Un sensore di prossimità può utilizzare onde elettromagnetiche, luce o ultrasuoni per rilevare l'oggetto. Alcuni rilevano solo i metalli, mentre altri possono individuare sia bersagli metallici che non metallici.

## TIPI DI SENSORI DI PROSSIMITÀ

Sulla base delle diverse forme di tecnologie di rilevamento, i sensori di prossimità sono classificati in cinque categorie:

- Sensore di prossimità induttivo;
- Sensore di prossimità capacitivo;
- Sensore di prossimità a ultrasuoni;
- Sensore di prossimità magnetico;
- Sensore di prossimità ottico.

## 1. SENSORE DI PROSSIMITÀ INDUTTIVO



Il sensore di prossimità induttivo è chiamato così per utilizzare i principi dell'induttanza per rilevare la presenza di un bersaglio metallico, senza effettuare alcun contatto fisico. Uno dei tipi più comuni di questo sensore è il sensore di prossimità a correnti parassite.

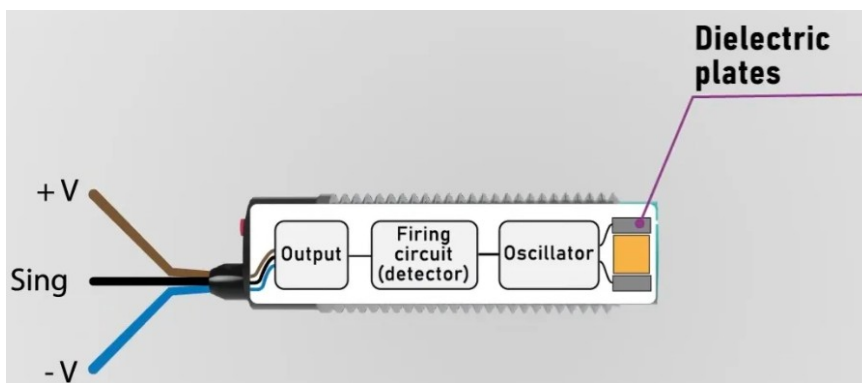
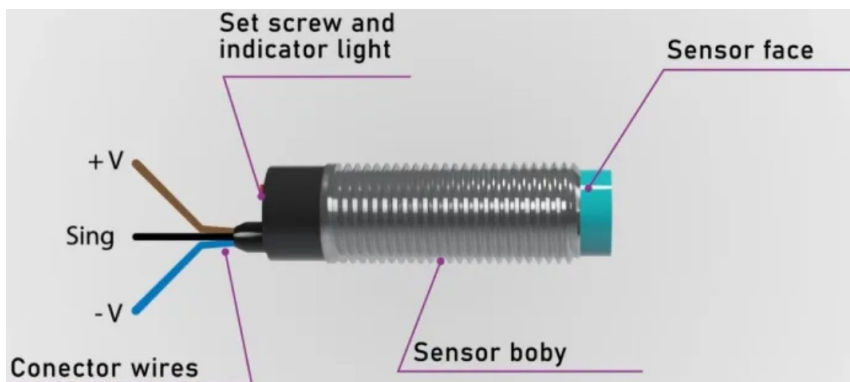
Questi sensori sono costituiti principalmente da un oscillatore, una bobina attorno a un nucleo di ferrite e un trigger di Schmitt. Ecco come funziona un sensore di prossimità induttivo:

- Durante il funzionamento, l'oscillatore genera una corrente alternata che produce un campo elettromagnetico alternato attorno alla bobina.
- Questo campo si irradia dalla bobina per formare la zona di rilevamento.
- Se un oggetto metallico entra in questa zona di rilevamento, il campo magnetico oscillante induce correnti elettriche nel suo corpo. Queste sono chiamate correnti parassite.
- Le correnti parassite iniziano quindi a produrre un campo magnetico alternato, interferendo con il campo oscillante originale del sensore e modificandone le proprietà.
- Questa modifica attiva il trigger di Schmitt e il sensore è in grado di rilevare.

Si noti che questi tipi di sensori di prossimità non possono rilevare oggetti non metallici in quanto tali materiali non producono correnti parassite.

**Applicazioni:** Uno dei vantaggi dei sensori induttivi è la loro capacità di operare in ambienti contaminati: sono resistenti alla presenza di olio, sporcizia e persino umidità. I sensori di prossimità induttivi sono quindi ampiamente utilizzati nelle applicazioni industriali, automobilistiche e di macchine utensili.

## 2. SENSORE DI PROSSIMITÀ CAPACITIVO



Il sensore di prossimità capacitivo utilizza un campo elettrico per rilevare la presenza di un oggetto target.

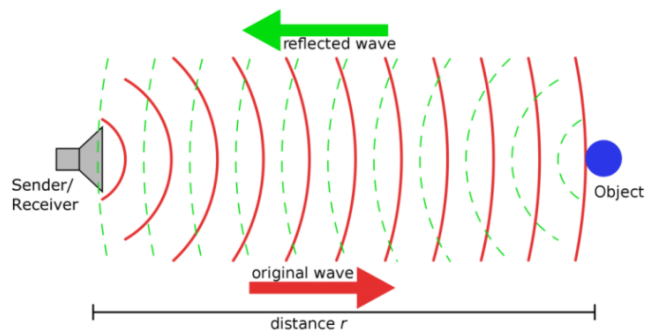
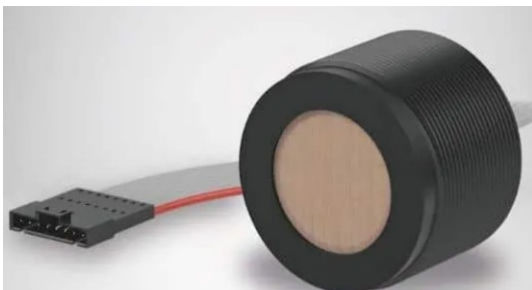
Si tratta fondamentalmente di un condensatore aperto la cui altra piastra è sostituita dal bersaglio, mentre l'aria tra la piastra del sensore e il bersaglio forma il dielettrico.

Ecco come funziona un sensore di prossimità capacitivo:

- Quando il bersaglio entra nel raggio del sensore, forma una capacità con la sua piastra di rilevamento, che aumenta man mano che l'oggetto si avvicina.
- Questa azione modifica il valore di capacità del circuito, che a sua volta produce un segnale elettrico utilizzato per rilevare la presenza.
- Il sensore capacitivo può rilevare sia metalli che non metalli. Questi possono essere polveri, granuli e liquidi o anche oggetti solidi.
- Poiché il principio di funzionamento del sensore di prossimità capacitivo si basa sull'aumento graduale della capacità, la sua velocità di rilevamento è generalmente inferiore a quella dei sensori induttivi.

**Applicazioni:** I sensori di prossimità capacitivi sono utilizzati in un'ampia gamma di applicazioni, compresi i processi di produzione di alimenti e bevande, il rilevamento del livello, la movimentazione dei materiali, i sistemi di controllo dell'automazione e altri ambienti industriali. Nel mondo dell'elettronica, questo è il tipo di sensore di prossimità per applicazioni di rilevamento di telefoni cellulari o tablet.

### 3. SENSORE DI PROSSIMITÀ A ULTRASUONI



Il sensore a ultrasuoni è leggermente diverso dai sensori induttivi e capacitivi. Questi tipi di sensori di prossimità funzionano emettendo onde ultrasoniche o onde sonore con una frequenza superiore al limite superiore dell'udito umano, che è di circa 20 kHz. Il sensore a ultrasuoni è costituito da queste parti:

- trasmettitore,
- ricevitore,
- processore di segnale,
- amplificatore
- modulo di alimentazione

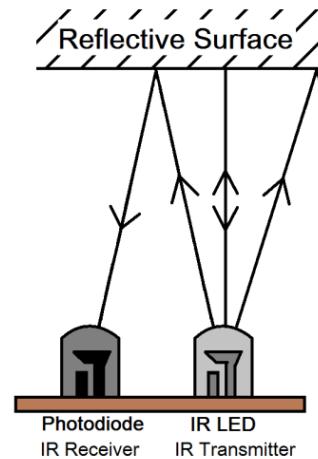
Il sensore funziona funzionando inviando impulsi sonori ad alta frequenza:

- Quando le onde sonore incontrano un ostacolo, rimbalzeranno al ricevitore.
- Il ricevitore utilizza quindi queste informazioni per determinare la presenza e la distanza tra l'oggetto e il sensore.

I sensori di prossimità a ultrasuoni offrono un'elevata velocità di rilevamento, anche per piccoli oggetti, e hanno un ampio raggio di rilevamento. Possono anche rilevare bersagli solidi e liquidi nella loro zona di rilevamento.

**Applicazioni:** I sensori di prossimità a ultrasuoni sono utilizzati principalmente nella robotica, nei sistemi di rilevamento ed evitamento degli ostacoli, nell'automazione industriale, nei sensori di parcheggio, ecc. Inoltre, questi tipi di sensori possono anche rilevare le vibrazioni, rendendoli adatti per le applicazioni di monitoraggio delle vibrazioni.

#### 4. SENSORE DI PROSSIMITÀ OTTICO



Il sensore ottico di prossimità funziona secondo il principio della riflessione della luce (In genere si utilizza infrarosso). Il sensore emette luce verso un oggetto target e misura la quantità di luce riflessa su di esso.

Generalmente i sensori ottici di prossimità vengono utilizzati in combinazione con un LED a infrarossi o un diodo laser. Ecco come funziona un sensore di prossimità ottico:

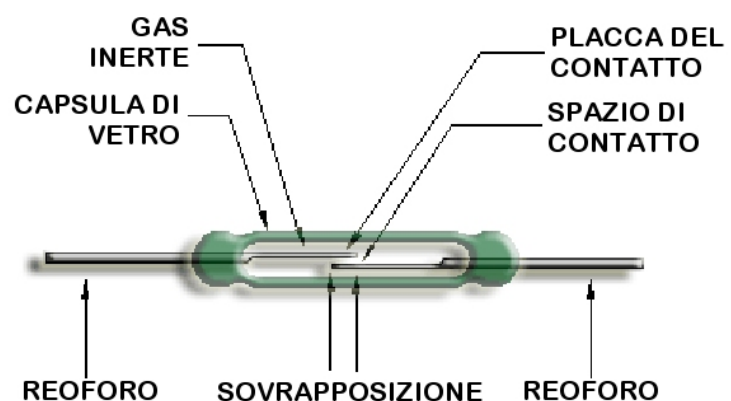
- Quando un oggetto target è abbastanza vicino al sensore, riflette parte dell'energia luminosa verso il rilevatore.
- Questo verrà poi amplificato e utilizzato come segnale elettrico per rilevare la presenza dell'oggetto.

I sensori di prossimità ottici di solito non sono influenzati da polvere, sporco o umidità.

Hanno anche un'alta risoluzione e possono rilevare con facilità anche oggetti molto piccoli nel loro raggio di rilevamento.

**Applicazioni:** I sensori di prossimità ottici sono ampiamente utilizzati per il rilevamento del livello nei liquidi, il rilevamento della posizione nelle macchine e nei processi di automazione. Sono anche utilizzati come metal detector nei sistemi di sicurezza e nei dispositivi di controllo degli accessi. Questi tipi di sensori di prossimità hanno trovato applicazione anche nei sistemi di navigazione per auto o droni.

#### 5. SENSORE DI PROSSIMITÀ MAGNETICO



Il sensore di prossimità magnetico funziona utilizzando l'attrazione tra il magnete e l'oggetto target per rilevare la presenza di un oggetto. Uno dei vantaggi di questi sensori è che possono rilevare bersagli magnetici attraverso materiali non metallici, come plastica e legno. Hanno anche un raggio di rilevamento abbastanza ampio.

Questo sensore può essere di diversi tipi e il suo funzionamento dipende dal tipo di tecnologia utilizzata.

I tipi di sensori di prossimità magnetici includono:

- tipo reed,
- switch,
- a riluttanza,
- magnetoresistivo,
- ad effetto Hall
- ad effetto GMR (magnetoresistivo gigante)

**Sensore reed switch:** il sensore di prossimità reed magnetico è costituito da due contatti ferromagnetici alloggiati in un involucro di vetro sigillato. Quando un magnete viene avvicinato al sensore, provoca la chiusura delle lamelle e completa un circuito.

**Sensore a riluttanza variabile:** questo sensore è costituito da un magnete permanente e una bobina captatrice attorno a un'espansione polare magnetica e funziona misurando le variazioni di riluttanza.

**Sensore ad effetto Hall:** questo tipo di sensore funziona misurando la resistenza alle variazioni di un materiale ferromagnetico quando ad esso viene applicato un campo magnetico.

**Sensore magnetoresistivo:** questi sensori funzionano rilevando le variazioni di resistenza elettrica causate dalla presenza di un magnete nelle vicinanze.

**Sensore GMR (gigante magneto resistivo):** questo tipo di sensore è composto principalmente da piastre ferromagnetiche separate da un distanziatore non magnetico. Quando un magnete viene avvicinato al sensore, provoca una variazione di resistenza che attiva un circuito.

**Applicazione:** i sensori di prossimità magnetici sono comunemente utilizzati come dispositivi di rilevamento della posizione in macchinari industriali, componenti automobilistici come l'albero motore e altri macchinari. Altre applicazioni includono la robotica e i sistemi di sicurezza. Questi tipi di sensori di prossimità offrono un funzionamento semplice e possono essere utilizzati in ambienti difficili come situazioni contaminate o con vibrazioni elevate.

**Tabella che riassume i vantaggi e gli svantaggi delle diverse tipologie di prossimità sensori:**

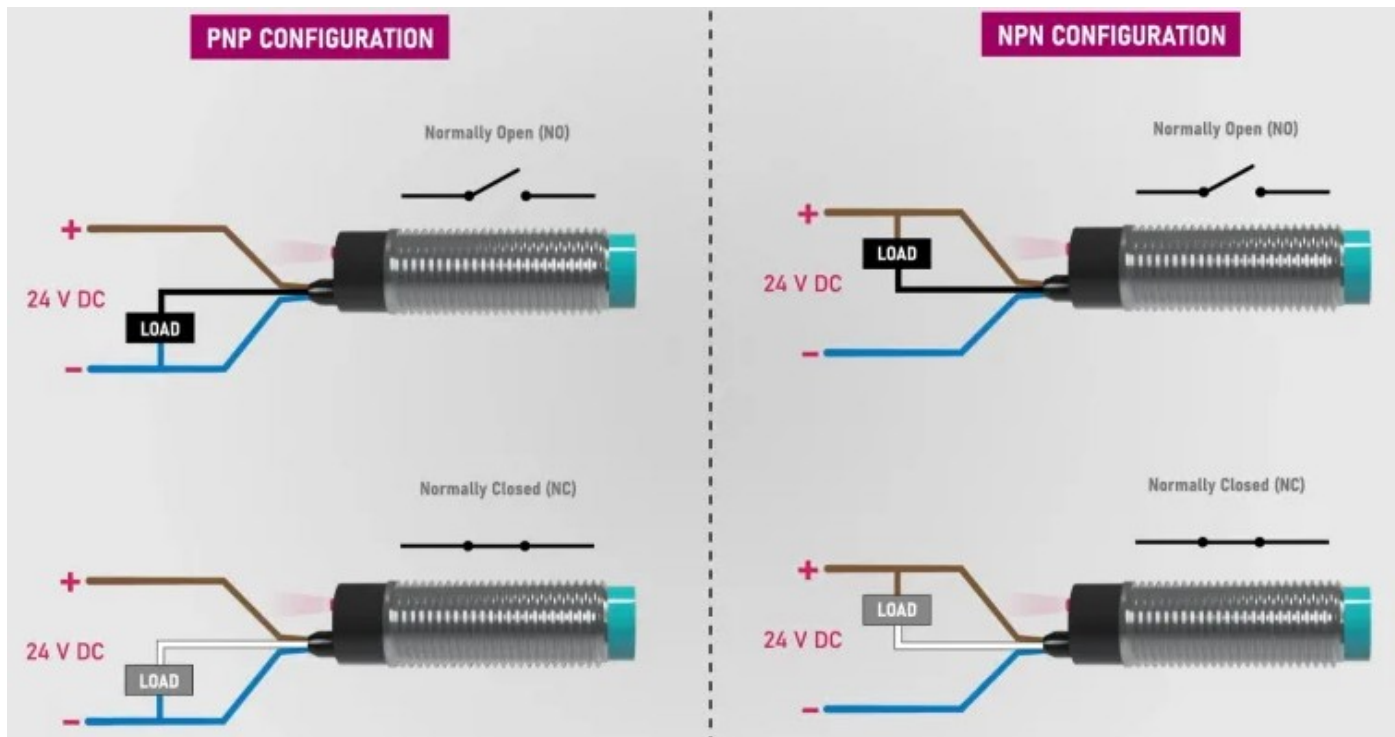
Digitare	vantaggio	difetto	Applicazioni tipiche
<b>Tipo induttivo</b>	Basso costo, velocità di risposta rapida, forte capacità anti-interferenza	Può rilevare solo oggetti metallici	Conteggio oggetti, controllo della posizione, rilevamento della presenza
<b>Tipo capacitivo</b>	Può rilevare oggetti metallici e non metallici, insensibile ai cambiamenti ambientali; velocità di risposta media	La distanza di rilevamento è fortemente influenzata dal materiale target	Rilevamento del livello del liquido, rilevamento del materiale, interruttore di prossimità
<b>Ultrasonico</b>	Può rilevare vari materiali, indipendentemente dal colore o dalla trasparenza, distanza misurabile; velocità di risposta bassa	Velocità di risposta lenta e suscettibilità al rumore ambientale	Misurazione della distanza, evitamento degli ostacoli, controllo del livello del liquido
<b>Tipo fotoelettrico</b>	Lunga distanza di rilevamento, elevata precisione e velocità di risposta rapida	Vulnerabile alle interferenze della luce ambientale e richiede una linea di vista libera	Conteggio oggetti, rilevamento della posizione, scansione di codici a barre

## CONFIGURAZIONI E APPLICAZIONI DEI SENSORI

Sia i sensori induttivi che quelli capacitivi offrono varie configurazioni per adattarsi alle diverse applicazioni industriali.

Questi sensori possono essere schermati o non schermati: quelli schermati consentono il montaggio a filo e quelli non schermati offrono un'area di rilevamento più ampia.

Sono disponibili in configurazioni normalmente aperte o normalmente chiuse, nonché in tipi di uscita NPN o PNP per la compatibilità con diversi sistemi di controllo.



## CONTATTO DRY (ASCIUTTO) E WET (BAGNATO)

Nel mondo dei sistemi elettrici ed elettronici, i termini "contatto a secco" e "contatto bagnato" sono frequentemente usati.

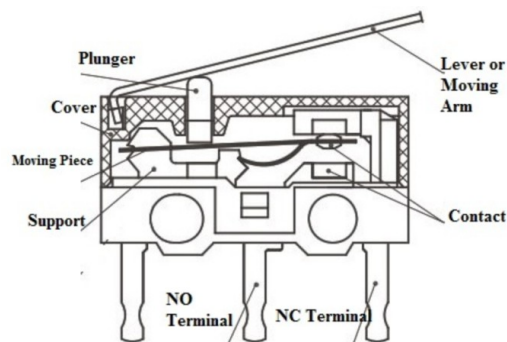
Il **contatto asciutto**, noto anche come "contatto senza tensione", è un tipo di contatto di relè o interruttore che non trasporta alcuna tensione o corrente dalla sua fonte di controllo. Richiede una fonte di alimentazione esterna per operare.

Essenzialmente, funziona come un semplice interruttore on/off, controllando il flusso di elettricità senza essere direttamente collegato alla fonte di alimentazione stessa. I contatti asciutti sono tipicamente utilizzati in applicazioni in cui un dispositivo o sistema deve essere controllato senza trasferire energia elettrica attraverso il componente di controllo.

Ad esempio, possono segnalare a un altro circuito di attivarsi o disattivarsi senza influenzarne le caratteristiche di tensione o corrente.

Il **contatto bagnato** invece trasporta la tensione internamente (ha una sua alimentazione dedicata) e può quindi a sua volta alimentare il dispositivo o il circuito collegato (es. una luce o un cicalino).

### Esempio di contatto asciutto e bagnato.



**METALWORK**  
PNEUMATIC

**W0950044180 reed**  
Batch: CO190238

- sensori magnetici di prossimità
- magnetic proximity switches
- magnetische nahungssensoren
- capteurs magnetiques de proximite

**3± max 30 V ac/dc**  
**200 mA**   **6 W**

**CE**

UL-CABLE  
2 FILI  
2 WIRES  
2 DRÄTTE  
2 FILS

marrone  
blu

BL-   BW+

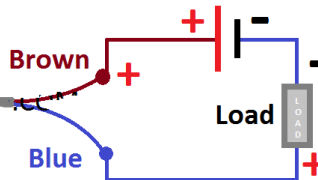
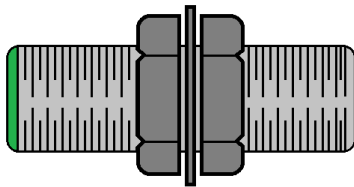
www.metalwork.it   metalwork@metalwork.it

**NOTA:** per applicazioni in ambienti industriali e/o rumorosi è consigliabile l'uso di sensori a 3 fili dove oltre ai due fili di alimentazione (Vcc e massa) è presente un terzo filo che trasporta il segnale che risulterà quindi meno disturbabile.

SENSORE A 2 FILI

2 Wire Type

Sensitive Face

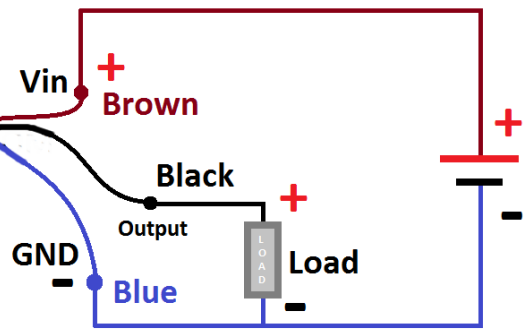
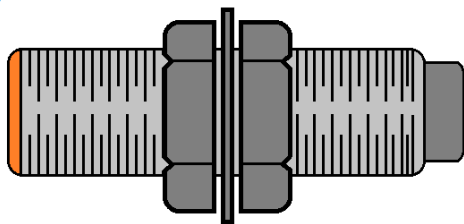


Here, a DC 2 Wire Type Sensor is shown, For AC 2-wire proximity Sensor, the connection also same just difference is here we care about polarity but in case of AC, Polarity not so much important Just connect the sensor in series with load and power supply

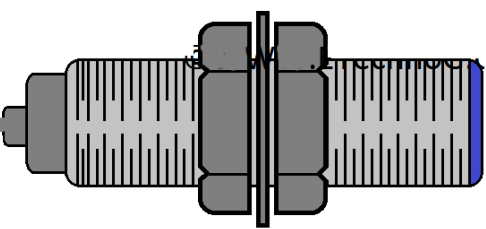
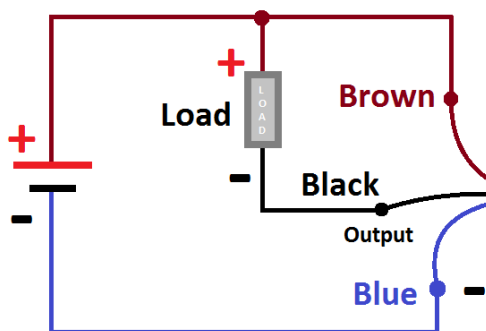
SENSORE A 3 FILI

3 Wire PNP Type

Sensitive Face



3 Wire NPN Type



Sensitive Face

What is Load?

Low Power loads can be connected directly, if you want to control high power load then use Switching devices such as Relay, Contactors with the sensor output

## TERMINALI E COLLEGAMENTI

Il sensore di prossimità a tre fili ha tre terminali:

- ingresso di tensione (colore marrone)
- uscita di tensione (colore nero)
- massa comune (colore blu).

Il sensore di prossimità è un sensore attivo che richiede un'alimentazione esterna per funzionare. Pertanto, dobbiamo fornire una tensione al suo terminale di ingresso.

La differenza principale tra i sensori di prossimità di tipo PNP e NPN è che il sensore di prossimità PNP fornisce un'uscita di tensione positiva (+), mentre il sensore di prossimità di tipo NPN fornisce un'uscita negativa (-).

Il sensore di prossimità a due fili ha due terminali e deve essere collegato in serie al carico e all'alimentatore.

Tuttavia, è necessario che vi sia un flusso di corrente minimo che mantenga attivo il sensore.

Per il sensore di prossimità a due fili CA, la polarità non è importante, ma nel caso del sensore a due fili CC, è necessario prestare attenzione alla polarità durante il collegamento.

### Procedura di connessione: tipo PNP a tre (3) fili

- Collegare il terminale positivo dell'alimentatore al terminale marrone del sensore.
- Collegare il terminale negativo dell'alimentatore al terminale blu del sensore.
- Collegare il terminale positivo del carico al terminale nero del sensore.
- Collegare il terminale negativo del carico al terminale blu del sensore.

### Procedura di connessione: tipo NPN a tre (3) fili

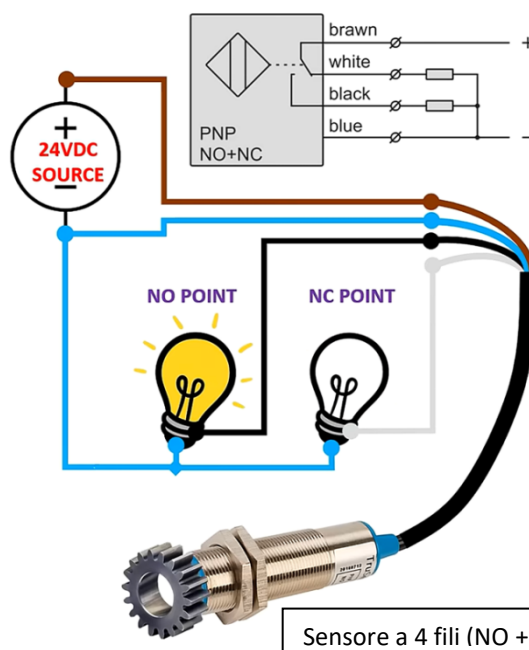
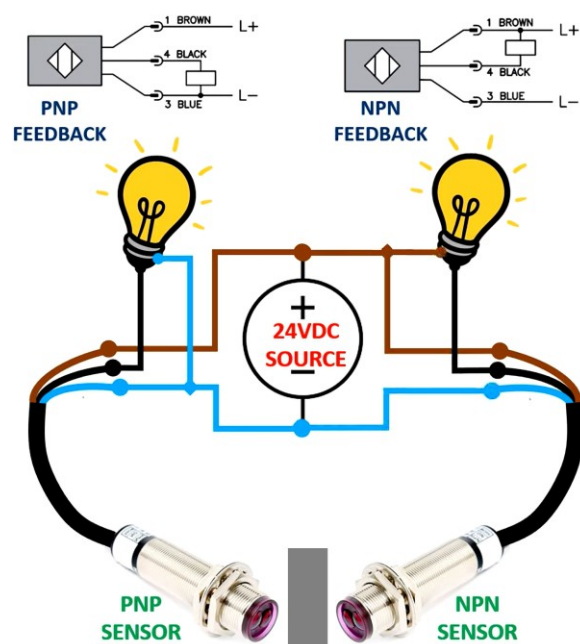
- Collegare il terminale positivo dell'alimentatore al terminale marrone del sensore.
- Collegare il terminale negativo dell'alimentatore al terminale blu del sensore.
- Collegare il terminale positivo del carico al terminale marrone del sensore.
- Collegare il terminale negativo del carico al terminale nero del sensore.

### Procedura di collegamento: tipo a due fili CC

- Collegare il terminale positivo dell'alimentatore al terminale marrone del sensore.
- Collegare il terminale negativo dell'alimentatore al terminale negativo del carico.
- Collegare il terminale positivo del carico al terminale blu del sensore.

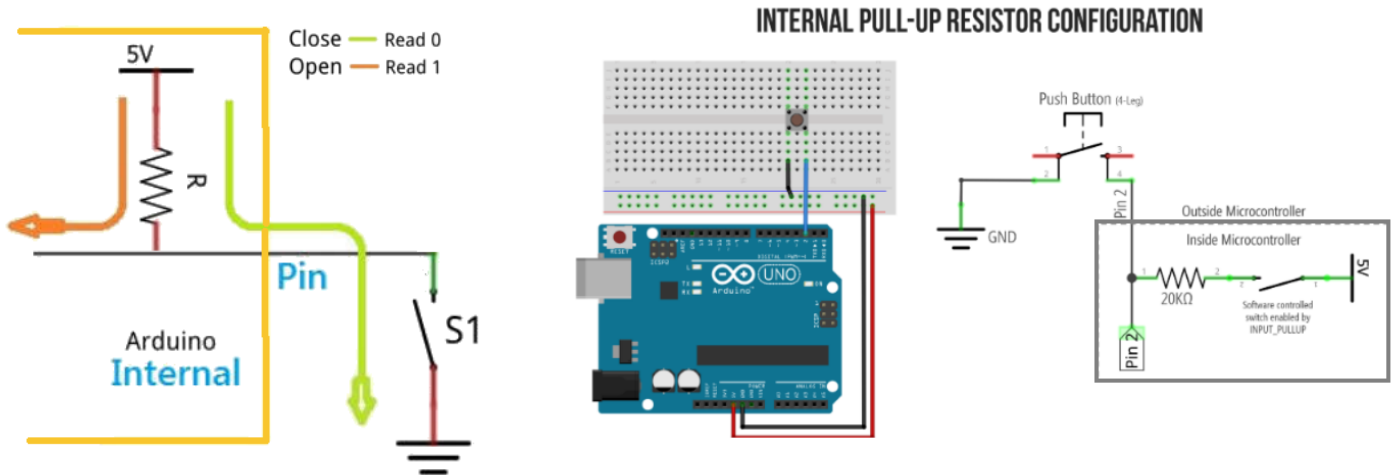
### Procedura di collegamento: tipo a due fili CA

- Collegare il terminale di fase dell'alimentatore al terminale marrone o rosso del sensore.
- Collegare il terminale neutro dell'alimentatore al terminale neutro del carico.
- Collegare il terminale di fase del carico al terminale blu del sensore.



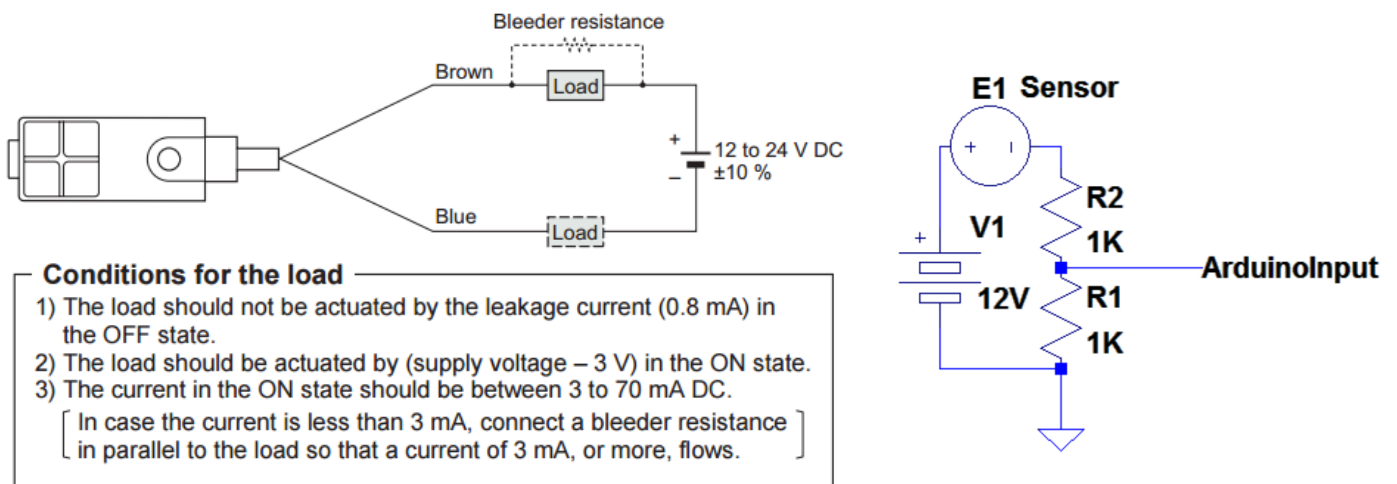
COLLEGAMENTO AD ARDUINO IN MODALITA' PULL-UP CON VCC<=5V

E' possibile attivare sul pin in ingresso una resistenza di pullup (pari a 30K). Nota: rispetto alle resistenze di pullup reali quelle software hanno il limite di avere un valore fisso che in certi casi potrebbe non essere adeguato.



LETTURA CONTATTO BAGNATO CON TENSIONE VCC > 5V CON ARDUINO

L'esempio mostra il collegamento di un sensore di prossimità induttivo a due fili ad Arduino che ha una caduta di tensione di 3V.



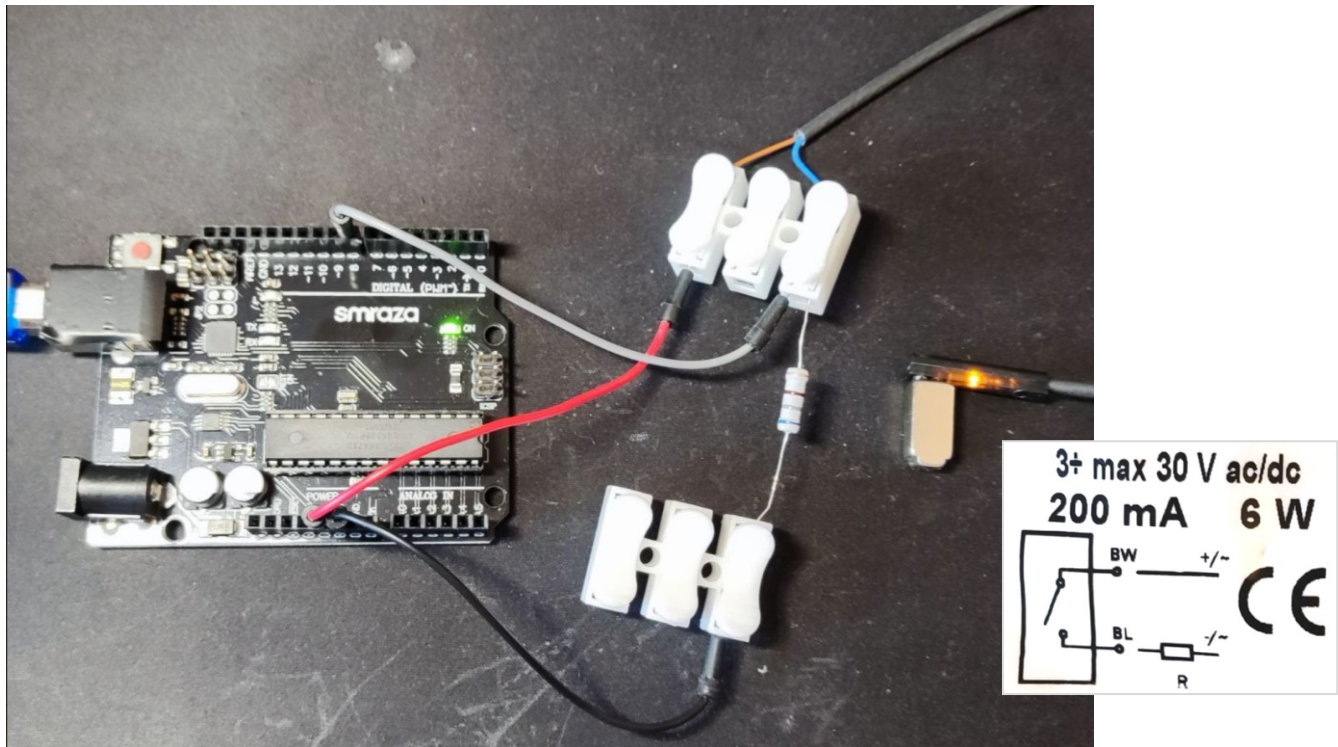
Si deve utilizzare un partitore di tensione come mostrato di seguito.

Poiché il carico del sensore è attivato da 12-3 = 9 V, l'uscita del partitore sarà di circa 4,5 V quando attivato e di circa 0,4 V quando non attivato.

Non si deve dimenticare di collegare la massa del sensore (terminale negativo della batteria da 12 V) alla massa dell'Arduino.

## SENSORE REED A DUE FILI

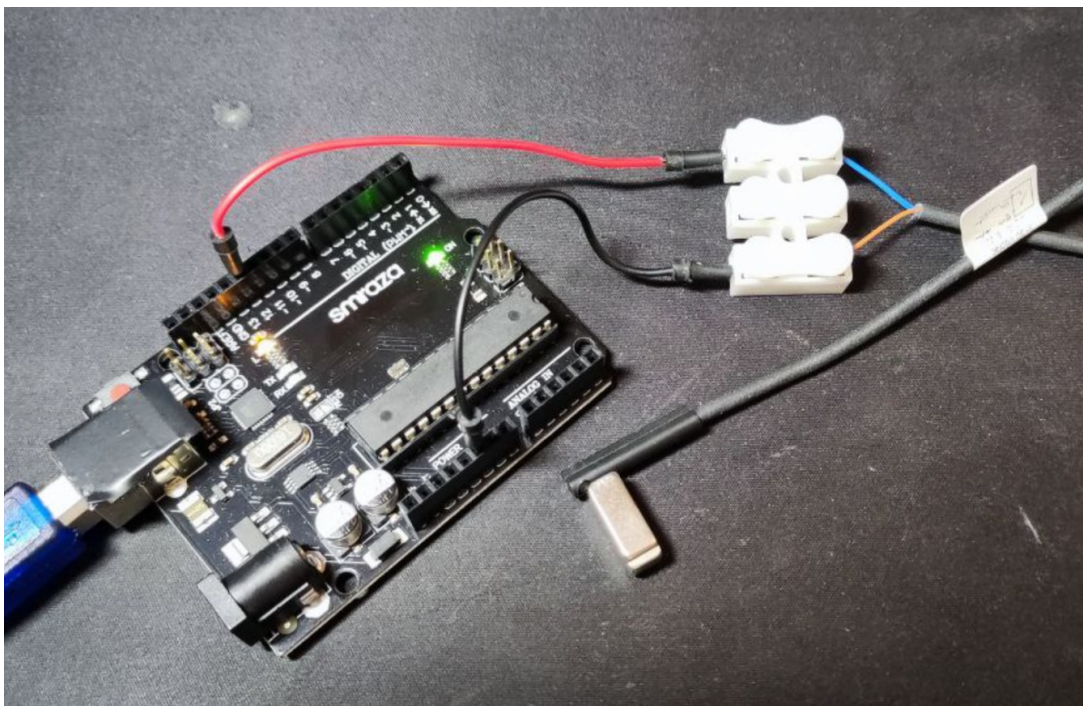
In generale, essendo per il sensore indicata una polarità (+-), il collegamento ad Arduino è quello classico in pullup con resistenza esterna. Quando non c'è il pezzo il pin digitale legge 0 (è a massa tramite la resistenza). Quando c'è il pezzo i 5V di Arduino alimentano il circuito e viene letta la caduta di tensione sulla resistenza di circa 5V.



Il sensore reed a due fili può essere connesso in modalità pullup interna con Arduino.

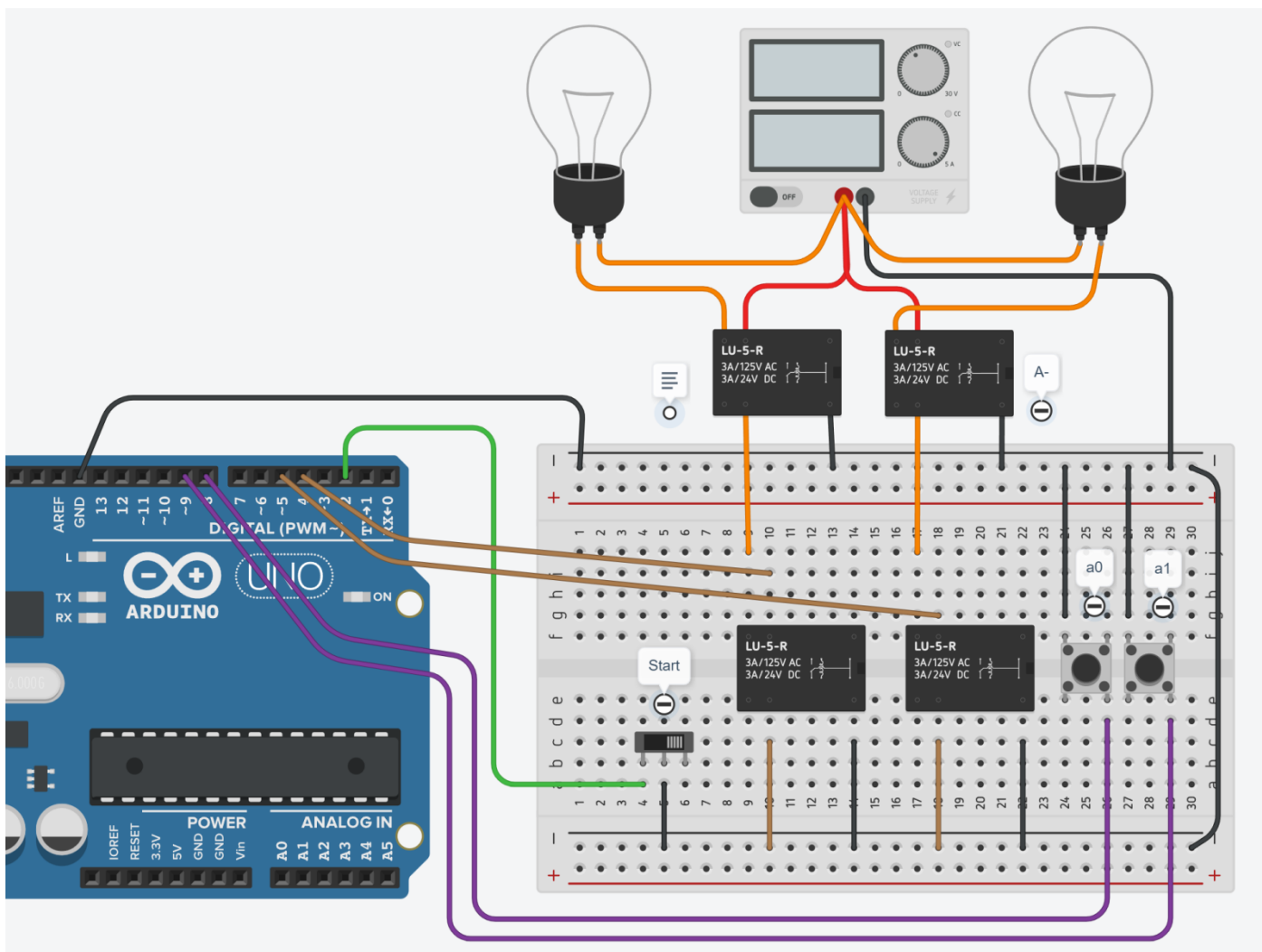
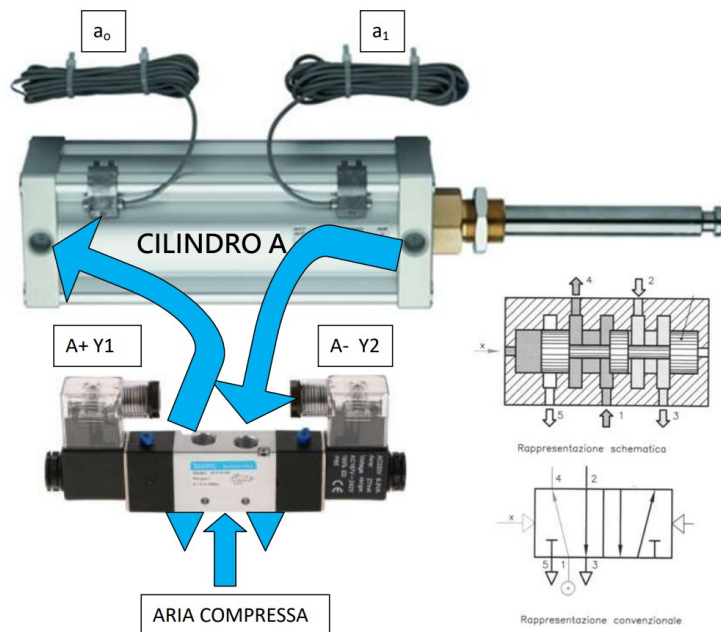
Questo in genere vale per sensori che possono essere alimentati anche in tensione alternata come quello in figura.

Quando non è presente il pezzo viene letto 1 mentre quando è presente viene letto 0. In questa modalità non è possibile attivare il diodo led interno del sensore.



## SEQUENZA PNEUMATICA CON GESTIONE FINECORSA REED ATTIVI

Simulare la sequenza pneumatica manuale A+ A-. Utilizzare i finecorsa reed a due file per gestire le fasi. Mantenere lo stato dello stelo per 2 secondi. L'avvio avviene premendo Start.



## CICLO WHILE

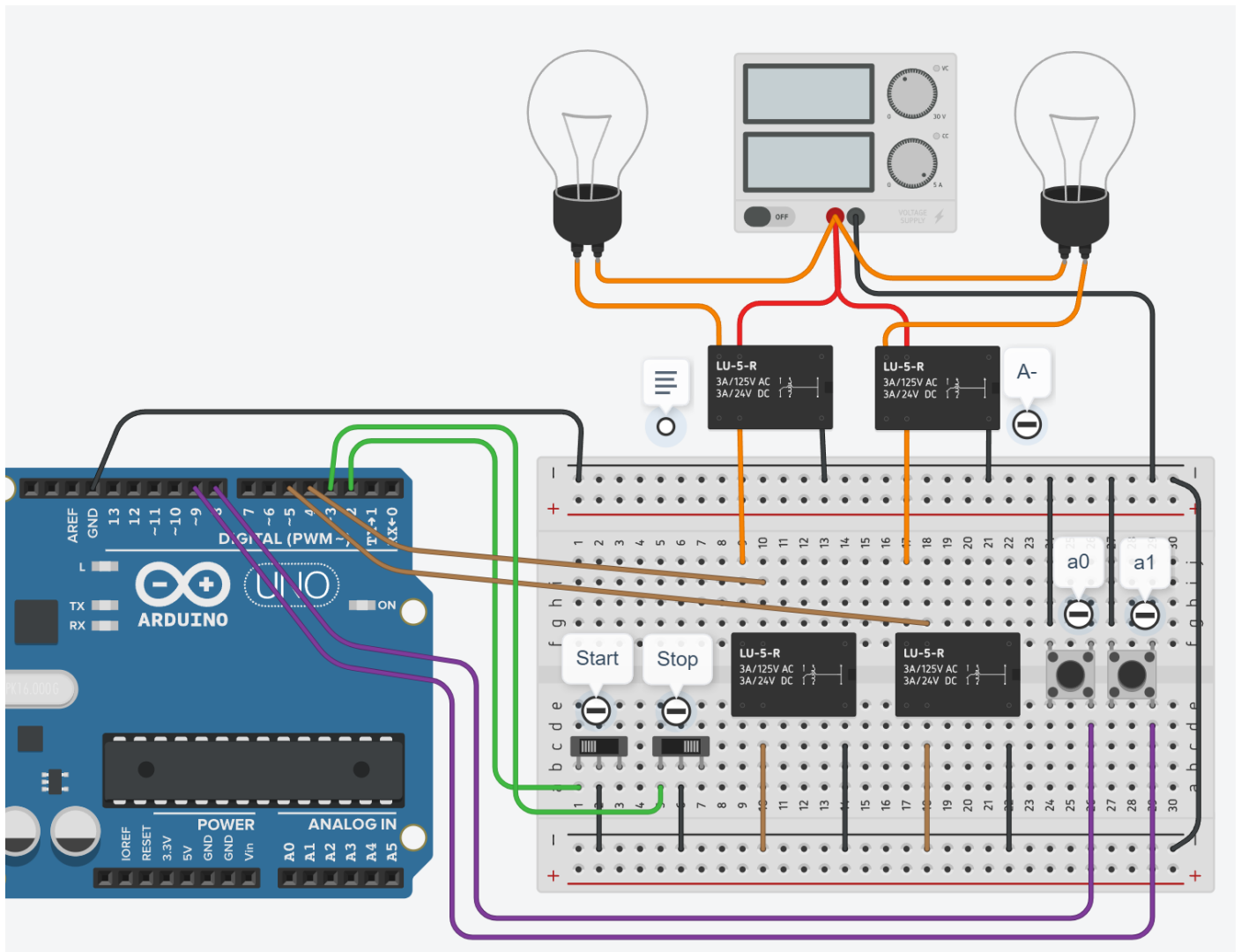
L'istruzione while esegue un blocco di codice ripetutamente finchè una specifica condizione (indicata tra parentesi) rimarrà vera. La sintassi è molto simile a quella dell'if:

```
while (condizione) {  
  codice;  
}
```

Se la condizione non è verificata, il codice non sarà eseguito e l'esecuzione passerà alle istruzioni successive.

### CODICE ARDUINO

```
int pinStart= 2;  
int pin_a0=8;  
int pin_a1=9;  
  
long t0=0;  
int n=0;  
  
void setup() {  
  Serial.begin(9600);  
  pinMode(pinStart, INPUT_PULLUP); // START  
  pinMode(pin_a0, INPUT_PULLUP); // a0  
  pinMode(pin_a1, INPUT_PULLUP); // a1  
  // relè  
  pinMode(4, OUTPUT);  
  pinMode(5, OUTPUT);  
  //disattivo bobine A  
  digitalWrite(4, LOW);  
  digitalWrite(5, LOW);  
}  
  
void loop() {  
  int sensorVal = digitalRead(2);  
  int a0 = digitalRead(8);  
  int a1 = digitalRead(9);  
  
  // Start  
  if (sensorVal == LOW && n<1) {  
    n= n+1;  
    // A  
    Serial.println("A+");  
    digitalWrite(4, HIGH);  
    digitalWrite(5, LOW);  
    // finecorsa a1  
    while(digitalRead(pin_a1)==HIGH) {  
      delay(10);  
    }  
    //delay(2000);  
    // A-  
    Serial.println("A-");  
    digitalWrite(4, LOW);  
    digitalWrite(5, HIGH);  
    //delay(2000);  
    // finecorsa a0  
    while(digitalRead(pin_a0)==HIGH) {  
      delay(10);  
    }  
    digitalWrite(5, LOW);  
  }  
  
  if (sensorVal == HIGH) {  
    if (millis() - t0 > 1000) {  
      Serial.println("riposo");  
      digitalWrite(4, LOW);  
      digitalWrite(5, LOW);  
      n=0;  
      t0= millis();  
    }  
  }  
}
```



Sfruttiamo il ciclo **“while”** per controllare lo stato del pulsante di STOP e usiamo l’istruzione **“break”** per uscire subito dal ciclo se il pulsante è premuto:

```
// finecorsa a1
while(digitalRead(pin_a1)==HIGH) {
  int statoStop = digitalRead(3);
  if (statoStop == LOW) break; // esco dal ciclo
  delay(10);
}
```

## CODICE

```
int pinStart= 2;
int pinStop= 3;
int pin_a0=8;
int pin_a1=9;

long t0=0;
int n=0;

void setup() {
  Serial.begin(9600);
  pinMode(pinStart, INPUT_PULLUP); // START
  pinMode(pinStop, INPUT_PULLUP); // STOP
  pinMode(pin_a0, INPUT_PULLUP); // a0
  pinMode(pin_a1, INPUT_PULLUP); // a1
  // relè
  pinMode(4, OUTPUT);
  pinMode(5, OUTPUT);
  //disattivo bobine A
  digitalWrite(4, LOW);
  digitalWrite(5, LOW);
}

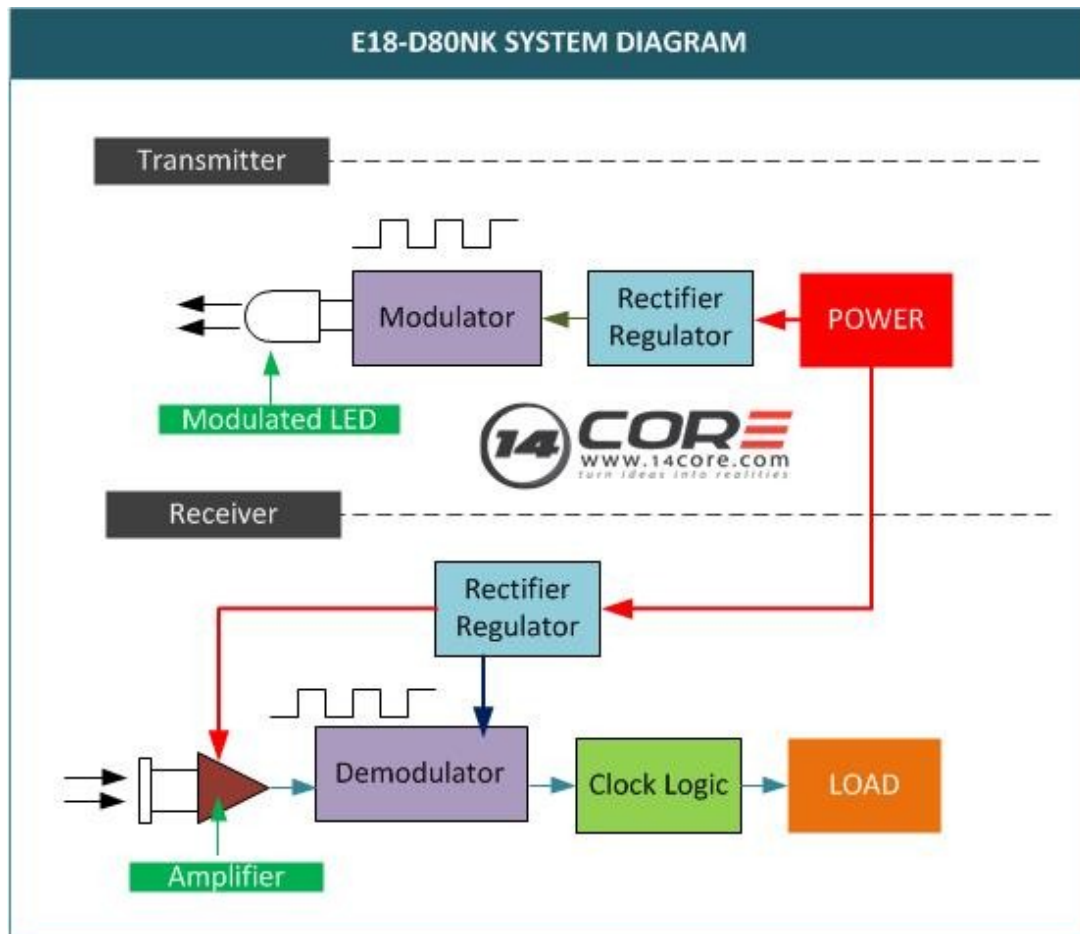
void loop() {
  int statoStart = digitalRead(2);
  int a0 = digitalRead(8);
  int a1 = digitalRead(9);

  // Start
  if (statoStart == LOW && n<1) {
    n= n+1;
    // A
    Serial.println("A+");
    digitalWrite(4, HIGH);
    digitalWrite(5, LOW);
    // finecorsa a1
    while(digitalRead(pin_a1)==HIGH) {
      int statoStop = digitalRead(3);
      if (statoStop == LOW) break;
      delay(10);
    }
    // A-
    Serial.println("A-");
    digitalWrite(4, LOW);
    digitalWrite(5, HIGH);
    // finecorsa a0
    while(digitalRead(pin_a0)==HIGH) {
      int statoStop = digitalRead(3);
      if (statoStop == LOW) break;
      delay(10);
    }
    digitalWrite(5, LOW);
  }

  if (statoStart == HIGH) {
    if (millis() - t0 > 1000) {
      Serial.println("riposo");
      digitalWrite(4, LOW);
      digitalWrite(5, LOW);
      n=0;
      t0= millis();
    }
  }
}
```

## SENSORE A INFRAROSSI A TRE FILI E18-D80NK (NPN)

Si tratta di un fotoriflettore ad alta sensibilità per rilevare la distanza, da 3 cm a 80 cm. Quando l'infrarosso emesso dall'emettitore viene riflesso su una superficie bloccata, il fototransistor capta il segnale per il calcolo della distanza. Questo dispositivo è dotato di un potenziometro integrato per regolare la portata, rendendolo semplice e intuitivo da usare. L'utilizzo ideale di questo dispositivo è in ambito robotico, media interattivi, industriale e automobilistico, ecc.



Il sensore generalmente presenta tre fili di colore marrone (Vcc), blu (massa) e nero (segnale).

In alcuni casi si trova la combinazione di colore rosso (Vcc), verde (massa) e giallo (segnale).

Il sensore a infrarossi viene alimentato direttamente da Arduino (filo rosso).

Il cavo verde va a massa e il caso giallo del segnale viene connesso al 10 di arduino (modalità INPUT).

Quando non è presente il pezzo viene letto 1 (5V) mentre quando è presente viene letto 0 (led posteriore acceso).

Il sensore di prossimità a infrarossi E18D80NK permette di rilevare degli ostacoli con una portata regolabile da 3 cm a 80 centimetri. Include un trasmettitore e un ricevitore a infrarossi, tutto in un'unica unità.

Il trasmettitore a infrarossi emette un segnale a infrarossi modulato che viene riflesso dagli oggetti lungo il percorso di riflessione e quindi interpretato dal ricevitore. Il sensore è meno influenzato dalla luce solare grazie alla sua luce a infrarossi.

Il sensore IR E18-D80 è ampiamente utilizzato nei robot per evitare ostacoli e nelle linee di assemblaggio industriali, nel parcheggio in retromarcia e in numerose altre applicazioni che richiedono automazione. Il raggio di rilevamento può essere modificato a seconda dello scopo di utilizzo tramite la vite multigiro situata sul retro del dispositivo.

L'uscita del segnale di commutazione cambia a seconda del rilevamento di un ostacolo.

Rimane alta quando non vengono rilevati ostacoli e diminuisce in caso di ostacoli.

La sonda ha una luce rossa posizionata dietro la sonda stessa che si accende quando rileva un ostacolo.

Il sensore E18 funziona a 5 V e può consumare da 5 mA a 30 mA di corrente, senza carico.

## Specifiche e caratteristiche

- Tensione di ingresso: 5 V CC
- Consumo di corrente: >25mA (min) > 100mA (max)
- Dimensioni: 1,7 cm (diametro) x 4,5 cm (lunghezza)
- Lunghezza del cavo: 45 cm
- Rilevamento di oggetti: trasparenti o opachi
- Tipo riflettente diffuso
- Campo di rilevamento: 3 cm-80 cm
- Uscita NPN (normalmente alta)
- Temperatura ambiente: -25 °C ~ 55 °C



La tabella seguente mostra la configurazione dei pin del sensore di prossimità IR. Ha 3 fili di uscita, generalmente codificati a colori: rosso per VCC, verde per la massa e giallo per l'uscita digitale.

Pin Type/Wire color	Pin Description
VCC (Marrone o Rosso)	Voltage input(+5V)
GND (Blu o Verde)	Ground terminal
Digital pin (Nero o giallo)	Digital signal output

## Cablaggio sensore di tipo NPN



Mettendo una resistenza da 300 ohm in serie ad un led come carico si noterà l'accensione del led esterno quando il pezzo è presente

## CABLAGGIO SENSORE DI DISTANZA A INFRAROSSI E18-D80NK (NPN)

Il sensore fornisce una uscita ALTA (5V) quando non c'è il pezzo e BASSA (massa) quando viene rilevato.

Essendo il sensore a 5V può essere connesso direttamente ad Arduino tramite i pin 5V e GND.

Il cavo nero (segnale) può essere collegato ad un pin digitale (INPUT) dove potrà essere rilevata la tensione di 5V o 0V.

Per sicurezza sarebbe meglio collegare una resistenza di 10K per limitare la corrente in ingresso al pin in ogni situazione.

### CODICE Arduino

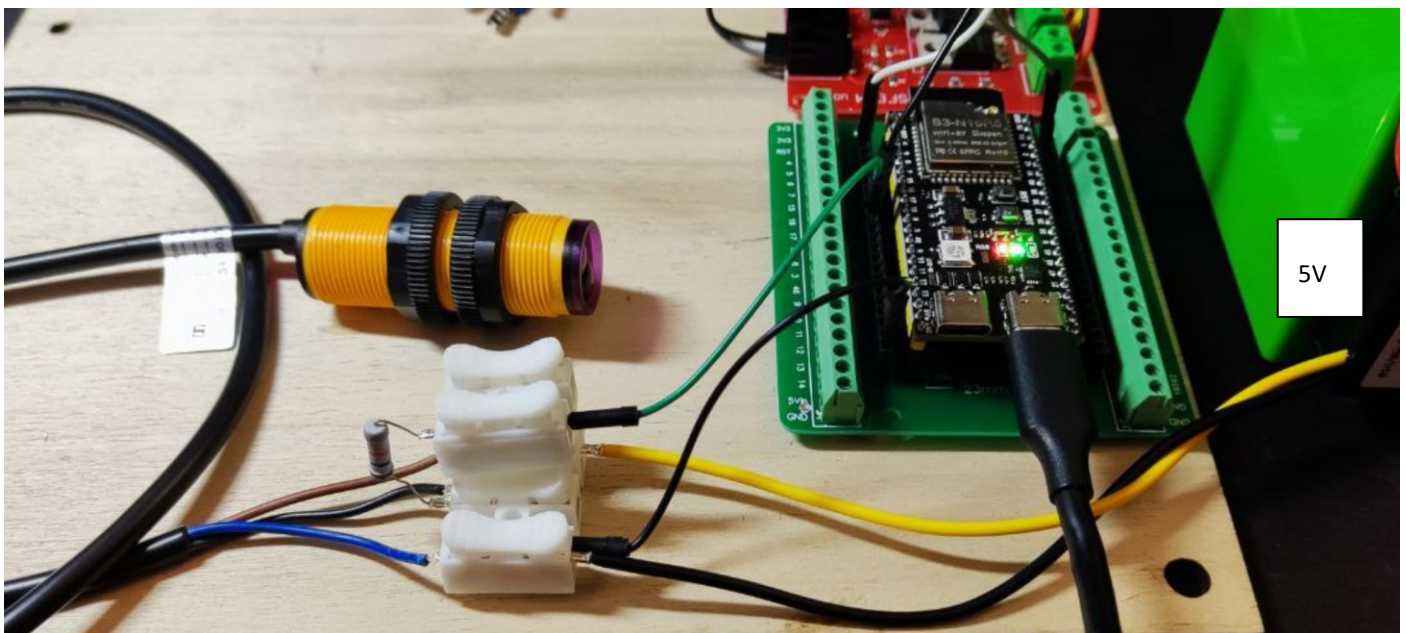
```
void setup() {
  Serial.begin(9600); //Start serial communication boud r
  pinMode(2,INPUT); //Pin 2 as signal input
}

void loop() {
  while(1) {
    delay(500);
    if(digitalRead(5)==LOW) {
      // If no signal print collision detected
      Serial.println("Collision Detected.");
    }
    else {
      // If signal detected print collision detected
      Serial.println("No Collision Detected.");
    }
  }
}
```



Se si utilizza un ESP32 (logica a 3.3V) è obbligatoria una alimentazione esterna di 5V (cavi giallo-nero dalla batteria).

L'uscita del sensore a 5V (cavo nero) non sarebbe adatta agli ingressi GPIO del micro (max 3.3) e sarebbe meglio ridurla a 3.3V (ad es. con un partitore di tensione). Comunque mettendo una resistenza di 10K in ingresso al pin digitale in modo da limitare la corrente non dovrebbero esserci particolari problemi per un uso sporadico e di prototipazione (i pin di un ESP32 sono maggiormente protetti rispetto a quelli Arduino).



*NB: collegare la massa del micro a quella della batteria*

## SENSORI PNP E NPN (3 FILI)

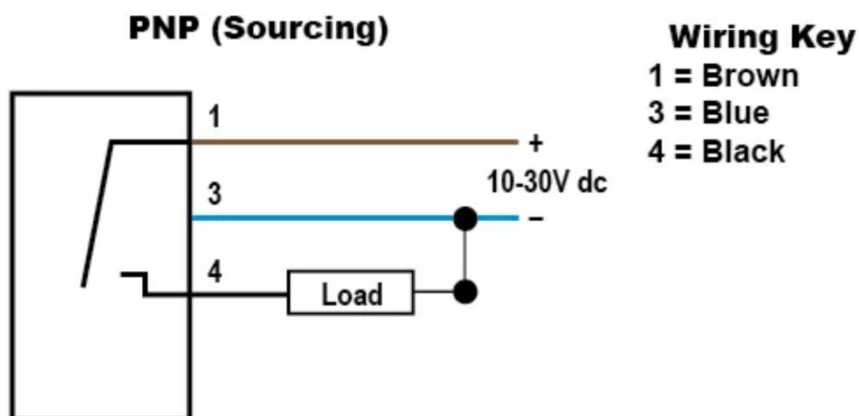
Sebbene sia comune riferirsi ai sensori come PNP o NPN, le abbreviazioni si riferiscono in realtà al tipo di transistor utilizzato nel dispositivo. La differenza tra PNP e NPN consiste nella costruzione del materiale semiconduttore presente all'interno del transistor.

In un transistor PNP, il materiale semiconduttore è costituito da tre strati: uno strato negativo (N) tra due strati positivi (P): Positivo-Negativo-Positivo, o PNP.

Allo stesso modo, un transistor NPN ha uno strato positivo racchiuso tra due strati negativi: Negativo-Positivo-Negativo, o NPN. Nonostante la diversa costruzione, entrambe le forme hanno cavi di alimentazione positivi e negativi e sono collegate a un dispositivo chiamato carico (led, PLC, MCU).

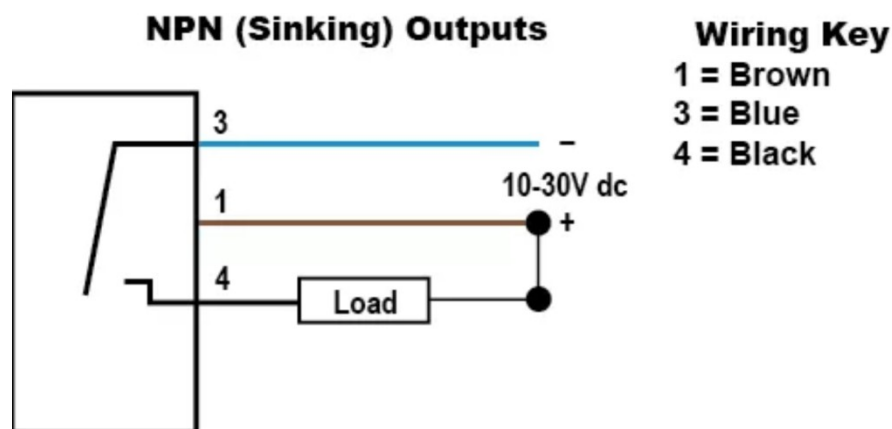
### USCITE PNP

Chiamata anche sourcing uscita, un'uscita PNP fornisce la corrente al carico collegato. Il carico elettrico è collegato tra l'uscita del sensore e il lato negativo (comune) dell'alimentazione. La tensione di uscita è uguale alla tensione di alimentazione.



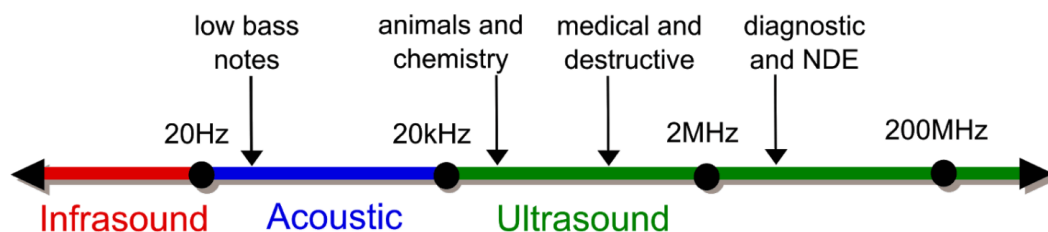
### USCITE NPN

Poiché forniscono la massa al circuito, le uscite NPN sono note anche come uscite sinking. In questo caso, il carico elettrico è collegato tra l'uscita del sensore e il lato positivo dell'alimentazione. La tensione di uscita è un segnale di terra. Nelle uscite NPN, la corrente scorre in modo opposto a quella delle uscite PNP.



## SENSORE A ULTRASUONI

Gli ultrasuoni sono onde sonore con frequenze superiori a quelle udibili dall'orecchio umano: stiamo quindi parlando di frequenze che superano i 20 kHz e che trovano impiego per lo più in campo medico ed industriale.



utilizzare un sensore ad ultrasuoni come misuratore di distanze, in attività didattiche dove non sia richiesta un'elevata "qualità della misura".

Lasciamo quindi a successivi sviluppi la ricerca di misure precise ed accurate, per le quali dovremmo considerare la velocità istantanea del suono che è influenzata, principalmente, dalla temperatura e dall'umidità relativa del mezzo.

Per quanto premesso possiamo assumere come costante il valore della velocità del suono in un determinato mezzo, in particolare l'aria, dove le onde sonore viaggiano a 343,8 m/s a 20°C.

Anche gli ultrasuoni, come tutte le onde, sono soggetti a fenomeni di riflessione. Questa caratteristica ci permette di utilizzare il sensore per rilevare misure di distanza tra la sorgente emettitrice del segnale sonoro e l'oggetto colpito.

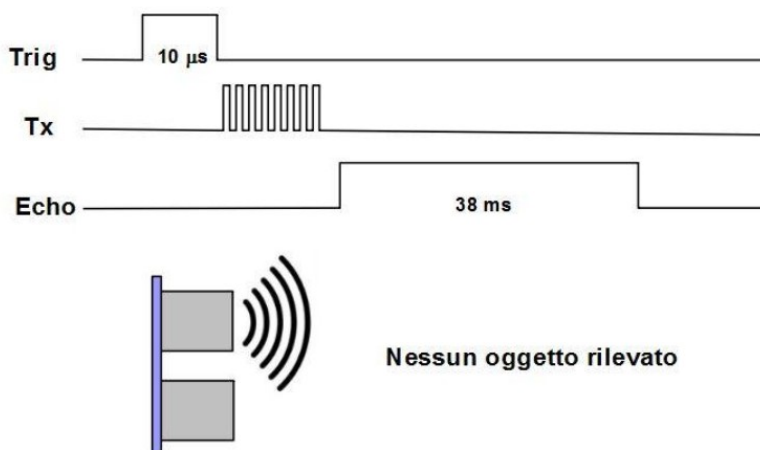
## FUNZIONAMENTO DEL SENSORE PER ARDUINO

Un impulso di tensione (3.3 o 5V) di almeno 10  $\mu$ s (microsecondi) di durata viene applicato al pin Trigger. Si genera così un treno di 8 impulsi ultrasonici a 40 KHz che si allontanano dal sensore viaggiando nell'aria circostante.

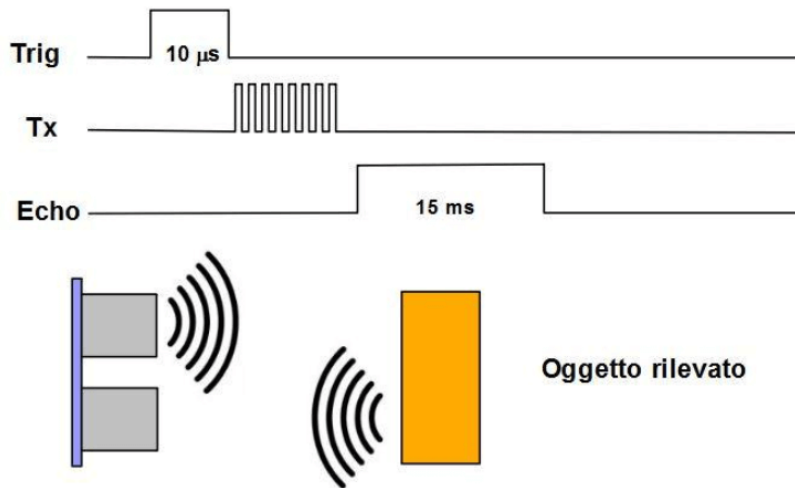
Si ottengono misure più accurate se l'ostacolo si trova di fronte al sensore o in un ipotetico settore circolare di 30° d'ampiezza (15° da ambo i lati rispetto alla direzione frontale).

Il segnale sull'Echo intanto diventa alto ed inizia la registrazione del tempo di ritorno in attesa dell'onda riflessa.

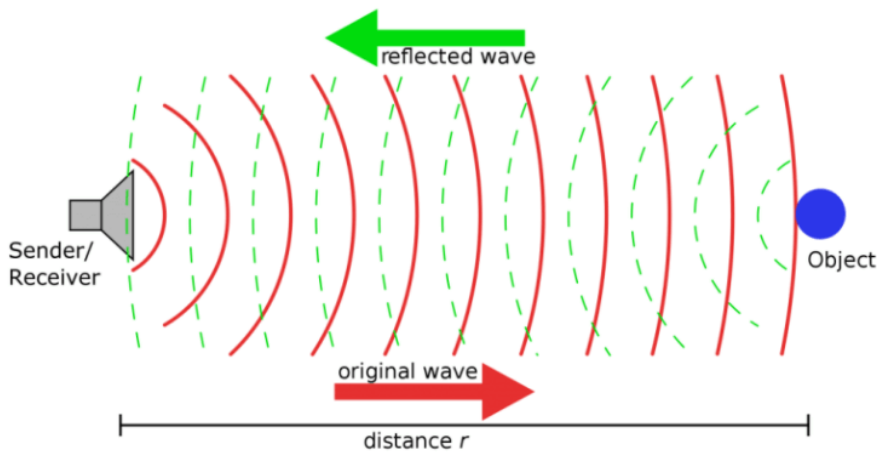
Se l'impulso non viene riflesso il segnale su Echo torna basso dopo 38 ms (millisecondi) e va interpretato come assenza di ostacolo. Ricordiamo l'HC-SR04 è in grado di misurare distanze comprese tra i 2 e i 400 cm corrispondenti, per il limite massimo, a circa 23 ms di durata del segnale su Echo.



Se invece il treno di onde ultrasoniche viene riflesso all'indietro da un oggetto, il segnale sul pin Echo diventa basso e contestualmente termina il rilievo della sua durata.



Il tempo ottenuto servirà per calcolare la distanza dell'oggetto: bisogna però tenere presente che l'onda ha percorso per due volte quella distanza, quando emessa verso l'oggetto e dopo la riflessione verso il sensore. Bisognerà quindi dividere per due la distanza calcolata con questo tempo.

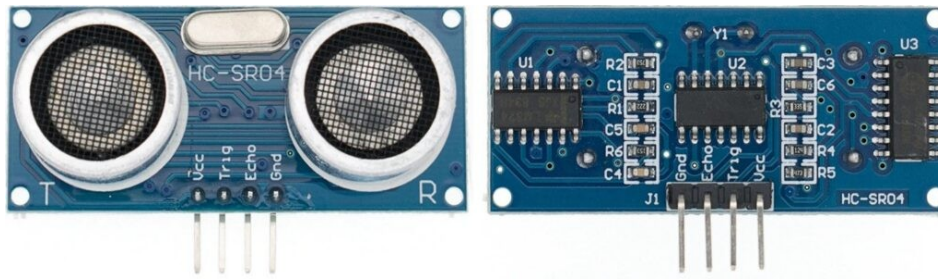


La velocità del suono nell'aria è di circa 343 m/s.

La funzione **pulseIn()** introdotta nello sketch ci permette di ottenere la durata dell'impulso ALTO sul pin Echo in microsecondi.

$$343 \frac{m}{s} = \frac{34300}{1000000} \frac{cm}{\mu s} = 0,0343 \frac{cm}{\mu s}$$

$$distanza [cm] = \left( 0,0343 \left[ \frac{cm}{\mu s} \right] \cdot durata ALTO su Echo [\mu s] \right) \div 2$$



Le principali caratteristiche sono:

- Tensione di lavoro: 3 – 5.5 Vdc.
- Corrente assorbita: 3 mA circa.
- Frequenza di lavoro: 40 KHz.
- Distanza min: 2 cm.
- Distanza max: 450 cm.
- Risoluzione: 3 mm.
- Angolo di misura: 15 – 20°.
- Ingresso: Trigger 10us Impulso TTL.
- Uscita: Echo segnale PWM TTL

Ha 4 pin:

- Vcc – viene collegato alla tensione di alimentazione da 3 a 5.5V.
- Trig – è il pin “Trigger” che deve essere portato alto per inviare il segnale ad ultrasuoni.
- Echo – è il pin che produce un impulso che si interrompe quando viene ricevuto il segnale riflesso dall’ostacolo.
- GND – viene collegato GND.

### PRINCIPIO DI FUNZIONAMENTO:

Il sensore HC-SR04 emette un treno di impulsi ad ultrasuoni (ne vengono emessi 8 quando verrà portato per 10 microsecondi a stato alto il suo pin Trigger). Gli impulsi si propagano nell’ambiente circostante e, se incontrano uno ostacolo, tornano indietro verso il sensore che li ha emessi. Quando il sensore “rileva” il ritorno dell’impulso sonoro porterà a stato basso il suo pin Echo (che nel frattempo era stato portato automaticamente alto).

Misurando il tempo che intercorre tra l’emissione del segnale sonoro ed il suo ritorno si può calcolare la distanza dell’ostacolo sul quale è rimbalzato.

La velocità del suono varia a seconda del mezzo (ad esempio, il suono si propaga più velocemente nell’acqua che non nell’aria), e anche al variare delle proprietà del mezzo, specialmente con la sua temperatura.

Nel caso dell’aria la velocità del suono è di 331,2 metri al secondo (1 192,32 km/h) a 0 °C e di 343,1 m/s (1 235,16 km/h) a 20 °C.

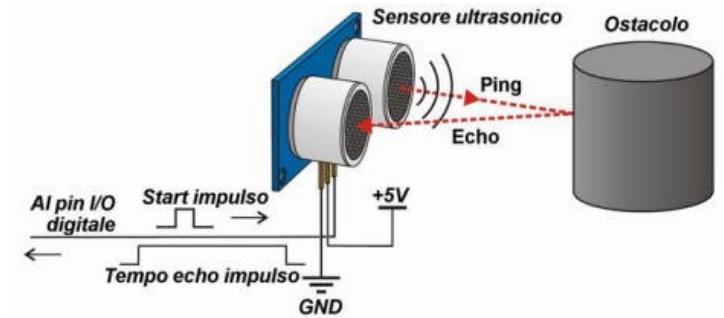
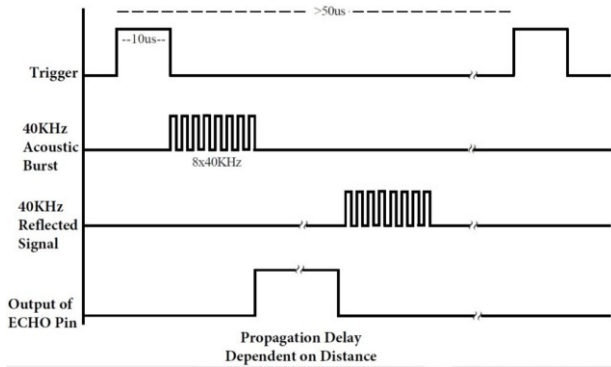
Convertiamo la velocità del suono da 343,1 m/s a 0,03431 cm/microsecondi.

Nel moto uniforme abbiamo:  $S = v \times t \rightarrow S(\text{cm}) = 0,03431 \times t$  (con t in microsecondi)

Poichè la distanza percorsa dal suono è doppia rispetto alla distanza dell’ostacolo (l’impulso sonoro deve andare verso l’ostacolo e tornare indietro) la nuova formula diventa:

$$S = 0.03431 \times t / 2 = 0,017155 \times t = t / 58.3 \text{ (cm)}$$

In sintesi, per utilizzare il sensore, dobbiamo inviare un impulso di 10 ms sul pin Trig e calcolare il tempo che impiega il sensore a rilevare il segnale di ritorno (quindi dopo quanto tempo si porterà basso il pin Echo del sensore).



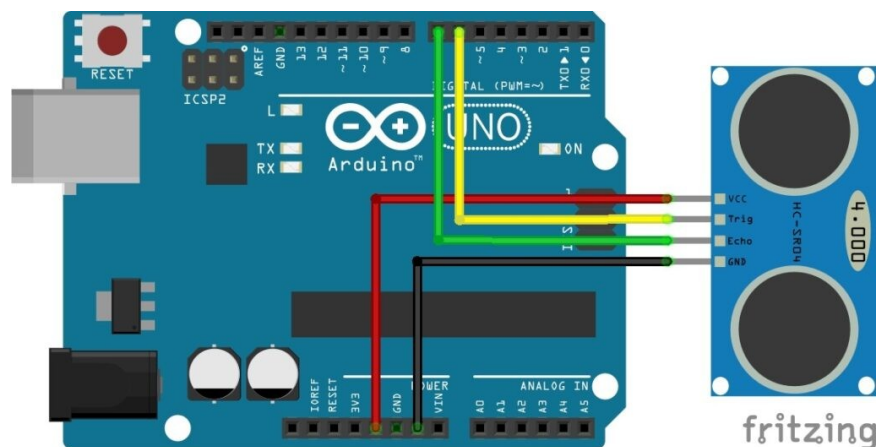
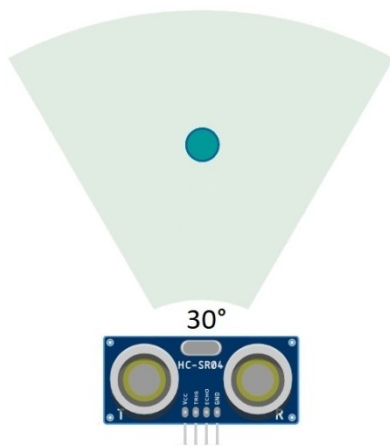
Il comando che si occuperà di contare il tempo che impiega l'impulso ad andare e ritornare è:

```
tempo = pulseIn(echoPin, HIGH)
```

La massima distanza di lavoro del sensore è 400 cm (poco meno di 24 ms); automaticamente il pin Echo dopo 38ms passa basso ed il segnale emesso deve essere considerato perso (bersaglio non presente).

Si devono aspettare almeno 50ms tra un invio di impulso ed un altro, per evitare che echi di vecchi impulsi siano erroneamente letti come validi e dare false letture.

Gli ostacoli da rilevare devono inoltre stare all'interno di un cono di 30° come da foto



Lo sketch da caricare nel nostro Arduino è:

```
#define trigPin 6
#define echoPin 7

long durata, cm;

void setup() {
  Serial.begin(9600);
  pinMode(trigPin, OUTPUT);
  pinMode(echoPin, INPUT);
}

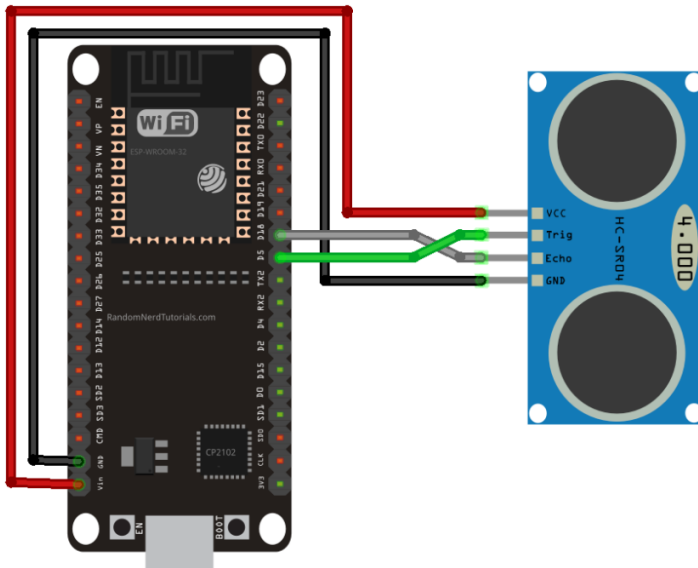
void loop()
{
  digitalWrite(trigPin, LOW);
  delayMicroseconds(2);
  digitalWrite(trigPin, HIGH);
  delayMicroseconds(10);
  digitalWrite(trigPin, LOW);
  durata = pulseIn(echoPin, HIGH);
  cm = durata / 58; // per i pollici la formula è durata / 148;
  Serial.print("Cm = ");
  Serial.println(cm);
  Serial.println();
}
```

## SCHEMA – ESP32 CON SENSORE A ULTRASUONI HC-SR04

Il sensore HC-SR04 funziona anche a 3.3V e quindi può essere connesso ad un micro ESP32.

Il codice è lo stesso di Arduino. Cambiano solo i PIN utilizzati.

Collegare il sensore a ultrasuoni HC-SR04 all'ESP32 come mostrato nel seguente schema elettrico.



Sensore a ultrasuoni	ESP32
VCC	Numero di telaio
Trigger	GPIO 5
Echo	GPIO 18
Terra	Terra

```
#define trigPin 5
#define echoPin 18

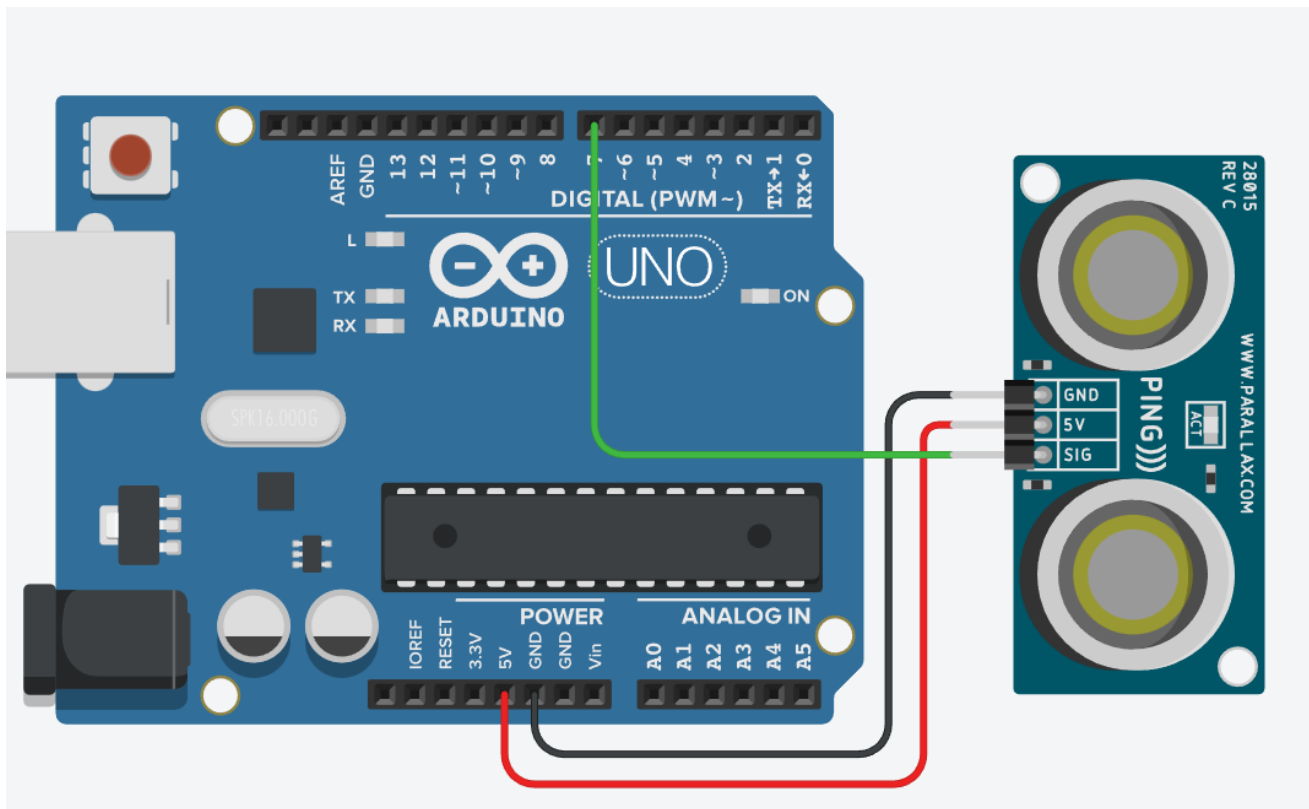
long durata, cm;

void setup() {
  Serial.begin(9600);
  pinMode(trigPin, OUTPUT);
  pinMode(echoPin, INPUT);
}

void loop()
{
  digitalWrite(trigPin, LOW);
  delayMicroseconds(2);
  digitalWrite(trigPin, HIGH);
  delayMicroseconds(10);
  digitalWrite(trigPin, LOW);
  durata = pulseIn(echoPin, HIGH);
  cm = durata / 58; // per i pollici la formula è durata / 148;
  Serial.print("Cm = ");
  Serial.println(cm);
  Serial.println();
}
```

## ESERCIZIO THINKERCAD MISURA DISTANZA CON SENSORE ULTRASUONI

Thinkercad non simula il sensore HC-SR04 ma un modello diverso a 3 pin. Il pin SIG viene utilizzato sia come TRIG che ECHO.



### **CODICE**

```
int cm = 0;

void setup()
{
  Serial.begin(9600);
}

void loop()
{
  // measure the ping time in cm
  cm = readUltrasonicDistance(7, 7);
  Serial.print(cm);
  Serial.println("cm");
  delay(500); // Wait for 100 millisecond(s)
}

long readUltrasonicDistance(int triggerPin, int echoPin)
{
  pinMode(triggerPin, OUTPUT); // Clear the trigger
  digitalWrite(triggerPin, LOW);
  delayMicroseconds(2);
  // Sets the trigger pin to HIGH state for 10 microseconds
  digitalWrite(triggerPin, HIGH);
  delayMicroseconds(10);
  digitalWrite(triggerPin, LOW);
  pinMode(echoPin, INPUT);
  // Reads the echo pin, and returns the sound wave travel time in microsecondo
  // measure the ping time in cm → d= velocità suono * tempo
  return (0.01723 * pulseIn(echoPin, HIGH));
}
```



# SISTEMI DI MOVIMENTAZIONE - NASTRO TRASPORTATORE - GUIDA LINEARE



I sistemi di movimentazione e posizionamento nell'automazione industriale sono tecnologie che automatizzano lo spostamento e il posizionamento preciso di materiali e prodotti, riducendo l'intervento umano e aumentando efficienza, velocità e sicurezza tramite componenti meccatronici.

## IL NASTRO TRASPORTATORE

Un nastro trasportatore è un dispositivo meccanico utilizzato per il trasporto continuo di oggetti o materiali da un punto all'altro, tipicamente in contesti di produzione industriale, logistica o movimentazione di grandi quantità di materiale.

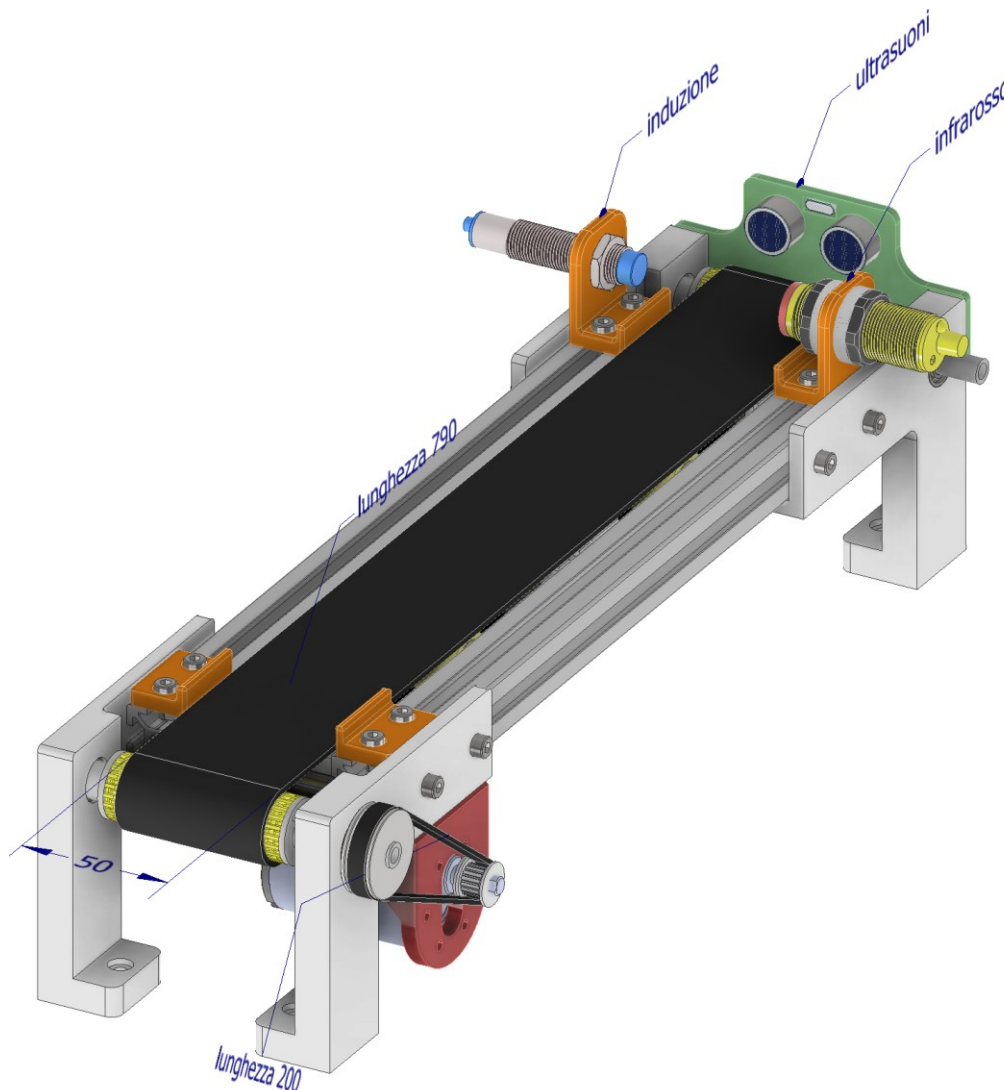
### Componenti e Funzionamento

Il nastro trasportatore è un sistema relativamente semplice ma molto efficiente, composto essenzialmente dai seguenti elementi:

- Nastro (o Tappeto): È la superficie flessibile (spesso in gomma, PVC, poliuretano, o metallo) che trasporta fisicamente il materiale. Forma un anello continuo.
- Tamburo Motore (o Puleggia Motrice): Un cilindro collegato a un motore elettrico che, ruotando, imprime la trazione e il movimento al nastro.
- Tamburo di Rinvio (o Puleggia di Rinvio): Un cilindro folle posto all'estremità opposta che supporta il nastro e aiuta a mantenerlo in tensione.
- Rulli (o Rulliere): Cilindri di supporto posti lungo il percorso per sostenere il nastro (sia sul lato di trasporto che su quello di ritorno) e prevenire l'afflosciamento, specialmente con carichi pesanti.
- Telaio: La struttura metallica che sostiene tutti i componenti.

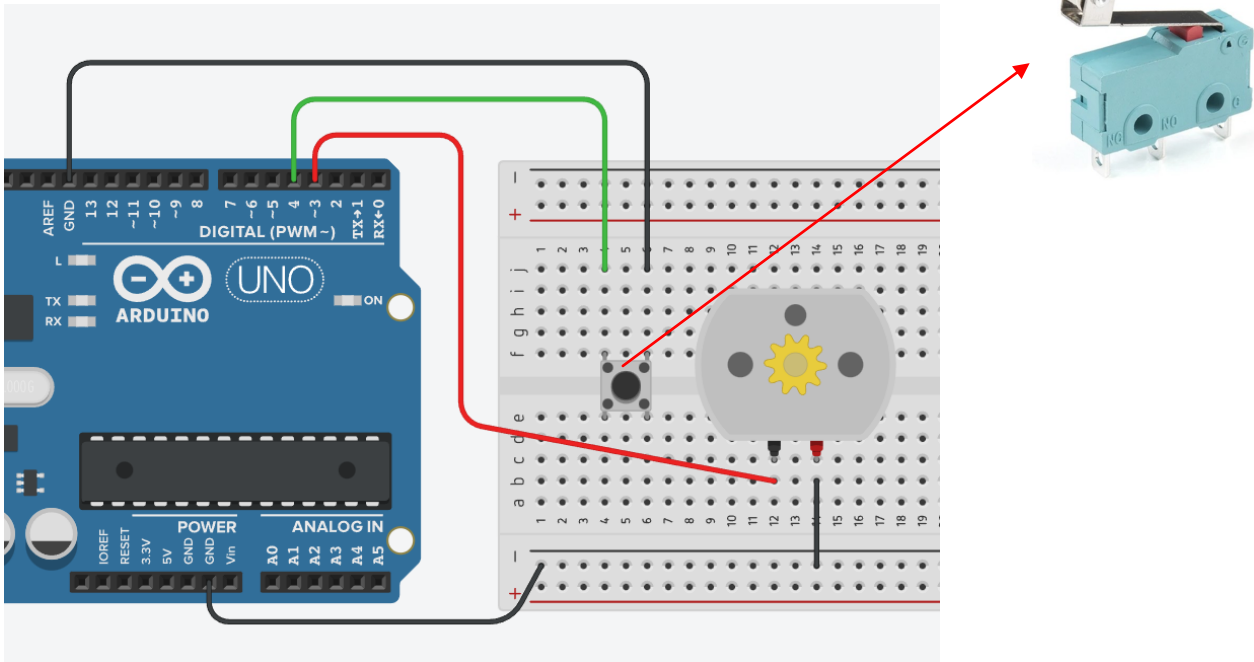
### ESERCIZIO

- regolare la velocità del nastro e il verso di rotazione
- individuare la presenza di un pezzo
- rilevare la distanza del pezzo



## MONITORARE STATO SENSORI SENZA BLOCCARE IL CODICE

L'obiettivo è spegnere il motore quando viene premuto il finecorsa meccanico e vogliamo stampare lo stato del sensore ogni 2 secondi senza bloccare il programma.



```
int pinFC1 = 4; // finecorsa meccanico
int pinMotore = 3; // alimentazione motore
int statoFC1=1;
```

```
long intervalloStampa = 2000; // 2 secondi
long tempoPrecedenteStampa = 0;
```

```
void setup() {
  Serial.begin(9600);
  pinMode(pinFC1, INPUT_PULLUP);
  pinMode(pinMotore, OUTPUT);
}
```

```
void loop() {
  //stato finecorsa
  statoFC1 = digitalRead(pinFC1);
  // se finecorsa premuto (logica invertita dovuta all'uso del PULL_UP → LOW) spengo motore
  if (statoFC1== LOW) {
    digitalWrite(pinMotore, LOW); // spengo
  }
  else {
    analogWrite(pinMotore, 100); // accendo al minimo
  }
}
```

```
// tempo attuale
long tempoCorrente = millis();
```

```
//Stampa dello stato ogni 2 secondi
if (tempoCorrente - tempoPrecedenteStampa >= intervalloStampa) {
  tempoPrecedenteStampa = tempoCorrente; // aggiorno tempo stampa
  Serial.println(statoFC1 == HIGH ? "NON ATTIVO" : "ATTIVO");
}
}
```

La lettura dello stato del finecorsa viene fatta in tempo reale (< 1ms) mentre la stampa solo ogni 2 secondi.

Generalmente un sensore di qualsiasi tipo non ha un tempo di risposta nullo ma variabile da meno di 1ms fino a centinaia di ms e oltre. Di conseguenza non ha senso leggere lo stato del sensore in tempo reale ma a cadenza fissata.

Il codice seguente legge lo stato del finecorsa solo ogni 100ms.

```
int pinFC1 = 4;    // finecorsa meccanico
int pinMotore = 3; // alimentazione motore
long tempoPrecedenteLettura = 0;
long tempoPrecedenteStampa = 0;
int statoFC1=1;

// Intervalli in millisecondi
int intervalloLettura = 100; // 0.1 secondi
int intervalloStampa = 2000; // 2 secondi

void setup() {
  Serial.begin(9600);
  pinMode(pinFC1, INPUT_PULLUP);
  pinMode(pinMotore, OUTPUT);
}

void loop() {
  long tempoCorrente = millis();

  // Lettura sensori ogni 0.1 secondi
  if (tempoCorrente - tempoPrecedenteLettura >= intervalloLettura) {
    tempoPrecedenteLettura = tempoCorrente;
    //stato finecorsa
    statoFC1 = digitalRead(pinFC1);
    if (statoFC1== LOW) {
      digitalWrite(pinMotore, LOW); // spengo
    }
    else {
      analogWrite(pinMotore, 100); // accendo al minimo
    }
  }

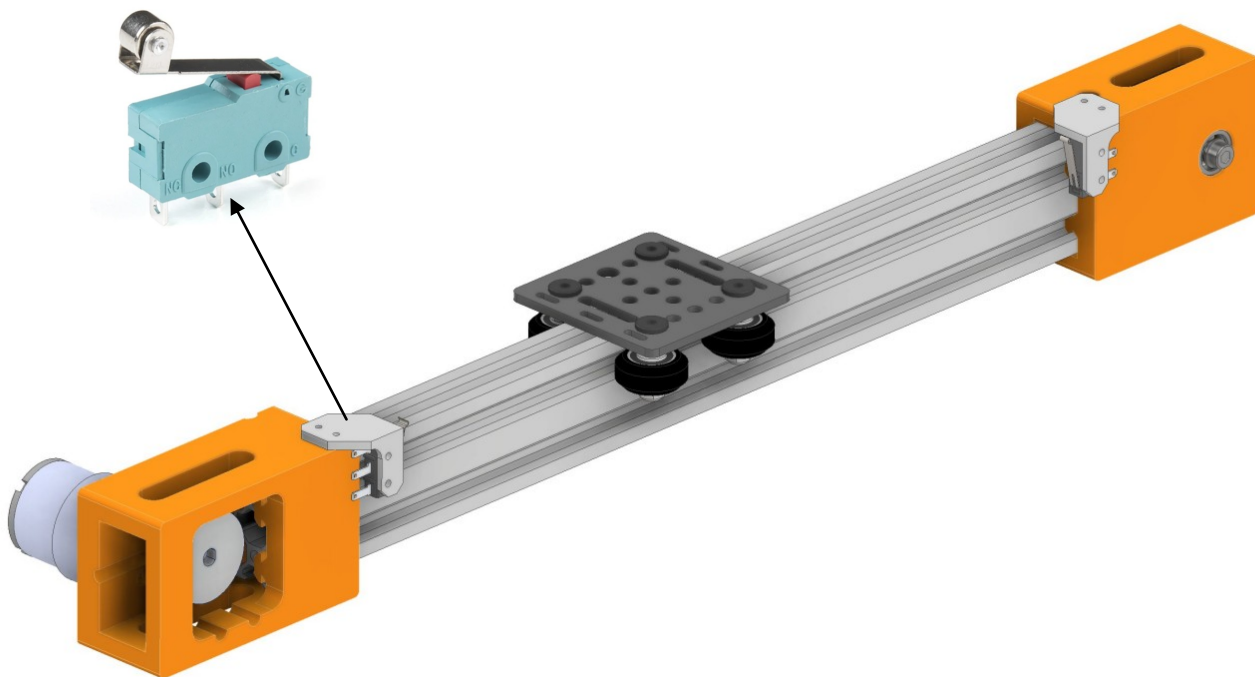
  //Stampa dello stato ogni 2 secondi
  if (tempoCorrente - tempoPrecedenteStampa >= intervalloStampa) {
    tempoPrecedenteStampa = tempoCorrente; // aggiorno tempo stampa
    Serial.println(statoFC1 == HIGH ? "NON ATTIVO" : "ATTIVO");
  }
}
```

## GUIDA LINEARE

Una guida lineare è un dispositivo che permette di movimentare un piano di appoggio lungo un percorso rettilineo in entrambe le direzioni. La traslazione può essere realizzata in vari modi, ad esempio attraverso una cinghia dentata (alta velocità e bassa precisione) o tramite una barra filettata (maggiore precisione e minore velocità).

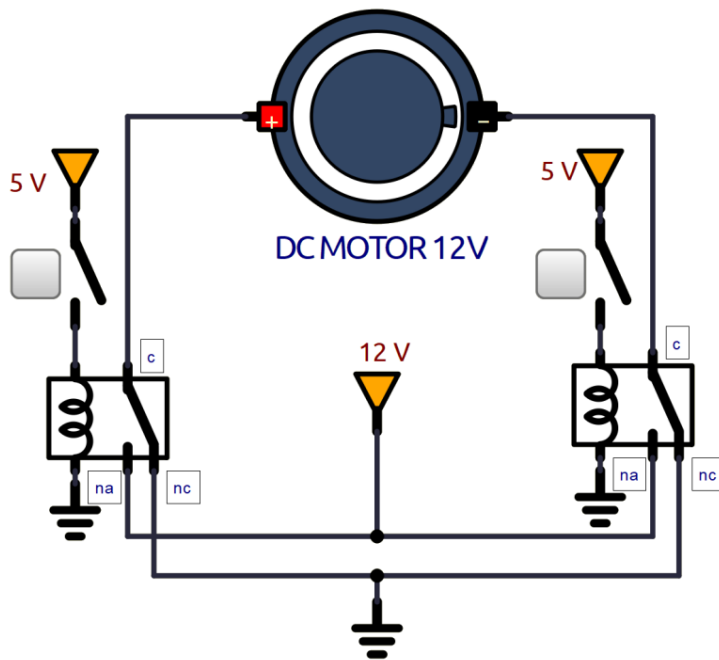
La figura mostra con trasmissione a cinghia dentata GT2 e pulegge a 40 denti alle estremità del profilato TSLOT 2040. Viene impiegato un motoriduttore CC JGB37-52 e dei finecorsa meccanici su entrambi i lati.

I finecorsa hanno lo scopo di bloccare il motore quando la piastra mobile raggiunge le estremità del profilato.



## CONTROLLO VERSO ROTAZIONE MOTORE

Attraverso due relè a doppio contatto è possibile comandare il verso di rotazione di un motore in tensione continua. Col circuito sottostante se gli interruttori sono entrambi aperti o entrambi chiusi il motore è *fermo*.



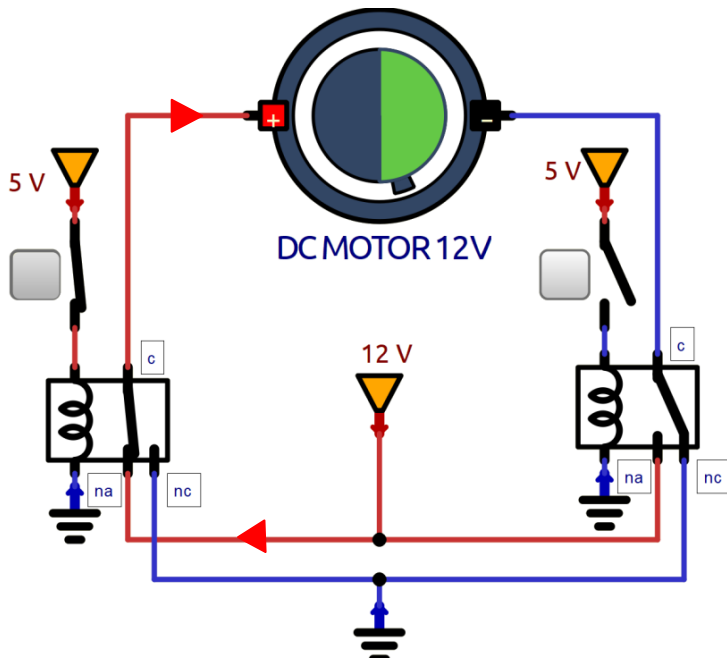
### RELE A DOPPIO CONTATTO

- c → contatto comune
- nc → contatto normalmente chiuso
- na → contatto normalmente aperto

Analizziamo cosa succede se chiudiamo l'interruttore di sinistra.

La bobina del relè di sinistra viene attivata e viene chiuso il contatto na del relè. La corrente fluisce attraverso il contatto appena chiuso e entra nel polo + motore del motore. Esce dal motore e va a massa tramite il contatto nc del relè di destra.

Il motore ruota in senso ORARIO.



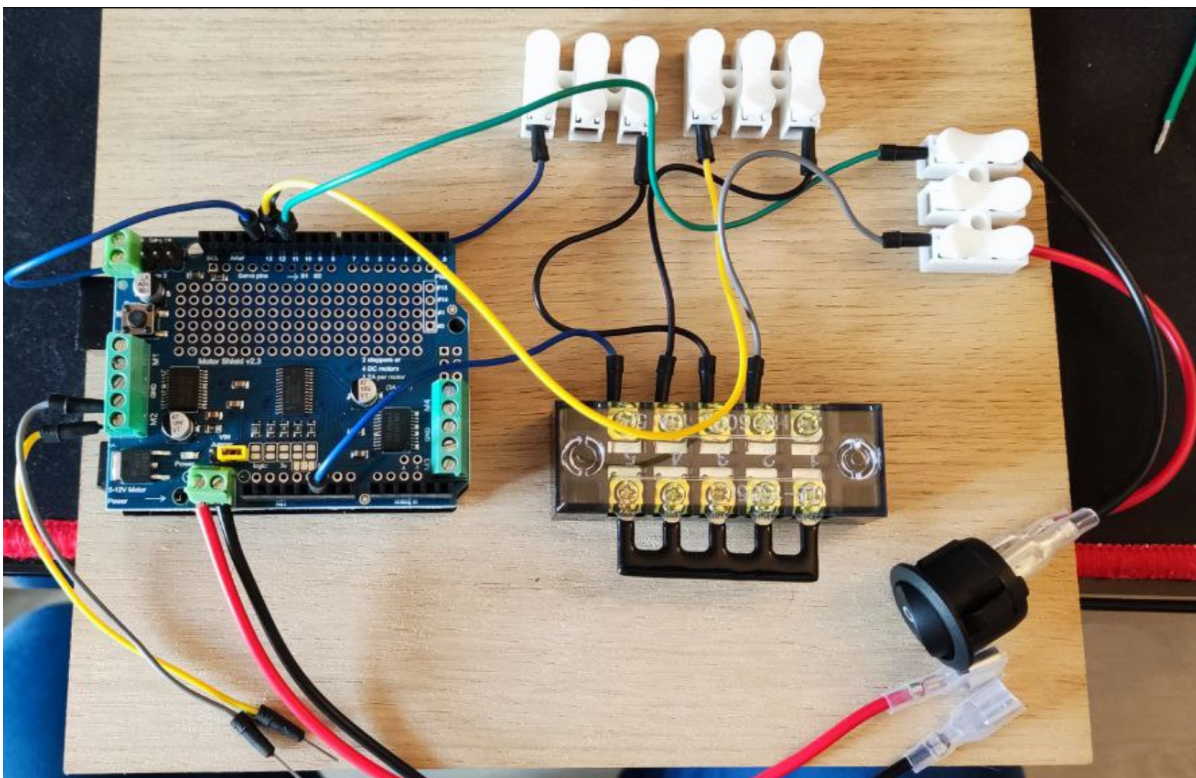
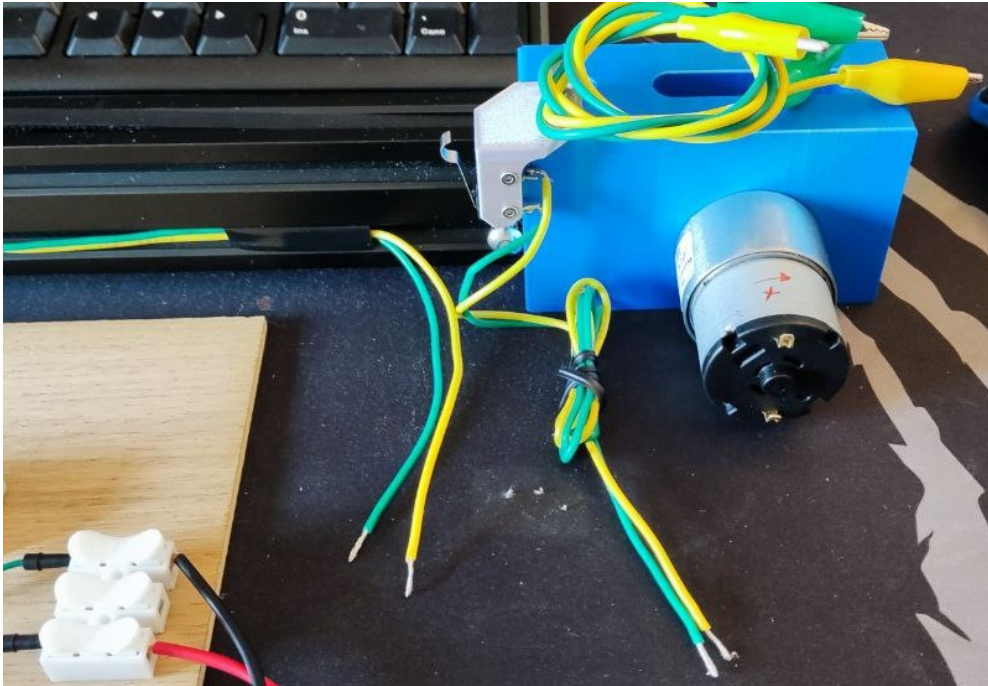
Se chiudiamo solo l'interruttore di destra la corrente entrerà nel motore dal polo -. Il motore ruota in senso ANTIORARIO.

## GESTIONE GUIDA LINEARE

La guida lineare con trasmissione a cinghia GT2 è dotata di due finecorsa meccanici (passive) fissati alle estremità per rilevare le posizioni limite DX e SX della guida.

I cavi giallo e verde dei finecorsa portano ad Arduino in modalità pullup interna in modo da rilevare lo stato (0=chiuso, 1=aperto). In cavo andrà a massa e l'altro in un PIN digitale.

Il movimento della guida viene gestito dal Motorshield che consente di regolare la velocità e il verso di rotazione del motoriduttore collegato alla guida.



```

#include <Adafruit_MotorShield.h>
// Create oggetto shield AFMS con indirizzo I2C di default
Adafruit_MotorShield AFMS = Adafruit_MotorShield();
// Seleziona la porta dello shield (M1, M2, M3 or M4) a cui è connesso il motore
Adafruit_DCMotor *myMotor = AFMS.getMotor(2);

const int btnOn = 11; // pin per pulsante avvio
const int fDX = 12; // Pin per il finecorsa destro
const int fSX = 13; // Pin per il finecorsa sinistro

// Variabili di stato
int direzioneCorrente = 1; // 1 = Destra, -1 = Sinistra
const int velocitaMotore = 150; // Velocità del motore (0-255)

void setup() {
  pinMode(btnOn, INPUT_PULLUP);
  // finecorsa meccanici passivi connessi modalità pullup
  pinMode(fDX, INPUT_PULLUP); pinMode(fSX, INPUT_PULLUP);

  // Avvia la comunicazione seriale per il debug (opzionale)
  Serial.begin(9600);
  Serial.println("Avvio programma Guida Lineare.");

  // attivo shield con frequenza di default 1.6KHz
  if (!AFMS.begin()) {
    Serial.println("Motor Shield non trovato. Controllare cavi!");
    while (1);
  }
  Serial.println("Motor Shield trovato.");
  myMotor->run(RELEASE); // spengo motore
}

void loop() {
  int statoOn = digitalRead(btnOn);
  //Serial.println(statoOn);
  // Legge lo stato dei finecorsa (0 --> premuto).
  int statoDx = digitalRead(fDX); int statoSx = digitalRead(fSX);
  //Serial.print(statoSx);Serial.println(statoDx);

  if (statoOn==0) {
    muoviMotore(direzioneCorrente);

    // 1. Controllo Finecorsa Destro
    if (statoDx == LOW) {
      // Se il finecorsa destro è premuto E il motore si sta muovendo a destra
      if (direzioneCorrente == 1) {
        Serial.println("Limite Destro raggiunto. Inversione direzione.");
        fermaMotore(); delay(1000); // Breve pausa
        // Inverte la direzione
        direzioneCorrente = -1; // Muovi a Sinistra
        muoviMotore(direzioneCorrente);
      }
    }

    // 2. Controllo Finecorsa Sinistro
    else if (statoSx == LOW) {
      // Se il finecorsa sinistro è premuto e il motore si sta muovendo a sinistra
      if (direzioneCorrente == -1) {
        Serial.println("Limite Sinistro raggiunto. Inversione direzione.");
        fermaMotore(); delay(1000); // Breve pausa
        // Inverte la direzione
        direzioneCorrente = 1; // Muovi a Destra
        muoviMotore(direzioneCorrente);
      }
    }
  }
  else { fermaMotore(); }
  delay(1);
}

// Funzione per controllare la direzione del motore
void muoviMotore(int direzione) {
  myMotor->setSpeed(velocitaMotore);
  // Movimento a Destra
  if (direzione == 1) { myMotor->run(FORWARD); }
  // Movimento a Sinistra
  else if (direzione == -1) { myMotor->run(BACKWARD); }
  // In caso di errore fermo motore (per sicurezza)
  } else { fermaMotore(); }
}

// Funzione per fermare il motore
void fermaMotore() {
  myMotor->run(RELEASE);
}

```



# SISTEMI DI SUPERVISIONE SCADA

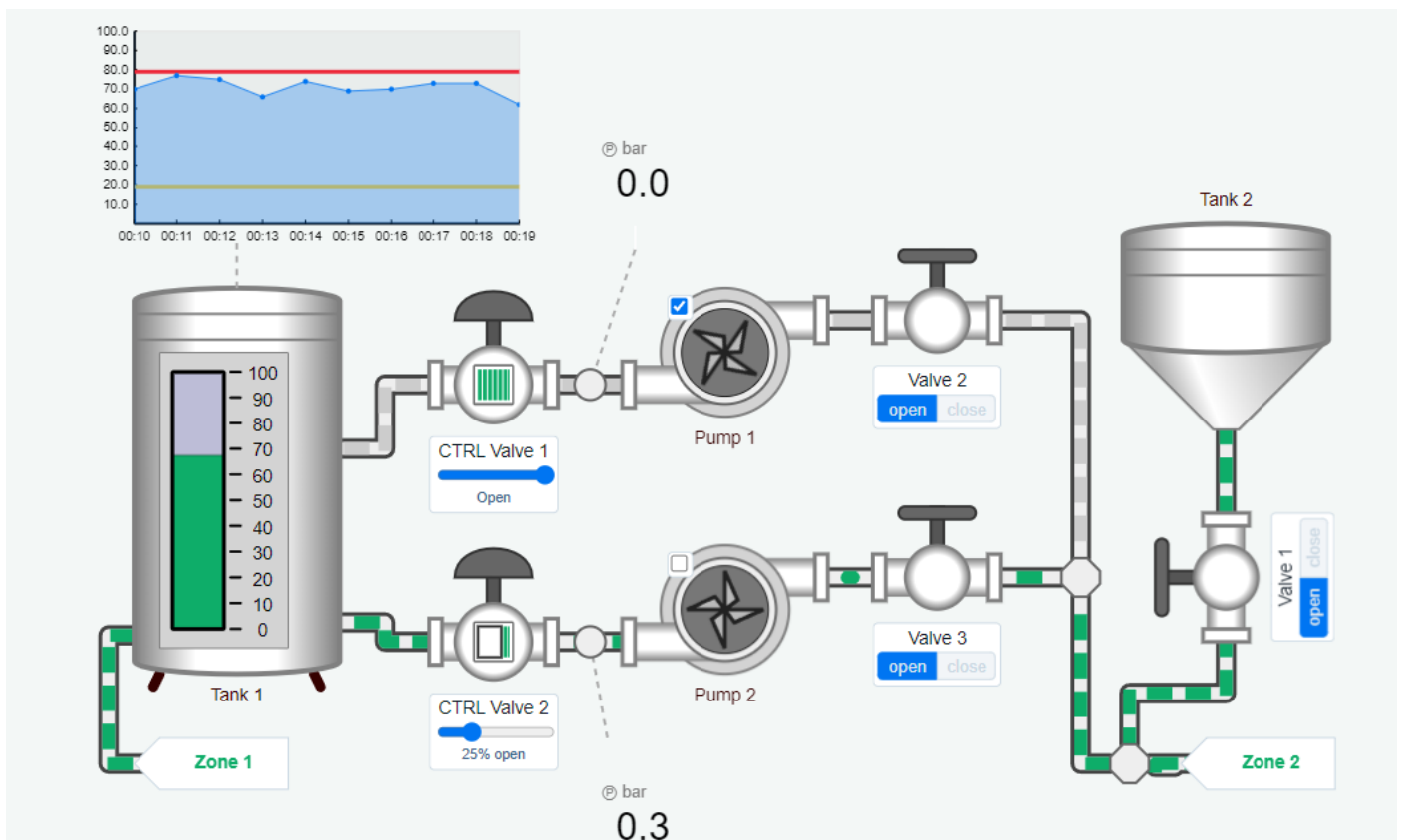
SCADA è l'acronimo di **Supervisory Control and Data Acquisition** (controllo di supervisione e acquisizione dati) e si riferisce a un sistema informatico che monitora e controlla processi industriali anche da remoto.

Questi sistemi raccolgono dati da sensori, li centralizzano su un server e li visualizzano tramite un'interfaccia grafica (HMI), permettendo di controllare e analizzare lo stato di macchinari e impianti in tempo reale.

Qualsiasi impianto moderno è dotato di un sistema SCADA più o meno complesso per monitorare il funzionamento dell'impianto.

Il controllo degli attuatori in generale è realizzato mediante comandi fisici cablati ma spesso è affiancato da comandi virtuali via software (con connessione con o senza fili).

## Sistema di supervisione di un impianto chimico



HTML sta per Hypertext Markup Language (linguaggio a marcatori per ipertesti) ed è il linguaggio standard per creare la struttura e il contenuto delle pagine web. Viene utilizzato per definire elementi come testo, immagini, link e video tramite una serie di tag, che i browser interpretano per visualizzare la pagina web all'utente.

Non è un linguaggio di programmazione, ma un linguaggio di markup per formattare e strutturare i contenuti.

L'esempio sottostante mostra una semplice pagina html necessaria ad attivare e disattivare un motore CC.

Solo il testo in "rosso" viene visualizzato quando la pagina viene aperta in un browser come Chrome, Edge ecc. .

Un browser quindi è una applicazione in grado di interpretare e visualizzare correttamente una pagina HTML.

Il resto del testo e i marcatori che "circondano" il testo in rosso servono ad indicare le modalità di interpretazione e visualizzazione dei testi in rosso.

Ad esempio

`<p>testo</p>` → indica un paragrafo

`<a href="/start">[ START ]</a>` → indica che il testo è un link (è cliccabile)

`<hr>` → indica di andare a capo

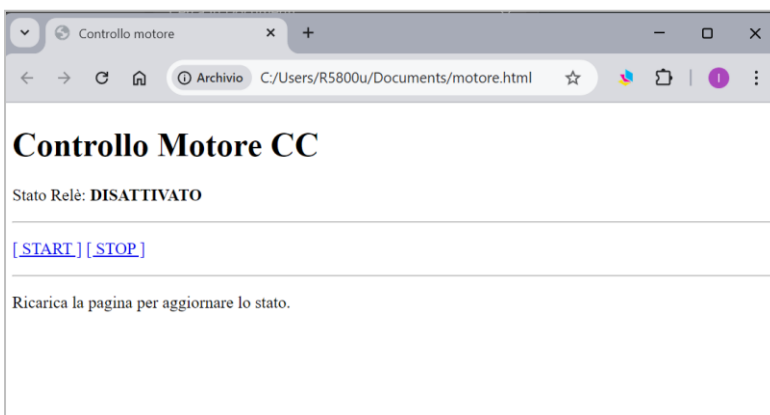
`<title>Controllo motore</title>` → titolo della pagina (non viene visualizzato)

Il resto del testo serve a definire le caratteristiche principali della pagina html ed è sempre presente. Il minimo indispensabile è:

```
<html>
<body>
  Hello world!
</body>
</html>
```

## ESEMPIO PAGINA HTML

```
<!DOCTYPE html>
<html>
<head>
  <meta name="viewport" content="width=device-width, initial-scale=1">
  <meta charset="UTF-8">
  <title>Controllo motore</title>
</head>
<body>
  <h1>Controllo Motore CC</h1>
  <p>Stato Relè: <strong>DISATTIVATO</strong></p>
  <hr>
  <p>
    <a href="/start">[ START ]</a>
    <a href="/stop">[ STOP ]</a>
  </p>
  <hr>
  <p>Ricaricare la pagina per aggiornare lo stato.</p>
</body>
</html>
```



## MARCATORI STRUTTURALI PRINCIPALI

Questi tag definiscono la struttura fondamentale di un documento HTML.

Tag	Spiegazione	Esempio (Codice)	Risultato (Visualizzazione)
<b>&lt;!DOCTYPE html&gt;</b>	Definisce il tipo di documento e la versione di HTML (HTML5). Va all'inizio.	<code>&lt;!DOCTYPE html&gt;</code>	Non viene visualizzato.
<b>&lt;html&gt;</b>	L'elemento radice di ogni pagina HTML. Contiene tutti gli altri elementi HTML.	<code>&lt;html&gt;...&lt;/html&gt;</code>	Non direttamente visualizzato, ma essenziale.
<b>&lt;head&gt;</b>	Contiene metadati sul documento (titolo, link a CSS, codifica, ecc.), non visibili nel corpo della pagina.	<code>&lt;head&gt;...&lt;/head&gt;</code>	Non direttamente visualizzato.
<b>&lt;title&gt;</b>	Definisce il titolo che appare nella scheda del browser o nei risultati di ricerca.	<code>&lt;title&gt;Mia Pagina&lt;/title&gt;</code>	Mia Pagina (nella scheda del browser)
<b>&lt;body&gt;</b>	Contiene tutto il contenuto visibile della pagina web (testo, immagini, link, ecc.).	<code>&lt;body&gt;...&lt;/body&gt;</code>	Tutto il contenuto visibile della pagina.

## PRINCIPALI MARCATORI DI CONTENUTO E FORMATTAZIONE

Questi tag sono usati per definire e strutturare il contenuto all'interno del `<body>`.

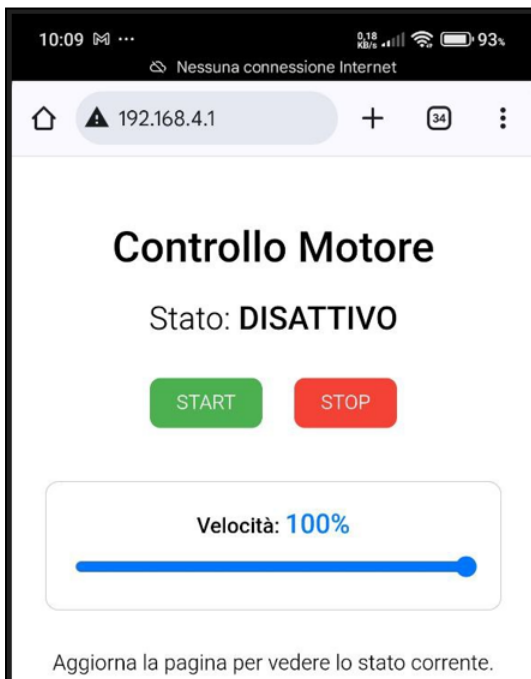
Tag	Spiegazione	Esempio (Codice)	Risultato
<b>&lt;h1&gt;</b> a <b>&lt;h6&gt;</b>	Definiscono le intestazioni (titoli e sottotitoli). <code>&lt;h1&gt;</code> è il più importante (più grande), <code>&lt;h6&gt;</code> il meno.	<code>&lt;h1&gt;Titolo Principale&lt;/h1&gt;</code>	<b>Titolo Principale</b> (Grande e in grassetto)
<b>&lt;p&gt;</b>	Definisce un paragrafo di testo.	<code>&lt;p&gt;Questo è un paragrafo.&lt;/p&gt;</code>	Questo è un paragrafo.
<b>&lt;br&gt;</b>	Manda a capo il testo. È un tag auto-chiudente.	Vado <code>&lt;br&gt;</code> a capo	Vado a capo
<b>&lt;a&gt;</b>	Definisce un collegamento ipertestuale (link). L'attributo <code>href</code> specifica l'URL di destinazione.	<code>&lt;a href="https://google.it"&gt;Vai a Google&lt;/a&gt;</code>	<a href="https://google.it">Vai a Google</a>
<b>&lt;img&gt;</b>	Incorpora un'immagine. È un tag auto-chiudente. Gli attributi <code>src</code> e <code>alt</code> sono fondamentali.	<code>&lt;img src="logo.png" alt="Logo Azienda"&gt;</code>	
<b>&lt;hr&gt;</b>	Inserisce una <b>linea orizzontale</b> (separatore tematico). È un tag <b>auto-chiudente</b> .	<code>&lt;p&gt;Sezione 1&lt;/p&gt;&lt;hr&gt;&lt;p&gt;Sezione 2&lt;/p&gt;</code>	
<b>&lt;b&gt;</b>	Rende il testo in <b>grassetto</b> (storicamente per <i>bold</i> ).	<code>&lt;b&gt;Testo in grassetto&lt;/b&gt;</code>	<b>Testo in grassetto</b>
<b>&lt;sub&gt;</b> <b>&lt;sup&gt;</b>	Definisce un testo come <b>pedice</b> o <b>apice</b>	<code>H&lt;sub&gt;2&lt;/sub&gt;O</code> <code>E = mc&lt;sup&gt;2&lt;/sup&gt;</code>	H <sub>2</sub> O E = mc <sup>2</sup>

## MARCATORI DI STILE

Tramite opportuni marcatori è possibile dare alla pagina un aspetto più professionale.

In questo caso sono nella pagina html sono presenti dei marcatori di stile che permettono di ottenere effetti grafici tipici delle applicazioni desktop.

```
<style>
  body { font-family: Arial, sans-serif; text-align: center; margin-top: 50px; }
  .button {
    padding: 10px 20px;
    font-size: 15px;
    cursor: pointer;
    margin: 10px;
    border: none;
    border-radius: 8px;
    text-decoration: none;
    color: white;
    display: inline-block;
  }
  .start-btn { background-color: #4CAF50; }
  .stop-btn { background-color: #f44336; }
  .status { font-size: 24px; margin: 20px; }
  .slider-container { margin: 30px auto; width: 80%; max-width: 400px; padding: 20px; border: 1px solid #ccc;
border-radius: 10px;}
  .slider-label { margin-bottom: 10px; font-weight: bold; }
  .slider-value { font-size: 20px; color: #007bff; }
</style>
```



## WEB SERVER

Un web server è un software che gestisce le richieste di trasferimento di pagine html da parte dei client (come i browser) inviando loro il contenuto richiesto tramite il protocollo HTTP.

E' possibile creare una pagina html interattiva che permette di inviare comandi ad un microcontrollore e ricevere da esso dei feedback. In questo caso il microcontrollore farà da web server ed eseguire il programma che invia ai client (PC, telefono ecc.) la pagina HTML.

Quindi con un webserver e una pagina HTML è possibile realizzare un semplice SCADA.

## ESP32 S3

ESP32-S3 è un MCU Xtensa LX7 dual-core, in grado di funzionare a 240 MHz. Oltre ai 512 KB di SRAM interna, è dotato di connettività Wi-Fi 802.11 b/g/n a 2,4 GHz e Bluetooth 5 (LE) integrata che fornisce supporto a lungo raggio. Dispone di 45 GPIO programmabili e supporta un ricco set di periferiche. ESP32-S3 supporta una memoria flash SPI ottale ad alta velocità e PSRAM con cache dati e istruzioni configurabile.

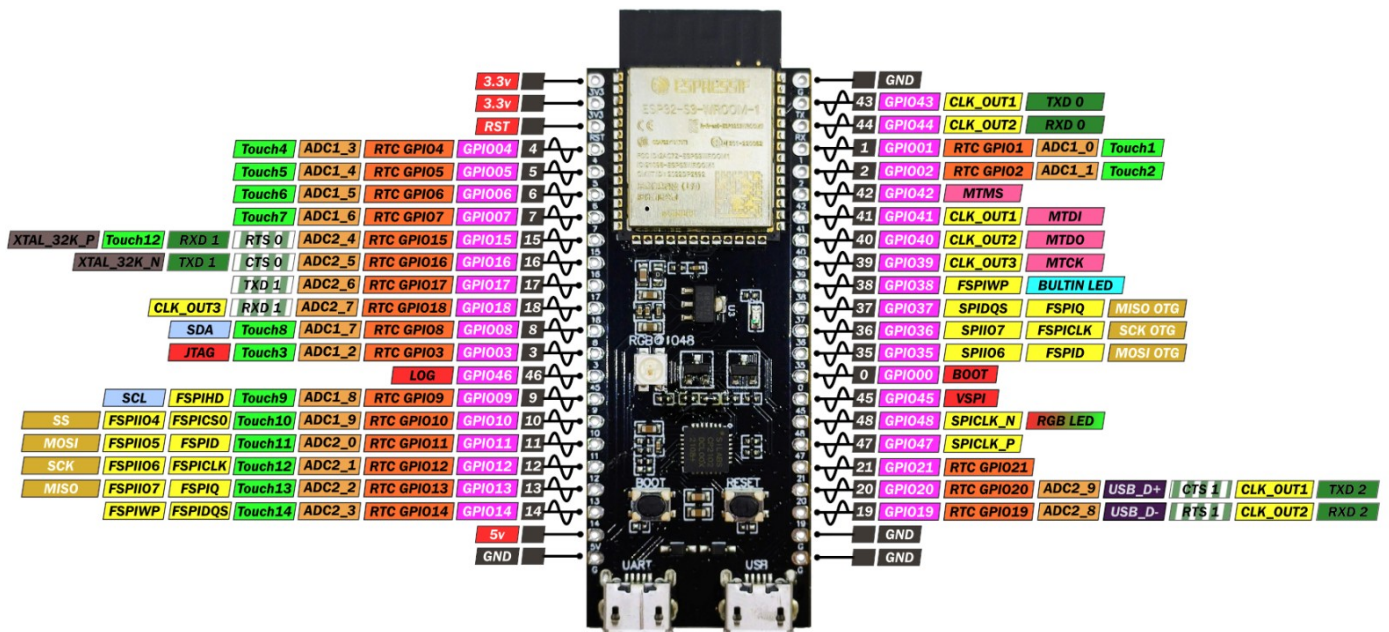
## WI-FI + BLUETOOTH 5 (LE)

ESP32-S3 supporta una connessione Wi-Fi a 2,4 GHz (802.11 b/g/n) con 40 MHz di larghezza di banda. Il sottosistema Bluetooth Low Energy supporta una lunga portata tramite Coded PHY e l'estensione pubblicitaria. Supporta inoltre velocità di trasmissione e throughput dati più elevati, con 2 Mbps di PHY. Sia il Wi-Fi che il Bluetooth LE offrono prestazioni RF superiori, mantenute anche ad alte temperature.

## SICUREZZA

ESP32-S3 fornisce tutti i requisiti di sicurezza necessari per la realizzazione di dispositivi connessi in modo sicuro, senza richiedere componenti esterni. Supporta la crittografia flash basata su AES-XTS, l'avvio sicuro basato su RSA, la firma digitale e l' HMAC. ESP32-S3 dispone inoltre di una periferica "World Controller" che fornisce due ambienti di esecuzione completamente isolati, consentendo l'implementazione di un ambiente di esecuzione attendibile o di uno schema di separazione dei privilegi.

## PINOUT ESP32-S3 DEVKITC-1 (ESPRESSIF SYSTEMS)



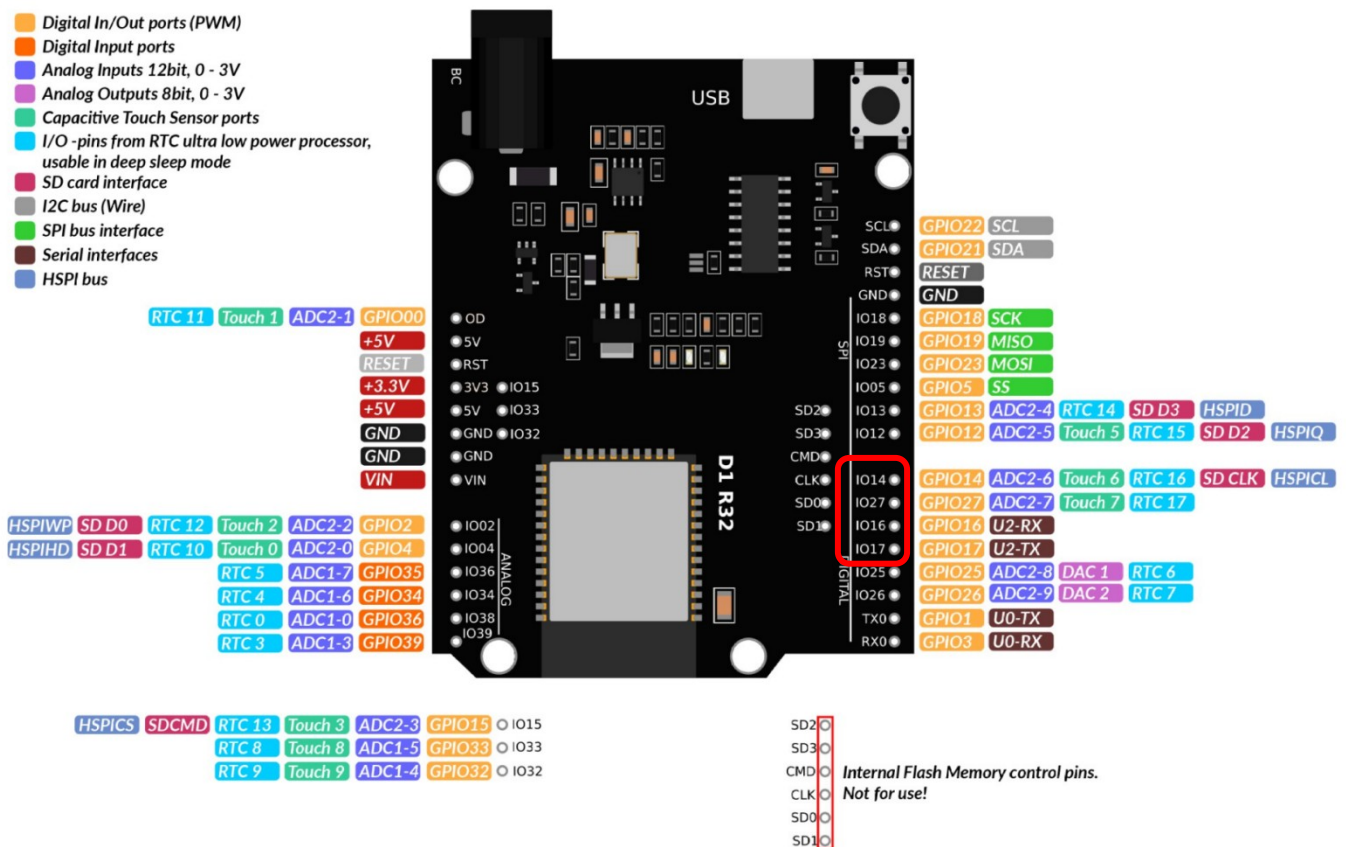
Per programmare l'ESP32-S3 DevKitC con l'IDE di Arduino, puoi usare una qualsiasi delle due porte USB-C, che servono sia per l'alimentazione sia per la comunicazione con il PC per caricare il codice. La scheda, come molte altre ESP32, ha questa doppia funzionalità.

E' una scheda con il layout tipico di Arduino Uno creata attorno al chip ESP32 WROOM-32, contenente un regolatore di tensione, un circuito programmatore USB per il chip ESP32 e molte altre funzioni.

Per lo sviluppo di applicazioni è possibile scegliere tra Arduino IDE o ESPIDF (piattaforma nativa).

D1 R32 viene fornito con un firmware preinstallato che consente di lavorare con il linguaggio interpretato, inviando comandi attraverso la porta seriale (chip CH340).

La scheda D1 R32 è stata progettata per funzionare con diverse periferiche ed è compatibile con alcuni shield progettati appositamente per questa scheda. È dotata di un regolatore di tensione che le consente di alimentarsi direttamente dalla porta USB o dalla presa per un jack CC. I pin di ingresso/uscita funzionano a 3,3V. Il chip CH340 è responsabile della comunicazione USB-seriale.



Prestare attenzione che la numerazione dei PIN di Arduino è diversa da quella dell'ESP32. Ad esempio per lo "shield relè" i pin di comando 4-5-6-7 dei relè diventano 17-16-27-14.

**Codice HTML**

```
<!DOCTYPE html>
<html>
<head>
  <meta name="viewport" content="width=device-width, initial-scale=1">
  <meta charset="UTF-8">
  <title>Controllo motore</title>
</head>
<body>
  <h2>Controllo Motore</h2>
  <p>Stato sensore: DISATTIVO</p>
  <hr>
  <p>
    <a href="/start">[ START ]</a>
    <a href="/stop">[ STOP ]</a>
  </p>
  <hr>
  <p><a href="javascript:window.location.reload()">Ricarica la pagina</a></p>
</body>
</html>
```

Aperto con l'editor di testo Notepad++:

The screenshot shows the Notepad++ editor with the following HTML code:

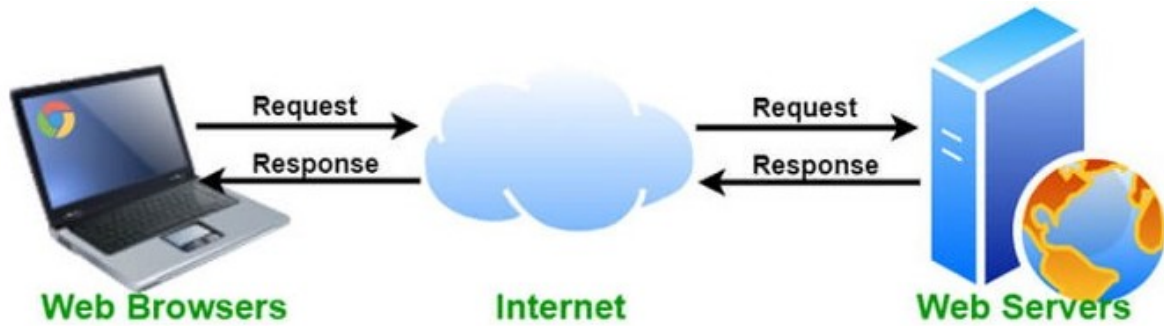
```
<!DOCTYPE html>
<html>
<head>
  <meta name="viewport" content="width=device-width, initial-scale=1">
  <meta charset="UTF-8">
  <title>Controllo motore</title>
</head>
<body>
  <h2>Controllo Motore</h2>
  <p>Stato sensore: DISATTIVO</p>
  <hr>
  <p>
    <a href="/start">[ START ]</a>
    <a href="/stop">[ STOP ]</a>
  </p>
  <hr>
  <p><a href="javascript:window.location.reload()">Ricarica la pagina</a></p>
</body>
</html>
```

Aperto con un browser:



Quando ci connettiamo ad internet tramite un PC o uno smartphone digitiamo in un browser l'indirizzo del sito web che ci interessa (ad es. [www.google.it](http://www.google.it)). In questo modo il sito web (o meglio il programma web server che è in funzione sul computer che ospita il sito) ci risponde con una pagina HTML.

Il nostro PC deve prima di tutto essere connesso alla rete locale tramite un HOTSPOT (è un punto di accesso a Internet via Wi-Fi).



Il microprocessore ESP32 può fare sia da HOTSPOT che da web server. Quindi dopo che ci si connette all'HOTSPOT (ssid = "castelli) è possibile richiamare la pagina di controllo del motore digitando l'indirizzo programmato (192.168.4.1).

Nella pagina html per il controllo del motore sono presenti 3 link che utilizziamo per:

- avviare il motore → `<a href="/start">[ START ]</a>`
- spegnere il motore → `<a href="/stop">[ STOP ]</a>`
- ricaricare la pagina (aggiorna stato del sensore) → `>><a href="javascript:window.location.reload()">Ricarica la pagina</a>`

I link di avvio e spegnimento contengono nel marcatore `<a href>` i testi `"/start"` e `"/stop"`.

Questi testi vengono inviati al web server insieme all'indirizzo e vengono usati per discriminare l'azione da eseguire:

- `<a href="/start">[ START ]</a>` → chiama la funzione `handleStart` (avvia motore)
- `<a href="/stop">[ STOP ]</a>` → chiama la funzione `handleStop` (spegne motore)

Il testo in rosso nella riga

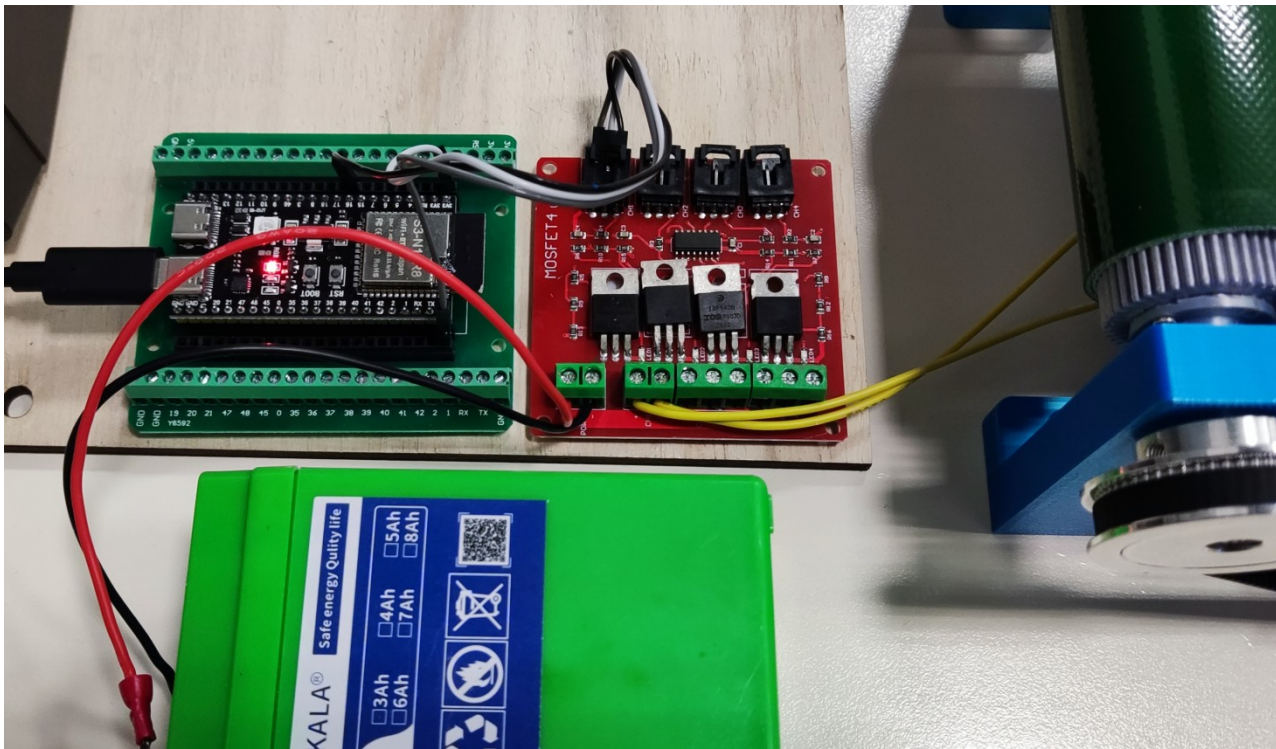
```
<p>Stato sensore: DISATTIVO</p>
```

deve essere aggiornato ogni volta che viene chiamata la pagina html tramite il browser; ciò viene fatto nella funzione

**getHtmlPage()**

tramite il comando

```
html += statoSensore ? "DISATTIVO" : "ATTIVO"; → torna il testo "DISATTIVO" se stato Sensore=true se no ATTIVO
```



## Codice Arduino

```

#include <WiFi.h>
#include <WebServer.h>
// --- CONFIGURAZIONE WIFI HOTSPOT ---
const char *ssid = "castelli";
const char *password = "12345678";
// Porta HTTP standard
WebServer server(80);
// Pin del motore
const int MOTORE_PIN = 16; // Utilizziamo GPIO 16
const int SENSORE_PIN = 17; // Utilizziamo GPIO 17
// Stato del motore
bool statoMotore = false;
int statoSensore = 1;

// Funzione per impostare lo stato del relè (Attivo LOW)
void avviaMotore(bool state) {
  statoMotore = state;
  if (state) {
    digitalWrite(MOTORE_PIN, HIGH); // Attiva
  } else {
    digitalWrite(MOTORE_PIN, LOW); // Disattiva
  }
}

// Funzione richiamata all'accesso alla root ("/")
void handleRoot() {
  // Importante: specifica la codifica UTF-8 per gli accenti
  //server.send(200, "text/html; charset=utf-8", getHtmlPage());
  server.send(200, "text/html", getHtmlPage());
}

// Funzione richiamata quando si preme il pulsante START
void handleStart() {
  avviaMotore(true);
  server.send(200, "text/html", getHtmlPage());
}

// Funzione richiamata quando si preme il pulsante STOP
void handleStop() {
  avviaMotore(false);
  server.send(200, "text/html", getHtmlPage());
}

// Funzione per generare la pagina HTML
String getHtmlPage() {

```

```

statoSensore= digitalRead(SENSORE_PIN);

String html = R"rawliteral(
<!DOCTYPE html>
<html>
<head>
  <meta name="viewport" content="width=device-width, initial-scale=1">
  <meta charset="UTF-8">
  <title>Controllo motore</title>
</head>
<body>
  <h2>Controllo Motore</h2>
  <p>Stato sensore: )rawliteral";
html += statoSensore ? "DISATTIVO" : "ATTIVO";
html += R"rawliteral(</p>
  <hr>
  <p>
    <a href="/start">[ START ]</a>
    <a href="/stop">[ STOP ]</a>
  </p>
  <hr>
  <p><a href="javascript:window.location.reload()">Ricarica la pagina</a></p>
</body>
</html>
)rawliteral";
return html;
}

void setup() {
  Serial.begin(115200);
  pinMode(MOTORE_PIN, OUTPUT);
  pinMode(SENSORE_PIN, INPUT_PULLUP);
  avviaMotore(false);

  // --- 1. Configurazione come Access Point (Hotspot) ---
  Serial.print("Configurazione Hotspot... SSID: ");
  Serial.println(ssid);

  if (WiFi.softAP(ssid, password)) {
    Serial.println("Hotspot creato con successo! IP: 192.168.4.1");
  } else {
    Serial.println("Errore nella configurazione dell'Hotspot.");
  }

  // --- 2. Configurazione del Web Server ---
  server.on("/", HTTP_GET, handleRoot);
  server.on("/start", HTTP_GET, handleStart);
  server.on("/stop", HTTP_GET, handleStop);

  server.begin();
  Serial.println("Server HTTP avviato sulla porta 80");
}

void loop() {
  // Gestisce le richieste della pagina html
  server.handleClient();
}

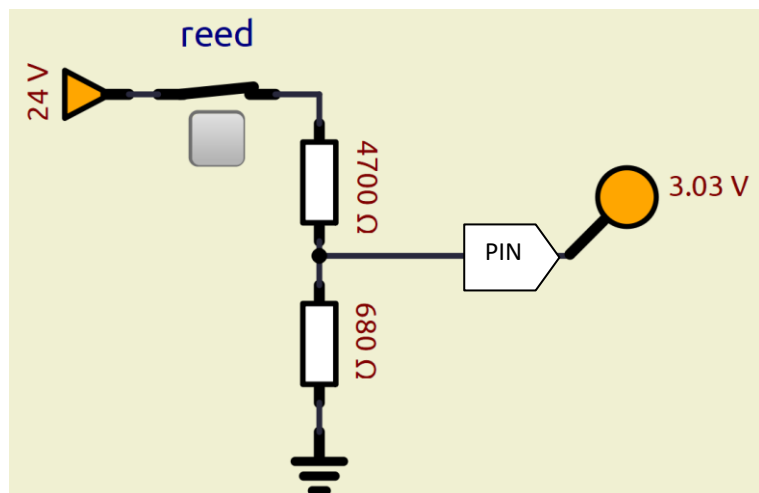
```

## CONTROLLO CILINDRO PNEUMATICO CON SENSORI REED

Un classico sensore reed attivo per automazione industriale necessita una alimentazione dedicata a 24V.

Il micro ESP32 lavora invece con una tensione di 3.3V (un segnale in ingresso viene rilevato ALTO se risulta  $\leq 2.5V$ ).

Risulta necessario quindi adattare il livello logico del sensore (24V) con quello del micro (3.3V). Il metodo più semplice è quello di utilizzare un partitore di tensione:



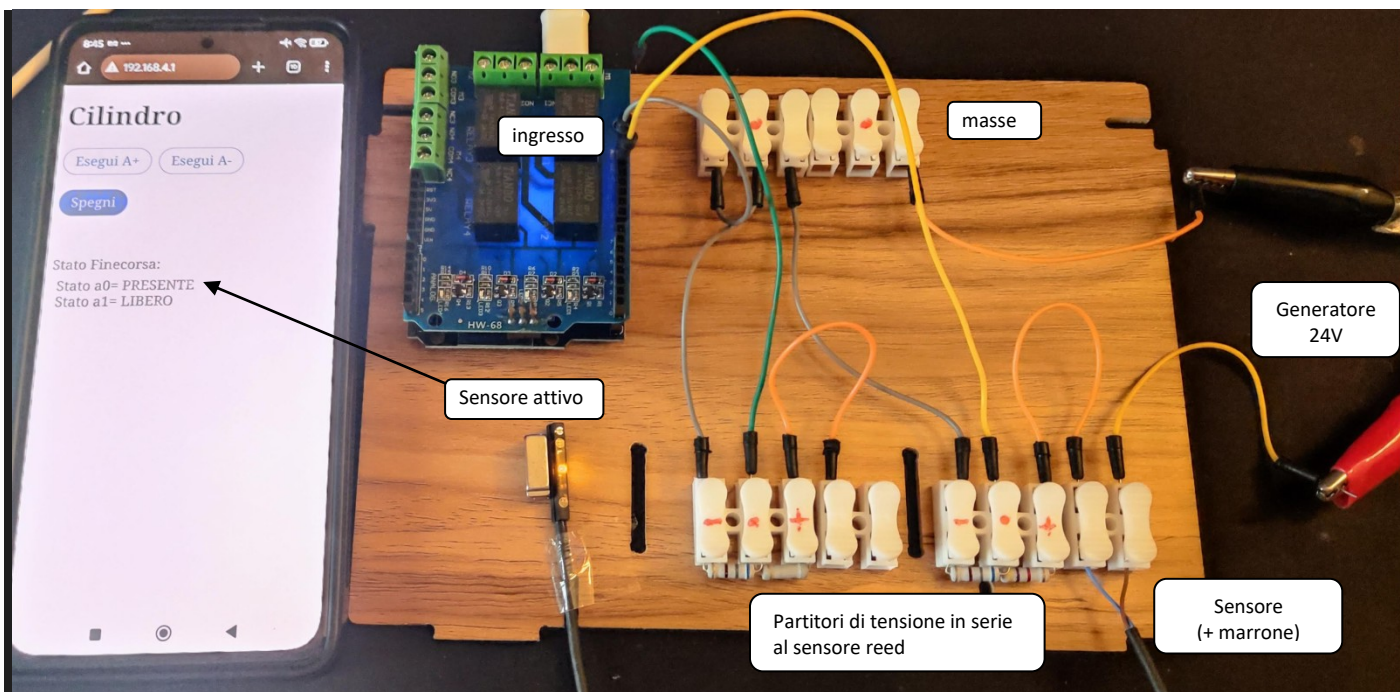
Utilizzando una coppia di resistenze si deve ottenere una tensione di uscita  $2,5 < V_{out} < 3,3V$  che potrà essere letta in sicurezza dal micro. In assenza di tensione verrà letto 0V (massa).

**Domanda:** se utilizziamo Arduino che lavora a 5V quanto devono valere le resistenze?

## CABLAGGIO EPS32 D1 R32 CON RELE SHIELD:

Ricordarsi di collegare la massa del micro con quella del generatore esterno a 24V.

Lo stato dei sensori viene letto sui PIN 18 e 19. I pin 17-16-27-14 attivano i relè.



```

#include <WiFi.h>

#include <WebServer.h>

// --- CONFIGURAZIONE WIFI HOTSPOT ---
const char *ssid = "castelli";
const char *password = "12345678"; // min 8 char se no dà errore

// Porta HTTP standard
WebServer server(80);

// Pin dei relè shield
const int RELAY_PIN4 = 17;
const int RELAY_PIN5 = 16;
const int RELAY_PIN6 = 27;
const int RELAY_PIN7 = 14;

// Pin dei sensori in modalità pullup
const int Apiu_PIN = 18;
const int Ameno_PIN = 19;

// Variabili per Stati
int statoApiu= HIGH;
int statoAmeno= HIGH;

// NUOVA Funzione per generare il contenuto del Frame
String getStatusFrameHtml() {
  // Legge lo stato attuale del finecorsa
  //bool limitSwitchActive = (digitalRead(LIMIT_SWITCH_PIN) == LOW);
  statoApiu= digitalRead(Apiu_PIN);
  statoAmeno= digitalRead(Ameno_PIN);

  String html = R"rawliteral(
<!DOCTYPE html>
<html>
<head>
  <meta name="viewport" content="width=device-width, initial-scale=1">
  <meta charset="UTF-8">
  <title>Stato Finecorsa</title>
  <meta http-equiv="refresh" content="1">
</head>
<body style="font-size: 1.2rem;">rawliteral";
  // Stato Finecorsa
  html += "Stato a0= ";
  html += statoApiu ? "PRESENTE" : "LIBERO";
  html += "<br>";
  html += "Stato a1= ";
  html += statoAmeno ? "PRESENTE" : "LIBERO";
  html += R"rawliteral(
</body>
</html>
)rawliteral";
  return html;
}

// Funzione per generare la pagina HTML con lo slider
String getHtmlPage() {
  String html = R"rawliteral(
<!DOCTYPE html>
<html>
<head>
  <meta name="viewport" content="width=device-width, initial-scale=1">
  <meta charset="UTF-8">
  <title>Cilindro ESP32</title>
</head>
<body style="font-size: 1.2rem;">
  <h1>Cilindro</h1>
  <p>

```

```

        <a href="/apiu" style="display:inline-block;padding:0.5rem 1rem;border:1px solid #007aff;border-
radius:9999px;background:transparent;color:#007aff;text-decoration:none;">Esegui A</a>&nbsp;
        <a href="/ameno" style="display:inline-block;padding:0.5rem 1rem;border:1px solid #007aff;border-
radius:9999px;background:transparent;color:#007aff;text-decoration:none;">Esegui A</a><br><br>
        <a href="/spegni" style="display:inline-block;padding:0.5rem 1rem;border:none;border-
radius:9999px;background:#007aff;color:#fff;text-decoration:none;">Spegni</a>
    </p>
</br>
<p>Stato Finecorsa:
    <iframe id="finecorsa-frame" src="/status_frame" width="300" height="70" frameborder="0">
        Caricamento stato...
    </iframe>
</p>
</body>
</html>

)rawliteral";

/*
html += "<p>Stato a0= ";
html += statoApi ? "ATTIVO" : "DISATTIVO";
html += "<br>";
html += "Stato a1= ";
html += statoAmeno ? "ATTIVO" : "DISATTIVO";
html += "</p>";

html += R"rawliteral(
    <a href="javascript:window.location.reload();"><p>Aggiorna pagina</p></a>
</body>
</html>
)rawliteral";
*/

return html;
}

// Funzione di utilità per impostare lo stato del relè
void setApi(u003cbool state) {
    statoApi = state;
    if (state) {
        digitalWrite(RELAY_PIN4, HIGH);
    } else {
        digitalWrite(RELAY_PIN4, LOW);
    }
}

void setAmeno(u003cbool state) {
    statoAmeno = state;
    if (state) {
        digitalWrite(RELAY_PIN5, HIGH);
    } else {
        digitalWrite(RELAY_PIN5, LOW);
    }
}

// Funzione richiamata all'accesso alla root ("/")
void handleRoot() {
    server.send(200, "text/html", getHtmlPage());
}

// Funzione richiamata quando si preme il pulsante Apiu
void handleApi(u003c) {
    setApi(true);
    setAmeno(false);
    server.setHeader("Location", "/"); // Reindirizza per aggiornare la pagina
    server.send(303);
}

// Funzione richiamata quando si preme il pulsante Ameno

```

```

void handleAmeno() {
  setAmeno(true);
  setApiu(false);
  server.sendHeader("Location", "/");
  server.send(303);
}

// Funzione richiamata quando si preme il pulsante Ameno
void handleSpegni() {
  setAmeno(false);
  setApiu(false);
  server.sendHeader("Location", "/");
  server.send(303);
}

// Funzione richiamata per l'iFrame - Contiene SOLO lo stato che si aggiorna
void handleStatusFrame() {
  server.send(200, "text/html; charset=utf-8", getStatusFrameHtml());
}

void setup() {
  Serial.begin(115200);

  pinMode(RELAY_PIN4, OUTPUT);
  pinMode(RELAY_PIN5, OUTPUT);
  pinMode(RELAY_PIN6, OUTPUT);
  pinMode(RELAY_PIN7, OUTPUT);
  pinMode(Apiu_PIN, INPUT);
  pinMode(Ameno_PIN, INPUT);

  setApiu(false);
  setAmeno(false);

  // 1. Configurazione come Access Point (Hotspot)
  if (WiFi.softAP(ssid, password)) {
    Serial.println("Hotspot creato con successo! IP: 192.168.4.1");
  } else {
    Serial.println("Errore nella configurazione dell'Hotspot.");
  }

  // 2. Configurazione del Web Server
  server.on("/", HTTP_GET, handleRoot);
  server.on("/apiu", HTTP_GET, handleApiu);
  server.on("/ameno", HTTP_GET, handleAmeno);
  server.on("/spegni", HTTP_GET, handleSpegni);
  server.on("/status_frame", HTTP_GET, handleStatusFrame); //IFRAME

  server.begin();
  Serial.println("Server HTTP avviato sulla porta 80");
}

void loop() {
  server.handleClient();
  delay(10);
}

```

```

#include <WiFi.h>
#include <WebServer.h>

// --- CONFIGURAZIONE WIFI HOTSPOT ---
const char *ssid = "castelli";
const char *password = "12345678";

// Porta HTTP standard
WebServer server(80);

// Pin del motore
const int MOTORE_PIN = 16; // Utilizziamo GPIO 16

// Stato del motore
bool statoMotore = false;

// Funzione per impostare lo stato del relè (Attivo LOW)
void avviaMotore(bool state) {
  statoMotore = state;
  if (state) {
    digitalWrite(MOTORE_PIN, HIGH); // Attiva
  } else {
    digitalWrite(MOTORE_PIN, LOW); // Disattiva
  }
}

// Funzione richiamata all'accesso alla root ("/")
void handleRoot() {
  // Importante: specifica la codifica UTF-8 per gli accenti
  server.send(200, "text/html; charset=utf-8", getHtmlPage());
}

// Funzione richiamata quando si preme il pulsante START
void handleStart() {
  avviaMotore(true);
  server.sendHeader("Location", "/"); // Reindirizza a "/" dopo l'azione
  server.send(303);
}

// Funzione richiamata quando si preme il pulsante STOP
void handleStop() {
  avviaMotore(false);
  server.sendHeader("Location", "/"); // Reindirizza a "/" dopo l'azione
  server.send(303);
}

// Funzione per generare la pagina HTML ultra-semplificata
String getHtmlPage() {
  String html = R"rawliteral(
<!DOCTYPE html>
<html>
<head>
  <meta name="viewport" content="width=device-width, initial-scale=1">
  <meta charset="UTF-8">
  <title>Controllo motore</title>
</head>
<body>
  <h1>Controllo Motore CC</h1>
  <p>Stato Relè: <strong>rawliteral";

  // Inserisce lo stato attuale
  html += statoMotore ? "ATTIVO" : "DISATTIVO";

  html += R"rawliteral(</strong></p>
  <hr>
  <p>
    <a href="/start">[ START ]</a>
    <a href="/stop">[ STOP ]</a>
  </p>
  <hr>
  <p>Ricarica la pagina per aggiornare lo stato.</p>
</body>
</html>
)rawliteral";
  return html;
}

```

```

}

void setup() {
  Serial.begin(115200);
  pinMode(MOTORE_PIN, OUTPUT);
  avviaMotore(false);

  // --- 1. Configurazione come Access Point (Hotspot) ---
  Serial.print("Configurazione Hotspot... SSID: ");
  Serial.println(ssid);

  if (WiFi.softAP(ssid, password)) {
    Serial.println("Hotspot creato con successo! IP: 192.168.4.1");
  } else {
    Serial.println("Errore nella configurazione dell'Hotspot.");
  }

  // --- 2. Configurazione del Web Server ---
  server.on("/", HTTP_GET, handleRoot);
  server.on("/start", HTTP_GET, handleStart);
  server.on("/stop", HTTP_GET, handleStop);

  server.begin();
  Serial.println("Server HTTP avviato sulla porta 80");
}

void loop() {
  // Gestisce le richieste HTTP
  server.handleClient();
}

```

**ISTRUZIONE = R"RAWLITERAL()RAWLITERAL";**

Nel C++ di Arduino, la parola chiave R"()" (rawliteral) consente di definire stringhe letterali senza interpretare caratteri di escape come \n o \t. Questo significa che i caratteri di escape vengono trattati come caratteri letterali all'interno della stringa. Viene utilizzata per inserire pagine html all'interno del codice Arduino in modo semplice.

```
String html = R"rawliteral(
  pagina html .....
)rawliteral";
```

## OPERATORE CONDIZIONALE TERNARIO

Funziona come un'istruzione if-else condensata:

```
HTML = HTML & relayState ? "ATTIVO" : "DISATTIVO";
```

Aggiunge la parola "**ATTIVO**" alla stringa HTML se il relè è acceso (`relayState` è `true`), oppure aggiunge la parola "**DISATTIVO**" se il relè è spento (`relayState` è `false`).

Questo operatore ci permette di modificare il contenuto della pagina HTML sulla base dei comandi ricevuto dai client.



# SENSORI E TRASDUTTORI SISTEMI DI CONTROLLO

Sensore e trasduttore sono due termini concettualmente diversi:

- il primo identifica un dispositivo che converte una determinata grandezza in ingresso in grandezza elettrica
- il secondo trasforma una forma di energia in un'altra

Spesso non viene fatta una netta distinzione tra i due dispositivi e spesso i termini vengono usati come sinonimi. Il trasduttore, generalmente costituito da uno o più sensori e da due blocchi di interfacciamento, è il primo elemento che compone il sistema di controllo che converte un tipo di energia in ingresso in un altro tipo di energia in uscita.



## ELENCO DEI PIÙ COMUNI TRASDUTTORI.

Fenomeno da misurare	Trasduttori impiegati
Temperatura	Termocoppie Termistori (PTC, NTC) Rivelatori resistivi di temperatura Trasduttori basati su circuiti integrati
Luce	Fotocellule, fotodiodi e fototransistors CCD
Suono	Microfoni
Forza e pressione	Estensimetri Trasduttori piezoelettrici Trasduttori piezoresistivi
Posizione, spostamento e rotazione	Potenzimetri Trasduttori induttivi di spostamento Encoder ottici Giroscopi ottici
Presenza o prossimità di un oggetto	Trasduttori induttivi e capacitivi Trasduttori magnetici Trasduttori ad ultrasuoni (Sonar)
Flusso di fluidi	Misuratori diretti di portata Misuratori di velocità di un fluido
Livello pH	Sonde pH

## PROPRIETA' GENERALI DEI SENSORI

Le principali caratteristiche che definiscono la qualità del segnale di un sensore (statiche e dinamiche) sono:

### Range (Campo di Misura):

L'intervallo tra il valore minimo e massimo che il sensore può misurare (es. da -50°C a +150°C).

### Accuratezza (Accuracy):

La differenza massima tra il valore misurato e il valore reale. Indica quanto la misura è "vera".

### Precisione (Ripetibilità):

La capacità del sensore di fornire lo stesso risultato misurando più volte la stessa grandezza nelle stesse condizioni. *Un sensore può essere preciso ma non accurato (se non è calibrato).*

### Risoluzione:

La più piccola variazione della grandezza fisica che il sensore è in grado di rilevare.

### Linearità:

Quanto la curva di uscita del sensore si avvicina a una linea retta ideale.

Una bassa linearità richiede algoritmi di correzione complessi.

### Isteresi:

La differenza nel valore di uscita quando si misura la stessa grandezza in fase crescente o decrescente.

### Deriva (Drift):

La variazione del segnale nel tempo (a causa dell'invecchiamento) o a causa della temperatura, senza che cambi la grandezza misurata.

### Tempo di risposta (response time):

E' il tempo necessario affinché l'uscita del sensore raggiunga una certa percentuale (solitamente il **63.2%** o il **90%**) del suo valore finale stabile in seguito a una variazione "a gradino" dell'ingresso.

## TEMPO DI RISPOSTA DEI PRINCIPALI SENSORI

In ambito industriale, il tempo di risposta è il tempo necessario affinché l'uscita del sensore raggiunga una certa percentuale (solitamente il **63.2%** o il **90%**) del suo valore finale stabile in seguito a una variazione "a gradino" dell'ingresso. Questo concetto è spesso legato alla **Costante di Tempo**.

## SENSORI OTTICI E FOTOELETTRICI

Questi sensori lavorano basandosi sulla luce e sull'elettronica veloce. Non hanno parti meccaniche in movimento e non dipendono da trasferimenti termici.

- **Tecnologia:** Fotocellule, Barriere laser, Fibre ottiche, Sensori di visione.
- **Tempo di Risposta Tipico:** 10 us – 1 ms (microsecondi o millisecondi).
- **Applicazione:** Conteggio pezzi su nastri trasportatori veloci, rilevamento tacche di stampa, sicurezza macchine.

## SENSORI DI PRESSIONE

La velocità dipende dalla tecnologia interna.

- **Piezolettrici:** Velocissimi, reagiscono alla deformazione cristallina quasi istantanea.  
*Tempo: < 0.1 ms* (ideali per rilevare picchi di pressione o esplosioni).
- **Piezoresistivi / Estensimetrici:** Standard industriale.  
*Tempo: 1 ms – 5 ms.*
- **Capacitivi:** Generalmente usati per basse pressioni, leggermente più lenti.

## SENSORI DI PROSSIMITÀ (INDUTTIVI E CAPACITIVI)

Utilizzati per rilevare la presenza di oggetti (metalli o altri materiali) a breve distanza.

- **Induttivi (Metallo):** La velocità è legata alla frequenza di commutazione del campo magnetico.  
*Tempo: 0.2 ms – 5 ms* (Frequenze fino a 5 kHz).
- **Capacitivi:** Leggermente più lenti degli induttivi a causa della fisica del campo elettrico.  
*Tempo: 2 ms – 10 ms* (Frequenze 50-100 Hz).

## SENSORI DI POSIZIONE E DISTANZA

- **Encoder Ottici:** Risposta istantanea, limitata solo dalla frequenza di lettura del controllore.
- **Laser di distanza (Time of Flight):** Molto veloci (**1 ms – 10 ms**).
- **Ultrasuoni:** Più lenti perché il suono deve viaggiare attraverso l'aria, colpire l'oggetto e tornare indietro (la velocità del suono è "lenta" rispetto alla luce).  
*Tempo: 20 ms – 500 ms* (dipende dalla distanza massima impostata).

## SENSORI DI TEMPERATURA (I PIÙ LENTI)

La temperatura è una grandezza che possiede una "inerzia termica". Il calore deve fisicamente penetrare nel materiale del sensore.

- **Termocoppie (a giunto esposto):** Le più veloci a contatto.  
*Tempo: 0.1 s – 1 s.*
- **Termoresistenze (PT100) / Termocoppie (corazzate):** Devono scaldare la guaina protettiva in metallo.  
*Tempo: Da 2 secondi a decine di secondi.*
- **Pirometri Ottici (Infrarossi):** L'unica eccezione veloce per la temperatura. Non toccano l'oggetto, leggono la radiazione.  
*Tempo: 10 ms – 500 ms.*

Il componente elettronico TMP36 è un dispositivo integrato ad alta precisione utilizzato per misurare la temperatura ambientale.

Dato il basso costo e l'ampia scala di valori ammissibili (ovvero da -40°C fino a 125°C) questi dispositivi sono particolarmente diffusi. Non è necessaria nessuna operazione di calibrazione per ottenere valori di accuratezza pari a  $\pm 1^\circ\text{C}$  ad una temperatura di circa  $+25^\circ\text{C}$  e  $\pm 2^\circ\text{C}$  nel range di temperature  $-40^\circ\text{C}$  to  $+125^\circ\text{C}$ .

Nel caso specifico, osservando il grafico che riporta la caratteristica tensione/temperatura (per il TMP36 la linea è evidenziata in rosso) per una tensione di uscita di 0.5V il sensore rileva la temperatura di  $0^\circ\text{C}$ .

Valori di tensione inferiori a 0.5V indicano una temperatura sotto lo zero, mentre valori di tensione superiori a 0.5V indicano una temperatura positiva.

Inoltre è importante considerare che "una variazione 1 grado corrisponde ad una variazione di tensione di 10mV".

Quindi, se sul pin di input analogico sono presenti 550mV significa che il sensore sta rilevando una temperatura di  $5^\circ\text{C}$  ( $550\text{mV} - 500\text{mV} = 50\text{mV} \rightarrow$  variazione di  $5^\circ\text{C}$ ).

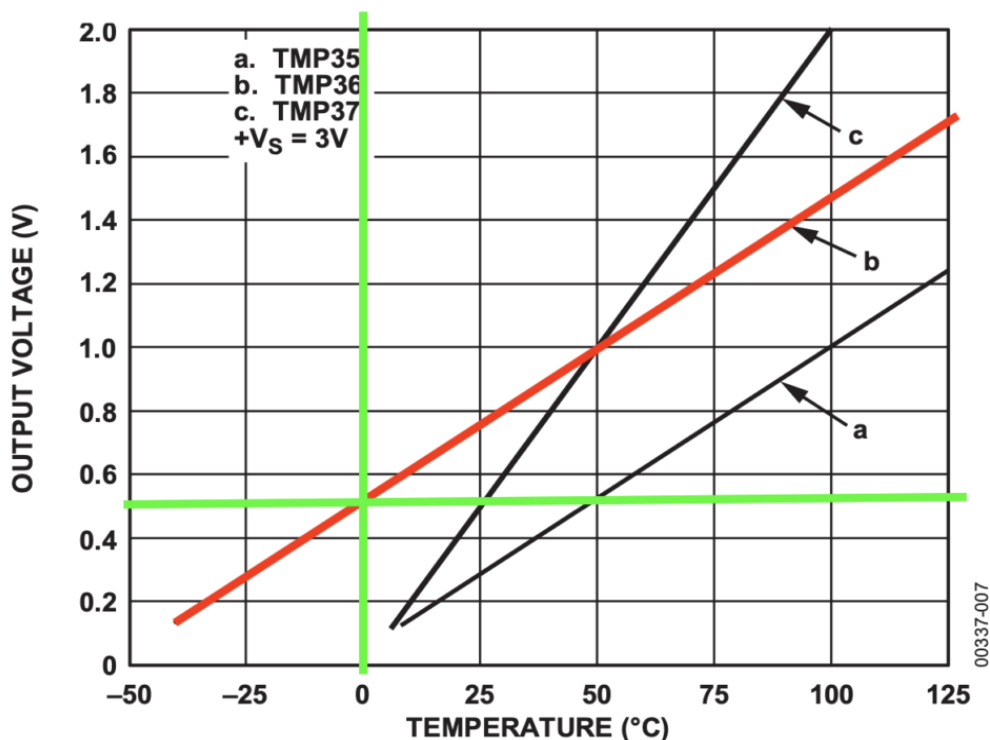
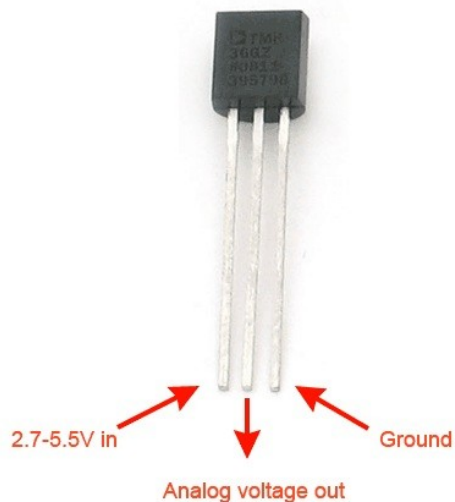


Figure 6. Output Voltage vs. Temperature

## CURVA CARATTERISTICA DEL SENSORE TMP36

La curva caratteristica del sensore è la funzione matematica che permette di calcolare la grandezza fisica ( $T^{\circ}\text{C}$ ) in funzione della grandezza elettrica misurata (Volt).

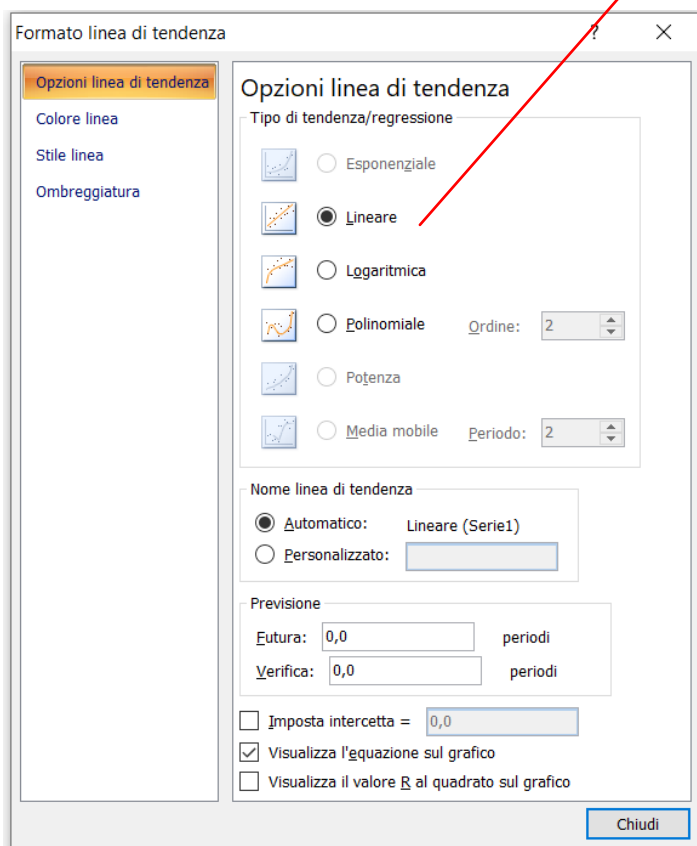
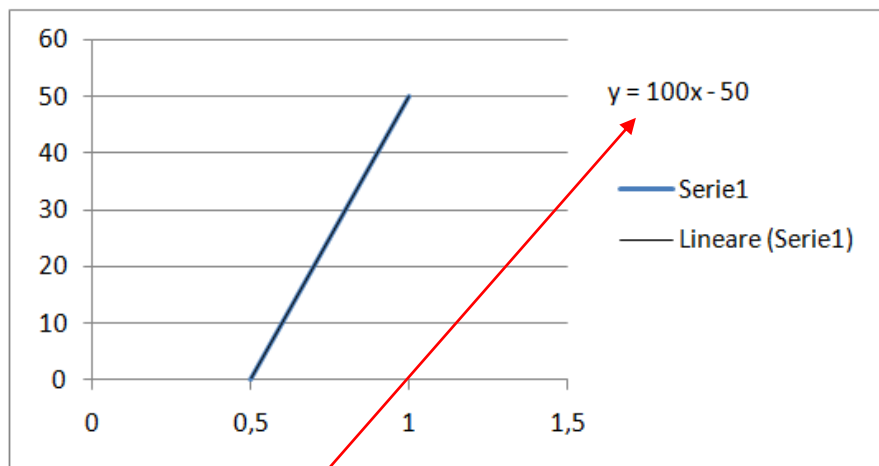
Se la funzione NON è lineare torna utile un "foglio di calcolo" per determinare la curva di tendenza che approssima al meglio la curva caratteristica del sensore.

Nel caso del TMP36 la curva è una semplice retta:  $T(^{\circ}\text{C}) = 100 \text{ Volt} - 50$ .

Se la tensione fornita dal sensore viene rilevata tramite Arduino su un PIN analogico (10 bit) si dovrà convertire il risultato della lettura nel seguente modo:

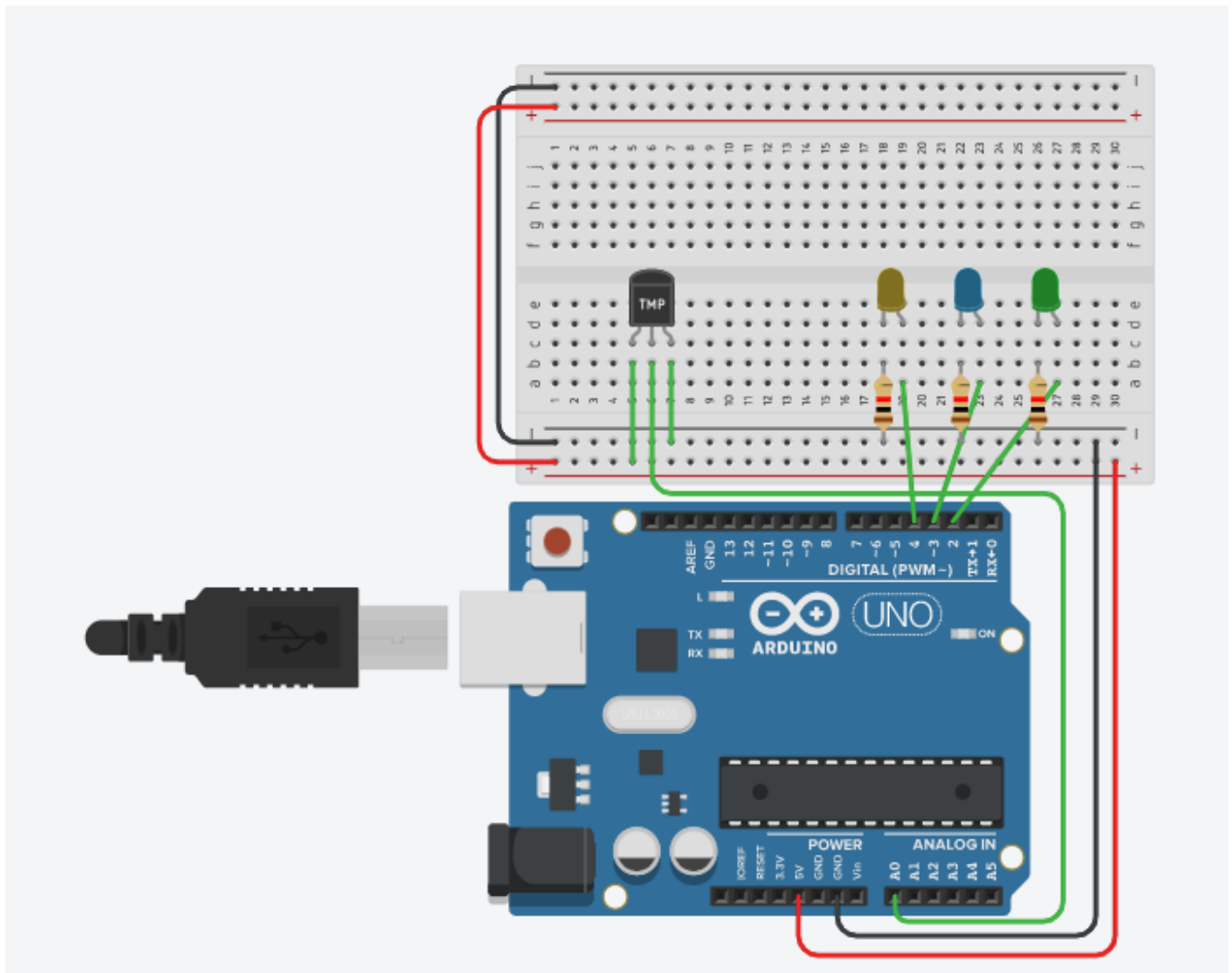
```
float volt = analogRead(PIN) * 5.0/1024.0; // usare i decimali per le divisioni!  
float temperatura = 100 * volt - 50;
```

Volt	T °C
0,5	0
1	50



## ESERCIZIO CON SENSORE TMP36

Accendere una striscia di 3 led in modo proporzionale alla temperatura rilevata dal sensore.



## CODICE

```
float volt;
float temperatura= 0;

void setup()
{
  pinMode(A0, INPUT);
  Serial.begin(9600);

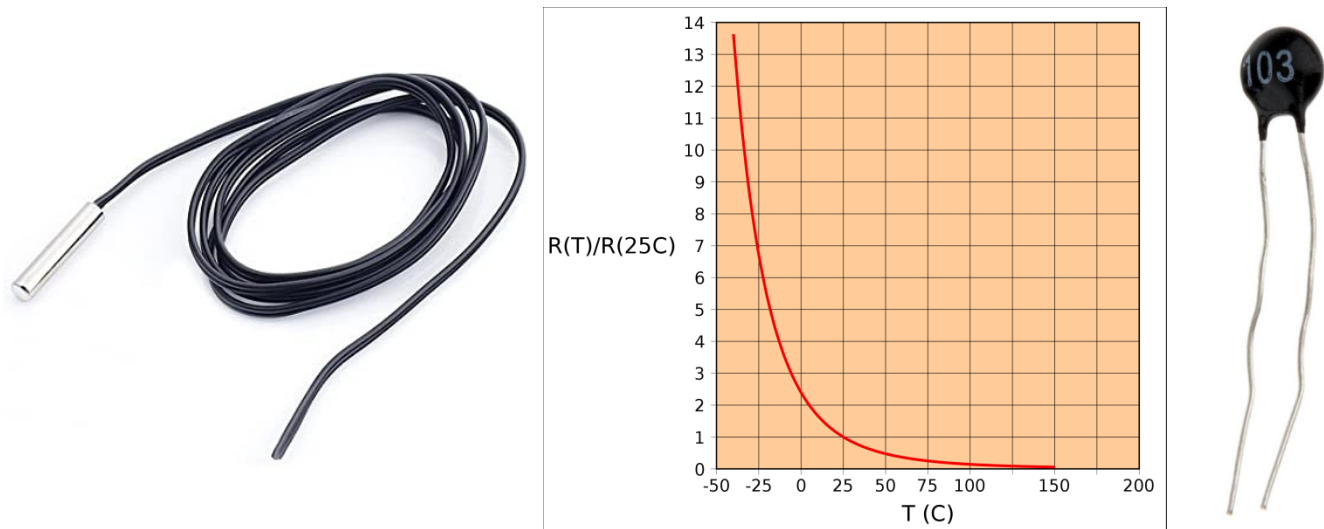
  pinMode(2, OUTPUT);
  pinMode(3, OUTPUT);
  pinMode(4, OUTPUT);
}

void loop()
{
  volt = analogRead(A0) * 5.0/1024.0; // usare i decimali nella divisione!
  temperatura = 100 * volt - 50;
  Serial.print(temperatura);
  Serial.println(" C");

  if (temperatura < 0) {
    digitalWrite(2, LOW);
    digitalWrite(3, LOW);
    digitalWrite(4, LOW);
    Serial.println("SOTTO ZERO");
  }
  if (temperatura >= 0 && temperatura < 10) {
    digitalWrite(2, HIGH);
    digitalWrite(3, LOW);
    digitalWrite(4, LOW);
    Serial.println("BASSA");
  }
  if (temperatura >= 10 && temperatura < 20) {
    digitalWrite(2, HIGH);
    digitalWrite(3, HIGH);
    digitalWrite(4, LOW);
    Serial.println("MEDIA");
  }
  if (temperatura >= 20) {
    digitalWrite(2, HIGH);
    digitalWrite(3, HIGH);
    digitalWrite(4, HIGH);
    Serial.println("ALTA");
  }
  delay(1000);
}
```

## TERMISTORE NTC (NEGATIVE TEMPERATURE COEFFICIENT)

Un termistore è un resistore il cui valore di resistenza varia con la temperatura.

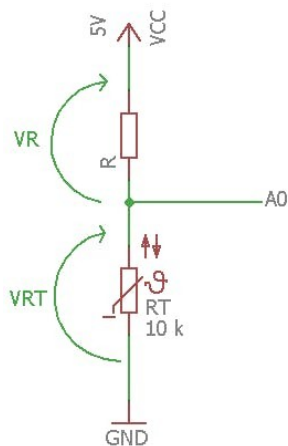


I termistori NTC possono essere caratterizzati con un'equazione detta equazione con parametro B o beta value:

$$\frac{1}{T} = \frac{1}{T_0} + \frac{1}{B} \ln\left(\frac{R}{R_0}\right)$$

dove le temperature sono in kelvin (K) e  $R_0$  è la resistenza alla temperatura  $T_0$  (di solito  $25\text{ °C}=298,15\text{ K}$ ).

B è costante solo in prima approssimazione e di solito ne viene indicato l'intervallo di temperature in cui è valida e la sua tolleranza in % (ad esempio  $B_{25/85} \pm 2\%$  indica che B tra  $25\text{ °C}$  e  $85\text{ °C}$  ha un errore massimo di  $\pm 2\%$ ).

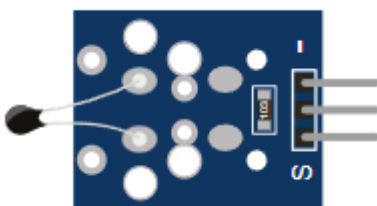


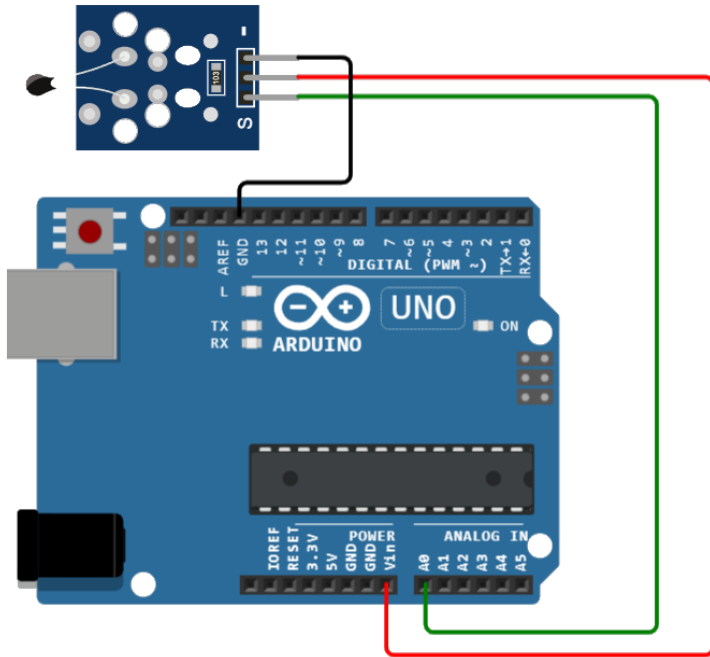
$$RT = R_0 e^{B\left(\frac{1}{T} - \frac{1}{T_0}\right)}$$

$$RT = V_{RT} / (V_R/R)$$

$$T = \frac{1}{\frac{\ln\left(\frac{RT}{R_0}\right)}{B} + \frac{1}{T_0}}$$

Il modulo sensore di temperatura per Arduino include un termistore NTC da 10K in serie con un resistore da 10K.





simulabile su "wokwi.com"

## CODICE

```
//Thermistor parameters: RT0: 10KΩ B: 3977 K +- 0.75% T0: 25 C +- 5%
//From datasheet
#define RT0 10000 // Ω
#define B 3977 // K
//-----

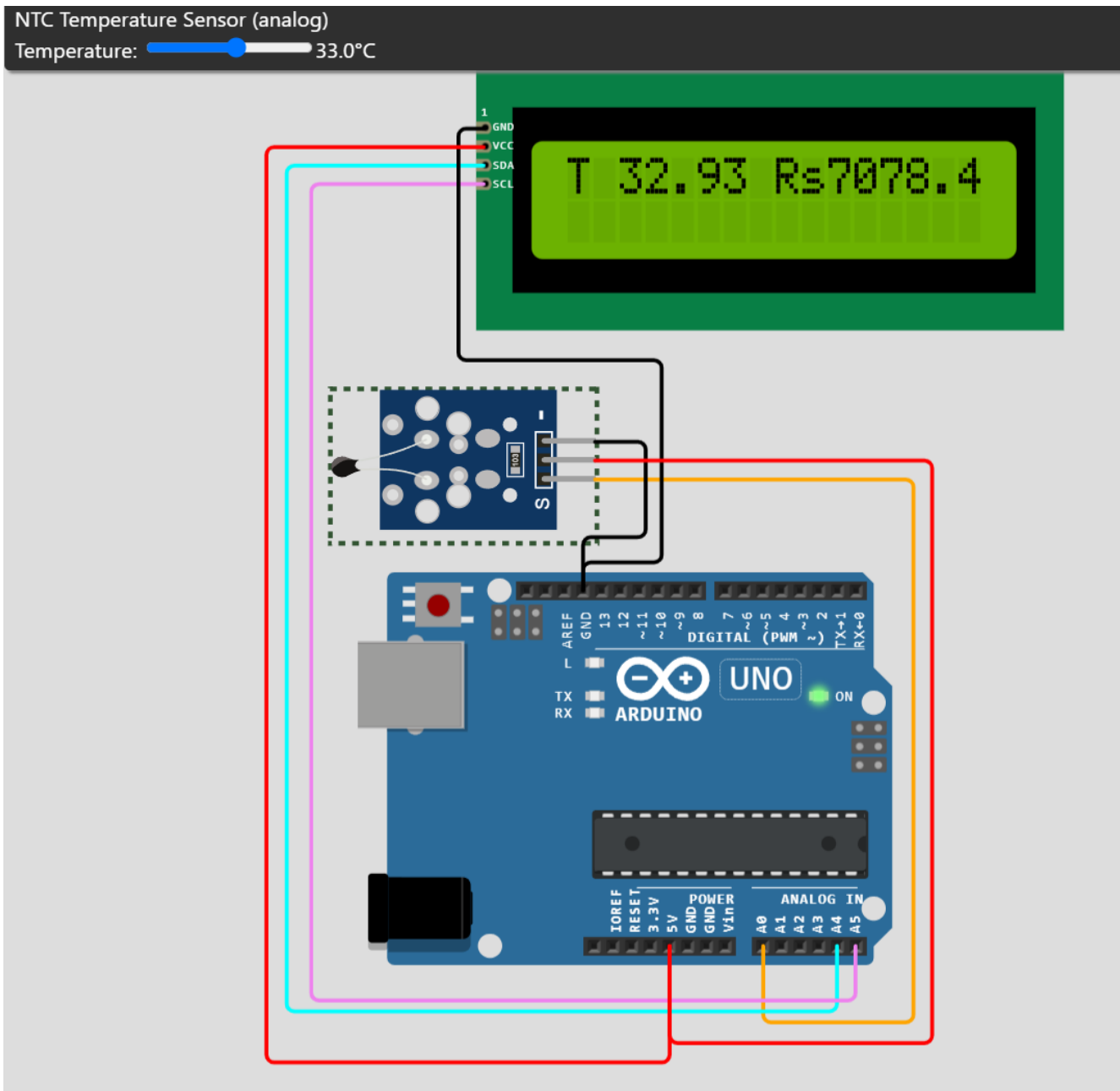
#define VCC 5 //Supply voltage
#define R 10000 //R=10KΩ

//Variables
float RT, VR, In, TX, T0, VRT;

void setup() {
  Serial.begin(9600);
  T0 = 25 + 273.15;
}

void loop() {
  VRT = analogRead(A0); // 0-1023 → tensione sul termistore
  VRT = (5.00 / 1023.00) * VRT; // converto in V
  VR = VCC - VRT; // tensione sulla resistenza R da 10K
  RT = VRT / (VR / R); // Resistenza di RT (V/I)
  In = log(RT / RT0);
  TX = 1 / (ln / B + 1 / T0); //Temperature from thermistor in K
  TX = TX - 273.15; //Conversion to °C

  Serial.print("Temperatura: ");
  Serial.print(TX);
  Serial.println(" °C");
  delay(1000);
}
```



simulabile su "wokwi.com"

```

//Thermistor parameters: RT0: 10KΩ B: 3977 K +- 0.75% T0: 25 C +- 5%
//From datasheet
#define RT0 10000 // Ω
#define B 3977 // K
#define VCC 5 //Supply voltage
#define R 10000.0 //R=10KΩ
//-----

// Voltmetro
float Rref= 660.0;

#include <LiquidCrystal_I2C.h>

LiquidCrystal_I2C lcd(0x27, 20, 4);
// Arduino: LiquidCrystal_I2C lcd(0x3f, 16, 2);

int pinSensor = A0;

//Variables
float RT, VR, ln, TX, T0, VRT;

String riga1 = "Display LCD con";
String riga2 = "interFaccia I2C";

void setup(){
  lcd.init();
  lcd.backlight();
  pinMode(pinSensor, INPUT);

  lcd.clear();
  lcd.setCursor(0, 0);
  typewriting(riga1);
  lcd.setCursor(0, 1);
  typewriting(riga2);

  delay(1500);

  lcd.clear();
}

void loop(){
  T0 = 25 + 273.15;
  VRT = analogRead(A0); // 0-1023 ◊ tensione sul termistore
  VRT = (5.00 / 1023.00) * VRT; // converto in V
  VR = VCC - VRT; // tensione sulla resistenza R da 10K
  RT = VRT / (VR / R); // Resistenza di RT (V/I)
  ln = log(RT / RT0);
  TX =1/ (ln / B + 1 / T0); //Temperature from thermistor in K
  TX = TX - 273.15; //Conversion to °C

  lcd.setCursor(0, 0);
  lcd.print("T "); lcd.print(TX); lcd.print(" Rs"); lcd.print(RT);

  delay(1000);
}

void clearRow(byte rowToClear)
{
  lcd.setCursor(0, rowToClear);
  lcd.print(" ");
}

void typewriting(String messaggio){
  int lunghezza = messaggio.length();
  for(int i = 0; i < lunghezza; i++){
    lcd.print(messaggio[i]);
    delay(25);
  }
}

```

## SISTEMI DI CONTROLLO DELLA TEMPERATURA CON MICROCONTROLLORE

Lo schema a blocchi sottostante mostra un tipico schema di controllo della temperatura di un sistema.

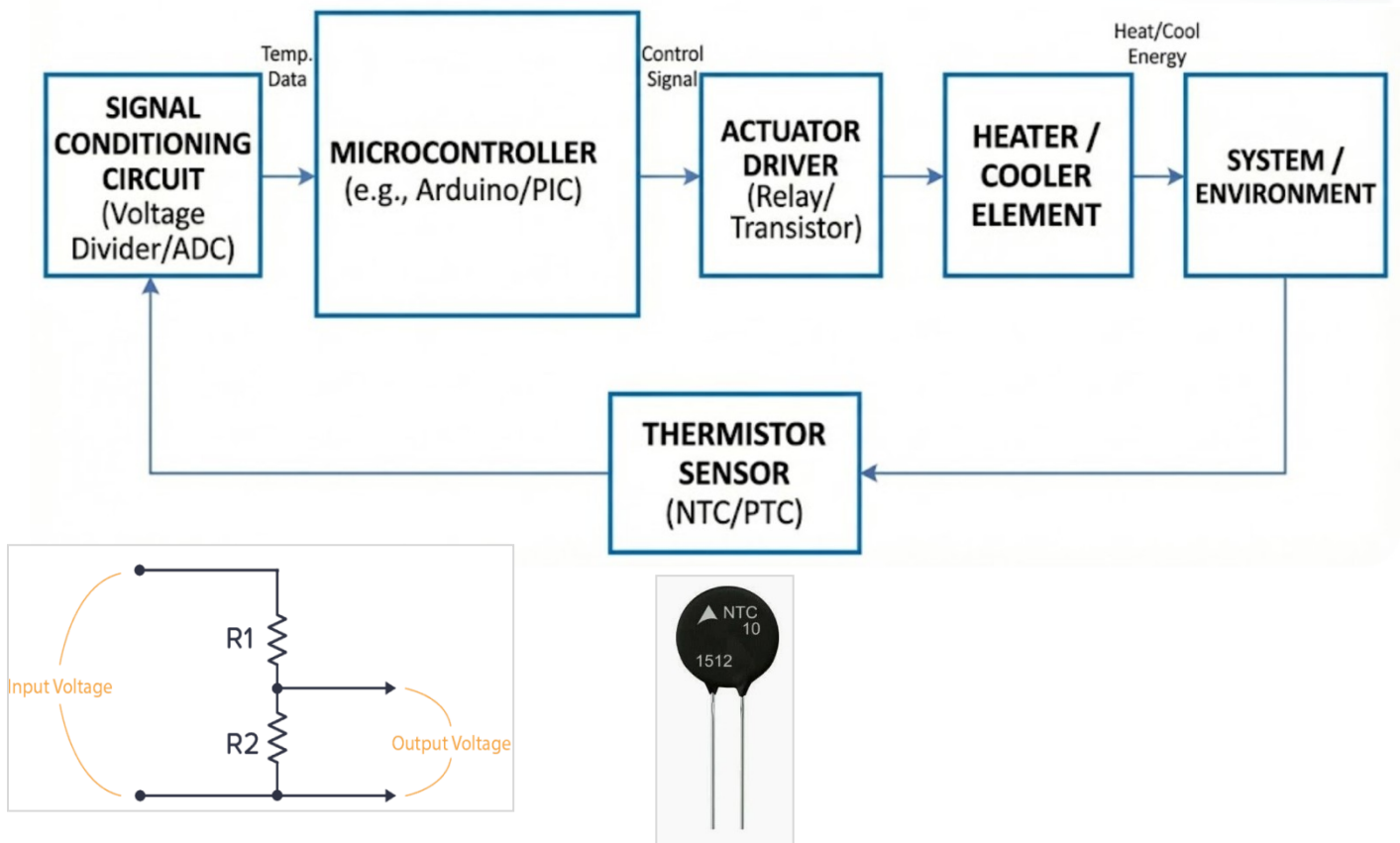
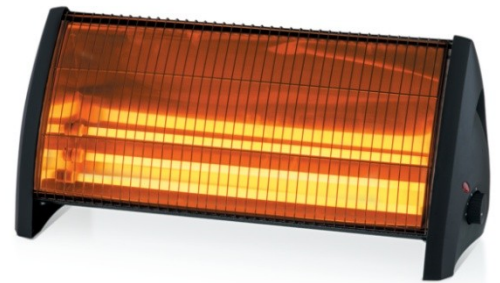
E' evidente la presenza del sensore (retroazione) che fornisce al microcontrollore, in tempo reale, la temperatura del sistema controllato.

Senza la retroazione è possibile solo una regolazione del sistema basata sulle leggi fisiche che lo governano.

Un qualsiasi disturbo esterno, non venendo rilevato, porterebbe il sistema ad una condizione di regime diversa da quella programmata

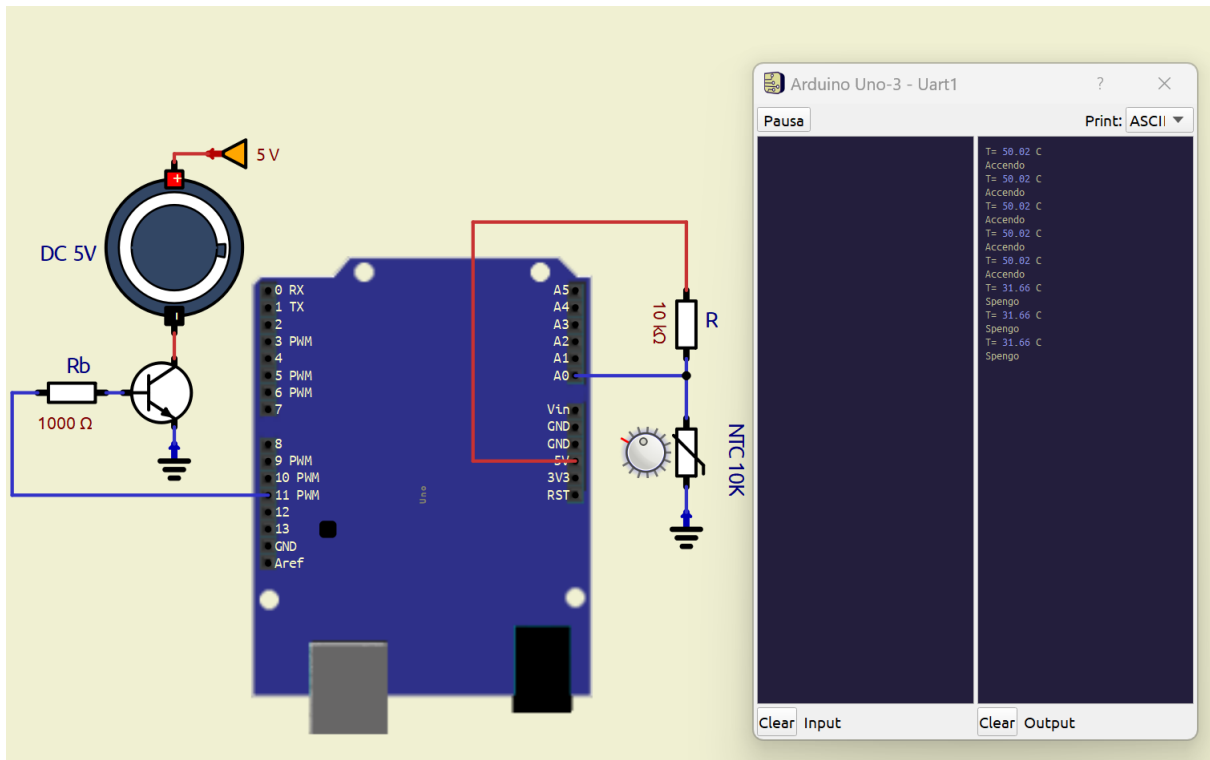
In un sistema retroazionato il segnale elettrico in uscita al sensore viene generalmente condizionato in modo da essere compatibile con gli ingressi analogici del microcontrollore (Arduino ad esempio è in grado di leggere tensioni da 0 a 5V).

Il microcontrollore implementa la logica di controllo (dalla più semplice ON-OFF alla più complessa PID). Genera quindi un segnale di controllo per il driver (transistor, relè ecc.) che comanda l'attuatore cioè l'elemento riscaldante (es. resistenza elettrica → calore per effetto Joule) che genera la potenza termica necessaria a controllare la temperatura del sistema.



## SISTEMA CONTROLLO TEMPERATURA ON-OFF CON TRANSISTOR

Vogliamo attivare una ventola di raffreddamento quando la temperatura del un competente elettronico supera quella critica utilizzando un termistore NTC 10K.



```

int pinVentola=11;
const float B = 3950;
const float R = 10000.0;
const float RT0 = 10000.0;
const float T0 = 298.15;
const float Vcc = 5.0;
//Variables
float Rs, VR, I, Ts, Vs;

void setup()
{
  pinMode(pinVentola, OUTPUT);
  Serial.begin ( 9600);
}

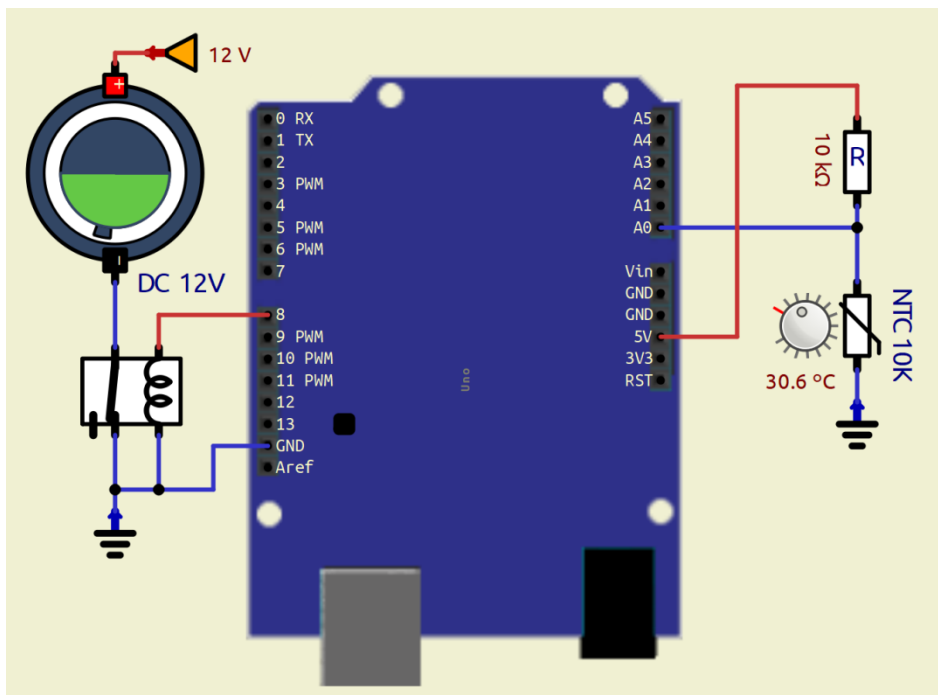
void loop()
{
  Vs = analogRead(A0); // 0-1023 tensione sul termistore
  Vs = (5.00 / 1023.00) * Vs; // converto in Volt
  VR = Vcc - Vs; // tensione sulla resistenza R da 10K
  I = VR/R;
  Rs = Vs/I; // Resistenza di Rs (V/I)
  Ts =1/ ((log(Rs/ RT0) / B + 1 / T0)); //Ts in K
  Ts = Ts - 273.15; //Conversion to °C
  Serial.print("T= ");
  Serial.print(Ts);
  Serial.println(" C");

  if (Ts>=30) {
    Serial.println("Accendo");
    digitalWrite(pinVentola,HIGH);
  }
  else {
    Serial.println("Spengo");
    digitalWrite(pinVentola,LOW);
  }
  delay( 5000 );
}

```

## SISTEMA CONTROLLO TEMPERATURA ON-OFF CON RELE'

L'utilizzo del relè ci permette di comandare motori di qualsiasi potenza, anche in alternata, in sicurezza.



```
int pinVentola=8;
const float B = 3950;
const float R = 10000.0;
const float RT0 = 10000.0;
const float T0 = 298.15;
const float Vcc = 5.0;
```

```
//Variables
float Rs, VR, I, Ts, Vs;
```

```
void setup()
{
  pinMode(pinVentola, OUTPUT);
  Serial.begin ( 9600);
}
```

```
void loop()
{
  int btnAvvio= digitalRead(12);
```

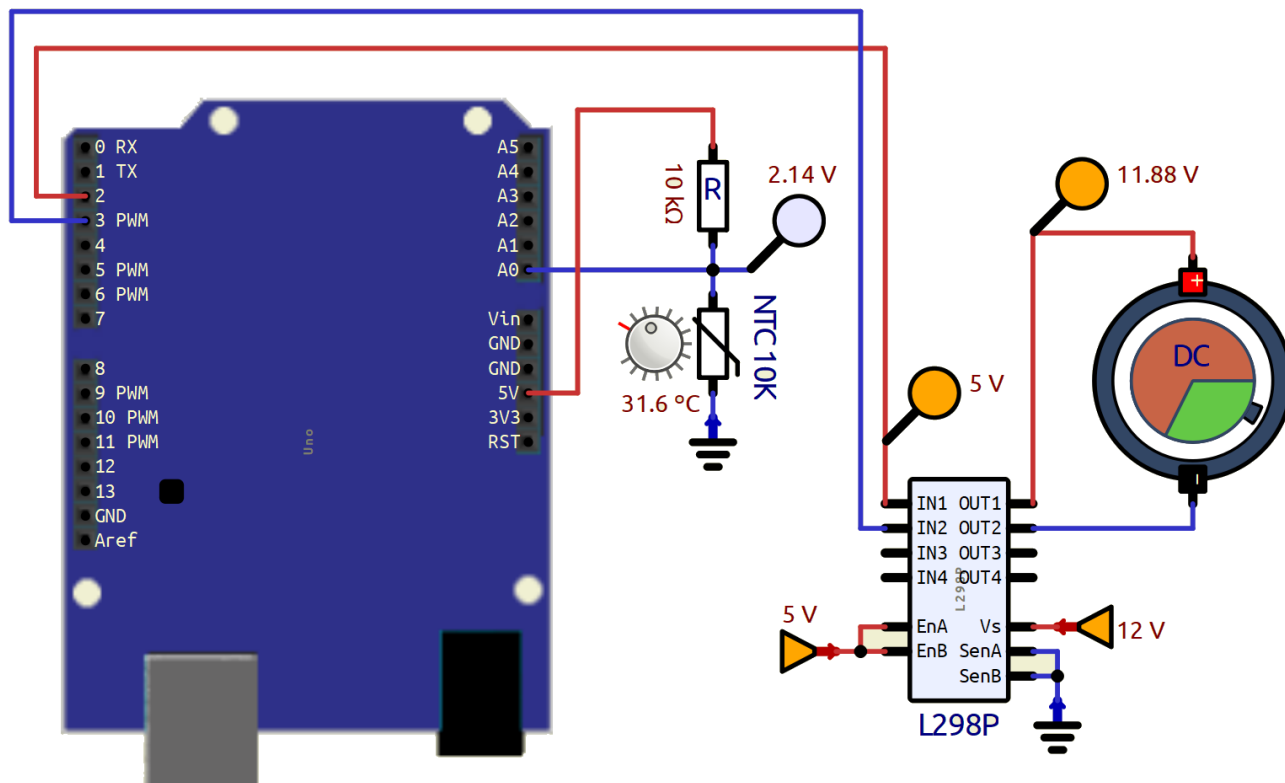
```
Vs = analogRead(A0); // 0-1023 tensione sul termistore
Vs = (5.00 / 1023.00) * Vs; // converto in Volt
VR = Vcc - Vs; // tensione sulla resistenza R da 10K
I = VR/R; // corrente che circola nel sensore Rs
Rs = Vs/I; // resistenza di Rs (V/I)
Ts =1/ (log(Rs/ RT0) / B + 1 / T0); //Ts in K
Ts = Ts - 273.15; //Conversion to °C
Serial.print("T= ");
Serial.print(Ts);
Serial.println(" C");
```

```
if (Ts>=30) {
  Serial.println("Ventola ON");
  digitalWrite(pinVentola,HIGH);
}
else {
  Serial.println("Ventola OFF");
  digitalWrite(pinVentola,LOW);
}
```

```
delay( 2000 );
}
```

## SISTEMA CONTROLLO TEMPERATURA ON-OFF CON L298P

Utilizziamo il driver L298P per comandare il verso di rotazione della ventola (che potrebbe dover estrarre o immettere aria) e per regolare la velocità di rotazione della ventola (tramite il pin EN da comandare con segnale PWM).



### CODICE

```
int pinIn1= 2;
int pinIn2= 3;
// Costanti del sensore NTC 10K
const float B = 3950;
const float R = 10000.0;
const float RT0 = 10000.0;
const float T0 = 298.15;
const float Vcc = 5.0;

//Variabili
float Rs, VR, I, Ts, Vs;

void setup()
{
    pinMode(pinIn1, OUTPUT); // L298P
    pinMode(pinIn2, OUTPUT); // L298P
    Serial.begin ( 9600);
}

void loop()
{
    int btnAvvio= digitalRead(12);

    Vs = analogRead(A0); // 0-1023 tensione sul termistore
    Vs = (5.00 / 1023.00) * Vs; // converto in Volt
    VR = Vcc-Vs; // tensione sulla resistenza R da 10K
    I = VR/R; // corrente che circola nel sensore Rs
    Rs = Vs/I; // resistenza di Rs (V/I)
    Ts = 1/ (log(Rs/ RT0) / B + 1 / T0); //Ts in K
    Ts = Ts - 273.15; // °C
    Serial.print("T= ");
    Serial.print(Ts);
    Serial.println(" C");
```

```
if (Ts>=30) {
    Serial.println("Ventola ON");
    digitalWrite(pinIn1,HIGH);
    digitalWrite(pinIn2,LOW);
}
else {
    Serial.println("Ventola OFF");
    digitalWrite(pinIn1,LOW);
    digitalWrite(pinIn2,LOW);
}

delay( 2000 );
```

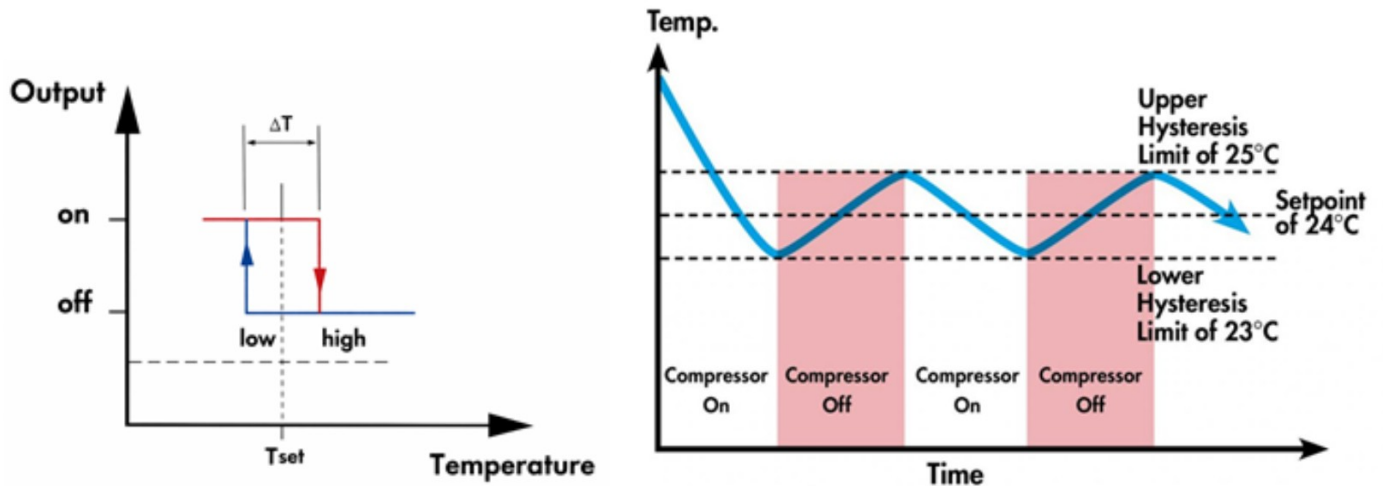
## CONTROLLO ON-OFF CON ISTERESI

Il controllo On/Off con isteresi evita che l'attuatore venga acceso e spento ad elevata frequenza. In molti casi ciò potrebbe portare usura e/o guasti soprattutto in presenza di attuatori meccanici o elettromeccanici.

Ad esempio, se vogliamo attivare il riscaldamento senza isteresi con un relè che accende e spegne la macchina che riscalda, con il setpoint a 25°C il sistema si accenderebbe a 24.99°C e si spegnerebbe a 25.01°C. In poco tempo il relè si guasterebbe!

Tramite l'isteresi introduciamo una zona di tolleranza della variabile da controllare in modo da limitare la frequenza di accensione e spegnimento dell'attuatore.

L'isteresi si può rappresentare in forma digitale (ON-OFF) a sinistra e in funzione del tempo a destra.



### Come funziona la logica con isteresi

Dobbiamo riscaldare il sistema quando la temperatura rilevata è inferiore a quella di setpoint.

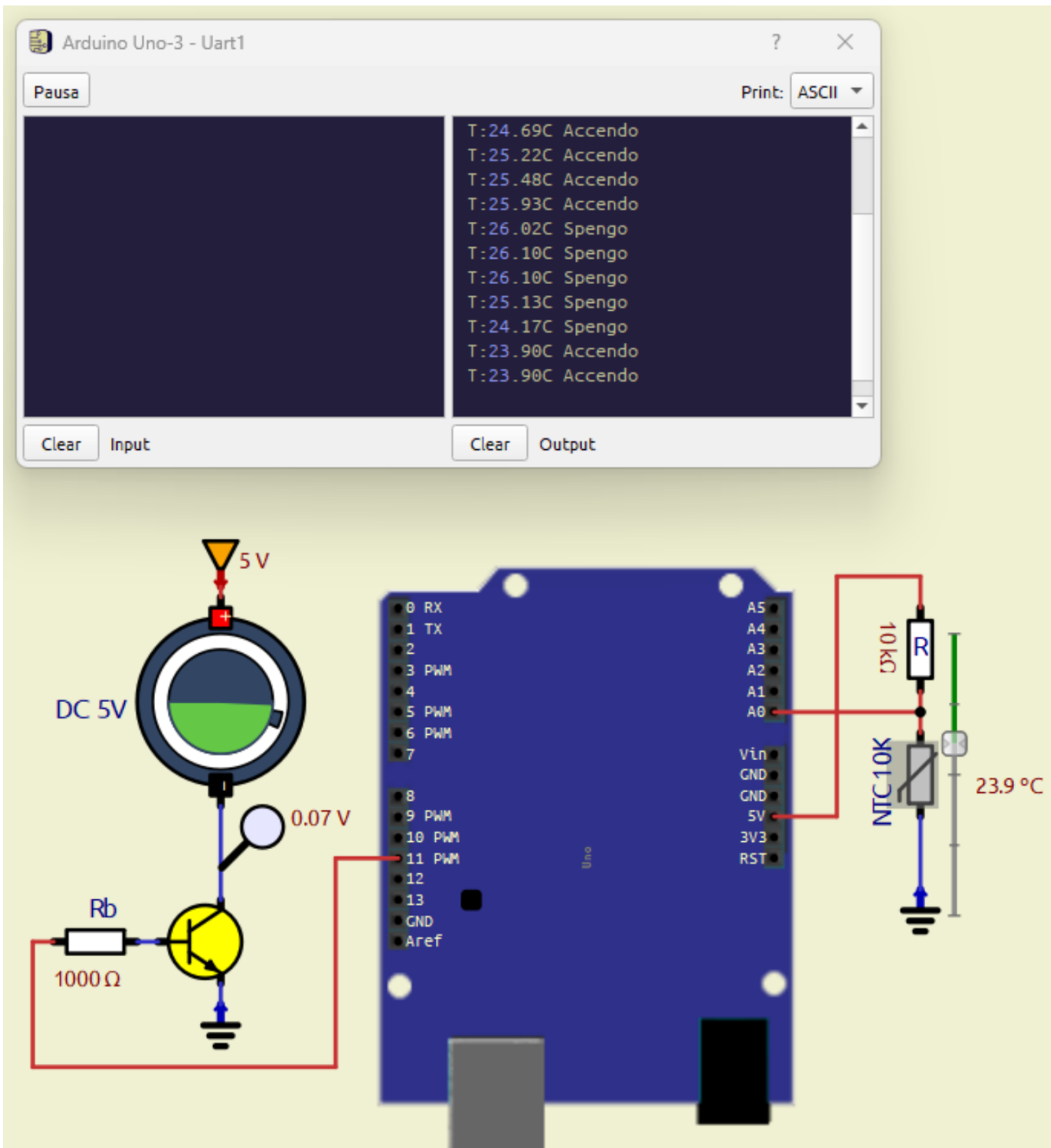
Fissiamo una zona di tolleranza (isteresi) che individua una temperatura massima e minima fra cui la grandezza può variare:

- Setpoint: 25°C
- Isteresi (H): 1°C
- Soglia di accensione: Setpoint - H = 24°C
- Soglia di spegnimento: Setpoint + H = 26°C

Tradotto in istruzioni di programmazione diventa:

```
if (Ts < (setPoint - isteresi)) {  
    attivaRiscaldamento = true;  
}  
else if (Ts > (setPoint + isteresi)) {  
    attivaRiscaldamento = false;  
}
```

**NOTA:** Quando la temperatura è compresa nella zona di isteresi (24-26) l'attuatore resta nell'ultimo stato impostato.



## Codice Arduino

```
const float B = 3950;
const float R = 10000.0;
const float RT0 = 10000.0;
const float T0 = 298.15;
const float Vcc = 5.0;
const float setPoint = 25.0;
const float isteresi = 1.0;
//Variabili
int pinVentola=11;
float Rs, VR, I, Ts, Vs;
bool attivaRiscaldamento= false;

void setup()
{
    pinMode(pinVentola, OUTPUT);
    Serial.begin ( 9600);
}

void loop()
{
    Vs = analogRead(A0); // 0-1023 tensione sul termistore
    Vs = (5.00 / 1023.00) * Vs; // converto in Volt
    VR = Vcc - Vs; // tensione sulla resistenza R da 10K
    I = VR/R;
    Rs = Vs/I; // Resistenza di Rs (V/I)
    Ts = 1/ (log(Rs/ RT0) / B + 1 / T0); //Ts in K
    Ts = Ts - 273.15; //Conversion to °C
    Serial.print("T:"); Serial.print(Ts); Serial.print("C ");

    // LOGICA CON ISTERESI
    if (Ts < (setPoint - isteresi)) {
        attivaRiscaldamento = true;
    }
    else if (Ts > (setPoint + isteresi)) {
        attivaRiscaldamento = false;
    }

    // ATTUAZIONE LOGICA
    if (attivaRiscaldamento) {
        digitalWrite(pinVentola, HIGH); // ON
        Serial.println("Accendo");
    } else {
        Serial.println("Spengo");
        digitalWrite(pinVentola, LOW); // OFF
    }
    delay( 1000 );
}
```

## **CODICE NON BLOCCANTE CON MILLIS**

```
const float B = 3950;
const float R = 10000.0;
const float RT0 = 10000.0;
const float T0 = 298.15;
const float Vcc = 5.0;
const float setPoint = 25.0;
const float isteresi = 1.0;
//Variabili
int pinVentola=11;
float Rs, VR, I, Ts, Vs;
bool attivaRiscaldamento= false;
long t_attivazione=0;

void setup()
{
    pinMode(pinVentola, OUTPUT);
    Serial.begin ( 9600);
}

void loop()
{
    Vs = analogRead(A0); // 0-1023 tensione sul termistore
    Vs = (5.00 / 1023.00) * Vs; // converto in Volt
    VR = Vcc - Vs; // tensione sulla resistenza R da 10K
    I = VR/R;
    Rs = Vs/I; // Resistenza di Rs (V/I)
    Ts =1/ (log(Rs/ RT0) / B + 1 / T0); //Ts in K
    Ts = Ts - 273.15; //Conversion to °C

    // LOGICA CON ISTERESI
    if (Ts < (setPoint - isteresi)) {
        attivaRiscaldamento = true;
    }
    else if (Ts > (setPoint + isteresi)) {
        attivaRiscaldamento = false;
    }

    // ATTUAZIONE LOGICA
    If (millis() - t_attivazione >1000) {
        t_attivazione = millis();
        Serial.print("T:"); Serial.print(Ts); Serial.print("C ");
        if (attivaRiscaldamento) {
            digitalWrite(pinVentola, HIGH); // ON
            Serial.println("Accendo");
        } else {
            Serial.println("Spengo");
            digitalWrite(pinVentola, LOW); // OFF
        }
    }
}
```

## CONTROLLO DI TEMPERATURA PROPORZIONALE

Prendiamo in considerazione un piccolo boiler rapido da 8L.

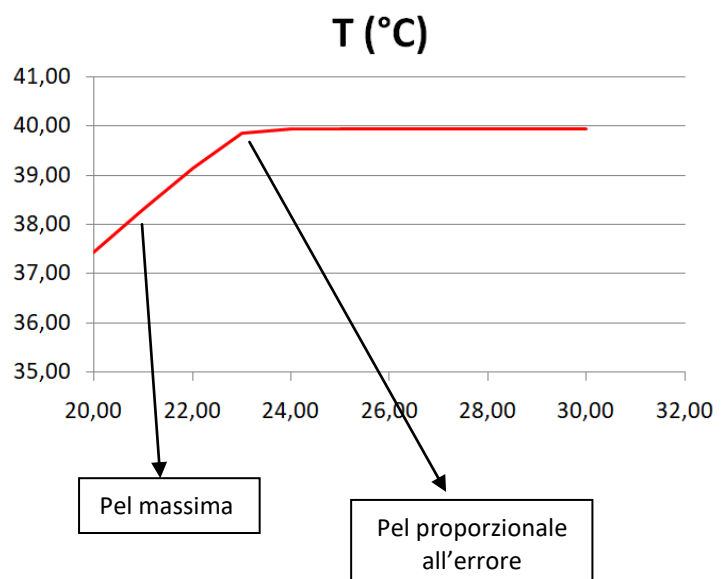
Il sistema in modalità ECO scalda l'acqua tramite un resistenza elettrica con una potenza di 500W.

Vogliamo studiare il sistema per capire quanto tempo di vuole per portare l'acqua alla  $T=40^{\circ}\text{C}$  e determinare che potenza è necessaria per mantenere poi la temperatura di set point senza spegnere il generatore di potenza elettrica.

Si tratta quindi un sistema di controllo PROPORZIONALE in cui la potenza fornita all'acqua è proporzionale alla differenza di temperatura si SET POINT e quella raggiunta dall'acqua:

$$P_{el} = k_p (T_{setpoint} - T(t)) \text{ watt}$$

**Ovviamente per implementare un controllo di tipo PROPORZIONALE serve un attuatore di tipo proporzionale (cioè la cui azione possa essere regolata e non solo attivata o spenta) come ad esempio una resistenza elettrica in cui si varia la corrente elettrica e quindi il calore generato (effetto Joule  $\rightarrow P_{el}=R I^2$ ).**



### Dati del problema:

Boiler  $\rightarrow 20 \times 20 \times 24 \text{ cm}$  con isolamento da 5cm in polistirolo  $k=0,05 \text{ w/mk}$

$T_{setpoint}= 40^{\circ}\text{C}$

Tambiente=  $20^{\circ}\text{C}$

Coefficienti convettivi:  $h_{aria}=20$ ;  $h_{acqua}=400$

$P_{elettrica}= 500\text{W}$

Calore disperso:  $Q_d= (T-T_a)/ R_t$  con  $R_t= (1/A)(1/h_{aria}+1/h_{acqua}+s/k)$

Bilancio di energia del sistema:  $(P_{el} - Q_d) dt = m C_t dT$

Si tratta di una equazione differenziale con soluzione analitica:  $T(t) = T_a + R_t * P_{el} * (1 - e^{-(t/m C_t R_t)})$

Se consideriamo degli intervalli di tempo discreti  $\Delta t$  abbiamo:  $T' = \Delta T / \Delta t = (P_{el} - (T - T_a) / R_t) / m C_t$

Quindi la variazione di temperatura in un intervallo di tempo  $\Delta t$  vale:  $\Delta T = T' * \Delta t$

NOTA: l'analisi fisica del sistema ci permette di calcolare indicativamente quanto tempo ci vuole a raggiungere il SET-POINT con la potenza massima disponibile; arrivati vicino al SET-POINT possiamo attivare il controllo di tipo proporzionale modulando la potenza elettrica:  $P_{el}(T) = P_{el\_max} * (T_{sp} - T)$  dove  $(T_{sp} - T)$  rappresenta l'errore  $< 1$

### Mini boiler e controllo PROPORZIONALE della T

ct H2O 4186 J/kg k  
 Pel 500 w  
 Tamb 293 k 20 °C  
 Tiniz 288 k 15 °C  
 Tsp 313 k 40 °C  
 mCt 33488  
 lato 0,2 m  
 altezza 0,2 m  
 A 0,24 m2  
 V 0,008 m3  
 m 8 Kg  
 s\_iso 0,005 m

#### BILANCIO DI ENERGIA

$$(Pe - Qd) dt = m Ct dT$$

$$Qd = (T-Ta)/Rt$$

$$(Pe - (T-Ta)/Rt) dt = m Ct dT$$

Soluzione analitica

$$T(t) = Ta + Rt * Pel * (1 - e^{-(t/mCtRt)})$$

Soluzione numerica

$$T' = \Delta T / \Delta t = (Pe - (T-Ta)/Rt) / m Ct$$

$$\Delta T = T' \Delta t$$

k iso 0,05 w/m k  
 Rt 0,63542 k/w

Resistenza termica  
 $Rt = (1/A) * (s/k + 1/hi + 1/he)$

NB: finchè non ci avviciniamo alla Tsp forniamo la massima potenza a disposizione; poi iniziamo a calarla in modo proporzionale!

Δt 60 s

$$Pel = SE((T - F22) > 1; P4; P4 * (ASS(F22 - P8)))$$

ANALITICO						NUMERICO						
t (s)	min	ore	Pel	T (k)	T (°C)	Tnum	Tn (°C)	e	Pel	T'	ΔT	
0	0,00	0	500	293,00	20,00	293,00	20,00	20,00	500,0	0,0149	0,90	
60	1,00	0,02	500	293,89	20,89	293,90	20,90	19,10	500,0	0,0149	0,89	
120	2,00	0,03	500	294,79	21,79	294,79	21,79	18,21	500,0	0,0148	0,89	
180	3,00	0,05	500	295,68	22,68	295,68	22,68	17,32	500,0	0,0148	0,89	
240	4,00	0,07	500	296,56	23,56	296,57	23,57	16,43	500,0	0,0148	0,89	
300	5,00	0,08	500	297,45	24,45	297,45	24,45	15,55	500,0	0,0147	0,88	
360	6,00	0,1	500	298,33	25,33	298,34	25,34	14,66	500,0	0,0147	0,88	
420	7,00	0,12	500	299,21	26,21	299,22	26,22	13,78	500,0	0,0146	0,88	
480	8,00	0,13	500	300,09	27,09	300,10	27,10	12,90	500,0	0,0146	0,88	
540	9,00	0,15	500	300,96	27,96	300,97	27,97	12,03	500,0	0,0146	0,87	
600	10,00	0,17	500	301,83	28,83	301,85	28,85	11,15	500,0	0,0145	0,87	
660	11,00	0,18	500	302,70	29,70	302,72	29,72	10,28	500,0	0,0145	0,87	
720	12,00	0,2	500	303,57	30,57	303,58	30,58	9,42	500,0	0,0144	0,87	
780	13,00	0,22	500	304,44	31,44	304,45	31,45	8,55	500,0	0,0144	0,86	
840	14,00	0,23	500	305,30	32,30	305,31	32,31	7,69	500,0	0,0144	0,86	
900	15,00	0,25	500	306,16	33,16	306,18	33,18	6,82	500,0	0,0143	0,86	
960	16,00	0,27	500	307,01	34,01	307,03	34,03	5,97	500,0	0,0143	0,86	
1020	17,00	0,28	500	307,87	34,87	307,89	34,89	5,11	500,0	0,0142	0,85	
1080	18,00	0,3	500	308,72	35,72	308,74	35,74	4,26	500,0	0,0142	0,85	
1140	19,00	0,32	500	309,57	36,57	309,60	36,60	3,40	500,0	0,0142	0,85	
1200	20,00	0,33	500	310,42	37,42	310,44	37,44	2,56	500,0	0,0141	0,85	
1260	21,00	0,35	500	311,27	38,27	311,29	38,29	1,71	500,0	0,0141	0,84	
1320	22,00	0,37	500	312,11	39,11	312,14	39,14	0,86	432,1	0,0120	0,72	
1380	23,00	0,38	500	312,95	39,95	312,86	39,86	0,14	72,0	0,0012	0,07	
1440	24,00	0,4	500	313,79	40,79	312,93	39,93	0,07	35,5	0,0001	0,01	
1500	25,00	0,42	500	314,62	41,62	312,94	39,94	0,06	31,8	0,0000	0,00	
1560	26,00	0,43	500	315,46	42,46	312,94	39,94	0,06	31,4	0,0000	0,00	
1620	27,00	0,45	500	316,29	43,29	312,94	39,94	0,06	31,4	0,0000	0,00	
1680	28,00	0,47	500	317,12	44,12	312,94	39,94	0,06	31,4	0,0000	0,00	
1740	29,00	0,48	500	317,95	44,95	312,94	39,94	0,06	31,4	0,0000	0,00	
1800	30,00	0,5	500	318,77	45,77	312,94	39,94	0,06	31,4	0,0000	0,00	

**NB: con il controllo PROPORZIONALE resta sempre, a regime, un piccolo errore rispetto al SET-POINT.**

## CONTROLLO ON-OFF VS PROPORZIONALE

In questo esempio consideriamo il controllo di temperatura di un locale con un sistema di riscaldamento che immette una certa potenza termica  $P_{el}$ .

Il bilancio di energia dell'ambiente è rappresentato in maniera approssimativa da:

$$(P_{el} - Q_d) * dt = m C_t (T(t) - T_{esterna}) \quad [J]$$

con  $T(t)$ = temperatura del locale ( $^{\circ}C$ );  $m$ =massa di aria nel locale (kg)

Il calore disperso dal locale verso l'esterno è dato da:

$$Q_d = U A (T(t) - T_{esterno}) \quad [W]$$

con  $U = 1/R_t$   $[W/m^2K]$  l'inverso della resistenza termica delle pareti del locale

Il locale può essere simulato in Arduino con una funzione che riceve in ingresso la potenza di riscaldamento.

La funzione calcola la temperatura del locale ogni volta che viene chiamata (ogni 50ms). Poiché la funzione viene sempre chiamata ininterrottamente dall'avvio del programma permette di simulare l'andamento della temperatura nel tempo (NB: il codice nel loop non deve usare delay!). Per garantire il tutto utilizziamo un timer (interrupt) che non blocca il codice e in automatico chiama una funzione a cadenza prefissata di 50ms.

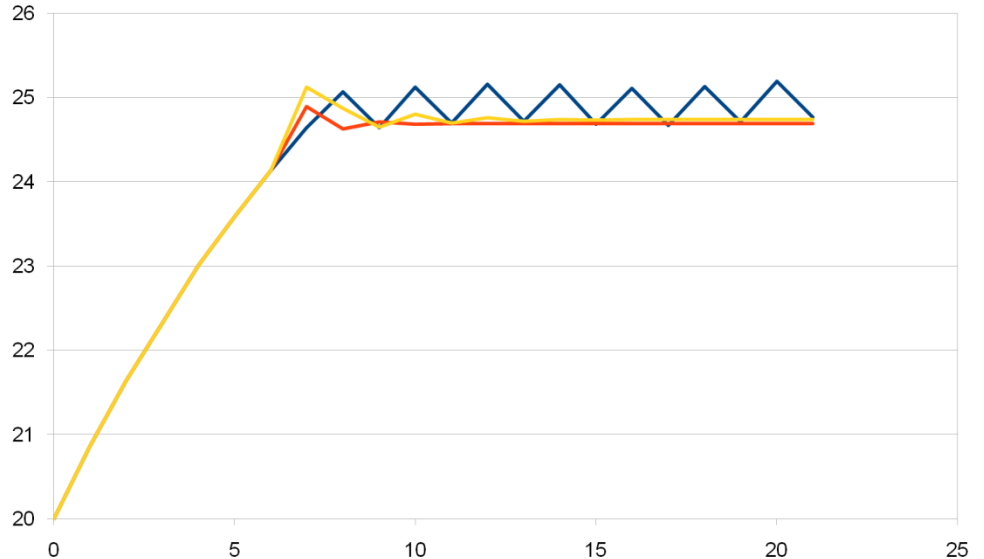
Esportando i dati tempo-temperatura è possibile costruire il seguente diagramma in cui si ha:

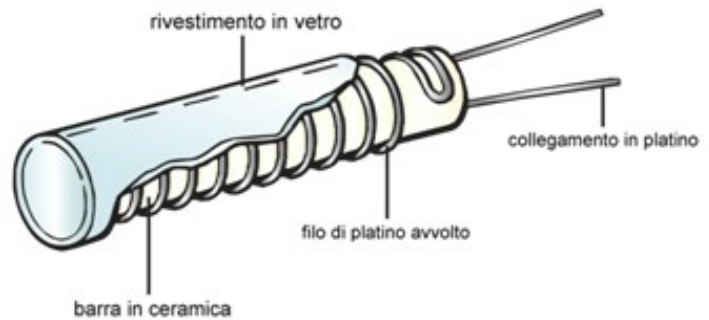
- linea BLU: controllo on-off
- linea ROSSA: controllo proporzionale  $K_p=150$
- linea GIALLA: controllo proporzionale  $K_p=180$

Si può osservare che il controllo proporzionale annulla l'oscillazione tipica del controllo ON-OFF. Non è in grado di ridurre a 0 l'errore ( $T_{sp}-T$ ). Oltre un certo valore di  $K_p$  il sistema diventa *instabile*!

Controllo di Temperatura

t	ON-OFF	PROP. $K_p=150$	PROP. $K_p=180$
s	$T(^{\circ}C)$	$T(^{\circ}C)$	$T(^{\circ}C)$
0	20	20	20
1	20,86	20,86	20,86
2	21,64	21,64	21,64
3	22,32	22,32	22,32
4	23,01	23,01	23,01
5	23,58	23,58	23,58
6	24,13	24,13	24,13
7	24,64	24,89	25,12
8	25,07	24,63	24,87
9	24,64	24,71	24,65
10	25,12	24,68	24,8
11	24,7	24,69	24,7
12	25,16	24,69	24,76
13	24,72	24,69	24,72
14	25,15	24,69	24,74
15	24,68	24,69	24,73
16	25,11	24,69	24,74
17	24,67	24,69	24,74
18	25,13	24,69	24,74
19	24,71	24,69	24,74
20	25,19	24,69	24,74
21	24,77	24,69	24,74





Molte industrie utilizzano le termoresistenze per misurare la temperatura e, la maggior parte di questi dispositivi, utilizza un sensore Pt100 o Pt1000. Questi due sensori di temperatura hanno caratteristiche simili, ma la loro differenza nella resistenza nominale determina quale sia la scelta ideale in base alla propria applicazione.

I rilevatori a resistenza di temperatura (RTD – Resistance temperature detectors), detti anche termoresistenze, sono noti dispositivi di misura della temperatura grazie alla loro affidabilità, accuratezza, versatilità, ripetibilità e facilità di installazione.

Il principio di base di una termoresistenza è che il suo sensore a filo, realizzato in un metallo con una resistenza elettrica nota, cambia il suo valore di resistenza quando la temperatura sale o scende. Sebbene le termoresistenze abbiano alcune limitazioni, tra cui una temperatura massima di misura di circa 600 ° C, nel complesso rappresentano la soluzione di misura della temperatura ideale per una moltitudine di processi.

### PERCHÉ UTILIZZARE UN SENSORE AL PLATINO

I fili dell'elemento di misura di una termoresistenza possono essere realizzati in nichel, rame o tungsteno, ma il platino (Pt) è oggi di gran lunga il metallo più popolare utilizzato. È più costoso di altri materiali, ma il platino ha diverse caratteristiche che lo rendono particolarmente adatto per le misure di temperatura, tra cui:

- Relazione quasi lineare tra resistenza e temperatura
- Alta resistività (59  $\Omega$  / cmf rispetto a 36  $\Omega$  / cmf per il nichel)
- Resistenza elettrica non degradabile nel tempo
- Eccellente stabilità
- Ottima passività chimica
- Elevata resistenza alla contaminazione

### DIFFERENZA TRA PT100 E PT1000

Tra le termoresistenze in platino, le Pt100 e Pt1000 sono le più comuni. Le Pt100 hanno una resistenza nominale di 100  $\Omega$  al punto di fusione del ghiaccio (0 ° C). La resistenza nominale delle Pt1000 a 0 ° C è invece di 1.000  $\Omega$ . La linearità della curva caratteristica, il campo di temperatura operativo e il tempo di risposta sono gli stessi per entrambi. Anche il coefficiente di temperatura della resistenza è lo stesso.

Tuttavia, a causa della diversa resistenza nominale, le letture delle sonde Pt1000 sono maggiori di un fattore 10 rispetto alle Pt100. Questa differenza diventa evidente quando si confrontano configurazioni a 2 fili, in cui si verifica l'errore di misura. Ad esempio, l'errore di misura in una Pt100 potrebbe essere di + 1,0 ° C, e quello di una Pt1000 con la stessa esecuzione potrebbe essere di + 0,1 ° C.

## COME SCEGLIERE IL GIUSTO SENSORE AL PLATINO

Entrambi i tipi di sensori funzionano bene nelle configurazioni a 3 e 4 fili, dove i cavi e i connettori aggiuntivi compensano gli effetti della resistenza dei fili conduttori sulla misura della temperatura. Le due tipologie di configurazione hanno un prezzo simile. Le sonde Pt100, tuttavia, sono più popolari delle Pt1000 per un paio di motivi:

Una sonda Pt100 è disponibile sia in esecuzione a filo avvolto che a film sottile, offrendo agli utenti la possibilità di scelta e flessibilità. Le sonde Pt1000 sono quasi sempre solo a film sottile

Poiché il loro uso è così diffuso in tutti i settori, le sonde Pt100 sono compatibili con una vasta gamma di strumenti e processi.

Quindi, perché si dovrebbe optare per la sonda Pt1000? Le situazioni in cui la maggiore resistenza nominale ha un vantaggio evidente sono le seguenti:

Una sonda Pt1000 è migliore nella configurazione a 2 fili e quando viene utilizzata con lunghezze di cavo più lunghe. Minore è il numero di fili e più lunghi essi sono, maggiore è la resistenza che si aggiunge alle letture, causando in tal modo imprecisioni. La maggiore resistenza nominale della sonda Pt1000 compensa questi errori aggiunti

Una sonda Pt1000 è migliore per le applicazioni alimentate a batteria. Un sensore con una resistenza nominale più elevata utilizza meno corrente elettrica e, pertanto, richiede meno energia per funzionare. Il consumo energetico ridotto prolunga la durata della batteria e l'intervallo tra la manutenzione, riducendo i tempi di fermo impianto e i costi

Poiché una Pt1000 consuma meno energia, l'autoriscaldamento è inferiore. Ciò significa meno errori di lettura a causa di temperature superiori a quelle ambientali

In generale, le sonde temperatura Pt100 sono più comunemente utilizzate nelle applicazioni di processo, mentre le Pt1000 sono utilizzate nei settori della refrigerazione, riscaldamento, ventilazione, automotive e dei costruttori di macchine.

## SOSTITUZIONE DELLE TERMORESISTENZE: NOTA SULLE NORME INDUSTRIALI

Le termoresistenze sono facili da sostituire, ma non si tratta semplicemente di sostituirle l'una con l'altra. Il problema a cui gli utenti devono prestare attenzione quando sostituiscono le sonde Pt100 e Pt1000 esistenti è la norma nazionale o internazionale.

La norma U.S.A. più vecchia, ad esempio, indica il coefficiente di temperatura del platino come  $0,00392 \Omega / \Omega / ^\circ \text{C}$  (ohm per ohm per grado centigrado). Nella nuova norma europea DIN / IEC 60751, che viene utilizzata anche in Nord America, è  $0,00385 \Omega / \Omega / ^\circ \text{C}$ . La differenza è trascurabile a temperature più basse, ma diventa evidente al punto di ebollizione dell'acqua ( $100^\circ \text{C}$ ), quando la norma più vecchia leggerà  $139,2 \Omega$  mentre quella più recente leggerà  $138,5 \Omega$ .

## CONVERTIRE LA RESISTENZA PT100/PT1000 IN TEMPERATURA

La variazione di una resistenza elettrica dipende dalla differenza di temperatura e dai coefficienti termici del materiale utilizzato. La resistenza nominale a 0 °C è pari a 100 Ω per Pt100 e 1 kΩ per Pt1000.

I coefficienti termici del platino sono pari a

$$A = 3,91 \cdot 10^{-3} \text{ [K-1]}$$

$$B = -0,588 \cdot 10^{-6} \text{ [K-2]}$$

La formula generale per calcolare una resistenza in funzione della temperatura è la seguente:

$$R(\vartheta) = R_{\vartheta 0} \cdot (1 + A \cdot (\vartheta - \vartheta_0) + B \cdot (\vartheta - \vartheta_0)^2)$$

R(ϑ):	Resistenza in funzione della temperatura [Ω]
R0:	Resistenza nominale elettrica a 0 °C [Ω]
ϑ:	Temperatura [°C]
ϑ0:	Temperatura di riferimento [°C]
A:	Coefficiente termico lineare [K-1]
B:	Coefficiente termico quadrato [K-2]

Il range di temperatura da 0 °C a 100 °C può essere descritto con un'equazione approssimata lineare. A tale scopo si sceglie la temperatura di riferimento ϑ0 = 0 °C.

I coefficienti A e B vengono sostituiti dal coefficiente medio  $\alpha = 3,91 \cdot 10^{-3} \text{ K-1}$ .

$$R(\vartheta) = R_0 \cdot (1 + \alpha \cdot \vartheta)$$

R(ϑ):	Resistenza in funzione della temperatura [Ω]
R0:	Resistenza nominale elettrica a 0 °C [Ω]
ϑ:	Temperatura [°C]
α:	Coefficiente termico medio [K-1]

Modificando la formula è possibile convertire in temperatura la resistenza misurata:

$$\vartheta(R) = \frac{R - R_0}{R_0 \cdot \alpha}$$

$$\vartheta(R) = \frac{\Delta R}{R_0 \cdot \alpha} \quad \text{con} \quad \Delta R = R - R_0$$

ϑ(R):	Temperatura in funzione della resistenza [°C]
α:	Coefficiente termico medio [K-1]
R:	Resistenza misurata della sonda Pt [Ω]
R0:	Resistenza nominale elettrica a 0 °C [Ω]
ΔR:	Variazione misurata della resistenza [Ω]

Quindi nota la variazione di resistenza si può risalire alla temperatura:

$$\Delta R = 2 \cdot R \cdot (V_{ab}/E) / (0.5 - V_{ab}/E); \rightarrow R_{pt1000} = R + \Delta R \rightarrow T = (R_{pt1000}/1000 - 1) / 0.00385$$

## CURVA CARATTERISTICA DELLE TERMORESISTENZE

La curva caratteristica rappresenta il rapporto lineare tra la resistenza elettrica e la temperatura.

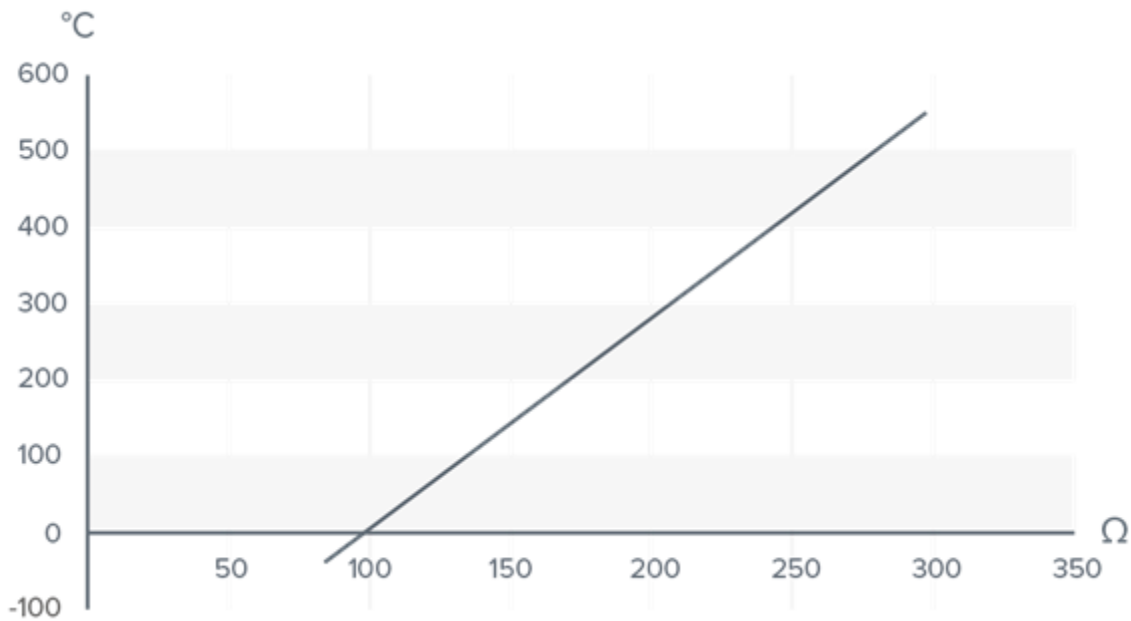
I valori concreti di Pt100 e Pt1000 possono essere dedotti graficamente dalle curve caratteristiche Pt100 / Pt1000 o letti direttamente dalle tabelle Pt100 / Pt1000.

Il platino si presta particolarmente bene come materiale, grazie alla sua elevata stabilità a lungo termine e alle caratteristiche elettriche piuttosto costanti alle alte temperature.

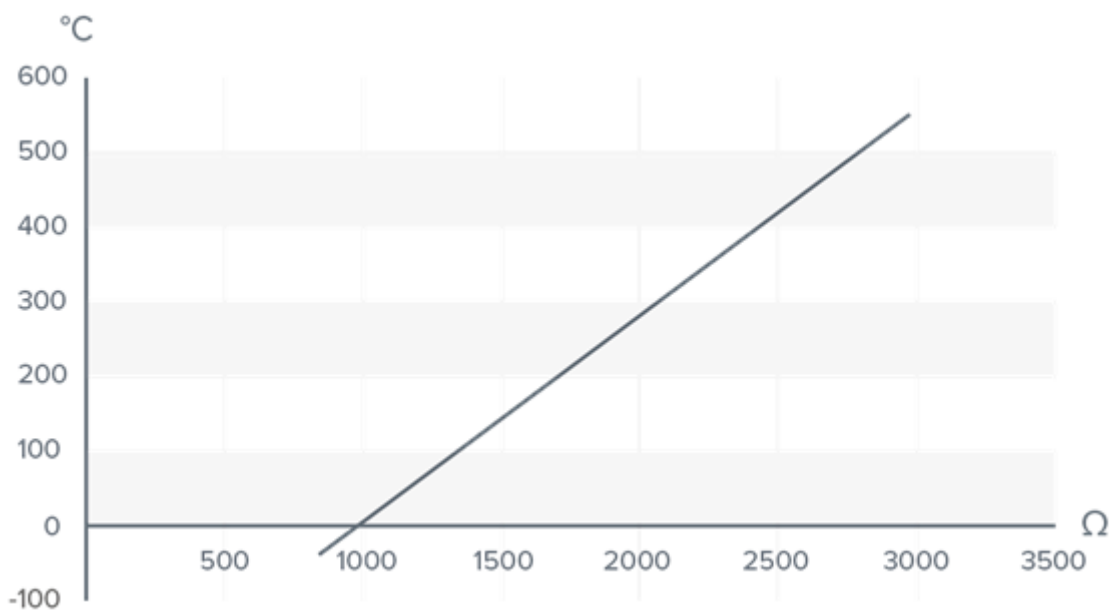
Per questo la curva caratteristica delle resistenze al platino è estremamente lineare anche a fronte di temperature elevate.

Aggiungendo al platino altre sostanze si ottengono risultati ancora migliori.

### CURVA CARATTERISTICA PT100



### CURVA CARATTERISTICA PT1000

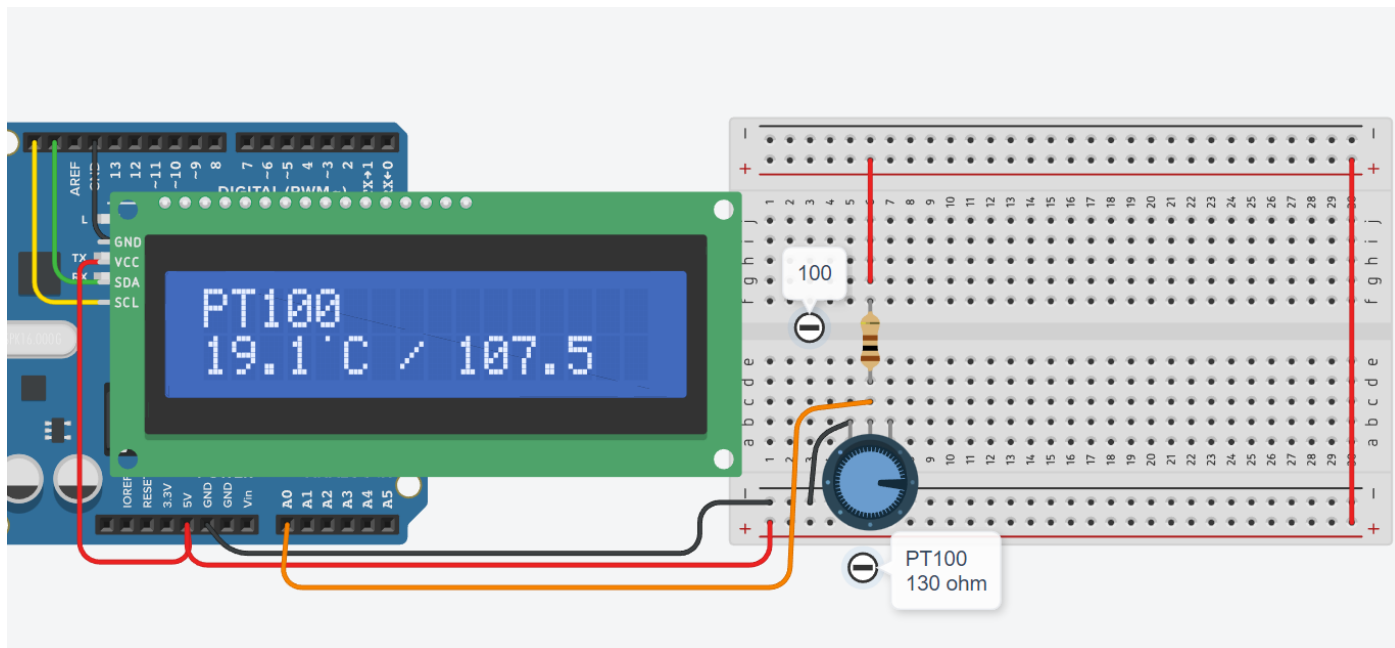


## TERMORESISTENZA PT100 CON PARTITORE DI TENSIONE

La termoresistenza viene simulata tramite un potenziometro (130 ohm fondo scala) .

La temperatura viene rilevata tramite un partitore di tensione con una resistenza di 100 ohm.

Attenzione a fare I calcoli con numeri reali (double) per non perdere decimali nelle operazioni.



### Codice

```
#include <Adafruit_LiquidCrystal.h>
```

```
int sensorValue = 0;  
double sensoreVolt, corrente, resistenzaPT100, temperaturaPT100;
```

```
Adafruit_LiquidCrystal lcd_1(0);
```

```
void setup()  
{  
  pinMode(A0, INPUT);  
  lcd_1.begin(16, 2);  
  lcd_1.setCursor(0, 0);  
  lcd_1.print("PT100");  
  Serial.begin(9600);  
}
```

```
void loop()  
{  
  // read the analog in value:  
  sensorValue = analogRead(A0);  
  sensoreVolt = roundTo(sensorValue * 5.0/1023,100.0);  
  corrente= (5.00-sensoreVolt)/100.0;  
  resistenzaPT100= sensoreVolt / corrente;  
  temperaturaPT100 = ((resistenzaPT100/ 100.00)-1.0) / 0.00391;
```

```
  lcd_1.setCursor(0, 1);  
  lcd_1.print(String(temperaturaPT100,1));  
  char gr = char(176);  
  lcd_1.print(gr);  
  lcd_1.print("C / ");  
  lcd_1.print(String(resistenzaPT100,1));
```

```

Serial.print(sensorValue); Serial.print('/');
Serial.print(sensoreVolt,5); Serial.print('/');
Serial.print(corrente,5); Serial.print('/');
Serial.print(resistenzaPT100); Serial.print('/');
Serial.print(temperaturaPT100); Serial.println(char(176));

```

```

delay(100);
}

```

```

// arrotonda decimali --> 10.0=1 dec, 100.0=2 dec, 1000.0=3 dec ...
double roundTo(double num, float dec)
{
  return (int)(num*dec + 0.5) / dec;
  //long numero= int(num *dec);
  //long decimali= dec* (num - numero)+ 0.5/dec;
  //return numero + decimali/ dec;
}

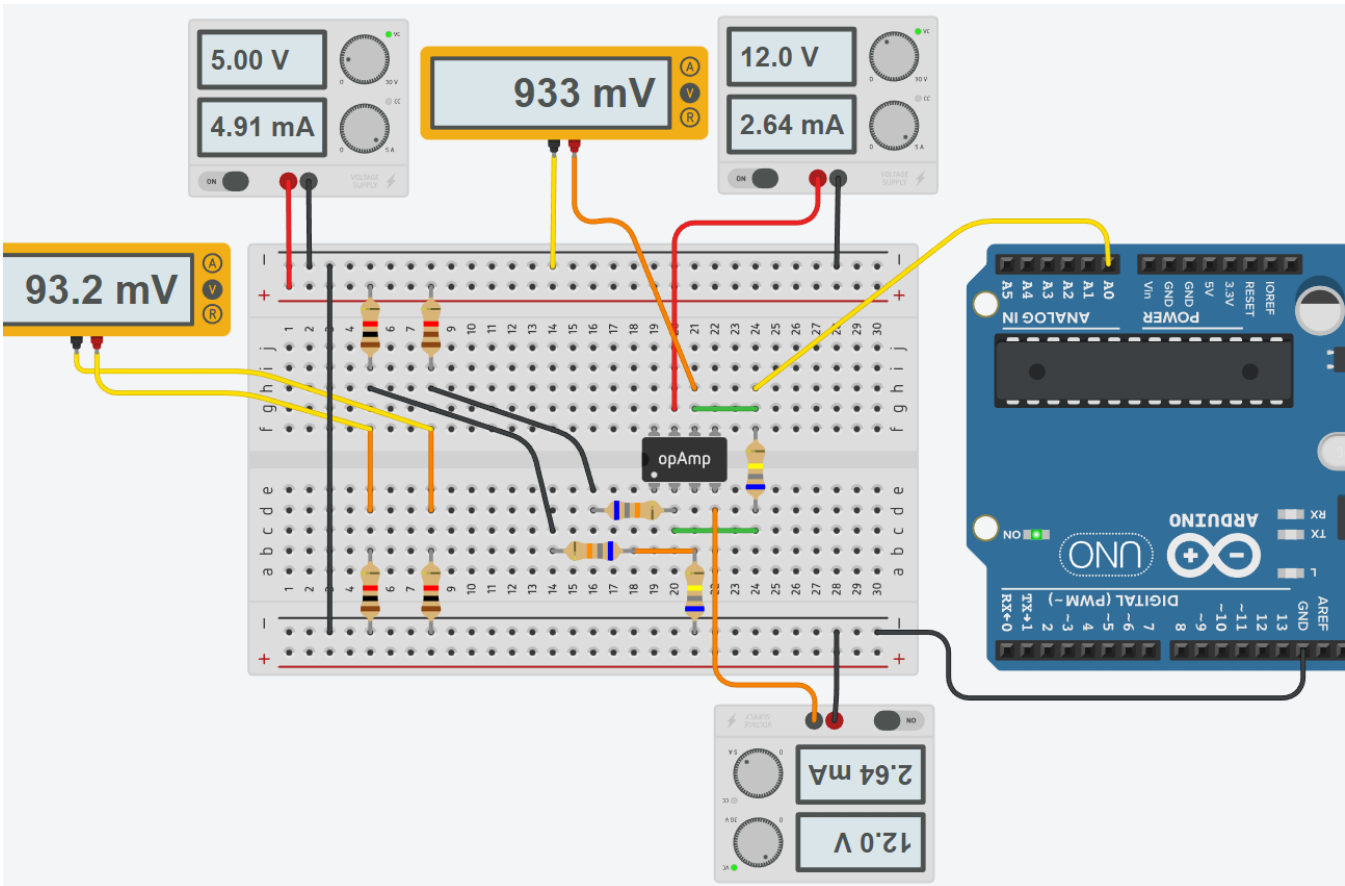
```

### TERMORESISTENZA PT100 CON AMPLIFICATORI DIFFERENZIALE

Per gestire piccole variazioni di temperatura (e quindi tensioni dell'ordine di pochi mV) tramite un termistore è necessario utilizzare un circuito AMPLIFICATORE che amplifichi la differenza di tensione in uscita a un ponte di Wheatstone in cui è inserita la termoresistenza.

Si utilizza l'amplificatore operazionale in configurazione DIFFERENZIALE.

*Le R devono essere molto alte, rispetto a quelle del ponte, per non disturbare la variazione di tensione letta dal ponte (es. 100K e 1000K → 93.2mV al posto di 93.8mV).*



## CODICE

```
// PT1000 range 0 - 100 °C
// ponte Wheatstone
// AO amplificatore operazionale LM741

int amplificatoreV;
float deltaR;
int R=1000;
int E=5;
int guadagnoAmplificatore=10;
float Vab,Vo,Rpt1000, T;

void setup()
{
  Serial.begin(9600);
}

void loop()
{
  amplificatoreV = analogRead(A0); // 10 bits
  Vo = amplificatoreV/1024.00*5.0; // tensione in mV
  Vab = Vo/guadagnoAmplificatore;
  Serial.println(Vab);

  deltaR= 2*R*(Vab/E)/(0.5-Vab/E);
  Serial.println(deltaR);

  Rpt1000 = R+ deltaR;
  Serial.println(Rpt1000);

  // pt1000: Rpt1000=1000*(1+0.00385*T)
  T = (Rpt1000/1000-1)/0.00385;
  Serial.print("T: ");
  Serial.print(T);
  Serial.print(char(176));
  Serial.println("C");

  delay(1000);
}
```

## TERMOCOPPIE

Una termocoppia è un tipo di sensore di temperatura che sfrutta l'effetto termoelettrico per misurare temperature comprese tra -170 °C e +1200 °C. Una termocoppia è composta da due fili metallici diversi.



Thomas Johann Seebeck è stato un fisico estone, scopritore dell'effetto termoelettrico

I fili metallici sono collegati tra loro in un unico punto, solitamente la punta della termocoppia, nota come giunzione calda, giunzione di misura, punto di rilevamento o giunzione di rilevamento. Come suggerisce il nome, questa giunzione è esposta alla fonte di calore di interesse.

L'estremità opposta dei fili metallici è nota come giunzione fredda ed è collegata al dispositivo di misura. In genere, la giunzione fredda non è esposta allo stesso livello di energia termica della giunzione calda.

### Effetto termoelettrico

Tutte le termocoppie funzionano allo stesso modo: generano una piccola tensione quando sono esposte al calore.

Quando si riscalda un pezzo di metallo, il calore eccita gli elettroni presenti nel metallo, facendoli oscillare. Man mano che il metallo si riscalda, più elettroni tendono a "diffondersi" e a spostarsi verso l'estremità più fredda del metallo.

Ciò fa sì che l'estremità più calda abbia una carica leggermente positiva e quella più fredda una carica leggermente negativa, creando una differenza di tensione. Questo è noto come effetto termoelettrico o **effetto Seebeck**, dal nome dello scienziato tedesco Thomas Seebeck, che scoprì questo fenomeno nel 1821.

Thomas Seebeck dimostrò che il potenziale elettrico  $V$ , che nasce in un giunto è funzione della temperatura del giunto e tale potenziale dipende dalle caratteristiche fisiche della giunzione, secondo la relazione:

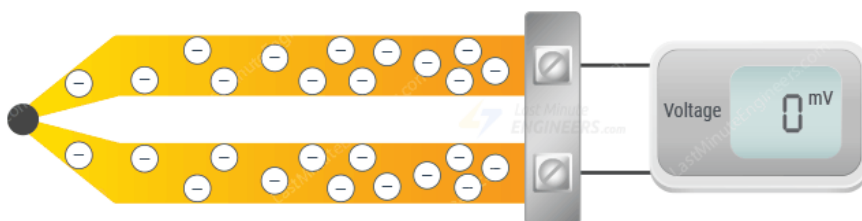
$$V_j = \alpha * T_j$$

dove  $\alpha$  è il coefficiente di Seebeck, che dipende dalla temperatura e dalle caratteristiche fisiche della giunzione.

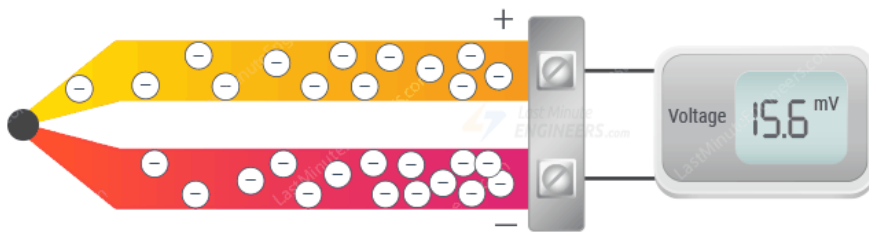
### Funzionamento della termocoppia

Una termocoppia funziona basandosi sul movimento degli elettroni nei suoi fili metallici, causato dalla differenza di calore tra le giunzioni calda e fredda.

Se i due fili della termocoppia fossero costituiti dallo stesso tipo di metallo, ad esempio rame, gli elettroni in entrambi i fili si allontanerebbero dal calore e si accumulerebbero nelle estremità fredde in quantità uguali, senza che si verifichi alcuna differenza di tensione misurabile.



Ma se ricordate, le termocoppie sono costituite da due diversi tipi di filo metallico. Quindi, se due fili della termocoppia fossero costituiti da materiali diversi, ad esempio uno di rame e uno di ferro, i metalli condurrebbero il calore in modo diverso, determinando un gradiente di temperatura distinto. Ciò causa un accumulo variabile di elettroni alle estremità fredde, con conseguente differenza di tensione misurabile.



Questa differenza di tensione è molto piccola. La variazione effettiva di tensione per grado Celsius è minuscola. Ad esempio, per una termocoppia di tipo K, la variazione è di circa  $41 \mu\text{V}/^\circ\text{C}$ .

### Cavi per termocoppie

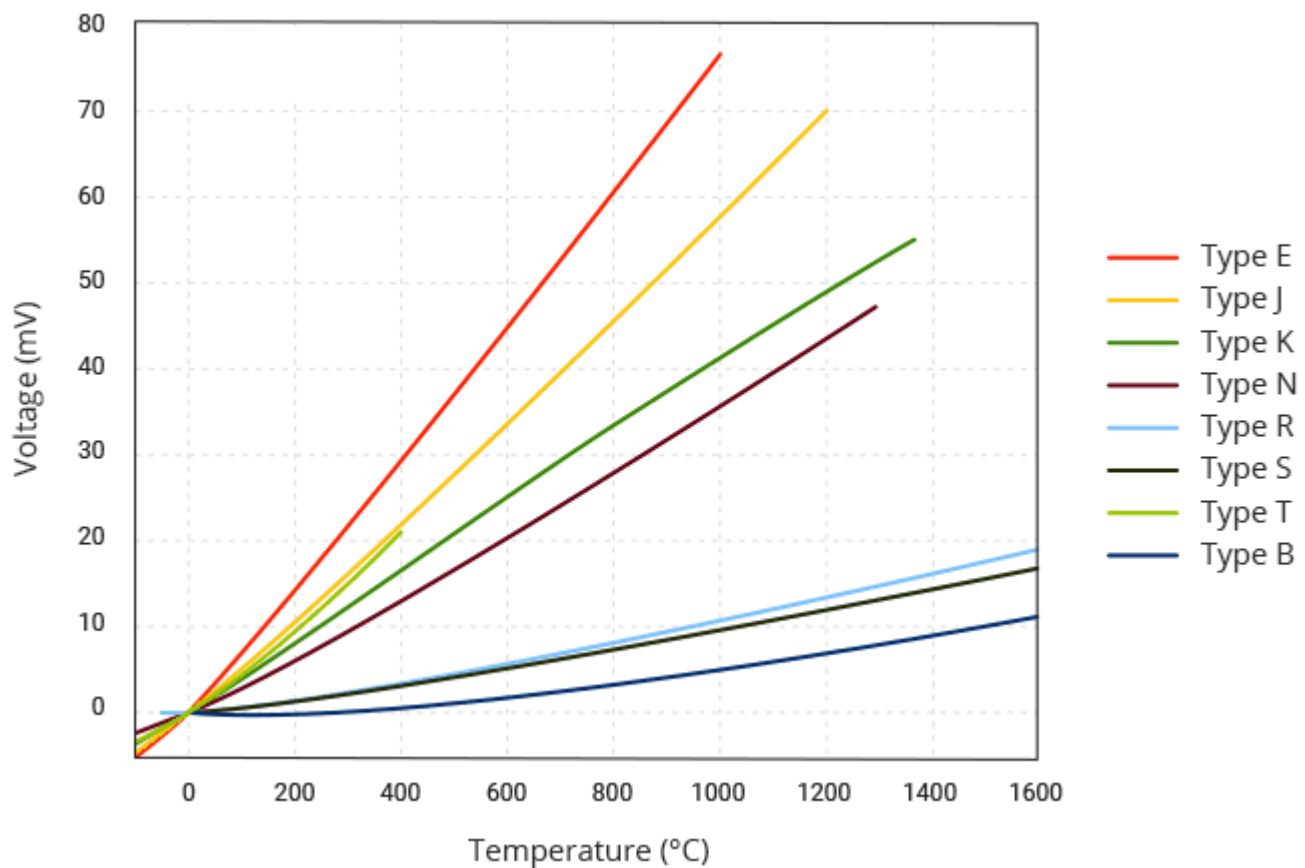
Quando esposti al calore, gli elettroni in ciascun filo della termocoppia reagiscono in modo diverso e si muovono a velocità diverse.

Il filo in cui si accumulano più elettroni nella giunzione fredda è chiamato filo conduttore negativo, mentre il filo in cui si accumulano meno elettroni nella giunzione fredda è chiamato filo conduttore positivo.

Questa differenza di carica tra i conduttori positivo e negativo può essere misurata e utilizzata per determinare la temperatura nella giunzione calda.

### Curve caratteristiche termocoppia

Esistono diversi tipi di termocoppie, come Tipo J, Tipo K, Tipo E, Tipo T, ecc., in base alla combinazione di metalli o leghe utilizzate per i due fili. Ogni tipo di termocoppia ha le proprie caratteristiche funzionali, di intervallo di temperatura, di precisione e di applicazione.



Esistono diversi tipi di termocoppie, che si differenziano per i metalli dei fili conduttori. Infatti, la combinazione di vari metalli determina le caratteristiche e le applicazioni più adatte: così si possono distinguere termocoppie a metallo base e termocoppie a metallo nobile.

Le termocoppie a metallo base, di cui i tipi K, J, T, E ed N, sono composte da metalli comuni come nichel, ferro e rame, e sono le più diffuse per la loro economicità e versatilità in molteplici applicazioni a bassa e media temperatura. Per la precisione:

- la termocoppia tipo K è composta da nichel-cromo e nichel-alluminio (-200 a +1200°C);
- la termocoppia tipo J è composta da ferro e costantana (lega rame-nichel), con un tipico range di temperatura da -210 a +1200°C;
- la termocoppia tipo T è composta da rame e costantana (da -270 a +400°C);
- la termocoppia tipo E è composta da nichel-cromo e costantana (da -270 a +980°C);
- la termocoppia tipo N è composta da nicrosil (nichel-cromo-silicio) e nisil (nichel-silicio), con un tipico range di temperatura da -270 a +1300°C.

Le termocoppie a metallo nobile sono realizzate con metalli pregiati, adatti a misurare temperature elevate (sopra i 1000°C). Offrono maggiore stabilità ma a costi notevolmente più alti, motivo per cui sono meno diffuse rispetto alle termocoppie a metallo base.

Tuttavia, la termocoppia più utilizzata nelle applicazioni industriali è quella di tipo K, perché risponde in modo prevedibile in un ampio intervallo di temperatura (da -175 °C a +1100 °C circa) e ha una sensibilità di circa 41  $\mu\text{V}/^\circ\text{C}$ . È costituita da un filo positivo in Chromel (lega di nichel-cromo) e da un filo negativo in Alumel (lega di nichel-alluminio).

Le principali caratteristica negative delle termocoppie sono:

- la bassa sensibilità per cui la tensione di uscita deve essere amplificata.
- non linearità su un ampio campo di misura

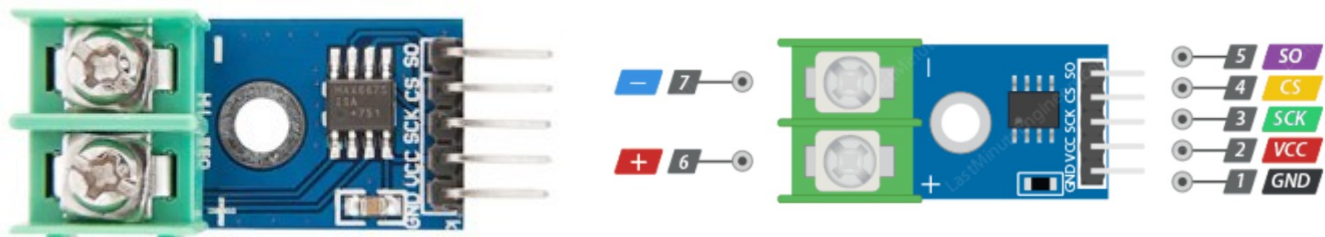
## DIGITALIZZATORE DI TERMOCOPPIA

Per rendere utile la termocoppia, è necessario calibrarla testandola a temperature note e registrando le tensioni generate. È quindi possibile utilizzare una formula per calcolare la temperatura in base alla tensione misurata.

È qui che entrano in gioco i circuiti integrati digitalizzatori per termocoppie come il MAX6675. Questi circuiti integrati (IC) sono progettati per eseguire la compensazione della giunzione fredda e digitalizzare il segnale ricevuto da una termocoppia. Ogni termocoppia ha un suo specifico digitalizzatore (essendo le curve diverse).

### Modulo MAX6675 per termocoppia K

Il cuore della scheda è un circuito integrato digitalizzatore per termocoppia di tipo K con compensazione della giunzione fredda di Microchip, il MAX6675.



Il breakout accetta una termocoppia standard di tipo K a un'estremità, digitalizza la temperatura misurata e invia i dati all'altra estremità tramite un'interfaccia SPI (seriale), interpretandoli e traducendoli per consentirne una semplice lettura.

Il circuito integrato MAX6675 include un convertitore analogico-digitale (ADC) a 12 bit, il che significa che il circuito integrato può rilevare le temperature fino a 0,25 °C (risoluzione a **12 bit → 4096**).

Il MAX6675 può misurare temperature comprese tra 0 °C e +1024 °C con una precisione di  $\pm 3$  °C. Tuttavia, è importante tenere presente che l'intervallo dipende dal tipo di sonda utilizzata.

Oltre al basso costo, alle dimensioni ridotte e all'ampio intervallo, il MAX6675 funziona da 3V a 5,5 V e assorbe circa 700  $\mu\text{A}$ . La corrente massima che può assorbire è di circa 1,5 mA.

## TERMOCOPPIA TIPO K

La termocoppia di tipo K è la più diffusa nel settore industriale.

È costituita da una combinazione di fili a base di nichel (solitamente cromel/alumel).

Economica ma al tempo stesso affidabile garantendo una misurazione accurata.

Gli intervalli di misurazione sono generalmente compresi tra -200 e +1260 gradi centigradi con una deviazione standard di +0,75%. Il nichel impiegato (resistente alla corrosione e ossidazione) permette l'impiego in una vasta gamma di applicazioni.

Nello specifico, il filo della termocoppia di tipo K include un polo positivo composto per circa il 90% di nichel e per il 10% da cromo, ed un altro negativo composto per il 95% da nichel, 2% da alluminio, 2% da manganese e un restante 1% da silicio.

Dall'analisi della dipendenza del coefficiente di Seebeck in funzione della temperatura si vede che nel range da 0 a 1000°C la termocoppia K ha un comportamento pressoché lineare in quanto il coefficiente alfa è approssimativamente costante pari a 0.041.

Di conseguenza queste termocoppie sono molto usate perché non necessitano del circuito di linearizzazione.

### L'approssimazione lineare

Sebbene la risposta di una termocoppia non sia perfettamente lineare per calcoli rapidi si utilizza la seguente equazione:

$$V \approx \alpha \cdot (T - T_{rif})$$

Dove:

- V= Tensione in uscita (millivolt, mV).
- $\alpha$  = coefficiente di Seebeck medio per il Tipo K (0,041 mV/°C).
- T: Temperatura del giunto caldo (°C).
- Trif: Temperatura del giunto di riferimento (solitamente 0°C).

Quindi, assumendo il riferimento a 0°C, l'equazione semplificata è:

$$V = 0.041 T \text{ (volt)}$$

*NOTA: A 500°C l'errore è di circa 3.5°C mentre a 1000°C è di circa 6.7°C.*

## SONDA TERMOCOPPIA TIPO K COMMERCIALE

La sonda termocoppia in dotazione con il modulo è lunga circa 18 pollici e ha un intervallo di misurazione da 0 °C a 80 °C.



Il terminale rosso della sonda è il polo positivo realizzato in Chromel (lega di nichel-cromo), mentre il terminale blu è il polo negativo realizzato in Alumel (lega di nichel-alluminio).

La sonda è dotata di isolamento in fibra di vetro, un materiale noto per la sua capacità di resistere ad alte temperature e condizioni difficili. Questo la rende una scelta adatta per un'ampia gamma di progetti.

La sonda termina con un attacco filettato M6. Questo tipo di attacco consente di fissare la termocoppia a un oggetto, ad esempio un dissipatore di calore, dove può essere avvitata o fissata con un dado.

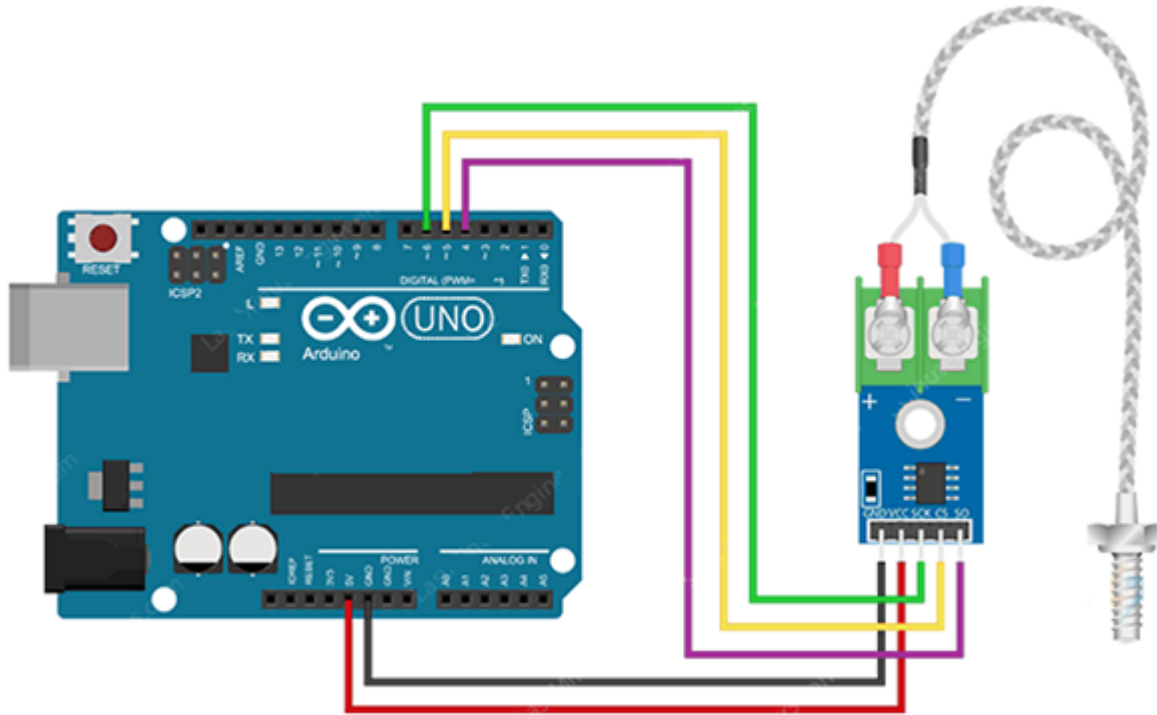
<b>Tensione di esercizio</b>	da 3,0 a 5,5 V
<b>Interfaccia</b>	SPI ad alta velocità
<b>Consumo attuale</b>	700µA (tipico), 1,5mA (max)
<b>Intervallo di temperatura</b>	0 – 1024 °C (di MAX6675) 0 – 80 °C (della sonda in dotazione)
<b>Precisione</b>	±3 °C
<b>Risoluzione</b>	12 bit (0,25 °C)
<b>Tempo di conversione</b>	~170 ms

## COLLEGAMENTO DEL MODULO MAX6675 A UN ARDUINO

Collegiamo il modulo MAX6675 all'Arduino. I collegamenti sono semplici.

Per prima cosa, collega il pin VCC del modulo ai 5 V dell'Arduino e il pin GND a terra. Ora colleghiamo i tre pin digitali da utilizzare come interfaccia SPI. Nell'esempio utilizziamo i pin 4, 5 e 6. Infine, colleghiamo la termocoppia al modulo.

Il terminale rosso (cavo Chromel) della termocoppia al terminale '+' del modulo e il terminale blu (cavo Alumel) al terminale '-'.



Poiché il modulo consuma pochissima energia (meno di 1,5 mA), è possibile alimentarlo tramite un pin di uscita digitale del microcontrollore. Se si decide di utilizzare questo metodo e di spegnere il MAX6675 tra una lettura e l'altra, è consigliabile attendere alcuni secondi dopo la riaccensione prima di tentare una lettura.

Codice

```
#include "max6675.h"

// Define the Arduino pins, the MAX6675 module is connected to
int SO_PIN = 4; // Serial Out (SO) pin
int CS_PIN = 5; // Chip Select (CS) pin
int SCK_PIN = 6; // Clock (SCK) pin

// Create an instance of the MAX6675 class with the specified pins
MAX6675 thermocouple(SCK_PIN, CS_PIN, SO_PIN);

void setup() {
  Serial.begin(9600);
  delay(500);
}

void loop() {
  // Read the temperature in Celsius
  Serial.print("Temperature: ");
  Serial.print(thermocouple.readCelsius());
  Serial.print("\xC2\xB0"); // shows degree symbol °
  Serial.print("C");

  delay(1000);
}
```

## SENSORE DI UMIDITA' DHT22

Il DHT22 è un trasduttore di temperatura (da -40°C a +80°C) e umidità relativa (da 0% a 100%).

Dispone di interfaccia seriale a filo singolo che ne facilita l'utilizzo. Il sensore DHT22 viene calibrato in modo estremamente preciso, i coefficienti di calibrazione sono memorizzati nella memoria OTP e vengono richiamati durante il processo di rilevamento, in questo modo non vi è alcuna necessità di ricalibrare il sensore. È particolarmente adatto per prodotti di consumo, stazioni meteo, applicazioni HVAC (Heating, Ventilation and Air Conditioning), ecc.

### DATI TECNICI

- Alimentazione: da 3 a 5 VDC
- Consumo: max. 2,5 mA
- Range Umidità: da 0 a 100% con precisione del 2-5%
- Range di Temperatura: da -40°C a +80°C +0,5°C di precis.
- Velocità di campionamento: <= 0,5 Hz (1 volta ogni 2 sec.)
- Uscita dati: seriale a filo singolo (non è Dallas One Wire)

### CODICE

```
#include "DHT.h"

#define DHTPIN 2
#define DHTTYPE DHT22

DHT dht(DHTPIN, DHTTYPE);

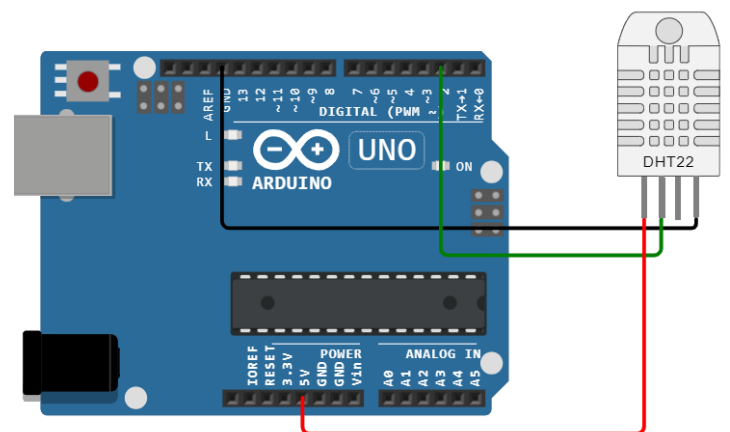
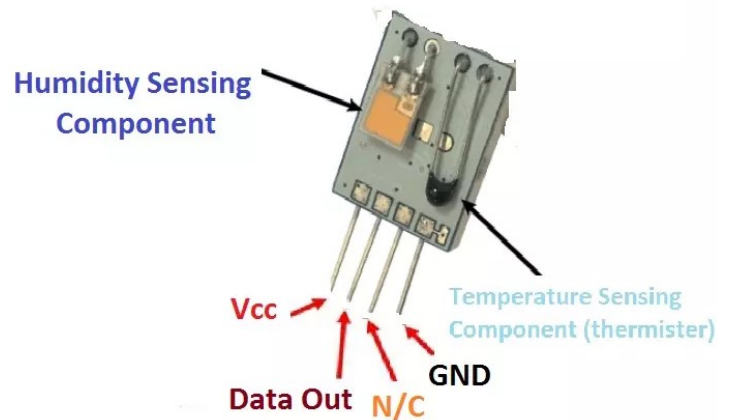
void setup() {
  Serial.begin(9600);
  dht.begin();
}

void loop() {
  float temperature = dht.readTemperature();
  float humidity = dht.readHumidity();

  // Check if any reads failed and exit early (to try again).
  if (isnan(temperature) || isnan(humidity)) {
    Serial.println(F("Failed to read from DHT sensor!"));
    return;
  }

  Serial.print(F("Humidity: "));
  Serial.print(humidity);
  Serial.print(F("% Temperature: "));
  Serial.print(temperature);
  Serial.println(F("°C "));

  // Wait a few seconds between measurements.
  delay(2000);
}
```



*simulabile su "wokwi.com"*

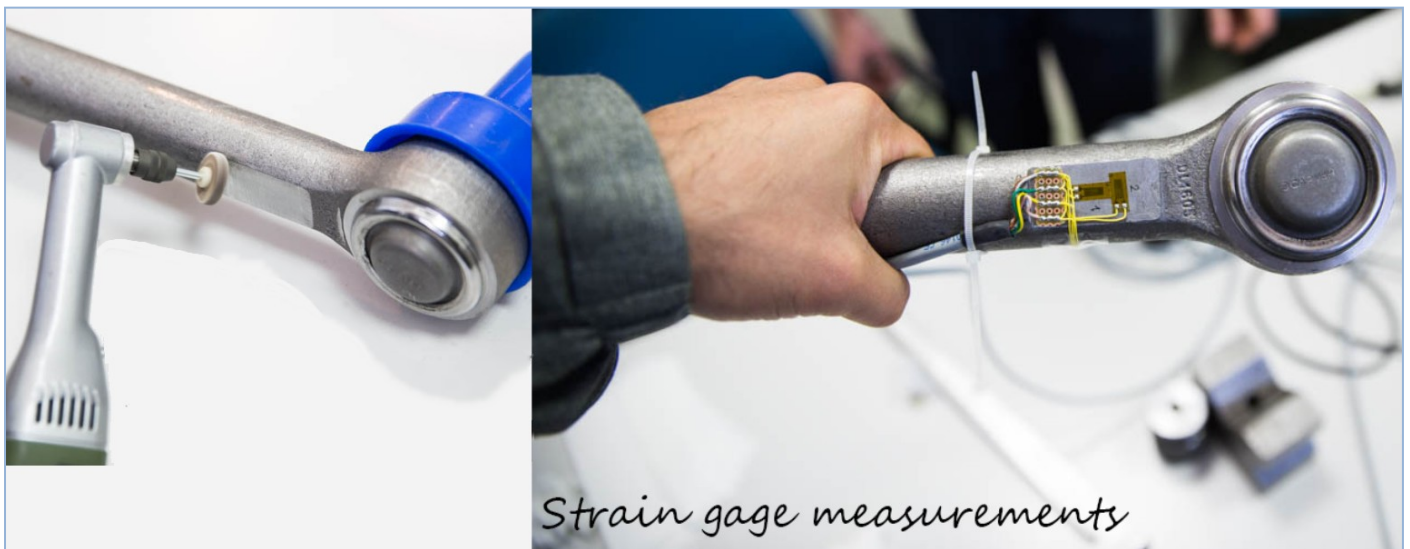
L'estensimetro è uno strumento di misura utilizzato per rilevare piccole deformazioni dimensionali di un corpo sottoposto a sollecitazioni meccaniche o termiche (es. applicazione di carichi o variazioni di temperatura).

Conoscendo a priori le caratteristiche meccanico/fisiche del materiale, misurando le deformazioni si possono facilmente ricavare i carichi a cui il materiale è sottoposto.

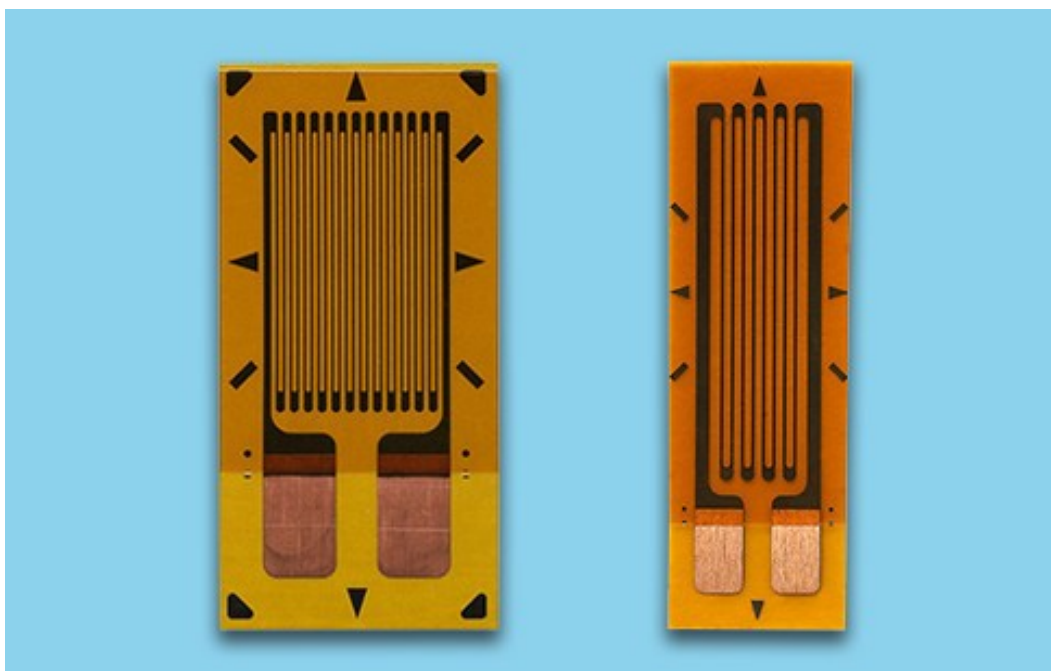
Inoltre, utilizzando estensimetri di giusta tipologia e applicandoli in modo oculato, si possono rilevare la direzione e il verso di queste deformazioni, e di conseguenza il vettore delle forze applicato al materiale sotto esame.

I campi d'applicazione sono molteplici:

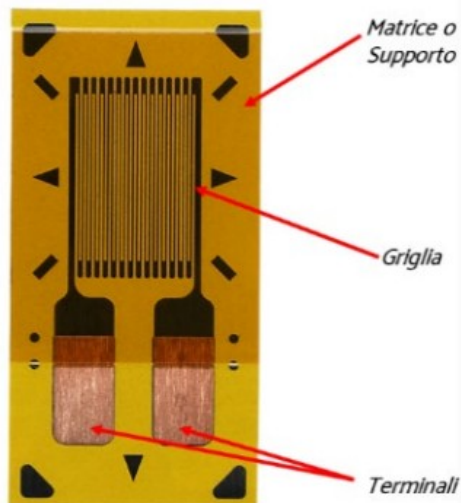
- prove in laboratorio su componenti meccanici o materiali;
- analisi statiche e dinamiche di componenti o sistemi meccanici già montati in situ;
- monitoraggio di componenti o sistemi strutturali;
- elemento sensore per trasduttori di grandezze meccaniche;



misure del carico assiale su braccetti di sterzo con estensimetri elettrici a resistenza



Gli elementi principali di un estensimetro sono la matrice e la griglia.



I materiali più comuni con cui si realizzano le griglie sono:

Tipo di lega	Composizione %
Costantana	45Ni, 55Cu
Karma	74 Ni, 20 Cr, 3 Fe, 3 Al
Isoelastica	36 Ni, 55,5 Fe, 8 Cr, 0,5 Mo
Platino Tungsteno	92 Pt, 8 W
Nicromo	80 Ni, 20 Cr
Kanthal	30 Cr, 30 Fe, 7,5 Al, 32,5 Co

Le griglie sono disponibili in lunghezze che variano da 0,2 mm a 120 mm.

Le matrici (dette anche supporto) vengono realizzate con delle resine anche rinforzate con fibra di vetro per migliorarne le prestazioni alle alte temperature.

Tipi di Resine	Temperatura di Utilizzo
Resina Epossidica	da -50 a 100 °C
Resina Fenolica	da -200 a 250 °C
Resina Poliammidica	da -200 a 200 °C
Resina Epossidica + Fibra di vetro	da -269 a 230 °C
Resina Fenolica + Fibra di vetro	da -200 a 300 °C
Resina Epossidica Fenolica + Fibra di vetro	da -269 a 300 °C
Piastrina metallica	da -269 a 300 °C

La piastrina metallica è il supporto tipico degli estensimetri saldabili applicati alle superfici con una saldatura per punti.

## RESISTENZA DEGLI ESTENSIMETRI

Gli estensimetri sono disponibili con resistenze da 120, 350 e 1000 Ohm.

Per le classiche misure di stress analysis si possono usare sia i 120 che i 350 Ohm (questi ultimi soprattutto su materiali cattivi conduttori di calore).

Per realizzare i trasduttori estensimetrici si usano sia i 350 che i 1000 Ohm.

La variazione di resistenza elettrica di un estensimetro deformato è dell'ordine delle frazioni di  $\Omega$ .

Queste variazioni di resistenza vanno misurate su circuiti che hanno resistenze assolute di centinaia di  $\Omega$ .

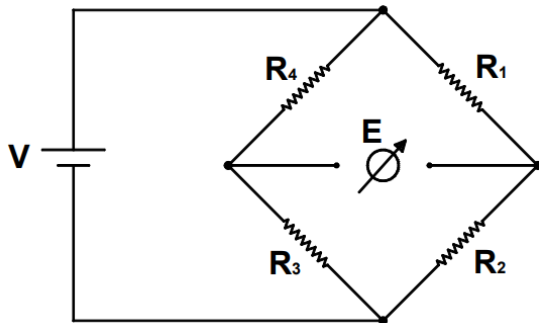
Ciò richiede l'utilizzo di un particolare circuito di misura, detto circuito a ponte o ponte di Wheatstone.

## IL PONTE DI WHEATSTONE

È costituito da 4 resistenze elettriche che occupano 4 lati di un rombo.

Il ponte viene alimentato da una tensione  $V$  ai capi della «diagonale di alimentazione».

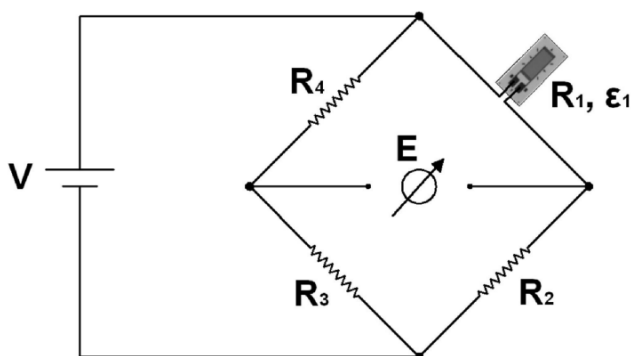
Ai capi dell'altra diagonale, detta «diagonale di misura», si misura la tensione di sbilanciamento  $E_{\text{ponte}}$ .



$$E = V \left( \frac{R_1}{R_1 + R_2} - \frac{R_4}{R_3 + R_4} \right) = V \frac{R_1 R_3 - R_2 R_4}{(R_1 + R_2)(R_3 + R_4)}$$

## COLLEGAMENTO A QUARTO DI PONTE

Si utilizza UN solo estensimetro che occupa uno dei lati del ponte.



$$E_{\text{ponte}} = \frac{V_{cc}}{4} * \frac{\Delta R}{R}$$

Scegliendo le altre 3 resistenze  $R_2, R_3$  e  $R_4$  (di precisione) di valore uguale a quella  $R_g$  dell'estensimetro a riposo l'equazione del ponte si semplifica nella seguente formula (valida per variazioni piccole rispetto alle  $R$ ):

$$E_{\text{ponte}} = \frac{V_{cc}}{4} * \frac{\Delta R}{R_g}$$

con  $R=R_1=R_2=R_3=R_4$  e  $\Delta R= R_1-R_{g_{\text{nominale}}}$  e  $R_g$  = resistenza iniziale dell'estensimetro [ $\Omega$ ]

## LEGAME DEFORMAZIONE ELASTICA E VARIAZIONE DI RESISTENZA ELETTRICA

Il legame tra deformazione e variazione di resistenza elettrica si esprime con la seguente relazione:

$$\varepsilon = \frac{1}{k} \cdot \frac{\Delta R}{R_g}$$

$\varepsilon$  = deformazione [ $\mu\text{m}$ ]

k = gage factor

$R_g$  = Resistenza iniziale dell'estensimetro [ $\Omega$ ]

$\Delta R$  = Variazione di Resistenza dell'estensimetro [ $\Omega$ ] =  $R_f - R_g$

$R_f$  = Resistenza finale dell'estensimetro [ $\Omega$ ]

Il gage factor K (anche detto fattore di taratura o sensibilità alla deformazione) è una quantità adimensionale che viene ottenuta sperimentalmente. I valori tipici del gage factor in funzione del tipo di griglia sono rappresentati nella Tabella:

Tipo di Lega	Gage Factor Nominale a +24°C
Costantana	2.0
Karma	2.1
Isoelastica	3.2
Nicromo	2.0
Platino Tungsteno	4.0
Kanthal	2.4

## MISURA DELLA DEFORMAZIONE E DELLA FORZA ASSIALE

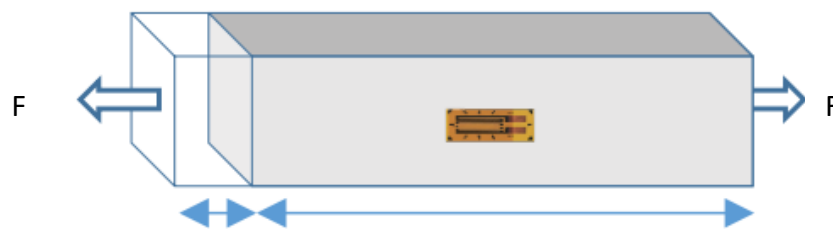
Su un provino di lunghezza  $L_0$  applichiamo una forza di trazione F.

Per effetto della forza il provino si allunga.  $\Delta L$  rappresenta la variazione di lunghezza.

Se sulla superficie del provino è incollato l'estensimetro come disposto in figura allora anch'esso subirà la stessa deformazione.

Il rapporto tra la variazione di lunghezza  $\Delta L$  e la lunghezza iniziale L è nota come deformazione meccanica e viene indicata con la lettera greca  $\varepsilon$ .

$$\frac{\Delta L}{L} = \varepsilon \quad \left[ \frac{m}{m} \right]$$



Essendo il rapporto tra due lunghezze la deformazione  $\varepsilon$  è una quantità adimensionale.

Essendo la  $\varepsilon$  una quantità piccola si preferisce usare un sottomultiplo del metro e cioè il  $\mu\text{m} = 10^{-6}$  m.

Per cui la deformazione viene espressa in  $\mu\text{m}/\text{m}$ . È ormai diventato di uso comune esprimere questa quantità in  $\mu\varepsilon$ .

Spesso la deformazione si trova anche espressa in %.

Così è del tutto equivalente scrivere:

$$200 \cdot 10^{-6} \frac{m}{m} = 200 \frac{\mu m}{m} = 200 \mu\varepsilon = 0,02\%$$

Se l'estensimetro è collegato a quarto di ponte si ha:

$$E_{\text{ponte}} = \frac{V_{cc}}{4} * \frac{\Delta R}{R} \quad \text{da cui si ricava la} \quad \Delta R = \frac{4 * E * R}{V}$$

Nota la  $\Delta R$  si ricava la  $\varepsilon$  dalla relazione  $\varepsilon = \frac{1}{k} \cdot \frac{\Delta R}{R_g}$  ed quindi la deformazione  $\Delta L = \varepsilon * L$

Secondo la legge di Hooke, carico specifico e allungamento unitario per piccoli valori del carico sono proporzionali ed il loro rapporto è definito come il modulo di Young o modulo di elasticità E lineare:

$$E = \frac{\sigma}{\varepsilon} \rightarrow \varepsilon = \frac{1}{E} \sigma \rightarrow \frac{\Delta L}{L} = \frac{F}{ES} \rightarrow \boxed{F = E * S * \frac{\Delta L}{L}}$$

## ESERCIZIO

### PROVINO in ACCIAIO sottoposto a trazione

E	206000 N/mm <sup>2</sup>
Sez. 20x5mm	100 mm <sup>2</sup>
L	100 mm

### ESTENSIMETRO in Platino collegato a quarto di ponte

Vcc	5 V
Rg	120 ohm
k	4,000
E ponte	0,5 mV

Variazione di resistenza elettrica

$$\Delta R = 0,048 \text{ ohm}$$

Deformazione relativa

$$\varepsilon = 0,0001 \text{ m} \quad \mu\text{m/m} \quad 100 = \mu\varepsilon$$

Allungamento

$$\Delta L = 0,00001 \text{ m} \quad 0,01 \text{ mm}$$

Forza di trazione

$$F = 2060 \text{ N}$$

### AMPLIFICATORE CON CAMPO VARIAZIONE FORZA

F	2000 N	1000 N
$\Delta L$	0,00971 mm	0,004854 mm
$\varepsilon$	0,000097	0,0000485
$\Delta R$	0,0466019 ohm	0,02330097 ohm
E ponte	0,0004854 V	0,000243 V
	0,485 mV	0,243 mV

### Guadagno amplificatore per arrivare a 5V

A	10300
Vamplif. Max.	5000 mV
Vamplif. Min	2500 mV

## ESERCIZIO

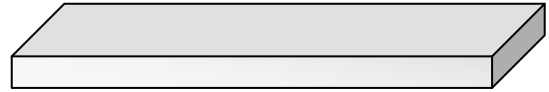
Valutare l'entità della forza nel caso in cui sia applicata perpendicolarmente all'estremità libera del pezzo (mensola).

## ESTENSIMETRO CON AMPLIFICATORE DIFFERENZIALE

Si deve monitorare con Arduino il carico assiale applicato ad una trave sapendo che la sollecitazione può arrivare fino ad un massimo di 7725N. Si utilizza un semplice amplificatore differenziale (guadagno 200) per leggere la tensione del ponte.

### PROVINO in ACCIAIO sottoposto a trazione

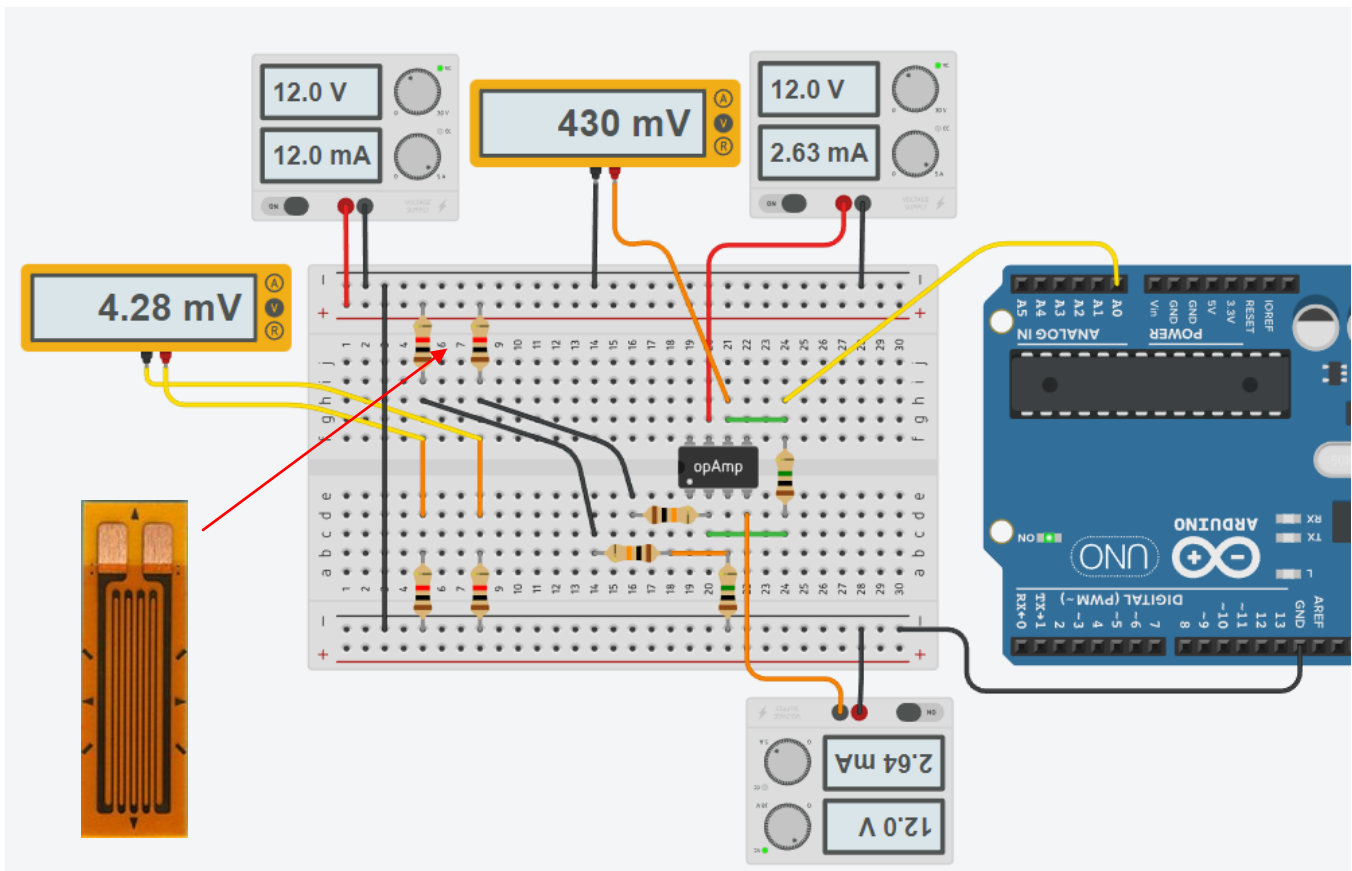
E	206000 N/mm <sup>2</sup>
Sez. 20x5mm	100 mm <sup>2</sup>
L	100 mm



### ESTENSIMETRO in platino collegato a quarto di ponte

Vcc	12 V
Rg	1000 ohm
k	4

Simulare il circuito su Thinkercad con l'estensimetro sollecitato a trazione F=7725N.



Notare che la tensione al ponte senza la presenza dell'amplificatore sarebbe di 4.5 mV come previsto dai calcoli. La presenza dell'operazionale e relative resistenza va a "disturbare" la tensione. Questo effetto può essere attenuato aumentando i valori delle R dell'amplificatore fino ad un certo limite ...

### COMPITO

- Disegnare lo schema elettrico per effettuare la misura tramite Arduino e un *amplificatore differenziale*
- Simulare su Thinkercad un sistema di monitoraggio del provino che visualizzi su seriale e schermo LCD 16x2 la forza applicata e la deformazione della trave.
- Si deve attivare una lampada di emergenza (12V-500mA) tramite un relè, quando la sollecitazione supera i 7kN.

**PROVINO ACCIAIO sottoposto a trazione**

E	206000	N/mm <sup>2</sup>
Sez. 20x5mm	100	mm <sup>2</sup>
L	100	mm

**ESTENSIMETRO in Platino collegato a quarto di ponte**

Vcc	12	V
Rg	1000	ohm
k	4	
E ponte	4,5	mV

Variazione di resistenza elettrica

$\Delta R$	1,500	ohm
------------	-------	-----

Deformazione relativa

$\varepsilon$	0,000375	m	$\mu\text{m}/\text{m}$
Allungamento			$375 = \mu\varepsilon$
$\Delta L$	0,000038	m	0,0375 mm

Forza di trazione rilevata

F	7725	N
---	------	---

**TENSIONE AMPLIFICATA CON FORZA NOTA**

F	7000	N
$\Delta L$	0,03398	mm
$\varepsilon$	0,000340	
$\Delta R$	1,3592233	ohm
E ponte	0,0040777	V
	4,078	mV

**Tensione amplificata di 200**

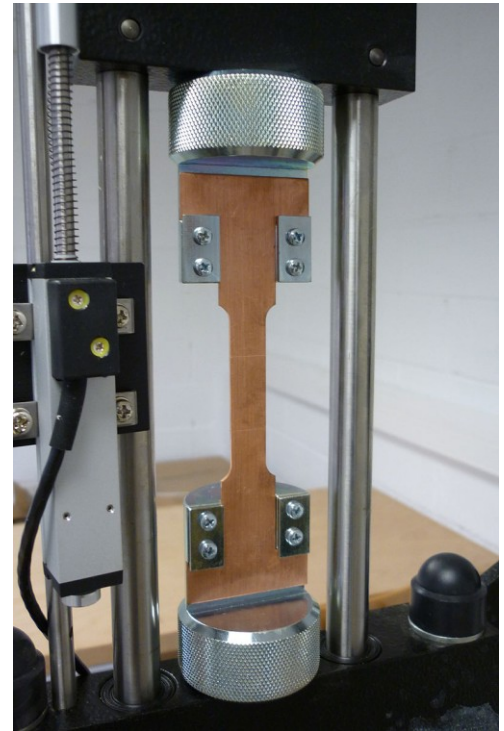
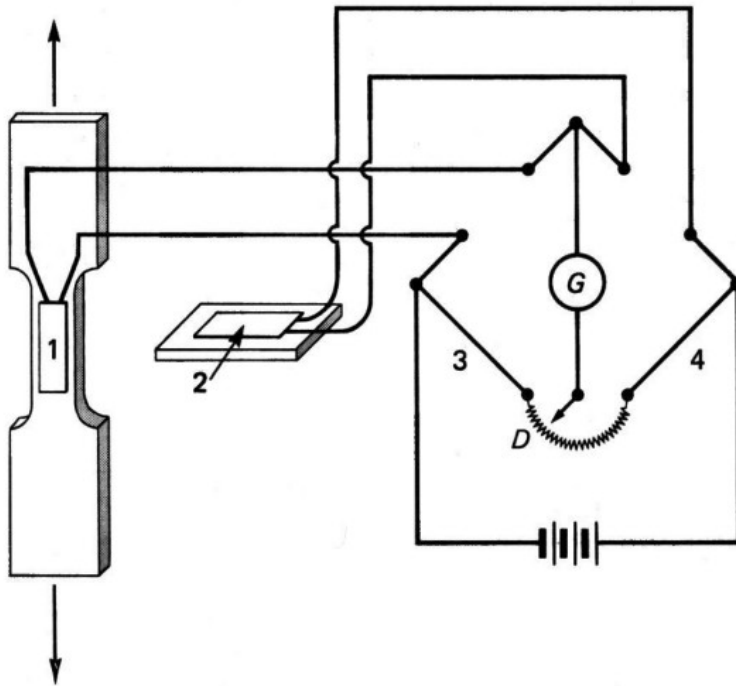
A	200	
Vamplif. Max.	816	mV

## MISURA DELLA FORZA E DELLA DEFORMAZIONE IN UNA PROVA DI TRAZIONE

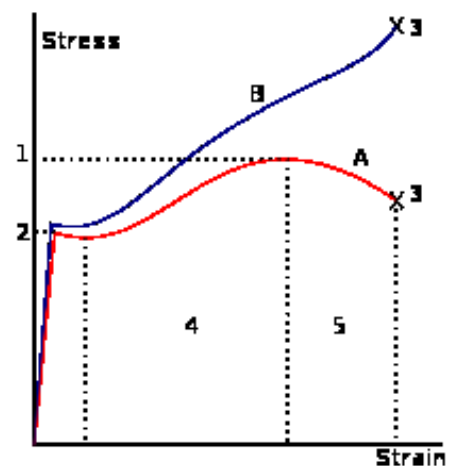
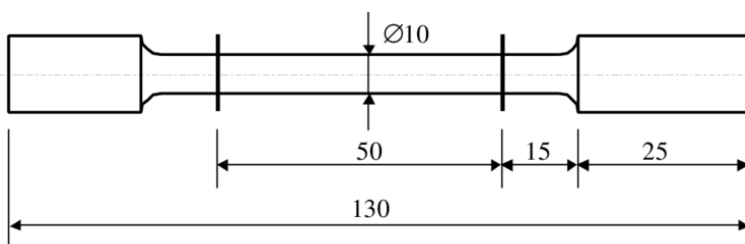
Per la misura della deformazione a trazione di un provino si può fare riferimento al collegamento riportato nella figura, dove le resistenze di completamento del ponte (3) e (4) sono state inglobate nel potenziometro di azzeramento D.

Si ipotizzi di effettuare la misura della deformazione di trazione del provino a temperatura standard (25°C), mediante un solo estensimetro (1), incollato con la griglia disposta longitudinalmente con l'asse del provino.

L'estensimetro (2) non soggetto a deformazione viene collegato al ramo opposto del ponte nelle vicinanze del sensore (1) in modo da compensare eventuali variazioni di resistenza dovute alla variazione delle temperatura ambiente (la T fa variare la R del sensore!).



Valutare la tensione in presenza di un allungamento di 1/100 di mm del tratto utile del provino in Al di figura con un estensimetro in Platino da 350 ohm.

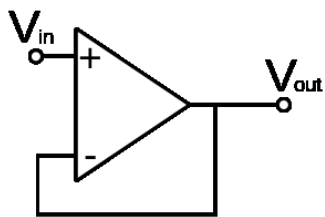


### COMPITO

- Disegnare lo schema elettrico per effettuare la misura tramite Arduino e un *amplificatore differenziale da strumentazione*.
- Calcolare le resistenze dell'amplificatore differenziale in modo da amplificare la tensione di 200 volte.
- Simulare su Thinkercad un sistema di monitoraggio del provino che visualizzi su seriale e schermo LCD 16x2 la forza applicata e la deformazione del provino in Al assegnato.
- Si deve attivare una lampada di emergenza (12V-500mA) tramite un transistor TIP120, quando la sollecitazione raggiunge quella di snervamento del materiale.

## CIRCUITO CON AMPLIFICATORE DIFFERENZIALE DA STRUMENTAZIONE

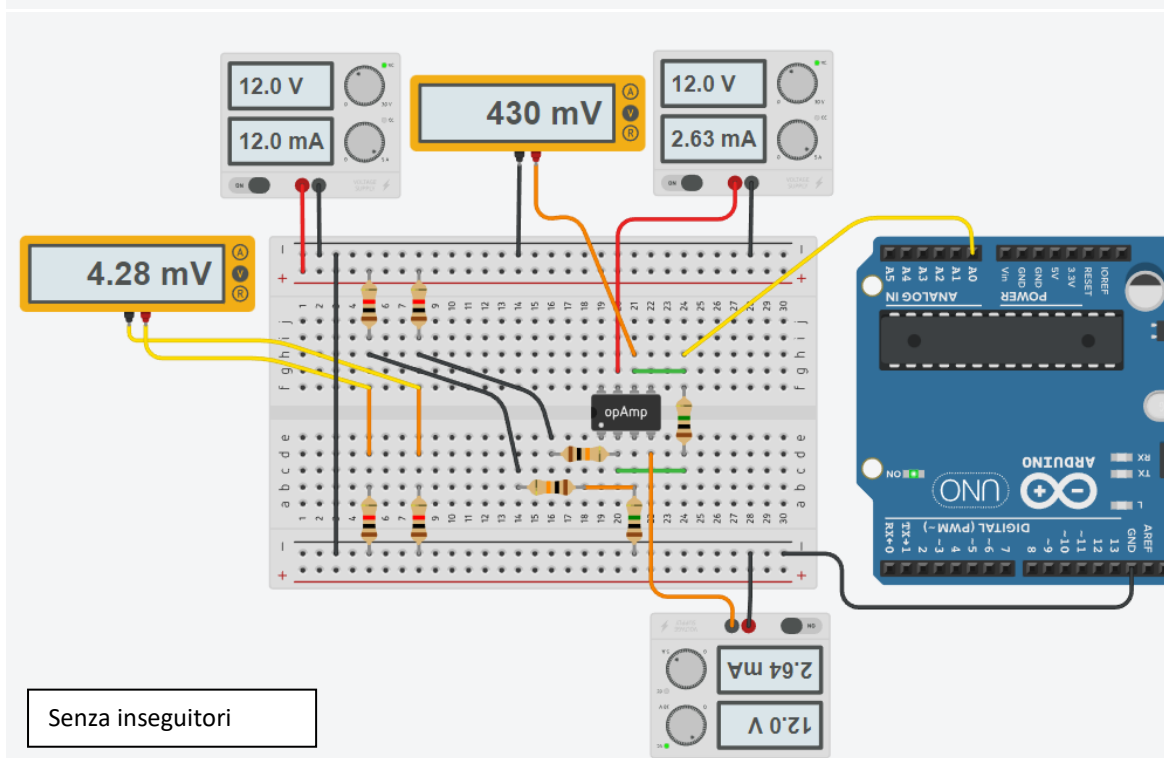
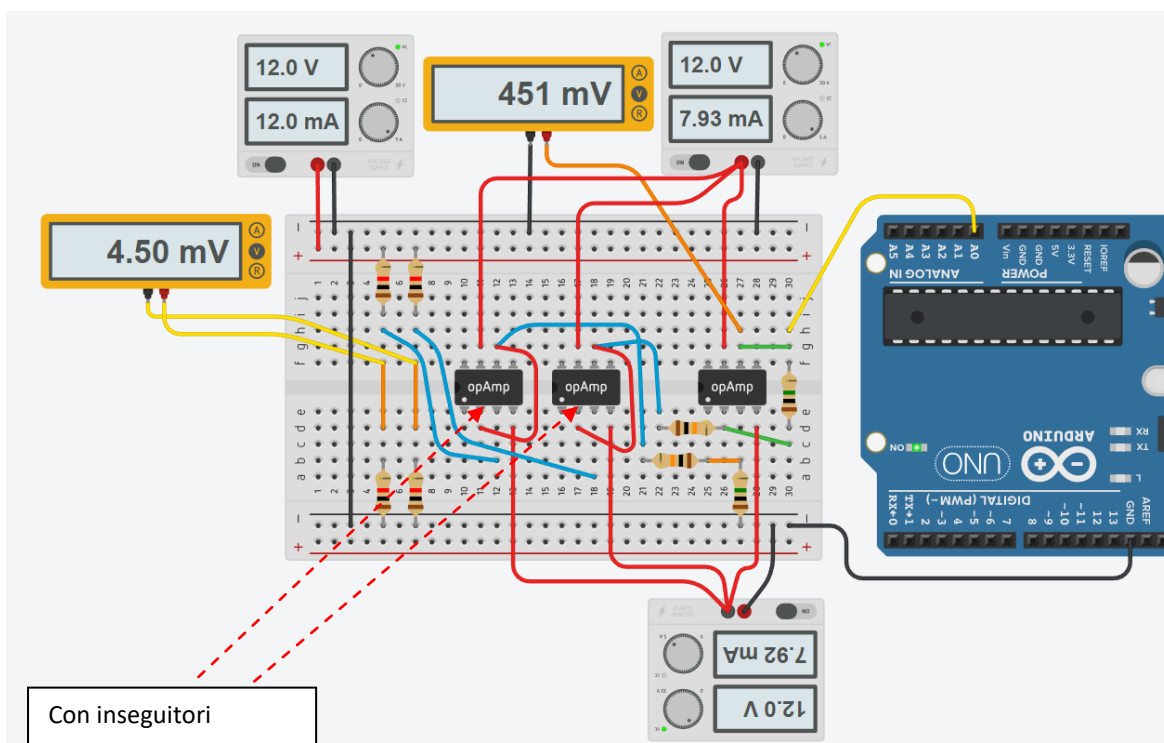
E' previsto l'utilizzo di due amplificatori in configurazione di "inseguitore" con l'obiettivo di ottenere una resistenza in ingresso all'amplificatore differenziale molto alta in modo da non influenzare la tensione letta dal ponte.



Tipicamente, un amplificatore separatore viene impiegato nel trasferimento di una tensione da un primo circuito, ad elevato livello d'impedenza, ad un secondo circuito, a livello d'impedenza inferiore.

L'amplificatore separatore interposto impedisce che il secondo circuito sovraccarichi il primo circuito e ne alteri il suo funzionamento.

Se la tensione viene trasferita inalterata, l'amplificatore separatore è un amplificatore a guadagno unitario detto "inseguitore di tensione".



## CELLE DI CARICO

Una cella di carico è un componente elettronico (trasduttore) impiegato per misurare una forza applicata su un oggetto (in genere un componente meccanico) tramite la misura di un segnale elettrico che varia a causa della deformazione che tale forza produce sul componente.

L'applicazione più comune è nei sistemi di pesatura elettronici e nella misura di sforzi meccanici di compressione e trazione.

Questo componente è generalmente costituito da un corpo metallico (Acciaio inox martensitico o Alluminio).

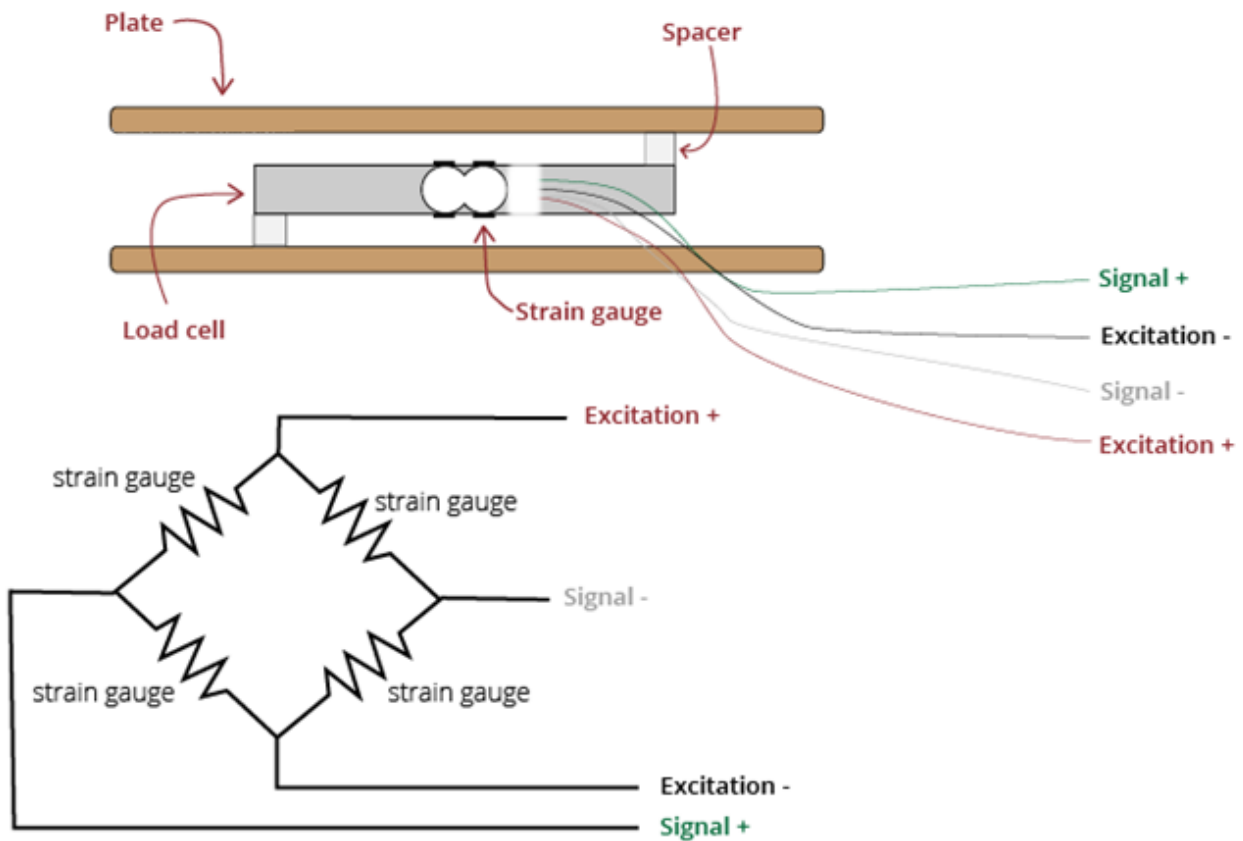
Al corpo della cella di carico vengono applicati uno o più estensimetri che rilevano la deformazione meccanica di compressione o trazione subita dal materiale tramite la variazione di resistenza elettrica causata dalla deformazione stessa.

Per aumentare la sensibilità dello strumento e migliorare così la qualità della misura la scelta più comune è quella di usare quattro estensimetri collegati tra di loro in una configurazione a ponte di Wheatstone, con i due estensimetri adiacenti posti a 90° l'uno rispetto all'altro; questa configurazione permette di aumentare la tensione in uscita dal ponte di circa 2,6 volte (per celle di carico in acciaio) rispetto alla tensione che restituirebbe una configurazione a quarto di ponte, inoltre permette di compensare l'effetto della temperatura che eventualmente comporterebbe errori.

Esistono comunque configurazioni più semplici che prevedono l'impiego di uno o due estensimetri. Il segnale elettrico ottenuto (differenziale) è normalmente dell'ordine di pochi millivolt e richiede un'ulteriore amplificazione ottenibile con un amplificatore da strumentazione prima di essere utilizzato.

Il segnale viene poi eventualmente elaborato mediante un algoritmo per calcolare la forza applicata al trasduttore.





I fili provenienti dalla cella di carico hanno solitamente i seguenti colori:

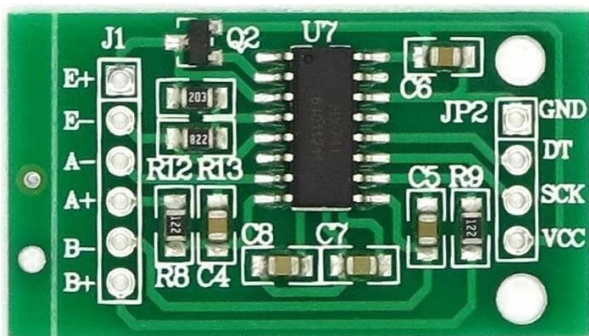
- **Rosso**: VCC (E+)
- **Nero**: GND (E-)
- **Bianco**: Uscita - (LA-)
- **Verde**: Uscita + (LA+)

## SCHEDA ELETTRONICA PER CELLA DI CARICO - HX711

Le celle di carico devono essere accoppiate a degli opportuni amplificatori

Il chip HX711 è composto da un amplificatore a guadagno variabile e da un convertitore analogico-digitale di precisione a 24 bit.

Presenta un'alta velocità di risposta e un'alta immunità ai disturbi.

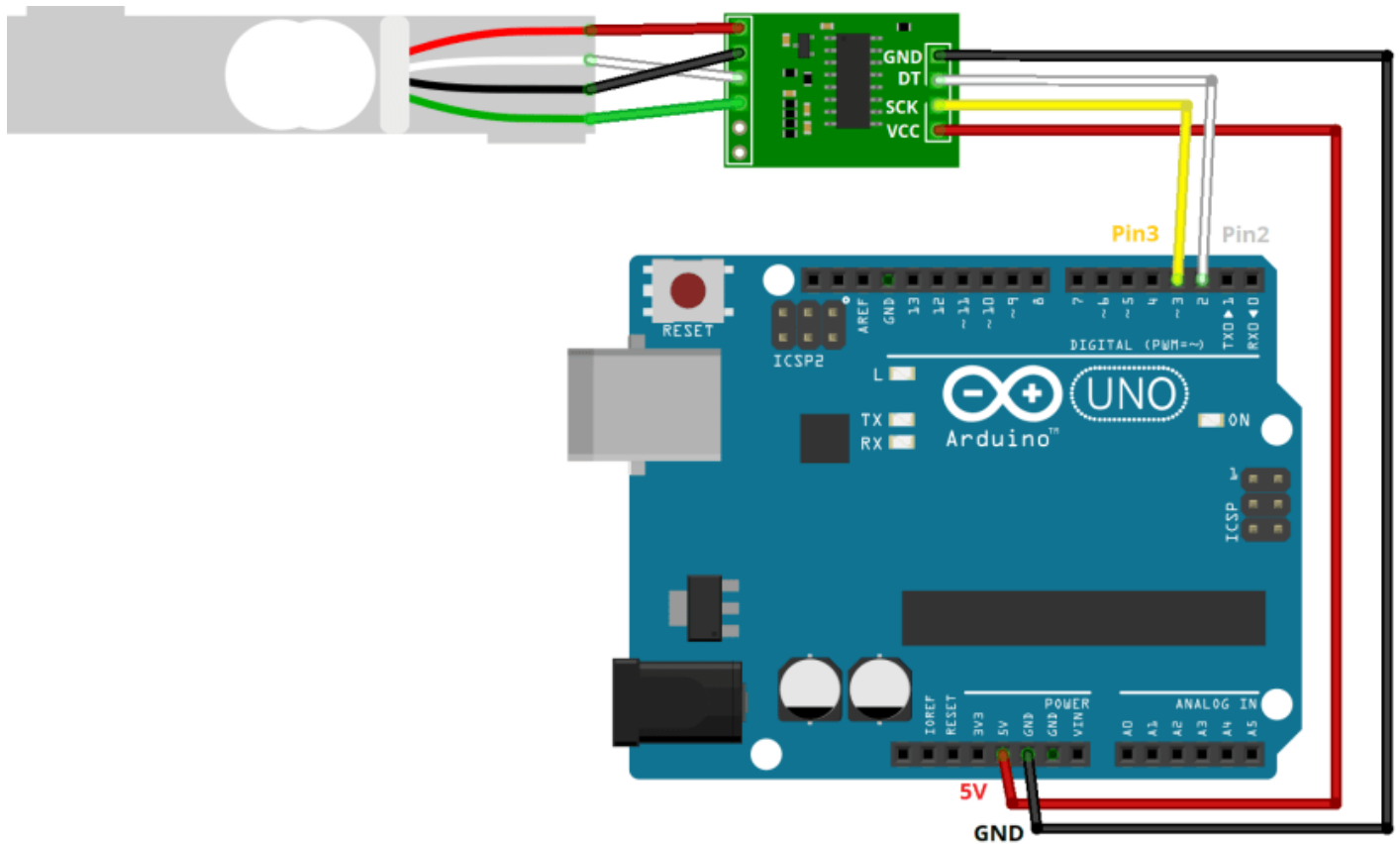


## SCHEMA DI COLLEGAMENTO AD ARDUINO

L'amplificatore HX711 comunica tramite un'interfaccia a due fili.

Puo essere collegato a un qualsiasi pin digitale della scheda Arduino.

Cella di carico	HX711	HX711	Arduino
Rosso(Mi+)	E+	GND	GND
Nero(E-)	E-	DT	pin 2
Bianco(UN-)	UN-	SCK	pin 3
Verde(LA+)	A+	VCC	5V



Per poter essere utilizzate correttamente le celle di carico necessitano di una accurata taratura iniziale effettuata con una sollecitazione di intensità nota.

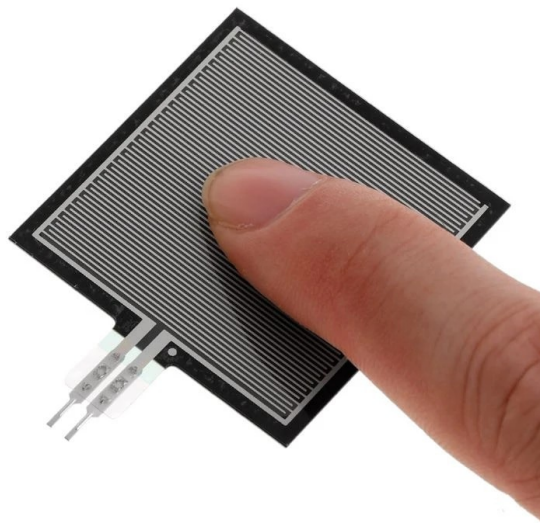
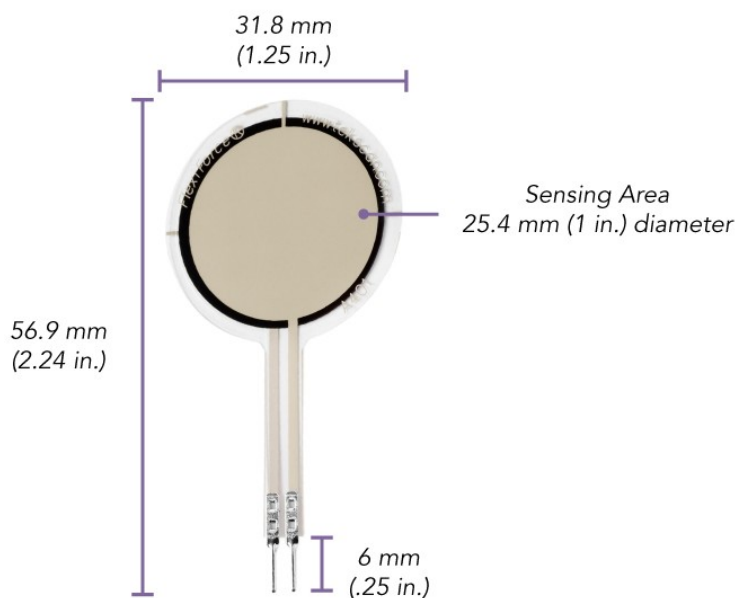
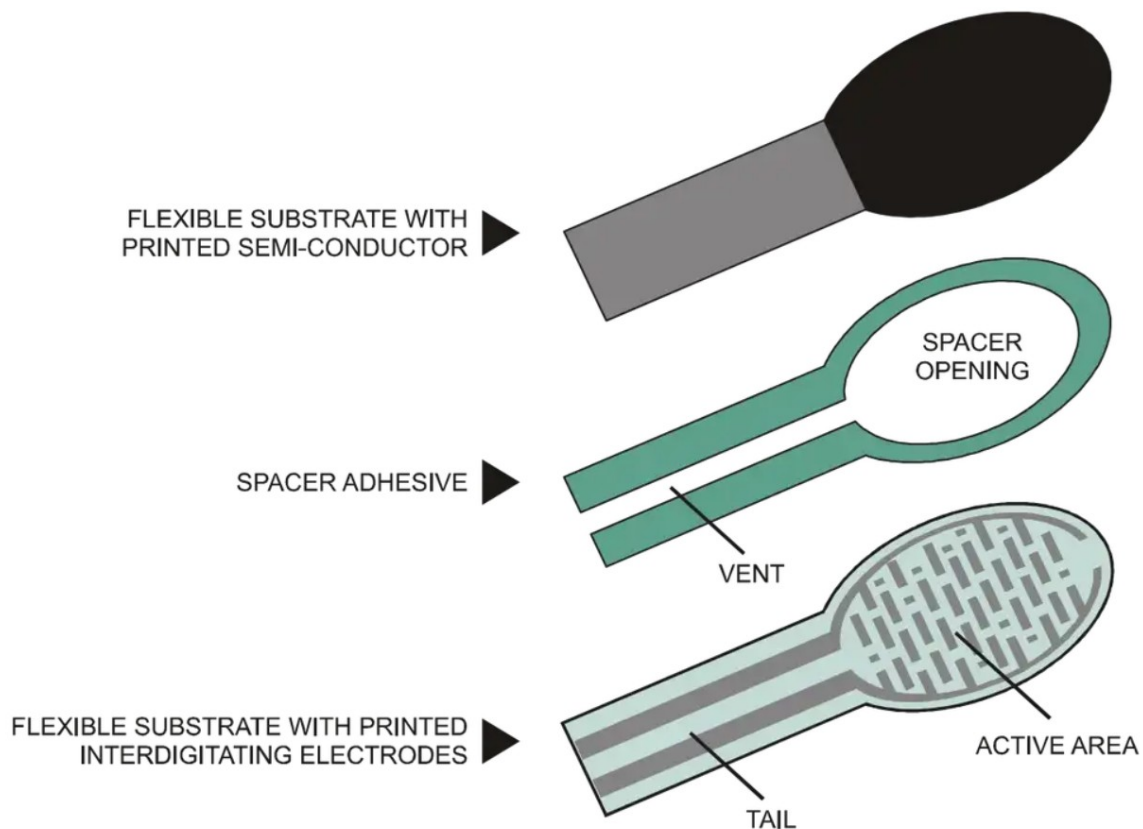
## SENSORE DI FORZA (FSR FORCE SENSITIVE RESISTOR)

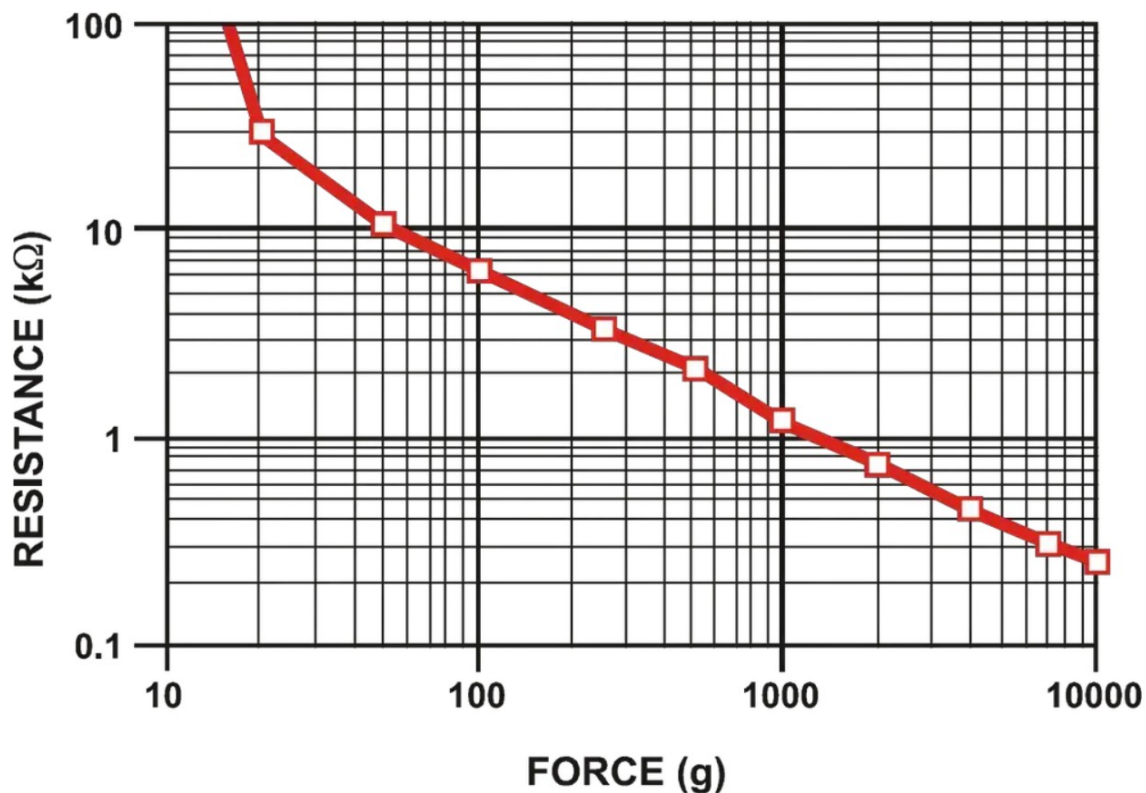
I resistori di rilevamento della forza (FSR) sono un dispositivo a film spesso polimerico (PTF) che mostrano una diminuzione della resistenza con un aumento della forza applicata alla superficie attiva.

La sensibilità alla forza è ottimizzata per l'uso nel controllo tattile umano di dispositivi elettronici.

Gli FSR non sono una cella di carico o un estensimetro, sebbene abbiano proprietà simili.

Gli FSR non sono adatti per misurazioni di precisione.

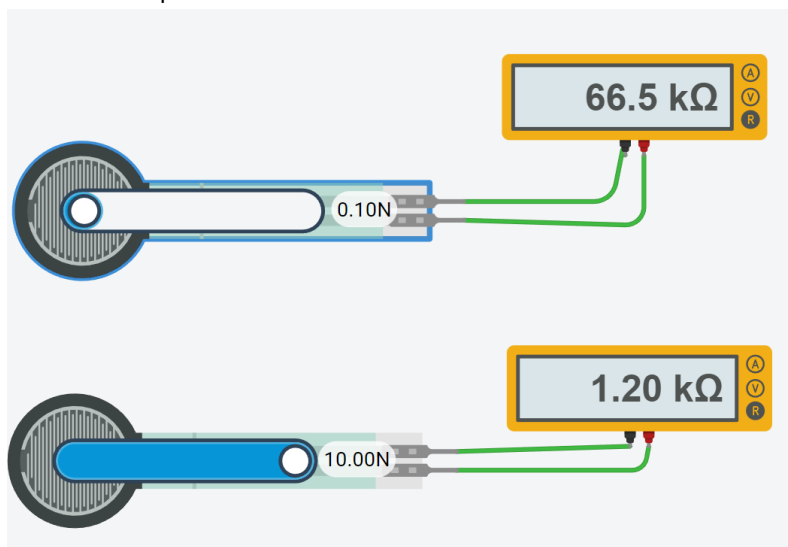




Facendo riferimento alla figura, all'estremità della forza inferiore della caratteristica forza-resistenza, è evidente una risposta simile a un interruttore. Questa soglia di attivazione, o "forza di rottura", fa oscillare la resistenza da più di 100 kΩ a circa 10 kΩ (l'inizio dell'intervallo dinamico che segue una legge di potenza) è determinato dallo spessore e dalla flessibilità del substrato e del rivestimento, dalle dimensioni e dalla forma dell'attuatore e dallo spessore dell'adesivo distanziatore (lo spazio tra gli elementi conduttivi affacciati). La forza di rottura aumenta con l'aumentare della rigidità del substrato e del rivestimento, delle dimensioni dell'attuatore e dello spessore dell'adesivo distanziatore. Eliminare l'adesivo o tenerlo ben lontano dall'area in cui viene applicata la forza, come il centro di un grande dispositivo FSR, gli darà un riposo inferiore resistenza (ad esempio resistenza stand-off).

## ESERCITAZIONE ARDUINO

Rilevare il campo di variazione della resistenza del sensore in Thinkercad.

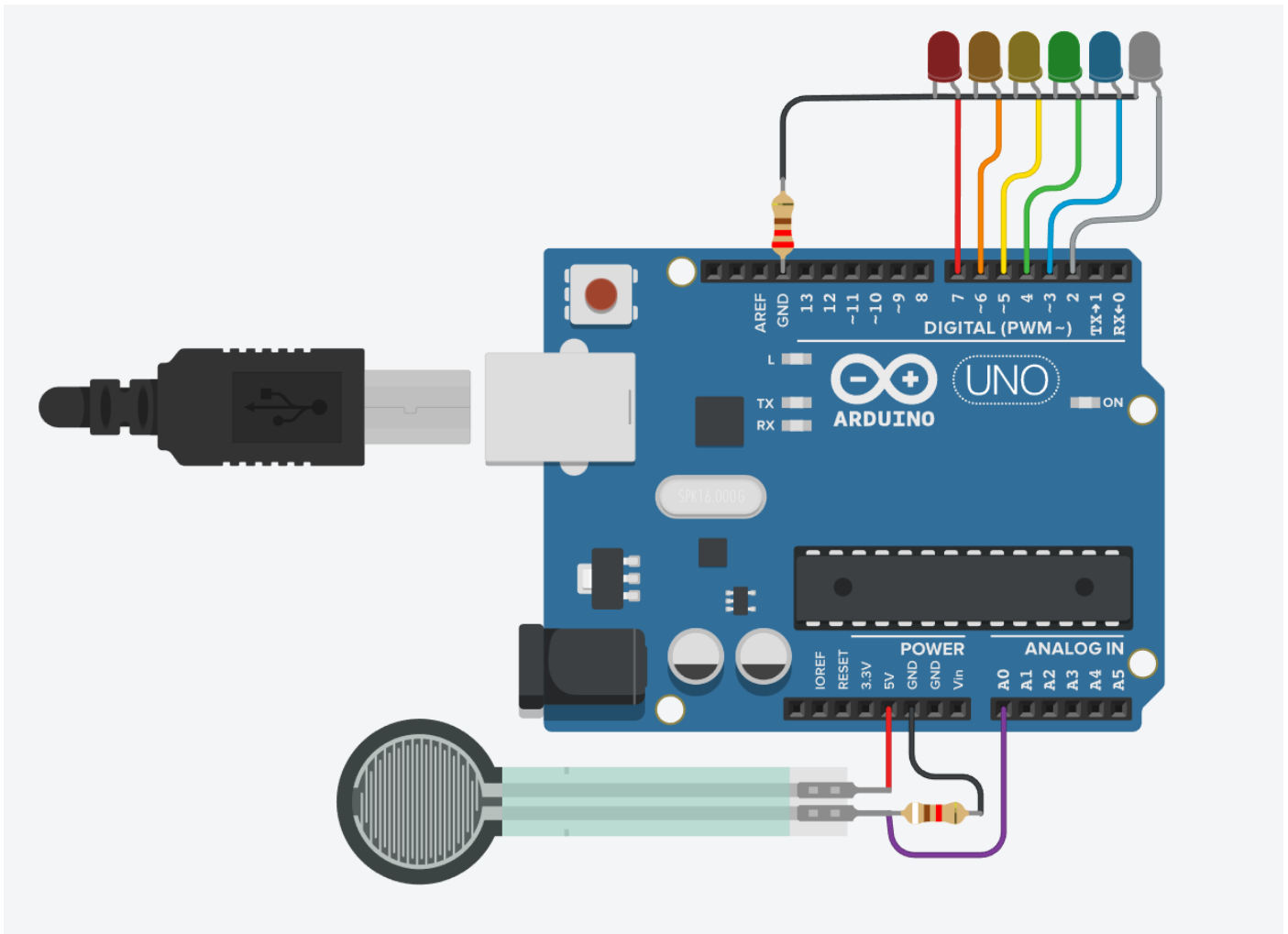


NB:

Le misure della resistenza del sensore vanno fatte scollegate dall'alimentazione!

## ESERCIZIO CON SENSORE DI FORZA

Accendere una striscia di led in modo proporzionale alle forza rilevata dal sensore.



### CODICE

```
#define fsrpin A0
#define led1 2
#define led2 3
#define led3 4
#define led4 5
#define led5 6
#define led6 7

int fsrreading;

void setup() {
  Serial.begin(9600);
  pinMode(led1, OUTPUT);
  pinMode(led2, OUTPUT);
  pinMode(led3, OUTPUT);
  pinMode(led4, OUTPUT);
  pinMode(led5, OUTPUT);
  pinMode(led6, OUTPUT);
}
```

```

void loop() {

  fsrreading = analogRead(fsrpin);

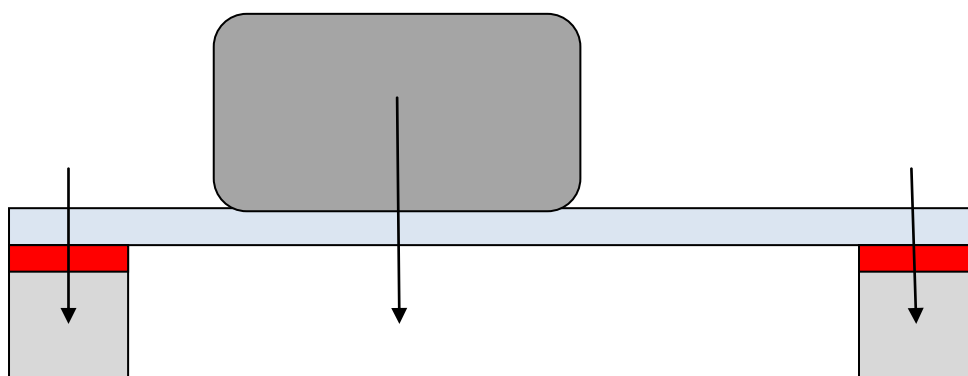
  Serial.println(fsrreading);

  if (fsrreading > 200) {
    digitalWrite(led1, HIGH);
  }
  else digitalWrite(led1, LOW);
  if (fsrreading > 450) {
    digitalWrite(led2, HIGH);
  }
  else digitalWrite(led2, LOW);
  if (fsrreading > 550) {
    digitalWrite(led3, HIGH);
  }
  else digitalWrite(led3, LOW);
  if (fsrreading > 650) {
    digitalWrite(led4, HIGH);
  }
  else digitalWrite(led4, LOW);
  if (fsrreading > 800) {
    digitalWrite(led5, HIGH);
  }
  else digitalWrite(led5, LOW);
  if (fsrreading > 900) {
    digitalWrite(led6, HIGH);
  }
  else digitalWrite(led6, LOW);
}

```

## COMPITO

- 1- Utilizzare il sensore di forza per avviare un motore DC 5V quando la forza applicata supera i 5N.
- 2- Utilizzare due sensori di forza per verificare se un oggetto è posizionato al centro di un appoggio (la forza rilevata dai sensori sarà uguale) e usare due led di colore diverso per indicare se è sbilanciato a destra o sinistra.

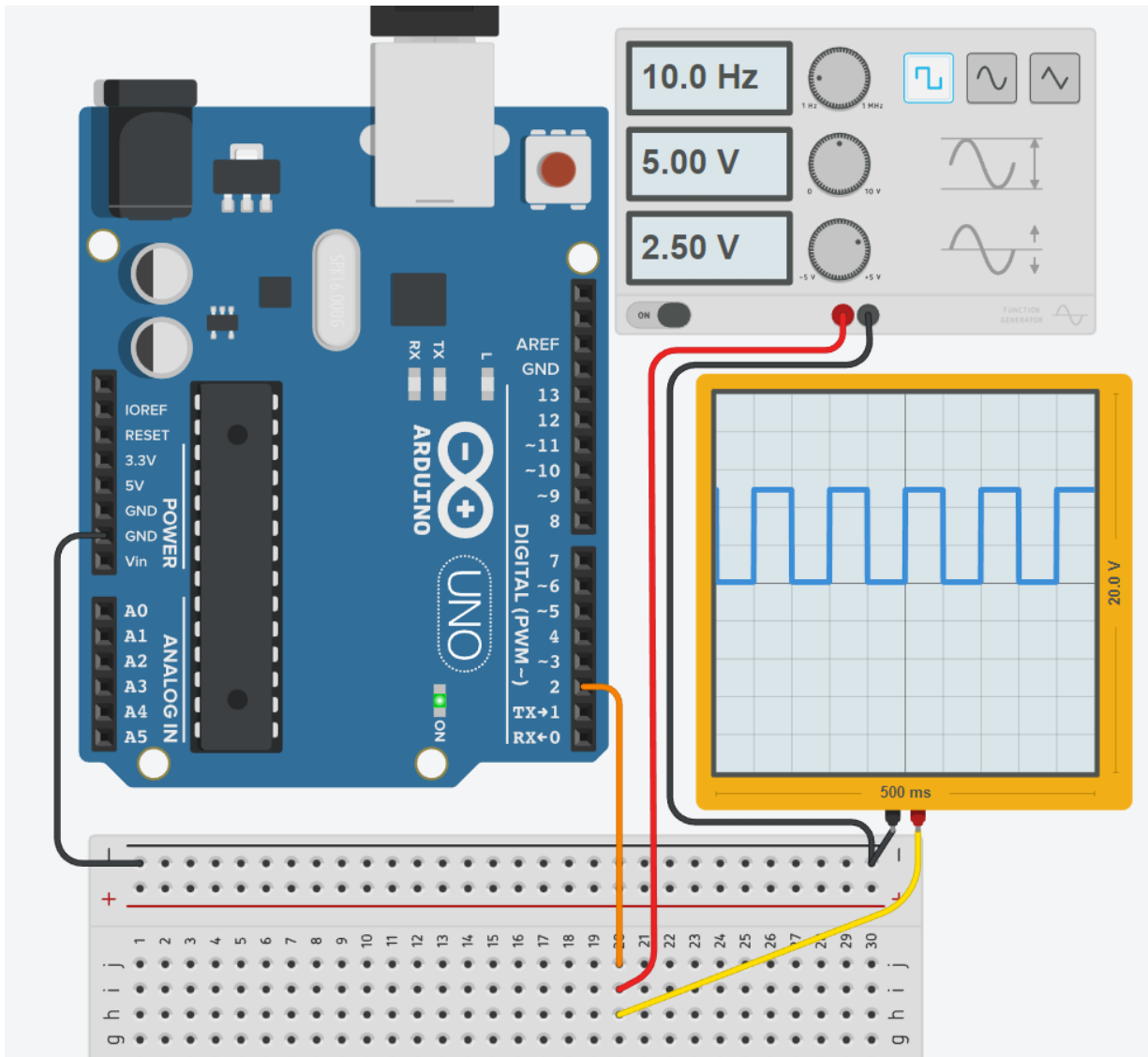


## INTERRUPT E CONTEGGIO IMPULSI DA UN TRASDUTTORE

Un interrupt (*interruzione*) è un evento che viene generato in presenza di una variazione di livello (da 0→5V o 5→0V) su un particolare pin di Arduino (pin 2 e 3 per la scheda Arduino UNO).

Questo evento viene gestito direttamente dal microcontrollore ed è controllabile via software tramite delle apposite istruzioni. Quando viene generata una interruzione è possibile eseguire del codice in modo automatico che interrompe momentaneamente il normale flusso di codice all'interno del blocco loop().

Nello schema di figura il generatore di funzioni d'onda viene utilizzato per simulare un trasduttore (es. encoder ottico) che genera un treno di impulsi con frequenza proporzionale al valore della grandezza fisica misurata.

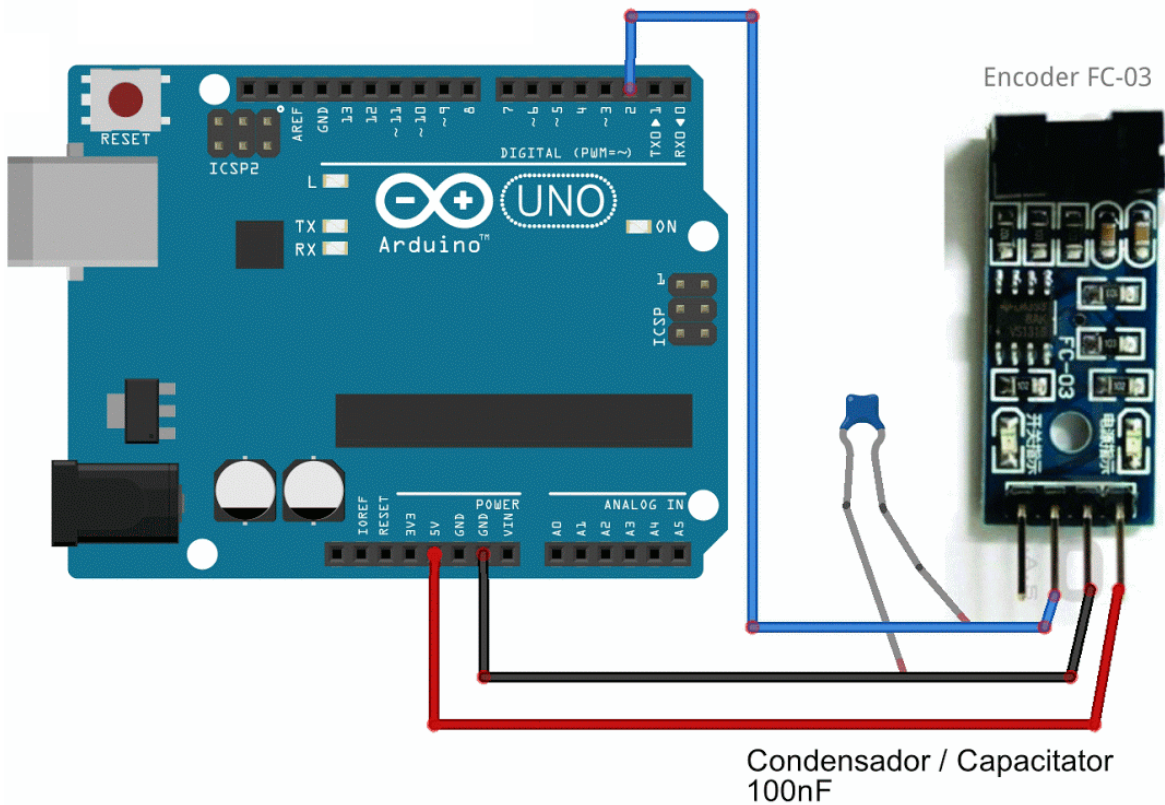


### Variabili di tipo "volatili" (*salvata nella memoria RAM di Arduino*)

Una variabile deve essere dichiarata volatile ogni volta che il suo valore può essere modificato da qualcosa al di fuori del controllo della sezione di codice in cui appare come ad esempio in un thread (processo parallelo) in esecuzione contemporaneamente al codice principale.

In Arduino, l'unico posto in cui è probabile che ciò avvenga è nelle sezioni di codice associate agli interrupt, chiamate routine di servizio di interrupt.

```
volatile int contatore = 0;
```



*Utilizzo shield Arduino FC-03 per contare gli impulsi rilevati da un encoder*

#### **CODICE**

```
volatile int contatore = 0;

void setup() {
  Serial.begin(9600);
  // uso il pin2 per l'interrupt (solo il 2 o il 3 di Arduino sono abilitati agli interrupt)
  attachInterrupt(digitalPinToInterrupt(2), interrupt0, RISING);
}

void loop() {
  delay(1000);
  Serial.print(contatore);
  Serial.println(" impulsi");
  contatore = 0;
}

void interrupt0()
{
  contatore++;
}
```

## ENCODER MAGNETICI

L'encoder è un dispositivo elettromeccanico che converte la posizione angolare meccanica del suo asse rotante in posizione angolare elettrica sotto forma di segnale elettrico numerico digitale e/o analogico.

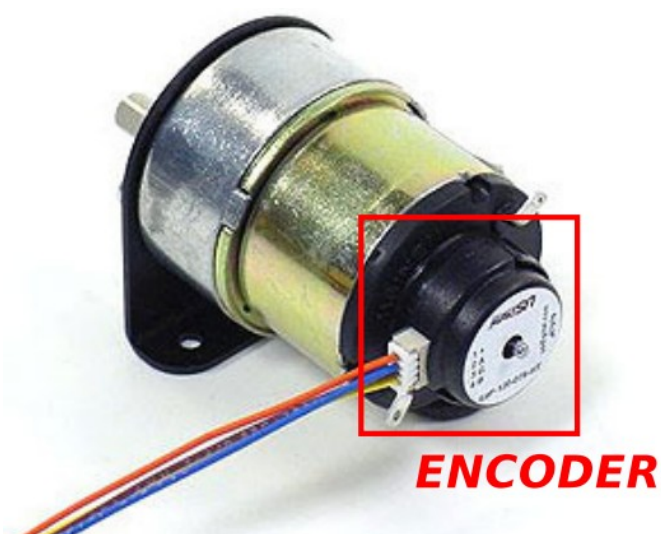
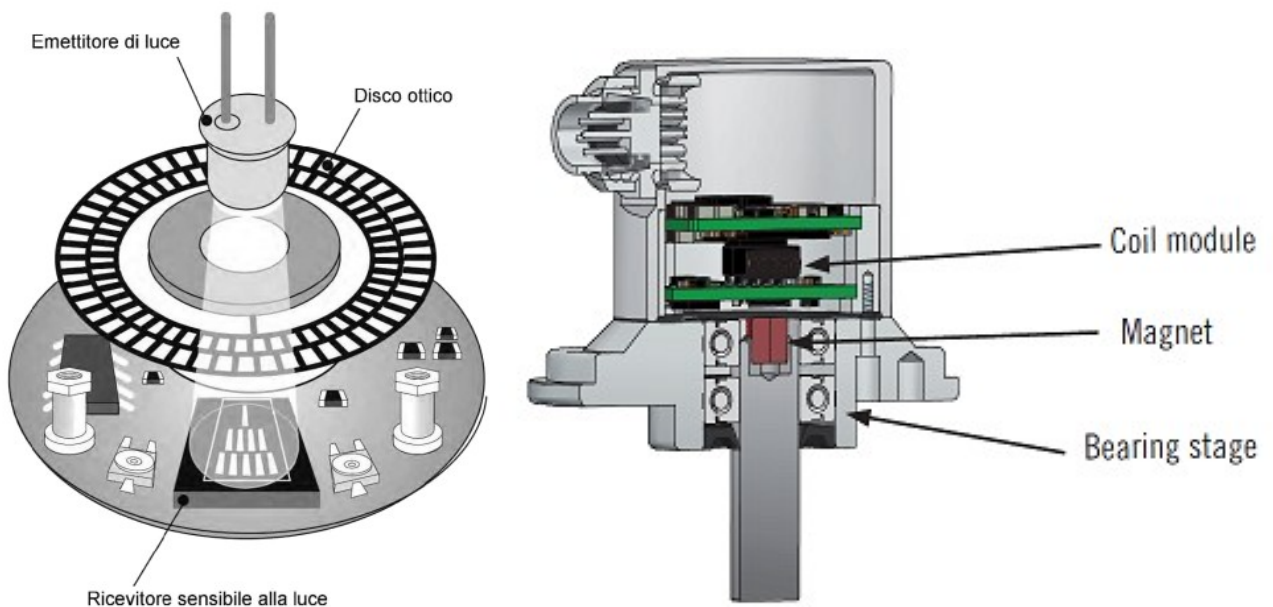
Collegato ad opportuni circuiti elettronici e con appropriate connessioni meccaniche, l'encoder è in grado di misurare spostamenti angolari, movimenti rettilinei e circolari nonché velocità di rotazione e accelerazioni.

Esistono varie tecniche per il rilevamento del movimento angolare: capacitiva, magnetica, induttiva, potenziometrica e fotoelettrica.

Gli encoder si possono classificare nelle seguenti categorie:

- ottici
- a variazione di campo magnetico/elettrico.

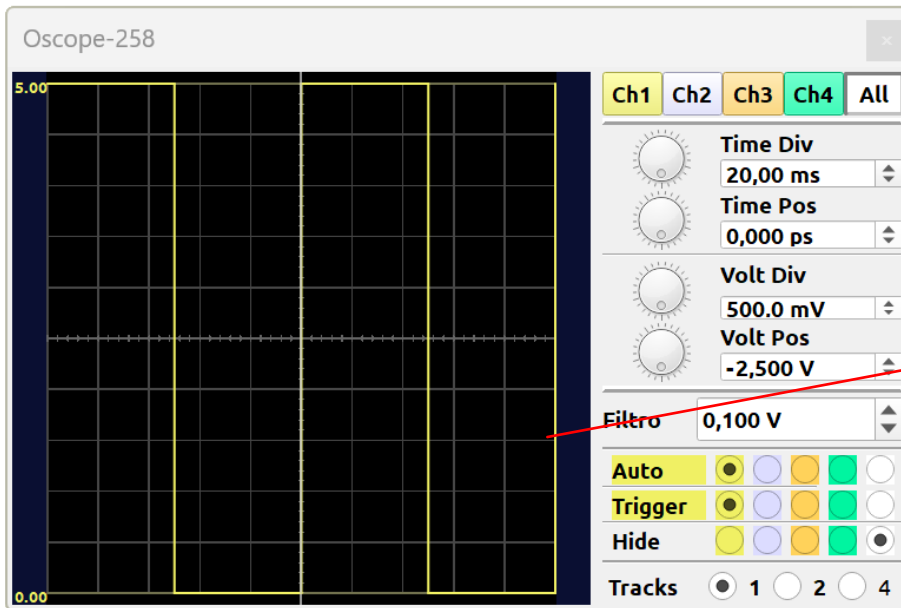
Gli encoder vengono principalmente impiegati nei seguenti settori applicativi: controllo dei processi industriali, robot industriali, macchine utensili, strumenti di misura, confezionamento, plotter, laminatoi e macchine per il taglio delle lamiere, bilance e bilici, antenne, telescopi, impianti ecologici, macchine da stampa e da imballaggio, macchine tessili e conciarie, gru, carri ponte, presse, macchine per la lavorazione del legno, della carta, del marmo, del cemento, del vetro ecc.



## RILIEVO VELOCITA' MOTORE CC CON ENCODER

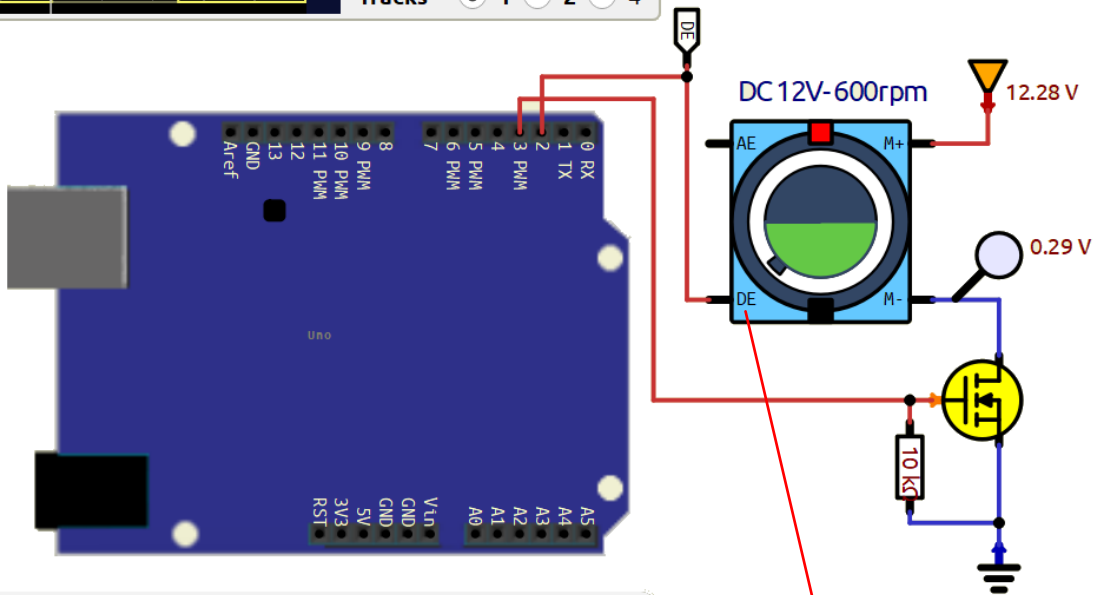
Il motore CC nel simulatore è dotato di un encoder che fornisce 1 impulso al giro (un encoder commerciale ne fornisce molti di più normalmente!).

Tramite un transistor NMOS impostiamo la velocità del motore.



L'encoder da in uscita una onda quadra con frequenza proporzionale al numero di giri del motore:  
 $f=10\text{Hz} \rightarrow 600\text{ rpm}$

Frequency selection interface with four buttons labeled 10.00 Hz, 0 Hz, 0 Hz, and 0 Hz. The first button is highlighted in yellow. An "Expand" button is at the bottom.



Uscita digitale encoder

Serial monitor window titled "Uno-232 - Uart1". The output shows the following data:

```
Tick/sec: 60 | 600.00 RPM  
Tick/sec: 60 | 600.00 RPM  
Tick/sec: 60 | 600.00 RPM
```

The interface includes a "Pausa" button, a "Print: ASCII" dropdown, and "Clear" buttons for both "Input" and "Output".

```

// Definizioni Pin
const int motorePin=3;
const int encoderPinA = 2; // Pin interrupt (Digital 2)
volatile long impulsi = 0; // Contatore impulsi (volatile perché usato in interrupt)
unsigned long tempoPrecedente = 0;
float rpm = 0;

// Parametro da regolare: quanti impulsi genera l'encoder per un giro completo?
const int impulsi_per_giro = 1;

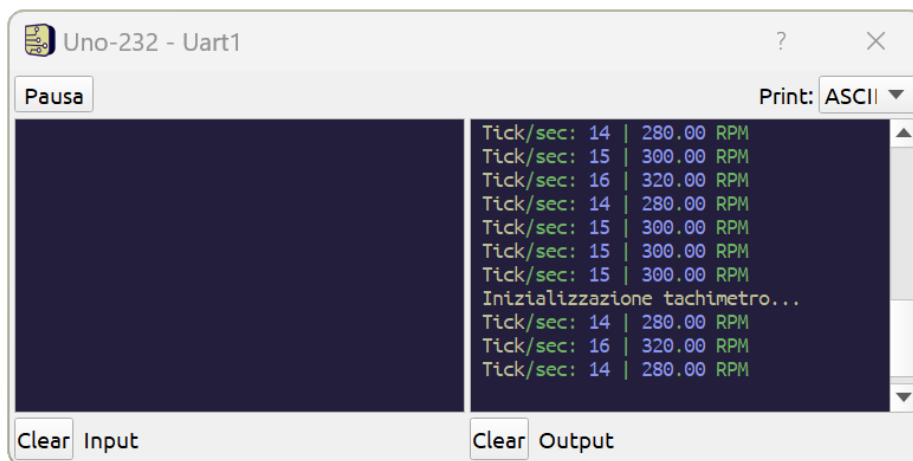
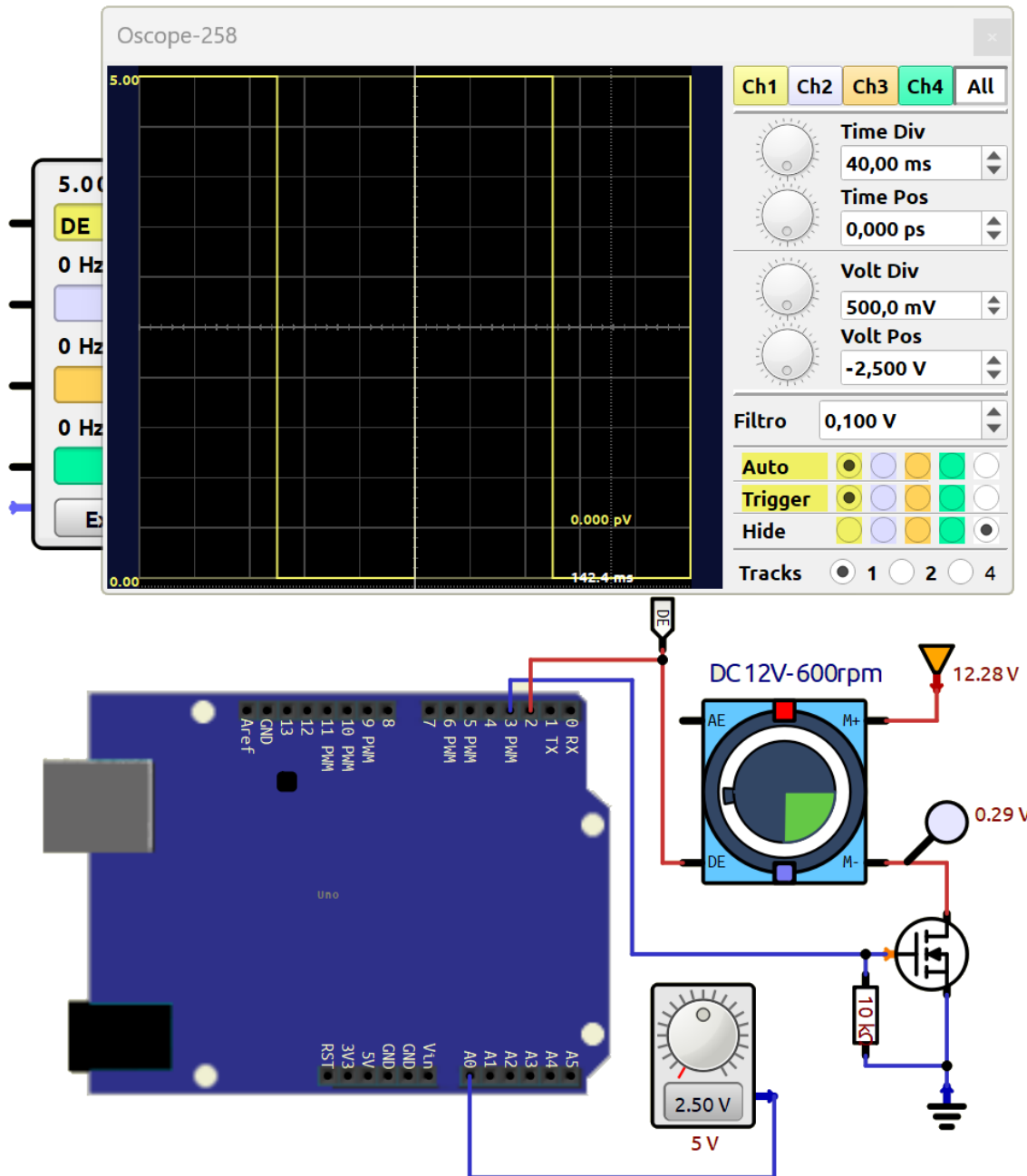
void setup() {
  Serial.begin(9600);
  pinMode(motorePin, OUTPUT);
  pinMode(encoderPinA, INPUT);
  // Collega l'interrupt: esegui 'contalImpulsi' ogni volta che il segnale sale (RISING)
  attachInterrupt(digitalPinToInterrupt(encoderPinA), contalImpulsi, RISING);
  Serial.println("Inizializzazione tachimetro...");
  analogWrite(motorePin,255); // massima velocità di 600rpm
}

void loop() {
  unsigned long tempoCorrente = millis();
  // Calcola gli RPM ogni secondo (1000 millisecondi)
  if (tempoCorrente - tempoPrecedente >= 6000) {
    // Disabilita temporaneamente gli interrupt per leggere il valore in sicurezza
    noInterrupts();
    long copiaImpulsi = impulsi;
    impulsi = 0; // Resetta il contatore per il prossimo secondo
    interrupts();
    rpm = (float(copiaImpulsi) / impulsi_per_giro) * 10.0;
    Serial.print("Tick/sec: ");
    Serial.print(copiaImpulsi);
    Serial.print(" | ");
    Serial.print(rpm);
    Serial.println(" RPM");
    tempoPrecedente = tempoCorrente;
  }
}

// Funzione chiamata dall'interrupt
void contalImpulsi() { impulsi++; }

```

# CONTROLLO VELOCITA MOTORE CC CON ENCODER E POTENZIOMETRO



```

// Definizioni Pin
const int potPin=A0;
const int motorePin=3;
const int encoderPinA = 2; // Pin interrupt (Digital 2)
volatile long impulsi = 0; // Contatore impulsi (volatile perché usato in interrupt)
unsigned long tempoPrecedente = 0;
float rpm = 0;

// Dato encoder: quanti impulsi genera l'encoder per un giro completo?
const int impulsi_per_giro = 1;

void setup() {
  Serial.begin(9600);
  pinMode(potPin, INPUT);
  pinMode(motorePin, OUTPUT);
  pinMode(encoderPinA, INPUT);
  // Collega l'interrupt: esegui 'contaImpulsi' ogni volta che il segnale sale (RISING)
  attachInterrupt(digitalPinToInterrupt(encoderPinA), contaImpulsi, RISING);
  Serial.println("Inizializzazione tachimetro...");
  analogWrite(motorePin,0);
}

void loop() {
  unsigned long tempoCorrente = millis();
  int velocita= map(analogRead(potPin), 0, 1023, 0, 255);
  analogWrite(motorePin,velocita);

  // Calcola gli RPM ogni secondo (1000 millisecondi)
  if (tempoCorrente - tempoPrecedente >= 3000) {
    // Disabilita interrupt per leggere il valore in sicurezza
    noInterrupts();
    long copiaImpulsi = impulsi;
    impulsi = 0; // Resetta il contatore per il prossimo secondo
    interrupts(); // riabilita interrupt
    rpm = (float(copiaImpulsi) / impulsi_per_giro) * 20.0; // 60sec/ 3
    Serial.print("Tick/sec: ");
    Serial.print(copiaImpulsi);
    Serial.print(" | ");
    Serial.print(rpm);
    Serial.println(" RPM");
    tempoPrecedente = tempoCorrente;
  }
}

// Funzione chiamata dall'interrupt
void contaImpulsi() {
  impulsi++;
}

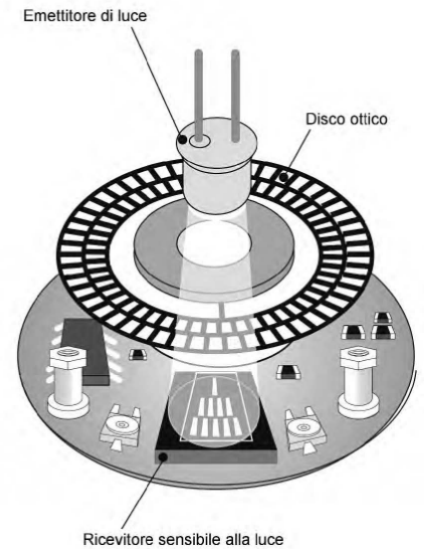
```

## ENCODER OTTICI

L'encoder è uno strumento per la misura di una posizione angolare basato sul **principio fotoelettrico**

Il principio base di funzionamento è il seguente: davanti a una sorgente luminosa è posto un disco che presenta alternativamente aree opache e trasparenti. Un fotorilevatore rileva l'intensità luminosa che attraversa il disco e fornisce quindi un'informazione indiretta sulla posizione angolare

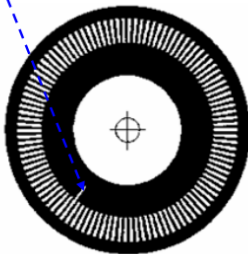
L'encoder può essere **incrementale** o **assoluto**



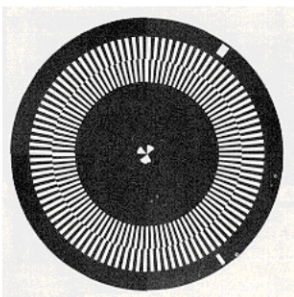
## ENCODER INCREMENTALE

Nella sua versione più semplice l'encoder incrementale è costituito da una sola traccia con zone alternativamente trasparenti o opache

Tacca per la definizione di uno zero meccanico assoluto.



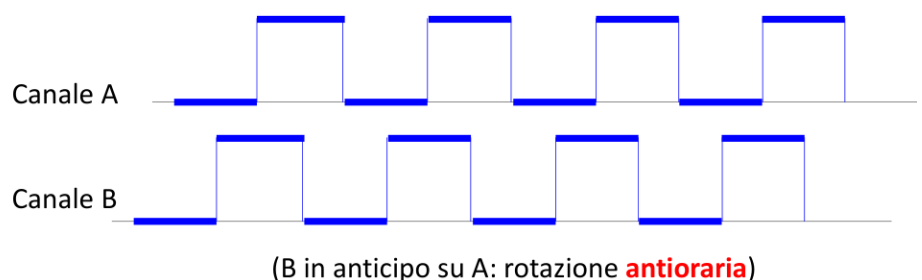
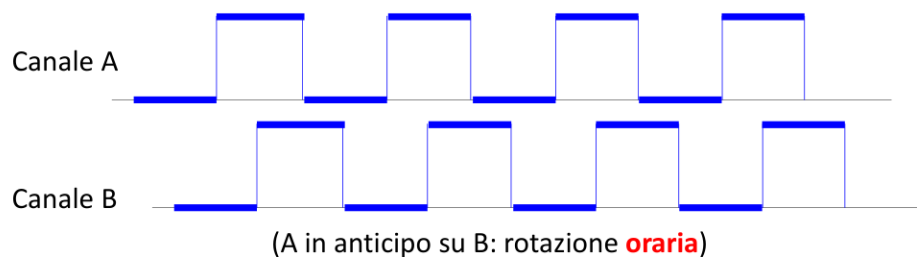
Per stimare anche il **verso di rotazione**, si aggiunge una **seconda traccia**, sfasata di 1/4 di passo.



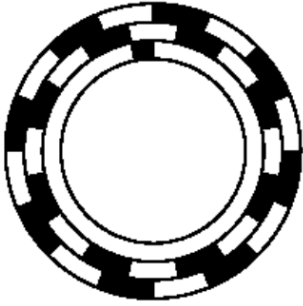
L'uscita del fotorilevatore viene squadrata da un circuito elettronico e dà luogo a un treno di impulsi.



- Non si ha la posizione angolare assoluta ma si possono solo contare gli impulsi dal momento dell'accensione
- Non si può rilevare il verso di rotazione



## ENCODER INCREMENTALE: RISOLUZIONE

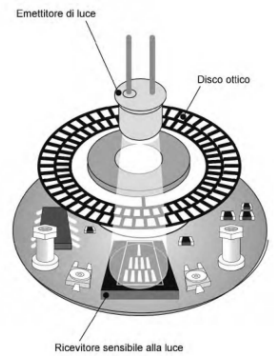


$N$ : numero passi (numero di zone chiare/scure per giro).

Poiché i due segnali sono sfasati di  $1/4$  di passo:

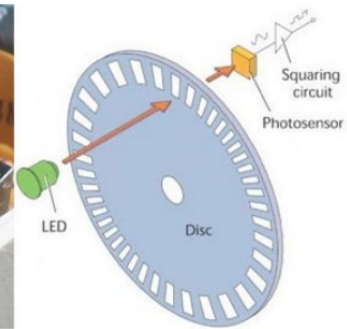
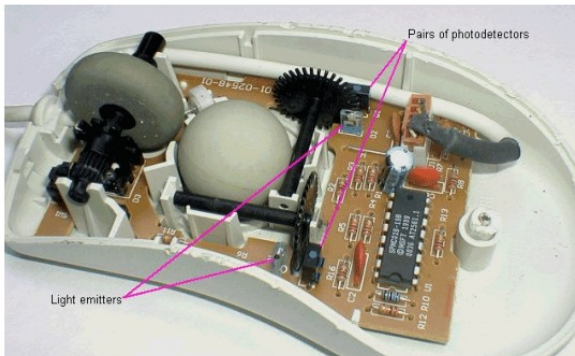
$$\text{Risoluzione: } 360^\circ / (4N)$$

Con  $N = 1000$  la risoluzione è di  $0.090^\circ$



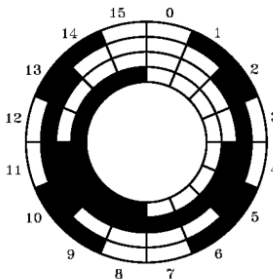
## ENCODER INCREMENTALE: ESEMPIO D'USO

Encoder incrementali su un mouse (a pallina)



## ENCODER ASSOLUTO

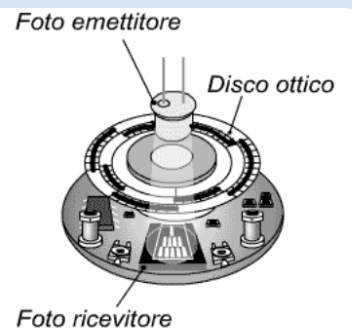
- L'**encoder assoluto** è un disco con aree trasparenti e opache, disposte su corone circolari concentriche
- La traccia più interna suddivide l'angolo giro in due, la seconda traccia suddivide ciascun angolo piatto in due angoli di  $90^\circ$  e così via



Con  $N$  corone circolari si ha quindi:

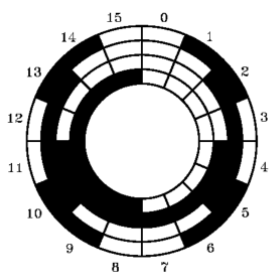
$$\text{Risoluzione: } 360^\circ / 2^N$$

Per le applicazioni robotiche sono richieste almeno 12 tracce (risoluzione di  $360^\circ / 4096 = 0.088^\circ$ ).



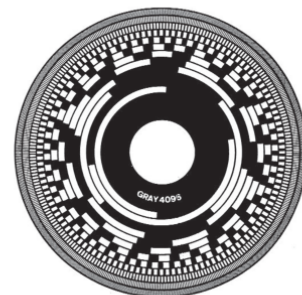
Viene codificata la **posizione angolare assoluta**: all'accensione, lo strumento fornisce l'angolo assoluto

Per evitare ambiguità di lettura si utilizzano codici binari a variazione singola (**codice Gray**): da un settore a quello successivo cambia una sola cifra.

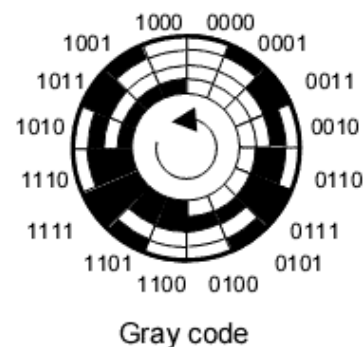


#	Codice	#	Codice
0	0000	8	1100
1	0001	9	1101
2	0011	10	1111
3	0010	11	1110
4	0110	12	1010
5	0111	13	1011
6	0101	14	1001
7	0100	15	1000

Encoder a 12 bit con codifica Gray



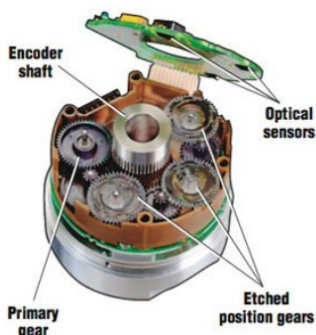
Numero decimale	Numero in binario puro	Numero in Gray
0	0000	0000
1	0001	0001
2	0010	0011
3	0011	0010
4	0100	0110
5	0101	0111
6	0110	0101
7	0111	0100
8	1000	1100
9	1001	1101
10	1010	1111
11	1011	1110
12	1100	1010
13	1101	1011
14	1110	1001
15	1111	1000



**ENCODER ASSOLUTO: SINGLE-TURN O MULTI-TURN**

Gli encoder **single-turn** misurano solo la posizione sull'angolo giro: un encoder single-turn a 13 bit ha una risoluzione sul giro di  $360^\circ/2^{13} = 0.044^\circ$

Gli encoder **multi-turn** misurano anche il numero delle rotazioni, mediante opportuni ingranaggi: un encoder multi-turn a 29 bit può avere 13 bit dedicati alla misura sul giro e gli altri 16 a misurare fino a  $2^{16} = 65.536$  giri



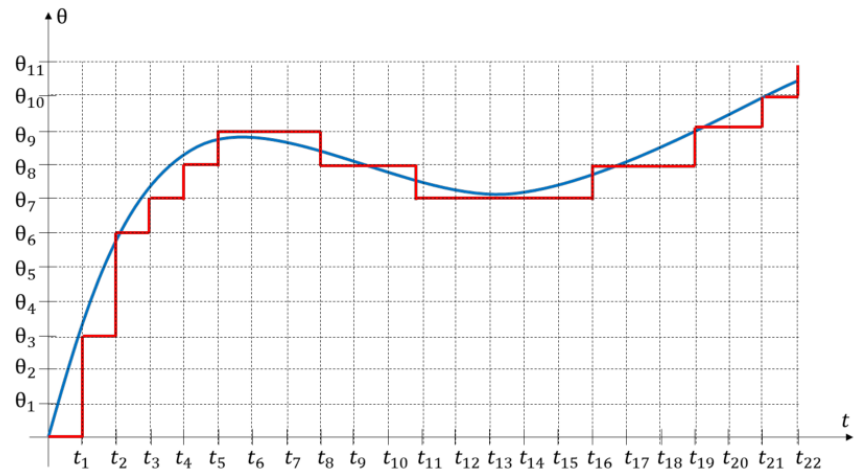
Encoder assoluto Sick

## MISURA DI VELOCITÀ DAL SEGNALE ENCODER

Dagli impulsi prodotti da un encoder (incrementale o assoluto) si può ricavare una **misura di velocità**. Esistono due metodi:

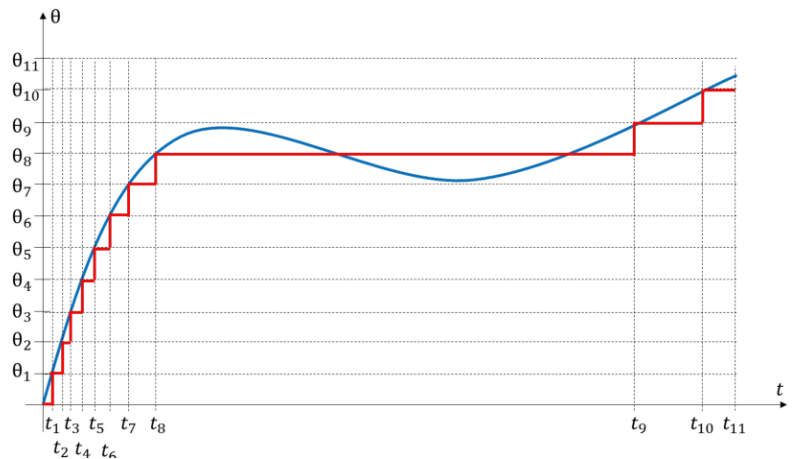
**A tempo fisso:** si campiona l'uscita dell'encoder a passo temporale fissato  $T_s$

$$\omega(k) = \frac{\theta(k) - \theta(k-1)}{T_s}$$



**A spazio fisso:** si misura il tempo necessario per cambiare l'uscita dell'encoder di un bit (variazione  $\Delta\theta$ )

$$\omega(k) = \frac{\Delta\theta}{t_k - t_{k-1}}$$

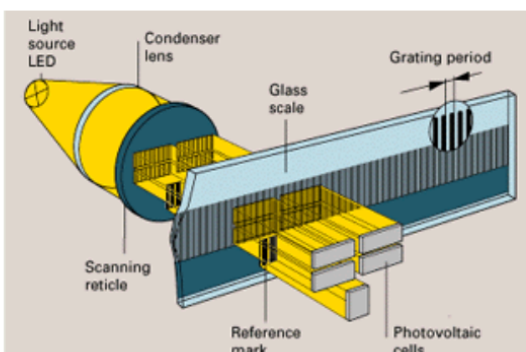


In genere si ottengono risultati migliori con i metodi a spazio fisso, in particolare associando metodi di filtraggio

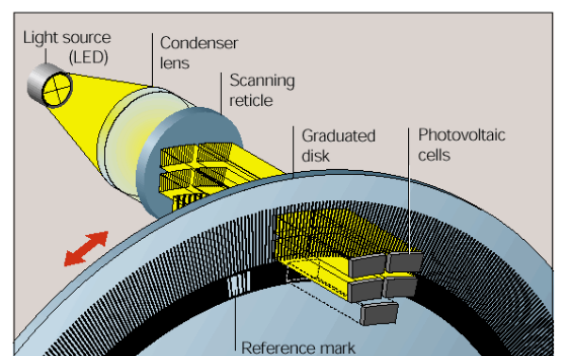
## ENCODER AVANZATI

Per grandi precisioni, si usano sistemi basati sull'**effetto di Moiré**: se si fanno scorrere parallelamente e uno sull'altro due reticoli di divisione, si rilevano oscillazioni periodiche di luminosità, che si possono convertire in segnali elettrici.

### Riga ottica



### Encoder rotativo



## ESERCIZIO INCREMENTALE

Quale risoluzione (numeri di impulsi per giro) deve avere un encoder per una misura angolare di  $0.25^\circ$ ?

Supponendo che l'encoder sia solidale con un albero di un motore in rotazione alla velocità di 720 r.p.m. (Fig. 1), calcolare il periodo del segnale rilevato dal fototransistor.

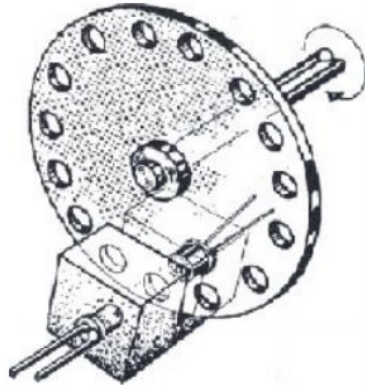


Fig. 1

### **SOLUZIONE**

Numero impulsi =  $360^\circ / 0.25 = 1440$  (impulsi per ogni giro)

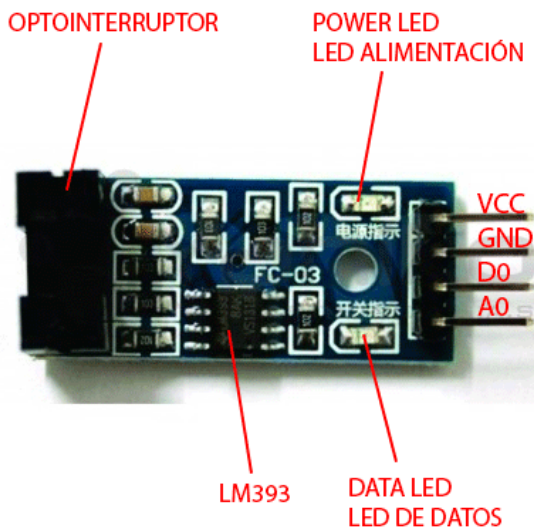
Rotazioni al secondo =  $720 / 60 = 12$  giri/s

Frequenza (impulsi al secondo) =  $1440 \cdot 12 = 17280$  Hz

Periodo =  $1 / f = 1 \div 17280 = 57,8 \mu\text{s}$

## ENCODER OTTICO AD INFRAROSSI

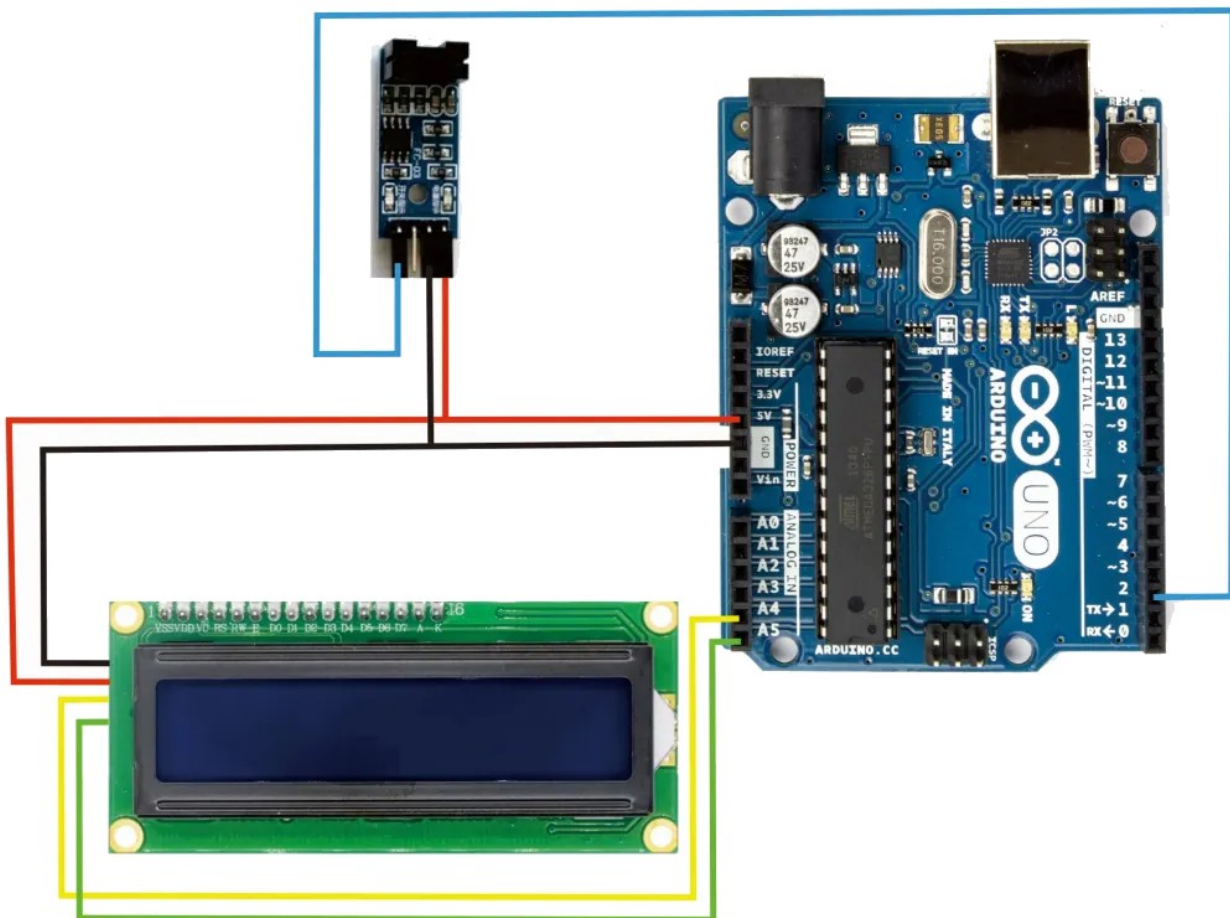
L'encoder ottico a infrarossi (emettitore → fotodiolo IR, ricevitore → fototransistore) è un sensore di velocità. Viene utilizzato per misurare la velocità di un oggetto rotante come un l'albero di un motore.



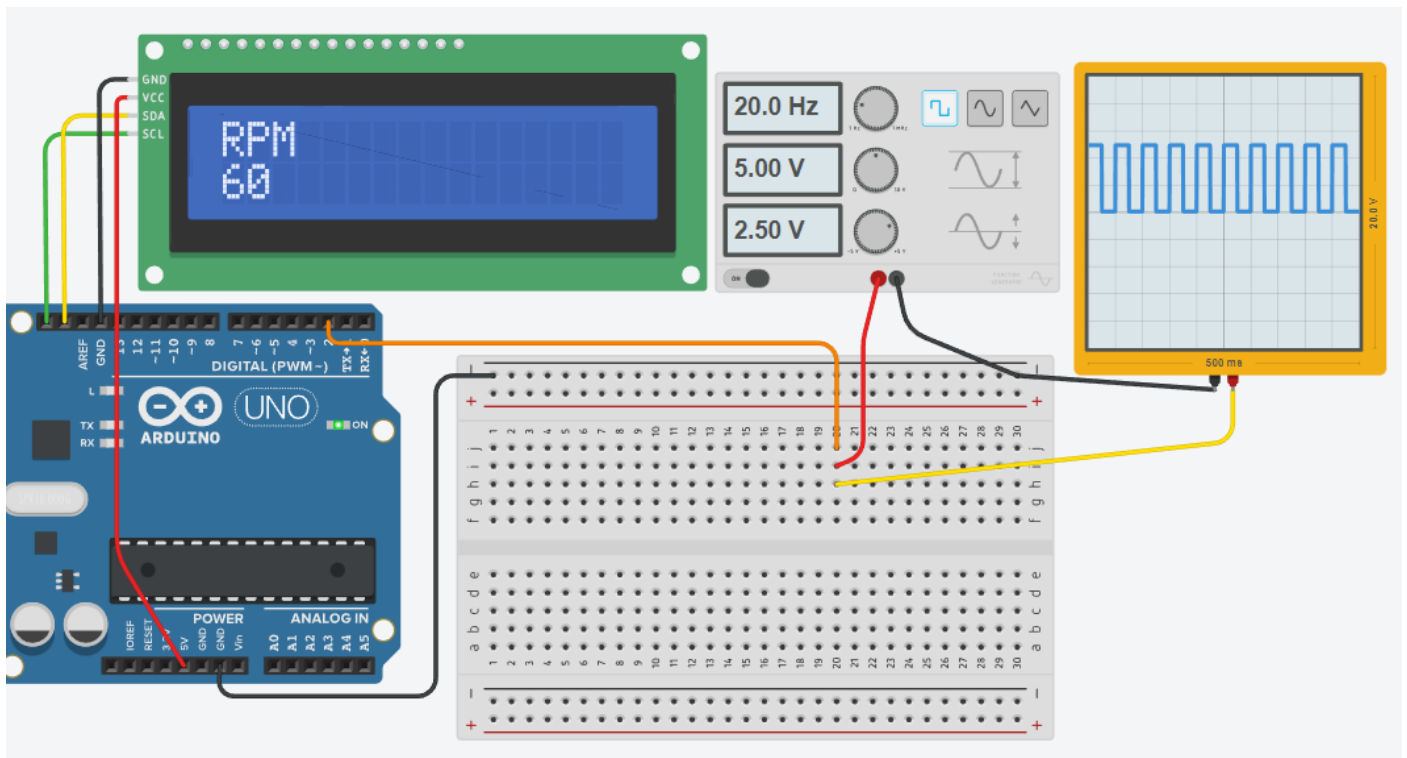
Disco encoder 20 fori da fissare sull'albero motore



Schema reale



## SIMULARE L'ENCODER CON UN GENERATORE DI IMPULSI



### CODICE

```
#include <Adafruit_LiquidCrystal.h>
Adafruit_LiquidCrystal lcd_1(0);
volatile int contatore = 0;
const int nfori= 20;
int rpm= 0;

void interrupt0() { contatore++; }

void setup() {
  lcd_1.begin(16, 2);
  lcd_1.print("RPM");
  Serial.begin(9600);
  // uso il pin2 per l'interrupt (solo il 2 o il 3 di Arduino)
  attachInterrupt(digitalPinToInterrupt(2),interrupt0,RISING);
}

void loop() {
  delay(1000);
  rpm= 60* contatore / nfori;
  Serial.print(rpm);
  Serial.println(" impulsi");
  lcd_1.setCursor(0, 1);
  lcd_1.print(rpm);

  contatore = 0;
}
```

## CODICE con ENCODER

```
#include <Wire.h>
#include <LiquidCrystal_I2C.h>
LiquidCrystal_I2C lcd(0x27, 16, 2); // set the LCD address to 0x27 for a 16 chars and 2 line display

const nholes= 20.0; // numero di fori disco encoder
float rpm = 0;
int pid;
unsigned long millisBefore;
volatile int holes;

void setup()
{
    Serial.begin(9600);
    lcd.init();
    lcd.backlight();
    lcd.setCursor(0, 0);
    lcd.print("Speed Sensor");
    lcd.setCursor(0, 1);
    lcd.print("Test");
    pinMode(2, INPUT);
    attachInterrupt(digitalPinToInterrupt(2), count, FALLING);
    delay(1000);
    lcd.clear();
}

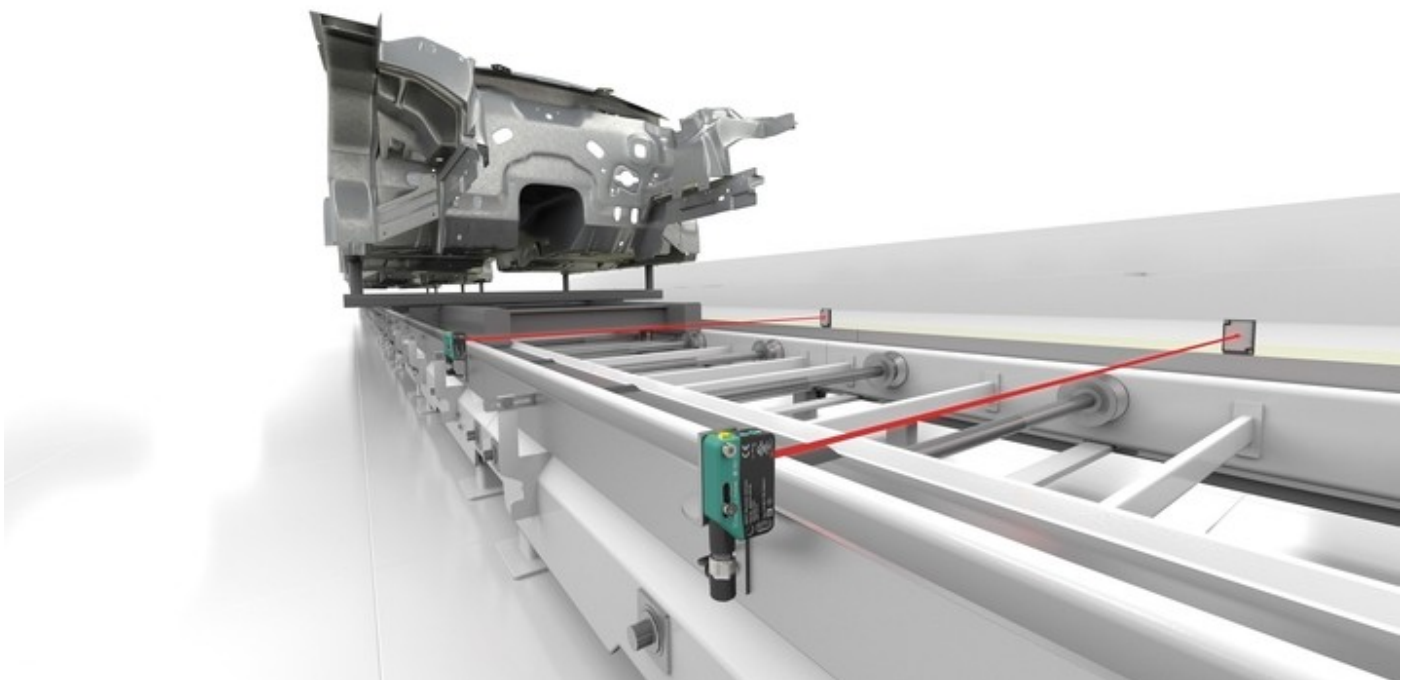
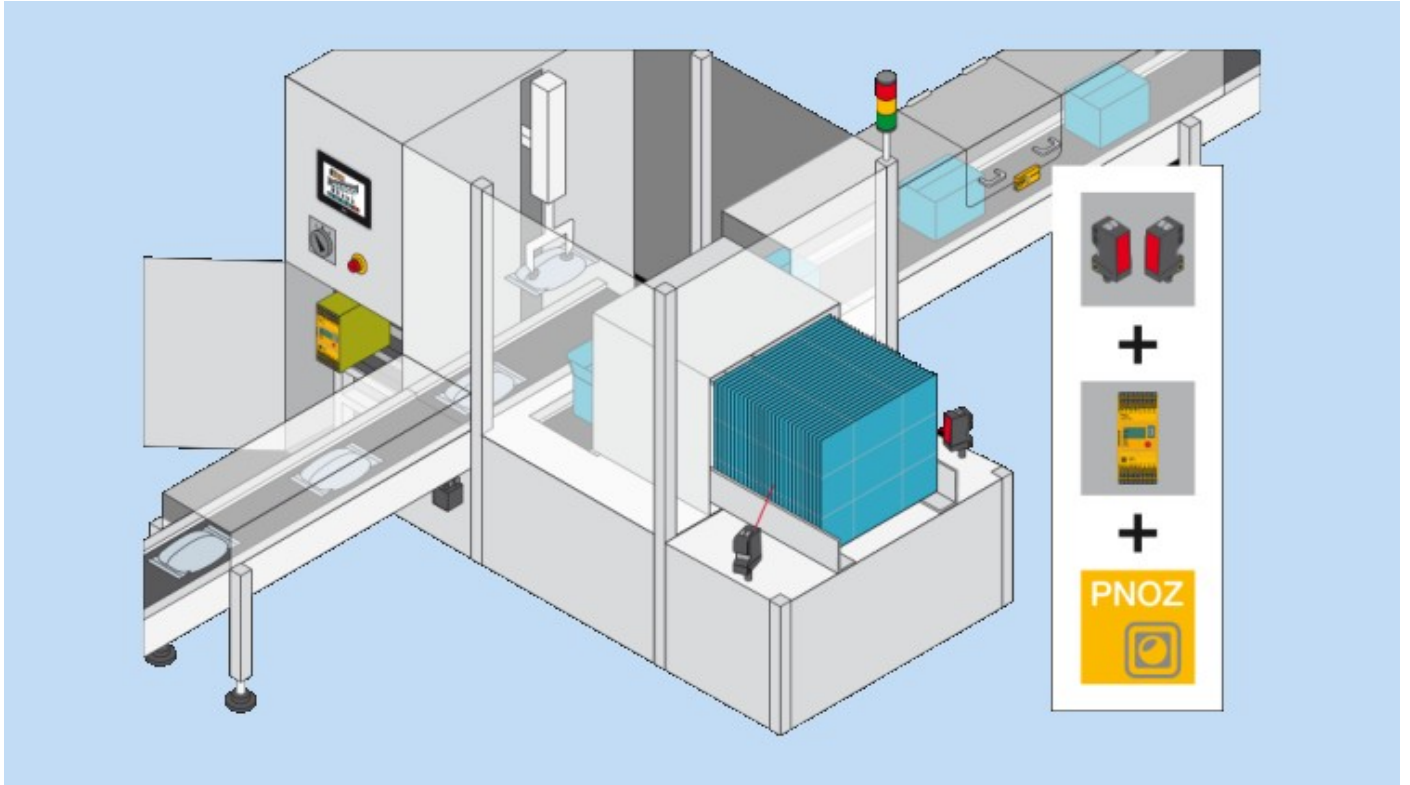
void loop()
{
    print_to_LCD();
    if (millis() - millisBefore > 1000) {
        rpm = (holes / nholes)*60;
        holes = 0;
        millisBefore = millis();
    }
    delay(100);
}

void print_to_LCD() {
    lcd.setCursor(0, 0);
    lcd.print("Holes : ");
    lcd.print(holes);
    lcd.print(" ");
    lcd.setCursor(0, 1);
    lcd.print("RPM : ");
    lcd.print(rpm);
    lcd.print(" ");
}

void count() {
    holes++;
}
```



# ESEMPI APPLICAZIONI SENSORI



## SISTEMA DI CONTROLLO QUALITA' SACCHI DI CEMENTO

Realizzare un sistema di controllo di qualità dell'integrità di sacchi di cemento su nastro trasportatore.

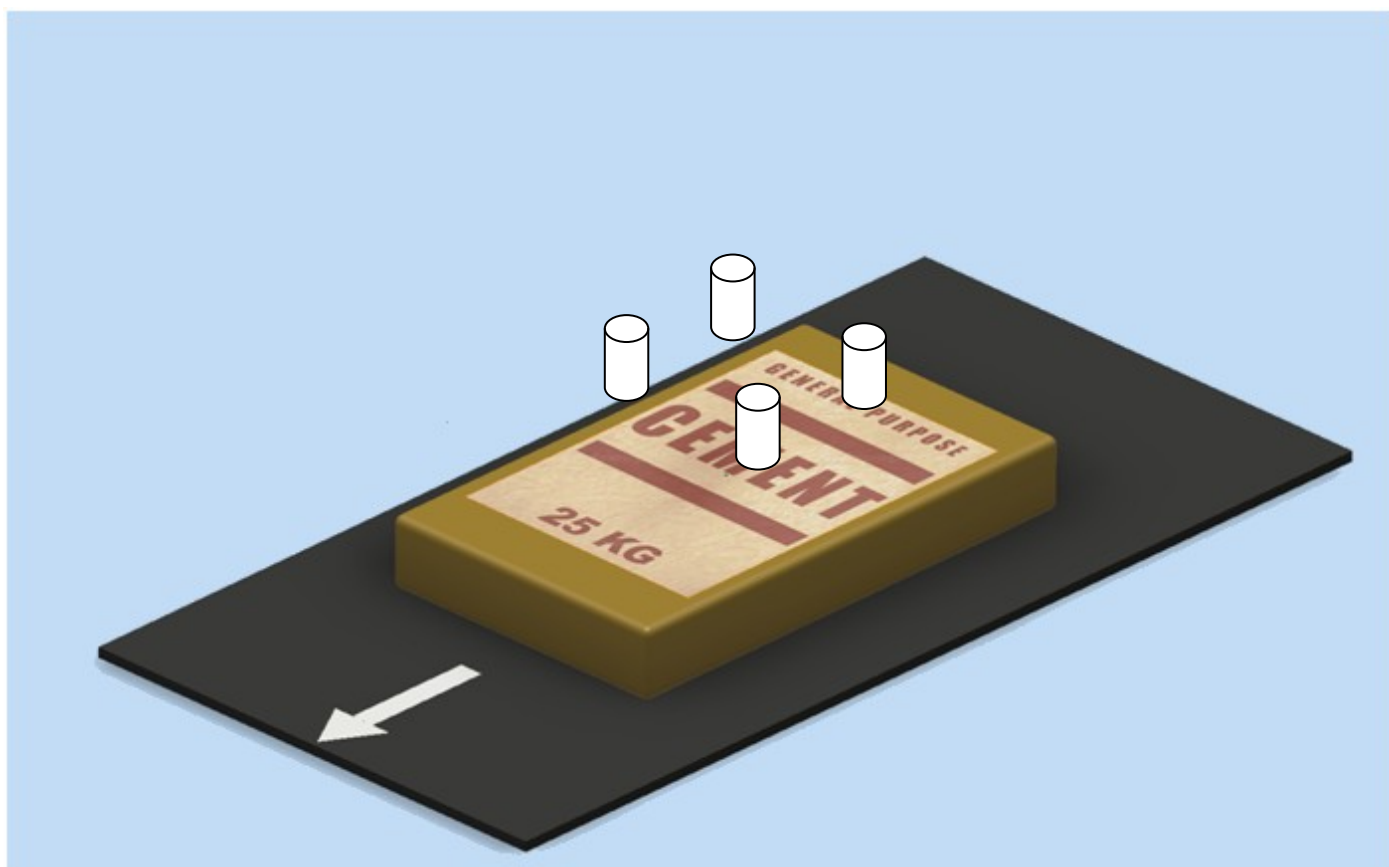
Si utilizzino 4 sensori ad ultrasuoni per misurare la distanza dalla superficie del sacco (in 4 punti diversi).

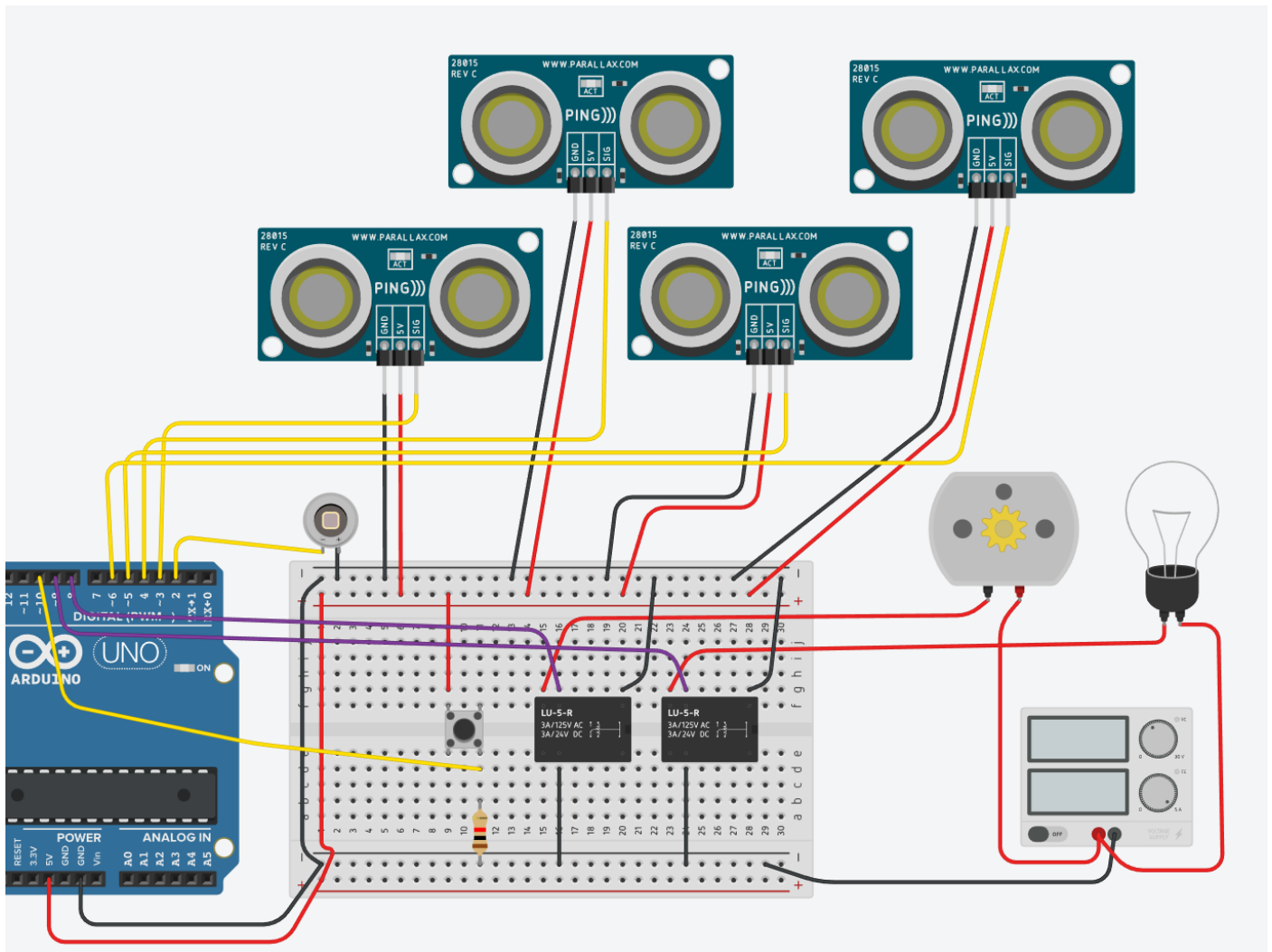
Se la misura di un sensore è inferiore a una certa distanza di setup (es. 100cm) il sacco è rotto.

Un sensore di prossimità (fotocellula FC) segnala la presenza del sacco sotto i sensori ad ultrasuoni e consente di fermare il nastro trasportatore per effettuare il controllo di qualità (0.5s).

Se il sacco è rotto viene attivata una lampada di emergenza e il nastro trasportatore viene mantenuto fermo.

Solo quando un operatore attiva il pulsante di START il sistema riprende il funzionamento.





## CODICE

```

// ingressi sensori
int pinC1 = 3;
int pinC2 = 4;
int pinC3 = 5;
int pinC4 = 6;
int pinFC = 2;
int pinStart=10;

// uscite
int pinM = 8;
int pinEM = 9;

// variabili
int statoFC = 0;
int misC1 = 0;
int misC2 = 0;
int misC3 = 0;
int misC4 = 0;
int statoStart=0;
int statoM=1;
int statoSacco=0; // 0=ok; 1=rotto

void setup()
{
  Serial.begin(9600);

```

```

pinMode(pinC1, INPUT);
pinMode(pinC2, INPUT);
pinMode(pinC3, INPUT);
pinMode(pinC4, INPUT);
pinMode(pinStart, INPUT);
pinMode(pinFC, INPUT_PULLUP);

pinMode(pinM, OUTPUT);
pinMode(pinEM, OUTPUT);

// attivo motore M nastro
digitalWrite(pinM, HIGH);
// spengo emergenza EM
digitalWrite(pinEM, LOW);
}

void loop()
{
// leggo stato fotocellula FC
statoFC = digitalRead(pinFC);
Serial.print("FC="); Serial.println(statoFC);

// controllo presenza SACCO
if (statoFC==1) {
Serial.println("Presenza SACCO");
// fermo motore M
digitalWrite(pinM, LOW); statoM= LOW; // fermo

// misura distanze in 4 punti; se una inferiore a 100 sacco rotto
misC1 = readUltrasonicDistance(pinC1, pinC1);
delay(10); // Wait for 100 millisecond(s)
Serial.print("C1="); Serial.println(misC1);
misC2 = readUltrasonicDistance(pinC2, pinC2);
delay(10); // Wait for 100 millisecond(s)
Serial.print("C2="); Serial.println(misC2);
misC3 = readUltrasonicDistance(pinC3, pinC3);
delay(10); // Wait for 100 millisecond(s)
Serial.print("C3="); Serial.println(misC3);
misC4 = readUltrasonicDistance(pinC4, pinC4);
delay(10); // Wait for 100 millisecond(s)
Serial.print("C4="); Serial.println(misC4);
delay(500);

// se una delle distanze è inferiore a 100 il sacco è rotto
if ( ( misC1<100) || ( misC2<100) || ( misC3<100) || ( misC4<100) ) {
Serial.println("SACCO rotto");
statoSacco= 1;
// accendo emergenza EM
digitalWrite(pinEM, HIGH);
}
// se sacco rotto rimosso e quello attuale non è rotto
else if (statoSacco==0) {
Serial.println("SACCO OK");
statoSacco= 0;
// accendo motore M e spengo EM
digitalWrite(pinM, HIGH); statoM= HIGH;
digitalWrite(pinEM, LOW);
statoM= HIGH;
}
}

// controllo stato pulsante START
statoStart= digitalRead(pinStart);
Serial.print("Start="); Serial.println(statoStart);
if (statoStart== HIGH) {
Serial.println("Avvio NASTRO");
statoSacco=0; // sacco rotto rimosso --> riparte nastro
}
}

```

```
digitalWrite(pinM, HIGH); statoM= HIGH;
digitalWrite(pinEM, LOW);
}

delay(1000);
}

// torna distanza in cm sulla base del tempo rilevato dal sensore
long readUltrasonicDistance(int triggerPin, int echoPin)
{
  pinMode(triggerPin, OUTPUT); // Clear the trigger
  digitalWrite(triggerPin, LOW);
  delayMicroseconds(2);
  // Sets the trigger pin to HIGH state for 10 microseconds
  digitalWrite(triggerPin, HIGH);
  delayMicroseconds(10);
  digitalWrite(triggerPin, LOW);
  pinMode(echoPin, INPUT);
  // Reads the echo pin, and returns the sound wave travel time in microseconds
  return 0.01723 * pulseIn(echoPin, HIGH);
}
```

Progettare un sistema di controllo qualità sacchi di cemento da 25 Kg.

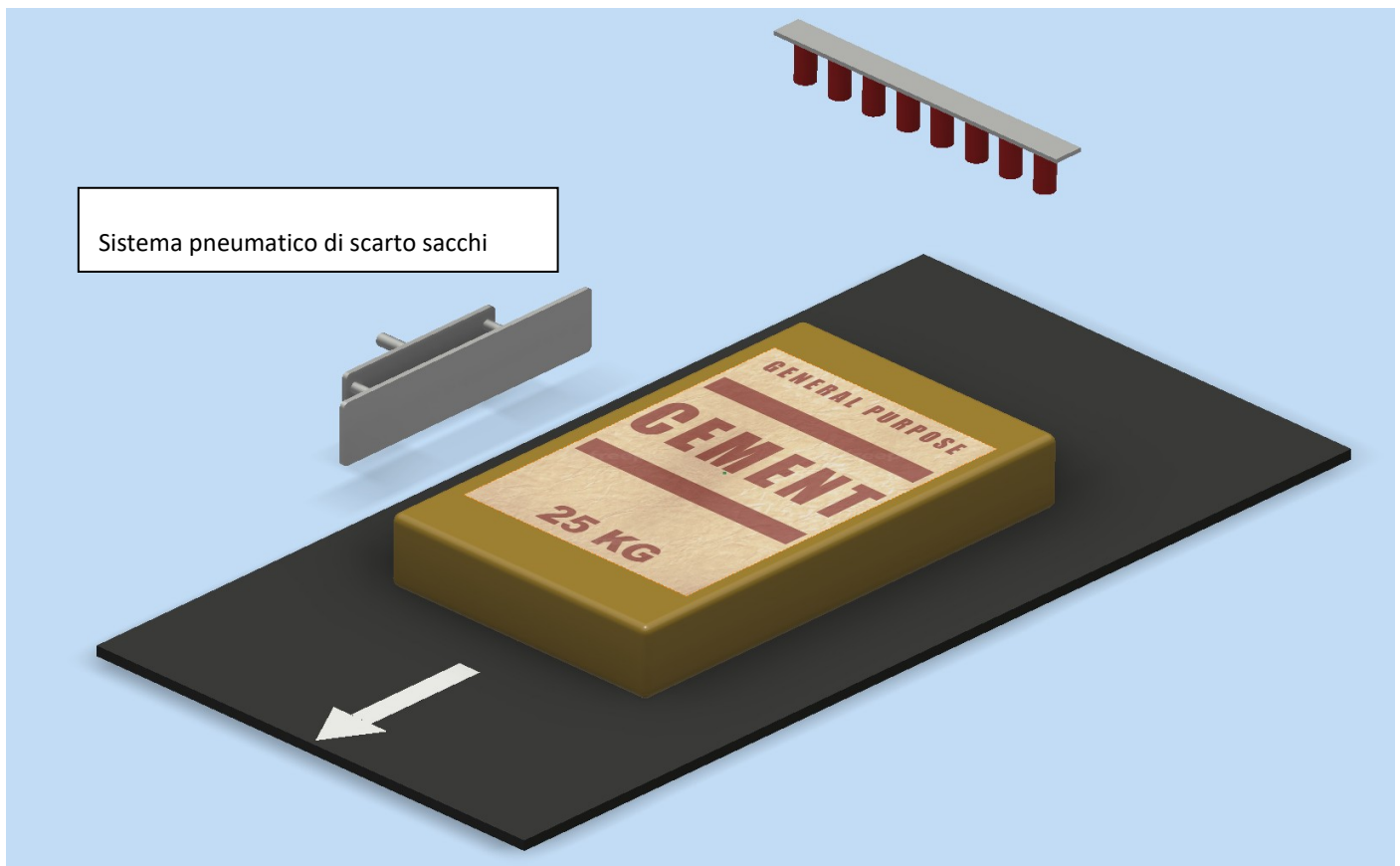
Un serie di 8 sensori analogici fornisce lo stato del cartone del sacco in tempo reale mentre questo scorre sul nastro trasportatore. Prevedere una lettura ogni 0.5sec per un totale di 10 letture.

Per semplificare la simulazione in Thinkercad usare un solo sensore ad ultrasuoni U1.

Un sensore di prossimità (fotocellula FC) indica la presenza del sacco davanti al sistema di scarto (controllo qualità terminato).

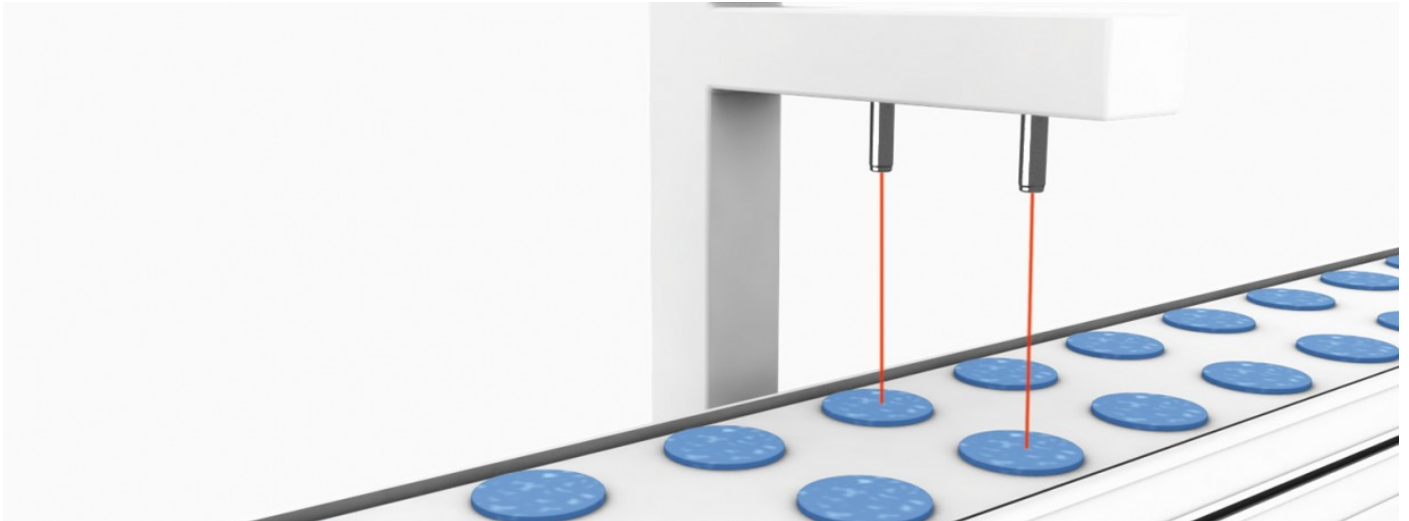
Se il sacco non ha passato il controllo di qualità allora il nastro viene fermato e un sistema pneumatico spinge il sacco fuori dal nastro trasportatore.

Dimensionare il cilindro pneumatico necessario per spostare il sacco di cemento ipotizzando un coefficiente di attrito pari a 0.8. Scegliere poi da catalogo MW il cilindro idoneo.

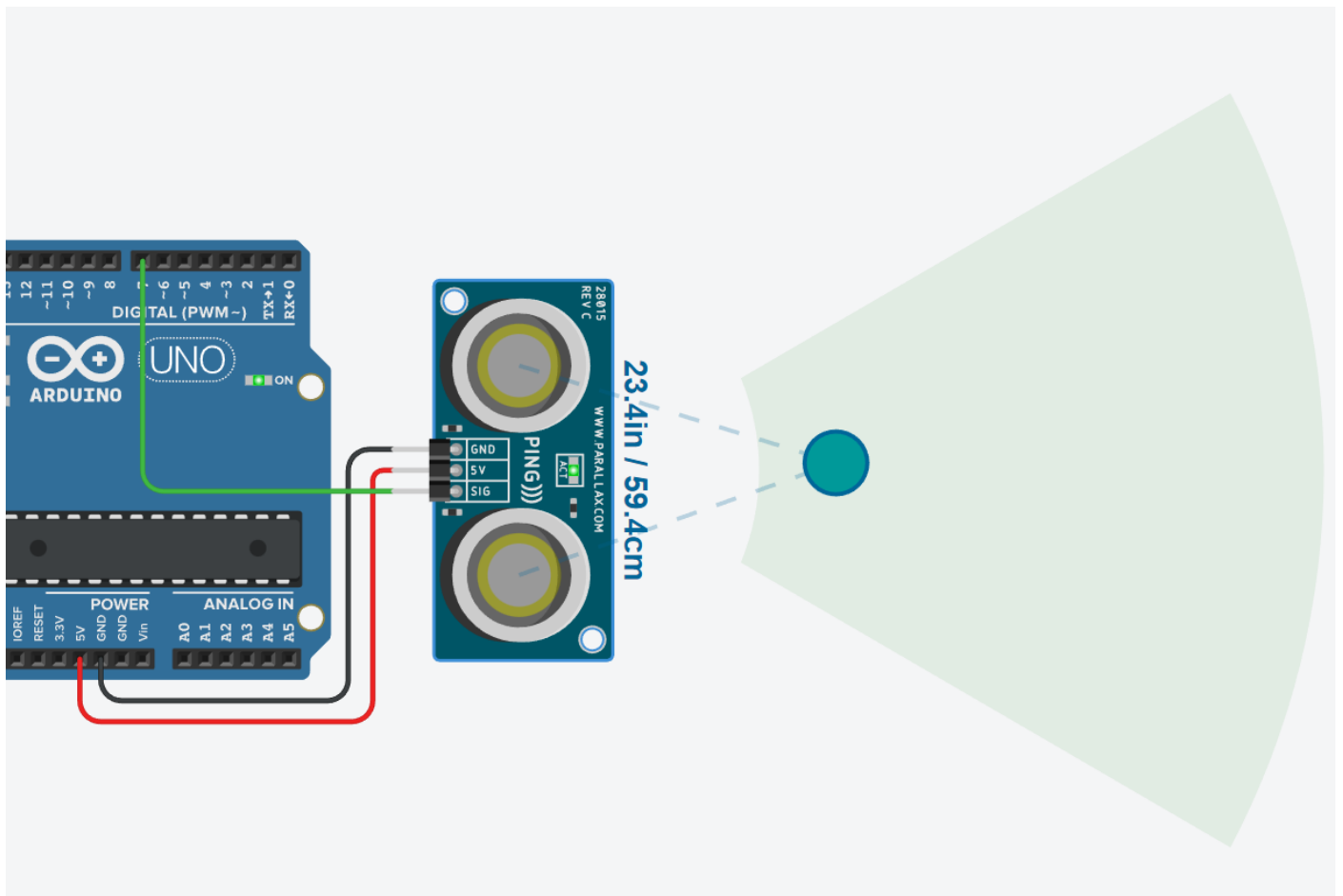


## SISTEMA CONTA PEZZI CON SENSORE ULTRASUONI

Realizzare un sistema “conta pezzi” che passano di fronte a un sensore ad ultrasuoni (es. nastro trasportatore).



### Schema Arduino con sensore Parallax



## CODICE

```
int state= 0;    // pezzo non presente
int laststate=0; // pezzo non presente
int counter= 0; // numero di pezzi passati
int cm = 0;     // distanza sotto la quale si considera pezzo presente

void setup()
{
  pinMode(7, INPUT); // sensore ultrasuoni
  Serial.begin(9600);
}

void loop()
{
  // rilevo fronte di discesa segnale sensore
  if (state==1 && laststate==0) {
    counter++;
    Serial.print(counter);
    Serial.println(" pezzi");
  }
  laststate = state; // aggiorno ultimo stato

  // measure the ping time in cm
  cm = 0.01723 * readUltrasonicDistance(7, 7);
  delay(10); // Wait for 100 millisecond(s)
  if (cm <=100) { state= 1; } else { state= 0; }
}

long readUltrasonicDistance(int triggerPin, int echoPin)
{
  pinMode(triggerPin, OUTPUT); // Clear the trigger
  digitalWrite(triggerPin, LOW);
  delayMicroseconds(2);
  // Sets the trigger pin to HIGH state for 10 microseconds
  digitalWrite(triggerPin, HIGH);
  delayMicroseconds(10);
  digitalWrite(triggerPin, LOW);
  pinMode(echoPin, INPUT);
  // Reads the echo pin, and returns the sound wave travel time in microseconds
  return pulseIn(echoPin, HIGH);
}
```



# ATTUATORI

In ingegneria, gli attuatori sono capaci di trasformare un segnale di input (normalmente elettrico) in movimento, come esempi di attuatori sono i motori elettrici, pistoni idraulici, relè, polimeri elettroattivi, attuatori piezoelettrici, ecc.

I motori sono usati soprattutto quando si richiedono movimenti circolari, ma possono essere impiegati per applicazioni lineari trasformando un movimento da circolare a lineare utilizzando un trasduttore a vite senza fine. D'altra parte, alcuni attuatori, come quelli piezoelettrici, sono intrinsecamente lineari.



Attuatori lineari ibridi

## MOTORE IN CORRENTE CONTINUA (C.C.)

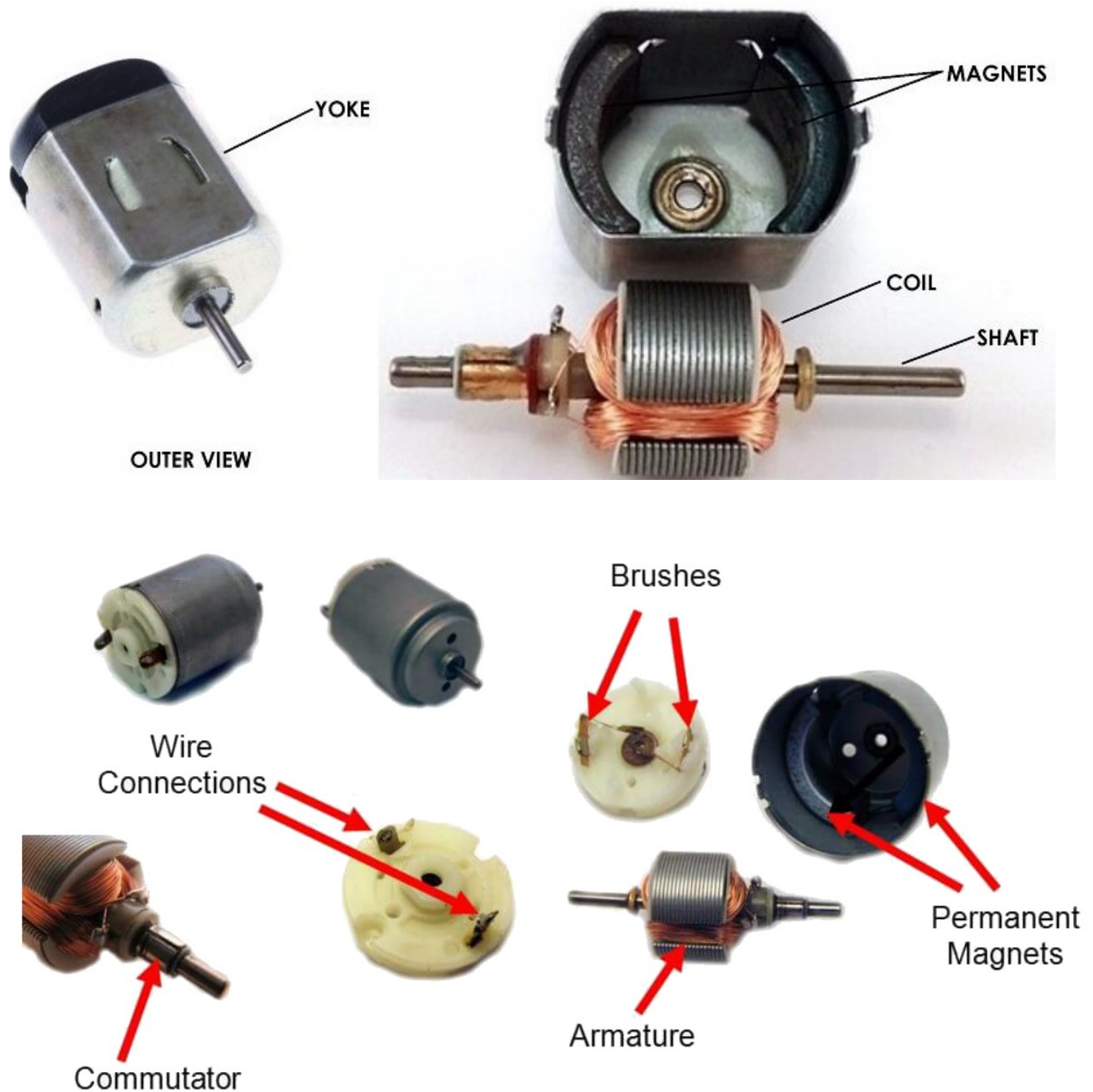
Un motore in corrente continua (CC) è una macchina elettrica che converte l'energia elettrica ( $V, I$ ) in energia meccanica (coppia motrice,  $n^\circ$  giri).

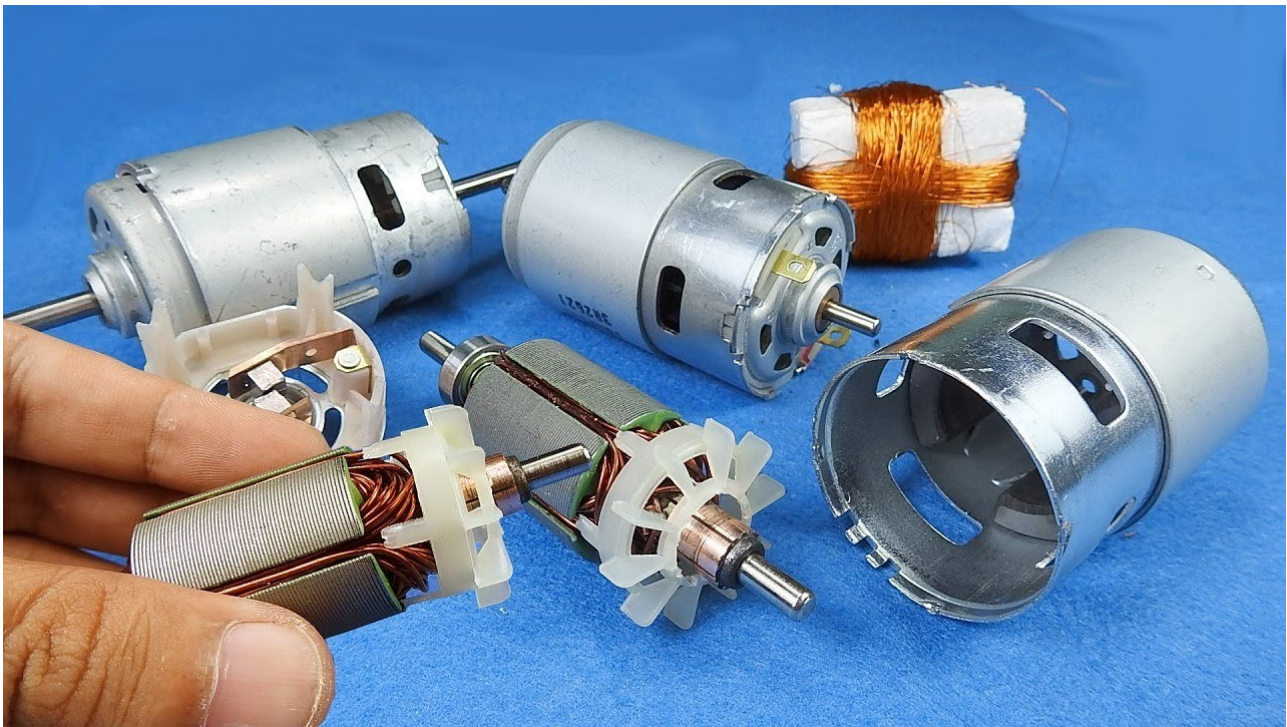
Il motore DC funziona grazie all'interazione tra un campo magnetico generato dallo statore e una corrente che attraversa gli avvolgimenti del rotore. Questa interazione produce una coppia che mette in rotazione l'albero del motore.

Il collettore (commutatore) e le spazzole permettono di mantenere la rotazione continua nel medesimo verso.

Applicando la massima tensione per cui il motore è stato progettato si otterrà la massima velocità.

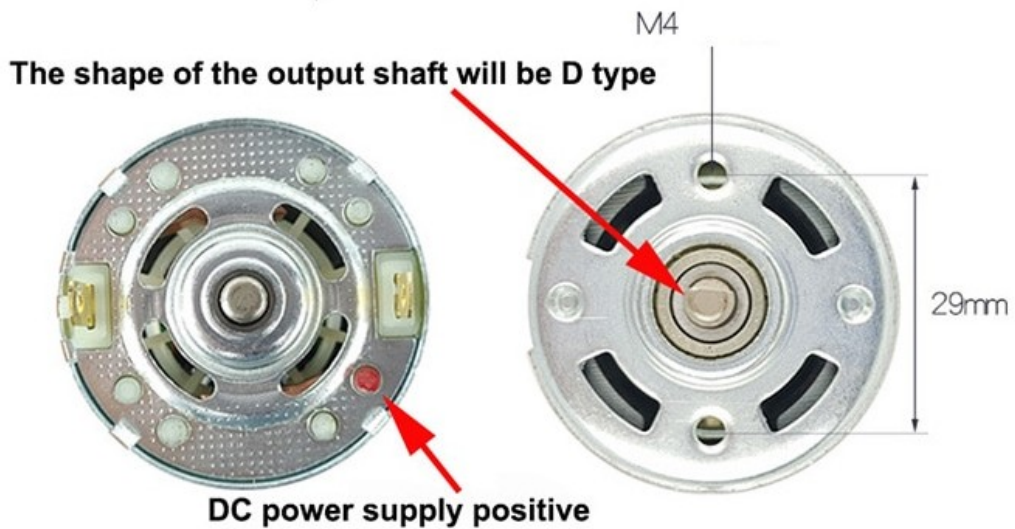
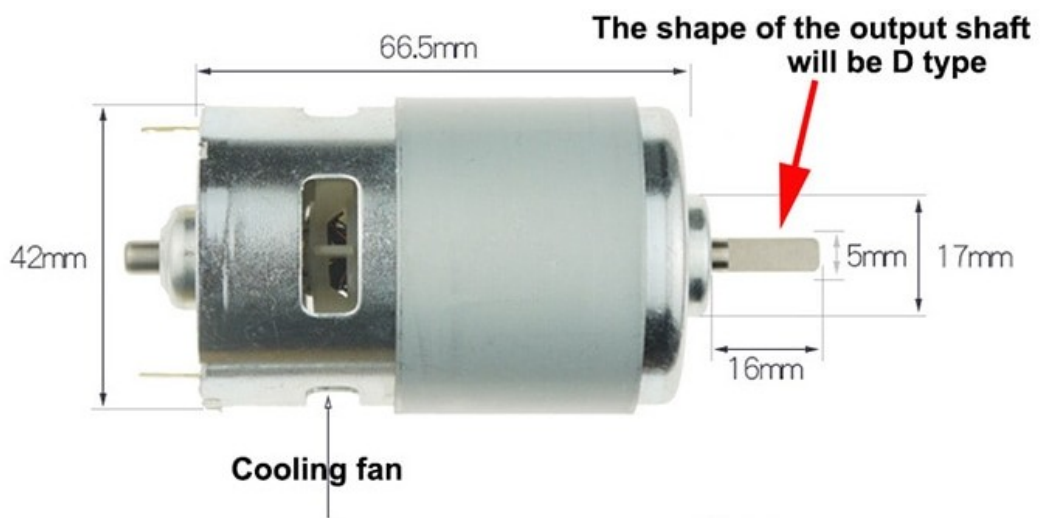
Diminuendo la tensione applicata il numero di giri calerà di conseguenza (in generale insieme alla coppia motrice).





<https://www.youtube.com/watch?v=peGZkxushel>

775 D SHAFT



**Statore (Magneti):** Parte fissa del motore che genera il campo magnetico necessario.

**Rotore (Armatura):** Parte rotante costituita da avvolgimenti di rame su un nucleo ferromagnetico.

**Albero:** Asse collegato al rotore che trasmette il movimento meccanico all'esterno.

**Cuscinetti:** Supporti che permettono la rotazione fluida dell'albero riducendo l'attrito.

**Carcassa:** Struttura esterna che protegge il motore e contribuisce alla dissipazione del calore.

**Collettore (Commutatore):** Cilindro a lamelle di rame collegato agli avvolgimenti, permette di invertire la corrente nei giusti momenti.

**Spazzole:** Contatti striscianti in grafite che trasferiscono corrente al rotore tramite il commutatore.

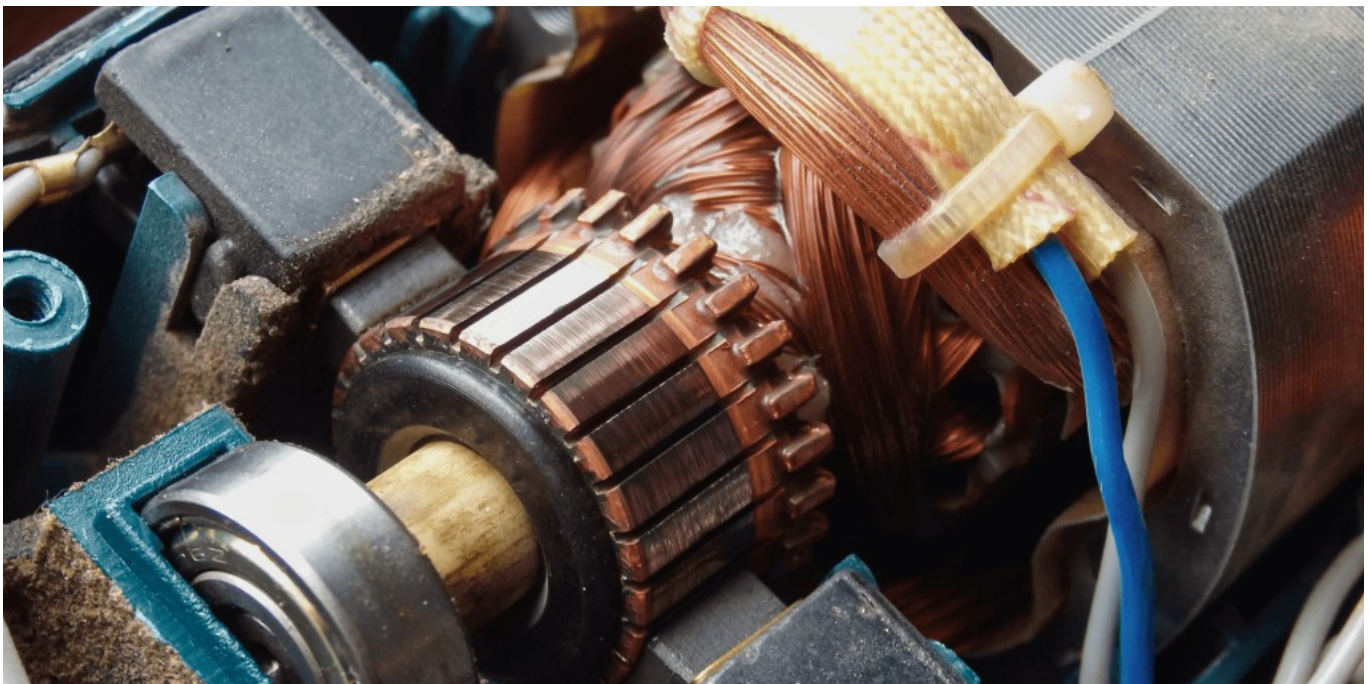
### L'importanza delle spazzole

Il commutatore (o collettore) è un cilindro formato da lamelle di rame montato sull'albero del rotore.

Le spazzole sono blocchetti di grafite premuti contro la superficie del commutatore.

Quando il rotore gira:

- le spazzole restano ferme (e nel tempo si usurano e andranno sostituite)
- il commutatore solidale all'asse gira sotto di esse
- il contatto tra i due porta la corrente a vari avvolgimenti del rotore in modo da farlo ruotare .

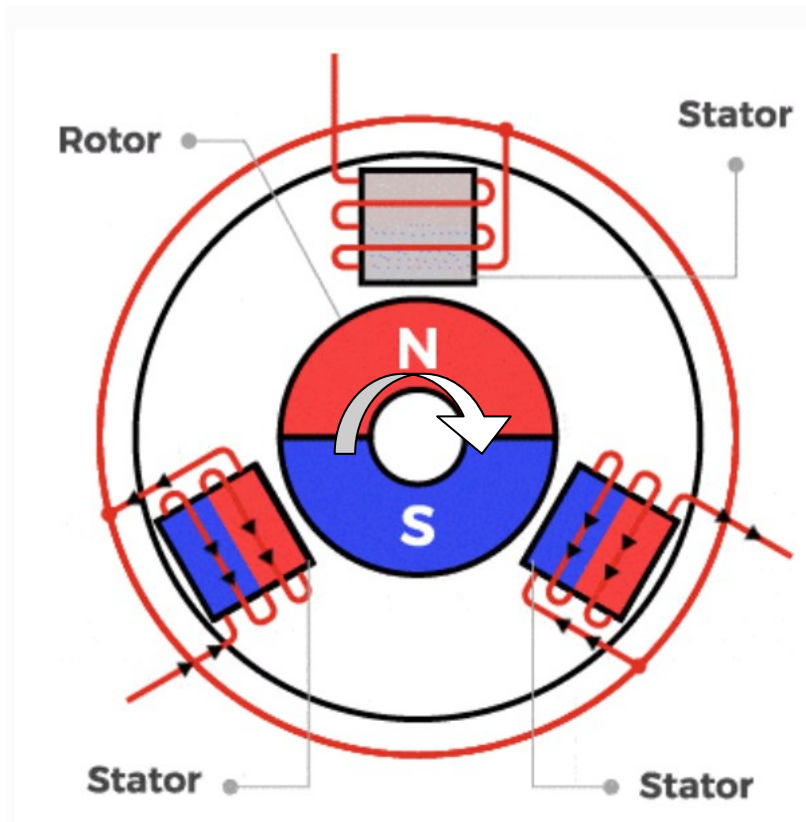


### Spazzole in carbone

Le spazzole in carbone sono le più utilizzate per le loro proprietà autolubrificanti, conduttività elettrica e resistenza alle alte temperature. Queste spazzole sono in grado di resistere all'elevato calore prodotto nei motori, il che le rende utili per applicazioni ad alta velocità o con carico elevato. Il loro principale svantaggio è che possono produrre più rumore e scintille rispetto alle altre tipologie.

## MOTORI CC SENZA SPAZZOLE BLDC (BRUSHLESS )

Nei motori brushless al posto delle spazzole si impiega una diversa forma di commutazione basata sull'elettronica (controller elettronico ESC) che permette di commutare il campo magnetico che interagisce con quello del rotore costituito da magneti permanenti. Gli avvolgimenti vengono posizionati sullo statore e non sullo statore come nel motore a spazzole.



### PARTI FONDAMENTALI DEL MOTORE BLDC

**Statore:** è la parte fissa con avvolgimenti a bobina; la figura presenta tre avvolgimenti statorici collegati a stella, distribuiti lungo la circonferenza dello statore per formare poli magnetici distribuiti uniformemente.

**Rotore:** è costituito da magneti permanenti, in genere si va da 2 a 8 poli magnetici, alternati tra poli nord e sud.

### FUNZIONAMENTO DEL MOTORE BRUSHLESS

Se al motore viene applicata una corrente continua fissa, questo genererà solo un campo magnetico costante e non potrà ruotare.

Sequenziando opportunamente l'alimentazione delle fasi dello statore (bobine), si genera un campo magnetico rotante.

I poli magnetici del rotore seguono il campo magnetico rotante dello statore in modo ordinato, ottenendo così la rotazione dell'albero motore.

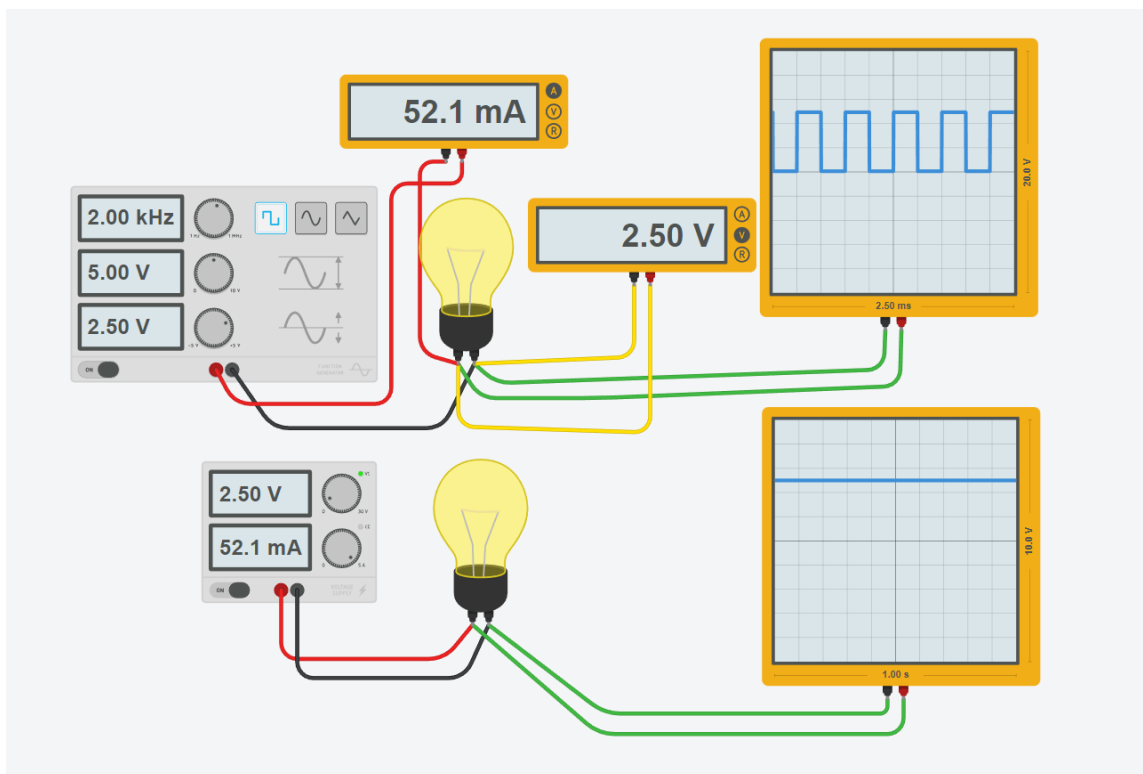
## PWM (PULSE WIDE MODULATION): MODULAZIONE DI LARGHEZZA D'IMPULSO

Un microcontrollore come Arduino non è in grado di generare un segnale analogico di tensione.

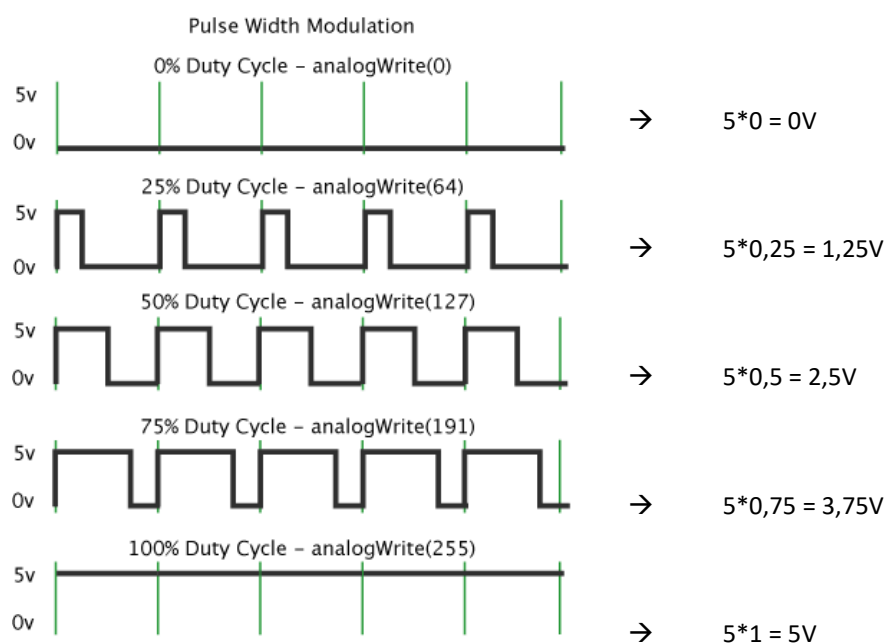
Tuttavia utilizzando la PWM è in grado di generare un'onda quadra ad **alta frequenza** modulata in ampiezza che viene percepita dalla maggior parte degli utilizzatori (resistenze, lampadine, motori CC) come una tensione continua.

Il circuito sottostante mostra l'effetto di una tensione periodica a 2kHz a onda quadra di ampiezza 5V e duty cycle del 50% (frazione di tempo in cui l'onda è allo stato attivo in proporzione al periodo totale).

Si nota, dalla tensione media e dalla corrente assorbita, che l'effetto sulla lampada è lo stesso generato dall'alimentazione a CC a 2.5V.



Con Arduino si può generare un segnale PWM a 8 bit (255 combinazioni) da 0 a 5V (risoluzione =  $5/255=0.196V$ ).



La regolazione della velocità del motore DC può ottenuta variando linearmente la tensione di alimentazione del motore. Si fornisce così una corrente continua e costante. La coppia motrice del motore (caso ideale) è data dalla relazione:

$$C_m = K_t * I \text{ (Nm)}$$

dove  $k_t$ =costante di coppia del motore e  $I$  è la corrente che attraversa gli avvolgimenti del motore.

Si evince che riducendo la tensione, cala proporzionalmente la corrente ( $I=V/R$ ) e quindi cala anche la coppia motrice  $C_m$ .

Con la tecnica PWM invece vengono forniti al motore degli impulsi di corrente il cui valore medio (se la frequenza degli impulsi è sufficientemente alta rispetto all'induttanza del motore) è circa pari a quella massima.

Ciò consente di mantenere alta la  $C_m$  del motore anche ad un regime di rotazione inferiore rispetto a quello nominale.

## PROBLEMI NELLA REGOLAZIONE PWM DI UN MOTORE DC

Se utilizzando la PWM con un motore DC si nota una riduzione della  $C_m$  allora le ragioni possono essere le seguenti:

### 1-Assenza del Diodo di Ricircolo (Flyback Diode)

Questa è la causa più comune. Un motore CC è un carico induttivo. Quando il MOSFET "stacca" (fase OFF del PWM), l'energia immagazzinata nel campo magnetico del motore deve andare da qualche parte.

**Senza diodo:** La corrente si interrompe bruscamente. L'energia viene dissipata sotto forma di picchi di alta tensione (che possono danneggiare il MOSFET) e la corrente media crolla.

**Con diodo:** Durante la fase OFF, il diodo permette alla corrente di continuare a circolare nel motore (fase di "freewheeling"). Questo mantiene la corrente più costante e, dato che la coppia è proporzionale alla corrente, la forza del motore rimane alta.

### 2- MOSFET non completamente "aperto" (Saturazione)

Arduino lavora a 5V (o 3.3V). Molti MOSFET di potenza comuni (come l'IRFZ44N) non sono "Logic Level": hanno bisogno di 10V sulla Gate per aprirsi completamente.

Se si usa un MOSFET standard con i 5V di Arduino, il componente oppone una resistenza elevata  $R_{DS(on)}$ . Invece di comportarsi come un interruttore perfetto, si comporta come una resistenza, scaldando molto e facendo cadere la tensione destinata al motore.

Soluzione: Usare un MOSFET Logic Level (es. serie IRL, come l'IRLZ44N).

### 3-Caduta di tensione dell'alimentatore

I motori della serie 775 hanno correnti di spunto (stallo) molto elevate, spesso superiori ai 10-20A.

Quando il PWM è al 50%, chiedi all'alimentatore di fornire la massima corrente in impulsi brevissimi.

Se l'alimentatore non ha condensatori di filtro adeguati o non è abbastanza potente, la tensione "siede" (crolla) durante l'impulso ON, riducendo la forza effettiva rispetto a una tensione continua stabilizzata.

#### 4-Frequenza del PWM troppo bassa

Quando la frequenza è molto bassa (ad esempio sotto i 50-100 Hz), i cicli di ON e OFF sono così lunghi che il motore ha il tempo di accorgersene.

Durante la fase di ON, il motore accelera bruscamente; durante la fase di OFF, inizia a rallentare per l'attrito e il carico.

Risultato sulla coppia: non abbiamo una spinta fluida, ma una serie di impulsi.

Questo genera il cosiddetto Torque Ripple (ondulazione della coppia).

Si sente il motore vibrare o "grattare" e si perde efficienza perché molta energia viene sprecata in vibrazioni meccaniche e calore anziché in rotazione.

#### 5- Frequenza del PWM troppo alta

Qui entra in gioco la fisica del motore. Un motore 775 ad esempio è essenzialmente una grossa bobina di filo (un induttore).

Gli induttori si oppongono alle variazioni rapide di corrente. La corrente in un induttore non arriva istantaneamente al massimo, ma segue una curva di crescita determinata dalla formula della costante di tempo:

$\tau = L/R$  dove L è l'induttanza e R è la resistenza del motore.

Se la frequenza PWM è troppo alta, il tempo in cui il MOSFET resta "acceso" è più breve del tempo necessario alla corrente per salire a un livello utile.

Conseguenza sulla coppia:

La corrente viene tagliata quando è ancora molto bassa. Il motore non riceve mai abbastanza corrente per generare la coppia nominale.

Per un motore DC 775, la frequenza ideale deve essere un compromesso:

- Sopra i 20 Hz per evitare vibrazioni meccaniche macroscopiche.
- Sopra i 18-20 kHz se vuoi eliminare il fischio udibile dall'orecchio umano (ma qui serve un driver MOSFET serio, non un optoisolatore economico).
- Tra 500 Hz e 4 kHz è solitamente il "punto dolce" per i moduli tipo il tuo: abbastanza veloce da rendere il movimento fluido, abbastanza lenta da permettere all'optoisolatore di commutare bene e alla corrente di salire negli avvolgimenti.

#### 6- Moduli mosfet optoisolati o troppo lenti

Se si utilizzano dei moduli mosfet è necessario verificare il tempo di risposta del modulo. Con un modulo YNMOS a 4 mosfet ad esempio non si riesce a regolare correttamente la velocità di un motore poiché il modulo è dotato di optoisolatori (sistemi di protezione per separare elettricamente Arduino dal circuito di potenza) che riducono il tempo di risposta dei mosfet.

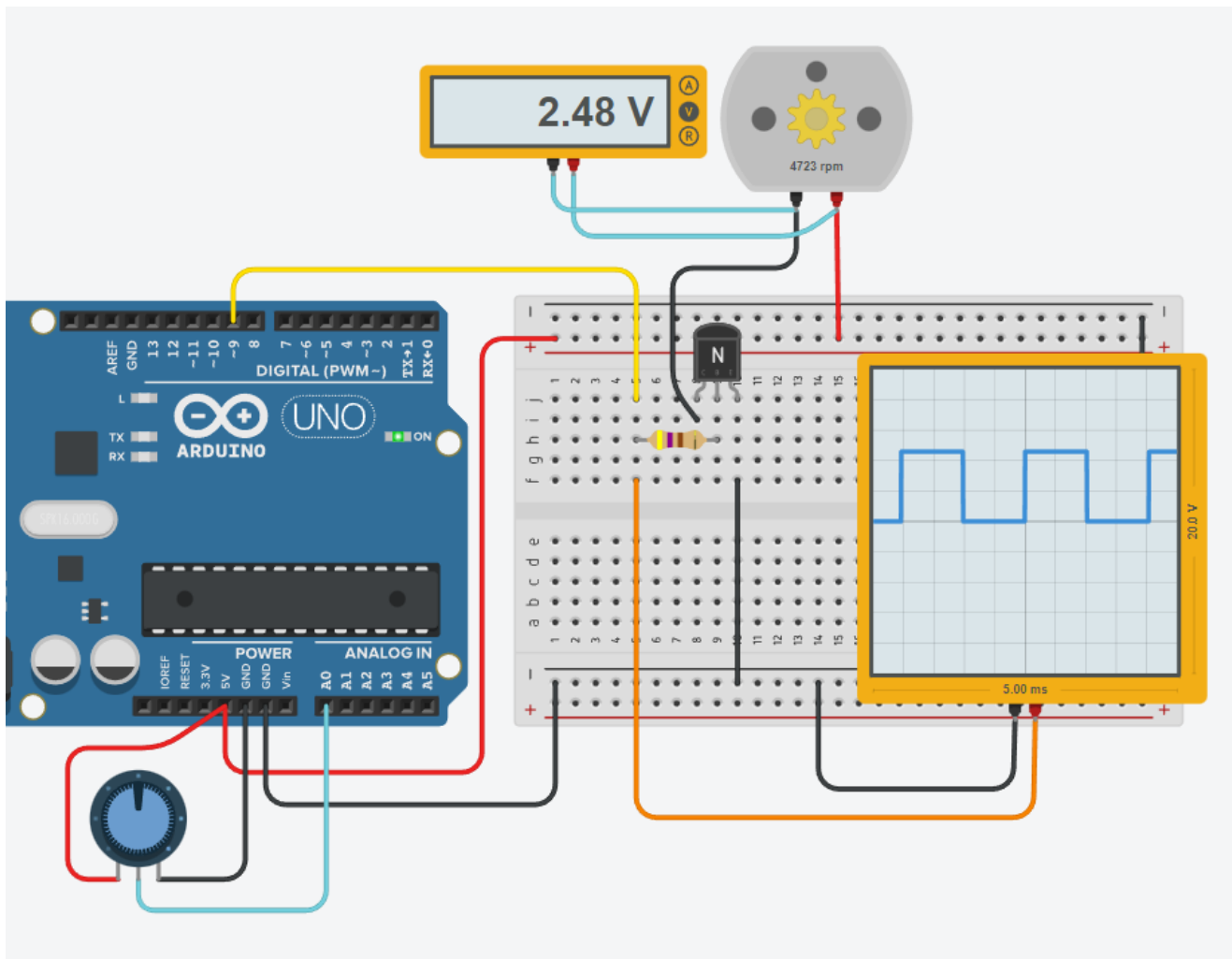
Il segnale che arriva ai transistor al posto di un onda quadra perfetta diventa "smussata" o trapezoidale e il MOSFET rimane bloccato in una "via di mezzo" (regione lineare).

Il MOSFET passa molto più tempo nella **zona lineare** (dove si comporta come una resistenza) invece di essere o tutto aperto o tutto chiuso. Questo sottrae energia al motore e la trasforma in calore sul modulo.

## ESERCIZIO PWM MOTORE CC

Regolare la velocità di rotazione del motore mediante un potenziometro e la tecnica PWM.

*NB: ai capi di un motore va sempre messo un diodo di protezione del transistor di comando (anodo sul +) che è stato omesso per semplificare lo schema.*



Il motore DC non può essere alimentato direttamente da un PIN di Arduino poiché la corrente richiesta dal motore è superiore a quella fornita da un PIN. Se la corrente richiesta dal motore è di poche centinaia di mA si può usare l'uscita 5V di Arduino. Se si usa un alimentatore dedicato è necessario mettere la massa in comune con quella di Arduino per garantire il corretto funzionamento (serve lo stesso riferimento per la massa).

La regolazione della velocità del motore DC si effettua in 2 modi:

- regolando la tensione a capi del motore (ad esempio con un potenziometro)
- regolando il tempo (PWM) in cui la tensione massima di alimentazione del motore viene applicata ai suoi capi

**Il 2° metodo permette di regolare la velocità mantenendo anche la coppia motrice sempre elevata mentre nel 1° modo la coppia cala proporzionalmente alla tensione applicata.**

Per fornire una corrente sufficiente al motore è necessario utilizzare un amplificatore (transistor) comandato in PWM da un PIN di Arduino.

L'oscilloscopio permette di visualizzare il segnale di regolazione PWM (0-5V) generato da un PIN di Arduino.

## **CODICE**

```
int motorPin = 9; // PWM
int potPin = A0; // POTENTIOMETER
int potValue = 0;

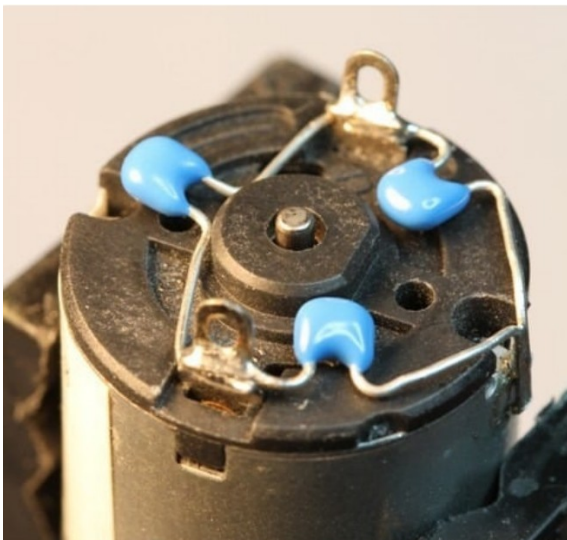
void setup()
{
  pinMode(potPin, INPUT);
  pinMode(motorPin, OUTPUT);
  Serial.begin(9600);
}

void loop()
{
  // read the value from the sensor
  if (analogRead(potPin) != potValue)
  {
    potValue = analogRead(potPin);
    analogWrite(motorPin, potValue/4);
    Serial.println(potValue);
  }
  delay(20); // Wait for 20ms
}
```

## **DISTURBI ELETTROMAGNETICI NEI MOTORI CC A SPAZZOLE**

Molti piccoli motori a corrente continua presentano un forte "rumore di spazzola". Questo si ripercuote sui circuiti di Arduino e ne causa un funzionamento instabile. Questo problema può essere risolto saldando al motore alcuni condensatori ceramici antirumore da 0,1  $\mu$ F.

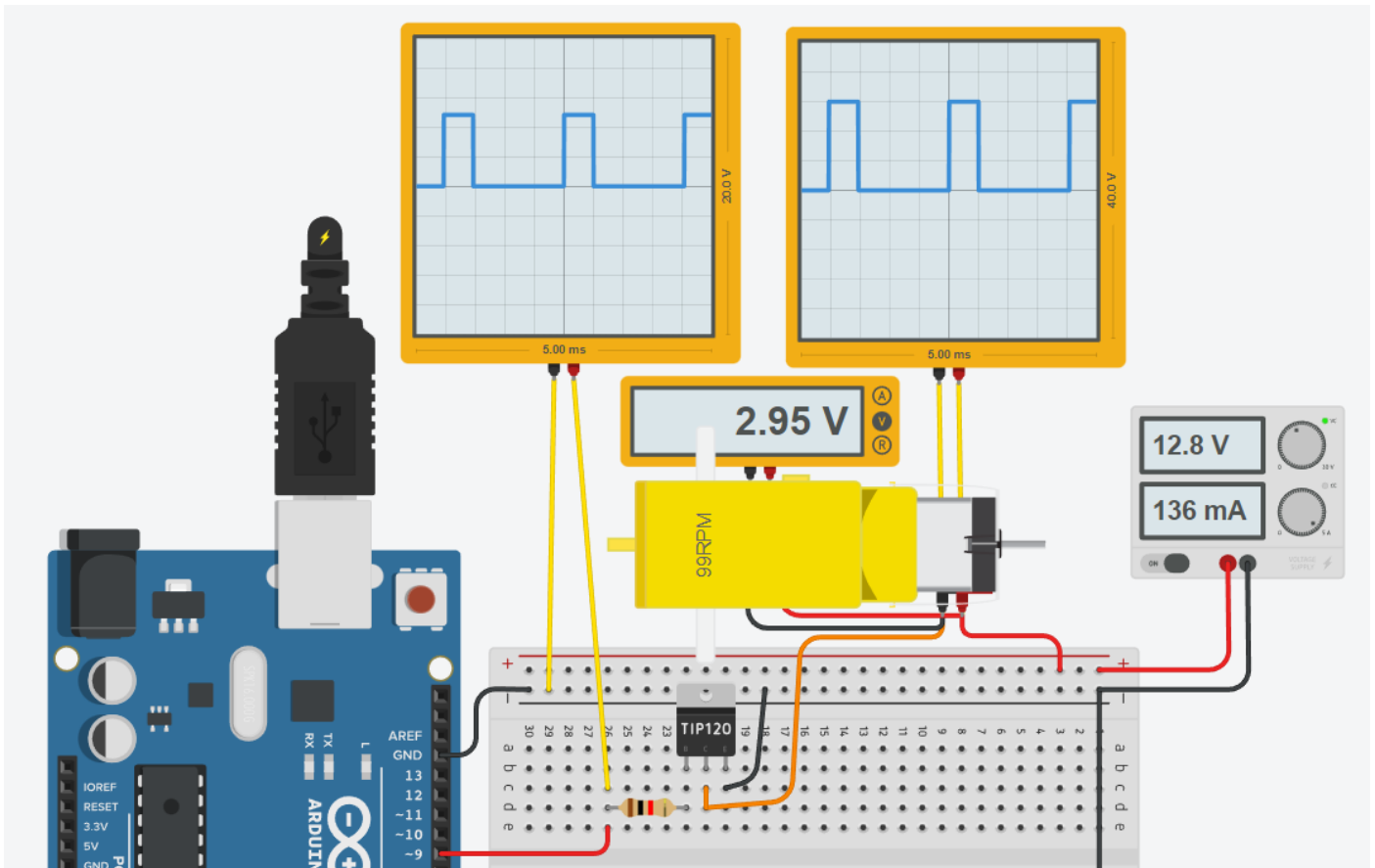
Ne serviranno 3 in totale: 1 tra i terminali del motore e 1 da ciascun terminale alla carcassa del motore.



## ESERCIZIO RICAVARE LA CURVA “V- N°” E “V-POT.” DEL MOTORE C.C. A 12V ASSEGNATO

Per ricavare la curva “V-n°” e “V-Pot.” del motore si utilizza la tecnica PWM facendo variare la tensione sul motore da 0 a 12V con passo 1 volt e leggendo il numero di giri sul corpo del motore.

Tramite la tabella in EXCEL disegnare i grafici x-y.



*Nota: la tensione dell'alimentatore deve essere 12.8V per compensare la Vce del transistor.*

### Codice

```
#define DC_MOTOR_PIN 9

void setup() {
  pinMode( DC_MOTOR_PIN, OUTPUT );
}

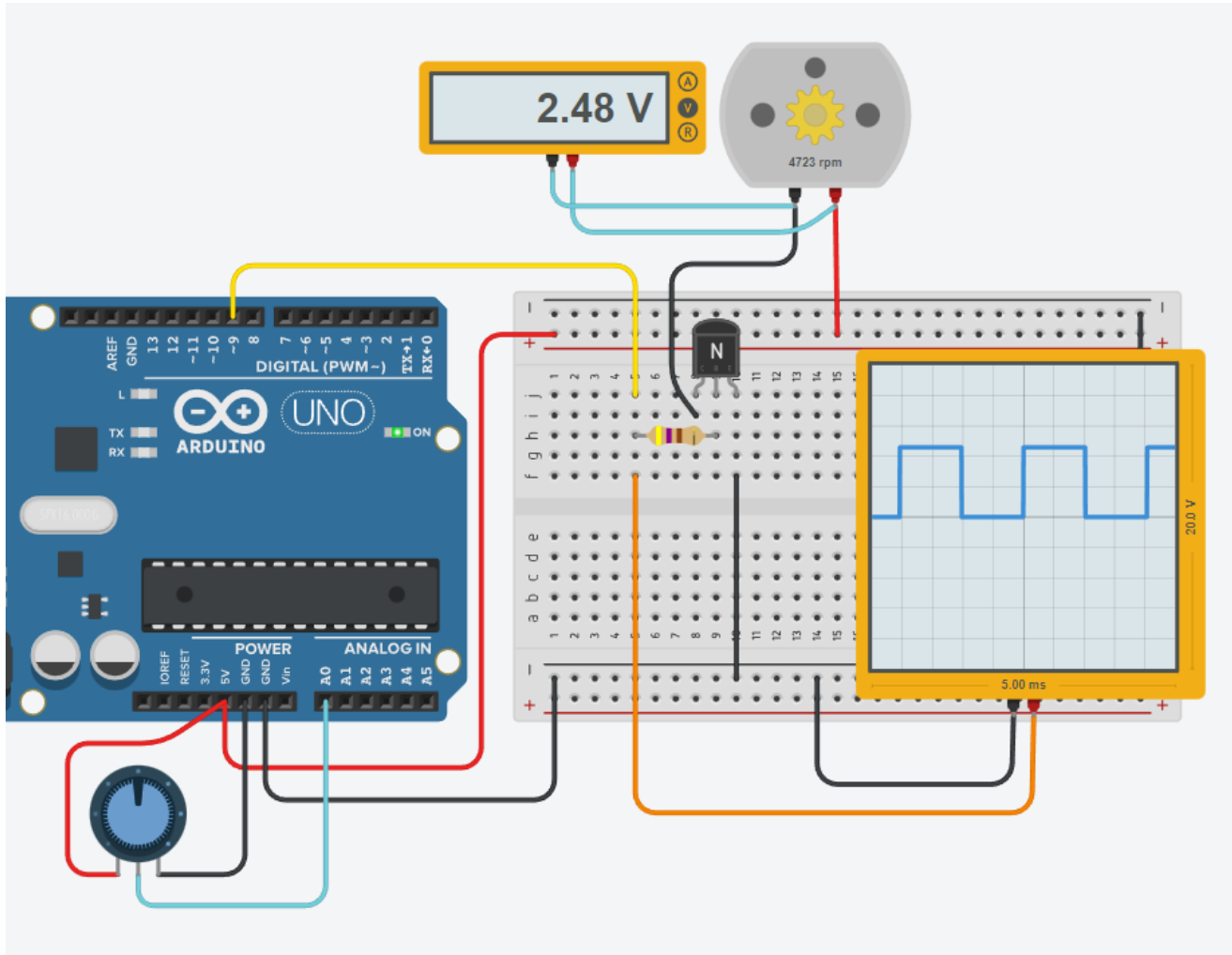
void loop() {
  // Faccio varia tensione 0->12V passo 1v
  for( int i = 1; i <= 12; i=i+1){
    analogWrite(DC_MOTOR_PIN, int(255*i/12));
    delay(1000);
  }
}
```

Tensione	N° giri/min	I (mA)	Pot. (W)
1			
2			
3			
4			
5			
6			
7			
8			
9			
10			
11			
12			

## ESERCIZIO PWM MOTORE CC + COMANDI SU SERIALE

Regolare la velocità di rotazione del motore con un comando inviato tramite il monitor seriale.  
I comandi da inviare sulla seriale sono numeri compresi tra 0 e 100 (0 → 100% della velocità massima).

*NB: ai capi di un motore va sempre messo un diodo di protezione del transistor di comando (anodo sul +) che è stato omesso per semplificare lo schema.*



### CODICE PER RILEVARE NUMERI SULLA SERIALE

```
if (Serial.available() > 0)
{
  Int numeroSeriale = Serial.parseInt(); // converte in un numero i caratteri ricevuti sulla porta seriale
  Serial.println(numeroSeriale);

  if (numeroSeriale == 0) {
    Serial.println(numeroSeriale);
  }
  else if (numero Seriale==100) {
    Serial.println(numeroSeriale);
  }
  else {
    Serial.println("non valido");
  }
}
```

## CODICE

```
int motorPin = 9; // PWM
int potPin = A0; // POTENTIOMETER
int potValue = 0;
int numeroSeriale; // variabile che contiene i dati ricevuti sulla seriale

void setup()
{
  pinMode(potPin, INPUT);
  pinMode(motorPin, OUTPUT);
  Serial.begin(9600);
}

void loop()
{
  //SERIALE: controllo se ci sono dati ...
  if (Serial.available() > 0)
  {
    numeroSeriale = Serial.parseInt(); // converte in un numero i caratteri ricevuti sulla porta seriale
    Serial.println(numeroSeriale);

    if (numeroSeriale >=0 && numeroSeriale <=100)
    {
      int speed = numeroSeriale * 255 / 100; // converte 0-100 in 0-255
      Serial.println(speed);
      analogWrite(motorPin, speed);
    }
  }

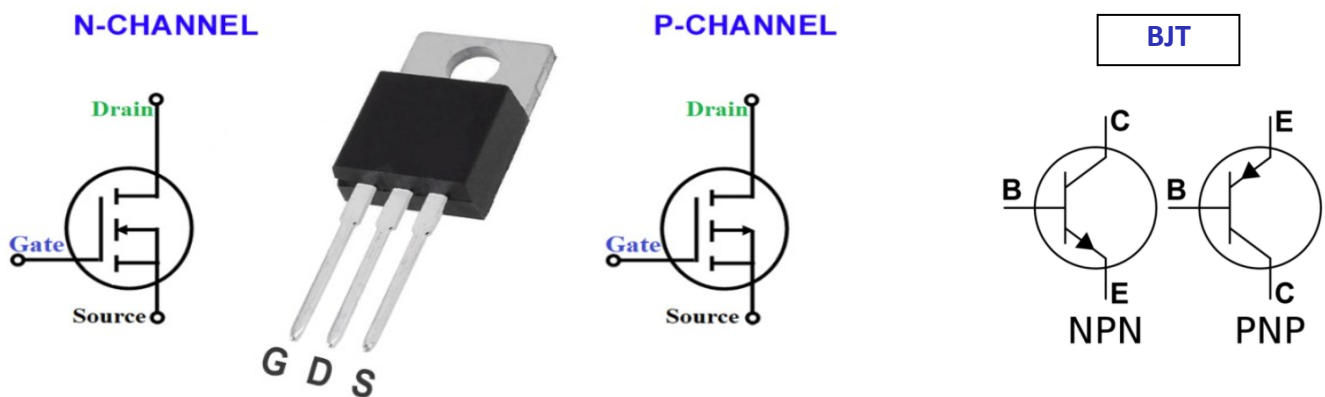
  // read the value from the sensor
  if (analogRead(potPin) != potValue)
  {
    potValue = analogRead(potPin);
    analogWrite(motorPin, potValue/4);
    Serial.println(potValue);
  }

  delay(20); // Wait for 20ms
}
```

## CONTROLLO VELOCITÀ MOTORE CC IN PWM CON MOSFET

Il MOSFET (Metal-Oxide-Semiconductor Field-Effect Transistor) è un tipo di transistor a effetto di campo ampiamente utilizzato nei circuiti elettronici. Funziona come un elemento controllato in tensione e viene utilizzato per scopi di commutazione o amplificazione del segnale.

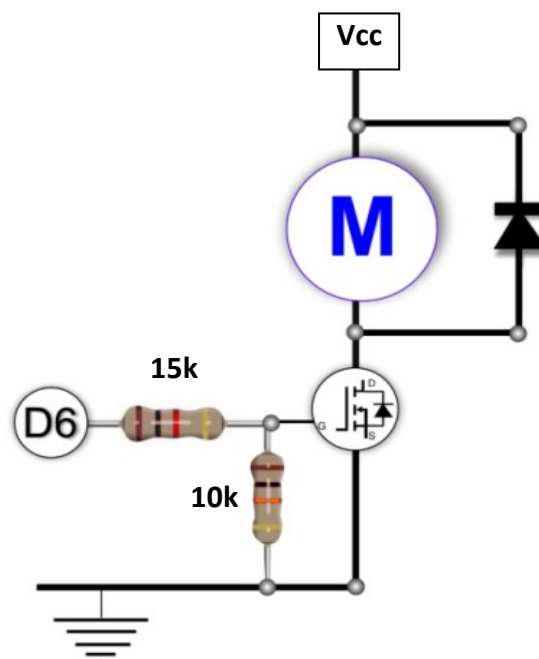
Il MOSFET è uno dei componenti fondamentali dell'elettronica moderna. In generale è più efficiente e veloce rispetto ai BJT.



Caratteristiche principali:

- È controllato dalla tensione applicata al GATE (i BJT sono controllati dalla corrente di base  $I_b$ ).
- Ha un'elevata impedenza di ingresso (dissipano pochissima potenza).
- Hanno velocità di commutazione elevata (spesso utilizzata nei circuiti digitali).
- Quando una tensione viene applicata al GATE, la corrente può scorrere tra il DRAIN e il SOURCE.

La figura sottostante mostra il tipico collegamento equivalente alla configurazione ad emettitore comune del BJT NPN.



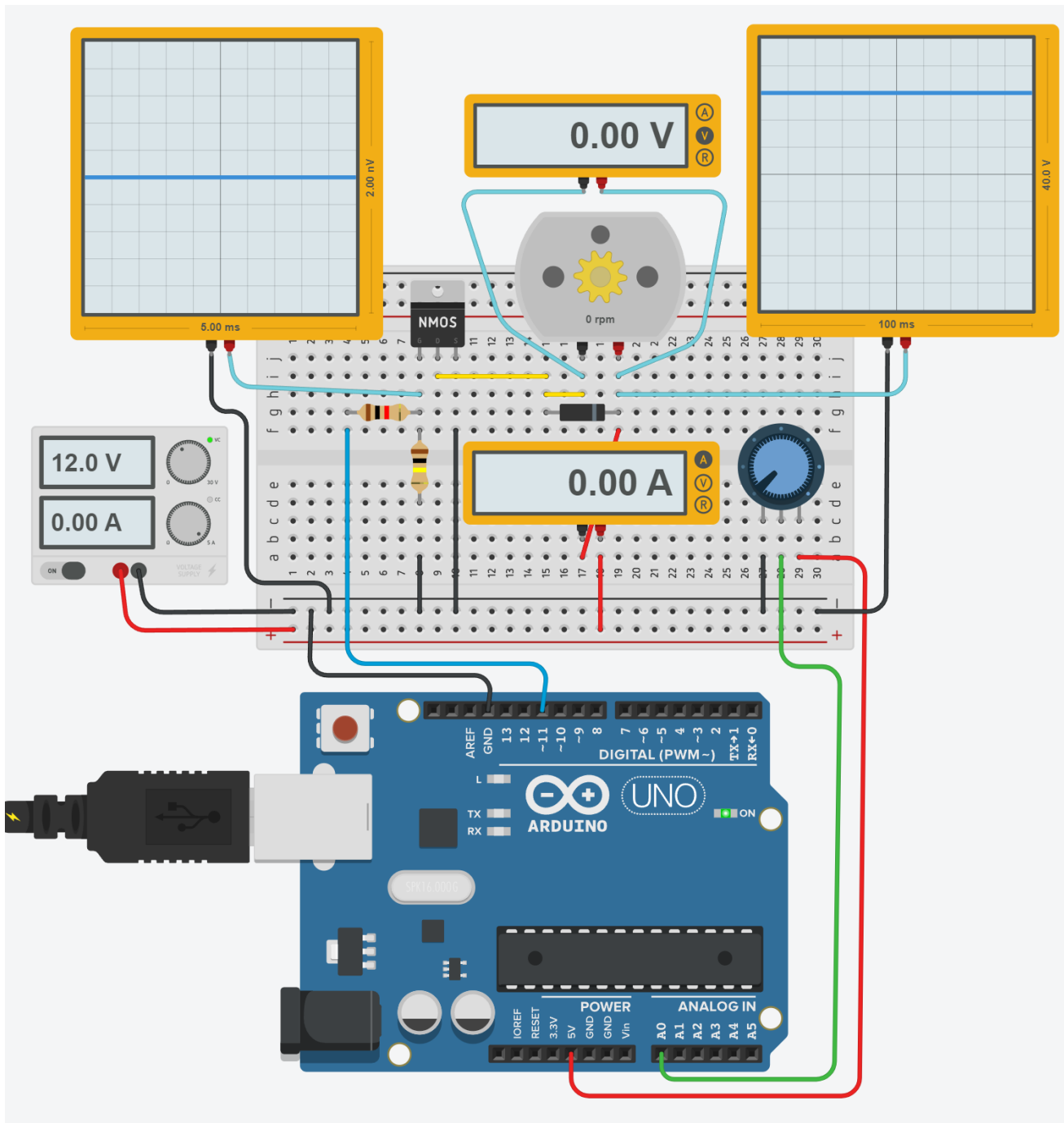
Il Mosfet **IR520** è un tipico Mosfet a canale N che può pilotare un carico da 10 A alla tensione di 100 Volt.

Il GATE è disaccoppiato con un condensatore all'interno del Mosfet e può essere collegato direttamente all'uscita di un micro.

Per sicurezza comunque conviene interporre una resistenza da 15 k per proteggere l'uscita logica di Arduino.

La resistenza da 10 k il GATE del transistor e la MASSA, stabilizza il controllo della base del transistor contro i rumori elettromagnetici.

Il circuito di figura mostra come regolare la velocità del un motore CC in PWM tramite un transistor mosfet.  
 In ingresso al motore è collegato un AMPEROMETRO per visualizzare la corrente che scorre nel DRAIN mentre ai campi del motore è collegato un voltmetro per visualizzare la tensione ai capi del motore.  
 Quando al GATE vengono applicati 0V (massa) il motore è fermo poiché il mosfet si comporta come un interruttore aperto.

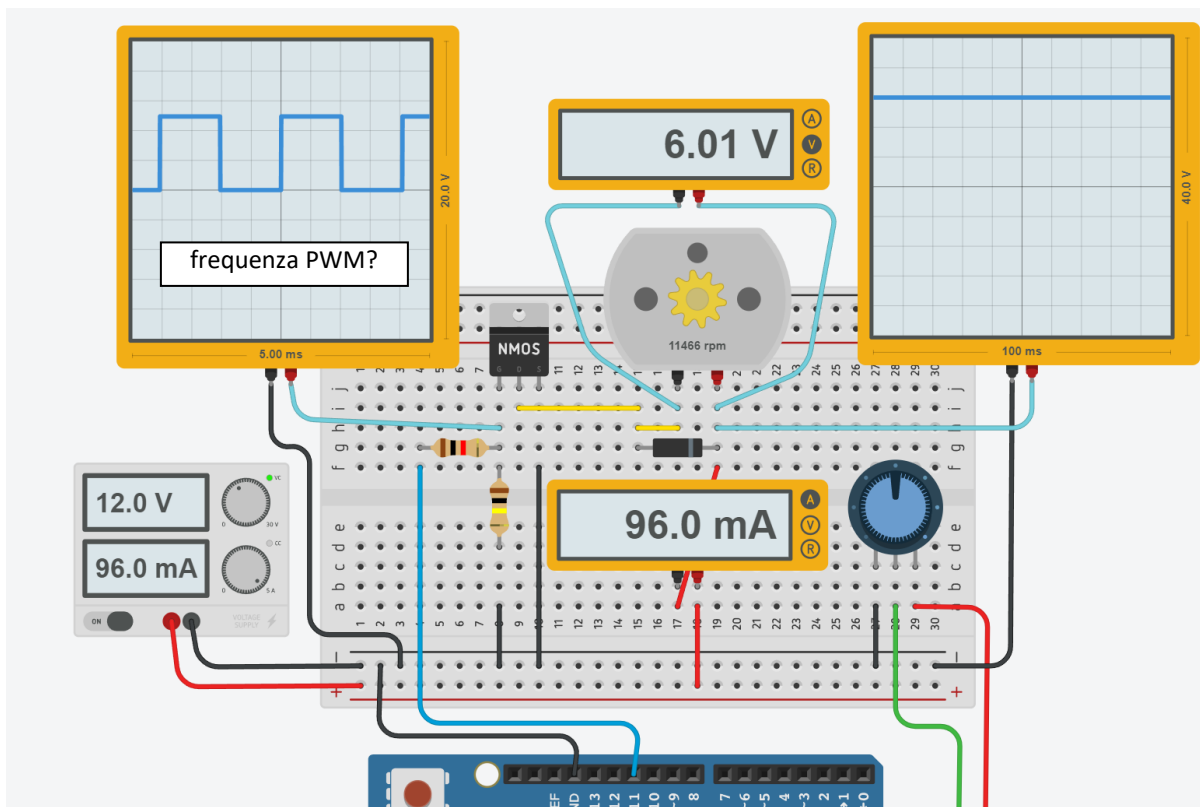


```
const int MOTOR_PIN = 11;
const int POT_PIN = A0;

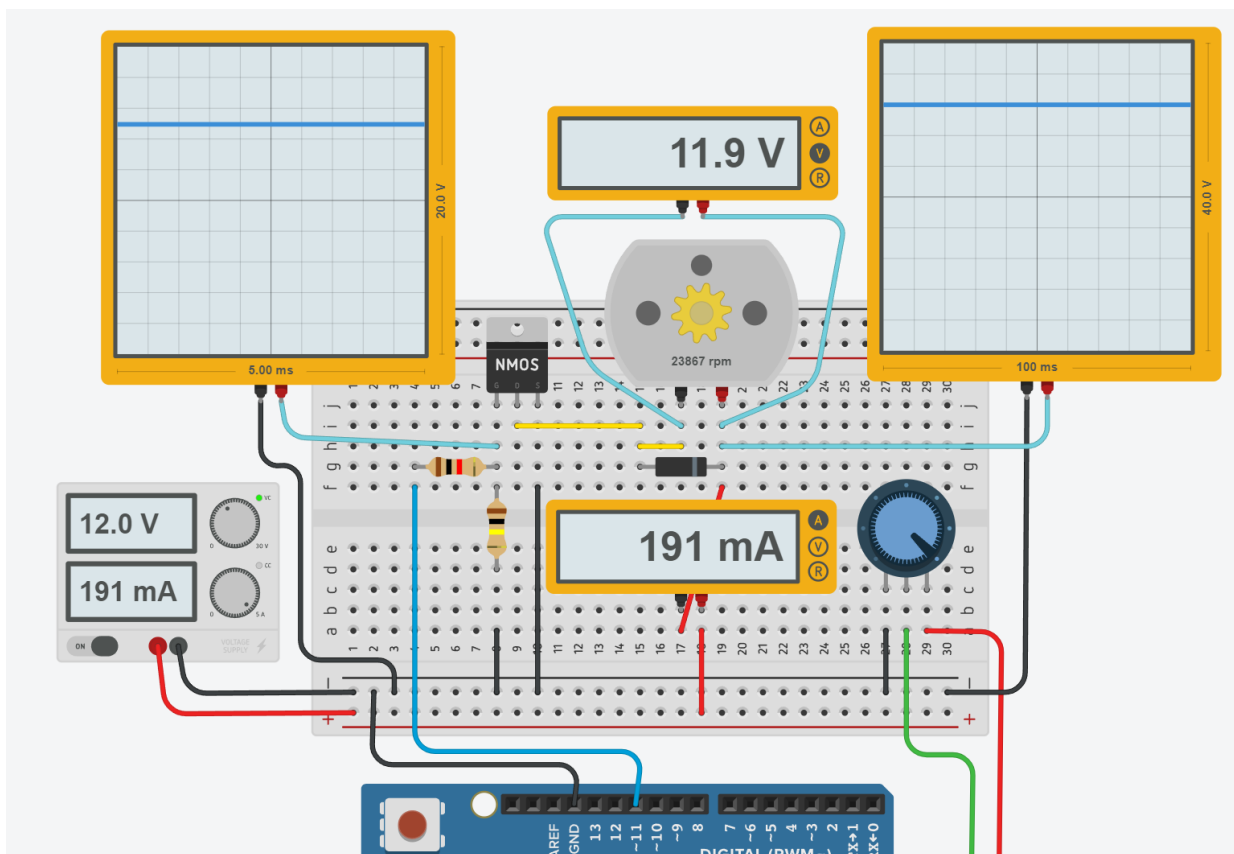
void setup()
{
  pinMode(MOTOR_PIN, OUTPUT);
}

void loop()
{
  int potVal = analogRead(POT_PIN);
  int speedVal = map(potVal, 0, 1023, 0, 255);
  analogWrite(MOTOR_PIN, speedVal);
}
```

Applicando un segnale PWM al 50% al motore arrivano circa 6V con un corrente assorbita di circa 95mA.

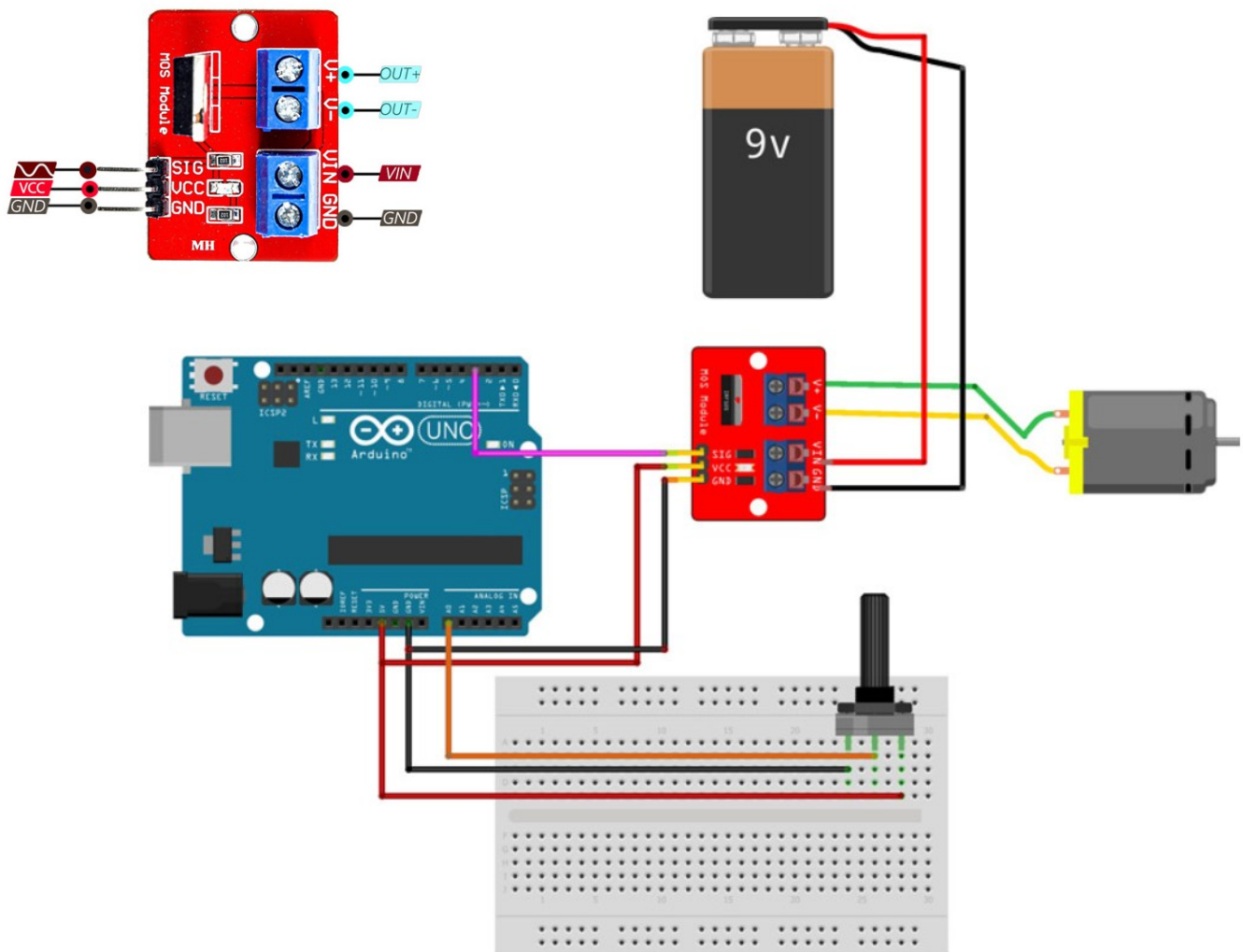


Applicando un segnale PWM al 100% al motore arrivano circa 11.9V con un corrente assorbita di circa 190mA. La prima cosa da osservare è che quasi tutta la tensione di alimentazione  $V_{cc}=12$  arriva la motore! Il mosfet è molto più efficiente di un transistor BJT che presenta sempre una  $V_{cs}$  non trascurabile.



## REGOLAZIONE VELOCITA' MOTORE C.C. CON MODULO MOSFET IRF520

Il modulo MOSFET IRF520 consente di collegare direttamente il motore e Arduino senza preoccuparsi del conterno. Regolare il numero di giri del motore CC tramite un potenziometro e il modulo MOSFET IRF520. Attenzione a non superare la tensione massima richiesta dal motore CC.



*“non simulabile”*

### CODICE

```
#define PWM 3 // solo alcuni PIN sono abilitati a uscita PWM
int pot;
int out;

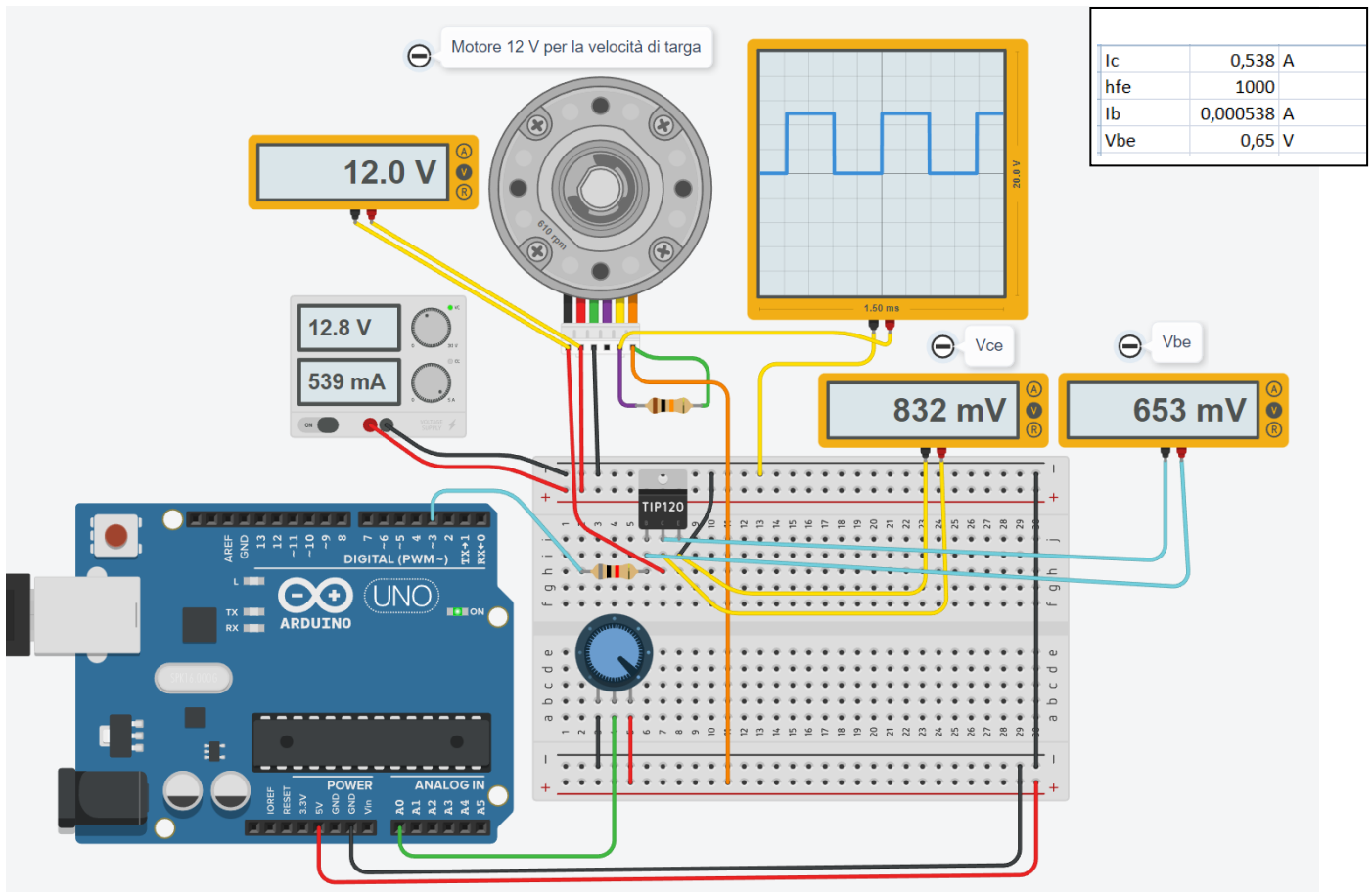
void setup() {
  Serial.begin(9600);
  pinMode(PWM,OUTPUT);
}

void loop() {
  pot=analogRead(A0);
  out=map(pot,0,1023,0,255); // 255 → massima tensione → massima velocità
  analogWrite(PWM,out);
}
```

## ENCODER

L'encoder è un apparato elettromeccanico che converte la posizione angolare del suo asse rotante in un segnale elettrico digitale. Viene generalmente collegato all'albero di un motore per misurare il numero di giri o lo spostamento angolare.

Si vuole regolare la velocità di rotazione di un motore DC di potenza (12V – 550mA) dotato di encoder e si vuole visualizzare il segnale fornito dall'encoder sull'oscilloscopio.



### CODICE

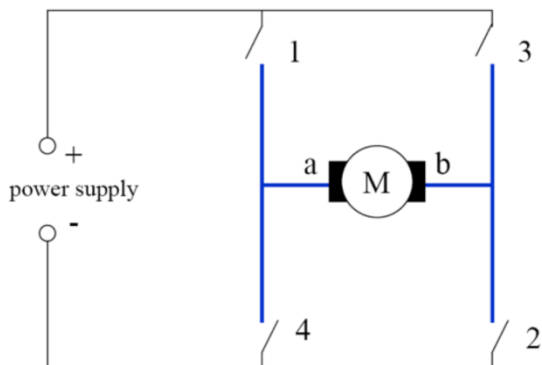
```
#define PWM_OUT 3
#define POT_IN A0
int setpoint = 0;

void setup() {
  Serial.begin(9600); // begins the serial communication
  pinMode(POT_IN, INPUT); // sets the potentiometer as an input and controller
  pinMode(PWM_OUT, OUTPUT); // sets pin 3 as a PWM output for the speed control
}

void loop() {
  setpoint = analogRead(POT_IN);
  analogWrite(PWM_OUT, setpoint/4);
  Serial.println(setpoint);
}
```

## INVERSIONE VERSO DI ROTAZIONE MOTORE C.C. CON 2 RELÈ'

Per regolare il verso di rotazione di un motore CC sono necessari due relè opportunamente collegati al motore. Questo sistema NON consente anche la regolazione del numero di giri del motore. Per ottenere il duplice effetto (verso e regolazione velocità) è necessario un **ponte ad H** costituito da 4 transistor.

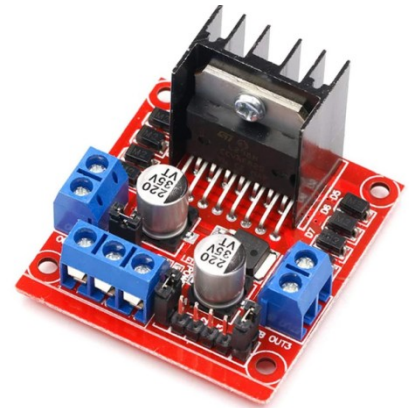


Drive forward:

- Close 1 and 2

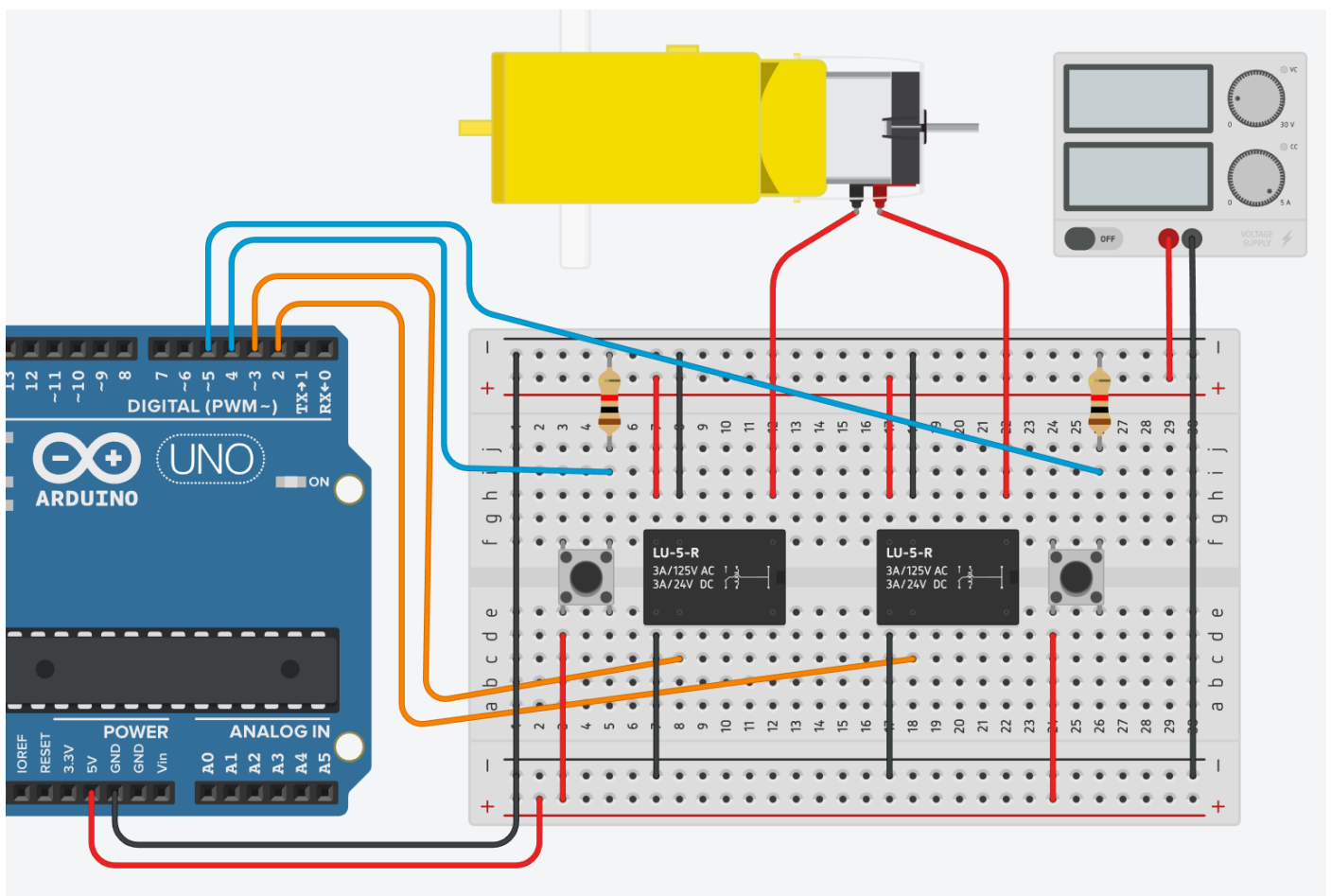
Drive backward:

- Close 3 and 4



## ESERCIZIO VERSO ROTAZIONE MOTORE CON RELÈ'

Controllare il verso di rotazione del motore C.C. con due pulsanti utilizzando 2 relè.



## *CODICE*

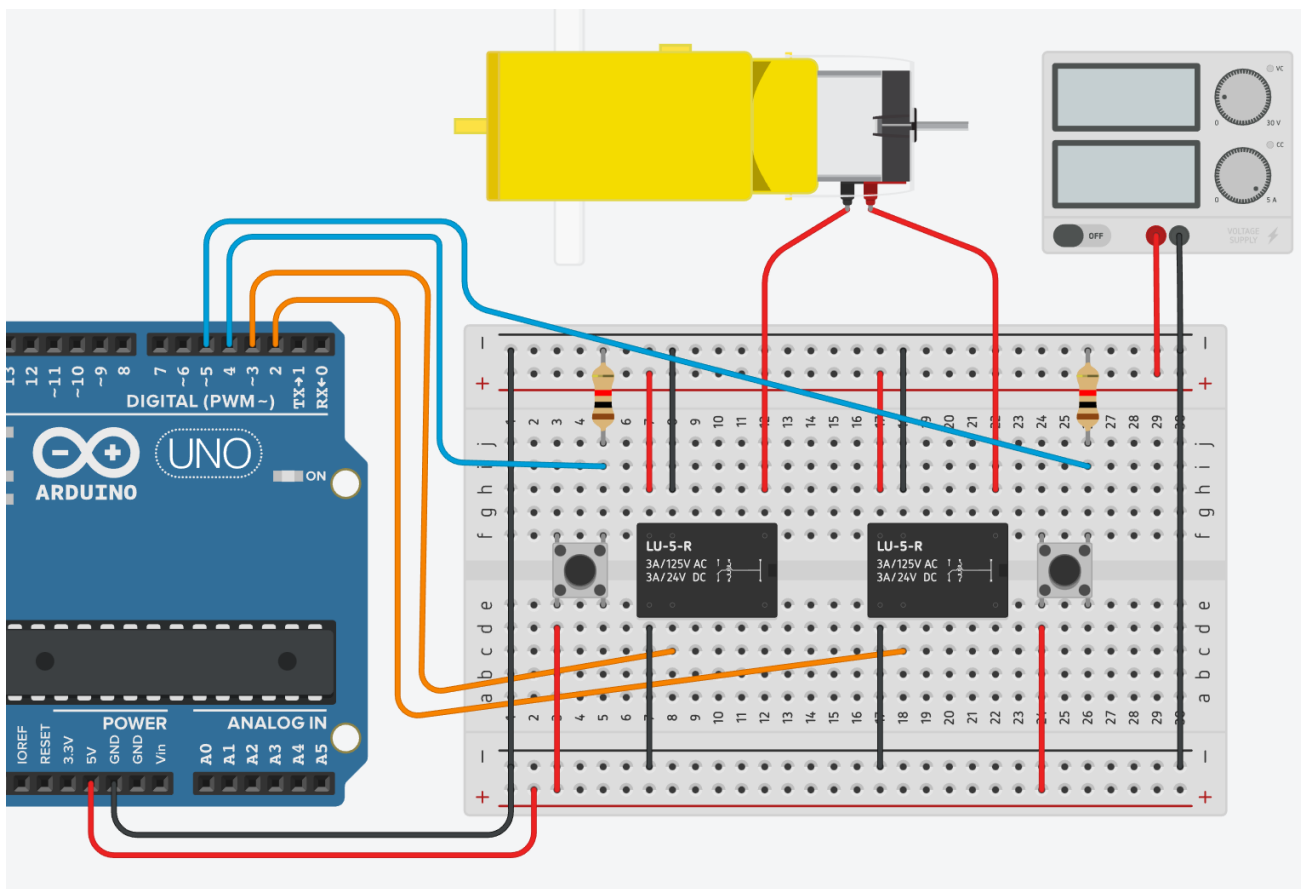
```
int incomingByte = 0; // for incoming serial data
```

```
void setup() {  
  pinMode(2, OUTPUT);  
  pinMode(3, OUTPUT);  
  
  pinMode(4, INPUT);  
  pinMode(5, INPUT);  
  
  Serial.begin(9600);  
}  
  
void loop() {  
  
  int statoP1= digitalRead(4);  
  if (statoP1== HIGH) {  
    Serial.println("M1 ORARIO");  
    digitalWrite(2, HIGH);  
    digitalWrite(3, LOW);  
  }  
  else  
  {  
    Serial.println("M1 STOP");  
    digitalWrite(2, LOW);  
  }  
  
  int statoP2= digitalRead(5);  
  if (statoP2== HIGH) {  
    Serial.println("M1 ANTIORARIO");  
    digitalWrite(2, LOW);  
    digitalWrite(3, HIGH);  
  }  
  else  
  {  
    Serial.println("M1 STOP");  
    digitalWrite(3, LOW);  
  }  
  
  delay(100);  
}
```

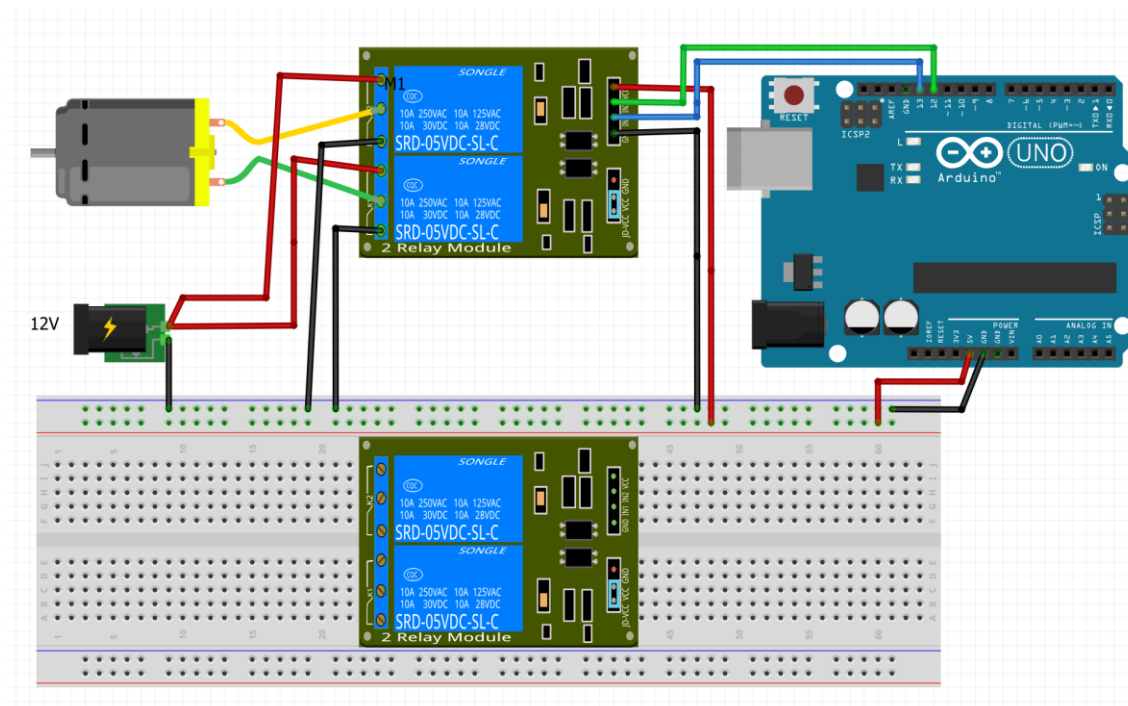
## ESERCIZIO VERSO ROTAZIONE MOTORE C.C CON RELE' + COMANDI SERIALE

Impostare il verso di rotazione del motore DC attraverso comandi inviati dal monitor seriale.

- 1 → rotazione oraria
- 2 → rotazione antioraria
- 3-4 → stop



Per Arduino sono disponibili delle schede (shield) con 2-4-8-16 relè che permettono di semplificare il circuito.



## CODICE

```
int incomingByte = 0; // for incoming serial data
```

```
void setup() {  
  pinMode(2, OUTPUT);  
  pinMode(3, OUTPUT);
```

```
  pinMode(4, INPUT);  
  pinMode(5, INPUT);
```

```
  Serial.begin(9600);  
}
```

```
void loop() {
```

```
  //SERIALE leggo numeri da 0-9 (1 cifra)
```

```
  if (Serial.available() > 0) {  
    incomingByte = Serial.parseInt();  
    Serial.println(incomingByte);
```

```
    if (incomingByte==1) {  
      Serial.println("M1 ORARIO");  
      digitalWrite(2, HIGH);  
      digitalWrite(3, LOW);  
    }
```

```
    else if (incomingByte==2) {  
      Serial.println("M1 ANTIORARIO");  
      digitalWrite(2, LOW);  
      digitalWrite(3, HIGH);  
    }
```

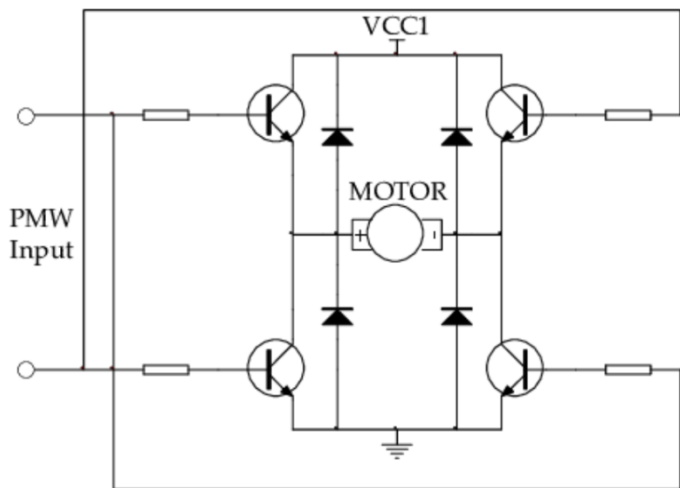
```
    else if (incomingByte==3) {  
      Serial.println("STOP");  
      digitalWrite(2, HIGH);  
      digitalWrite(3, HIGH);  
    }
```

```
    else if (incomingByte==4) {  
      Serial.println("STOP");  
      digitalWrite(2, LOW);  
      digitalWrite(3, LOW);  
    }
```

```
    else  
    {  
      Serial.println("non valido");  
    }  
  }
```

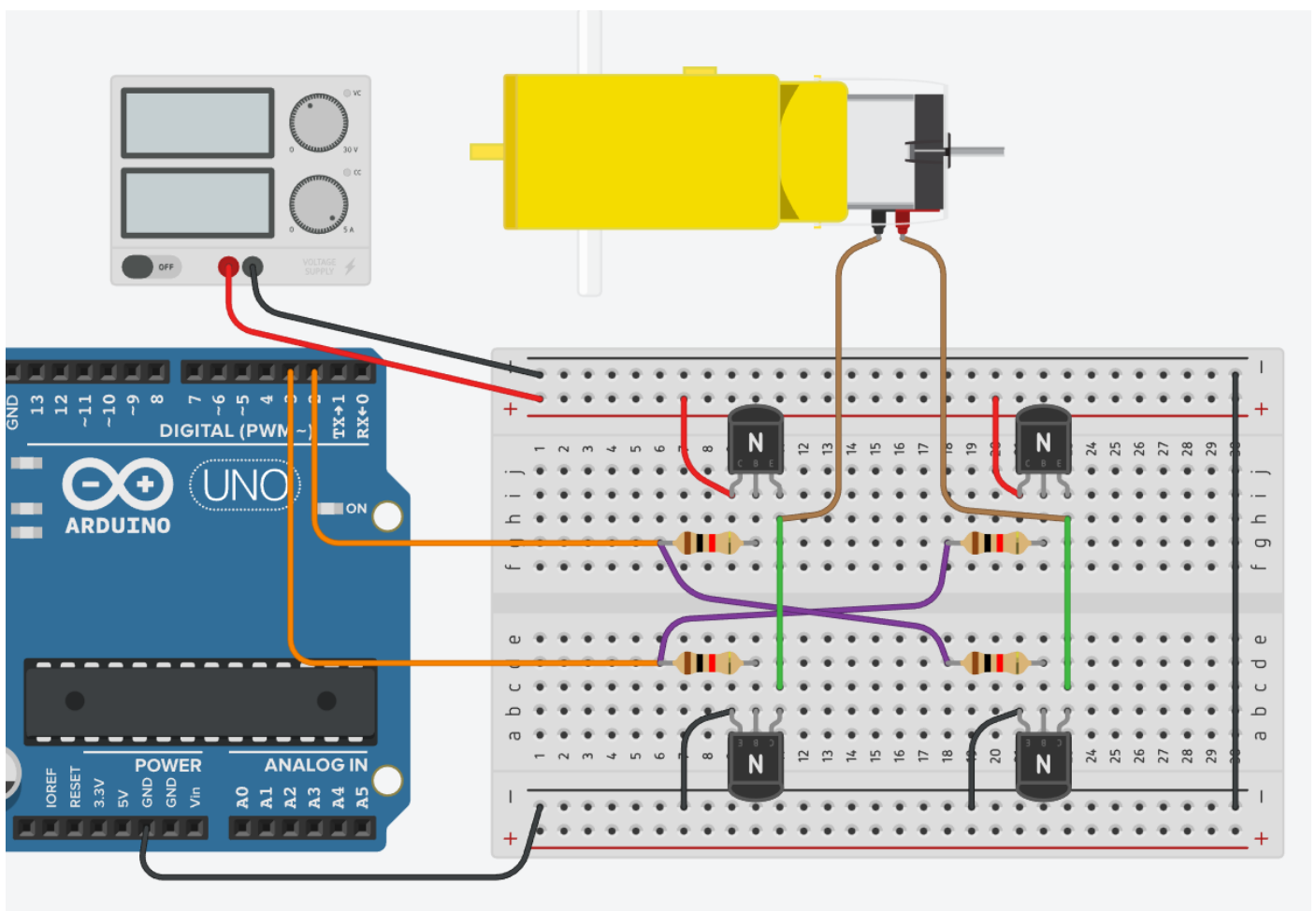
```
  delay(100);  
}
```

## GESTIONE VERSO DI ROTAZIONE MOTORE C.C. CON 4 BJT



Per ottenere il duplice effetto di regolare il verso di rotazione e la velocità di rotazione del motore è necessario un ponte ad H costituito da 4 transistor. La soluzione proposta impiega 4 transistor di tipo N.

I diodi in parallelo ai transistor servono da protezione contro le correnti inverse generate dal motore all'avvio e allo spegnimento.



Impostare il verso di rotazione del motore DC attraverso comandi inviati dal monitor seriale.

1 → rotazione oraria

2 → rotazione antioraria

3-4 → stop

### CODICE

```
int pinBJT1= 2;
int pinBJT2= 3;
int speed=255;
int incomingByte = 0; // for incoming serial data

void setup() {
  pinMode(pinBJT1, OUTPUT);
  pinMode(pinBJT2, OUTPUT);
  Serial.begin(9600);
}

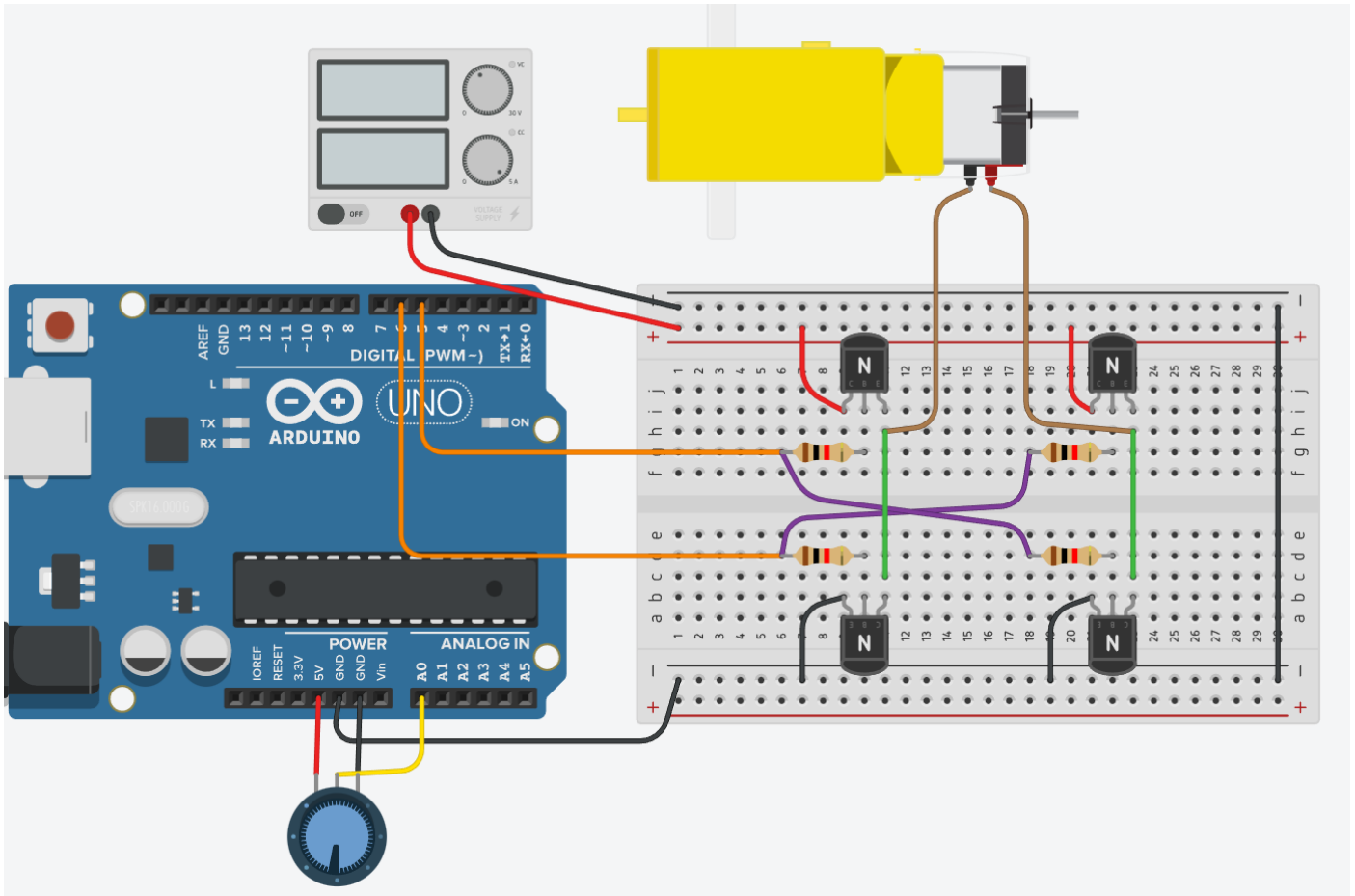
void loop() {
  //SERIALE leggo numeri da 0-9 (1 cifra) associati
  if (Serial.available() > 0) {
    incomingByte = Serial.parseInt();
    Serial.println(incomingByte);

    if (incomingByte==1) {
      Serial.println("M1 ORARIO");
      digitalWrite(pinBJT1,HIGH);
      digitalWrite(pinBJT2,0);
    }
    else if (incomingByte==2) {
      Serial.println("M1 ANTIORARIO");
      digitalWrite(pinBJT1,0);
      digitalWrite(pinBJT2,HIGH);
    }
    else if (incomingByte==3) {
      Serial.println("STOP");
      digitalWrite(pinBJT1, HIGH);
      digitalWrite(pinBJT2, HIGH);
    }
    else if (incomingByte==4) {
      Serial.println("STOP");
      digitalWrite(pinBJT1, 0);
      digitalWrite(pinBJT2, 0);
    }
    else
    {
      Serial.println("Non valido!");
    }
  }

  delay(100);
}
```

## ESERCIZIO VERSO ROTAZIONE MOTORE CON BJT + COMANDI SERIALE + VELOCITA'

Impostare il verso di rotazione del motore DC attraverso comandi inviati dal monitor seriale e la velocità tramite un potenziometro.



## CODICE

```
int pinBJT1= 5;
int pinBJT2= 6;
int pinPotenziometro=A0;
int speed=255;
int incomingByte = 0; // for incoming serial data

void setup() {
  pinMode(pinBJT1, OUTPUT);
  pinMode(pinBJT2, OUTPUT);
  pinMode(pinPotenziometro, INPUT);
  Serial.begin(9600);
}

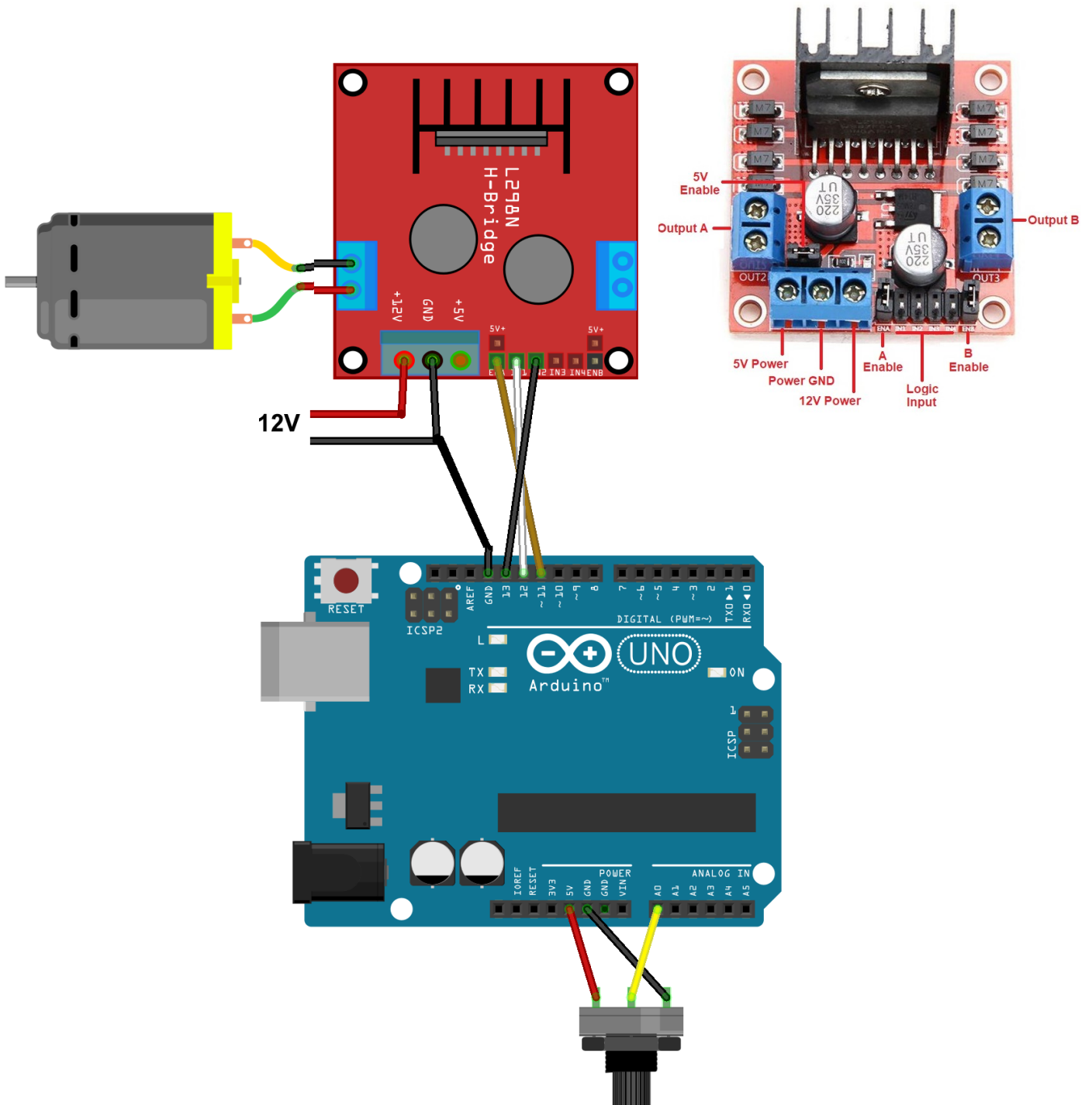
void loop() {
  speed = analogRead(pinPotenziometro)/4; //1024--> 256)

  //SERIALE leggo numeri da 0-9 (1 cifra) associati
  if (Serial.available() > 0) {
    incomingByte = Serial.parseInt();
    Serial.println(incomingByte);

    if (incomingByte==1) {
      Serial.println("M1 ORARIO");
      analogWrite(pinBJT1,speed);
      analogWrite(pinBJT2,0);
    }
    else if (incomingByte==2) {
      Serial.println("M1 ANTIORARIO");
      analogWrite(pinBJT1,0);
      analogWrite(pinBJT2,speed);
    }
    else if (incomingByte==3) {
      Serial.println("STOP");
      analogWrite(pinBJT1, 255);
      analogWrite(pinBJT2, 255);
    }
    else if (incomingByte==4) {
      Serial.println("STOP");
      analogWrite(pinBJT1, 0);
      analogWrite(pinBJT2, 0);
    }
    else
    {
      Serial.println("Non valido!");
    }
    Serial.print("v= "); Serial.println(speed);
  }

  delay(100);
}
```

Questa scheda di controllo per motori è basata sul driver Dual H-Bridge L298N e permette di pilotare due motori C.C. oppure un motore passo-passo bipolare con tensione operativa compresa nel range tra 5V e 35V e una corrente massima di 2A, controllandone la velocità e la direzione.



### NOTA BENE:

Per motori a bassa resistenza interna (tipica degli stepper) è necessario un driver di corrente e non un driver di tensione come l'L298N. I motori a bassa impedenza in generale vanno controllati in corrente e non in tensione.

Per valori di resistenza degli avvolgimenti del motore oltre 30-60 ohm un L298N funziona senza bruciarsi, ma la velocità massima è inferiore rispetto a quella ottenibile con un driver di corrente.

## CODICE

```
//L298N pilotare un motore DC con Arduino

//definizione dei pin
static int pinPotenziometro = A0; //pin analogico per valori del potenziometro
static int mA = 12; //pin digitale per gli stati logici da inviare al modulo
static int mB = 13; //pin digitale per gli stati logici da inviare al modulo
static int pinMotore = 11; //pin PWM per variare velocità motore

//variabili
int potenziometro; //valore letto dal potenziometro sul pin A0
int velocita; //valore PWM in uscita dal pin 11

void setup() {
  Serial.begin(9600);

  //inizializzo variabili
  potenziometro = 0;
  velocita = 0;

  //definisco tipologia pin
  pinMode(pinPotenziometro, INPUT); //input da potenziometro per la velocità
  pinMode(mA, OUTPUT); //output per lo stato logico del pin IN1 del modulo L298N
  pinMode(mB, OUTPUT); //output per lo stato logico del pin IN2 del modulo L298N
  pinMode(pinMotore, OUTPUT); //output PWM per il pin EN1 del modulo L298N

  //Imposto verso di rotazione del motore
  /*
    mA | mB | Evento
    ----|-----|-----
    LOW | LOW | fermo
    LOW | HIGH | rotazione oraria
    HIGH | LOW | rotazione antioraria
    HIGH | HIGH | Fermo
  */

  digitalWrite(mA, LOW);
  digitalWrite(mB, HIGH);
}

void loop() {

  //leggo il valore analogico del potenziometro sul pin A0 (0-1023.
  potenziometro = analogRead(pinPotenziometro);

  // Il range dei valori PWM e' da 0 a 255
  velocita = map(potenziometro, 0, 1023, 0, 255);

  Serial.print("velocita = ");
  Serial.print(velocita);

  analogWrite(pinMotore, velocita);
}
```

## UTILIZZO DI UNA CURVA MOTORE CC

Le curve del motore vengono utilizzate principalmente in due scenari:

- determinare quale motore (e riduttore) utilizzare in una particolare applicazione
- apprendere di più sullo stato di un motore attualmente in funzione in un sistema.

## DETERMINAZIONE DI QUALE MOTORE (E RIDUTTORE) UTILIZZARE

Consideriamo un pezzo che pesa 40N, sollevato da un braccio lungo 0.5 m, che scorre attraverso un cambio 100:1 :

$$\text{Torque @ Arm} = \text{Force} \times \text{Distance}$$

$$\text{Torque @ Arm} = 40.0 \text{ N} \times 0.5 \text{ m}$$

$$\text{Torque @ Arm} = 20 \text{ N} \cdot \text{m}$$

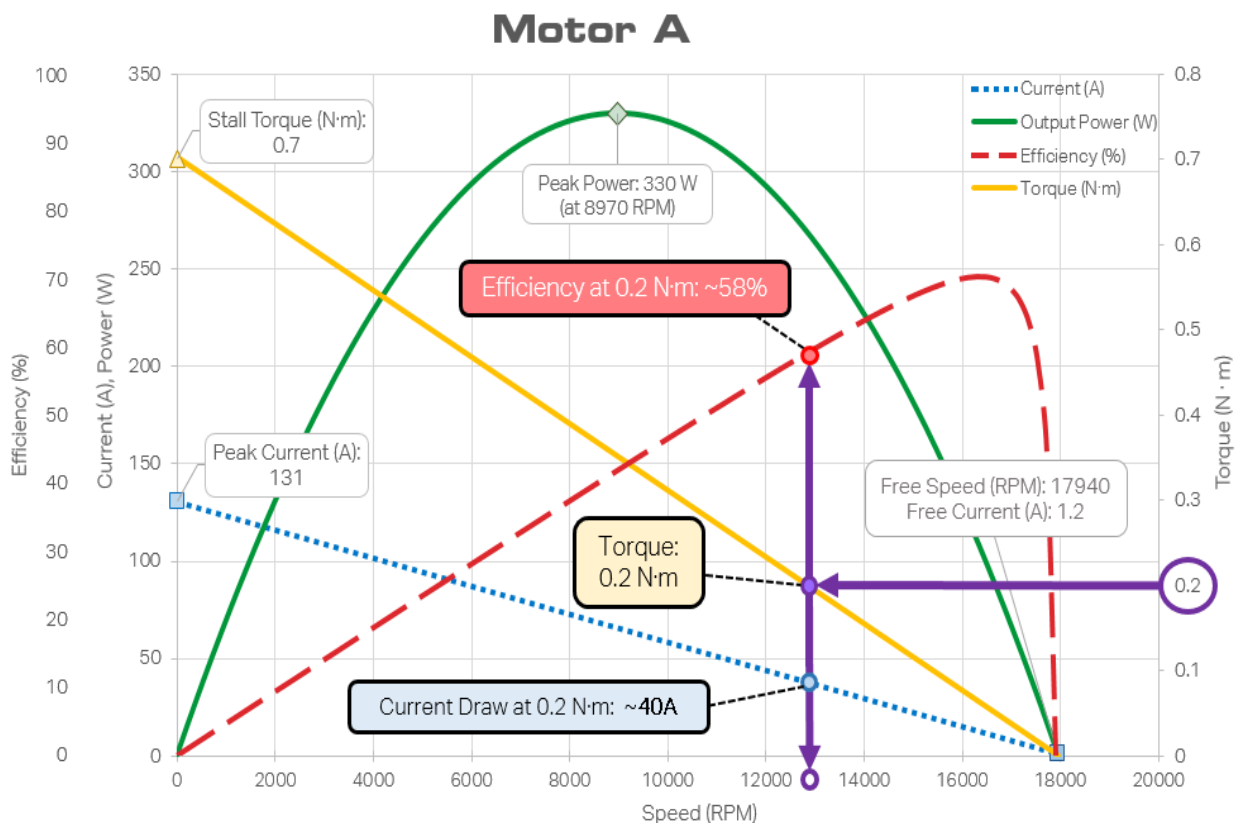
$$\text{Torque @ Motor} = (\text{Torque @ Arm}) \div (\text{Gear Reduction})$$

$$\text{Torque @ Motor} = \frac{20 \text{ N} \cdot \text{m}}{100}$$

$$\text{Torque @ Motor} = 0.2 \text{ N} \cdot \text{m}$$

Il motore che aziona questo braccio dovrà produrre una coppia motrice di  $0,2 \text{ N} \cdot \text{m}$ .

Questo requisito di coppia in uscita può quindi essere confrontato con le curve motore pubblicate per saperne di più sullo stato del motore durante questa azione.

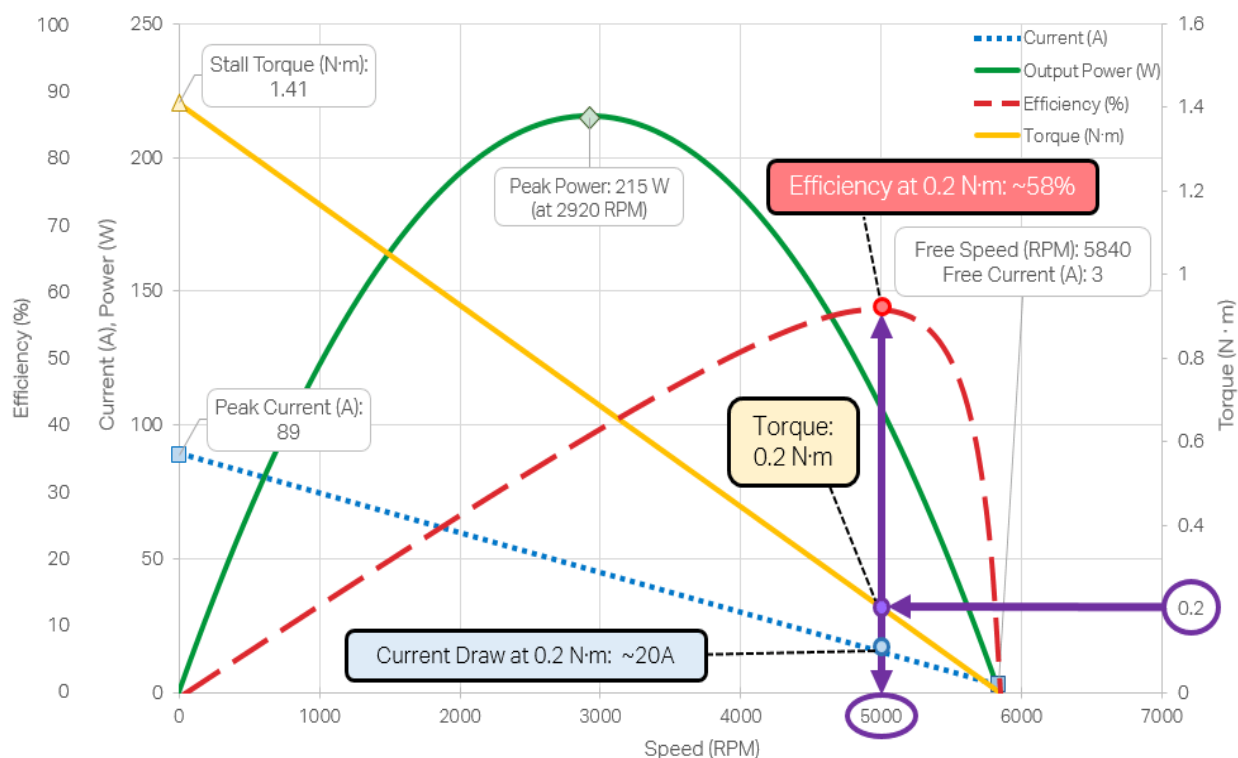


Il motore A raggiunge  $0,2 \text{ N} \cdot \text{m}$  di coppia a circa 13000 giri/min, assorbendo circa 40 A.

Con un cambio 100:1, ciò equivale a una velocità del braccio di 130 giri/min.

A questa coppia, il motore funziona con un'efficienza di poco inferiore al 60%, al di sotto del suo picco.

## Motor B



Il motore B può raggiungere 0,2 N · m di coppia a circa 5000 giri/min, assorbendo circa 20 A.

Con un cambio 100:1, ciò equivale a una velocità del braccio di 50 giri/min.

A questa coppia, il motore funziona a circa il 60% di efficienza, molto vicino al suo picco.

Utilizzando questi tipi di calcoli, un tecnico può combinare queste informazioni con altri dettagli del sistema per determinare il miglior motore per la propria applicazione:

-50 giri sono troppo lenti?

-40 A sono troppo alti per un assorbimento di corrente?

-è necessaria una maggiore efficienza per motivi termici o di batteria?

E' evidente che ci sono una serie di variabili coinvolte nel fare questa determinazione:

rapporto di trasmissione, lunghezza del braccio e persino peso del pezzo di gioco.

### Nota: assorbimento di corrente al picco di potenza

Per una scelta più rapida, noti il tempo necessario a svolgere un'azione, si può calcolare semplicemente la quantità di lavoro eseguita (Lavoro = Massa × Gravità × Altezza) in un determinato periodo di tempo (Potenza = Lavoro / Tempo) e selezionano un motore corrispondente quel fabbisogno di potenza.

Ad esempio, se un meccanismo deve sollevare un oggetto di 20kg a 1m di altezza in 1 secondo:

$$Power = \frac{Work}{Time}$$

$$Power = \frac{Mass \times Gravity \times Height}{Time}$$

$$Power = \frac{20 \text{ kg} \times 9.8 \text{ m/s}^2 \times 1.0 \text{ m}}{1.0 \text{ s}}$$

$$Power = 196 \text{ W}$$

Nell'esempio sopra, il motore B è la scelta migliore per un fabbisogno di potenza di 196 W (215W di picco contro i 330W del motore A).

Tuttavia, cosa succede quando ci sono due motori che corrispondono a quella richiesta di potenza di picco?

In genere è meglio scegliere il motore con l'assorbimento di corrente più basso, poiché ciò prolungherà la durata della batteria e ridurrà lo sforzo sull'impianto elettrico. Ciò diventa particolarmente importante sotto carico sostenuto, quando è necessario tenere conto dei limitatori di corrente o degli interruttori automatici.

## APPROFONDIRE LO STATO DI UN MOTORE ATTUALMENTE IN FUNZIONE IN UN SISTEMA

"Perché un motore si brucia dopo aver sollevato l'oggetto?"

Se un motore è già stato installato e un ingegnere vuole saperne di più sullo stato del sistema, la stessa teoria di cui sopra può essere invertita. A una tensione nota, è necessario un valore misurato (come l'assorbimento di corrente) per determinare il resto degli attributi del motore in quel momento.

Ad esempio, si consideri ancora il motore A.

Se si utilizza un amperometro per misurare un assorbimento di corrente di 25 A, ora è noto che il motore sta esercitando circa 0,11 N · m di coppia e sta funzionando intorno al suo picco di efficienza di poco inferiore a 70 %. Tuttavia, se l'amperometro sta leggendo 140 A, il motore sta attualmente funzionando in una condizione di stallo estremo.

Le curve dei motore CC spesso sono realizzate a 12 V.

Le quattro caratteristiche chiave (velocità libera/corrente, coppia di stallo/corrente) si adattano approssimativamente in modo proporzionale alla tensione del sistema.

Se il motore A funzionasse a 6 V, la sua corrente di stallo scenderebbe da 130 A a 65 A e la sua coppia di stallo scenderebbe da 0,7 N · m a 0,35 N · m. Se una lettura dell'amperometro mostra un assorbimento di corrente di 25 A:

$$\frac{\text{Stall Current}}{\text{Measured Current}} = \frac{65 \text{ A}}{25 \text{ A}} = 2.6$$

$$\text{Output Torque} = \frac{\text{Stall Torque}}{2.6} = \frac{0.35 \text{ N} \cdot \text{m}}{2.6}$$

$$\text{Output Torque} = 0.13 \text{ N} \cdot \text{m}$$

## MASSA TERMICA

La maggior parte dei motori, se spinti alla coppia di stallo o alla potenza di picco, si bruceranno se lasciati lì per troppo tempo. Tuttavia, quel tempo accettabile varia da motore a motore. Alcuni motori possono avere una potenza di picco molto elevata, ma possono funzionare a piena potenza solo in brevi raffiche. Altri motori non hanno problemi a rimanere alla loro potenza di picco, ma possono presentare altri inconvenienti (assorbimento di corrente maggiore, potenza di picco inferiore, ecc.).

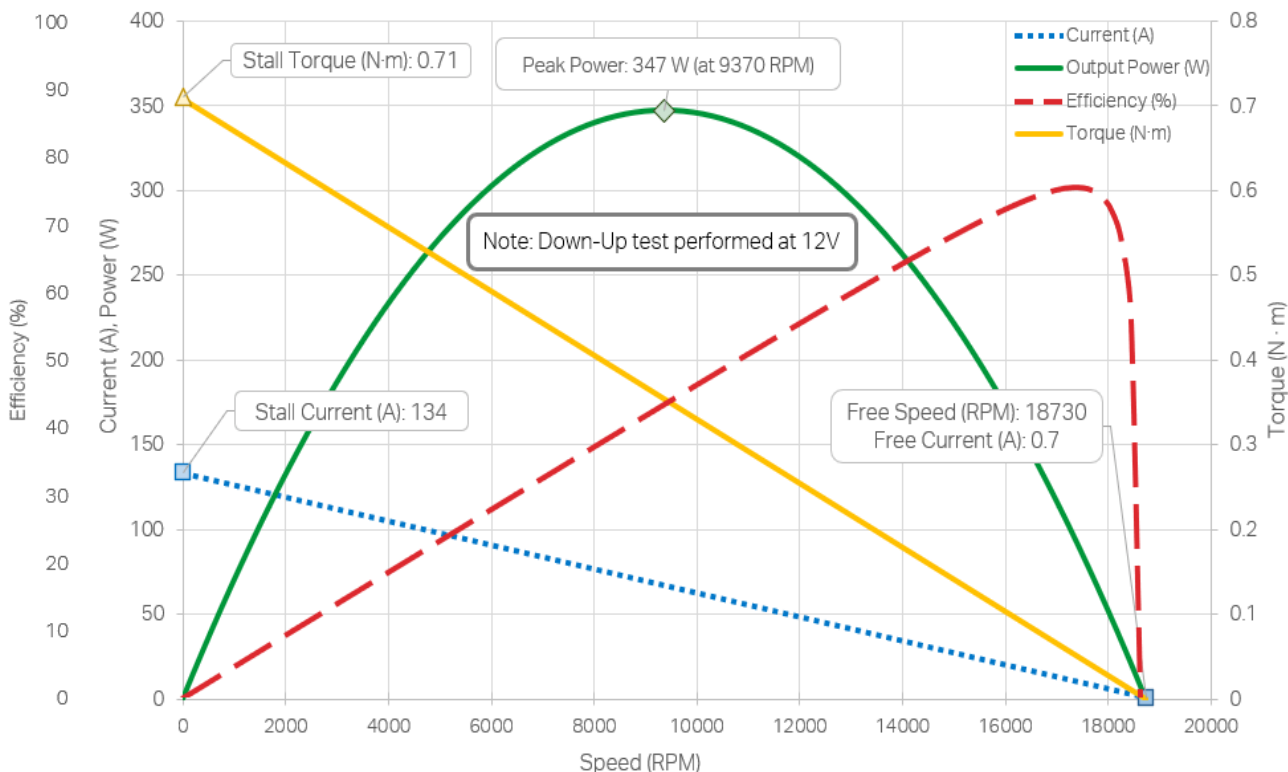
Poiché questa proprietà è così intrinsecamente dipendente dal sistema e dall'applicazione, in genere non viene pubblicata dai produttori.

La massa termica può essere approssimata dividendo la potenza di picco di un motore per il suo peso. Per esempio:

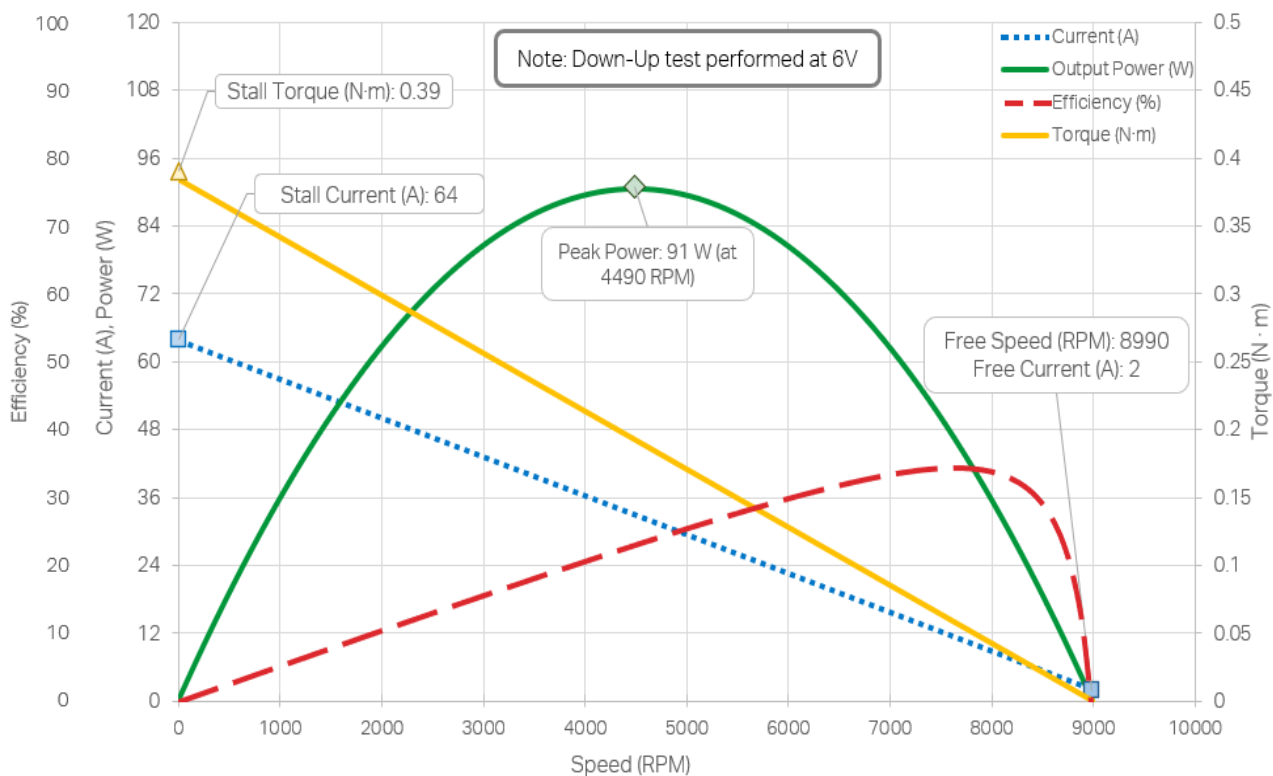
	Picco di potenza	Peso del motore	Massa termica
Motore A	330 W	0,75 libbre	440 W/libbra
Motore B	215 W	2,16 libbre	99,5 W/libbra

In questo scenario, il motore A sarebbe più utile per brevi raffiche di potenza elevata, mentre il motore B potrebbe sostenere la sua potenza molto più a lungo.

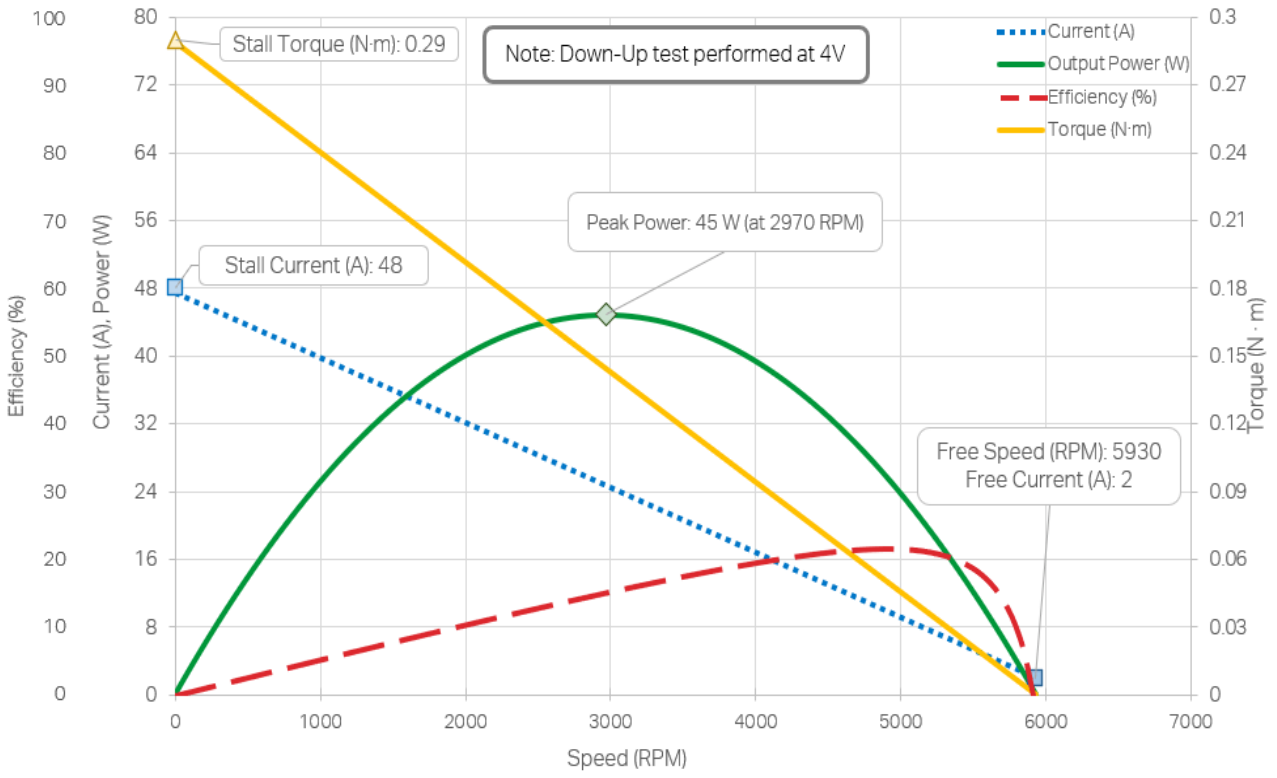
### 775pro (217-4347)



### 775pro (217-4347)



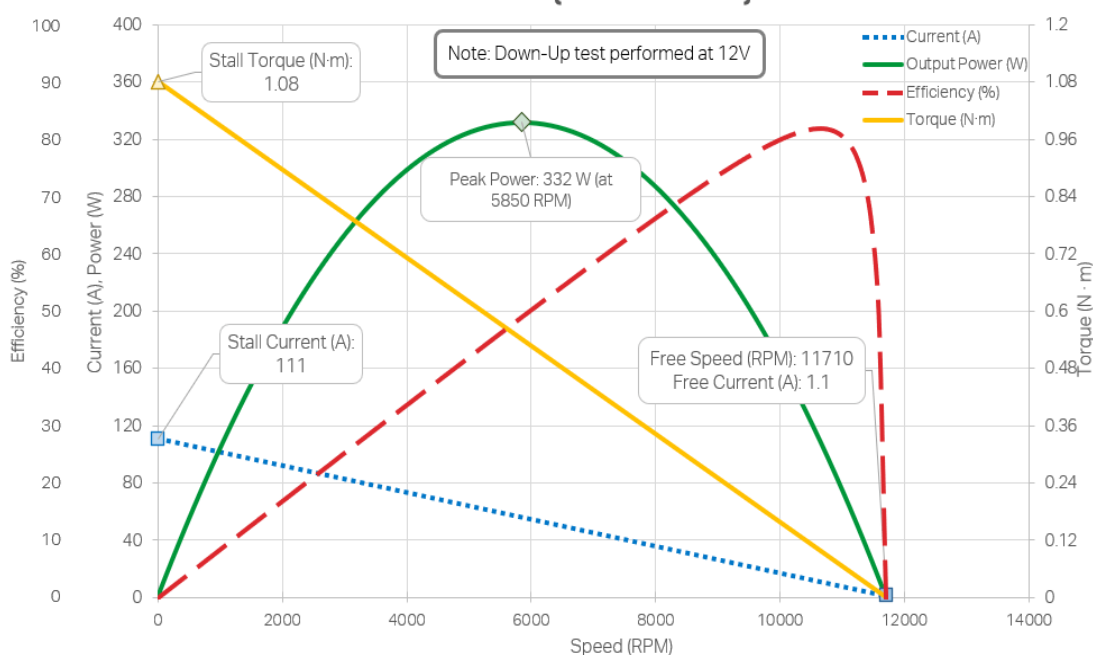
# 775pro (217-4347)



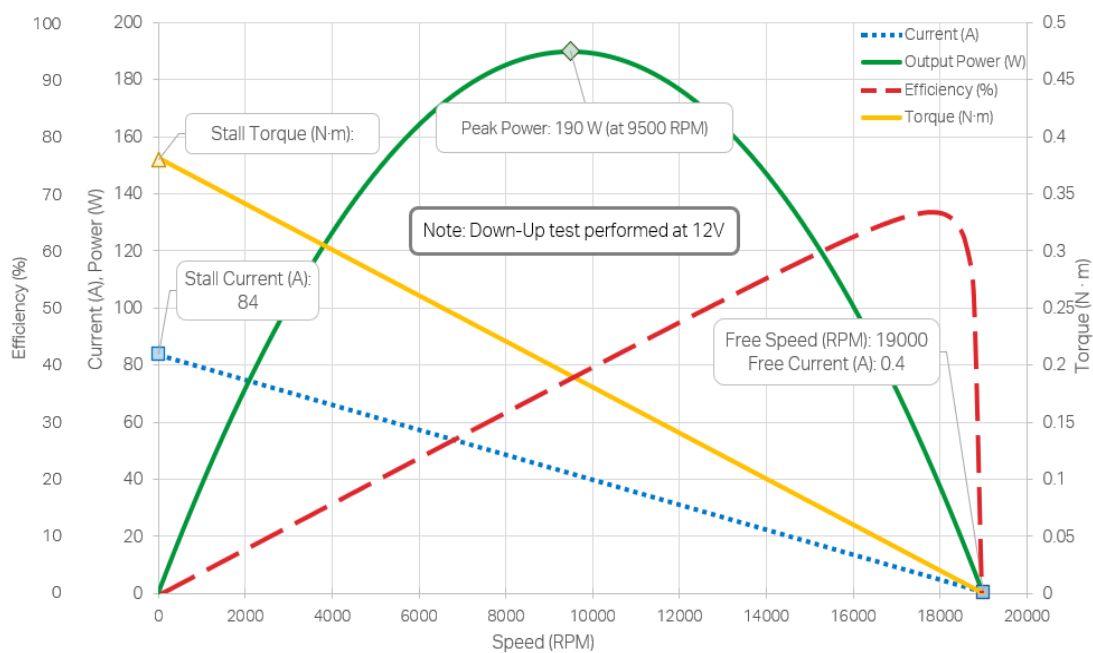
12V 16.8V 21V 25V



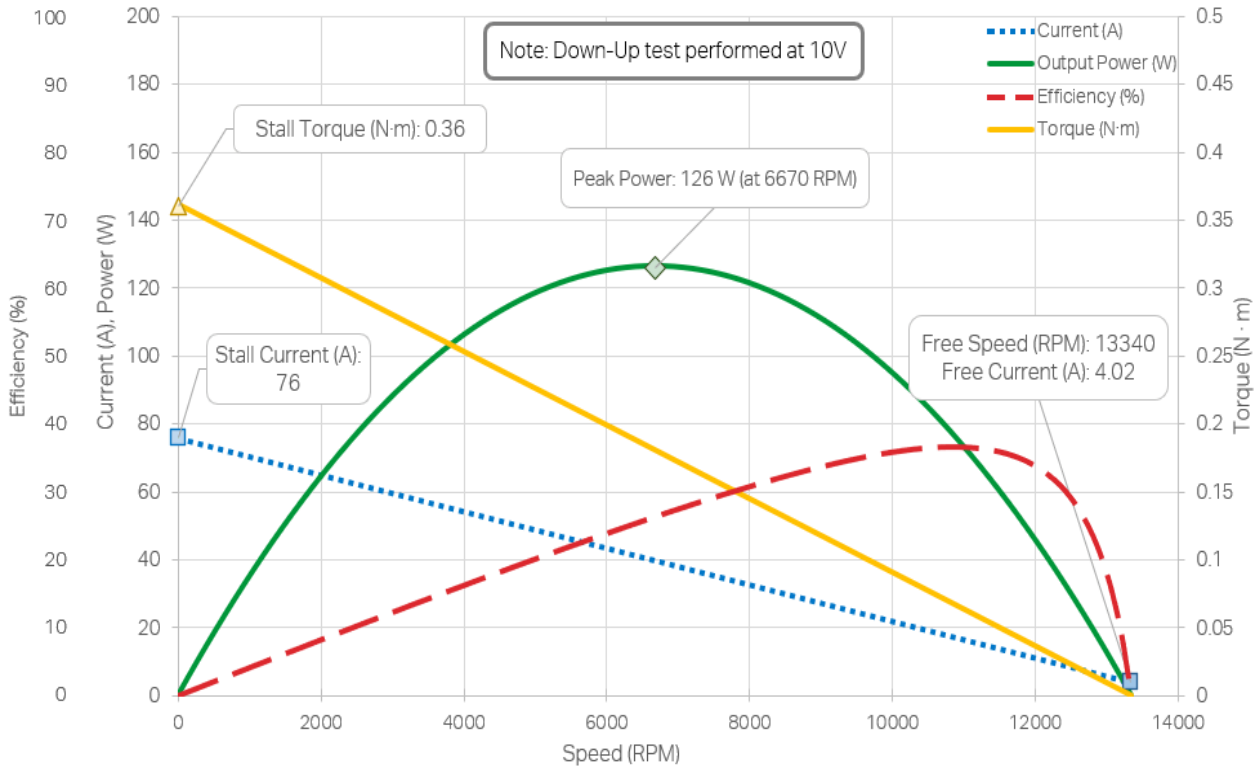
NEO 550 (REV-21-1651)



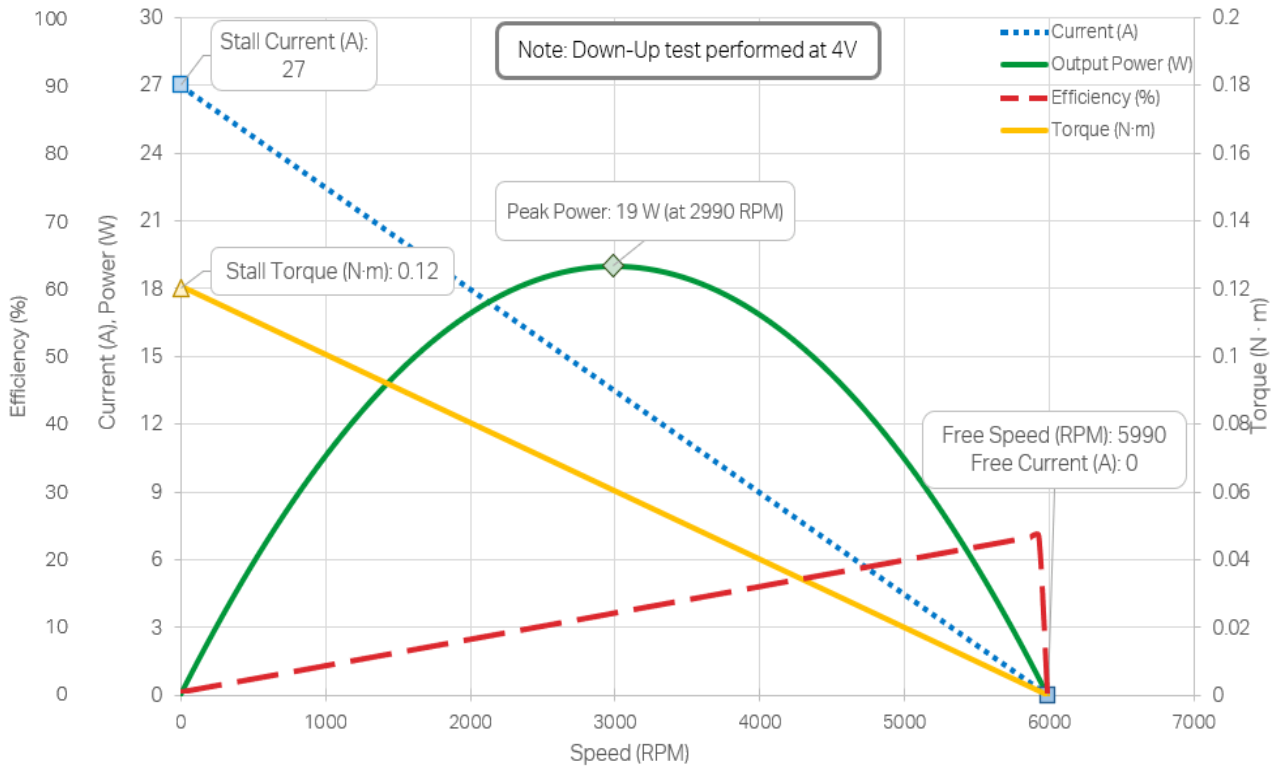
BaneBots RS-550



### BaneBots RS-550



### BaneBots RS-550



## SERVOMOTORI

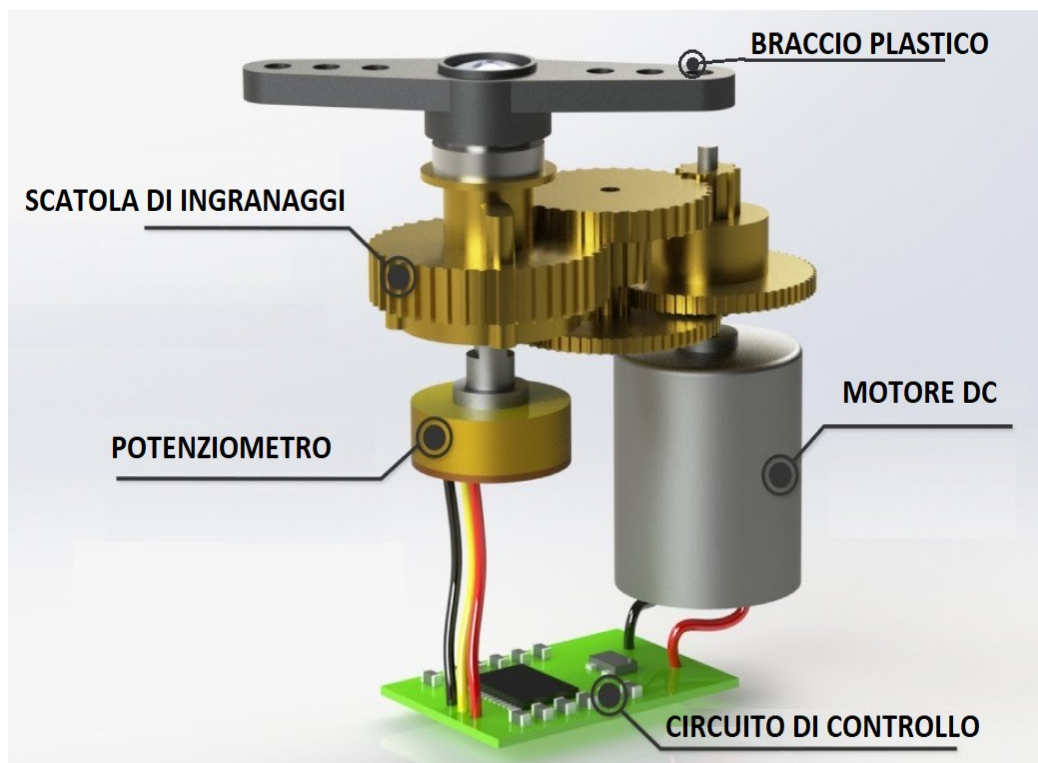
Un servomotore elettrico rotativo è un motore che permette il controllo di precisione della posizione angolare. Il servomotore classico è composto da due elementi principali: il sensore di posizione o feedback e il motore a cui si può aggiungere un riduttore e un freno in caso di necessità. Richiede inoltre un azionamento e/o un controllore più o meno sofisticato a seconda del livello di controllo che si vuole raggiungere.



Hobbistico



Industriale



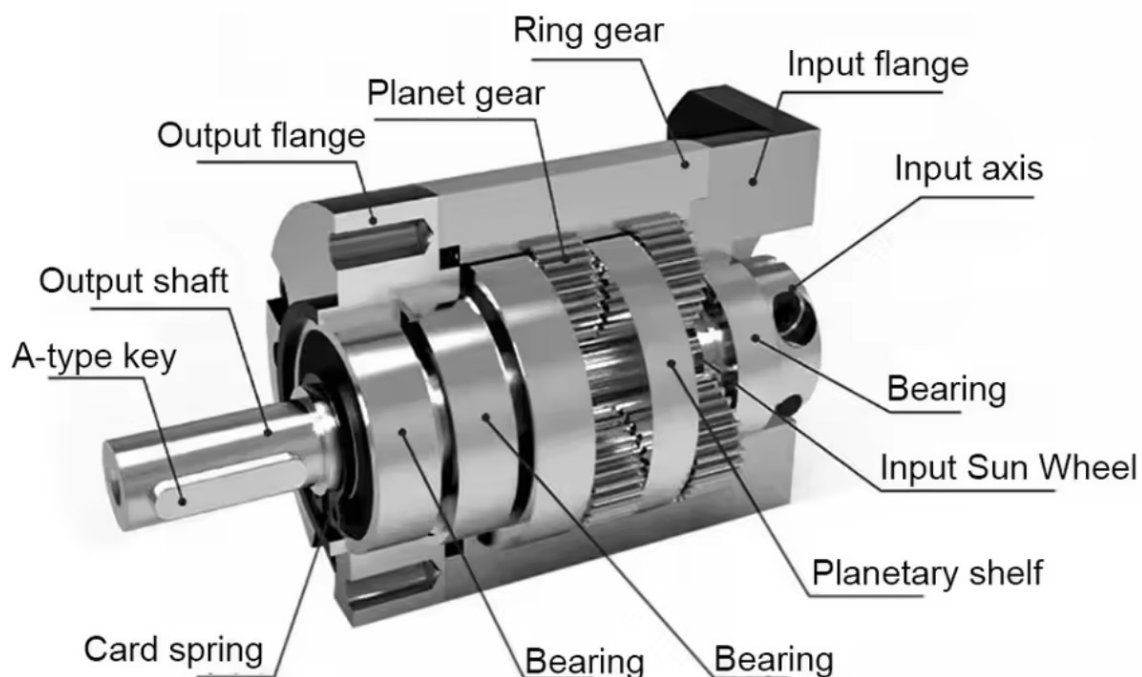
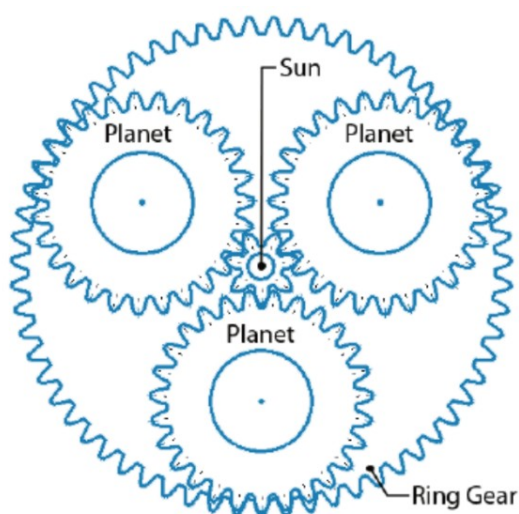
### PLANETARIO (EPICICLOIDALE)

Un riduttore epicicloidale è composto da tre elementi caratteristici:

- un ingranaggio Solare (Sun)
- più satelliti o ingranaggi Planetari (Planet)
- una corona dentata internamente (Ring Gear).

L'albero di ingresso si collega all'ingranaggio solare che trasmette il moto rotatorio agli ingranaggi planetari, che a loro volta ruotano sulla corona interna.

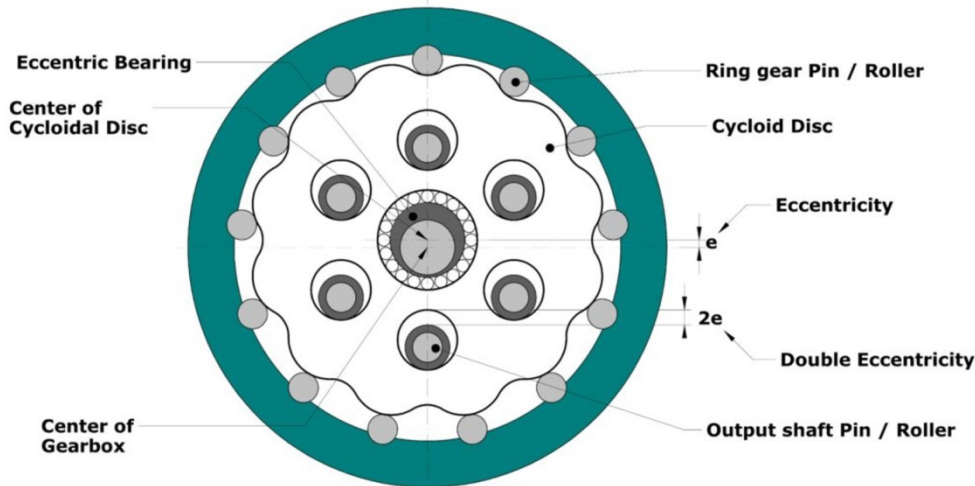
Gli ingranaggi planetari ruotano su perni rigidi solidali ad una piastra chiamata porta-planetario; questa rotazione del porta planetari è ciò che fa ruotare l'albero di uscita.



## CICLOIDALE

Essi sono costituiti da quattro componenti principali:

- Un albero eccentrico che trasmette il moto di ingresso;
- Un disco cicloide che viene montato sull'albero eccentrico;
- Una corona cicloidale con cui ingrana il disco cicloide;
- Un albero di uscita.



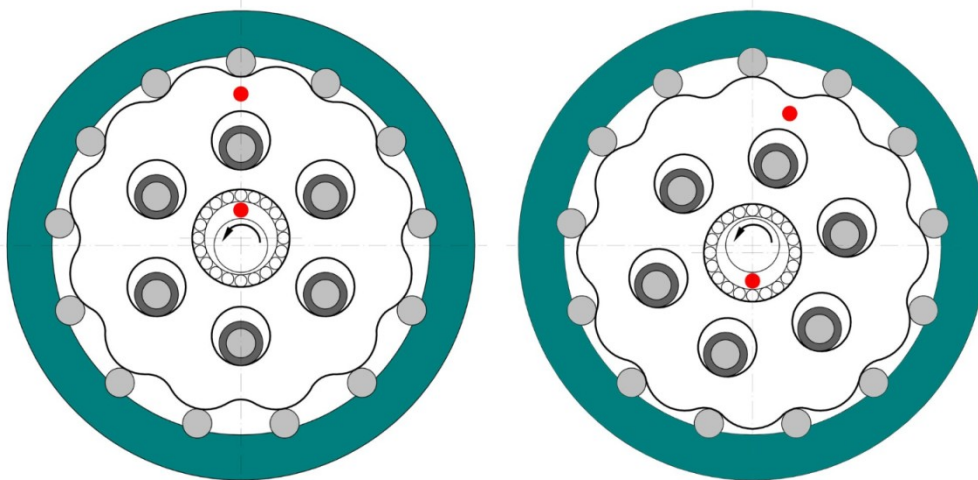
L'albero è mosso da perni che agiscono sui fori del disco cicloide. La rotazione dell'albero eccentrico provoca la rotazione del disco cicloide, che ingrana con la corona cicloidale. La rotazione del disco avvia il movimento dei perni nei fori del disco cicloide.

Questo accoppiamento foro-perno consente la rotazione dell'albero di uscita. La velocità di rotazione di quest'ultimo è definita dal rapporto di trasmissione  $i = z_1 / (z_1 + z_2)$ , dove  $z_1$  è il numero di rulli del disco cicloide e  $z_2$  è il numero di lobi presenti sulla corona.

La peculiarità dei sistemi cicloidali è che è possibile ottenere sistemi funzionanti anche con differenza di un solo dente. Di conseguenza, è possibile ottenere rapporti di riduzione molto elevati.

Nella riduzione epicicloidale gli ingranaggi hanno ingranamenti multipli contrariamente a quanto avviene in una riduzione ad ingranaggi paralleli dove l'ingranamento è singolo (fattore di ricoprimento circa 1,15). Pertanto a parità di coppia da trasmettere questo si traduce in forze sui denti inferiori e quindi a parità di forze unitarie, la riduzione epicicloidale necessita di dimensioni contenute rispetto ad una trasmissione ordinaria.

Quando il cuscinetto eccentrico ruota di una rivoluzione, il disco cicloide avanza nella direzione opposta di  $360^\circ$ /passi di perni/rulli. Il verso di rotazione tra entrata e uscita in un riduttore cicloidale è discorde.



Alcuni dati da schede tecniche di riduttori cicloidali per motori Nema 17.



Shaft Diam: D-cut  $\Phi 8\text{mm}$   
 Shaft Length : 21.0 mm  
 Reducer Length: 27 mm  
 Backlash : 3 arcmin  
 Noise :  $\leq 40\text{ dB}$

Gearbox Ratio dependent data		Character	Unit	
Ratio		i		15
Normal Output torque No alternating torque		$T_{2N}$	Nm	6
Normal Output torque Alternating torque permitted for 10.000.000 load changes		$T_{2N 10M10}$	Nm	6
Normal Output torque Alternating torque permitted for 100.000.000 load changes		$T_{2N 100M10}$	Nm	6
Max Output torque for 30.000 output shaft rotations		$T_{2max}$	Nm	10
Emergency stop torque permitted 1000 times		$T_{2stop}$	Nm	12
Idle torque for $n1=3.000\text{ rpm}$ and $20^\circ\text{C}$ gearbox temperature		$T_0$	Nm	0.1
Max. mechanical input speed Operating temperature may not be exceeded		$n_1\text{ limit}$	rpm	3000
Torsional backlash based on output shaft		$j_1$	arcmin	$\leq 3$
Efficiency at $T_{2N}$ , gearbox temperature $70^\circ\text{C}$ and $n1=1.000\text{ rpm}$		$\eta$	%	96



TS 42 15 M 2 N  
 ① ② ③ ④ ⑤ ⑥

- ① : series number
- ② : size (42\*42mm)
- ③ : Ratio 1:15
- ④ : Output M-Shaft
- ⑤ : Motor Thickness  
 2 -- 22.2mm  
 3 -- 34mm  
 4 -- 40mm  
 5 -- 49.5mm
- ⑥ : N -- without rearshaft  
 D -- with rearshaft

P/N	Ratio	Backlash	Efficiency	Reducer Length	Step Angle	Current	Holding Torque	Total length	Weight	Remark
TS4215M2N	15:1	3 arcmin	Ca. 96%	27 mm	1.8°	1.0 A	1.7 Nm	49 mm	290 g	
TS4215M3N						1.7 A	3.9 Nm	61 mm	390 g	
TS4215M4N						1.7 A	5.6 Nm	67 mm	450 g	
TS4215M4D						1.7 A	5.6 Nm	67 mm	450 g	Rear Shaft
TS4215M5N						2.0 A	7.9 Nm	76.5 mm	520 g	
TS4215M5D						2.0 A	7.9 Nm	76.5 mm	520 g	Rear Shaft

Il funzionamento di un riduttore armonico si basa sull'elasticità meccanica dei metalli e consente di ottenere alti rapporti di trasmissione ed elevata precisione e una costruzione estremamente compatta e leggera.



I componenti principali sono tre: uno speciale cuscinetto a sfere sottile e deformabile montato su un mozzo ellittico, detto "Wave Generator", una coppa cilindrica sottile e dentata all'esterno della sua estremità aperta, detta "Flexspline", deformabile radialmente ma torsionalmente rigida e un anello rigido dentato internamente, detto "Circular Spline".

Nel funzionamento più comune, il Wave Generator è utilizzato come ingresso veloce, collegando il mozzo a un motore o, comunque, alla sorgente di moto; il Circular Spline è fisso mentre il Flexspline è al carico.

Poiché durante il funzionamento la trasmissione di potenza avviene con un numero molteplice di denti in presa, anche con moduli molto piccoli dell'ordine di grandezza dei decimi di millimetro, è possibile trasmettere coppie relativamente elevate.

I riduttori armonici, grazie all'effetto di precarico generato dalla deformazione elastica, hanno gioco zero in uscita e garantiscono grandi precisioni e ripetibilità di posizionamento. Alti rapporti di riduzione, elevata capacità di coppia e una lunga durata sono altre peculiarità. Inoltre, grazie anche al modo in cui i denti ingranano tra loro, i rendimenti superano anche l'85% e rumore e vibrazioni sono inferiori rispetto ad altri tipi di riduttori.

I rapporti di riduzione, in un singolo stadio, sono tipicamente compresi tra 30:1 e 160:1 ma possono arrivare fino a 320:1.

Con ingombri minimi le coppie sono elevate e possono variare da pochi Nm a centinaia di Nm.

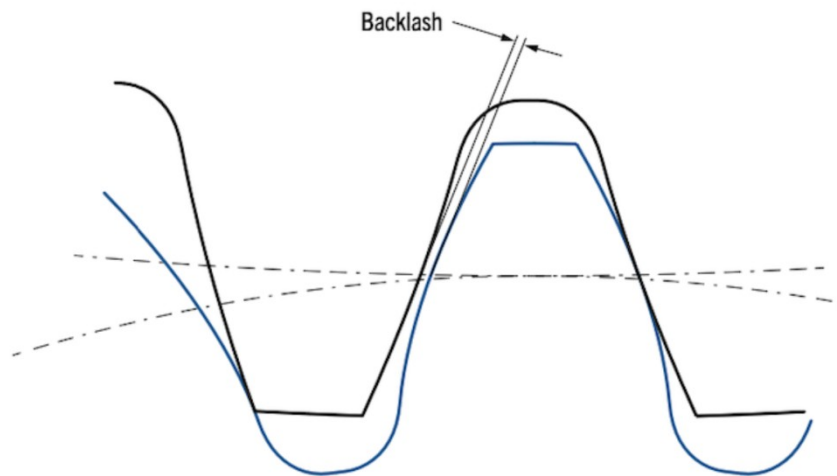
Le velocità massime in ingresso tipicamente sono comprese tra i 2500 e i 6.000 rpm ma, in alcuni casi, nei riduttori più piccoli, possono arrivare e superare i 10.000 rpm.



Technical Specifications		
ITEM	Unit	Info
Step angle	°	0.06
Phases		2
Ratio		1:30
Rated current	A	1.4
Resistance	Ω	2.3 ± 10%
Inductance	mH	3.8 ± 20%
Backlash	arcmin	≤ 2
Noise	dB	≤ 40
Sealing		ball bearing
Protective system		IP 40
Lubrication		life grease
Insulation class		B
Operating temperature	°C	-25 ~ +50
Storage temperature	°C	-25 ~ +80
Weight	g	ca. 383

## IL GIOCO NEI RIDUTTORI (BACKLASH)

Il backlash (gioco d'ingranaggi) è lo spazio tra i denti di due ruote dentate accoppiate che permette il funzionamento senza surriscaldamento. È un parametro critico che causa un ritardo nella trasmissione del movimento quando si inverte la rotazione (gioco di inversione). Riduttori di precisione, come quelli planetari, mirano a minimizzarlo.

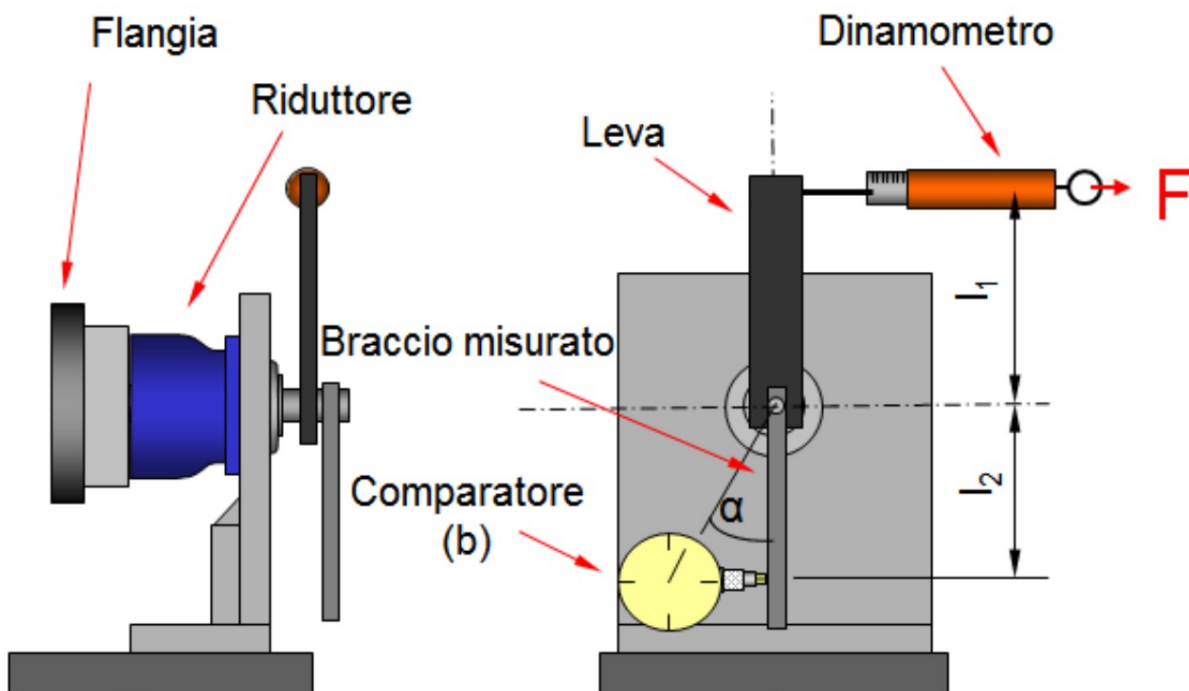


Il backlash è una necessità funzionale. Serve ad evitare interferenze meccaniche, surriscaldamenti, rumorosità e rotture precoci tra i denti.

Il gioco angolare è la caratteristica tecnica che ha maggiormente influenzato il mercato dei riduttori. Influisce non solo sulla precisione e sul comportamento dinamico dell'asse ma anche sulla rumorosità, sulla durata e soprattutto sul costo del riduttore.

### Misurazione

Il backlash si definisce come il movimento a vuoto misurato sull'albero di uscita quando quello di ingresso è bloccato. Ecco come viene misurato, tenendo conto che non c'è univocità di metodo tra i diversi costruttori:



## COMPARAZIONE E SCELTA

Caratteristica	Riduttore Planetario	Riduttore Cicloidale	Riduttore Armonico
<b>Principio Meccanico</b>	Ingranaggi a denti dritti o elicoidali (Sole, Satelliti, Corona).	Disco con profilo cicloidale che ruota attorno a perni fissi.	Deformazione elastica di una tazza metallica (Flexspline).
<b>Gioco (Backlash)</b>	1 – 15 arcmin (standard); <1-3 (alta precisione).	Molto basso (<1 arcmin).	Zero-backlash (intrinseco).
<b>Rapporto di Riduzione</b>	Basso-Medio (3:1 a 10:1 per stadio).	Alto (30:1 a 170:1 in un solo stadio).	Molto Alto (50:1 a 320:1 in un solo stadio).
<b>Efficienza</b>	Alta (90-97%).	Media (80-90%).	Media-Bassa (75-85%).
<b>Densità di Coppia</b>	Buona.	Eccellente (sopporta carichi d'urto elevati).	Buona (ma limitata dalla fatica del metallo).
<b>Ingombro e Peso</b>	Moderato (allungato se multistadio).	Compatto e robusto.	Estremamente compatto e leggero.
<b>Rigidità Torsionale</b>	Alta.	Altissima.	Moderata (limitata dalla flessibilità del componente).
<b>Costo</b>	Generalmente più economico.	Elevato (costruzione complessa).	Elevato (materiali speciali).

## ANALISI DEI PUNTI CHIAVE

### 1. Riduttore Planetario

È il "tuttofare". Offre un'ottima efficienza e una grande versatilità. È la scelta ideale quando è necessaria un'alta velocità di rotazione e una trasmissione di potenza fluida, ma può soffrire di un leggero gioco meccanico che lo rende meno adatto a posizionamenti millimetrici estremi rispetto agli altri due.

### 2. Riduttore Cicloidale

È il "carro armato" dei riduttori. Grazie al fatto che i componenti lavorano in compressione anziché in taglio (come i denti degli ingranaggi), può sopportare picchi di carico improvvisi senza rompersi. È perfetto per la base dei robot industriali o per macchine pesanti dove la precisione deve sposarsi con la robustezza.

### 3. Riduttore Armonico (Harmonic Drive)

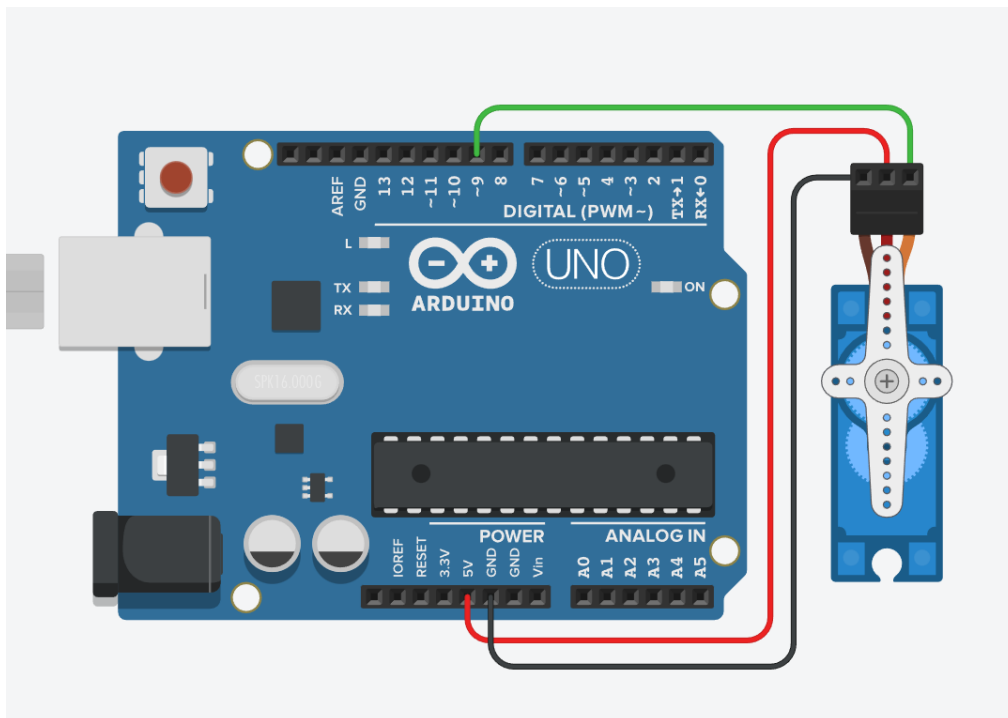
È il re della robotica collaborativa e dell'aerospazio. Sfrutta la deformazione di un anello metallico sottile. Il vantaggio principale è l'assenza totale di gioco e la capacità di ottenere rapporti di riduzione enormi in uno spazio minuscolo. Tuttavia, è più delicato e meno rigido rispetto a un cicloidale.

### Quale scegliere?

- Planetario per automazione generale, nastri trasportatori o dove l'efficienza energetica è prioritaria.
- Cicloidale per giunti di robot industriali pesanti o tavole rotanti soggette a forti urti.
- Armonico per bracci robotici leggeri (COBOT), strumenti chirurgici o sistemi satellitari dove ogni grammo conta.

## GESTIONE SERVOMOTORE DIRETTA CON ARDUINO

Muovere l'albero del servo a destra e a sinistra ( $180^{\circ} \rightarrow 0^{\circ}$  e viceversa) con passo di  $1^{\circ}$ .



### CODICE

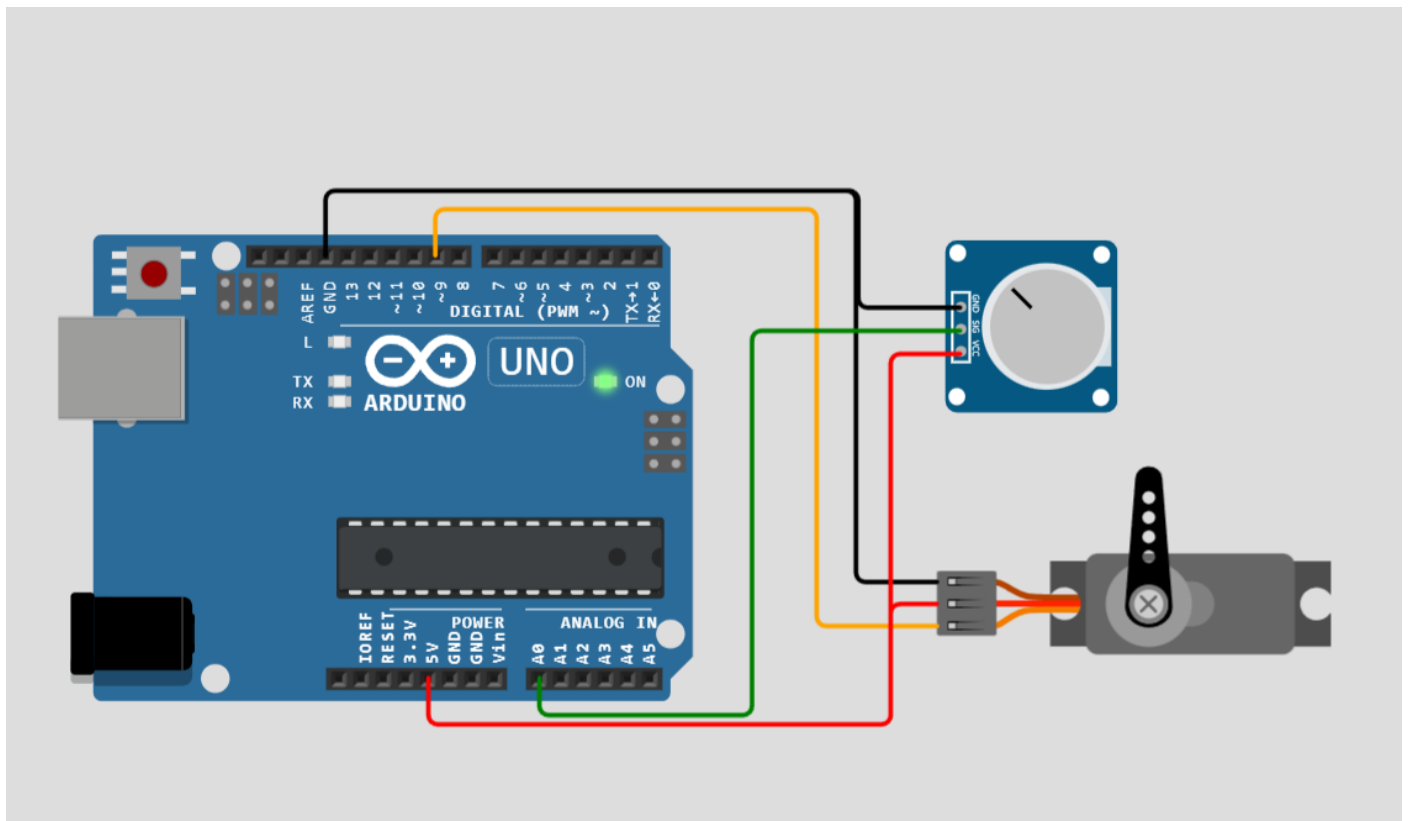
```
#include <Servo.h>
Servo servo_9;
int pos = 0;

void setup()
{
  servo_9.attach(9, 500, 2500);
}

void loop()
{
  // sweep the servo from 0 to 180 degrees in steps of 1 degrees
  for (pos = 0; pos <= 180; pos += 1) {
    servo_9.write(pos);
    delay(15); // Wait for 15 millisecond(s)
  }
  for (pos = 180; pos >= 0; pos -= 1) {
    servo_9.write(pos);
    // wait 15 ms for servo to reach the position
    delay(15); // Wait for 15 millisecond(s)
  }
}
```

### COMPITO

1. Modificare il circuito affinché il servomotore abbia una alimentazione dedicata con transistor NPN.
2. Modificare il codice per gestire due servomotori tramite comandi inviati dal monitor seriale (1 → motore DX, 2 → motore SX, 3 → entrambi i motori e 4 → stop).



simulabile su "wokwi.com"

## CODICE

```
#include <Servo.h>

Servo myservo; // create servo object to control a servo

int potpin = 0; // analog pin used to connect the potentiometer
int val; // variable to read the value from the analog pin

void setup() {
  myservo.attach(9); // attaches the servo on pin 9 to the servo object
}

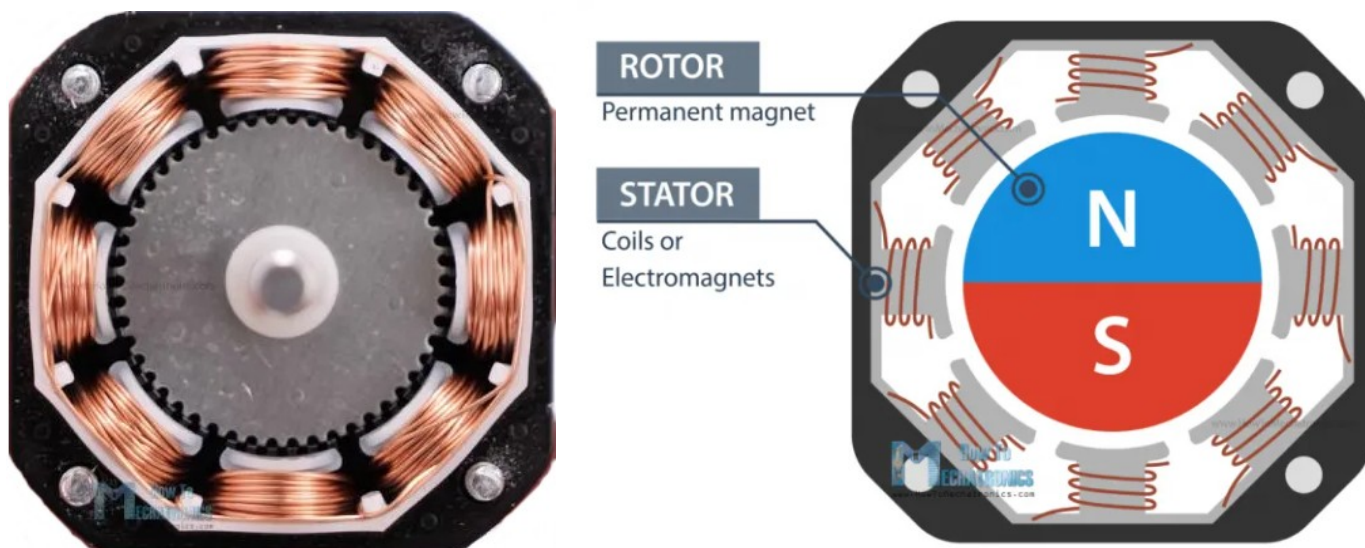
void loop() {
  val = analogRead(potpin); // reads the value of the potentiometer (value between 0 and 1023)
  val = map(val, 0, 1023, 0, 180); // scale it to use it with the servo (value between 0 and 180)
  myservo.write(val); // sets the servo position according to the scaled value
  delay(15); // waits for the servo to get there
}
```

## MOTORE STEPPER (PASSO-PASSO)

Il motore passo passo è un tipo di motore a corrente continua sincrono senza spazzole che, diversamente dagli altri tipi standard di motori elettrici, non ruota in continuazione per un numero arbitrario di giri fino a che non viene interrotto il flusso di corrente continua. Al contrario, i motori passo passo sono dispositivi con controllo digitale delle sorgenti in input e in output, per l'avvio e l'arresto di precisione.

Sono costruiti in modo tale che la corrente che li attraversa passi in una serie di bobine disposte in fase, che possono essere attivate o disattivate in rapida sequenza. Questo permette al motore di girare una frazione di rotazione alla volta, ed è a ciascuno di questi predeterminati passi (step in inglese) che il motore deve il suo nome (motore stepper).

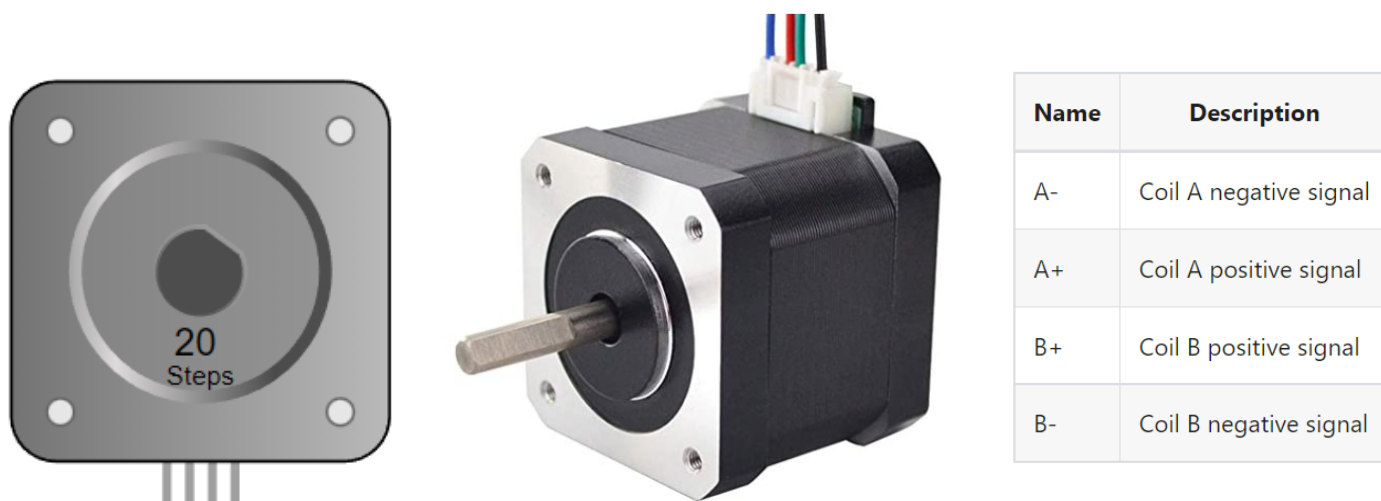
Un motore passo passo è costruito in modo da suddividere una singola rotazione completa in un numero di gran lunga minore di rotazioni parziali uguali.



Il risultato finale è che un motore passo passo può trasferire movimenti minuziosamente accurati a parti meccaniche che richiedono elevati gradi di precisione. Di default il motore passo-passo sposta l'albero motore di 1,8 gradi per passo (200 passi per giro). In generale la velocità massima di un motore stepper è di circa 1000 rpm.

All'aumentare della velocità diminuisce la coppia motrice disponibile (che può essere aumentata montando un riduttore).

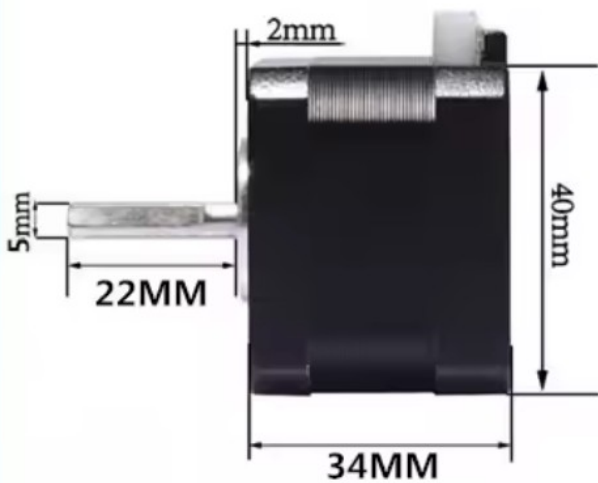
Usando opportuni driver il motore supporta anche mezzo passo (0,9 gradi per passo / 400 passi per giro) ed anche micropassi più piccoli (ad es.  $\frac{1}{2}$ ,  $\frac{1}{4}$  o  $\frac{1}{8}$  di passo).



Tipicamente le due coppie polari sono identificate dai seguenti colori. In ogni caso conviene fare riferimento alla scheda tecnica del produttore.



-  **BLACK A+**
-  **GREEN A-**
-  **RED B+**
-  **BLUE B-**



## DRIVER A4988

Quando si utilizza un motore passo-passo è necessario un chip driver (es. driver A4988) in grado di fornire l'elevata quantità di corrente richiesta dalle bobine del motore.

I motori passo-passo standard hanno 200 passi per giro (i passi sono distanziati di 1,8 gradi).

Il driver stepper supporta il microstepping: consente di muovere il motore a meno di un passo per ogni impulso.

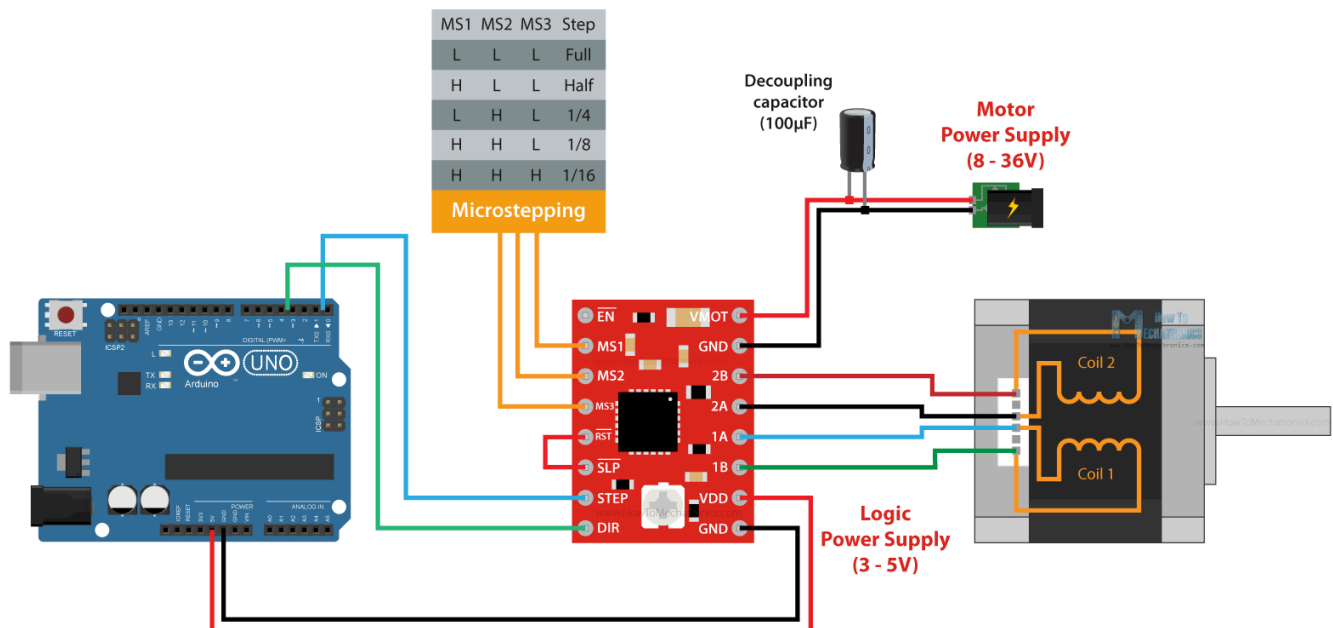
Il microstepping consente un controllo più preciso del movimento del motore (con una riduzione della coppia motrice).

Utilizzare i pin MS1/MS2/MS3 per selezionare la configurazione microstepping per il driver stepper:

MS1	MS2	MS3	Operation mode	Degrees	Microsteps/revolution
0	0	0	Full step (default)	1.8	200
1	0	0	Half step	0.9	400
0	1	0	1/4 step*	0.45	800
1	1	0	1/8 step*	0.225	1600
1	1	1	1/16 step*	0.1125	3200



Come collegare il driver A4988 con il motore passo-passo e il controller Arduino.



### NOTA BENE:

Per motori a bassa resistenza interna (tipica degli stepper) è necessario un driver di corrente e non un driver di tensione come l'L298N. I motori a bassa impedenza sono controllati in corrente, non in tensione.

Per valori di resistenza dell'avvolgimento oltre 30-60 ohm un L298N funziona senza bruciarsi, ma la velocità massima è molto inferiore rispetto a quella ottenibile con un driver di corrente.

## UTILIZZO DEL DRIVER PASSO-PASSO A4988

Collegare i pin del motore passo-passo ai pin 1B/1A/2A/2B del driver.

Il pin RESET deve essere HIGH e quindi si può collegare al pin SLEEP adiacente che è impostato HIGH di default.

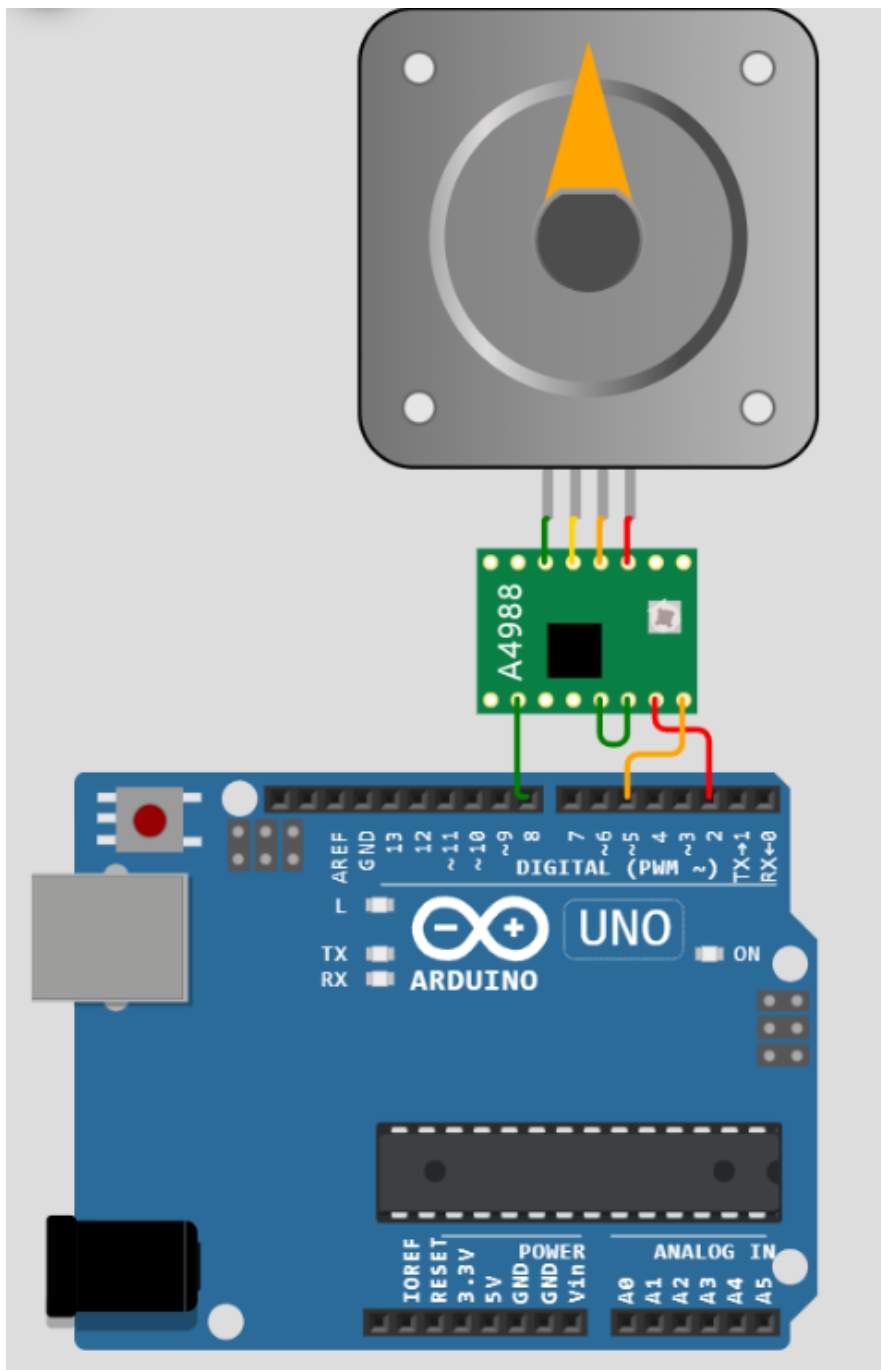
Utilizzare il pin STEP per spostare il motore passo-passo.

Ogni impulso ALTO su questo pin sposterà il motore di un passo (o micropasso, a seconda dei pin MS1/MS2/MS3).

Quando il pin DIR è ALTO, il motore passo-passo si sposterà in senso orario.

Quando il pin DIR è BASSO, il motore si muoverà in senso antiorario.

Ad esempio, se DIR, MS1 e MS3 sono LOW e MS2 è HIGH (modalità 1/4 step), l'impulso del pin STEP sposterà il motore di 1/4 step (0,45 gradi) in senso antiorario.



simulabile su "wokwi.com"

## CODICE

```
#define DIR_PIN 5 // X
#define STEP_PIN 2 // X
#define EN_PIN 8

#define DELAY_ST 5000

int stps=400; // 2 giri completi

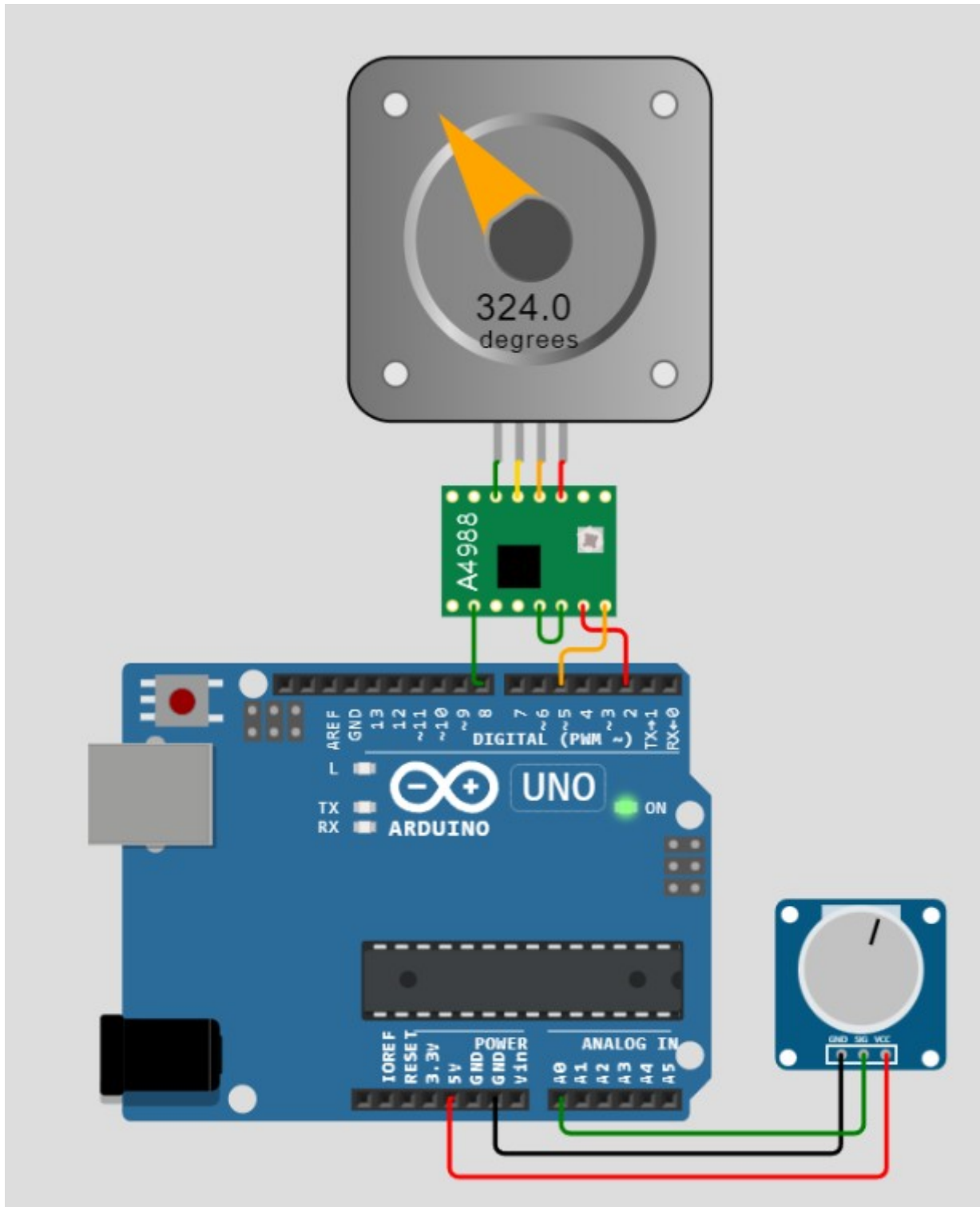
void setup() {
  pinMode(DIR_PIN, OUTPUT);
  pinMode(STEP_PIN, OUTPUT);
  pinMode(EN_PIN, OUTPUT);
  digitalWrite(EN_PIN, LOW);
  delay(1000);
}

void loop() {
  // rotazione ORARIA
  step(true, DIR_PIN, STEP_PIN, stps);
  delay(1000);
  // rotazione ANTIORARIA
  step(false, DIR_PIN, STEP_PIN, stps);
  delay(1000);
}

// dir = true= oraria
void step(boolean dir, byte dirPin, byte stepperPin, int steps)
{
  digitalWrite(dirPin, dir);
  delay(100);
  for (int i = 0; i < steps; i++) {
    digitalWrite(stepperPin, HIGH);
    delayMicroseconds(DELAY_ST);
    digitalWrite(stepperPin, LOW);
    delayMicroseconds(DELAY_ST);
  }
}
```

## UTILIZZO DEL DRIVER PASSO-PASSO A4988 + POTENZIOMETRO

Regolare al velocità di rotazione del motore stepper tramite un potenziometro.



simulabile su "wokwi.com"

## CODICE

```
#define DIR_PIN 5 // X
#define STEP_PIN 2 // X
#define EN_PIN 8

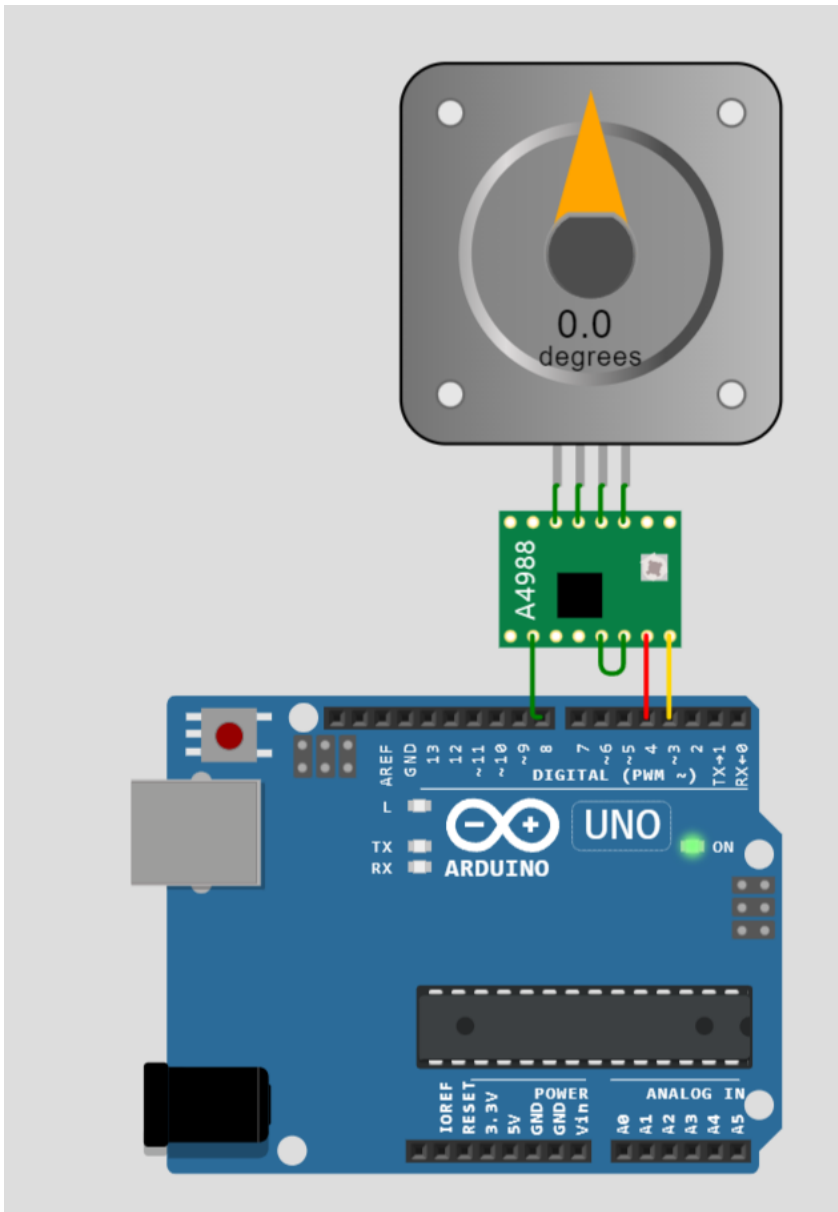
int stps=400; // 2 giri completi
int pot, delay_step;

void setup() {
  pinMode(DIR_PIN, OUTPUT);
  pinMode(STEP_PIN, OUTPUT);
  pinMode(EN_PIN, OUTPUT);
  digitalWrite(EN_PIN, LOW);
  delay(1000);
}

void loop() {
  speedControl();
  // rotazione ORARIA
  step(true, DIR_PIN, STEP_PIN, stps);
  delay(1000);
  // rotazione ANTIORARIA
  step(false, DIR_PIN, STEP_PIN, stps);
  delay(1000);
}

// dir = true= oraria
void step(boolean dir, byte dirPin, byte stepperPin, int steps)
{
  digitalWrite(dirPin, dir);
  delay(100);
  for (int i = 0; i < steps; i++) {
    digitalWrite(stepperPin, HIGH);
    delayMicroseconds(delay_step);
    digitalWrite(stepperPin, LOW);
    delayMicroseconds(delay_step);
  }
}

void speedControl() {
  pot = analogRead(A0); // Read the potentiometer value
  delay_step = map(pot, 0, 1023, 1000, 5000); // Convert the analog input from 0 to 1024, to 300 to 3000
}
```



simulabile su "wokwi.com"

#### CODICE

```
#define DIR_PIN 3
#define STEP_PIN 4
#define MS1_PIN 8

#define DELAY_ST 2000

void setup() {
  pinMode(DIR_PIN, OUTPUT);
  pinMode(STEP_PIN, OUTPUT);
  pinMode(MS1_PIN, OUTPUT);
  digitalWrite(MS1_PIN, LOW);
  delay(1000);
}

void loop() {

  // rotazione ORARIA
  digitalWrite(DIR_PIN, HIGH);

  // 1 giro completo
  for (int i = 0; i < 200; i++) {
```

```

// un passo
digitalWrite(STEP_PIN, HIGH);
delayMicroseconds(DELAY_ST);
digitalWrite(STEP_PIN, LOW);
delayMicroseconds(DELAY_ST);
}

delay(1000);

// // rotazione ANTIORARIA
digitalWrite(DIR_PIN, LOW);

// 1 giro completo
for (int i = 0; i < 200; i++) {
//un passo
digitalWrite(STEP_PIN, HIGH);
delayMicroseconds(DELAY_ST);
digitalWrite(STEP_PIN, LOW);
delayMicroseconds(DELAY_ST);
}

delay(1000);

// microstepping 1/2 --> MS1 alto
digitalWrite(MS1_PIN, HIGH);

// rotazione ORARIA
digitalWrite(DIR_PIN, HIGH);

// 1/2 giro
for (int i = 0; i < 200; i++) {
// un passo
digitalWrite(STEP_PIN, HIGH);
delayMicroseconds(DELAY_ST);
digitalWrite(STEP_PIN, LOW);
delayMicroseconds(DELAY_ST);
}

delay(1000);

// rotazione ANTIORARIA
digitalWrite(DIR_PIN, LOW);

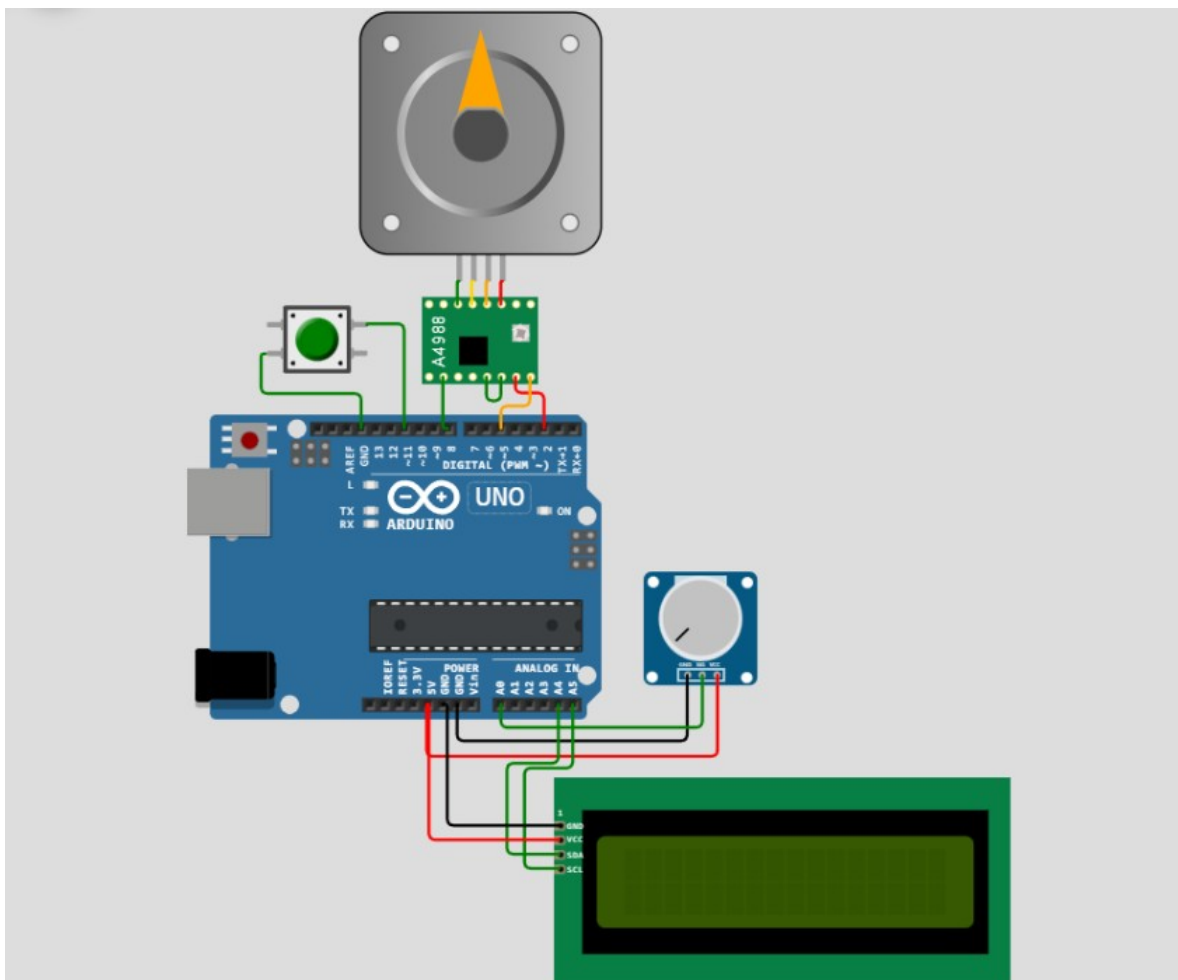
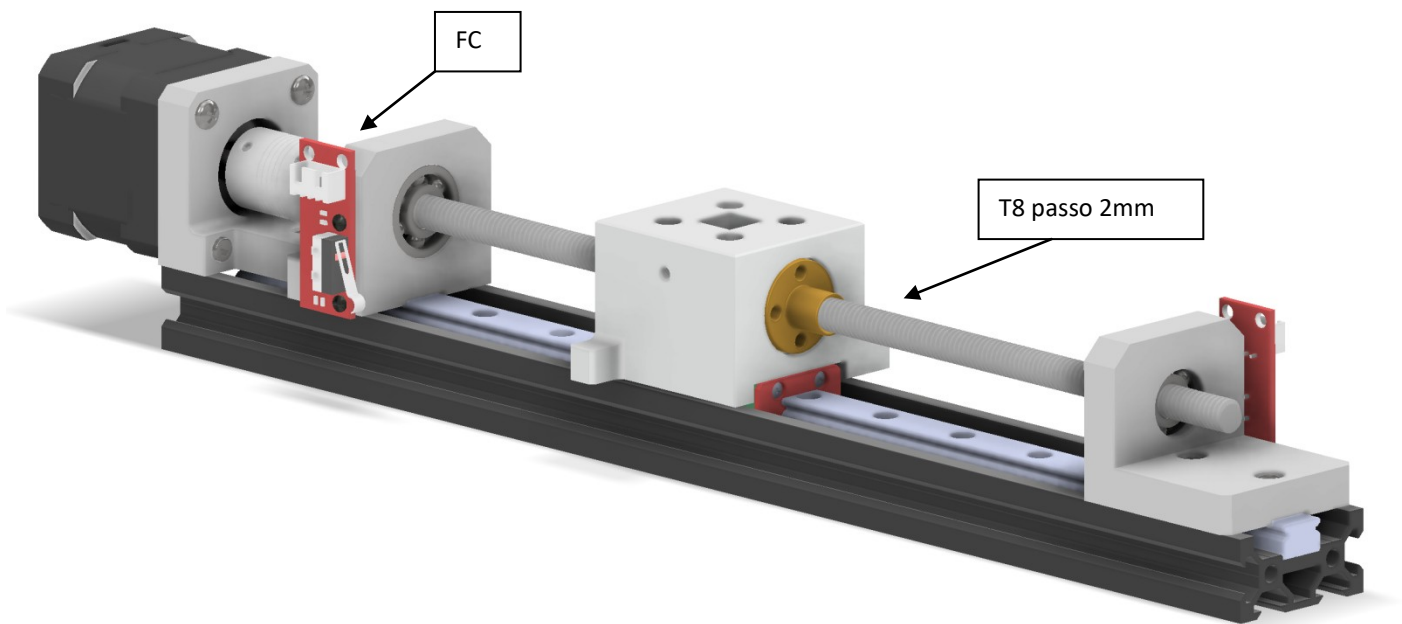
// 1/2 giro
for (int i = 0; i < 200; i++) {
//un passo
digitalWrite(STEP_PIN, HIGH);
delayMicroseconds(DELAY_ST);
digitalWrite(STEP_PIN, LOW);
delayMicroseconds(DELAY_ST);
}

delay(1000);
digitalWrite(MS1_PIN, LOW);
}

```

## GUIDA LINEARE CON MOTORE STEPPER E BARRA FILETTATA T8 PASSO 2MM

La guida è dotata di un finecorsa meccanico "FC" che fornisce segnale "1" quando NON è premuto e "0" quando è premuto. All'accensione il blocco mobile deve portarsi alla "HOME" definita da stato "FC=0". A partire da "HOME" si potranno poi effettuare gli spostamenti assegnati (in mm) dal ciclo proposto.



```

#include <LiquidCrystal_I2C.h>
#define I2C_ADDR    0x27
#define LCD_COLUMNS 20
#define LCD_LINES   4
LiquidCrystal_I2C lcd(I2C_ADDR, LCD_COLUMNS, LCD_LINES);

// FC finecorsa posizione HOME
// rotazione oraria --> allontana slitta dal FC
// rotazione oraria --> avvicina slitta al FC
#define DIR_PIN  5 // X
#define STEP_PIN 2 // X
#define EN_PIN  8 // pin abilitazioe driver
#define FC_PIN  11 // driver

int steps_x_round= 200; // 200 steps al giro
int pot; // potenziometro per velocità
int delay_step=1000;
int FC_STATE = LOW; // stato finecorsa
int HOME_STATE=LOW; // per sapere se sono a HOME
int FLAG_STOP=LOW;
float position;

void setup() {
  Serial.begin(115200);
  lcd.begin(16, 2);

  pinMode(DIR_PIN, OUTPUT);
  pinMode(STEP_PIN, OUTPUT);
  pinMode(EN_PIN, OUTPUT);
  pinMode(FC_PIN, INPUT_PULLUP);
  digitalWrite(EN_PIN, LOW);

  // Attivo LCD
  lcd.init(); lcd.backlight();
  lcd.setCursor(0, 0); lcd.print("...");

  delay(1000);
}

void loop() {
  //HOME antioraria --> vado alla posizione di riposo
  stepHOME(false, DIR_PIN, STEP_PIN, 20000); // 200 mm di corsa max
  delay(1000);

  if (FLAG_STOP== LOW) {
    //oraria--> mi spoto di 5mm --> 5/2mm=2.5 * 200 passi=500 step
    step(true, DIR_PIN, STEP_PIN, 500);
    FLAG_STOP= true;
  }

  delay(1000);
}

// dir = true= oraria
void step(boolean dir, byte dirPin, byte stepperPin, int steps)
{
  digitalWrite(dirPin, dir);
  for (int i = 0; i< steps; i++) {
    FC_STATE = digitalRead(FC_PIN);
    if (FC_STATE == LOW) {
      Serial.println("premuto");
      HOME_STATE= HIGH;
      position= 0.0;
      break;
    }
    if (FC_STATE == HIGH) {
      Serial.println("non premuto");
      digitalWrite(stepperPin, HIGH);
      delayMicroseconds(delay_step);
      digitalWrite(stepperPin, LOW);
    }
  }
}

```

```

    delayMicroseconds(delay_step);

    position= 2.0 * i / steps_x_round;
    Serial.println("mm "); Serial.println(position);
    lcd.setCursor(0, 0); lcd.print("mm "); lcd.print(position);
  }
}
position= position + 2.0 / steps_x_round;
Serial.println("mm "); Serial.println(position);
lcd.setCursor(0, 0); lcd.print("mm "); lcd.print(position);
}

void stepHOME(boolean dir, byte dirPin, byte stepperPin, int steps)
{
  // SE NON SONO A HOME
  if (HOME_STATE == LOW) {
    digitalWrite(dirPin, dir);
    delay(100);
    for (int i = 0; i < steps; i++) {
      FC_STATE = digitalRead(FC_PIN);
      if (FC_STATE == LOW) {
        Serial.println("premuto");
        HOME_STATE= HIGH;
        position= 0.0;
        break;
      }
      else if (FC_STATE == HIGH) {
        Serial.println("non premuto");
        digitalWrite(stepperPin, HIGH);
        delayMicroseconds(delay_step);
        digitalWrite(stepperPin, LOW);
        delayMicroseconds(delay_step);
      }
    }
  }
}
}
}
}

```

Possiamo controllare i motori passo-passo con altri driver come il DRV8825.

Il principio di funzionamento, le connessioni e la codifica sono quasi le stesse per entrambi questi driver.

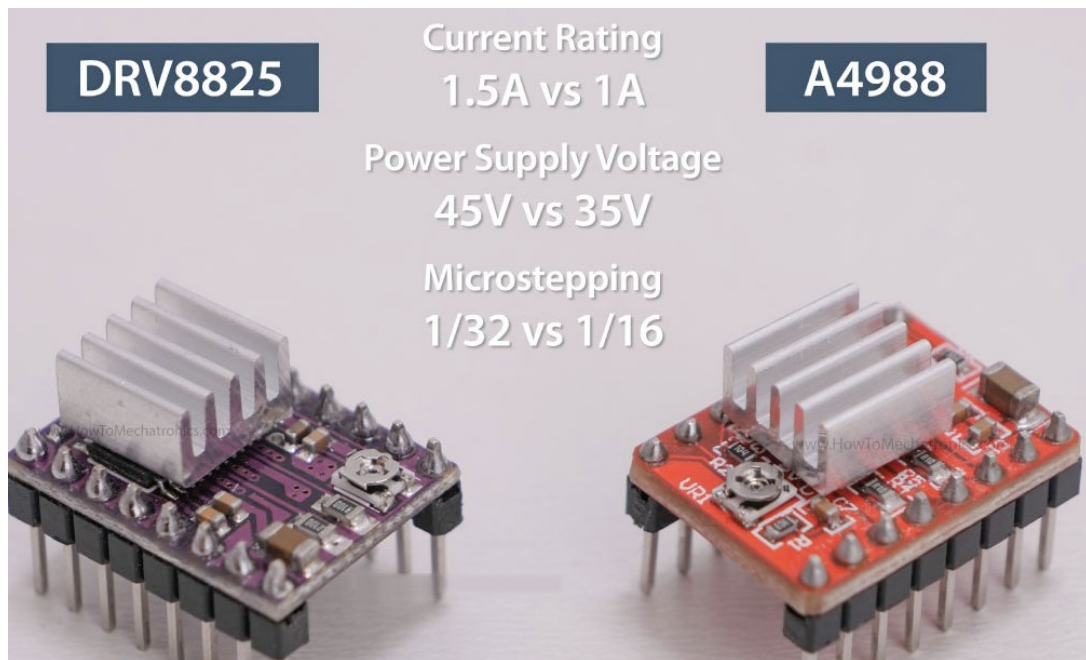
La differenza tra loro sta nelle loro caratteristiche tecniche.

Il DRV8825 è un driver passo-passo di Texas Instruments che può essere utilizzato come sostituto diretto del driver Allegro A4988 poiché le loro connessioni sono le stesse.

Le tre differenze principali tra loro sono che il DRV8825

- può fornire più corrente rispetto all'A4988 senza raffreddamento aggiuntivo (1,5 A vs 1 A)
- ha una tensione di alimentazione massima più alta (45 V vs 35 V)
- offre una risoluzione microstepping più elevata (32 vs 16 microstep )

Altri driver più recenti come il TMC2208 presentano caratteristiche ancora migliori e soprattutto una silenziosità in funzionamento decisamente migliore dei precedenti.



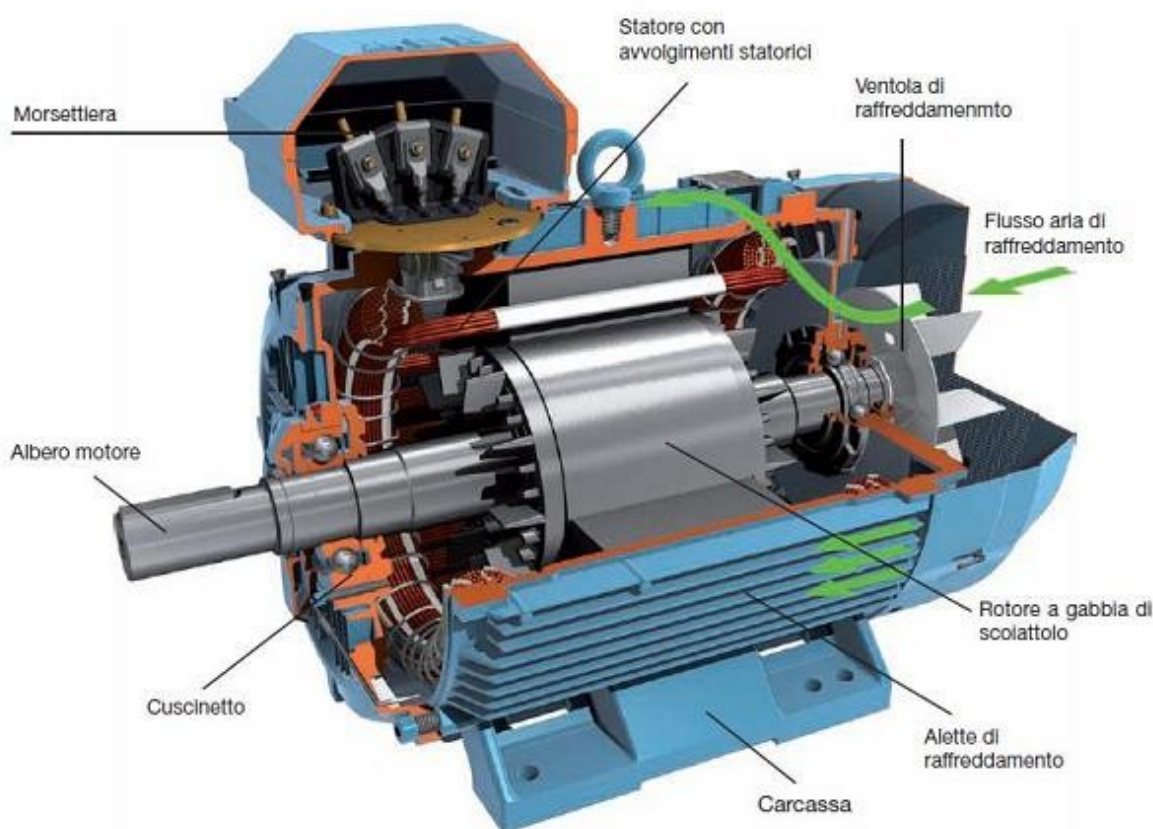
Il motore asincrono è chiamato anche motore a induzione poiché funziona secondo il principio dell'induzione elettromagnetica. Il motore asincrono è generalmente abbreviato in ASM o IM. Il rotore di un motore asincrono gira più lentamente del campo magnetico rotante presente nello statore, cioè in modo asincrono rispetto allo statore.

La differenza tra la velocità dello statore e la velocità del rotore è chiamata anche scorrimento "s". Se la velocità del rotore è uguale alla velocità dello statore, lo scorrimento è nullo e il motore asincrono non eroga alcuna coppia positiva.

Nel funzionamento come generatore il rotore gira più velocemente del campo rotante dello statore. A causa della differenza di velocità, si genera una coppia negativa che cerca di frenare il rotore.

I motori asincroni che funzionano direttamente con corrente alternata bifase o trifase senza inverter hanno un'efficienza inferiore rispetto ai motori sincroni a magneti permanenti. Tuttavia con un inverter possono raggiungere rendimenti simili.

Un motore asincrono è costituito dai componenti indicati nella figura sottostante:



Spaccato di un motore asincrono

Si distinguono due tipologie principali di motore asincrono:

- con **rotore avvolto** chiamato anche "**ad anello scorrevole**"
- con **rotore in cortocircuito** o più comunemente definito come rotore "**a gabbia di scoiattolo**".

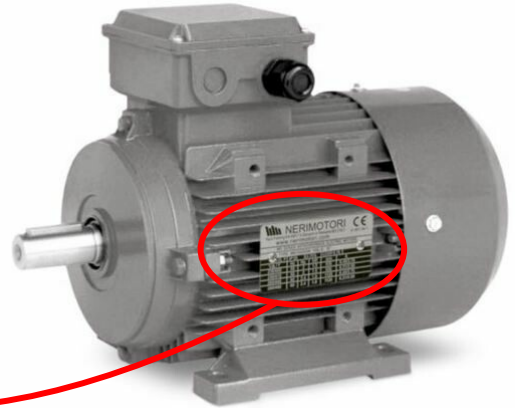
La principale differenza tra i due tipi risiede proprio nella struttura del rotore. Lo statore è molto simile per entrambi.

Per la tipologia "**ad anello scorrevole**", il rotore è costituito da avvolgimenti veri e propri come quelli dello statore, presenta una struttura più complessa (spazzole che strisciano sul rotore con possibile interposizione di resistenze per il controllo della fase di avviamento), necessità di manutenzione periodica e dimensioni d'ingombro elevate.

La tipologia "**a gabbia di scoiattolo**" ha invece un rotore costituito da sbarre chiuse in cortocircuito che garantiscono una maggiore semplicità costruttiva, robustezza ed economicità.

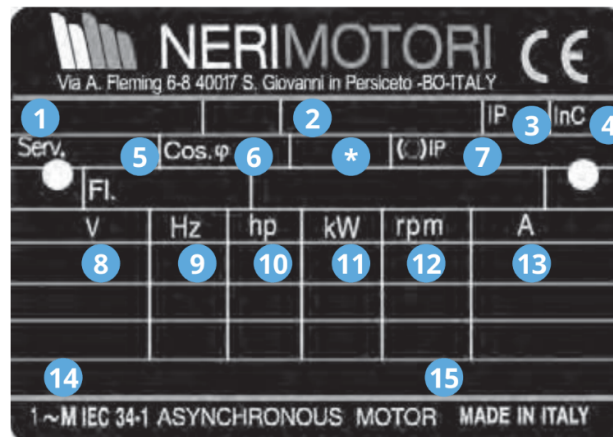
Grazie allo sviluppo dell'elettronica di controllo che permette la regolazione della velocità in modo molto semplice ed efficace, tutte quelle applicazioni che vedevano l'impiego di motori in corrente continua (più facilmente regolabili in velocità con le vecchie tecnologie) hanno lasciato il posto ai motori asincroni, in particolare a quelli a gabbia di scoiattolo, che vengono comunemente utilizzati per comandare gli azionamenti industriali più svariati.

## DATI DI TARGA DI UN MOTORE AC



## SIGNIFICATO DEI DATI

Il numero in basso a sinistra "3-M" indica TRIFASE (380V) mentre "1-M" indica MONOFASE (220V).



- 1- Tipo di motore (T trifase AT autofrenante DP doppia polarità ME monofase con condensatore elettronico...)  
Grandezza della cassa del motore (da 56 a 355). Numero di poli motore (2-4-6-8-4/6-4/8...)  
es: DP112B4/6 motore doppia polarità grandezza 112B a 4 e 6 poli.
- 2- Matricola o Serial number assegnato dal costruttore
- 3- Grado di protezione da agenti esterni, IP 55 è standard
- 4- Classe di isolamento degli avvolgimenti:  
in Cl.F temperatura massima ammissibile 165°, in Cl.H temperatura massima ammissibile 180°
- 5- Tipo di servizio in funzionamento:  
S1 servizio continuo – S2 servizio di durata limitata – S3 servizio intermittente periodico
- 6- Fattore di potenza
- 7- Dati specifici del freno se presente:  
DC freno in corrente continua – AC freno in corrente alternata...
- 8- Tensione di alimentazione del motore, voltaggi variabili a seconda del Paese di utilizzo
- 9- Frequenza: 50 o 60Hz
- 10- Potenza del motore espressa in hp
- 11- Potenza del motore espressa in kW
- 12- Giri del motore al minuto
- 13- Corrente nominale – assorbimenti
- 14 e 15- Dati del condensatore

\* Altri dati particolari del motore: es. C3 cuscinetti C3 – T motore tropicalizzato – 1S motore con 1 scaldiglia anticondensa – VL motore con volano – A motore con fori anticondensa...

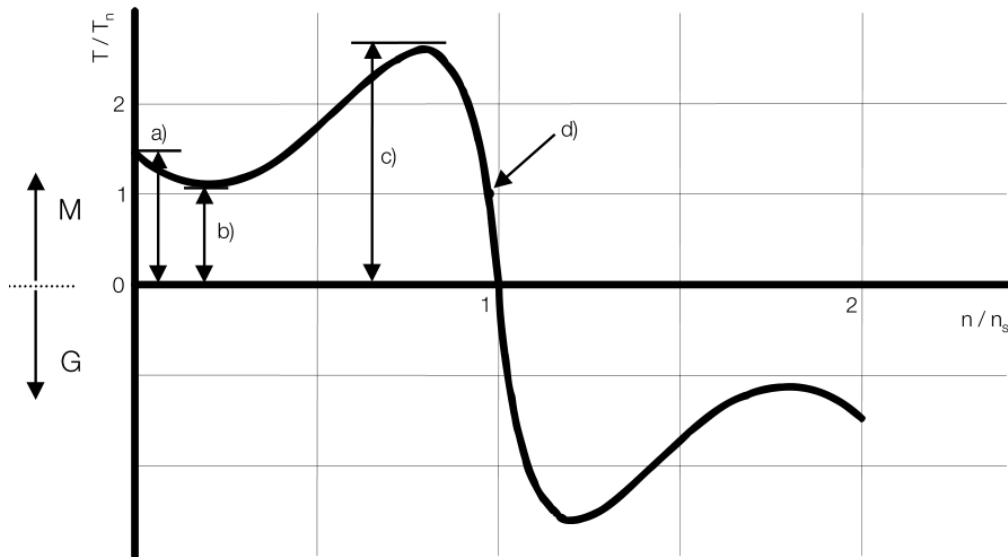
## CARATTERISTICHE DEL MOTORE A INDUZIONE AC

I motori a induzione convertono l'energia elettrica in energia meccanica. La conversione dell'energia si basa sull'induzione elettromagnetica. Il fenomeno dell'induzione determina lo scorrimento "s" del motore.

Tale scorrimento viene spesso definito come il punto nominale del motore (frequenza (  $f_n$  ), velocità (  $n_n$  ), coppia (  $T_n$  ), tensione (  $U_n$  ), corrente (  $I_n$  ) e potenza (  $P_n$  )).

Al punto nominale:  $s_n = \frac{n_s - n_n}{n_s} * 100\%$  con  $n_s$  la velocità sincrona:  $n_s = \frac{2 * f_n * 60}{\text{numero poli}}$

Quando il motore è collegato a un'alimentazione con tensione e frequenza costanti, ne risulta una curva della coppia:



Tipica curva coppia/velocità di un motore a induzione collegato alla rete di alimentazione (D.O.L., Direct-On-Line).  
Nell'immagine a) è la coppia bloccata del rotore, b) è la coppia d'arresto, c) è la coppia massima del motore,  $T_{max}$  e d) è il punto nominale del motore.

La coppia massima di un motore a induzione standard (  $T_{max}$ , detta anche coppia massima in esercizio continuo o coppia alla tensione di scarica) è normalmente pari a 2-3 volte la coppia nominale.

La coppia massima è disponibile con scorrimento  $s_{max}$ , che è maggiore dello scorrimento nominale.

Per utilizzare in modo efficiente un motore a induzione, lo scorrimento del motore dovrebbe rientrare nel campo ( -  $s_{max}$  ...  $s_{max}$  ), che si ottiene controllando la tensione e la frequenza.

Il controllo può essere effettuato utilizzando un **convertitore di frequenza**.

I convertitori di frequenza limitano normalmente la coppia massima disponibile al 70% di  $T_{max}$ .

Il campo di frequenza al di sotto della frequenza nominale è denominato **campo a flusso costante**.

La coppia massima di un motore a induzione è proporzionale al quadrato del flusso magnetico (  $T_{max} \sim \psi^2$  ).

Ciò significa che la coppia massima è tendenzialmente costante in corrispondenza del campo di flusso costante.

Al di sopra della frequenza/velocità nominali, il motore funziona nel range di indebolimento di campo.

Nel range di indebolimento di campo, il motore può funzionare a potenza costante, e pertanto il range di indebolimento di campo viene talvolta definito campo di potenza costante.

La coppia massima di un motore a induzione è proporzionale al quadrato del flusso magnetico (  $T_{max} \sim \psi^2$  ).

Ciò significa che la coppia massima è tendenzialmente costante in corrispondenza del campo di flusso costante.

Al di sopra del punto di indebolimento di campo, la riduzione della coppia massima è inversamente proporzionale al quadrato della frequenza.

## CORRENTE ASSORBITA DAL MOTORE AC

La corrente del motore a induzione comprende due componenti: corrente reattiva ( $I_{sd}$ ) e corrente attiva ( $I_{sq}$ ).

La componente reattiva è legata alla magnetizzazione che si genera nel motore, mentre la corrente attiva è quella che genera la coppia motrice del motore.

La corrente totale assorbita dal motore è pari a: 
$$i_m = \sqrt{i_{sd}^2 + i_{sq}^2}$$

Si può riscontrare che a coppia motore uguale a zero, la componente di corrente attiva è uguale a zero.

Con valori di coppia più elevati, la corrente del motore diventa quasi proporzionale alla coppia.

La corrente di magnetizzazione può essere calcolata con la:  $I_{sd} = I_n \sin(\varphi_n)$  dove  $\varphi_n$  è il **fattore di potenza** del motore

Una buona approssimazione della corrente totale del motore è:  $i_m = \frac{T_{load}}{T_n} * I_n$  quando  $0,8 * T_n \leq T_{load} \leq 0,7 * T_{max}$

ES: Il motore da 15 kW è caratterizzato da una corrente nominale di 32 A e da un fattore di potenza di 0,83.

Qual è approssimativamente la corrente di magnetizzazione del motore al punto nominale?

Qual è la corrente approssimativa totale al 120 % della coppia al di sotto del punto di indebolimento di campo?

$$I_{sd} = I_n \sin(\varphi_n) = 32 * \sqrt{1 - 0,83^2} = 17,8 \text{ A}$$

$$i_m = \frac{T_{load}}{T_n} * I_n = 1,2 * 32 \text{ A} = 38,4 \text{ A}$$

Al di sopra del punto di indebolimento del campo elettromagnetico le componenti di corrente dipendono anche dalla velocità.

## POTENZA DEL MOTORE A INDUZIONE AC

La potenza (di uscita) meccanica del motore può essere calcolata partendo dalla velocità e dalla coppia utilizzando le seguenti formule:

$$P_{out} [\text{W}] = T [\text{Nm}] * \omega [\text{rad/s}]$$

$$P_{out} [\text{kW}] = \frac{T [\text{Nm}] * n [\text{rpm}]}{9550}$$

La potenza di ingresso del motore può essere calcolata a partire dalla tensione  $U$ , dalla corrente  $I$  e dal fattore di potenza:

$$P_{in} = \sqrt{3} * U * I * \cos(\varphi)$$

L'efficienza del motore è il valore della potenza di uscita diviso per la potenza di ingresso:  $\eta = \frac{P_{out}}{P_{in}}$

ES: La potenza nominale del motore è pari a 15 kW e la velocità nominale a 1.480 giri/min. Qual è la coppia nominale  $T_n$ ?

$$T_n = \frac{9550 * 15}{1480} \text{ Nm} = 96,8 \text{ Nm}$$

ES: Qual è l'efficienza nominale di un motore da 37 kW ( $P_n = 37 \text{ kW}$ ,  $U_n = 380 \text{ V}$ ,  $I_n = 71 \text{ A}$  e  $\cos(\varphi_n) = 0,85$ )?

$$\eta_n = \frac{P_{out}}{P_{in}} = \frac{P_n}{\sqrt{3} * U_n * I_n * \cos(\varphi_n)} = \frac{37000}{\sqrt{3} * 380 * 71 * 0,85} \approx 0,931$$

## CAPACITÀ DI CARICO TERMICO DEL MOTORE AC

La capacità di carico termico del motore indica la capacità del motore di mantenere una coppia motrice a lungo termine senza surriscaldarsi e danneggiarsi.

I motori a induzione standard sono generalmente dotati di ventilazione propria (vedi figura).

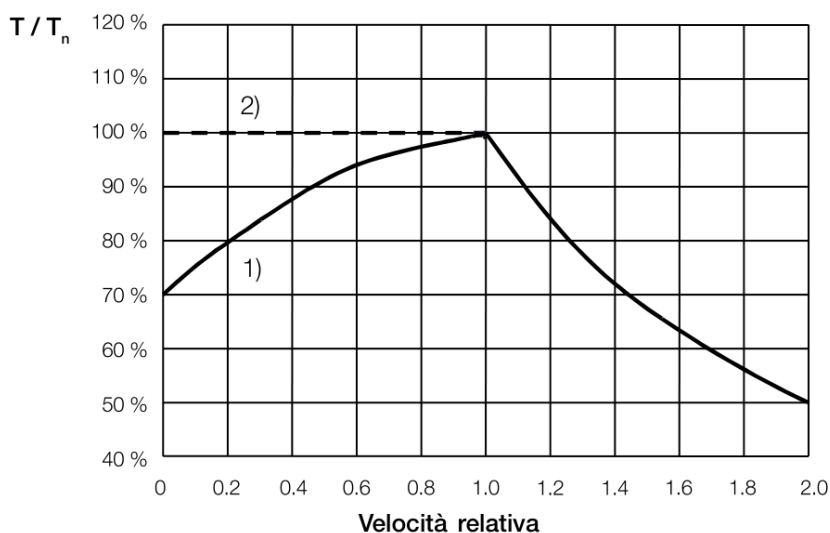
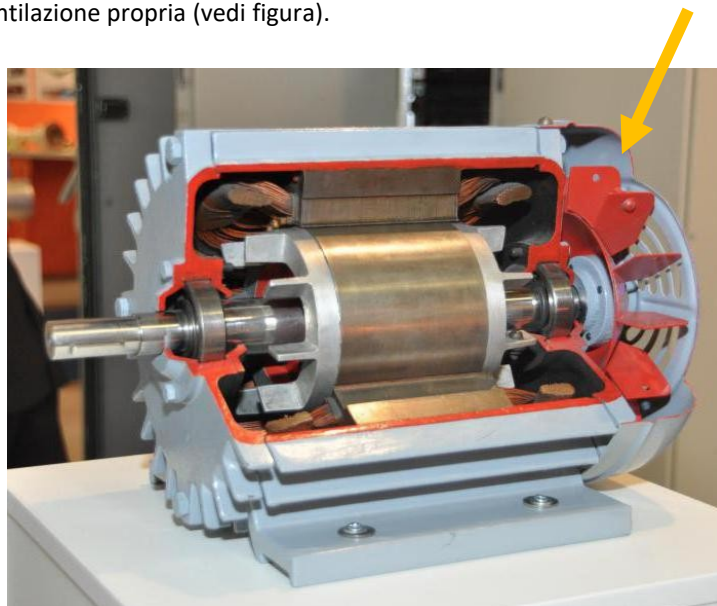
A causa di questa caratteristica, la capacità di carico termico del motore decresce proporzionalmente alla diminuzione della sua velocità.

Questo tipo di comportamento limita la coppia continua disponibile alle basse velocità.

I motori con sistema di raffreddamento separato possono essere caricati anche alle basse velocità.

Spesso il sistema di raffreddamento è dimensionato affinché l'effetto raffreddante sia lo stesso di quello al punto nominale.

Sia con sistemi di raffreddamento propri che separati, la coppia è termicamente limitata nel range di indebolimento di campo.



La capacità di carico tipica di un motore a induzione a gabbia di tipo standard in un azionamento controllato in frequenza

- 1) senza sistema di raffreddamento separato
- 2) con sistema di raffreddamento separato.

E' possibile sovraccaricare un motore in c.a. per brevi periodi di tempo senza surriscaldarlo.

Il sovraccarico di breve termine è prevalentemente limitato da Tmax (verificare i margini di sicurezza).

In termini generici, la capacità di sovraccarico termico di breve termine del convertitore di frequenza è spesso più critica di quella del motore.

Il tempo di rialzo termico del motore normalmente è superiore ai 15 minuti (motori di piccole dimensioni) fino a qualche ora (motori più grandi) in base alle dimensioni del motore.

Il tempo di rialzo termico del convertitore di frequenza (normalmente di pochi minuti) è specificato nei manuali dei singoli prodotti.

## STATORE DI UN MOTORE ASINCRONO

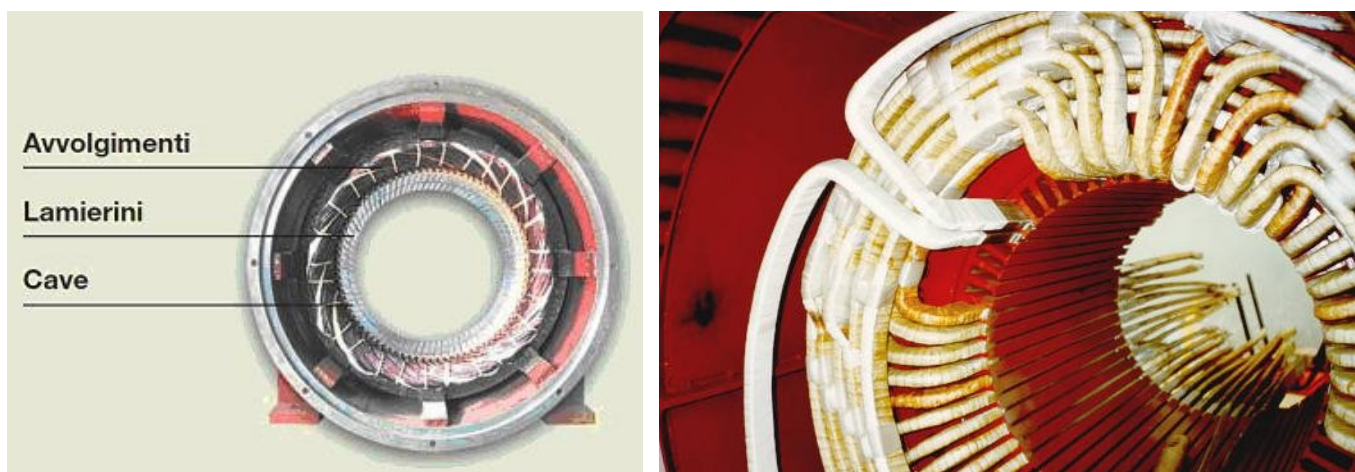
Questo componente può essere definito come l'insieme delle parti fisse e costituisce la parte del circuito magnetico che contiene gli avvolgimenti induttori alloggiati in apposite cave in esso ricavate in corrispondenza della sua superficie interna.

La struttura dello statore è la stessa per entrambe le tipologie di motore AC.

Per condurre il flusso magnetico nel motore elettrico, lo statore e il rotore sono costituiti da diversi strati di lamierino elettrico, solitamente di 0,5 mm di spessore. Quanto più sottile è il foglio elettrico, tanto minori sono le perdite per correnti parassite nel motore elettrico e maggiore è la sua efficienza.

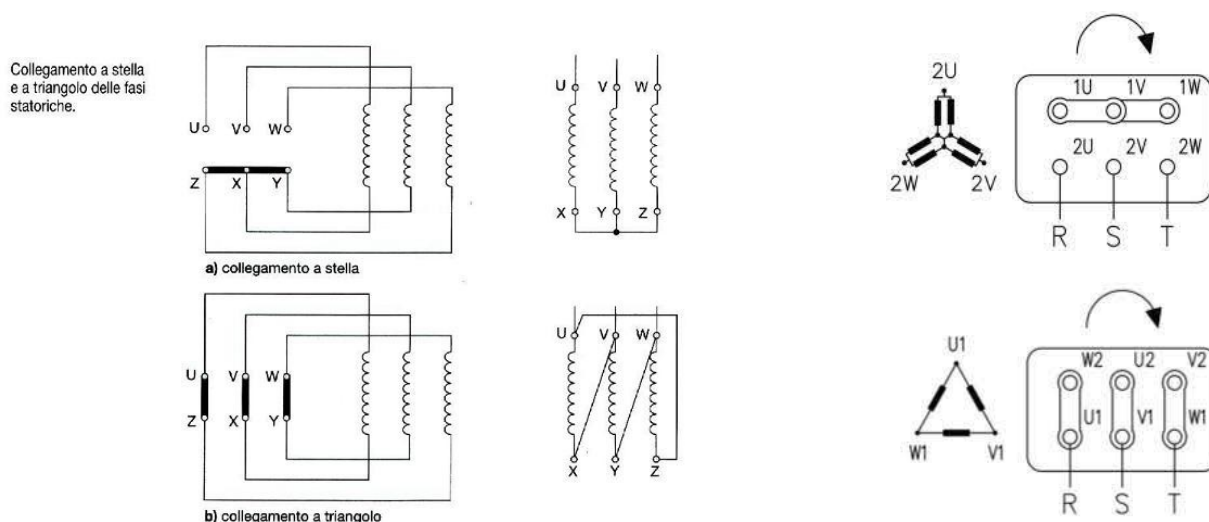
Lo statore porta gli avvolgimenti in cui scorre la corrente trifase.

Di norma, lo statore ha tre fasi del motore, che possono essere collegate in configurazione a stella o a triangolo. Il rotore contiene barre conduttrici o avvolgimenti in cortocircuito, a seconda del tipo di motore asincrono.

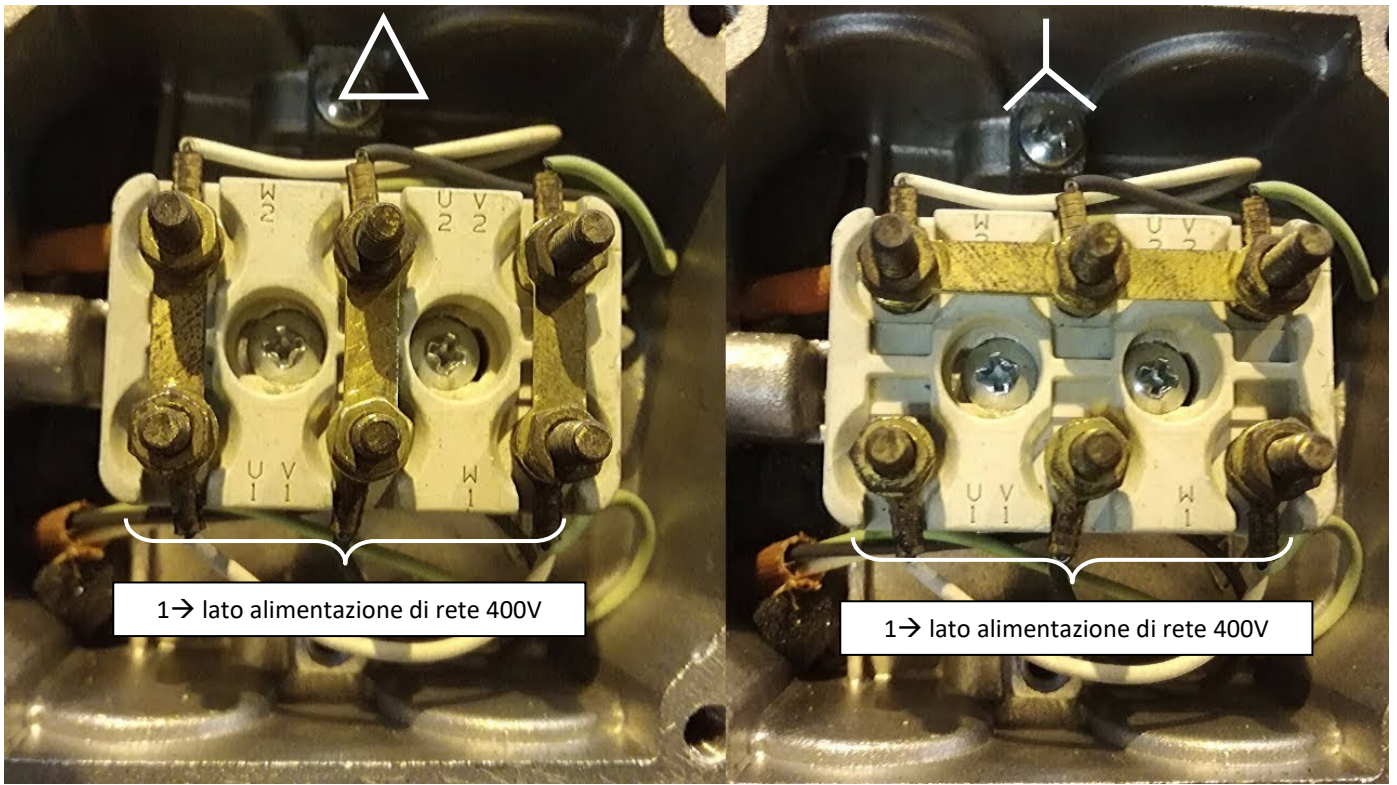


Gli avvolgimenti statorici trifase possono essere collegati a stella oppure a triangolo se il motore è dotato di morsetteria con 6 morsetti. In questo modo è possibile alimentare lo stesso motore con tensioni trifase di rete differenti. Infatti la condizione necessaria al funzionamento del motore è che ciascun avvolgimento statorico sia sottoposto alla sua tensione nominale.

Perciò collegare a stella con tensione concatenata (fase-fase) 400V o a triangolo con tensione concatenata (fase-fase) 230V sarà del tutto equivalente in quanto gli avvolgimenti saranno sempre sottoposti ad una tensione di 230V ( $400V/1,73$ ).



Collegamenti stella/triangolo del motore asincrono



<b>Motore trifase ad una velocità</b>	
<p>Collegamento a stella</p>	<p>Collegamento a triangolo</p>
<b>Motore trifase a due velocità, unico avvolgimento (Dahlander)</b>	
<p>Bassa velocità</p>	<p>Alta velocità</p>
<b>Motore trifase a due velocità, due avvolgimenti separati</b>	
<p>Bassa velocità</p>	<p>Alta velocità</p>
<b>Motore monofase a condensatore permanente</b>	
<p>Rotazione in un senso</p>	<p>Rotazione nel senso contrario</p>

## COLLEGAMENTO A STELLA E A TRIANGOLO

Nel collegamento **a triangolo** i tre avvolgimenti sono collegati tra loro ( un capo dell'avvolgimento R sarà collegato al capo di S; l'altro capo S sarà collegato al capo T e l'altro capo T all'altro capo S).

Se si prova a disegnare questo collegamento, si ottiene, appunto, un triangolo.

A livello elettrico, ad ognuno dei tre capi di giunzione si collega, sempre singolarmente, ognuna delle 3 fasi.

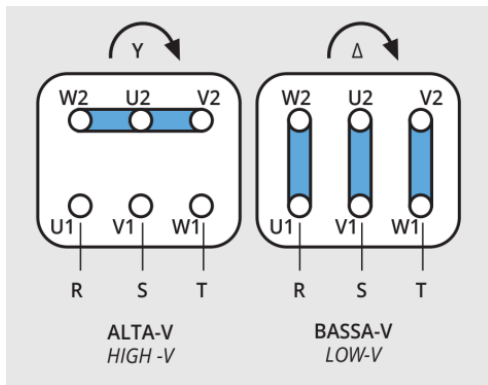
In questa maniera la differenza di potenziale ai capi di ognuno degli avvolgimenti sarà di 380 V.

Nel collegamento **a stella** si collega ogni fase (singolarmente) ai tre capi di tre avvolgimenti (resistivi o induttivi); gli altri tre capi si collegano tra loro per formare il centro stella.

Se si prova a disegnare lo schema di collegamento, si ottiene una stella a tre punte.

A livello elettrico, il centro stella ha potenziale zero mentre la differenza di potenziale tra il centro stella ed ognuna delle fasi ( e quindi la differenza di potenziale ai capi di ogni avvolgimento) sarà, nel caso di trifase a 380V, di 220V.

*Generalmente il collegamento triangolo è quello che corrisponde alla potenza nominale del motore.*



- Le fasi RST sono quelle della linea di alimentazione a monte del motore.
- Le fasi U V W sono quelle all'entrata delle fasi del motore;
- Le fasi X Y Z sono quelle finali (lato centro stella se c'e') delle fasi del motore.

## OSSERVAZIONI

### **Cosa cambia collegare un motore trifase a stella o a triangolo?**

La corrente assorbita nel collegamento a triangolo è 3 volte quella assorbita nel collegamento a stella.

Di conseguenza anche la coppia motrice è 3 volte maggiore. Gli avvolgimenti di un motore progettati per una tensione nominale di 220 V, non possono essere collegati a triangolo in un sistema trifase a 380 V, ma solo a stella; possono ovviamente essere collegati a triangolo in un sistema trifase di 220 V.

### **Un collegamento a stella ha minore assorbimento?**

Non bisogna illudersi che un motore, le cui caratteristiche sono riferite al collegamento a triangolo, assorba meno corrente a carico con il collegamento a stella. Se il carico è immutato ed il motore è in grado di avviarsi anche collegato a stella, a regime funzionerà con uno scorrimento più elevato ma (ATTENZIONE!) con un surriscaldamento che può essere eccessivo.

### **Il numero di giri varia se collego a triangolo o a stella?**

A vuoto la velocità del motore è la stessa in entrambi i collegamenti.

A carico invece occorre fare le seguenti considerazioni.

Con il collegamento a stella la coppia si riduce ad un terzo di quella a triangolo, a parità di tensione di linea.

Se la coppia del carico è costante (esempio: motore di un argano che solleva un dato peso), il motore deve rallentare per aumentare la coppia. Aumenta quindi lo scorrimento, aumentano le perdite ed il motore si scalda di più.

Nel caso in cui la coppia diventasse insufficiente, potrebbe capitare che il motore addirittura si fermi.

### **Se cambio il collegamento nella morsettiera Da stella a triangolo cosa succede?**

Se il collegamento nella morsettiera viene modificato per essere da stella a triangolo, aumenta la tensione ai capi di ogni avvolgimento del 73% per cui è disponibile una coppia massima 3 volte maggiore.

### **Quando posso utilizzare il collegamento a triangolo? Perché?**

Se la tensione concatenata non è superiore alla tensione nominale dell'avvolgimento è possibile utilizzare il collegamento a triangolo, altrimenti il motore rischierebbe di bruciarsi.

### **Perché se inverte le fasi in un motore lo stesso inverte il senso di rotazione?**

Perché cambia il senso di rotazione del campo rotante.

### **Perché il collegamento stella triangolo viene preferito rispetto al collegamento diretto?**

Perché si ritiene troppo elevata, quindi dannosa, la corrente di avviamento diretta.

Ma, nella maggior parte dei casi, è un timore infondato se il motore è alimentato direttamente dalla rete.

### **Con avviamento stella-triangolo il motore si scalda di più che in modo diretto?**

Dipende dalla durata dell'avviamento. La coppia accelerante si riduce a stella, quindi aumenta il tempo di avviamento.

## ROTORE DEL MOTORE ASINCRONO

Il rotore viene posizionato all'interno dello statore e costituisce il circuito indotto della macchina.

Per un motore a **"gabbia di scoiattolo"**, il rotore è costituito da un sistema di sbarre conduttrici (rame o alluminio) coassiali all'asse di rotazione e pressofuse direttamente nelle cave ricavate lungo tutta la periferia esterna del nucleo ferromagnetico.

Le sbarre vengono chiuse in cortocircuito da due anelli conduttori posti agli estremi che costituiscono anche un fissaggio meccanico per le sbarre stesse.

Si ottiene così un rotore estremamente compatto e robusto, al quale si fissa anche l'albero del motore.

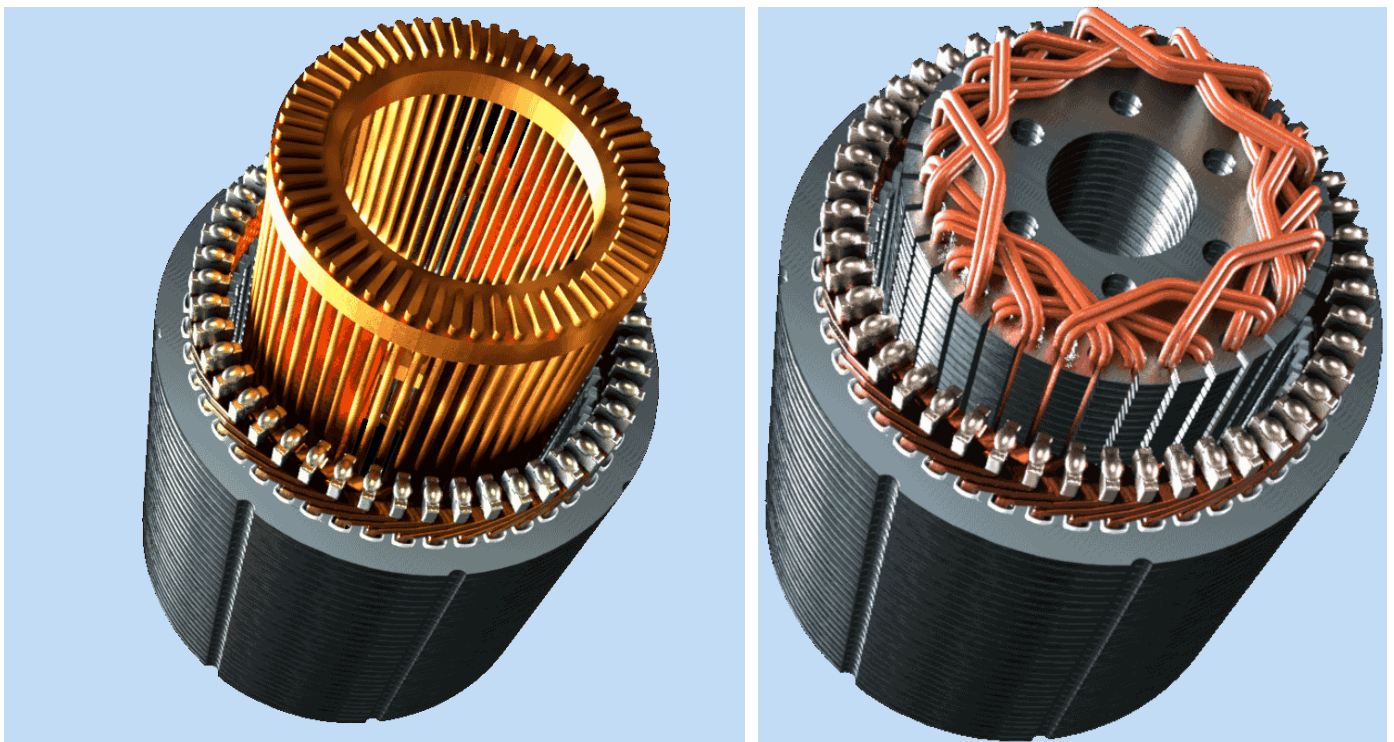
Il campo magnetico indotto che costituisce il principio di funzionamento del motore porta quindi in rotazione l'albero del motore convertendo così energia elettrica in meccanica.

Il rotore a gabbia di scoiattolo è il più utilizzato perché non ha anelli di scorrimento e quindi ha una durata maggiore. Inoltre, la produzione del rotore è molto più economica.

In un rotore **"ad anello scorrevole"**, il rotore è costituito da avvolgimenti anziché da barre.

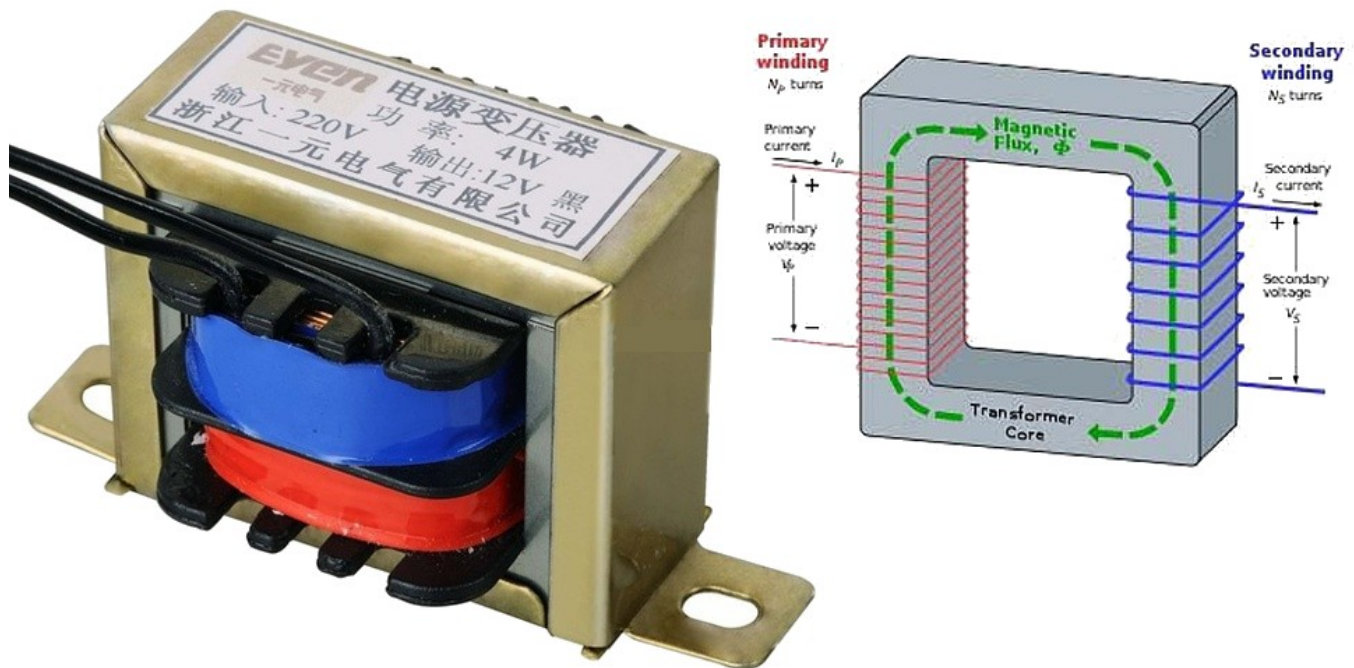
Gli avvolgimenti non sono cortocircuitati nel rotore, ma sono condotti all'esterno tramite anelli di scorrimento e cortocircuitati tramite resistenze aggiuntive.

Il flusso di corrente nel rotore può essere influenzato da resistenze esterne al motore elettrico.



## VELOCITA' DI ROTAZIONE DEL MOTORE A INDUZIONE AC

I motori CA funzionano tramite il principio dell'induzione (come per trasformatori).  
Quando la corrente scorre in una bobina si crea un campo magnetico.  
Il campo magnetico prodotto può indurre una tensione e una corrente in una bobina vicina.



La tensione d'ingresso, posta ai capi dell'avvolgimento primario, produce un flusso magnetico che va a concatenarsi con l'avvolgimento secondario, producendo su quest'ultimo una tensione dipendente dal numero di spire dei due avvolgimenti. Ad esempio, se l'avvolgimento primario conta 10000 spire, mentre quello secondario solo 1000, il rapporto tra le tensioni sarà 1/10, quindi applicando sul primario la nostra tensione da 220V avremo sul secondario 22V. Altra caratteristica interessante è che la potenza assorbita dal secondario è la stessa che viene erogata dal primario, ne consegue che se l'uscita è aperta, in ingresso non viene assorbita potenza (in realtà c'è una piccola potenza dissipata) anche se apparentemente i due cavi sono cortocircuitati da un conduttore! Inoltre, se il secondario eroga 220W, quindi 10A, avremo che nel primario circola solo 1A, motivo per cui nei trasformatori la bobina con meno spire utilizza un conduttore dalla sezione maggiore.

Questo fenomeno di induzione non è limitato solo a una bobina vicina. Può verificarsi in qualsiasi oggetto metallico. Nel caso di un motore a corrente alternata, il campo magnetico creato nelle bobine dello statore può indurre una tensione e una corrente nelle barre conduttive del rotore. Quella tensione e quella corrente produrranno il proprio campo magnetico, che quindi interagirà con il campo che lo ha prodotto.

La velocità alla quale il campo magnetico si muove (ruota) attorno allo statore è nota come velocità sincrona  $N_s$  e dipende dalla frequenza CA e dal numero di poli nello statore. È data da

$N_s = 120 f / P$  dove:  $N_s$  = velocità sincrona,  $f$  = frequenza di rete Hz,  $P$  = numero di poli (per fase) nello statore

Per un motore a due poli funzionante a 60 Hertz, la velocità sincrona è di 3.600 giri/min. A 50 Hz è di 3.000 giri/min. .

Se si aumenta il numero di poli a quattro, la velocità si riduce a 1.800 giri/min a 60Hz e 1.500 a 50Hz (la velocità di sincronismo si dimezza poiché il campo magnetico percorre solamente 180° nello spazio dei 360° dell'onda sinusoidale).

La velocità alla quale ruota il rotore è nota come velocità di scorrimento  $N_r$  e sarà sempre inferiore alla velocità sincrona nello statore. La ragione di ciò è perché nessuna tensione e corrente viene indotta nel rotore quando viaggiano in modo sincrono.

La velocità di slittamento effettiva dipende dal design del motore e varia a seconda del modello e della potenza.

La velocità del rotore  $N_r$  in condizioni nominali è sempre minore di un 3-6% di quella di sincronismo:

è il fenomeno dello scorrimento (slip) che consente la produzione della coppia.

Dalla formula che definisce lo scorrimento è possibile esprimere la velocità di rotazione effettiva del rotore:

$$s = (N_s - N_r) / N_s$$

dove  $s$  è lo scorrimento,  $N_s$  è la velocità di sincronismo e  $N_r$  è la velocità reale alla quale ruota il rotore.

Per i motori a potenza frazionaria a pieno carico, la velocità di slittamento può arrivare fino al 95 per cento di  $N_s$ , mentre i modelli con potenza superiore possono funzionare al 99 per cento di  $N_s$ .

Come discusso nella mia serie sull'alimentazione CA, l'onda sinusoidale CA monofase raggiunge la sua tensione di picco due volte durante un ciclo di 360 gradi e questi picchi si verificano a intervalli di 180 gradi. In un circuito trifase, la fase 2 ritarda la fase uno di 120 gradi e la fase 3 ritarda la fase due di 120 gradi.

Quando tutte e tre le fasi scorrono insieme, la tensione raggiunge picchi ogni 60 gradi.

Questa relazione è illustrata nella Figura 2. Le frecce mostrano la separazione di 120 gradi delle tre fasi e le linee verticali colorate mostrano i picchi di tensione di fase ogni 60 gradi. Questa relazione di picco non solo fornisce un'alimentazione più uniforme, ma può anche produrre un campo magnetico rotante nello statore di un motore trifase.

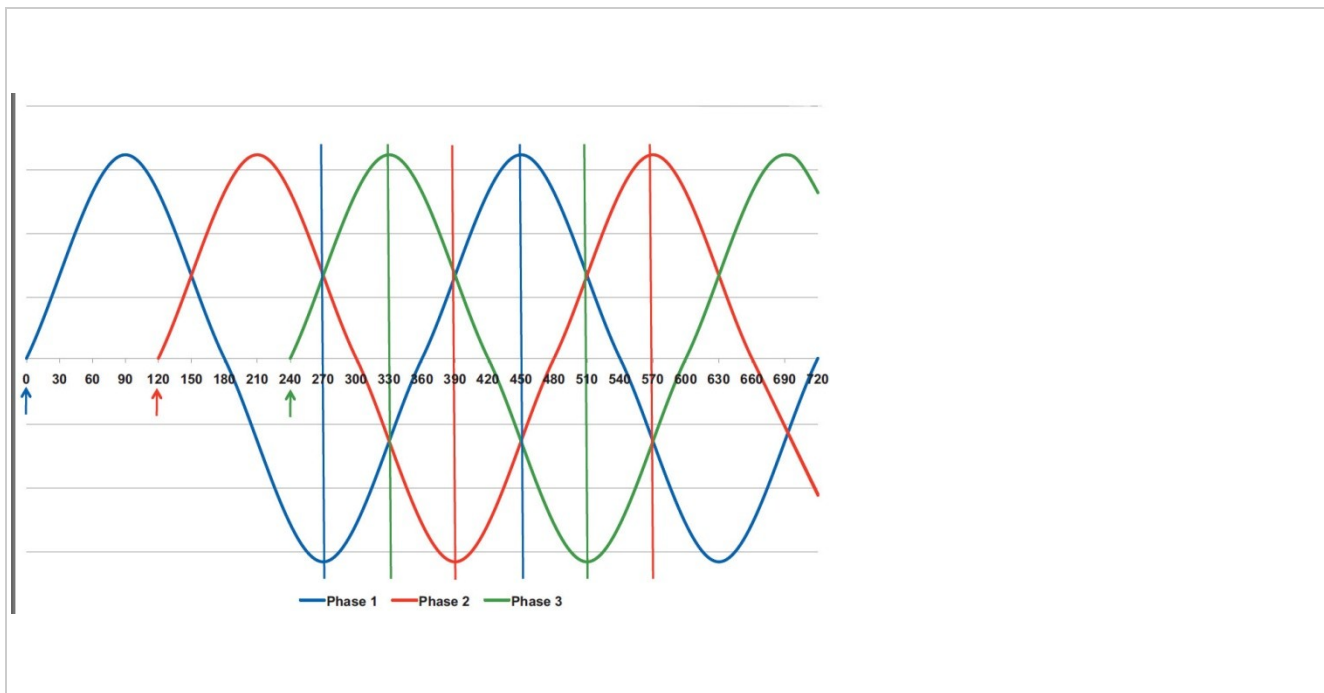


Figura 2. Onda sinusoidale del motore AC trifase e picchi di tensione

La Figura 3 mostra il posizionamento dei poli per un motore trifase a due poli.

Ci sono un totale di sei poli o due poli per fase.

I poli della Fase 1 si trovano a 360 e 180 gradi mentre i poli della Fase 2 sono a 300 e 120 gradi.

I poli della Fase 3 si trovano a 60 e 240 gradi. Il risultato è un totale di sei poli distanziati di 60 gradi l'uno dall'altro.

Questa separazione di 60 gradi non è una coincidenza.

Viene fatto appositamente per sfruttare la separazione di 60 gradi dei picchi di tensione trifase.

### ***Perché i poli di fase si trovano in questa particolare sequenza?***

Il polo primario della Fase 2 è a sinistra del primario della Fase 1 e il polo primario della Fase 3 è a destra.

Con riferimento alla Figura 2, il picco che segue il picco della Fase 1 è la Fase 3 e il picco successivo è la Fase 2.

I motori sono avvolti in questo modo per fornire una direzione di rotazione prevedibile.

In questo caso particolare la rotazione sarebbe oraria. L'inversione di due qualsiasi dei collegamenti di fase cambierà le relazioni di picco di fase e farà ruotare il motore nella direzione opposta. Il "rotolamento" di tali connessioni (ad esempio, lo spostamento da 1 a 2, da 2 a 3 e da 3 a 1) non cambierà le relazioni di fase e, pertanto, la direzione di rotazione rimarrà la stessa.

## IL CAMPO MAGNETICO ROTANTE

Abbiamo visto come la tensione può raggiungere il picco in un circuito trifase e come i poli dello statore sono allineati per corrispondere ai picchi di tensione, ma perché il campo magnetico rotazionale si verifica automaticamente?

La Figura 4 pone il flusso lineare dei picchi di tensione mostrati nella Figura 2 e le posizioni dei poli mostrate nella Figura 3 in una prospettiva rotazionale.

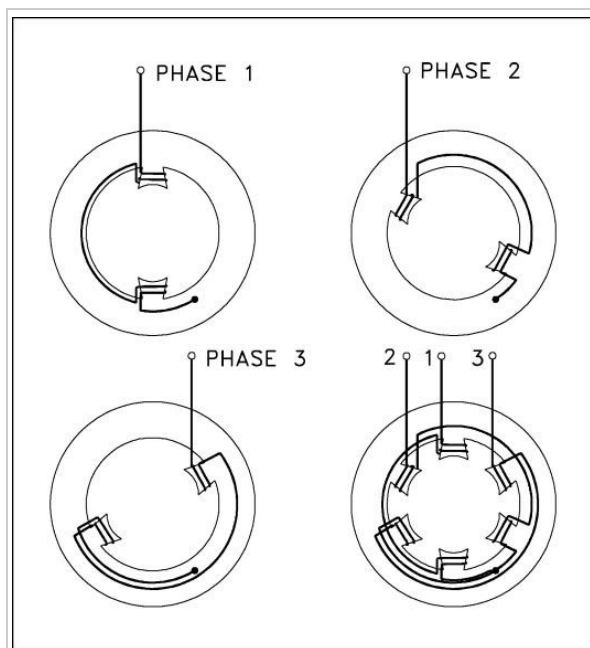


Figura 3. Posizionamento dei poli del motore CA

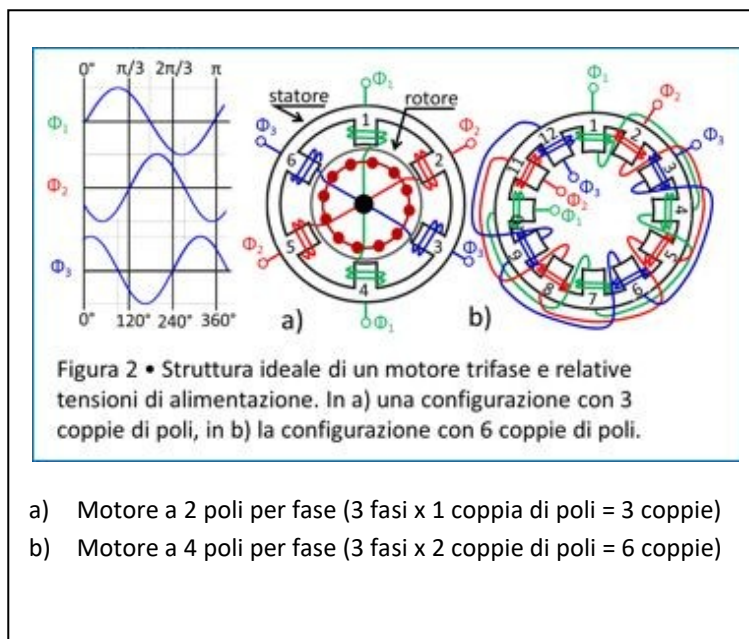


Figura 2 • Struttura ideale di un motore trifase e relative tensioni di alimentazione. In a) una configurazione con 3 coppie di poli, in b) la configurazione con 6 coppie di poli.

- a) Motore a 2 poli per fase (3 fasi x 1 coppia di poli = 3 coppie)
- b) Motore a 4 poli per fase (3 fasi x 2 coppie di poli = 6 coppie)

Le immagini dello statore mostrano i tre gruppi di poli e la loro polarità dai punti da 1 a 7.

L'immagine del grafico mostra i picchi di tensione di fase per gli stessi punti.

Al punto 1, la fase 1 è al suo picco positivo e viene generato un campo magnetico massimo nei poli 1 e 1A.

Al punto 2, la fase 3 è al suo picco negativo e il campo magnetico massimo è generato nei poli 3 e 3A.

Al Punto 3, il campo massimo si è spostato ai Poli 2 e 2A.

Se studi gli altri punti vedrai che questa tendenza continua in senso orario.

Di conseguenza, le tre fasi creano un campo rotante automatico nello statore.

Se due dei conduttori di fase in ingresso vengono scambiati, il campo magnetico ruoterà in senso antiorario.

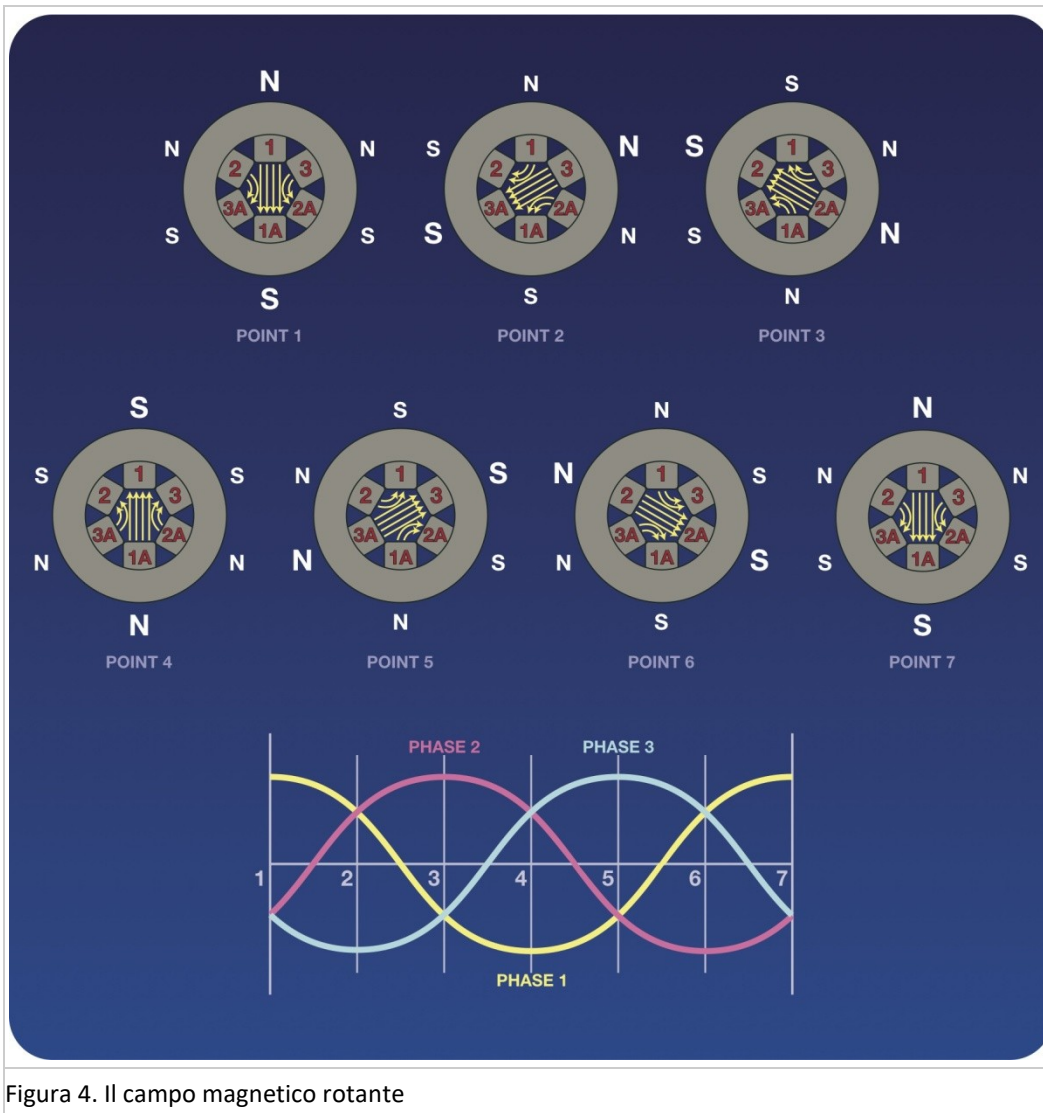


Figura 4. Il campo magnetico rotante

Come accennato in precedenza, la velocità del motore dipende sia dalla frequenza che dal numero di poli.

La velocità del motore cambierà in modo direttamente proporzionale alla variazione della frequenza. Ad esempio, a 30 Hertz un motore a 1.800 giri/min ruoterà a 900 giri/min.

Se si aggiunge un ulteriore set di poli a ciascuna fase dello statore mostrato nella Figura 3, anche la sua velocità diminuirà del 50 per cento. Il tempo necessario per una rotazione di 360 gradi del campo dello statore è proporzionale sia alla frequenza che al numero di poli.

I motori trifase possono essere progettati per funzionare a due diverse velocità e la relazione di velocità dipende dal metodo di avvolgimento utilizzato.

I motori a due velocità e ad avvolgimento singolo utilizzano uno statore avvolto per una singola velocità, ma quando l'avvolgimento è collegato in modo diverso, cambia anche il numero di poli collegati.

Ad esempio, in una connessione sono collegati quattro poli, ma con la connessione alternata ne sono collegati otto. Con questo metodo di avvolgimento, esisterà sempre un rapporto di velocità due a uno (1.800 giri/min/900 giri/min).

Di solito, la potenza del freno (BHP) a bassa velocità sarà un quarto di quella a piena velocità.

Tuttavia, i progetti a coppia costante manterranno mezzo BHP alla velocità inferiore.

I motori a due velocità e due avvolgimenti sono in realtà due motori avvolti su un unico statore.

Sebbene questi motori siano tipicamente più grandi e più costosi, non sono limitati al rapporto di velocità due a uno dei motori a singolo avvolgimento.



La differenza fondamentale tra le due tipologie di motore elettrico è innanzitutto il tipo di alimentazione:

- il motore DC è un motore in corrente continua, monofase
- il motore AC è un motore in corrente alternata, monofase o trifase

Il motore DC è ampiamente utilizzato sia per applicazioni che richiedono piccole potenze, come apparecchiature ad uso domestico, che per applicazioni con potenze anche di diversi kW, come ad esempio trazioni ferroviarie e marine.

Il motore in corrente continua è inoltre adatto per applicazioni che richiedono alta precisione come robot industriali e macchine utensili.

Il motore AC è invece il più diffuso nell'industria ed è adatto per applicazioni in cui è necessario effettuare movimenti continui e con pochi cambi di velocità e in cui non è necessario fare posizionamento, come ad esempio nastri trasportatori, pompe, ventole, ecc.

Questi due tipi di motore elettrico si differenziano tra loro anche per la velocità che riescono a raggiungere.

Il motore AC riesce a raggiungere una velocità di rotazione superiore rispetto al motore DC, questo perchè nel motore a corrente alternata la velocità viene controllata variando la corrente nel motore, mentre nel motore a corrente continua la velocità viene controllata variando la frequenza, (di solito per mezzo di un convertitore di frequenza).

### VANTAGGI DI UN MOTORE AC:

Il motore a corrente alternata presenta diversi vantaggi rispetto al motore DC:

- più economico in quanto consuma meno in fase di avviamento;
- richiede poca manutenzione;
- struttura più semplice;
- più robusto e resistente;
- meno soggetto ad usura;
- più adatto ad applicazioni che richiedono alte potenze.

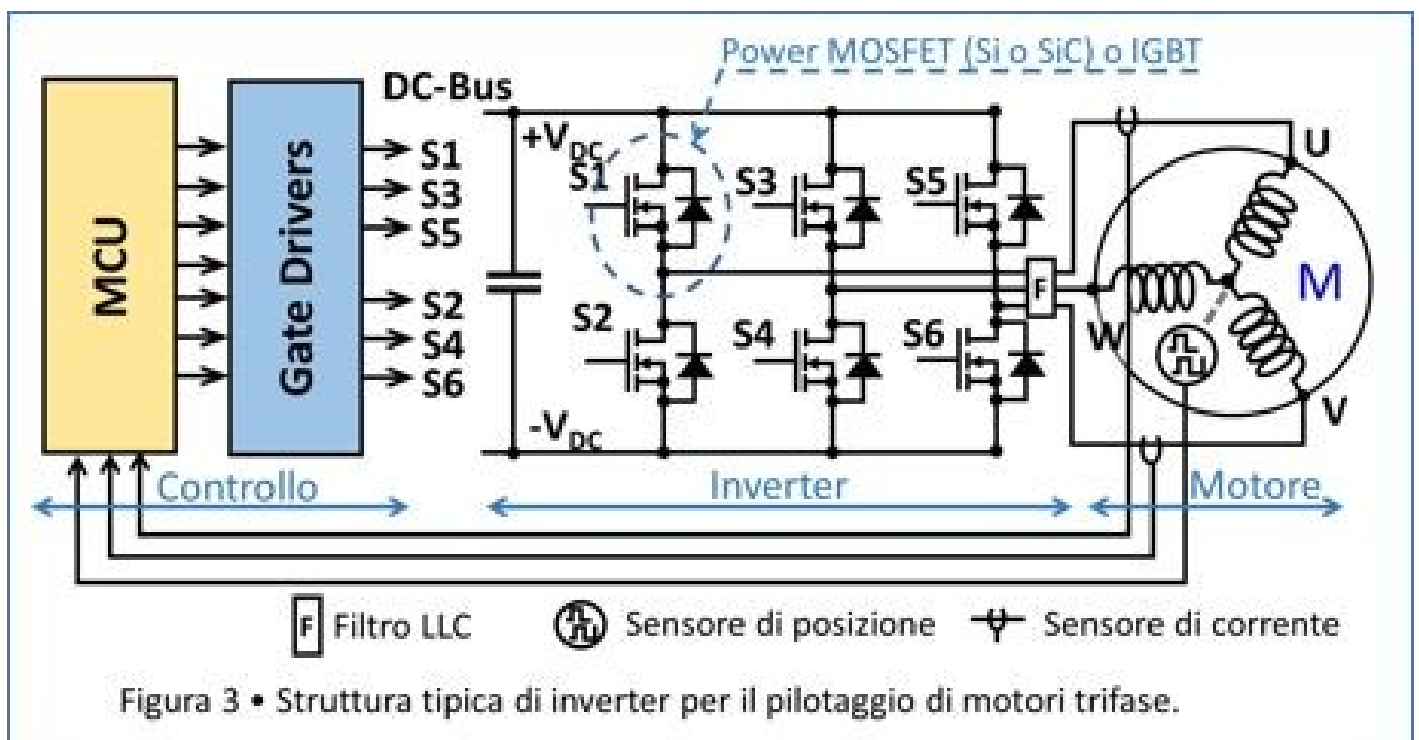
### VANTAGGI DI UN MOTORE DC:

- facilità da installazione, anche in sistemi mobili (alimentati a batteria);
- maggiore precisione di posizionamento
- controllo della velocità variando la tensione di alimentazione;
- coppia elevata;
- maggiore rapidità nell'avviamento, l'arresto, l'accelerazione e l'inversione di marcia.

Uno degli apparecchi elettronici che ha una posizione predominante nel mondo delle applicazioni di potenza, da quelle più contenute a quelle estremamente elevate è l'inverter che vede le applicazioni più estese nel pilotaggio di motori AC trifase.

Questo dispositivo ha il compito di convertire l'energia fornita da una sorgente in corrente continua in una uscita, ai suoi morsetti, di grandezze alternate sinusoidali, con ampiezze e frequenze che possono essere opportunamente controllate. Generalmente nel gergo industriale si intende un dispositivo atto alla regolazione della velocità dei motori trifase.

L'inverter è essenzialmente costituito da sei dispositivi di commutazione S1 – S6 (nella figura rappresentati come MOSFET). Questi sei interruttori sono collegati a due a due in configurazione a mezzo ponte e il punto comune di ognuno dei tre rami pilota una fase del motore. Comandando l'attivazione dello switch superiore di un ramo si mette in collegamento la fase relativa del motore al positivo dell'alimentazione. Ovviamente è indispensabile che non avvenga mai che i due switch di ogni ramo siano accesi contemporaneamente (pena un corto circuito).

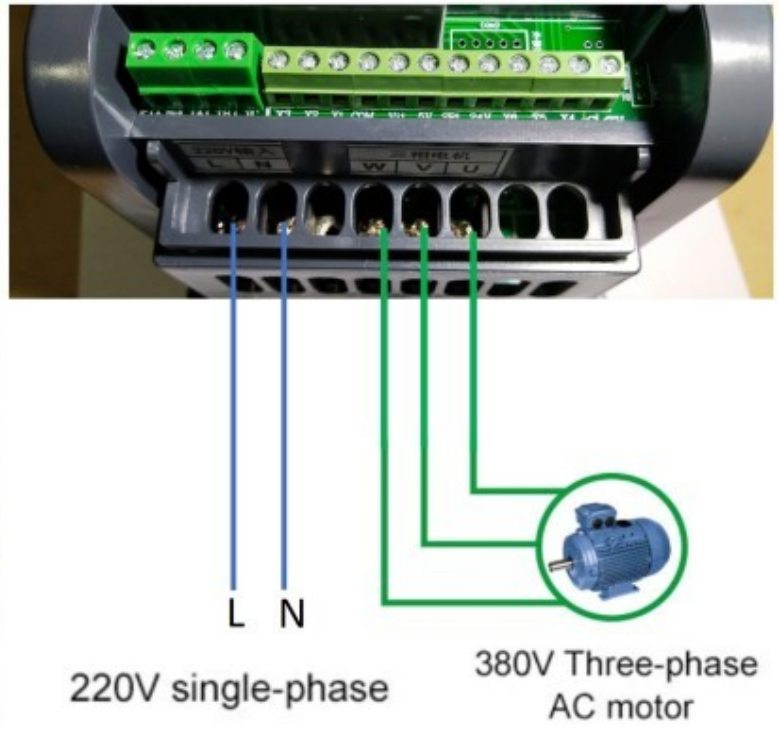


Vale la pena di sottolineare che ad ognuno dei MOSFET è collegato in antiparallelo un diodo che da una parte serve per consentire una via di richiusura delle correnti e consentire un ritorno dell'energia reattiva dal motore verso il bus di alimentazione.

Ma questi stessi diodi fungono invece da raddrizzatori quando il motore dovesse agire da generatore e trasferire così energia dal motore verso il DC Link (per esempio in un veicolo elettrico durante la frenata il motore cambia la sua funzione e diventa generatore, consentendo così di recuperare energia).



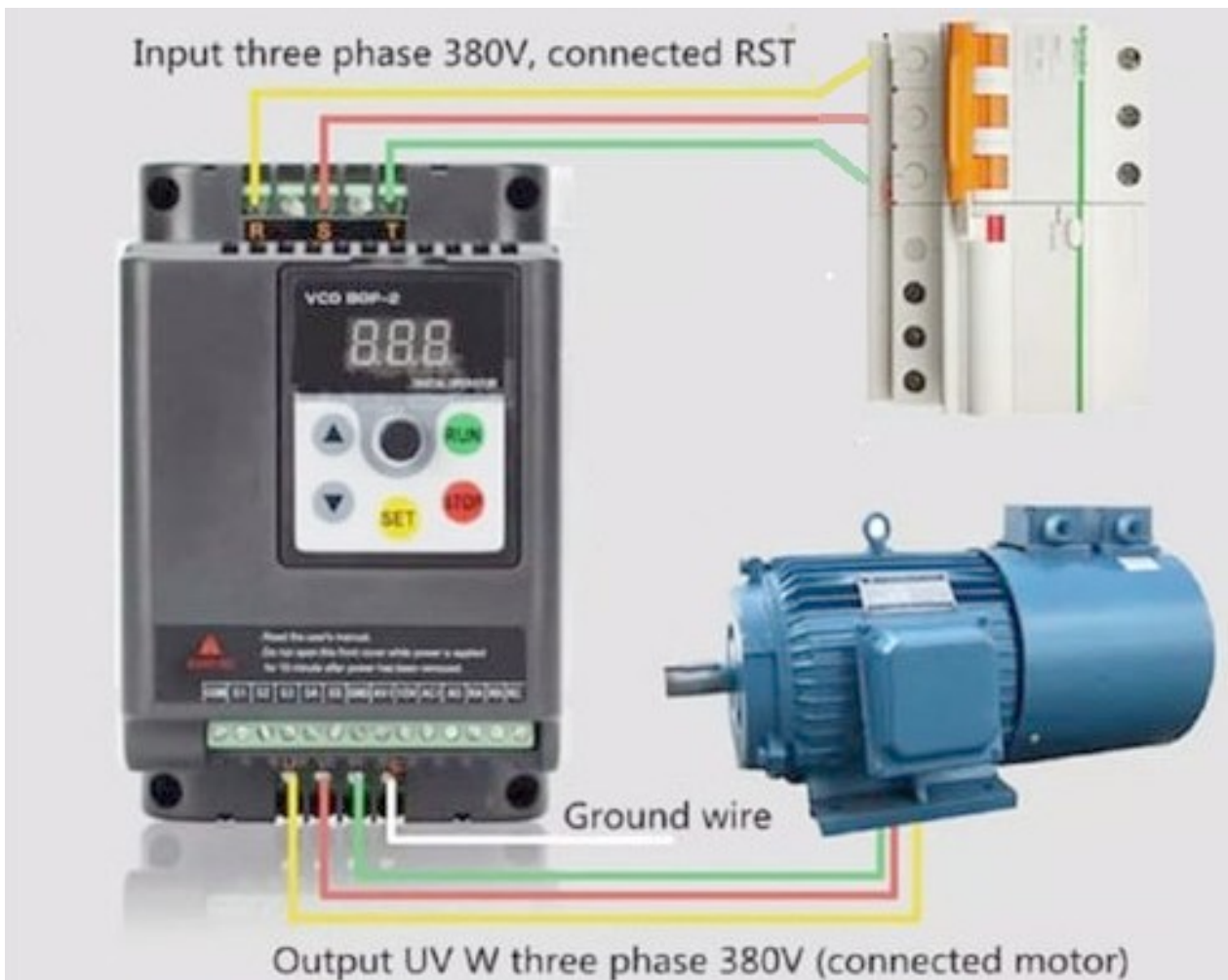
**INPUT 1 PHASE 220 V  
OUTPUT 3 PHASE 380 V**



220V single-phase

380V Three-phase AC motor

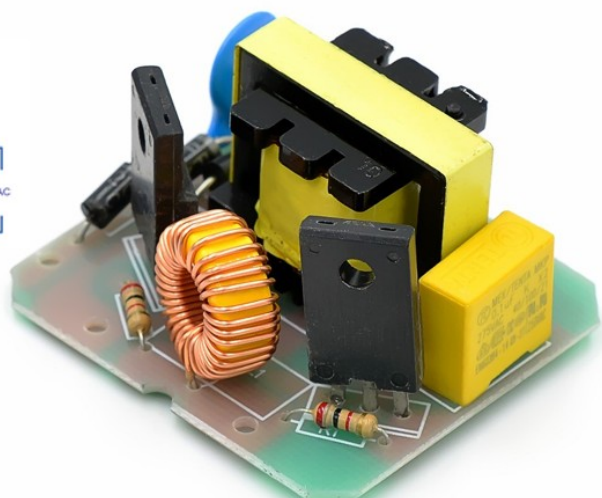
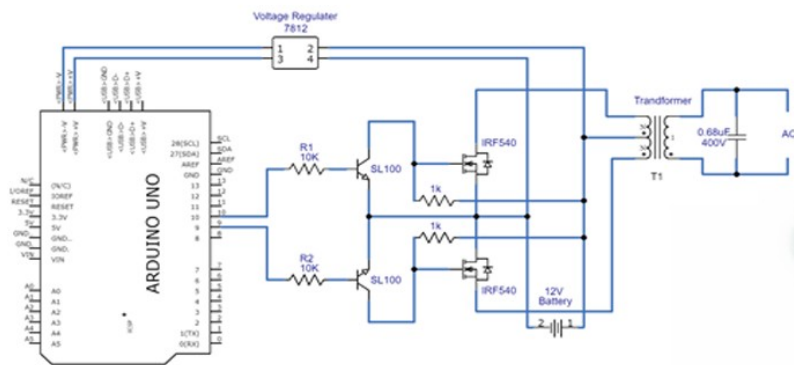
*Inverter 220V → 380V (per motori bassa potenza)*



*Inverter 380V → 380V (per motori alta potenza)*

## CIRCUITO INVERTER BASATO SU ARDUINO

Un inverter è un dispositivo elettrico che converte la tensione CC.

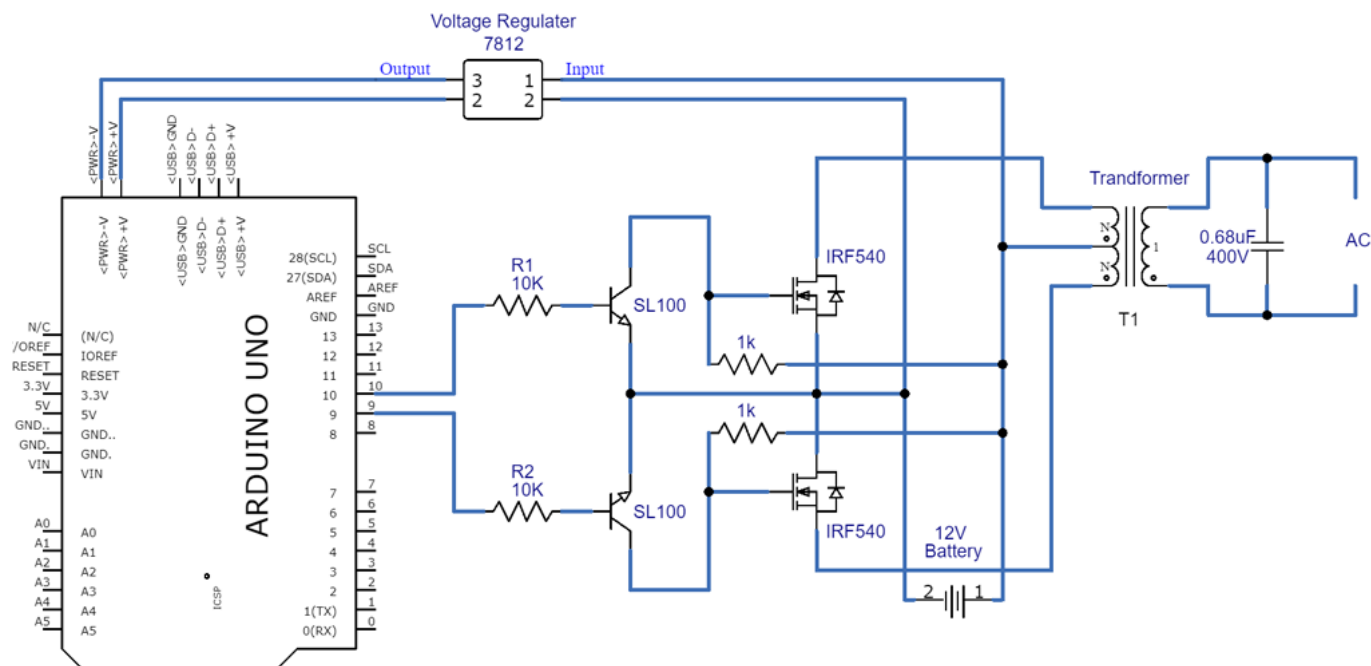


Questo circuito implementa un semplice inverter programmabile con Arduino per ottenere un'uscita CA a gradini, un'uscita CA sinusoidale modificata o un'uscita sinusoidale pura.

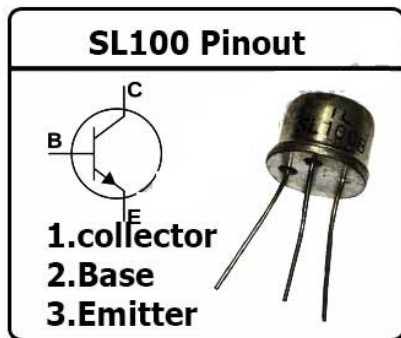
### Hardware richiesto

S.No	Componente	Qtà
1	<a href="#">Regolatore di tensione 7812 IC</a>	1
2	Transistore SL100	2
3	<a href="#">MOSFET IRF540</a>	2
4	Trasformatore (12-0-12 V CA)	1
5	<a href="#">ArduinoUno</a>	1
6	<a href="#">Resistenza 1KΩ,10KΩ</a>	2,2
7	Fili di collegamento	–
8	<a href="#">Batteria 12V</a>	1

### Schema elettrico

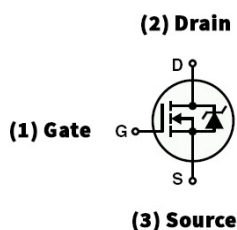
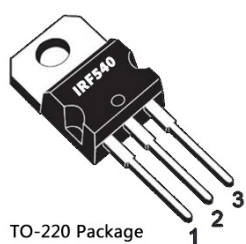


### Configurazione dei pin del transistor SL100



Il transistor SL100 è un transistor NPN di media potenza per uso generico.

### Configurazione pin Mosfet IRF540



Tipo di transistor: MOSFET  
 Polarità del transistor: canale N  
 Corrente di drenaggio (Id Max): 33A  
 Voltaggio Vds Max: 100 V.  
 Potenza (max): 120 W.

## FUNZIONAMENTO DEL CIRCUITO

Come possiamo vedere nel circuito, sono coinvolti tre stadi e una batteria SLA da 12 V 5,0 Ah come sorgente di CC.

Il primo stadio è costituito dalla scheda del microcontrollore Arduino, che è programmata per fornire un segnale SPWM (Sinusoidal Pulse Width Modulation). È possibile modificare il codice per produrre output diversi dai pin Arduino.

Il secondo stadio è lo stadio di commutazione e pilota. L'impulso di uscita dai pin digitali Arduino pilota i transistor di commutazione SL100 NPN che a loro volta pilotano i MOSFET di potenza IRF540.

Il terzo stadio è lo stadio di uscita, che è costituito da un trasformatore dotato di presa centrale (primario 230 VAC / secondario 12-0-12 VAC). È collegato in modo inverso con il circuito di pilotaggio:

- il lato secondario (12-0-12 VAC) è collegato al MOSFET di potenza
- il lato primario del trasformatore è libero per fornire la tensione in uscita di 230V.

Quando la batteria è collegata a questo circuito, il regolatore di tensione 7812 alimenta la scheda Arduino a tensione costante (anche se la tensione della batteria varia) e inizia a produrre impulsi di uscita a seconda dello sketch.

Questi impulsi pilotano il transistor SL100 e alimentano il MOSFET IRF540.

L'avvolgimento secondario del trasformatore collegato al MOSFET riceve energia e induce sul secondario un'uscita CA ad alta tensione 230V.

### **Codice dell' inverter Arduino**

```
//Questo codice produce SPWM sui pin D9 e D10 della scheda Arduino Uno.
const int SpwmArray[] = {500,500,750,500,1250,500,2000,500,1250,500,750,500,500}; // Array of SPWM values.
const int SpwmArrayValues = 13; //Put length of an Array depends on SpwmArray numbers.

// Declare the output pins and choose PWM pins only
const int sPWMpin1 = 10;
const int sPWMpin2 = 9;

// enabling bool status of Spwm pins
bool sPWMpin1Status = true;
bool sPWMpin2Status = true;

void setup() {
  pinMode(sPWMpin1, OUTPUT);
  pinMode(sPWMpin2, OUTPUT);
}

void loop() {
  // Loop for Spwm pin 1
  for(int i(0); i != SpwmArrayValues; i++)
  {
    if(sPWMpin1Status) {
      digitalWrite(sPWMpin1, HIGH);
      delayMicroseconds(SpwmArray[i]);
      sPWMpin1Status = false;
    }
    Else {
      digitalWrite(sPWMpin1, LOW);
      delayMicroseconds(SpwmArray[i]);
      sPWMpin1Status = true;
    }
  }

  // Loop for Spwm pin 2
  for(int i(0); i != SpwmArrayValues; i++)
  {
    if(sPWMpin2Status) {
      digitalWrite(sPWMpin2, HIGH);
      delayMicroseconds(SpwmArray[i]);
      sPWMpin2Status = false;
    }
    Else {
      digitalWrite(sPWMpin2, LOW);
      delayMicroseconds(SpwmArray[i]);
      sPWMpin2Status = true;
    }
  }
}
```



# AZIONAMENTI MECCANICI IN AC

Si definisce azionamento un sistema capace di controllare il moto di un organo meccanico (carico).

Ogni azionamento comprende, quindi, un dispositivo di potenza (motore o attuatore) capace di produrre il lavoro meccanico connesso al moto. L'attuatore può essere idraulico, pneumatico o elettrico.

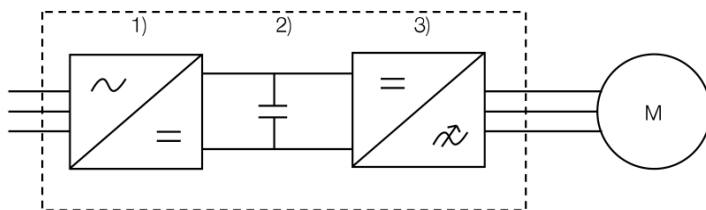
Si definisce azionamento elettrico un azionamento che impiega un attuatore elettrico, ossia una macchina elettrica, solitamente funzionante da motore, nella quale avviene una conversione di energia da elettrica a meccanica. L'azionamento eroga potenza meccanica con velocità e coppia adeguate alla movimentazione prevista per il carico meccanico.

In passato la stragrande maggioranza degli azionamenti utilizzava un motore in corrente continua grazie alla maggiore facilità connessa alla alimentazione controllata di un avvolgimento in c.c. rispetto a quella di un avvolgimento in c.a. .

L'evoluzione dell'elettronica di controllo ha portato ad una maggiore diffusione dei motori in c.a. che presentano minori problemi di manutenzione e un ingombro più contenuto dei motori in c.c.; inoltre, se opportunamente controllati, consentono di ottenere prestazioni dinamiche nettamente più elevate.

Un **azionamento** in AC comprende normalmente un trasformatore di ingresso (o un alimentatore elettrico), un convertitore di frequenza, un motore in AC e un carico (ventilatore, nastro trasportatore ecc.).

All'interno del singolo **convertitore di frequenza** si trovano un raddrizzatore, un collegamento in c.c. e un'unità inverter.



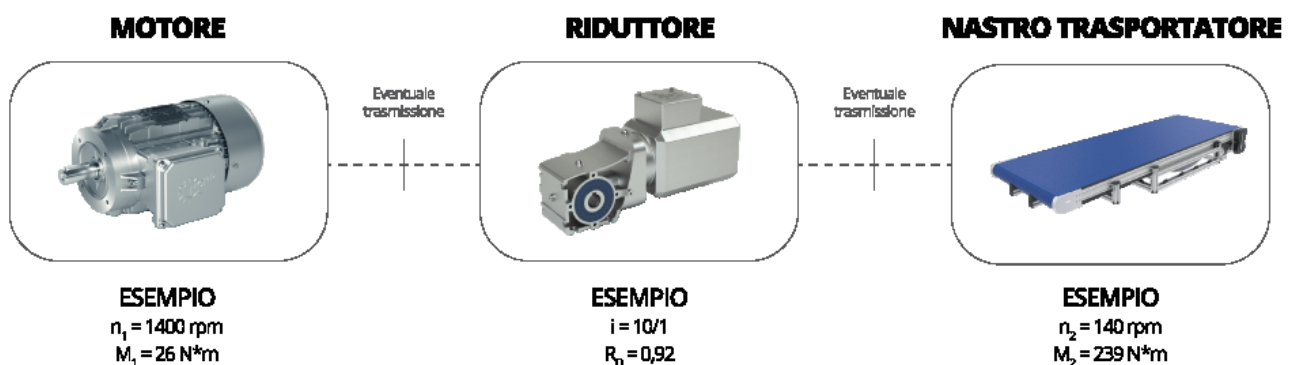
Un singolo convertitore di frequenza comprende  
1) raddrizzatore, 2) collegamento in c.c., 3) unità inverter e  
4) alimentatore elettrico.

Gli azionamenti con accoppiamento diretto sono, a seconda dell'applicazione nella quale sono inseriti, indicati come:

- Direct Drive (robotica),
- Gearless (ascensori),
- Motor Spindle
- Elettromandrino (macchine utensili).

Più frequentemente l'azionamento è connesso al carico mediante un riduttore meccanico. Tra i principali abbiamo ad esempio:

- Vite senza fine
- Ad ingranaggi
- Epicycloidali



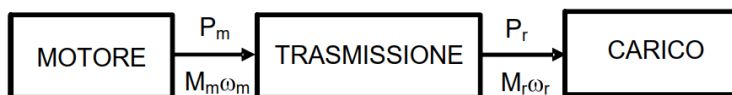
## BILANCIO ENERGETICO DI UN AZIONAMENTO

L'interazione fra le parti di un sistema meccanico è caratterizzata da scambi di energia fra le stesse; l'energia scambiata nell'unità di tempo è detta potenza e pertanto si usa il termine flusso di potenza per indicare tale scambio di energia.

Per un sistema puramente meccanico l'energia scambiata è definita dal lavoro (prodotto di una forza  $F$  per uno spostamento  $s$  o di una coppia  $M$  per una rotazione  $\vartheta$ );

La potenza (prodotto di una forza  $F$  per una velocità  $v$  o di una coppia  $M$  per una velocità angolare  $\omega$ ) è la derivata del lavoro rispetto al tempo.

	Lavoro	Potenza
Movimento lineare	$Fs$	$Fv$
Movimento angolare	$M\vartheta$	$M\omega$



Nel caso di forza con direzione diversa da quella dello spostamento e della velocità occorre effettuare il prodotto scalare fra i rispettivi vettori, nel caso di forze variabili occorre valutarne l'integrale.

Molto spesso nelle macchine sono presenti sottosistemi per i quali si hanno altri flussi (ed accumuli) di potenza: sistemi elettrici, nei quali la potenza è definita in funzione del prodotto fra corrente  $I$  e tensione  $V$ ; sistemi idraulici, nei quali la potenza è definita in funzione del prodotto fra portata  $Q$  e pressione  $p$ . In tutti i sistemi reali sono presenti dissipazioni di energia che producono flussi di energia termica (calore); in molti problemi di meccanica delle macchine queste dissipazioni possono essere trattate in modo semplice, valutando l'energia dissipata come frazione di quella meccanica che fluisce nella macchina.

In generale un sistema presenta scambi di energia con l'esterno e accumuli o diminuzioni di energia interna: per esempio se è presente una massa questa può accelerare e quindi nel sistema c'è aumento di energia cinetica o rallentare e quindi nel sistema c'è diminuzione di energia cinetica; se è presente una massa che si sposta in verticale si producono aumenti o diminuzioni di energia potenziale gravitazionale; inoltre nei sistemi reali una parte di energia è sempre necessaria per vincere gli attriti ed è dissipata in calore.

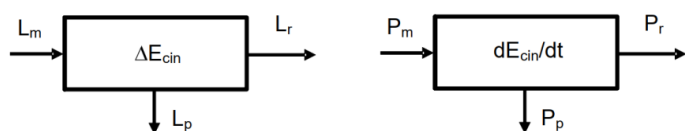
## L'EQUAZIONE DI BILANCIO DI ENERGIA

Indicando con  $L_m$  il lavoro (positivo) scambiato dalla macchina con l'esterno (lavoro motore); con  $L_r$  il valore assoluto del lavoro (negativo) scambiato dalla macchina con l'esterno (lavoro resistente), con  $L_p$  il valore assoluto dell'energia (negativa) perduta dovuta a fenomeni dissipativi di attrito (lavoro perduto), con  $E_c$  la variazione di energia cinetica delle parti della macchina, si può scrivere l'**equazione di bilancio di energia**:

$$L_m - L_r - L_p = E_c$$

Facendo riferimento alla potenza (lavoro nell'unità di tempo  $t$ ) la stessa relazione diventa

$$P_m - P_r - P_p = dE_c/dt$$



In molti casi le macchine funzionano, per tempi più o meno lunghi, in due condizioni alternative:

- regime assoluto: in ogni istante non ci sono variazioni di energia cinetica quindi  $dE_c/dt=0$ ;
- regime periodico: ad intervalli costanti di tempo  $T$  (periodo) l'energia cinetica assume valori identici, quindi  $E_c = 0$  calcolata su un periodo.

Nel primo caso l'equazione di bilancio delle potenze a regime diventa:  $P_m - P_r - P_p = 0$

Nel secondo caso si valutano gli scambi di energia in un periodo  $T$ , per cui  $E_c = 0$  e l'equazione di bilancio a regime diventa:

$$L_m - L_r - L_p = 0$$

In condizioni di regime assoluto si può approssimare che la potenza perduta sia proporzionale alla potenza motrice introducendo il rendimento della macchina  $\eta$ :

$$\eta P_m - P_r = 0 \rightarrow P_r = \eta P_m$$

In genere la macchina sarà costituita da un certo numero di sottosistemi collegati fra di loro in modo opportuno. In questo caso quindi il rendimento della macchina è il **prodotto** dei rendimenti dei singoli sottosistemi.

## A REGIME

Consideriamo una macchina costituita da:

- un motore rotativo che eroga potenza  $P_m$  sotto forma di coppia  $M_m$  e velocità angolare  $\omega_m$  ( $P_m = M_m \omega_m$ ); il momento di inerzia del motore rispetto all'asse di rotazione è  $J_m$ ;
- un carico rotante che assorbe potenza  $P_r$  sotto forma di coppia  $M_r$  e velocità angolare  $\omega_r$  ( $P_r = M_r \omega_r$ ); il momento di inerzia del carico rispetto all'asse di rotazione è  $J_r$ ;
- una trasmissione, che collega motore e carico in modo tale da mantenere un costante rapporto di trasmissione fra la velocità di carico e motore ( $\tau = \omega_r / \omega_m$ ); il rendimento della trasmissione è  $\eta$ ; il momento di inerzia della trasmissione è trascurabile.



In condizioni di regime si ricava:

$$\eta M_m \omega_m - M_r \omega_r = 0 \quad \rightarrow \quad \text{dividendo per } \omega_m \rightarrow \quad \eta M_m - \tau M_r = 0$$

Il funzionamento di una macchina in assenza di attrito viene detto funzionamento ideale.

## IN MOTO VARIO

Per effettuare l'analisi del moto vario si esprime ancora la potenza perduta come frazione della potenza motrice, ottenendo l'espressione differenziale:

$$\eta P_m - P_r = dE_c/dt$$

Trascurando l'energia cinetica della trasmissione, l'energia cinetica della macchina è data dalla somma delle energie del motore e del carico:

$$E_c = \frac{1}{2} J_m \omega_m^2 + \frac{1}{2} J_r \omega_r^2$$

Il bilancio di potenza diventa quindi

$$\eta M_m \omega_m - M_r \omega_r = \frac{d}{dt} \left( \frac{1}{2} J_m \omega_m^2 + \frac{1}{2} J_r \omega_r^2 \right)$$

Ricordando che  $\tau = \omega_r / \omega_m$  e derivando l'energia cinetica si ottiene l'**equazione di moto della macchina**:

$$\eta M_m - \tau M_r = (J_m + \tau^2 J_r) \dot{\omega}_m$$

in cui compare l'**accelerazione angolare** del motore  $\alpha = d\omega_m/dt$ , ma non quella del carico.

Questa equazione è detta ridotta al motore; il secondo termine a primo membro è detto **coppia resistente ridotta al motore**, il termine in parentesi è detto **inerzia ridotta al motore**.

Si tratta di una equazione differenziale che può essere integrata quando siano note le espressioni delle coppie motrici e resistenti. In generale le coppie però non sono costanti, ma dipendono dalla dinamica interna dei motori e dei carichi e sono in generale funzione della posizione, della velocità e del tempo.

Si può anche ricavare l'equazione equivalente

$$\frac{\eta M_m}{\tau} - M_r = \left( \frac{J_m}{\tau^2} + J_r \right) \dot{\omega}_r$$

in cui compare l'accelerazione angolare del carico, ma non quella del motore.

Questa equazione è detta ridotta al carico; il primo termine è detto **coppia motrice ridotta al carico**, il termine in parentesi è detto **inerzia ridotta al carico**.

Non è raro che in una macchina il carico sia costituito da una massa  $m_r$  che trasla con velocità  $v_r$  e alla quale è applicata una forza  $F$ . Indicando con  $F_r$  (forza resistente) la proiezione della forza  $F$  nella direzione della velocità  $v_r$ , la potenza resistente è data da  $P_r = F v_r = F_r v_r$ .

L'equazione del moto della macchina diventa:

$$\eta M_m \omega_m - F_r v_r = \frac{d}{dt} \left( \frac{1}{2} J_m \omega_m^2 + \frac{1}{2} m_r v_r^2 \right)$$

Anche in questo caso è possibile esprimere  $v_r$  in funzione di  $m$ : nell'ipotesi che il rapporto fra le velocità  $v_r$  e  $\omega_m$  sia una costante  $K$ , si ottiene, riducendo al motore:

$$\eta M_m - K F_r = (J_m + K^2 m_r) \dot{\omega}_m$$

ovvero, riducendo al carico

$$\frac{\eta M_m}{K} - F_r = \left( \frac{J_m}{K^2} + m_r \right) \dot{v}_r$$

In quest'ultima relazione il termine in parentesi è detto massa ridotta (o apparente). Si noti che mentre il rapporto di trasmissione è adimensionale (rapporto fra due velocità angolari) il rapporto di velocità  $K$  ha dimensioni di una lunghezza (rapporto fra una velocità lineare e una angolare).

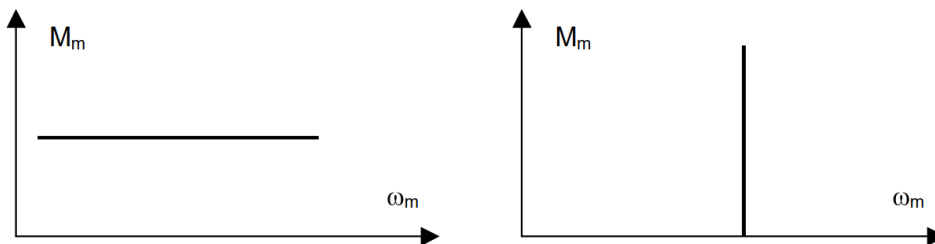
In modo identico può essere trattato il caso in cui il motore sia lineare e produca una forza  $F_m$  che trasla con velocità  $v_m$ .

## CARATTERISTICHE STATICHE DI MOTORI ROTATIVI

Le equazioni differenziali di moto possono essere integrate quando siano note le espressioni delle forze motrici e resistenti. In generale le forze non sono costanti, ma dipendono dalla dinamica interna dei motori e dei carichi e sono in generale funzione della posizione, della velocità e del tempo.

La dipendenza delle forze motrici dalle diverse variabili può essere molto complessa, ma spesso è possibile semplificare il problema trascurando gli effetti dinamici non inerziali che possono svilupparsi nel motore. E' cioè possibile determinare i valori dei momenti in condizioni di regime e applicarli anche a condizioni di moto vario. L'espressione del momento così ottenuta, riportata in funzione della velocità angolare, è detta caratteristica meccanica statica.

Le curve caratteristiche di motori ideali rotativi possono essere definite per due casi limite :



- motore a coppia costante: il momento motore è costante, indipendente dalla velocità di rotazione;
- motore a velocità costante (sincrono): la velocità del motore è costante, indipendente dal momento erogato

Dal punto di vista meccanico i dati principali di un motore elettrico asincrono reale sono:

- la coppia di spunto  $M_s$  che il motore fornisce da fermo (indicata con  $a$  in figura)
- la coppia massima  $M_{max}$  (indicata con  $c$  in figura) e il corrispondente valore di velocità di coppia massima;
- la coppia nominale  $M_n$  (indicata con ordinata 100% in figura) e la corrispondente velocità nominale  $n$  alle quali il motore fornisce la potenza nominale;
- la velocità di sincronismo  $s$ , alla quale il motore funziona a vuoto e non eroga né coppia né potenza: essa dipende dalla frequenza di alimentazione  $f$  del motore (Hz) e dal numero di poli  $p$  secondo la relazione

$$\omega_s = \frac{4\pi f}{p} \text{ rad/s.}$$

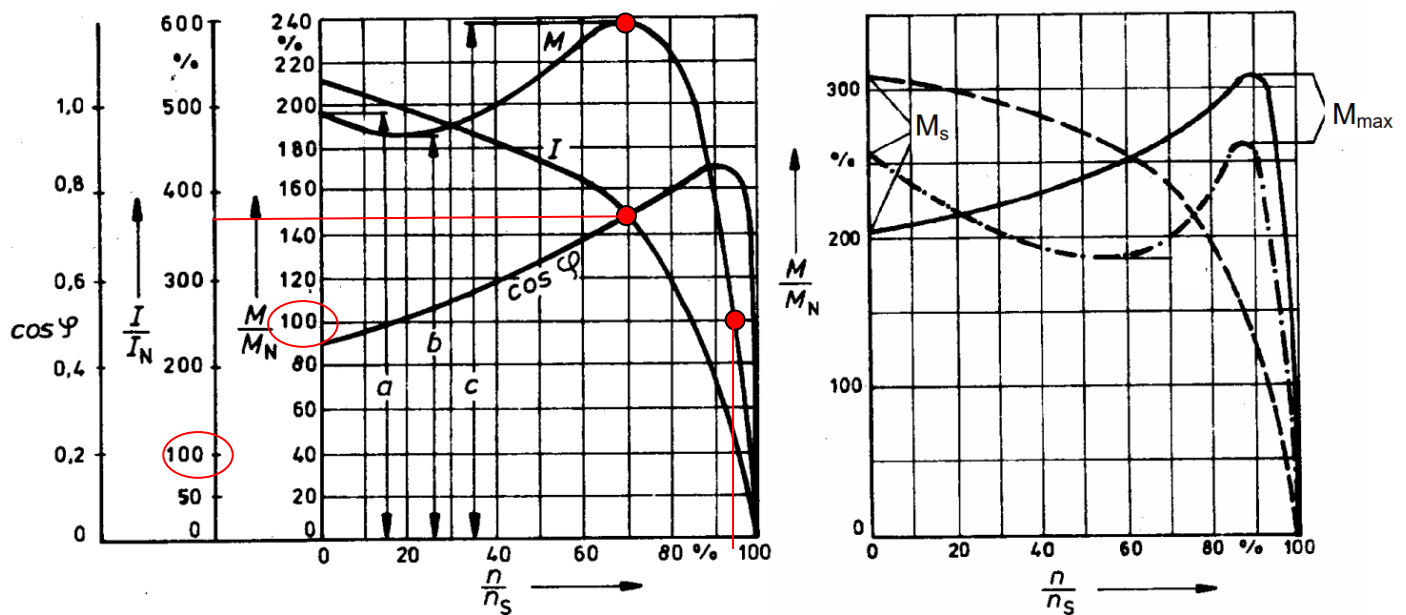
La tabella seguente riporta i valori delle velocità di sincronismo in rad/s e giri/min per motori con diversi numero di poli alimentati a frequenza di rete  $f=50$  Hz (in Europa).

numero di poli	velocità sincronismo (rad/s)	velocità sincronismo (giri/min)
2	314	3000
4	157	1500
6	105	1000
8	78.5	750

Nella parte a sinistra di figura sono riportati gli andamenti della coppia motrice, della corrente assorbita e del  $\cos \varphi$  per un motore elettrico asincrono trifase con rotore a gabbia al variare della velocità angolare. Il grafico riporta in ascissa i valori della velocità angolare in percentuale della velocità di sincronismo ( $100n/n_s = 100 / s$ ), e in ordinate i valori della coppia effettiva in percentuale della coppia nominale ( $100M/M_n$ ) e della corrente effettiva in percentuale della corrente nominale ( $100I/I_n$ ).

Per il motore in figura si vede che: la coppia di spunto è circa 1.95 volte la nominale, la coppia massima è circa 2.4 volte la nominale, la corrente di spunto (che è anche la massima) è circa 5.3 volte la corrente nominale. Al sincronismo il motore non produce coppia e non assorbe corrente. La velocità nominale è circa 0.95 volte quella di sincronismo.

Nella parte destra della figura sono riportati gli andamenti della coppia motrice rapportata a quella nominale per tre diversi tipi di motore asincrono trifase. Due di essi presentano un picco nella curva di coppia corrispondente alla coppia massima  $M_{max}$ .



## ESERCIZIO

Un motore asincrono trifase a 4 poli, alimentato alla frequenza di rete (50 Hz) ha le curve caratteristiche riportate nella parte sinistra di figura.

- Si ricavi dalla figura il valore della velocità nominale  $\omega_n$ .
- Si determini di quanto aumenta rispetto alla corrente nominale la corrente nel motore quando questo eroga la coppia massima.

Calcoliamo la velocità di sincronismo del motore

$$\omega_s = \frac{4\pi f}{p} = \frac{4\pi 50}{4} = 157 \text{ rad/s}$$

A cui corrisponde  $n_s = 1500 \text{ rpm} = \text{giri/minuto}$

Dato che in condizioni nominali si ha  $M=M_n$ , si entra nel grafico a  $M/M_n=100$  e in corrispondenza dell'ordinata 100 si trova la condizione in cui il motore eroga la coppia nominale:

$$n/n_s = 95 \rightarrow n = 1425 \text{ giri/min} \rightarrow \omega_n = 150 \text{ rad/s}$$

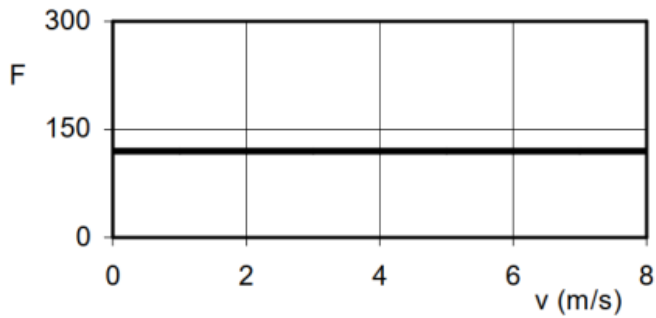
In condizioni nominali abbiamo ovviamente  $I/I_n = 100$  mentre alla coppia massima abbiamo  $I/I_n = 375$  quindi la corrente assorbita è 3,75 volte quella nominale.

## CARATTERISTICHE STATICHE DEI CARICHI

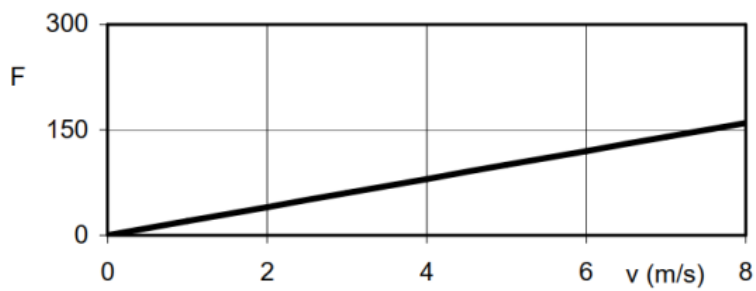
Anche i carichi (forze o coppie) sono caratterizzati da determinate curve caratteristiche. I casi più frequenti sono:

- carico costante (p. es. forza dovuta al sollevamento di un peso);
- carico viscoso (forza/coppia proporzionale alla velocità);
- carico aerodinamico (forza/coppia proporzionale al quadrato della velocità);
- combinazioni dei precedenti.

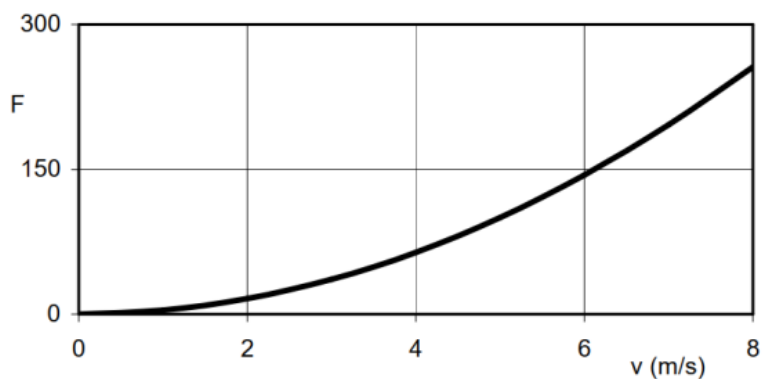
Caratteristica costante ( $F=F_0$ )



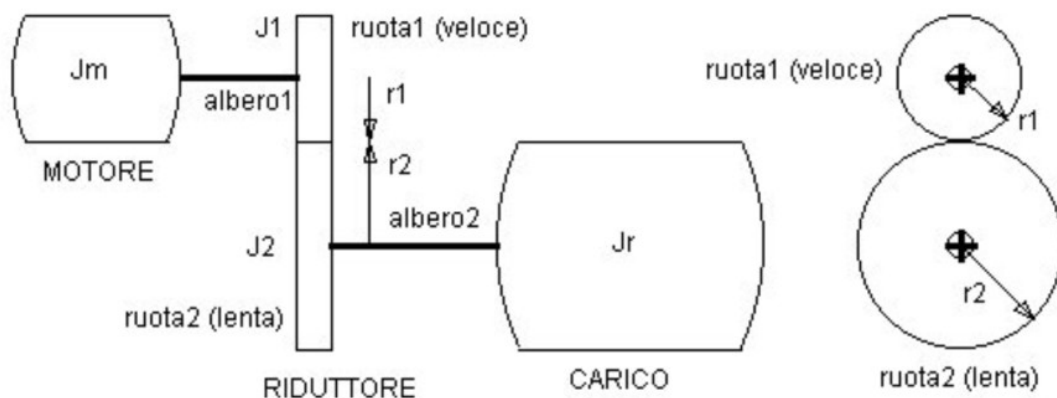
Caratteristica viscosa ( $F=cv$ )



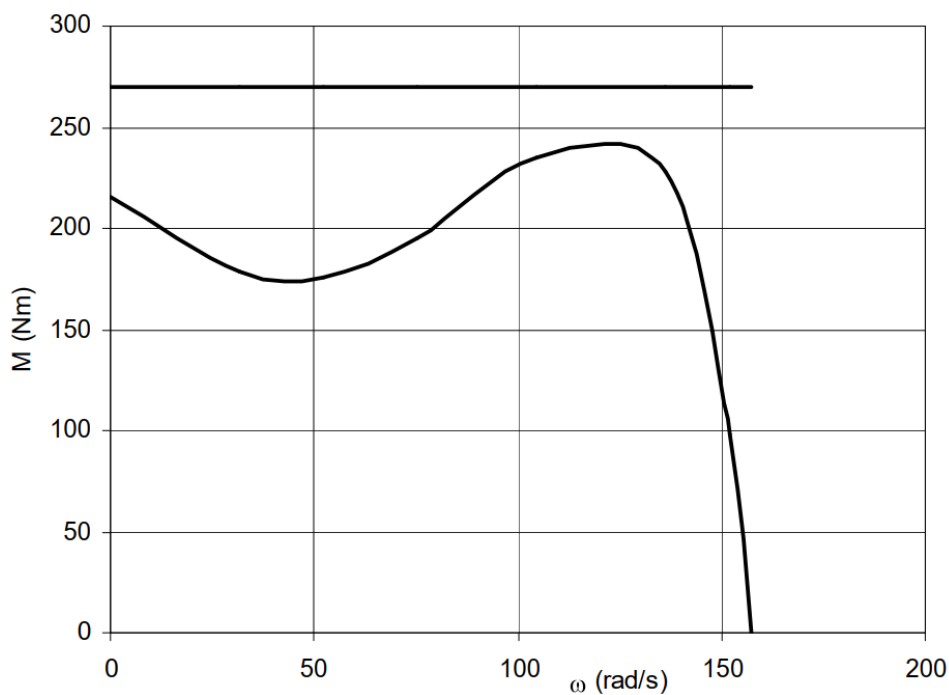
Caratteristica aerodinamica



Consideriamo l'azionamento di figura in cui tra motore e carico è presente un riduttore ad ingranaggi. Il carico presenta una coppia resistente costante  $M_r=270$  Nm mentre il motore la coppia  $M_m$  variabile indicata in figura.



**COPPIE MOTRICE E RESISTENTE**



CONDIZIONE	Velocità (giri/min)	Velocità (rad/s)	Coppia (Nm)
Di spunto	0	0	215
Di coppia massima	1220	125	240
Nominale	1450	152	98
Di sincronismo	1500	157	0

Supponiamo inizialmente di voler effettuare il collegamento diretto fra motore e carico, senza riduttore; pertanto  $\eta=1$  e  $\tau=1$ .

Poiché la coppia resistente  $M_r$  è sempre superiore alla coppia motrice  $M_m$  per qualunque velocità di rotazione del motore non è possibile collegare direttamente carico e motore per avere  $M_m = M_r$ . E' necessario inserire un riduttore!

Volendo utilizzare il motore assegnato per far muovere il carico occorre inserire una trasmissione che consenta di rispettare in condizioni accettabili di funzionamento del motore l'equazione di bilancio di energia:

$$\eta M_m - \tau M_r = 0$$

Una buona scelta è far ruotare a regime il motore alla sua velocità nominale, che da tabella risulta essere  $\omega_n=152$  rad/s e fargli quindi erogare la coppia nominale che risulta  $M_{mn}=98$  (Nm).

Avendo inserito una trasmissione occorre tener conto del suo rendimento e occorre conoscere come essa è realizzata. Supponendo di adottare una coppia di ruote dentate con rendimento  $\eta = 0.95$  abbiamo:

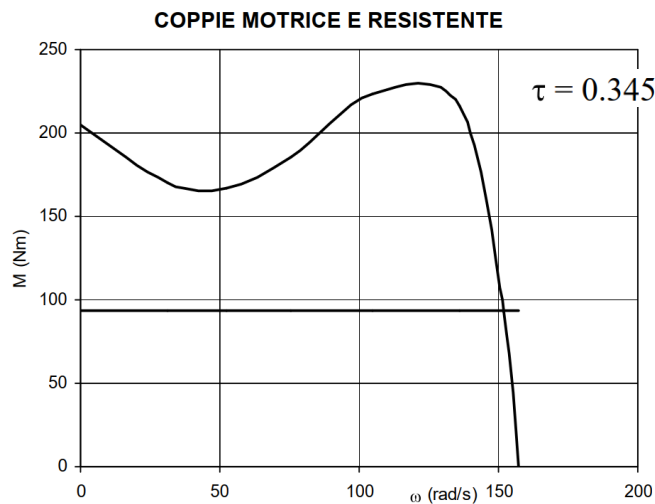
$$0,95 * 98 - \tau * 270 = 0 \rightarrow \tau = 0,345 = 1/2,9$$

Quindi è necessario ridurre la velocità del motore di circa 3 volte.

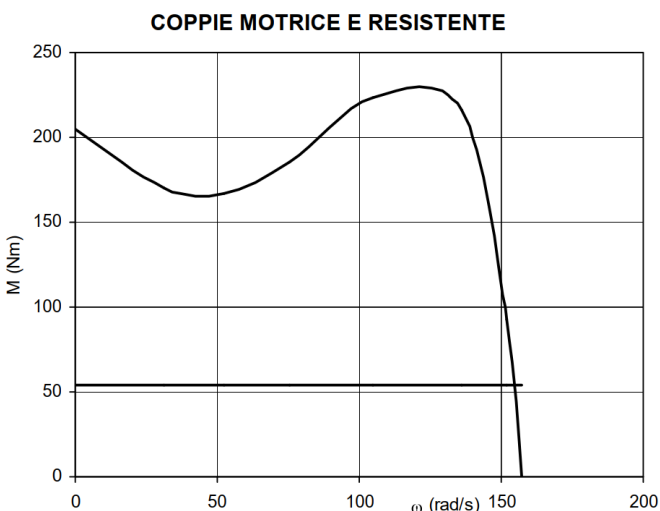
A regime il motore ruoterà alla  $\omega_n=152$  rad/s (1450 rpm) mentre il carico ruoterà alla velocità:

$$\omega_r = \omega_m * \tau = 52 \text{ rad/s} \quad (497 \text{ giri/min}).$$

La figura successiva mostra i gli andamenti di  $(\eta M_m)$  e di  $(\tau M_r)$  in funzione della velocità angolare del motore. Si vede che le curve si intersecano e che esiste quindi una condizione di regime per la quale è soddisfatta l'equazione di bilancio di energia. Tale condizione corrisponde, per costruzione, alla condizione di funzionamento nominale del motore.



Se si utilizzasse una riduzione di velocità più spinta, per esempio con  $\tau = 0.2 = 1/5$ , i grafici delle coppie  $M_m$  e  $M_r$  in funzione della velocità angolare del motore diventerebbero quelli della figura successiva dove quello di  $M_m$  è ovviamente lo stesso mentre quello di  $M_r$  è più in basso). Esiste ancora una condizione di funzionamento a regime, corrispondente all'intersezione delle due curve, in un punto più in basso del punto nominale e un po più a destra di questo. Ciò significa che il motore erogherà una coppia uguale a quella resistente e dunque decisamente minore della nominale: non sarà ben sfruttato ma potrà funzionare regolarmente.



Per l'analisi dinamica devono essere noti i seguenti dati:

- la coppia motrice  $M_m$
- la coppia resistente  $M_r$
- il rendimento del riduttore  $\eta$
- il rapporto di trasmissione  $\tau$
- il momento di inerzia  $J_m$  del rotore del motore rispetto al suo asse di rotazione;
- il momento di inerzia  $J_r$  del carico rotante rispetto al suo asse di rotazione;
- il momento di inerzia  $J_1$  della ruota 1 rispetto al suo asse di rotazione,
- il momento di inerzia  $J_2$  della ruota 2 rispetto al suo asse di rotazione

L'energia cinetica della macchina è la somma delle energie cinetiche dei diversi corpi rotanti

$$E_c = \frac{1}{2} J_m \omega_m^2 + \frac{1}{2} J_1 \omega_m^2 + \frac{1}{2} J_2 \omega_r^2 + \frac{1}{2} J_r \omega_r^2$$

Il bilancio di energia nel transitorio diventa quindi:

$$\eta M_m \omega_m - M_r \omega_r = \frac{d}{dt} \left( \frac{1}{2} J_m \omega_m^2 + \frac{1}{2} J_1 \omega_m^2 + \frac{1}{2} J_2 \omega_r^2 + \frac{1}{2} J_r \omega_r^2 \right)$$

Ricordando che  $\tau = \omega_r / \omega_m$

$$\eta M_m - \tau M_r = (J_m + J_1 + \tau^2 (J_2 + J_r)) \dot{\omega}_m$$

Overo indicando  $J_m^* =$  inerzia ridotta al motore  $\rightarrow J_m + J_1 + \tau^2 (J_2 + J_r)$

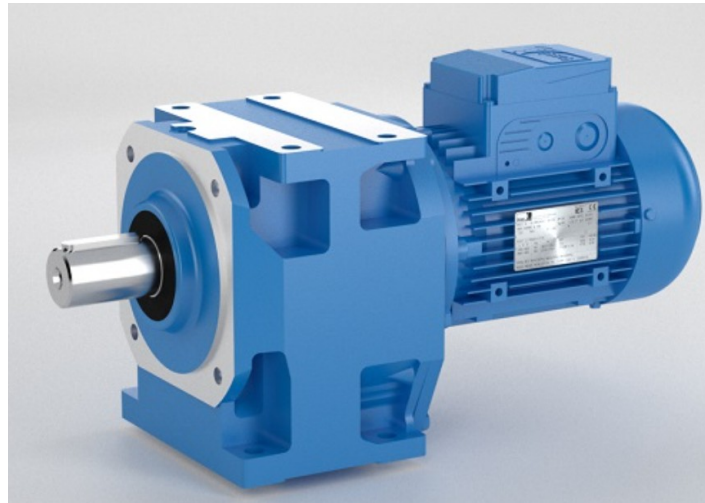
Otteniamo l'equazione (differenziale) di moto della macchina ridotta al motore che fornisce l'accelerazione della macchina:

$$\dot{\omega}_m = \frac{\eta M_m - \tau M_r}{J_m^*}$$

Per risolvere l'equazione differenziale bisogna conoscere la coppia motrice e quella resistente in funzione delle rispettive velocità angolari,  $M_m = f(\omega_m)$ ,  $M_r = g(\omega_r)$ .

## MOTORIDUTTORI

Spesso motori elettrici e riduttori meccanici di velocità ad ingranaggi vengono realizzati congiuntamente e costituiscono i motoriduttori. Sono un organo di comando semplice, affidabile di ridotto ingombro per unità di potenza, con buon rendimento, funzionamento regolare, minima rumorosità, elevata durata, semplicità di manutenzione e prezzo favorevole.



Sono normalizzati dai costruttori e ne esistono numerose alternative di montaggio, rilevabili dai cataloghi dei produttori. I costruttori possono fornire i valori dell'inerzia dei riduttori e dei motoriduttori di loro produzione.

Aniché indicare i momenti di inerzia delle singole ruote dentate e dei loro alberi, può esser dato il valore dell'inerzia dell'intero riduttore o motoriduttore ridotta all'albero veloce o all'albero lento. In tal caso il calcolo dell'inerzia ridotta complessiva della macchina può essere effettuato in modo simile a quanto visto poco sopra a partire dai dati:

- $J_m$ : momento di inerzia del motore, kg m<sup>2</sup>;
- $J_i$ : momento di inerzia del riduttore riferito all'albero veloce, kg m<sup>2</sup>;
- $J_r$ : momento di inerzia del carico, kg m<sup>2</sup>;
- $\tau$ : rapporto di trasmissione del riduttore.



Essendo nota l'inerzia  $J_i$  del riduttore ridotta all'albero veloce ed essendo questo collegato direttamente al motore, si possono sommare direttamente  $J_i$  e  $J_m$  e calcolare l'inerzia ridotta al motore  $J_m^*$  della macchina:

$$J_m^* = (J_m + J_i) + \tau^2 J_r$$

### ESEMPIO.

Una macchina è costituita da un motore elettrico asincrono trifase a 4 poli con potenza nominale 15 kW, del tipo BN 160L riportato in appendice a questo capitolo, da un carico rotante con momento di inerzia  $J_r = 2 \text{ kg m}^2$ , da un riduttore con rapporto di trasmissione = 0.18 e inerzia ridotta all'albero veloce  $J_i = 0.05 \text{ kg m}^2$ .

Determinare il momento di inerzia della macchina  $J_m^*$  ridotto all'albero motore e  $J_r^*$  ridotto all'albero del carico.

Pn kW		n min <sup>-1</sup>	Mn Nm	$\eta$ %	cos $\varphi$	I <sub>n</sub> A (400V)	$\frac{I_s}{I_n}$	$\frac{M_s}{M_n}$	$\frac{M_a}{M_n}$	$J_m \times 10^{-4}$ kgm <sup>2</sup>	IM B5 
11	BN 160MR 4	1440	73	87	0.82	22.3	5.9	2.7	2.5	360	70
15	BN 160L 4	1460	98	89	0.82	29.7	5.9	2.3	2.1	650	99

Dai dati del motore BN 160L si ricava:  $J_m = 0,065 \text{ Kg m}^2$

Quindi:

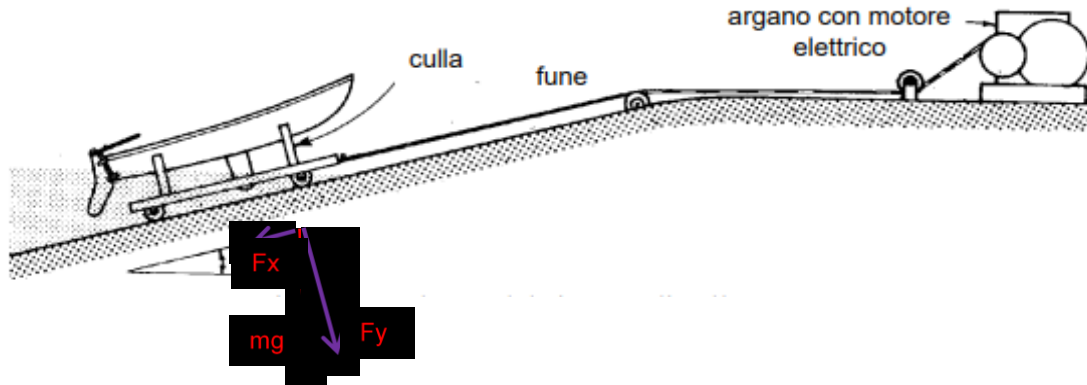
$$J_m^* = (J_m + J_i) + \tau^2 J_r = (0.065 + 0.05) + 0.018^2 * 2 = 0.18 \text{ kg m}^2$$

$$J_r^* = \left( \frac{J_m + J_i}{\tau^2} + J_r \right) = \left( \frac{0.065 + 0.05}{0.018^2} + 2 \right) = 5.55 \text{ kg m}^2$$

## ESERCIZIO SISTEMA DI SOLLEVAMENTO BARCHE

massa da sollevare (barca + culla) m	4000 Kg
velocità massima di salita v	0,5 m/s
pendenza percentuale dello scivolo h	18 %
diametro del tamburo D	250 mm
attrito volvente fra ruote e scivolo $f_v$	0,04

Il sistema utilizza un elettrico asincrono trifase a 4 poli 50Hz



### Schema funzionale del sistema

L'argano comprende un tamburo (U) sul quale si avvolge la fune di tiro.

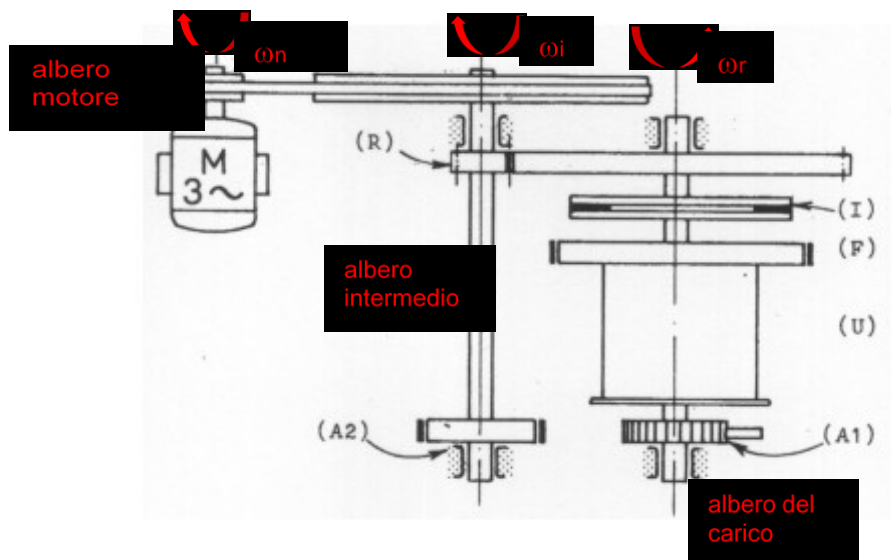
La trasmissione è costituita da un riduttore di velocità a due stadi:

- quello più a monte è realizzato con una trasmissione a cinghie trapezoidali (T)
- quello a valle due ruote dentate che formano un ingranaggio (R).

Fra l'ingranaggio e il tamburo è interposto un innesto a frizione (I)

Un freno a nastro principale (F) consente di rallentare e bloccare il carico

Un freno autobloccante (A2) e un arponimento (A1) impediscono al carico sollevato di invertire il moto



**L'analisi viene effettuata in condizioni di regime per il carico massimo da sollevare.**

Nota tipo di motore e frequenza rete si ricava la velocità nominale:

$$\omega = 157 \text{ rad/s}$$

in prima approssimazione di poco inferiore

$$\omega_n = 150 \text{ rad/s}$$

Nota la velocità di salita della barca si ricava nota la velocità angolare del tamburo (U)

$$\omega_t = v / (D/2) = 4 \text{ rad/s}$$

E' quindi ovviamente necessario un riduttore che abbassi la velocità dell'albero motore

$$\tau = \omega_t / \omega_n = 0,0267$$

La riduzione con una sola coppia di ruote dentate è troppo alta; si suddivide su due

Il primo realizzato con un riduttore a cinghie (sopporta coppie inferiori)

$$\tau_c = 0,157$$

Il secondo con un ingranaggio

$$\tau_i = 0,170$$

Quindi l'albero dell'ingranaggio avrà una velocità:

$$\omega_i = \tau_c \omega_n = 23,55 \text{ rad/s}$$

Ipotizziamo i seguenti rendimenti per cinghie, ingranaggi e tamburo:

$$\eta_c = 0,94 \quad \text{Il rendimento totale trasmissione}$$

$$\eta_i = 0,95 \quad \eta_{\text{tot}}$$

$$\eta_t = 0,95 \quad 0,848$$

Sul carico da sollevare agisce una forza peso verticale

$$F_g = 39240 \text{ N}$$

L'angolo del piano inclinato vale

$$\tan(\gamma) = h/100$$

$$\gamma = 0,178 \text{ rad}$$

$$10,2^\circ$$

La componente della  $F_g$  parallela allo scivolo vale:

$$F_x = 6951 \text{ N}$$

Quella perpendicolare allo scivolo vale

$$F_y = 38619 \text{ N}$$

La forza di attrito che si oppone al movimento vale quindi

$$F_{\text{attr}} = 1545 \text{ N}$$

La forza resistente complessiva di traino vale quindi

$$F_r = 8496 \text{ N}$$

La potenza resistente vale




$$P_r = F_r v = 4248 \text{ W}$$

Nota il rendimento della trasmissione si ricava la potenza motrice

$$P_m = P_r / \eta_{\text{tot}} = 5008 \text{ W} = 5,0 \text{ kW}$$

Dal catalogo costruttori motori prendiamo il modello da 5.5kW BN132S

**MOTORI A 4 POLI 1500 min<sup>-1</sup> 50Hz**

P <sub>n</sub> kW		n min <sup>-1</sup>	M <sub>n</sub> Nm	$\eta$ %	cos $\varphi$	I <sub>n</sub> A (400V)	$\frac{I_s}{I_n}$	$\frac{M_s}{M_n}$	$\frac{M_a}{M_n}$	J <sub>m</sub> x 10 <sup>-4</sup> kgm <sup>2</sup>	IM B5 
4	<b>BN 112M 4</b>	1420	27	83	0.78	8.9	5.6	2.7	2.5	98	30
5.5		10	36	84	0.80	11.8	5.5	2.3	2.2	213	44

Valutiamo ora le coppie sui 3 alberi (tamburo, intermedio, motore)

$$M_t = (F_r D/2) / \eta_t = 1118 \text{ Nm}$$

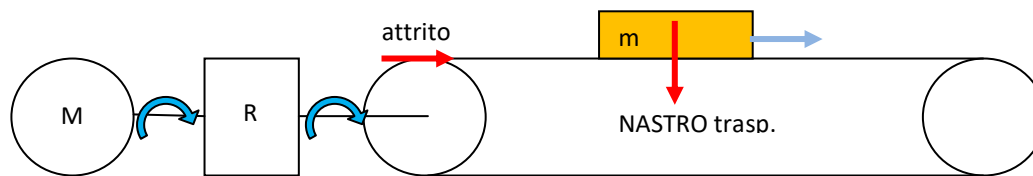
$$M_i = \tau_i M_t / \eta_i = 200 \text{ Nm}$$

$$M_m = \tau_c M_r / \eta_c = 33,4 \text{ Nm}$$

Abbiamo la seguente situazione

Albero	$\omega$ (rad/s)	M (N m)	P (W)
tamburo	4,000	1118	4472
intermedio	23,550	200	4707
motore	150,000	33,4	5008

Consideriamo un nastro trasportatore che deve movimentare dei corpi di massa  $m$ .



Il motore AC a induzione  $M$  è collegato ad un riduttore a ingranaggi  $R$  che è collegato a sua volta al rullo di traino del nastro.

Il motore  $M$  è caratterizzato da una coppia motrice  $M_m$  che dipende dalla sua potenza nominale  $P_n$  e dal numero di giri  $n^\circ$ :

$$P_n = M_m \cdot \omega_m \text{ [w]} \quad \text{con} \quad \omega = 2 \pi n^\circ / 60 \text{ [rad/s]} \quad n^\circ = \text{rpm} = \text{numero di giri / minuto}$$

Il riduttore  $R$  ha lo scopo di ridurre il numero di giri del motore (tipicamente alto 1500, 3000 ... giri/min.) ad un valore compatibile con il sistema di movimentazione da implementare. Trascurando il rendimento meccanico del riduttore abbiamo:

$$P_{ot} = M_m \cdot \omega_m = M_r \cdot \omega_r \quad \text{con}$$

- $i$  = rapporto riduzione =  $\omega_m / \omega_r$
- $M_r$  = coppia in uscita al riduttore [Nm]
- $\omega_r$  = velocità in uscita al riduttore [rad/s]

L'effetto del riduttore, oltre che a diminuire la velocità di rotazione, è quello di aumentare la coppia  $M_r$  per il carico.

Nel moto rettilineo di un corpo che da fermo viene messo in movimento tramite una forza abbiamo:  $F = m \cdot a$  [N]

Nel caso di un corpo che viene messo in rotazione rispetto ad un asse abbiamo:  $M = J \cdot \alpha$  [Nm] con

$J$  = momento di inerzia del corpo rispetto all'asse di rotazione

$\alpha$  = accelerazione angolare del corpo =  $d\omega/dt \rightarrow dt$  è il tempo necessario per portare a regime il sistema da fermo

Per una massa  $m$  che ruota ad una distanza  $r$  rispetto all'asse di rotazione abbiamo:  $J = m \cdot r^2$  [Kg m<sup>2</sup>]

Il calcolo del momento di inerzia  $J$  è fattibile per semplici sistemi con geometrie ben definite (cilindri, dischi ecc.).

Per macchine e forme complesse il momento di inerzia si ricava con opportune prove sperimentali.

Nel caso di nastri trasportatori, ad esempio, è il costruttore che fornisce la **coppia di primo distacco a pieno carico**, cioè il valore di coppia necessario per far partire il nastro trasportatore (attrito statico) nelle condizioni di massimo carico e massima accelerazione possibile:  $M_{\text{distacco}} = J \cdot \alpha$  [Nm]

Subito dopo la partenza (primo distacco) è necessario un certo intervallo di tempo  $\Delta t$  per raggiungere la velocità di regime prevista. In questa fase la coppia motrice dovrà vincere l'inerzia delle masse movimentate e l'attrito volvente (non deve più vincere l'inerzia dei rulli del nastro). Si parla quindi di forza e coppia accelerante:

$$F_a = (m \cdot g) \cdot a + (m \cdot g) \cdot \mu \quad \text{con} \quad a = v / \Delta t \quad \text{e} \quad v = \text{velocità lineare a regime del nastro e } \mu \text{ attrito volvente del nastro sui rulli}$$

$$M_a = F_a \cdot d / 2 \quad \text{con} \quad d = \text{diametro rullo di traino}$$

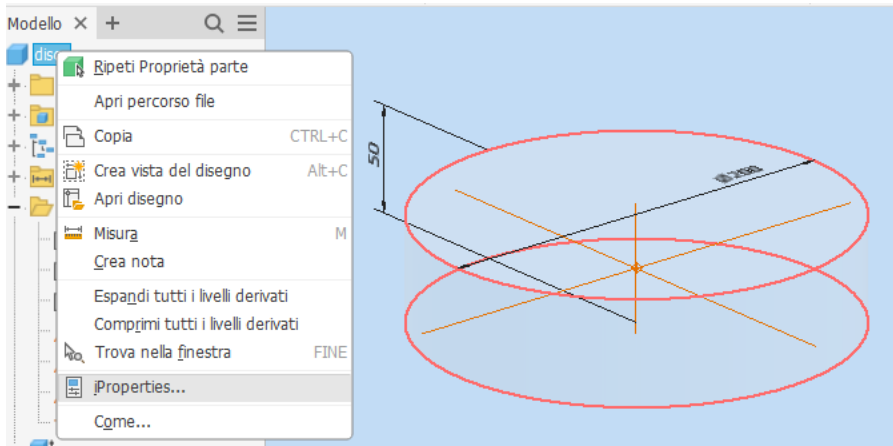
Quando il sistema raggiunge la velocità di rotazione prevista (a regime) la coppia motrice non deve più vincere l'inerzia del sistema e di conseguenza la potenza richiesta al motore è generalmente più bassa di quella di spunto.

$$-F_{\text{regime}} = (m \cdot g) \cdot \mu \quad \text{con} \quad \mu \text{ attrito volvente del nastro sui rulli}$$

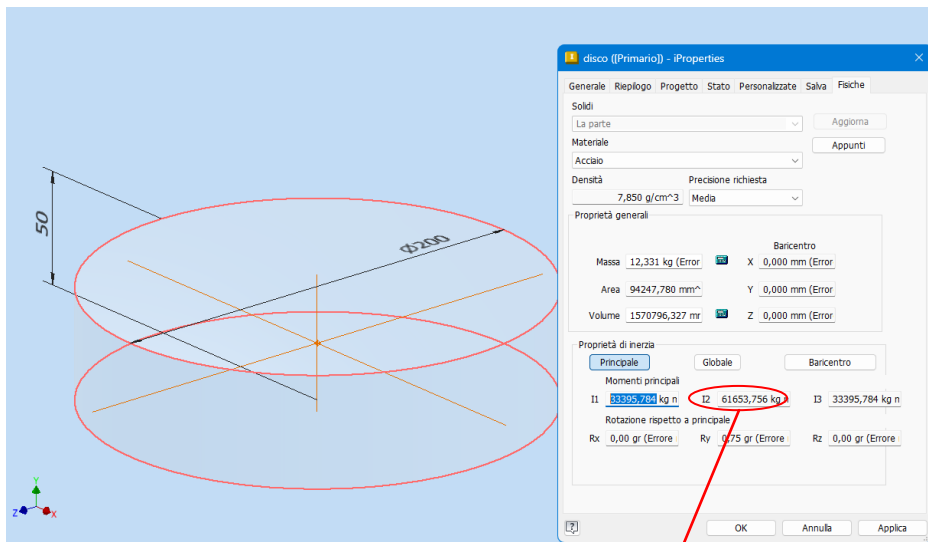
$$-M_{\text{regime}} = F_{\text{regime}} \cdot d / 2 \quad \text{con} \quad d = \text{diametro rullo di traino}$$

## MOMENTO DI INERZIA DI PEZZI COMPLESSI

Tramite il menu “iProperties” è possibile ottenere una stima accurata delle proprietà meccaniche di un pezzo.

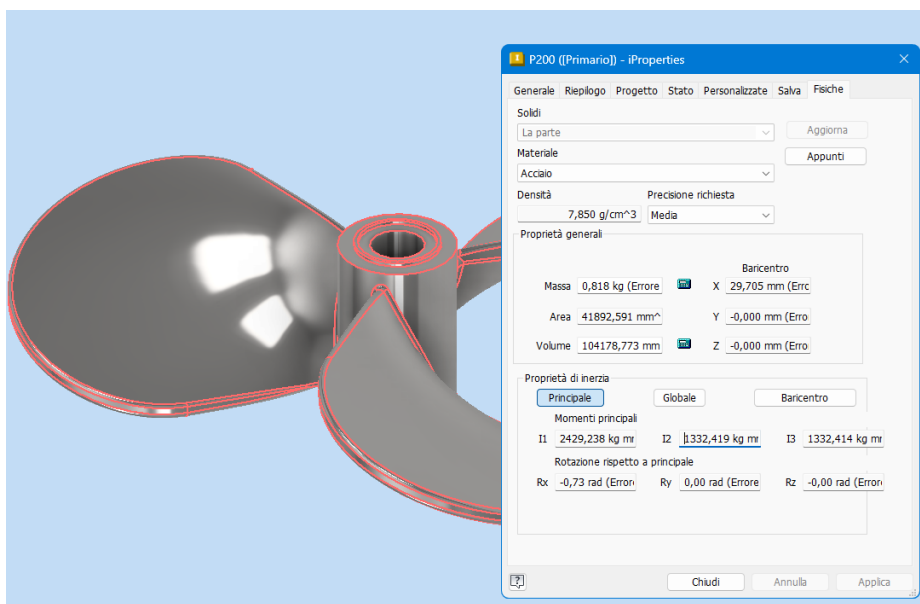


Alla sezione “fisiche” si può impostare il materiale e calcolare le proprietà principali (baricentro, momenti inerzia ...).



Con FORMULA:  $I_y = \frac{1}{2} * m * r^2 = 0,5 * 12,331 * 0,1^2 = 61655 \text{ kg mm}^2$  da Inventor  $\rightarrow 61654 \text{ kg mm}^2$

L'esempio sottostante mostra una situazione più complessa difficilmente risolvibile a *mano*.



## ARGANO PER SOLLEVAMENTO

Si consideri il meccanismo di sollevamento riportato in figura.

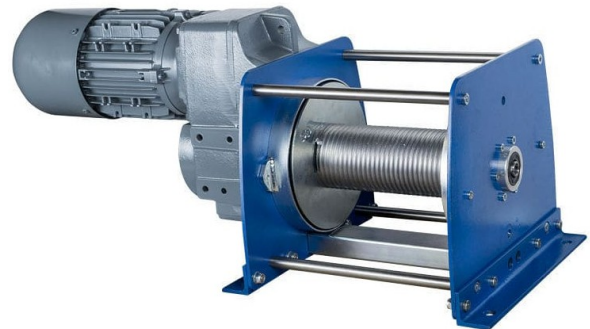
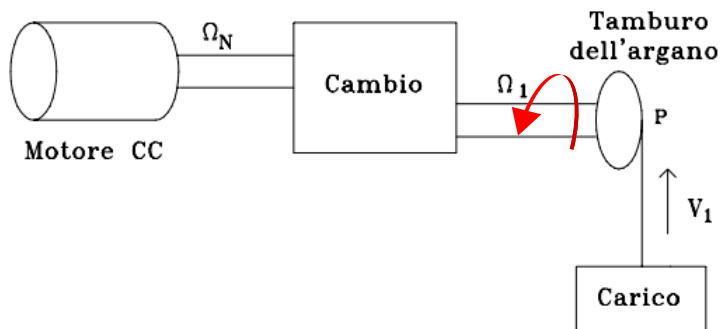
Il momento d'inerzia del motore è  $J_N = 1 \text{ Kg m}^2$ .

Il cambio ha un rapporto di riduzione  $i=10:1$ .

Il momento d'inerzia  $J_r$  del riduttore, riferito al motore, è pari a  $0,2 \text{ Kg m}^2$ .

Il tamburo dell'argano ha un raggio  $r_a = 0,3 \text{ m}$  ed un momento d'inerzia  $J_{\text{tamb}}=3 \text{ Kg m}^2$ .

Il carico da sollevare ha massa  $m_c= 1000 \text{ Kg}$ .



Nel caso in esame, si può pensare che al momento d'inerzia proprio del tamburo si sovrapponga quello del peso che, per l'ipotesi di anelasticità del cavo, può essere riportato sulla circonferenza del tamburo stesso (punto P di figura).

Il momento d'inerzia del peso è dunque:  $J_p = m_c * r^2 = 1000 * 0,3^2 = 90 \text{ Kg m}^2$

Il momento complessivo a valle del riduttore (tamburo + peso) vale quindi:

$$J_c = J_{\text{tamb}} + J_p = 90 + 3 = 93 \text{ Kg m}^2$$

Se si suppone che il cambio sia privo di perdite, la potenza meccanica viene tutta trasmessa, quindi vale la relazione:

$$Pot = \omega_n * C_n = \omega_t * C_t \quad \text{dove}$$

$C_t$  = coppia trasmessa al tamburo dell'argano

$C_n$  = coppia nominale del motore

Per un carico puramente inerziale, la coppia è legata alla velocità di rotazione dalla relazione:

$$C_t = J_c * \alpha_c = J_c * d\omega_t / dt \quad \text{con } \alpha_c = \text{accelerazione angolare del tamburo}$$

Essendo il rapporto di riduzione  $i = \omega_n / \omega_t$  e  $C_t = C_n * \omega_n / \omega_t = C_n * i$  sostituendo nella precedente:

$$C_n * i = J_c * d(\omega_n / i) / dt = J_c * 1/i * d(\omega_n) / dt \quad \text{abbiamo}$$

$$C_n = J_c / i^2 * d(\omega_n) / dt = J_c / i^2 * \alpha_n \quad \text{con } \alpha_n = \text{accelerazione angolare del motore}$$

Si definisce  $J_{NC} = J_c / i^2$  momento d'inerzia del carico riportato al motore (momento riflesso)

$$\text{Nel nostro caso: } J_{NC} = 93 / 10^2 = 0,93 \text{ Kg m}^2$$

Il momento di inerzia totale visto dal motore comprenderà inoltre quello proprio del motore  $J_N$  e quello del riduttore  $J_r$ :

$$J_{\text{Ntot}} = J_N + J_r + J_{NC} = 1 + 0,2 + 0,93 = 2,13 \text{ Kg m}^2$$

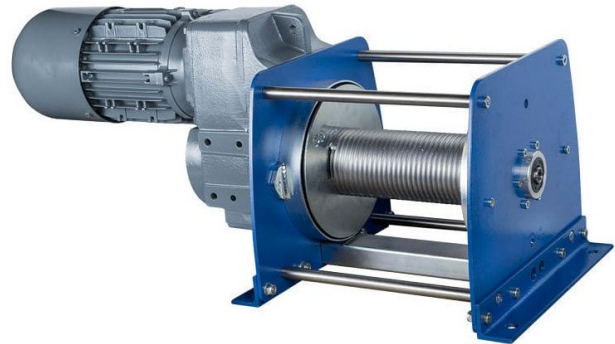
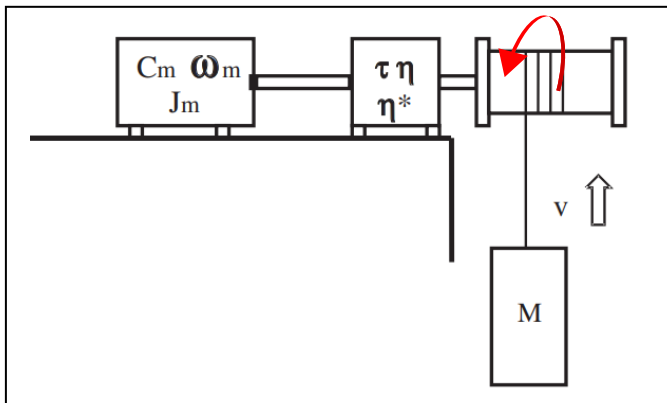
## ARGANO PER SOLLEVAMENTO 2

Un motore asincrono deve sollevare / abbassare un carico tramite una fune che si avvolge su un tamburo di diametro  $D = 0.5 \text{ m}$ . Il carico si deve muovere alla velocità costante approssimativa  $v = 0.6 \text{ m/s}$ .

La massa del carico è pari a  $200 \text{ kg}$  e la puleggia ha inerzia trascurabile.

Sono disponibili tre riduttori di velocità con riduzioni  $\tau=1/50, 1/60, 1/80$ , rendimento diretto e retrogrado  $\eta=0.7$  e inerzia riduttore trascurabile. E' richiesto di:

- scegliere il motore ed il riduttore più adatti;
- verificare quale sarà la velocità di regime;
- calcolare approssimativamente il tempo di avviamento per il caso di salita;



## AZIONAMENTI MECCANICI: AGITATORE PER LIQUIDI

Un motore asincrono comanda, tramite un riduttore, un agitatore per liquidi di elevata densità.

Il riduttore ha un rendimento pari a 0,9.

L'agitatore ha una massa complessiva di 20Kg e può essere approssimato da un cilindro pieno di diametro 500mm.

E' richiesta una coppia motrice di 1000 Nm alla velocità di 20 rpm per mescolare il fluido.

Il momento d'inerzia del motore è  $J_N = 1 \text{ Kg m}^2$ .

Il momento d'inerzia  $J_r$  del riduttore, riferito al motore, è pari a 0,2 Kg m<sup>2</sup>.

Tempo di accelerazione da fermo pari 10 sec.



Il momento di inerzia dell'agitatore è dato da:

$$I_{\text{agit.}} = 1/2 * m * r^2 = 0.5 * 20 * 0,5^2 = 0,625 \text{ Kg m}^2$$

La velocità angolare a regime dell'agitatore è data:

$$\omega_t = 6.28 * n^\circ / 60 = 6.28 * 20 / 60 = 2,1 \text{ rad/sec.}$$

La potenza che deve essere trasmessa al carico a REGIME vale quindi:

$$P_t = \omega_t * C_t = 2,1 * 1000 \text{ Nm} = 2100 \text{ w}$$

Not oil rendimento del riduttore si ricava la potenza nominale del motore:

$$P_n = P_t / \eta = 2100 / 0.9 = 2333 \text{ w.}$$

Supponendo di utilizzare un motore a induzione a due poli da 1420 rpm dobbiamo adottare il seguente rapporto di riduzione:

$$i = 1420 / 20 = 71$$

## 11.2.1 Motore asincrono: parametri principali, regolazione

### Testo esercizio

Si consideri un motore asincrono trifase con i dati di targa di seguito riportati. Si chiede di determinare:

- la coppia nominale del motore;
- la frequenza di alimentazione necessaria ad ottenere la rotazione del campo a 2500 RPM.

Dati Da catalogo si desumono i seguenti dati di targa:

- potenza nominale:  $W_n = 7.5 \text{ kW}$
- tensione nominale:  $V_n = 380 \text{ V}$
- corrente nominale:  $I_n = 15.5 \text{ A}$
- numero di poli: 4
- scorrimento nominale percentuale:  $s_n = 3.33\%$

### Coppia Nominale

Conoscendo la potenza e velocità nominali è possibile determinare la coppia nominale. La velocità nominale è proporzionale alla velocità a vuoto (velocità di sincronismo):

$$\omega_n = (1 - s_n) \omega_0 \qquad N_n = (1 - s_n) N_0$$

dove

$$\omega_0 = \frac{2\pi f}{p} = \frac{2\pi 50}{2} \text{ [rad/s]} \qquad N_0 = \frac{f 60}{p} = \frac{50 \cdot 60}{2} \text{ [giri/min]}$$

Il parametro  $f$  è la frequenza della corrente alternata della rete, che in Italia è 50 [Hz]. Sostituendo i valori numerici si ottiene:

$$\begin{aligned} \omega_0 &= 157 \text{ [rad/s]} & \omega_n &= 151.85 \text{ [rad/s]} \\ N_0 &= 1500 \text{ [RPM]} & N_n &= 1451 \text{ [RPM]} \end{aligned}$$

La coppia nominale è, quindi:

$$C_n = \frac{W_n}{\omega_n} = \frac{7500}{151.85} = 49.39 \text{ [Nm]}$$

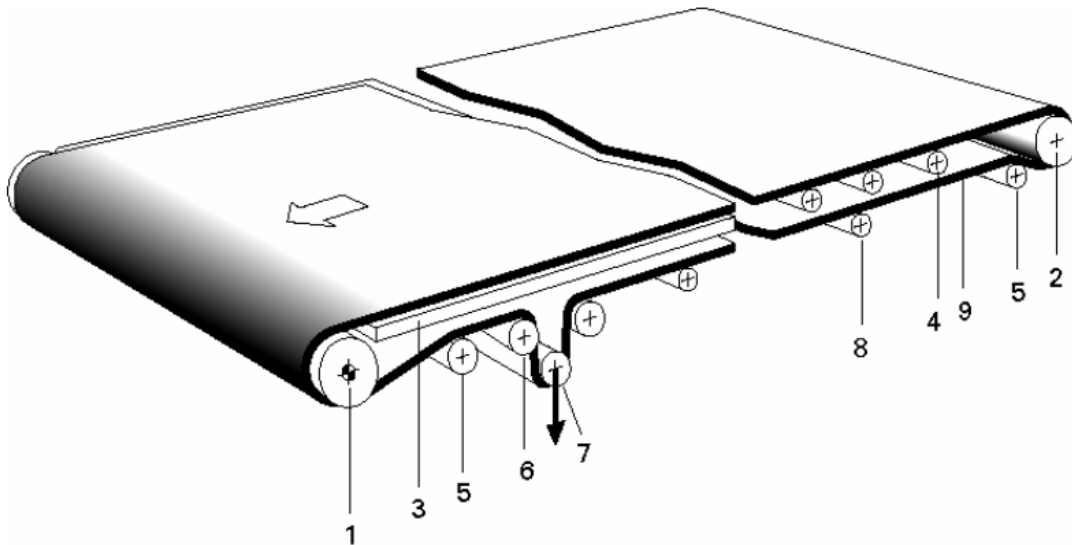
### Frequenza di alimentazione

La velocità di rotazione del campo magnetico è proporzionale alla frequenza di alimentazione. Per ottenere una velocità pari a  $\bar{N} = 2500 \text{ [RPM]}$  occorre una frequenza  $\bar{f}$  che si determina con la seguente proporzione:

$$\begin{aligned} \bar{f} : f &= \bar{N} : N_0 \\ \bar{f} &= \frac{2500}{1500} 50 = 83.33 \text{ [Hz]} \end{aligned}$$

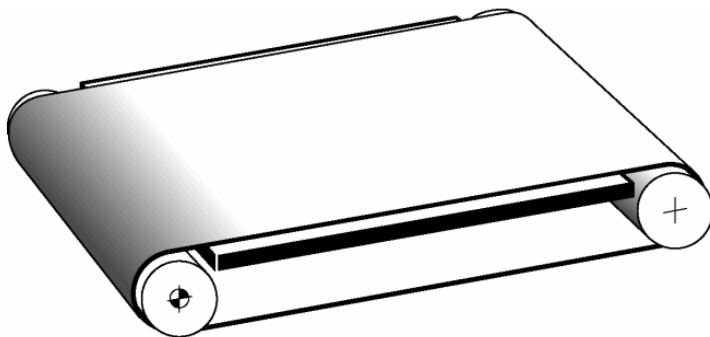
## NASTRO TRASPORTATORE

Nella sua forma più semplice, un trasportatore è composto da una carpenteria che comprende il sostegno del nastro (piano di scorrimento o rulli di supporto), un tamburo motore, che normalmente è il tamburo “di testa”, un rullo di rinvio, che normalmente è il rullo “di coda” e un nastro trasportatore. Sistemi più complessi avranno componenti aggiuntivi come gruppi di traino e di tensionamento, elementi di centraggio del nastro, deviatori di prodotto, accumulatori, sensori, ecc.



1 rullo di traino 6 rullo di controflessione 2 rullo di rinvio 7 rullo di tensionamento 3 piano di scorrimento 8 rullo di supporto (sul lato di ritorno) 4 rullo di supporto 9 nastro trasportatore 5 controrullo 10 carpenteria (non indicata)

### Nastro con piano di scorrimento



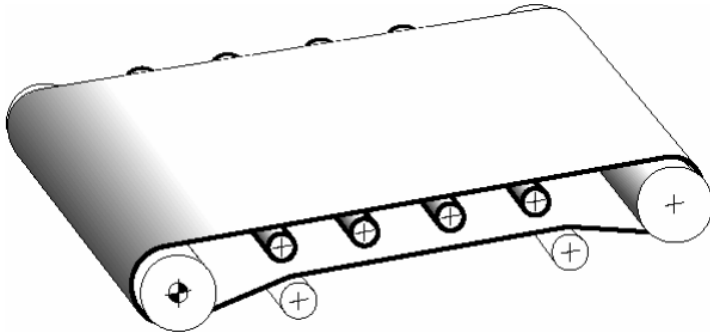
I vantaggi di un nastro supportato da un piano di scorrimento sono principalmente la maggiore stabilità dei prodotti trasportati e la limitata influenza sul centraggio del nastro – un vantaggio che distingue questa soluzione da quella che prevede l'utilizzo di rulli di supporto. Selezionando in maniera corretta il materiale del lato di scorrimento del nastro e il piano di scorrimento stesso, è possibile variare in nostro favore il coefficiente di attrito, la rumorosità e la vita utile del nastro.

I materiali consigliati per il piano di scorrimento sono:

- Lamiera di acciaio decapato (lamiera di acciaio disincrostata chimicamente)
- Lamiera di acciaio inossidabile (utilizzata in particolare nel settore alimentare)
- Plastiche dure (come la resina fenolica, ecc.) utilizzate principalmente come copertura di pannelli in truciolato o compensato
- Fogli laminati di legno duro (faggio, quercia)

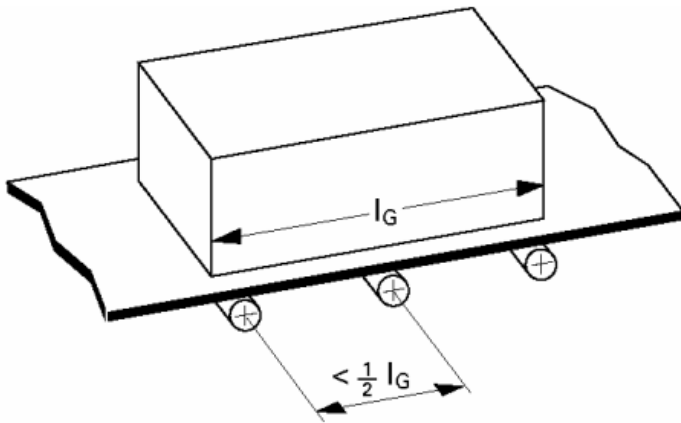
L'attrito tra il piano di scorrimento e il nastro viene notevolmente influenzato dal tipo di materiale e dalla finitura superficiale del piano di scorrimento, dall'umidità, dalla polvere, dalla sporcizia, ecc.

## Nastro con rulli di scorrimento



In presenza di trasportatori lunghi e carichi grandi/pesanti si utilizzano rulli di supporto in sostituzione del piano di scorrimento. I rulli di supporto riducono la perdita per attrito, la forza periferica e la potenza richiesta per il traino.

I rulli maggiormente utilizzati sono realizzati da tubi di precisione in acciaio supportati da cuscinetti a rulli.



La distanza tra i rulli di supporto deve essere inferiore a metà della lunghezza delle unità di carico trasportate  $l_G$ , in modo che i prodotti trasportati appoggino sempre su almeno due rulli.

## ESERCIZIO

Si deve dimensionare un motore asincrono trifase 400V che gestisce un nastro trasportatore a rulli.

Lunghezza nastro	30 m	
Massa nastro /m	5 Kg	
Massa nastro	300 Kg	2x lunghezza
Velocità lineare nastro	1,5 m/s	
Tempo di accelerazione	5 s	da fermo
Massa trasportata /m	30 Kg	
Massa tot. trasportata	900 Kg	
Massa totale movimentata	1200	comprensiva di nastro
Diametro puleggia	0,2 m	
Attrito volvente	0,07	
Attrito statico	0,09	
Md coppia primo distacco	140 Nm	→ dal costruttore del nastro
Rendimento riduttore	0,98	
Motore 4 poli trifase	1475 rpm	
Capacità sovraccarico	150 % per 30s	
Tensione alimentazione	400 V trifase	
Fattore di potenza	0,85	
$\omega$ motore	154,4 rad/s	
Rendimento inverter	0,98	
Capacità sovraccarico	150 % per 60s	
<b>RAPPORTO DI TRASMISSIONE DEL RIDUTTORE</b>		
$\omega_p$ = velocità puleggia	15 rad/s	$v \text{ nastro} = \omega * D/2$
$i$ = rapporto trasmissione	10,3	$\omega_{\text{motore}} / \omega_p$
<b>COPPIA DI PRIMO DISTACCO</b>		
Md	140,0 Nm	→ dal costruttore del nastro
Pd	2100 W	potenza primo distacco
<b>COPPIA ACCELERANTE (x vincere inerzia del carico e attrito volvente dopo il distacco)</b>		
$a = v / t = 1,5/5$	0,3 m/s <sup>2</sup>	accelerazione lineare nastro
Fa	1184 N	forza accelerante
Ma	118 Nm	coppia accelerante
Pa	1812 W	potenza accelerante
<b>COPPIA A REGIME (volvente)</b>		
a	0 m/s <sup>2</sup>	omega costante
Fr	824 N	forza a regime
Mr	82 Nm	coppia a regime
Pr	1261 W	potenza a regime
La coppia accelerante è presente finché il motore non raggiunge la velocità massima.		
La potenza accelerante si trova con la coppia accelerante alla massima velocità		
Un motore elettrico a induzione in genere ha una capacità di sovraccarico del 150% per 30s		
Pa con sovraccarico 150%	1208 W	sovraccarico per 5s
Si può quindi prendere un motore elettrico da	1,5 kW	
la	3,1 A	corrente all'avvio assorbita dal motore
La corrente di primo distacco invece vale		
ld	3,6 A	
Il convertitore di frequenza può sopportare un sovraccarico del 150% per 60s		
I nominale convertitore	2 A	



# SISTEMI DI REGOLAZIONE

Un sistema di **REGOLAZIONE** non prevede l'utilizzo di sensori ma si basa sulle leggi fisiche che governano il sistema.

Ad esempio per mantenere una certa temperatura dell'acqua in un recipiente è possibile far ricorso alle leggi della termotecnica per calcolare la dispersioni termiche dell'involucro e quindi la potenza termica che deve essere fornita tramite un elemento riscaldante.

Applicando correttamente le leggi della fisica si può ottenere il risultato richiesto senza un controllo continuo del sistema.

Nel caso di presenza di disturbi esterni (non adiabaticità del recipiente, prelievo di acqua, ecc.) il risultato non può essere raggiunto senza la presenza di opportune **sensori** che misurano in tempo reale la grandezza da controllare.

## SISTEMA DI RISCALDAMENTO RESISTIVO

Progettare un sistema di **REGOLAZIONE** della temperatura dell'acqua in un recipiente adiabatico da 10 litri.



La temperatura dell'acqua deve essere portata da 20°C a 50°C con una resistenza termica da 115 watt quando si preme un pulsante di accensione. Il sistema **NON** prevede l'utilizzo di sensori di temperatura e per questo motivo si parla di **REGOLAZIONE** e non di **CONTROLLO**.

Se si applicano correttamente le leggi della fisica alla base del processo di riscaldamento dell'acqua si può ottenere il risultato richiesto. Nel caso di presenza di disturbi esterni (non adiabaticità, prelievo acqua prima del termine fase di riscaldamento, ecc.) il risultato non può essere raggiunto senza la presenza di sensori.

Leggi fisiche coinvolte:

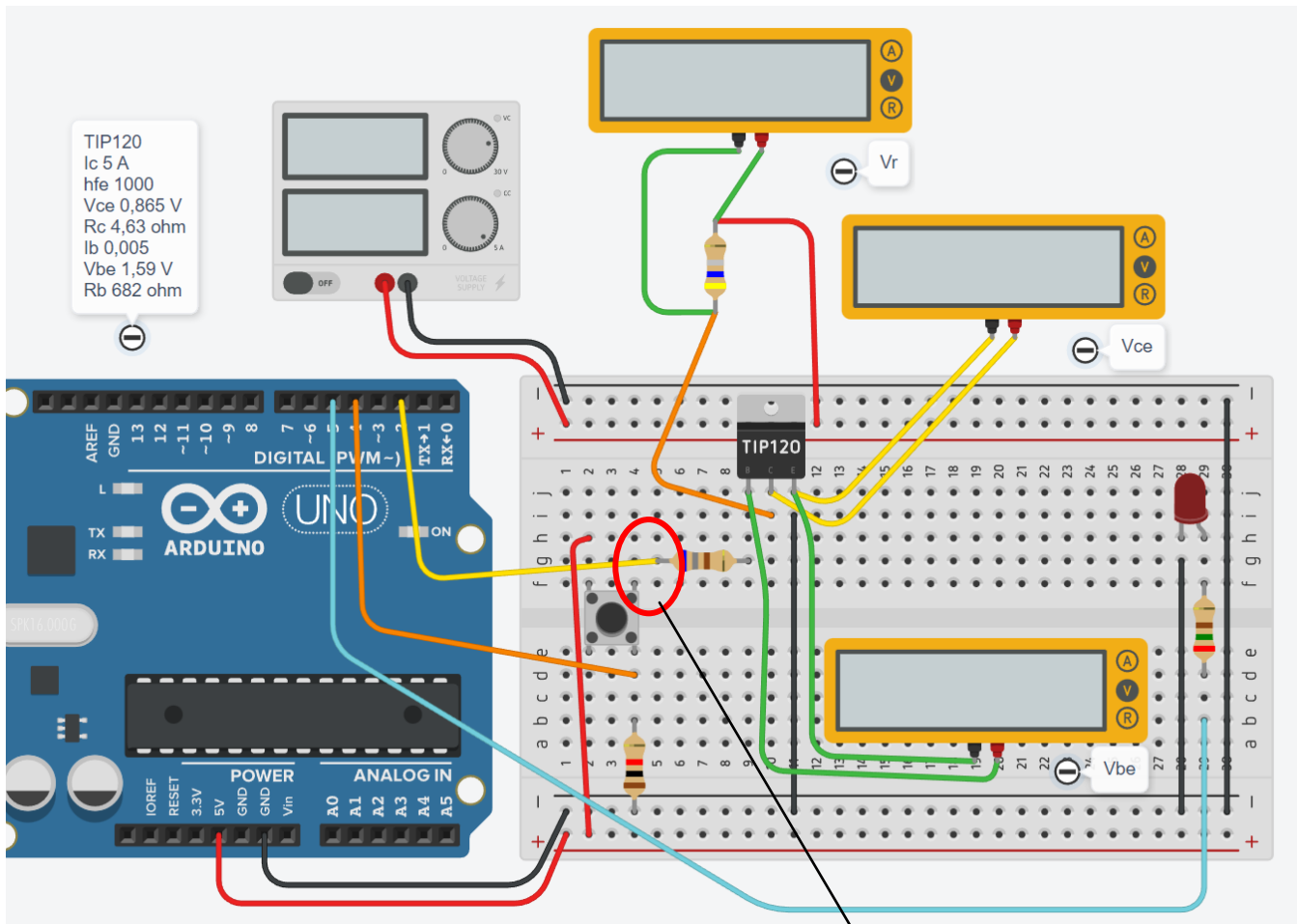
- 1- Energia termica fornita all'acqua:  $Q = m \cdot Ct \cdot (T_f - T_i)$  [Joule]
- 2- Potenza termica fornita dall'elemento riscaldante:  $Pot. = Q / t$  [w=J/s]

Ricavando il calore fornito dalla 2° equazione e sostituendolo nella prima si ottiene il tempo "t" necessario ad ottenere il risultato richiesto.

Il microcontrollore dovrà quindi attivare l'elemento riscaldante per il tempo calcolato.

$$t = m \cdot Ct \cdot (T_f - T_i) / Pot. = 10 \cdot 4186 \cdot (50 - 20) / 115 = 10920 \text{ s} = 95 \text{ minuti}$$

Per valutare il tempo trascorso in Arduino si deve impiegare la funzione "millis()" che ritorna il numero di millisecondi trascorsi dall'accensione.



TIP120  
 Ic 5 A  
 hfe 1000  
 Vce 0,865 V  
 Rc 4,63 ohm  
 Ib 0,005  
 Vbe 1,59 V  
 Rb 682 ohm

```

long t0;
int tempoAttivazione= 10*1000; // secondi
bool flagAttivo = false; // flag per sapere se è attivo riscaldamento

void setup()
{
  pinMode(2, OUTPUT); // TIP120
  pinMode(5, OUTPUT); // LED
  pinMode(4, INPUT); // START
  Serial.begin(9600);
}

void loop()
{
  int statoStart= digitalRead(4); // STATO BOTTONE START

  if (statoStart==HIGH) {
    Serial.println("Attivazione");
    flagAttivo= true;
    t0= millis(); // ISTANTE ATTIVAZIONE
    digitalWrite(2, HIGH);
    digitalWrite(5, HIGH);
  }
  // CONTROLLO SE È PASSATO IL TEMPO DI ACCENSIONE PREVISTO
  if ( ((millis() - t0) > tempoAttivazione) && (flagAttivo== true) ) {
    Serial.println("Fine riscaldamento");
    digitalWrite(2, LOW);
    digitalWrite(5, LOW);
    flagAttivo= false;
  }

  delay(200);
}

```

Attenzione a non mettere i pin del pulsante allineati in verticale alla resistenza!

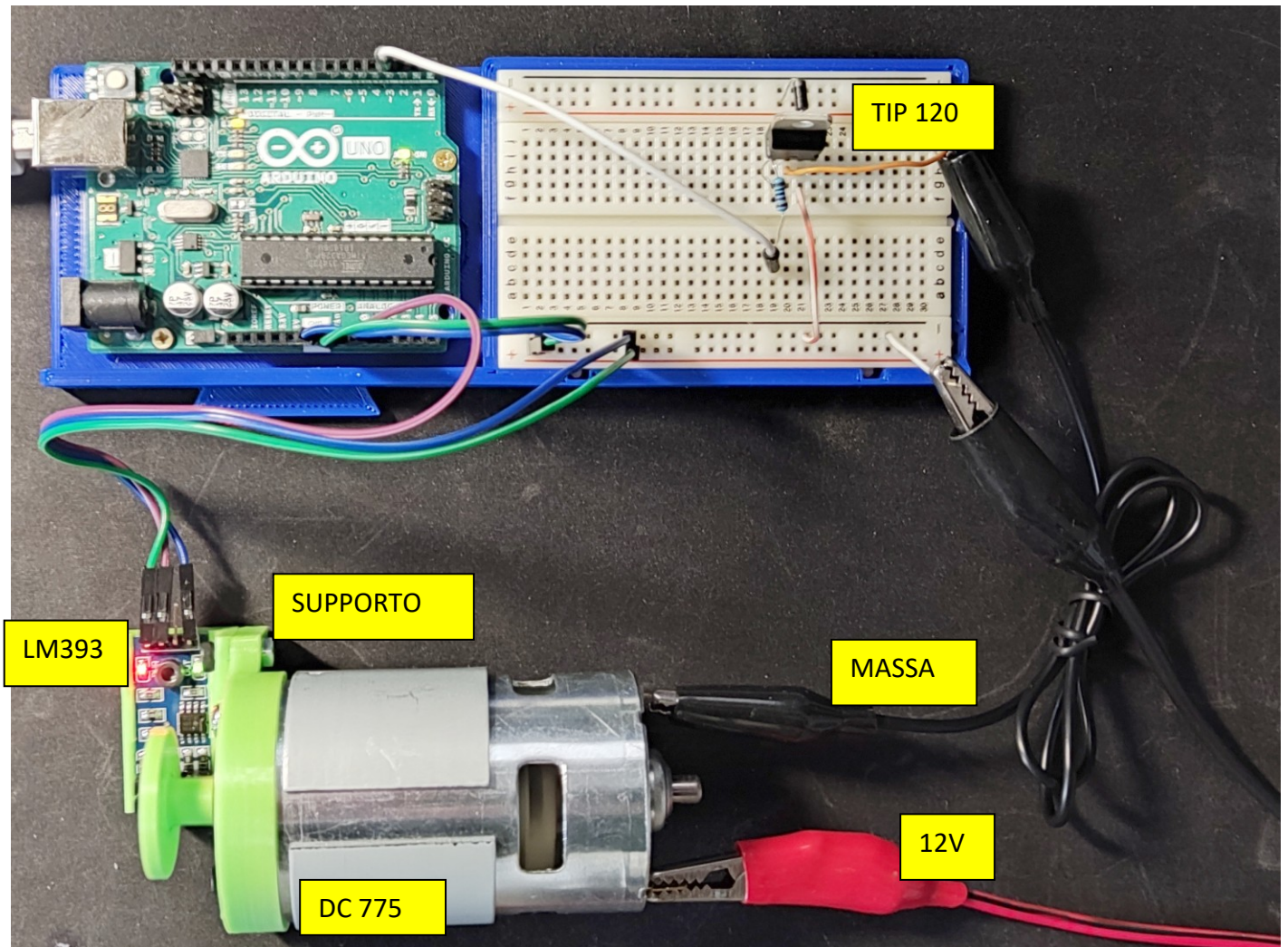
## REGOLAZIONE DEL NUMERO DI GIRI DI MOTORE C.C. AD ALTA VELOCITA'

La fotografia mostra un motore CC da 12 V a 6000 giri/minute la cui velocità viene regolata tramite un transistor di potenza TIP120 a sua volta controllato con un segnale PWM da Arduino.

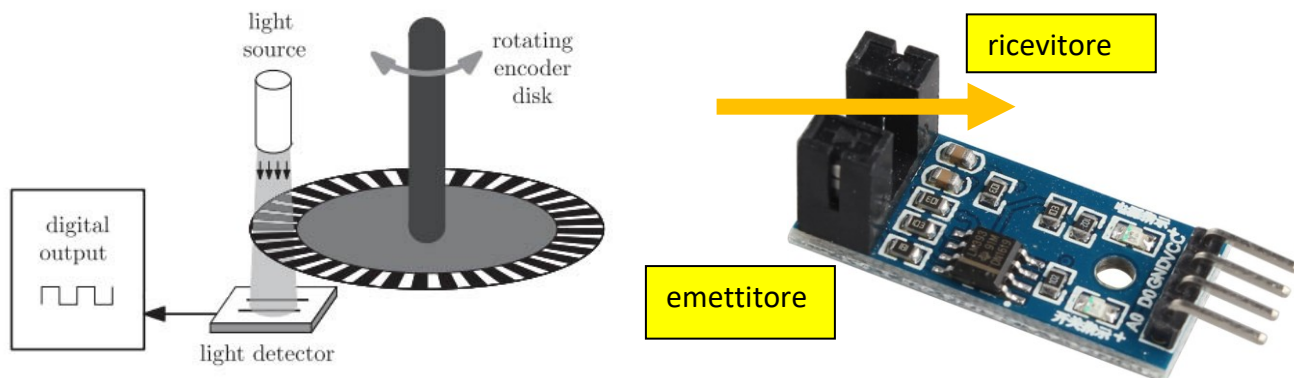
Lo scopo del circuito è quello di regolare la tensione dell'alimentazione del motore per ottenere il numero di giri a vuoto desiderato.

Per rilevare la velocità del motore si utilizza il modulo Arduino LM393 dotato di emettitore e ricevitore IR a forcella.

Il pezzo verde (supporto del modulo) è stato disegnato in 3D e poi stampato in 3D.

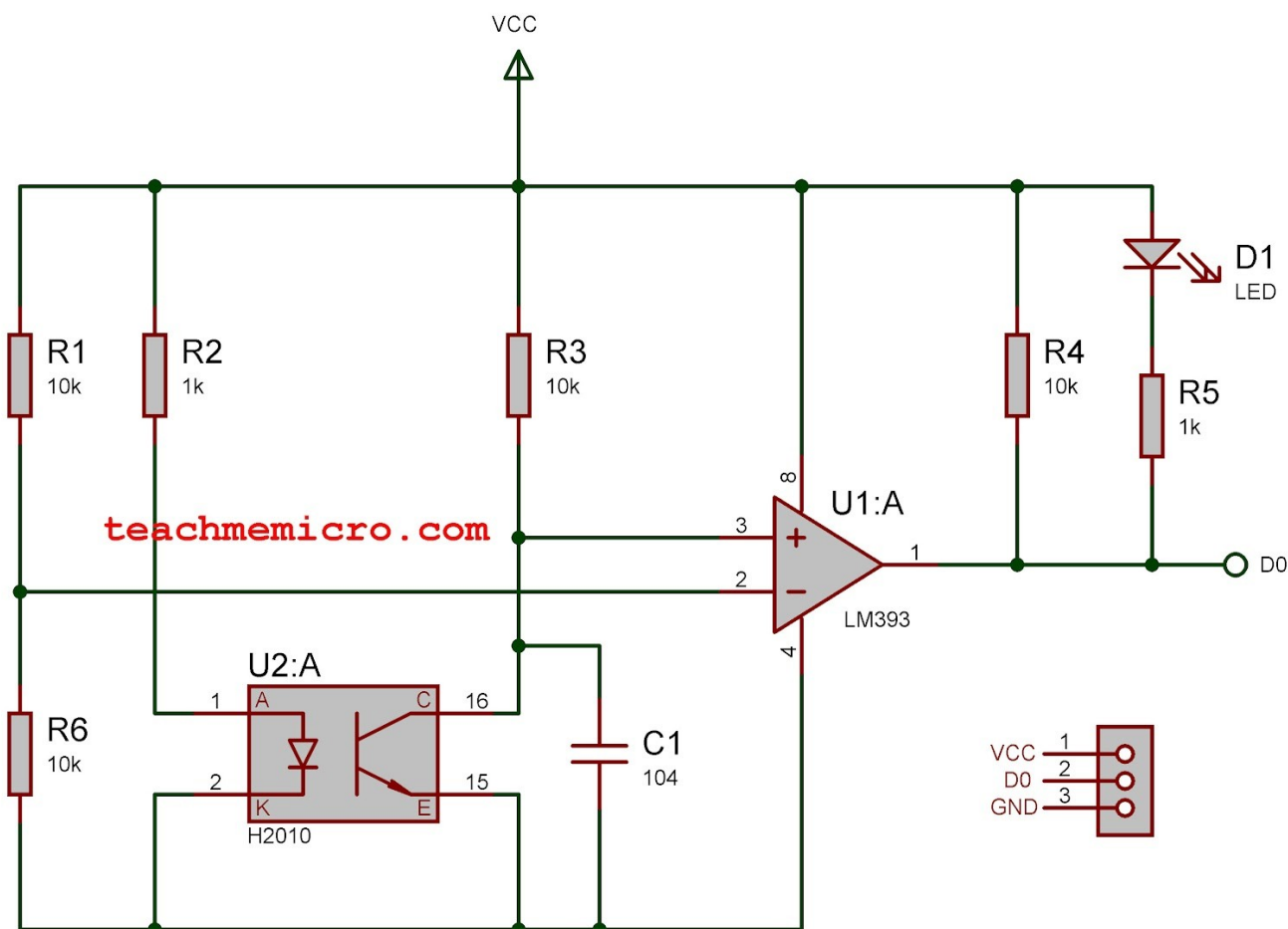


Il modulo ha due colonne verticali con un LED IR su una colonna e un fototransistor sull'altra. Ogni volta che il percorso tra il LED IR e il fototransistor viene interrotto, il pin D0 va alto (0→5V).



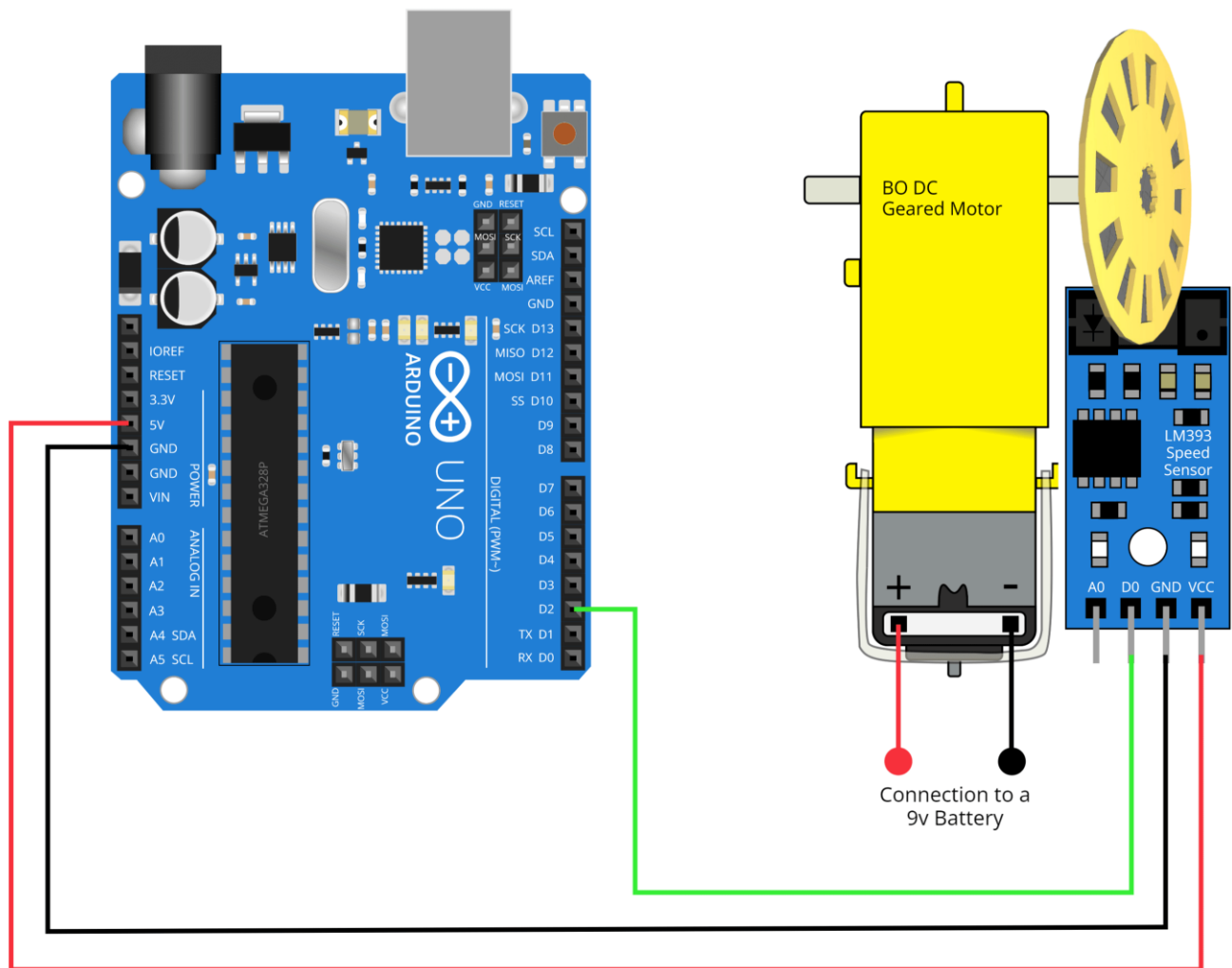
Questo modulo viene chiamato impropriamente “sensore di velocità LM393”.

LM393 è in realtà un comparatore e non un sensore. Lo schema del modulo è il seguente:



Senza ostruzioni tra il LED IR e il fototransistor, la tensione tra i terminali positivo e negativo del comparatore è uguale. Quando il fototransistor è bloccato, assorbirà una tensione maggiore, portando il terminale positivo del comparatore ad una tensione maggiore del terminale negativo. Pertanto, una tensione positiva, pari a VCC, sarà disponibile al terminale D0.

La figura sottostante mostra una tipica applicazione del modulo per rilevare il numero di giri del motore di un drone.

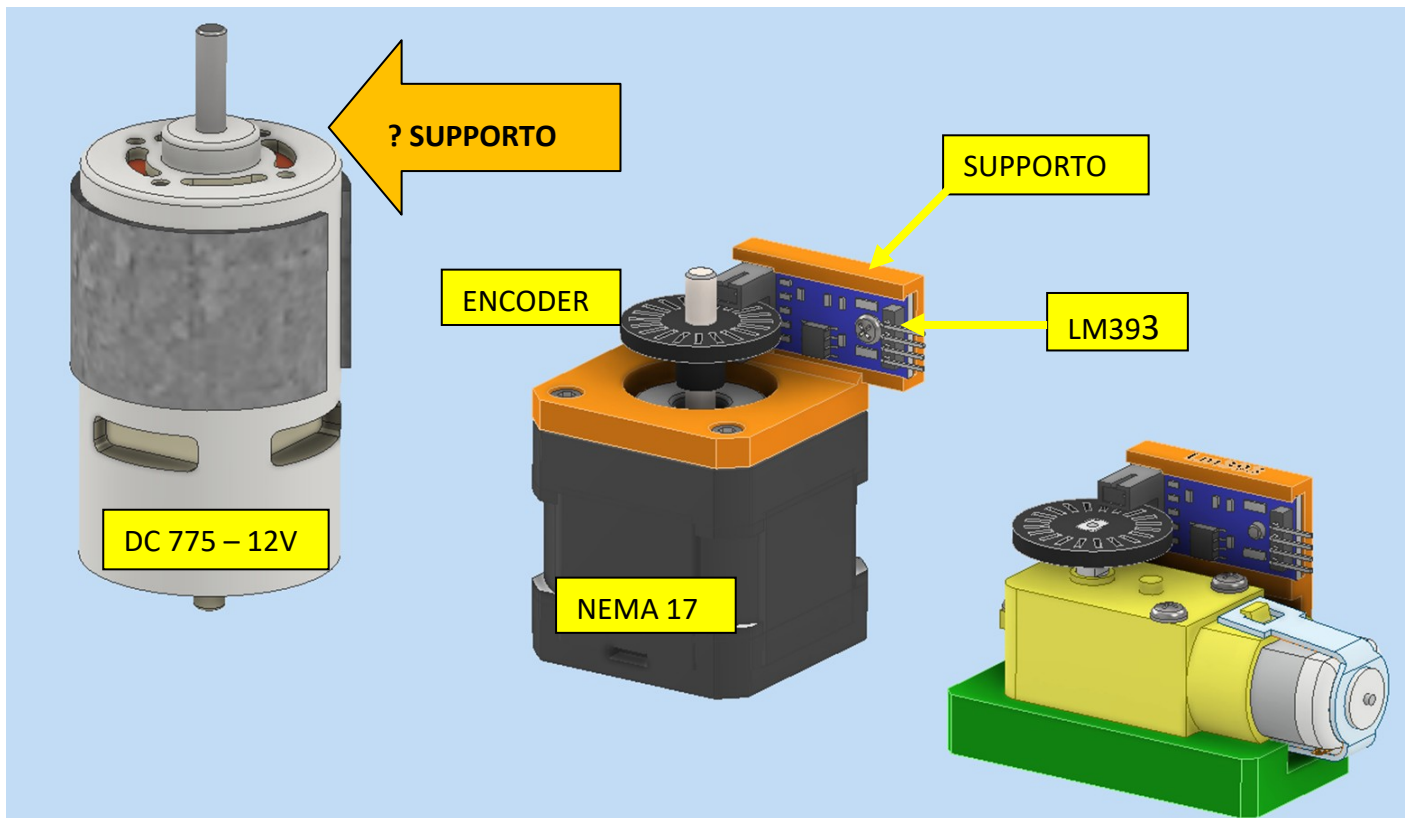


Un disco forato (20 fori) è fissato sull'albero del motore CC.

Il modulo LM393 è collegato al motore in modo che il disco possa ruotare liberamente tra le forcelle del sensore.

Ogni volta che il disco interrompe il raggio IR del LED il fototransistor rileva l'interruzione e il pin D0 va alto (0→5V).

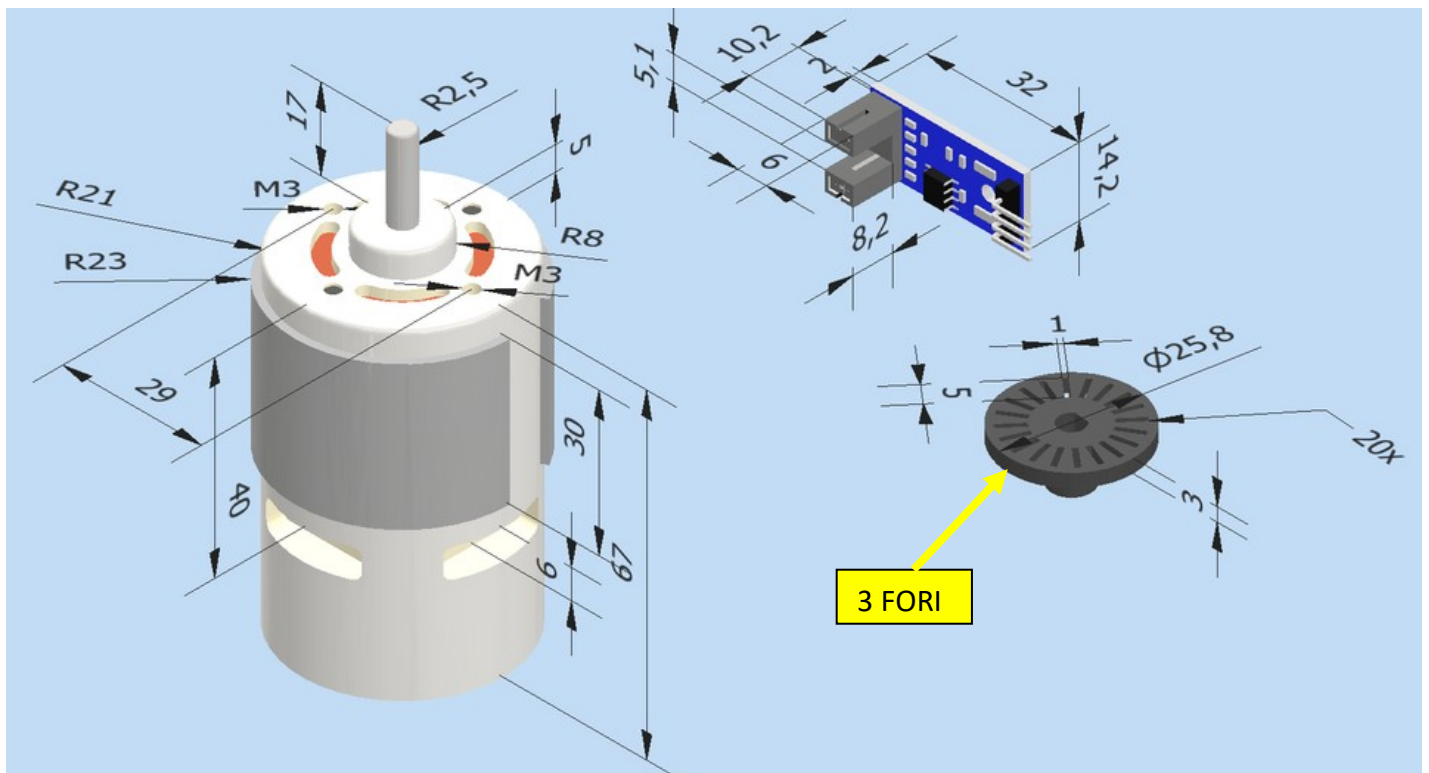
## DISEGNARE IL SUPPORTO PER IL MODULO IR LM393 E IL DISCO FORATO (ENCODER)



### NOTA:

Per rilevare velocità elevate del motore è necessario ridurre il numero di fori presenti nell'encoder. Con soli 3 fori si rilevano velocità oltre i 6000 giri/minuto.

**Domanda:** quale svantaggio si ha riducendo il numero di fori sul disco?



## ESERCITAZIONE

Ricavare dalla fotografia del circuito con il motore collegato lo schema elettrico del sistema di regolazione della velocità del motore e replicarlo su Thinkercad.

Simulare il modulo LM393 con un generatore di funzioni d'onda quadra 0-5V (regolare la frequenza a bassi valori).

Scrivere il programma Arduino che conta gli impulsi che arrivano dal modulo LM393 (simulato con generatore funzioni d'onda).

Sapendo che il disco collegato all'albero presenta 3 fori calcolare e mostrare su seriale e/o display LCD 16x2 I2C il numero di giri del motore.



### NOTA:

Contare gli impulsi solo quando viene rilevato il passaggio da 0V a 5V (fronte di salita) e NON ogni volta che si rilevano 5V!

Il tempo di campionamento deve essere compatibile con il numero di giri del motore.

Ad esempio:

con 6000 giri/minuto

→ 100 giri /secondo

→ x 3 fori

→ 300 impulsi /secondo

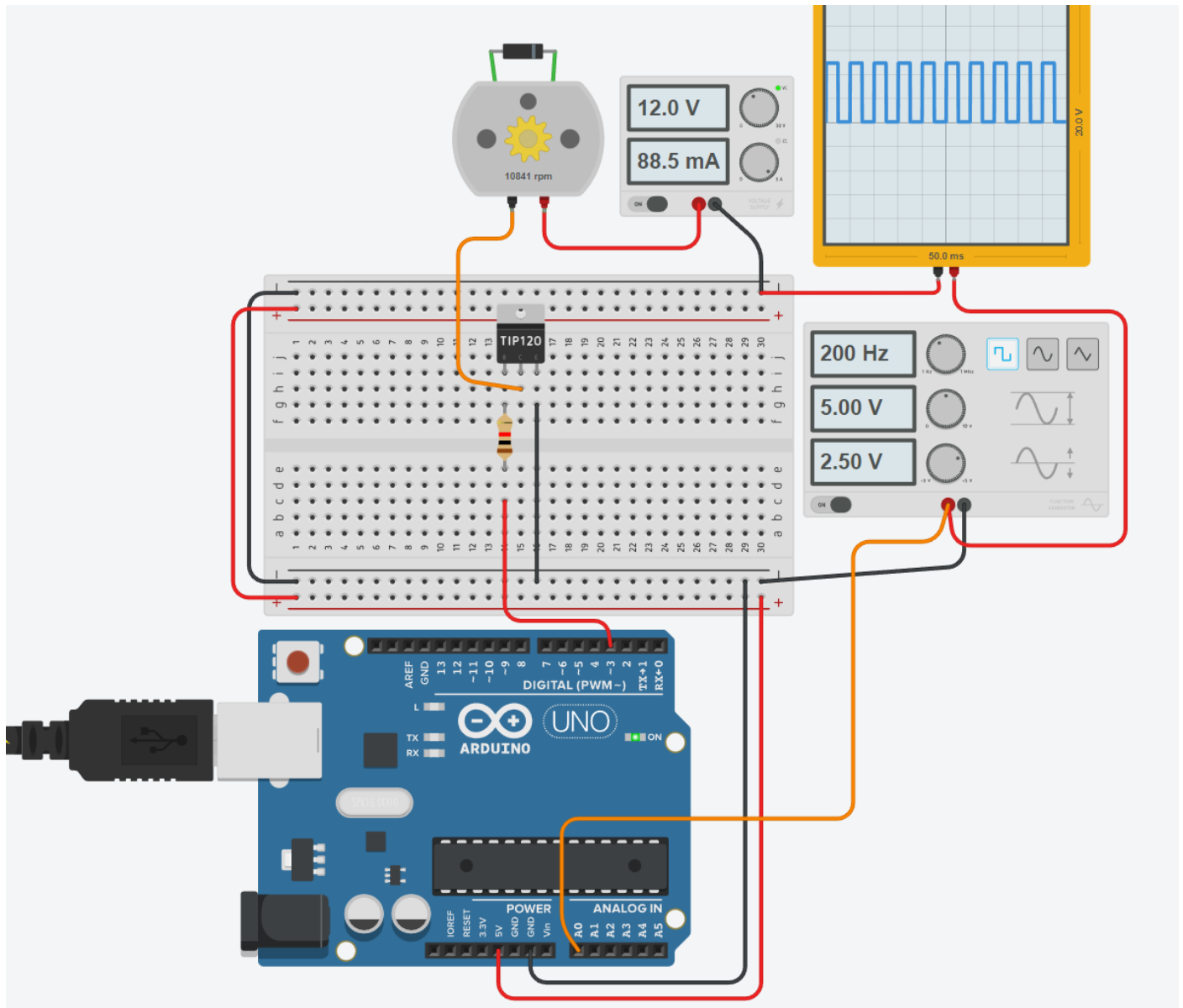
→ periodo  $T = 1/300 = 3\text{ms}$

→ campionamento ogni 1ms per non perdere impulsi.

## SCHEMA THINKERCAD

Simulare il modulo LM393 con un generatore di funzioni d'onda quadra 0-5V.  
Mantenere la frequenza bassa per non appesantire la simulazione nel cloud.  
Visualizzare sull'oscilloscopio il treno di impulsi del generatore d'onda.

Prevedere la presenza del diodo di protezione del transistor.



CODICE

```
// PIN
int transistorPin = 3;
int sensorePin = A0;

//volatile -->
//salvata in RAM perchè modificabile in + thread
volatile long counter=0;
volatile long counter_tot=0;

// stato del sensore
int nfori= 3;
int stato=0;
int stato_prec=1;
```

```

int stop_read= 0;
int delta_t= 1000;
long t;
// seriale
int incomingByte = 0; // for incoming serial data
int input = 0;

void setup() {
  pinMode(A0,INPUT);
  pinMode(transistorPin, OUTPUT);
  Serial.begin(9600);
  t= millis();
  analogWrite(transistorPin, 255/2);
}

void loop() {
  if (Serial.available() > 0) {
    incomingByte = Serial.read(); // leggo carattere
    input = incomingByte - 48; // converto codice ASCII carattere in numero 1,2,3

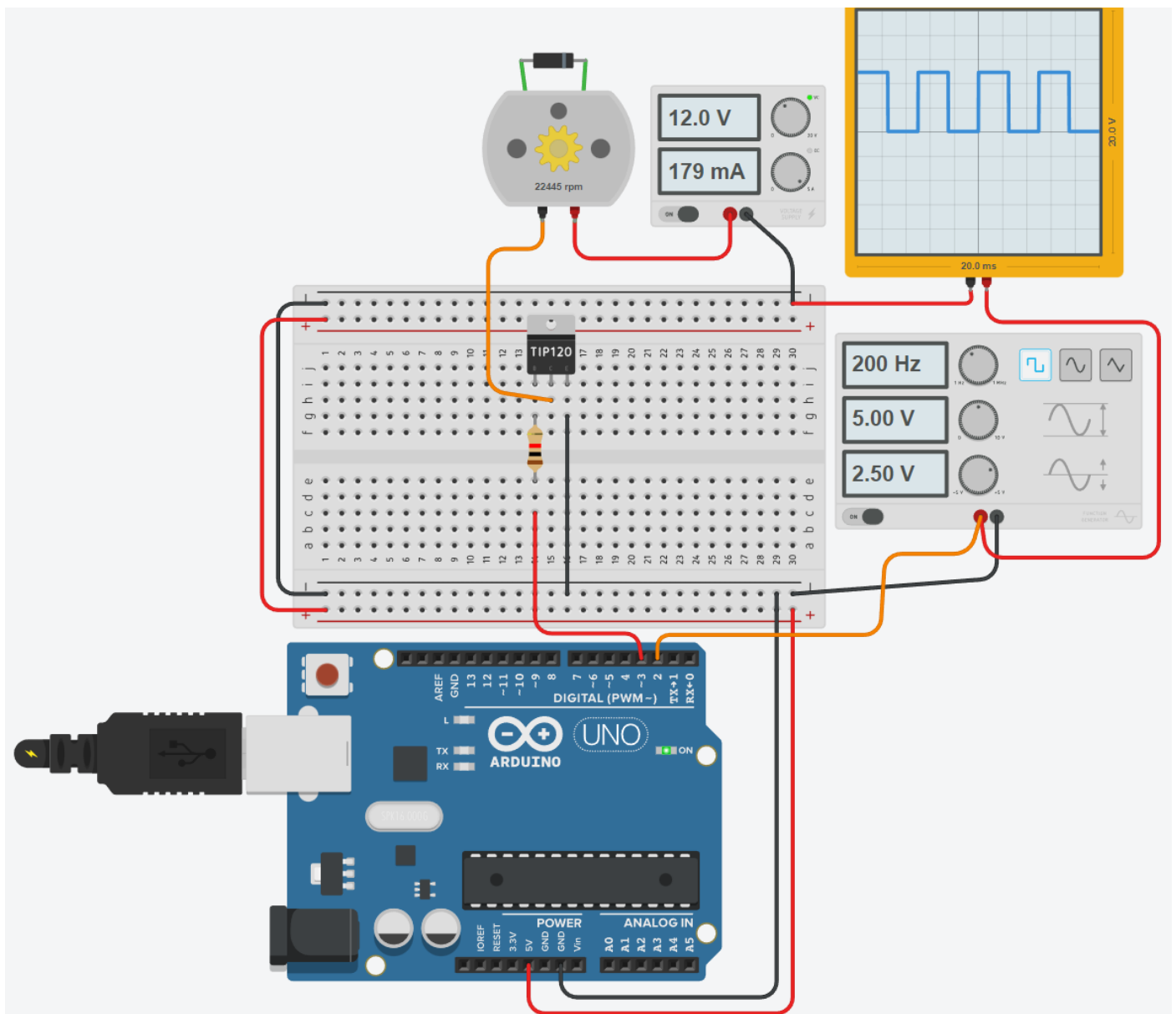
    switch (input) {
      case 0:
        analogWrite(transistorPin, 0);
        break;
      case 1:
        analogWrite(transistorPin, 255/3);
        break;
      case 2:
        analogWrite(transistorPin, 255/2);
        break;
      case 3:
        analogWrite(transistorPin, 255);
        break;
    }
    input=0;
  }

  // stato sensore
  stato= digitalRead(sensorePin);
  // se è cambiato rispetto a prima
  if (stato!=stato_prec && stop_read==0) {
    // se passo da 0-->5
    if (stato==1) counter = counter+ 1;
    stato_prec= stato; // aggiorno stato_prec
  }

  // durante la stampa non leggo impulsi per non sfalsare calcolo)
  if ((millis() - t)>=delta_t) {
    stop_read= 1;
    counter_tot= counter_tot + counter;
    // rpm con delta_t= 1 sec
    float rpm= counter *20.0; //counter * 60/nfori
    Serial.print("rpm "); Serial.println(rpm);
    counter= 0;
    t= millis();
    stop_read= 0;
  }

  //delayMicroseconds(10);
}

```



```
// PIN
int transistorPin = 3;
// L'interrupt 0 di Arduino è associato al pin digitale 2
int sensorePin = 2; // --> interrupt

//volatile --> salvata in RAM perchè modificabile in un interrupt
volatile long counter=0;
volatile long counter_tot=0;

// stato del sensore
int nfori= 3;
int delta_t= 1000;
long t;

// seriale
int incomingByte = 0; // for incoming serial data
int input = 0;

void setup() {
  attachInterrupt(0,countpulse,RISING); //interrupt PIN 2
```

```

pinMode(A0,INPUT);
pinMode(transistorPin, OUTPUT);
Serial.begin(9600);
analogWrite(transistorPin, 255);
t= millis();
}

void loop() {
if (Serial.available() > 0) {
  incomingByte = Serial.read(); // leggo carattere
  input = incomingByte - 48; //converto codice ASCII carattere in numero 1,2,3

switch (input) {
  case 0:
    analogWrite(transistorPin, 0);
    break;
  case 1:
    analogWrite(transistorPin, 255/3);
    break;
  case 2:
    analogWrite(transistorPin, 255/2);
    break;
  case 3:
    analogWrite(transistorPin, 255);
    break;
  }
  input=0;
}

// durante la stampa non leggo impulsi per non sfalsare calcolo)
if ((millis() - t)>=delta_t) {
  // rpm con delta_t= 1 sec
  float rpm= counter *20.0; //counter * 60/nfori
  Serial.print("rpm "); Serial.println(rpm);
  counter= 0;
  t= millis();
}
//delayMicroseconds(10);
}

void countpulse(){
  counter++;
}

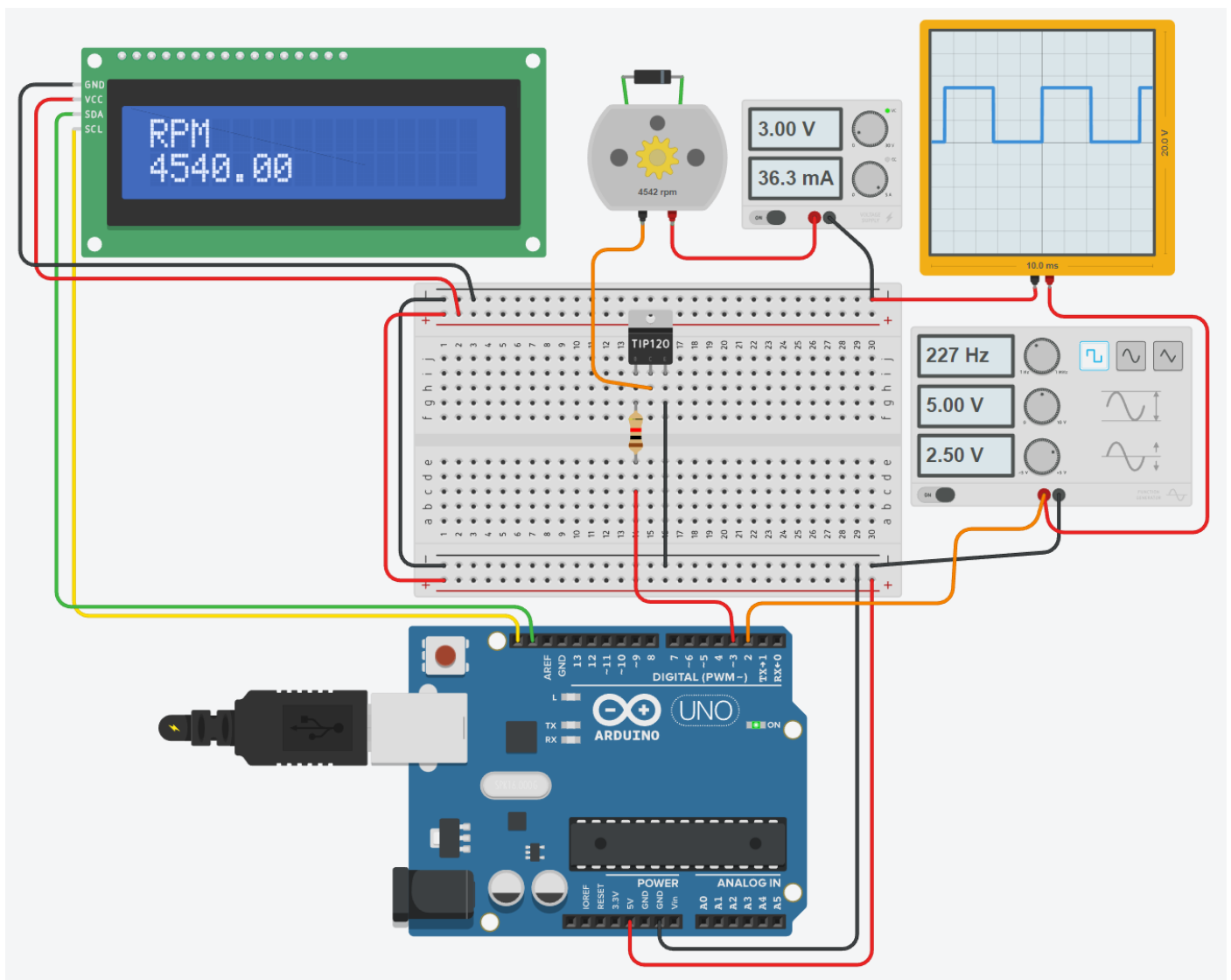
```

Molti dei sensori per hobby a basso costo hanno comparatori basati sull'LM393 senza alcun feedback di isteresi e non è raro riscontrare interruzioni multiple/problemi di rumore con questi moduli comparatori LM393 di base.

Quattro suggerimenti da provare per migliorare il funzionamento del modulo:

- routine di antirimbando nell'interrupt
- stabilizzare il punto di trigger con un condensatore di C=0. 1µF tra GND e l'ingresso negativo del comparatore.
- aggiungere un filtro passa-basso all'uscita D0 del modulo R=1K, C=0.01µF (100nF).
- Alimentare il modulo a 3.3V al posto di 5V

Anche solo un condensatore C= 0,01 µF (100 nF) tra uscita D0 e GND del modulo migliora le cose.



CODICE

```
#include <Adafruit_LiquidCrystal.h>
Adafruit_LiquidCrystal lcd_1(0);

// PIN
int transistorPin = 3;
// L'interrupt 0 di Arduino è associato al pin digitale 2
int sensorePin = 2; // --> interrupt

//volatile --> salvata in RAM perchè modificabile in un interrupt
volatile long counter=0;
volatile long counter_tot=0;

// stato del sensore
int nfori= 3;
int delta_t= 1000;
long t;

// seriale
int incomingByte = 0; // for incoming serial data
int input = 0;
```

```

void setup() {
  attachInterrupt(0,countpulse,RISING); //interrupt PIN 2
  pinMode(A0,INPUT);
  pinMode(transistorPin, OUTPUT);
  Serial.begin(9600);

  lcd_1.begin(16, 2);
  lcd_1.setCursor(0, 0);
  lcd_1.print("RPM");
  lcd_1.setCursor(0, 1);
  lcd_1.print("giri");

  analogWrite(transistorPin, 255);
  t= millis();
}

void loop() {
  if (Serial.available() > 0) {
    incomingByte = Serial.read(); // leggo carattere
    input = incomingByte - 48; //converto codice ASCII carattere in numero 1,2,3

    switch (input) {
      case 0:
        analogWrite(transistorPin, 0);
        break;
      case 1:
        analogWrite(transistorPin, 255/3);
        break;
      case 2:
        analogWrite(transistorPin, 255/2);
        break;
      case 3:
        analogWrite(transistorPin, 255);
        break;
    }
    input=0;
  }

  // durante la stampa non leggo impulsi per non sfalsare calcolo)
  if ((millis() - t)>=delta_t) {
    // rpm con delta_t= 1 sec
    float rpm= counter *20.0; //counter * 60/nfori
    Serial.print("rpm "); Serial.println(rpm);

    lcd_1.setCursor(0, 1); lcd_1.print(rpm);

    counter= 0;
    t= millis();
  }
  //delayMicroseconds(10);
}

void countpulse(){
  counter++;
}

```



# SISTEMI DI CONTROLLO

Un sistema di **REGOLAZIONE** non prevede l'utilizzo di sensori ma si basa sulle leggi fisiche che governano il sistema.

Ad esempio per mantenere una certa temperatura dell'acqua in un recipiente è possibile far ricorso alle leggi della termotecnica per calcolare le dispersioni termiche dell'involucro e quindi la potenza termica che deve essere fornita tramite un elemento riscaldante.

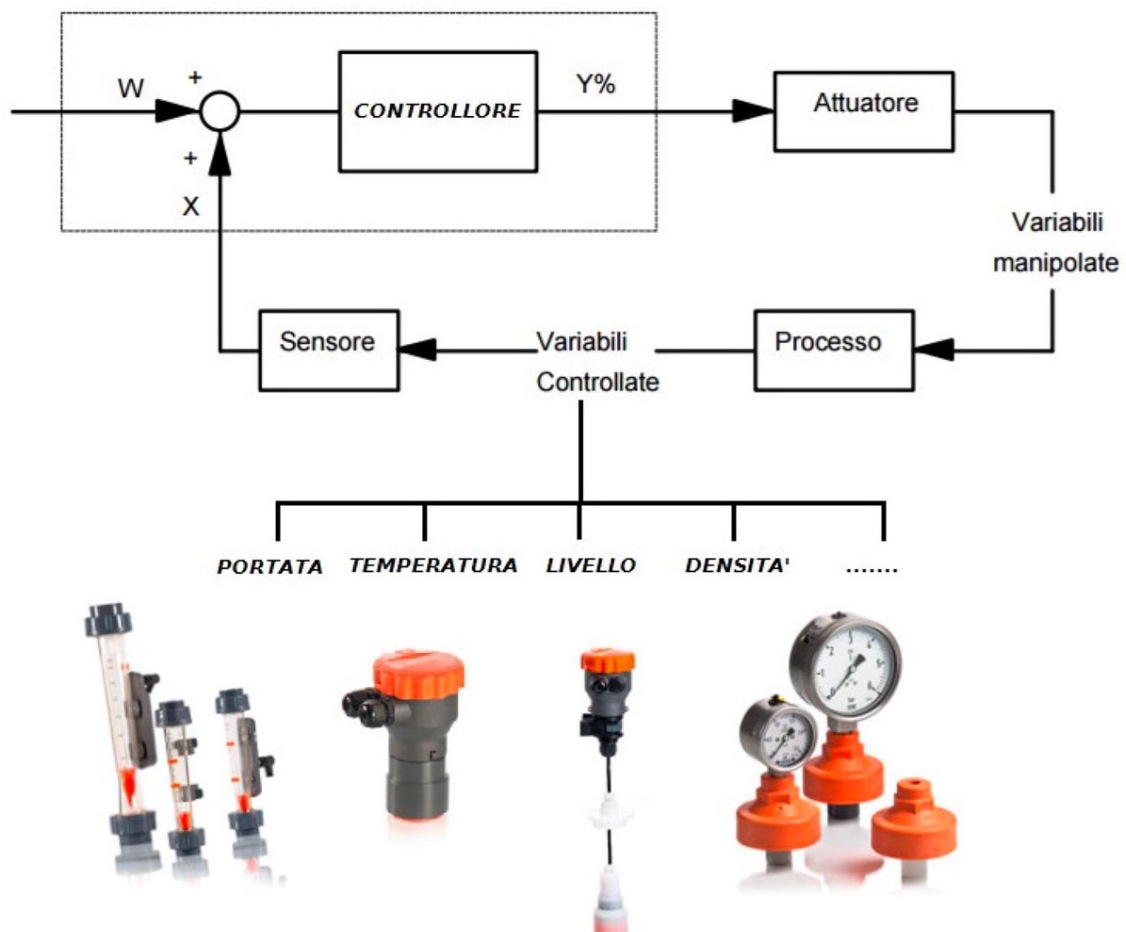
Applicando correttamente le leggi della fisica si può ottenere il risultato richiesto senza un controllo continuo del sistema.

Nel caso di presenza di disturbi esterni (non adiabaticità del recipiente, prelievo di acqua, ecc.) il risultato non può essere raggiunto senza la presenza di opportune **sensori** che misurano in tempo reale la grandezza da controllare.

Sulla base della misura si interviene poi degli **attuatori** per portare la grandezza controllata al livello desiderato (retroazione).

In questa situazione si parla quindi di sistema di **CONTROLLO AD ANELLO CHIUSO**.

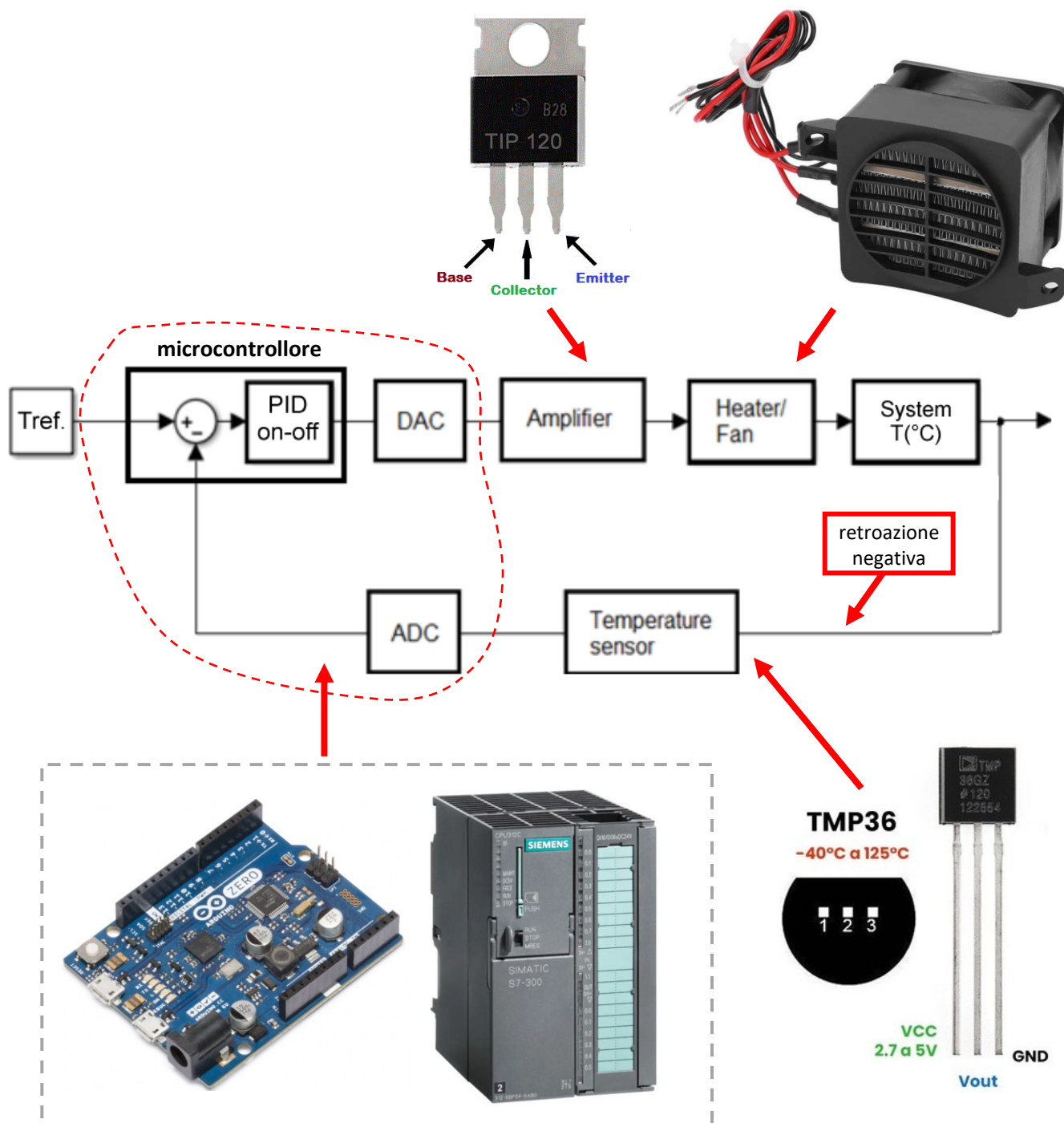
L'immagine seguente mostra lo schema di massima di un generico sistema di controllo.

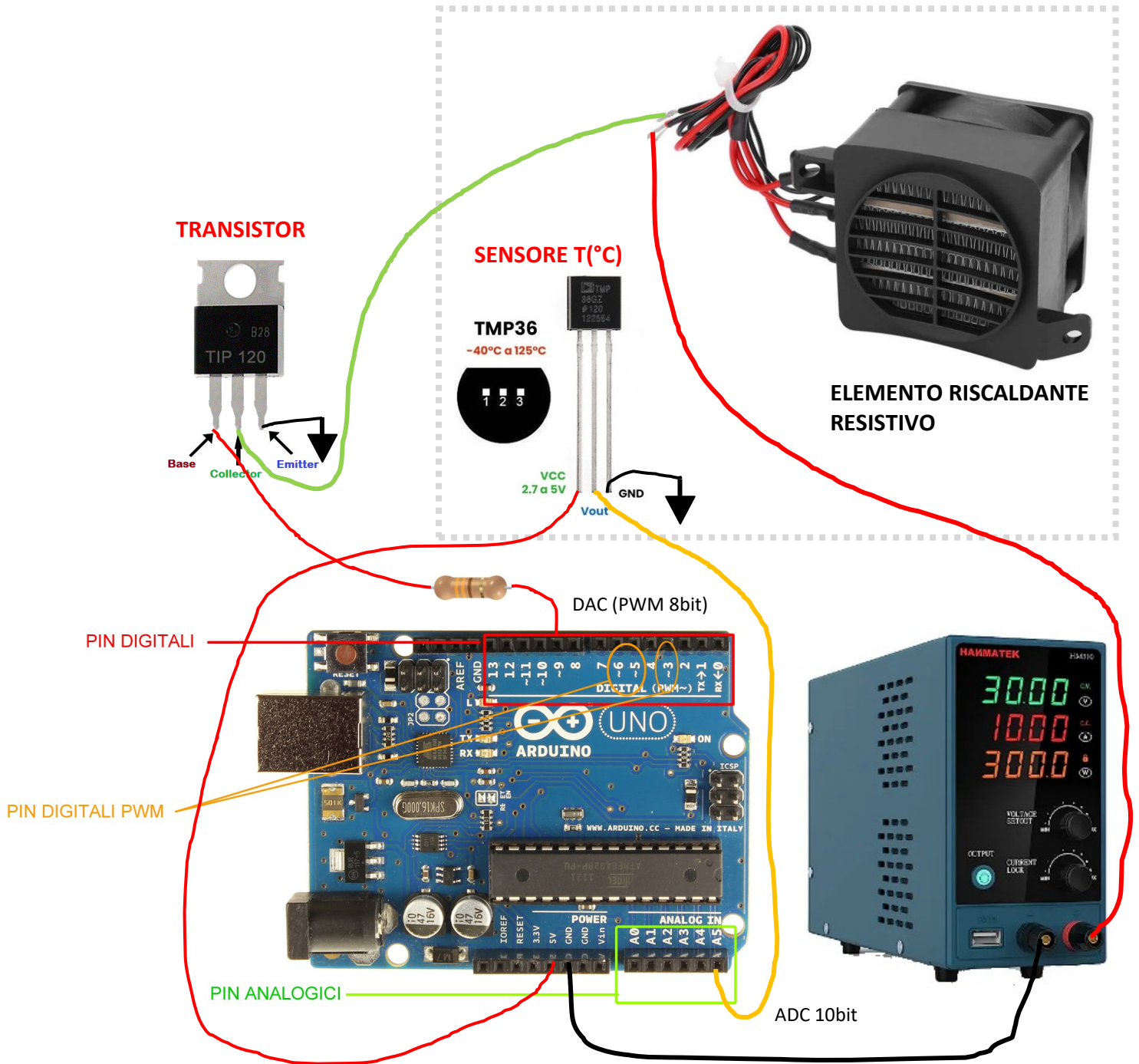


## SCHEMA A BLOCCHI DI SISTEMA DI CONTROLLO DI TEMPERATURA

La figura sottostante mostra lo schema di un sistema di controllo della temperatura dove abbiamo:

- Tref = temperatura di riferimento ("set-point") da mantenere nel sistema controllato (es. forno)
- PID / ON-OFF = tipologia di controllo attuata (proporzionale-integrale-derivativo, acceso-spento)
- DAC = convertitore da digitale ad analogico (converte un numero in una tensione → 8bit → 0-255)
- Amplificatore = amplifica il segnale in uscita dal DAC (es. Transistor BJT)
- Attuatore = elemento riscaldante che serve ad aumentare la temperature del sistema controllato
- Sensore = termistore, termoresistenza, termocoppia ecc.
- ADC = convertitore da analogico (temperatura/tensione) a digitale (numero digitale → 10bit → 0-1024)



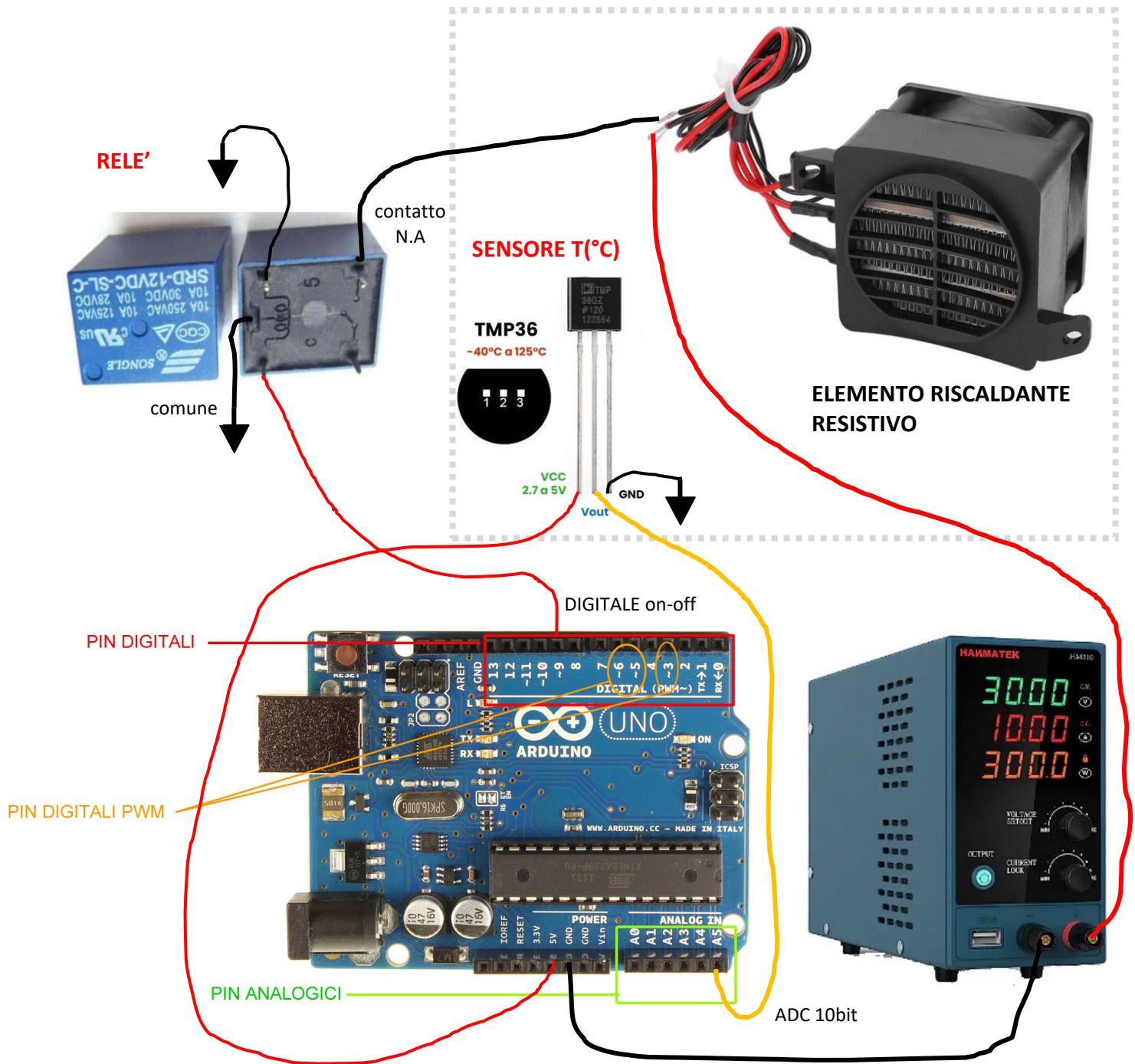


Il microcontrollore e l'alimentatore di potenza devono sempre avere la massa in comune.

Il sensore e la base del transistor vengono alimentati dal microcontrollore.

L'attuatore è alimentato dal generatore di potenza e collegato al collettore del transistor.

## ESEMPIO CONTROLLO ON-OFF CON RELE'



Il microcontrollore e l'alimentatore di potenza devono sempre avere la massa in comune.

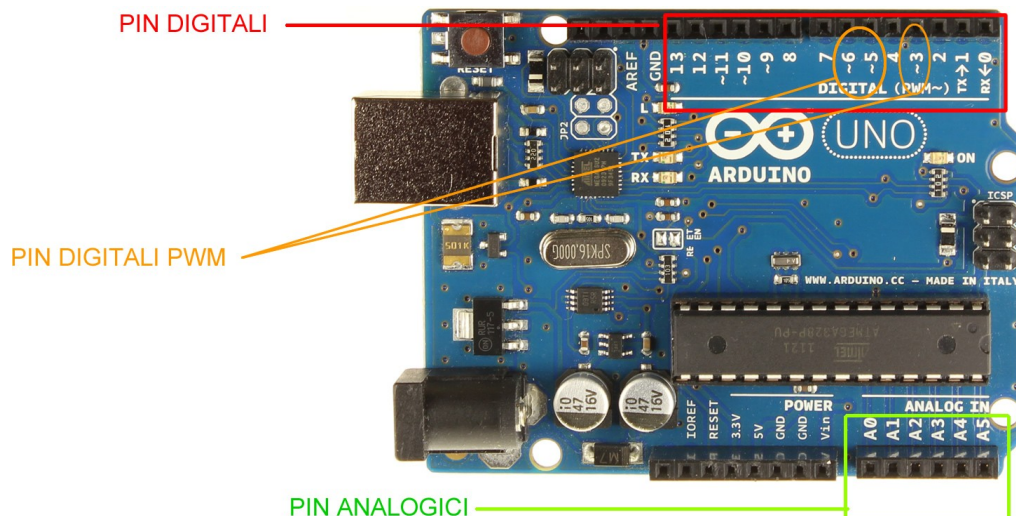
Il sensore e la bobina del rele' vengono alimentati dal microcontrollore.

L'attuatore è alimentato dal generatore di potenza e collegato al collettore del transistor.

## GENERARE SEGNALI ANALOGICI (DAC) CON ARDUINO

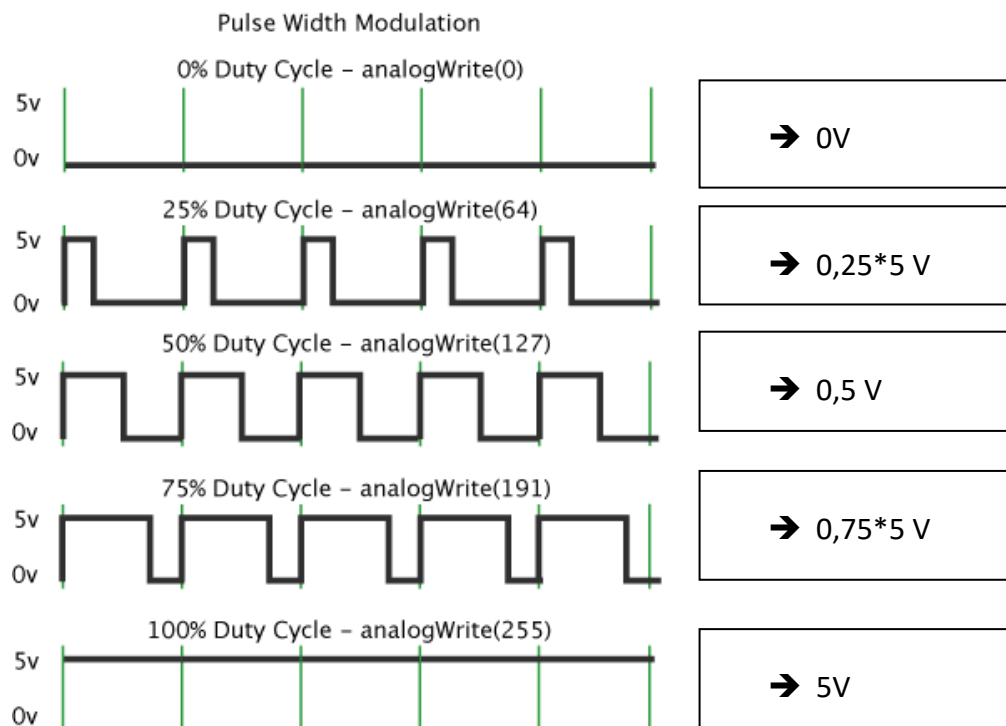
I pin digitali si dividono in base al supporto o meno della funzione PWM (pulse wide modulation).

I pin che hanno la PWM sono: 3,5,6,9,10,11.



Con un pin PWM è possibile generare in uscita un segnale analogico da 0-5V con una risoluzione di 8 bit ( $5/255 \text{ volt} \approx 0,02V$ ). Un segnale PWM è in termini molto semplicistici, un onda quadra 0-5V (ad alta frequenza) con delle durate prestabilite per la parta alta (5V).

Ciò permette di simulare un valore analogico di tensione compreso tra 0-5V con uno digitale con la maggior parte degli attuatori (transistor, relè, motori CC ...).

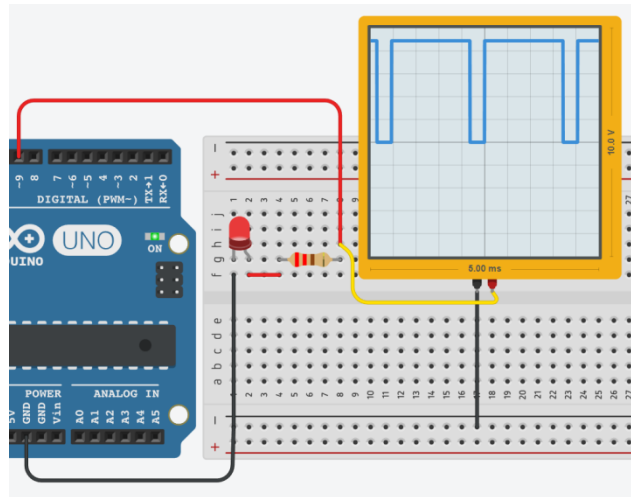
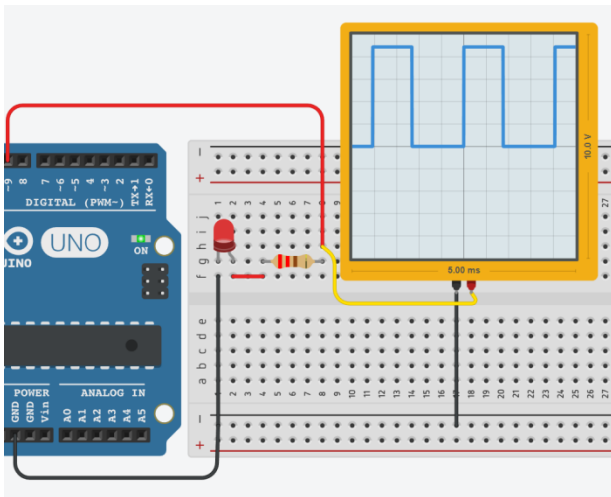
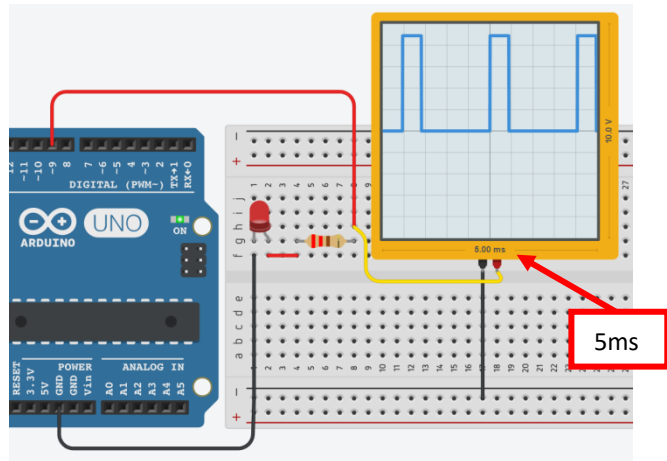
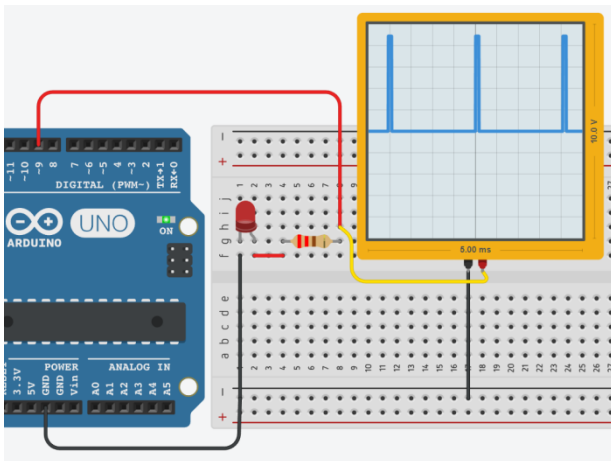


I segnali analogici in uscita sono di fondamentale importanza per poter effettuare sistemi di controllo evoluti come ad esempio il PID.

Tramite un segnale analogico che varia da 0 a 5V si può regolare la potenza assorbita da un attuttore (motori, elementi riscaldanti, generatori di forza ecc.) e di conseguenza l'effetto sul sistema controllato.

## ESERCIZIO: VARIARE LA LUMINOSITA' DI UN DIODO LED

Tramite la PWM si può variare la corrente che scorre in un diodo LED (variando la tensione sulla resistenza) e di conseguenza la sua luminosità. Questa tecnica viene usata nelle lampadine in CC trimmerabili.



### CODICE:

```
int ledPin = 9; // LED su Pin 9
```

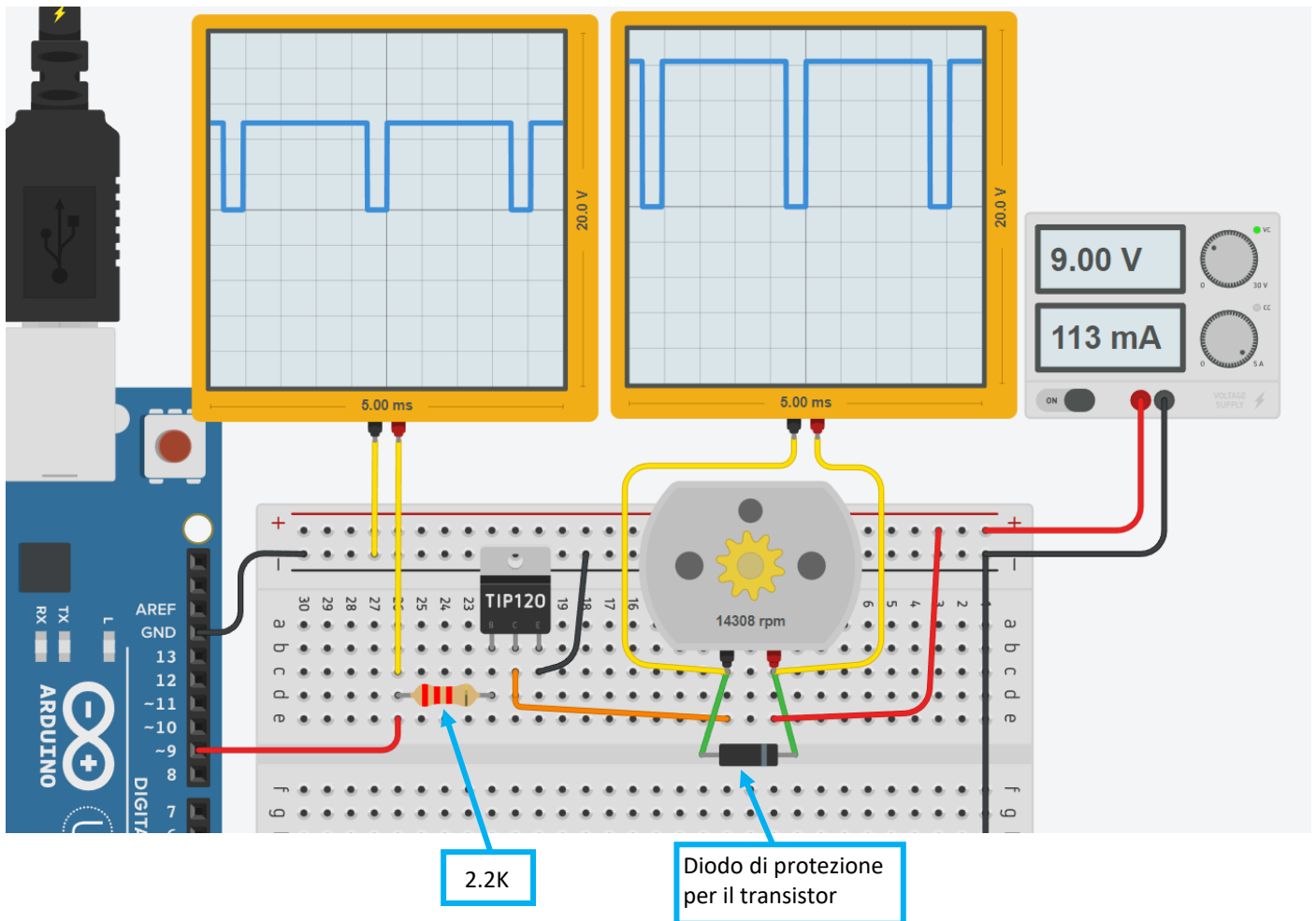
```
void setup(){  
  pinMode(ledPin, OUTPUT);  
  Serial.begin(9600);  
}
```

```
void loop(){  
  // aumento luminosità da 0 al massimo  
  for(int dimValue = 0; dimValue <= 255; dimValue = dimValue + 5){  
    analogWrite(ledPin, dimValue);  
    Serial.println(dimValue);  
    delay(30);  
  }  
  // diminuisco luminosità dal massimo a 0  
  for(int dimValue = 255; dimValue >= 0; dimValue = dimValue - 5){  
    analogWrite(ledPin, dimValue);  
    Serial.println(dimValue);  
    delay(30);  
  }  
}
```

## COME VARIARE LA VELOCITA' DI UN MOTORE C.C. MANTENENDO ALTA LA COPPIA MOTRICE

Tramite la PWM si può variare la corrente che scorre nel motore e di conseguenza la sua velocità.

Poiché la corrente assorbita dal motore è superiore ai 30-40 mA fornibili da Arduino è necessario utilizzare un transistor che viene comandato da Arduino tramite un segnale PWM.



### CODICE

```
#define DC_MOTOR_PIN 9
```

```
void setup() {  
  pinMode( DC_MOTOR_PIN, OUTPUT );  
}
```

```
void loop() {  
  for( int i = 0; i < 255; i=i+5){  
    analogWrite(DC_MOTOR_PIN, i);  
    delay(50);  
  }
```

```
  for( int i = 255; i > 0; i=i-5 ){  
    analogWrite(DC_MOTOR_PIN, i);  
    delay(50);  
  }
```

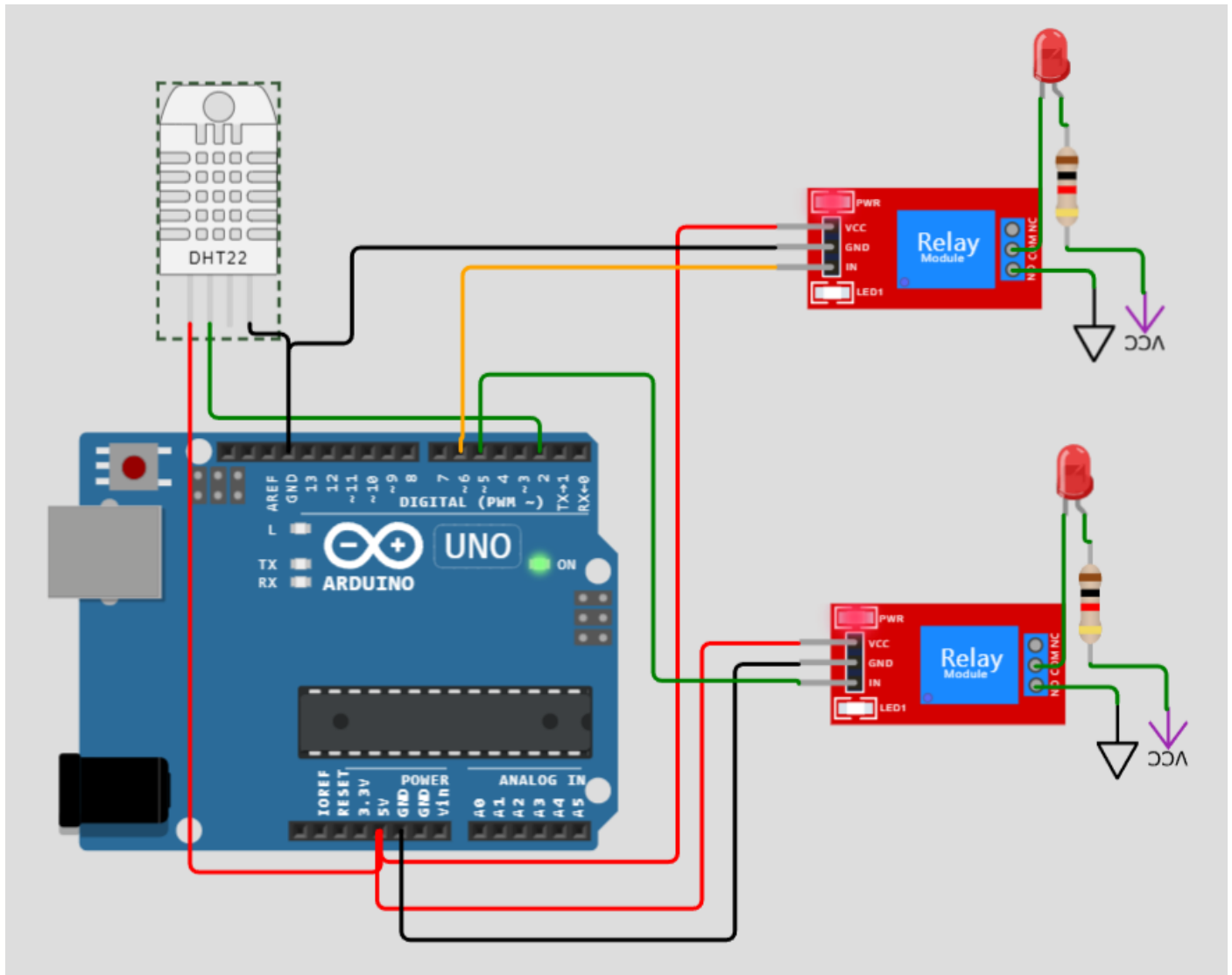
```
}
```

## SISTEMA DI CONTROLLO TEMPERATURA E UMIDITA'

Si vuole controllare la temperatura e l'umidità in un locale in modo da mantenerla nelle condizioni di benessere ( $20^{\circ}\text{C} \pm 2^{\circ}\text{C}$  e umidità relativa del  $50\% \pm 10\%$ ).

Utilizzare come sensore un DHT22 e simulare il sistema di riscaldamento e deumidificazione (si ipotizzi presenza di persone che aumentano sempre l'umidità del locale) tramite dei led comandato da rele'.

Prendendo spunto dal programma allegato integrarlo per adempiere alle richieste.



simulabile su "wokwi.com"

## CODICE

```
#include "DHT.h"

const int DHTPIN=2;
const int pinLed1=6;
const int pinLed2=5;

DHT dht(DHTPIN, DHT22); // DHT 22 (AM2302), AM2321

int Tsp= 20; // temperatura set point
int Hsp= 50; // umidità set point

void setup() {
  Serial.begin(115200);
  Serial.println(F("DHT22 example!"));

  pinMode(DHTPIN, INPUT);
  pinMode(pinLed1, OUTPUT);
  pinMode(pinLed2, OUTPUT);

  dht.begin();
}

void loop() {
  float temperature = dht.readTemperature();
  float humidity = dht.readHumidity();

  // Check if any reads failed and exit early (to try again).
  if (isnan(temperature) || isnan(humidity)) {
    Serial.println(F("Failed to read from DHT sensor!"));
    return;
  }

  Serial.print(F("Humidity: "));
  Serial.print(humidity);
  Serial.print(F("% Temperature: "));
  Serial.print(temperature);
  Serial.println(F("°C "));

  digitalWrite(pinLed2, HIGH);

  if (temperature>=20) {digitalWrite(pinLed1, LOW);}
  else {digitalWrite(pinLed1, HIGH);}

  if (humidity>=50) {digitalWrite(pinLed2, LOW);}
  else {digitalWrite(pinLed2, HIGH);}

  // Wait a few seconds between measurements.
  delay(2000);
}
```

## SISTEMA DI CONTROLLO ON-OFF

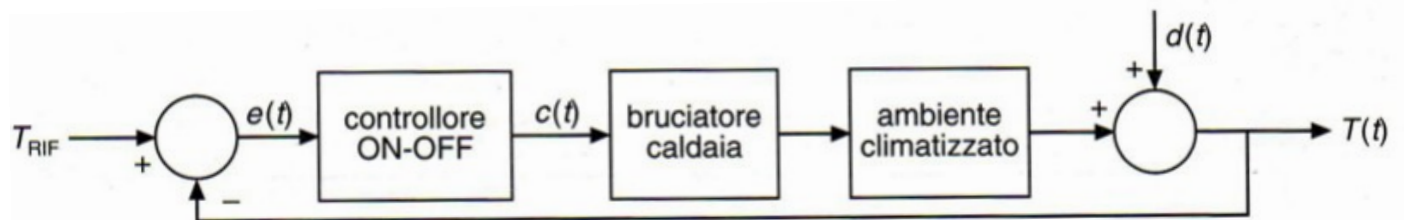
Il controllo ON-OFF è un controllo ad anello chiuso nel quale l'azione del controllore è discontinua.

Il controllore decide quando intervenire in base alla misura dello scostamento tra valore atteso e valore reale dell'uscita come nel controllo continuo, con la differenza che l'aggiustamento non viene applicato con continuità bensì quando lo scostamento oltrepassa una soglia predeterminata.

Prendiamo come esempio il controllo ON-OFF di temperatura per la climatizzazione di un ambiente, dove lo scopo del controllo è quello di mantenere il livello di temperatura di una stanza entro margini prestabiliti rappresentati da una soglia inferiore  $T_{inf}$  e una superiore  $T_{sup}$ .

Il valore della variabile in uscita  $T(t)$  viene confrontato con il valore desiderato  $T_{rif}$ .

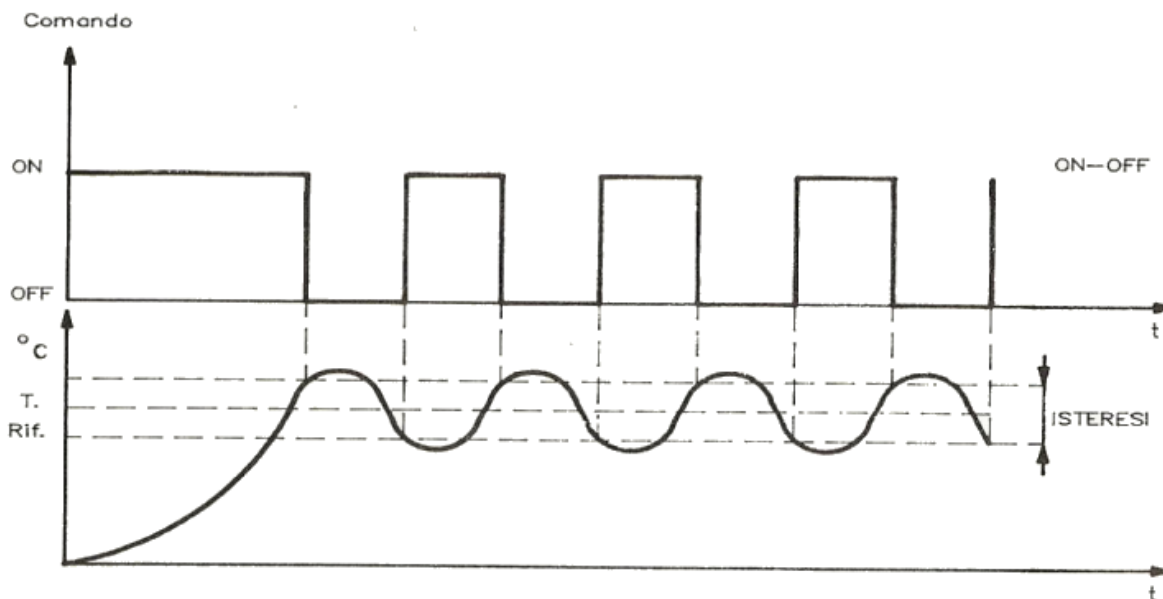
La differenza tra i due valori (errore "e") viene utilizzata per pilotare il controllore che interviene in modalità "tutto o niente" comandando con la sua uscita l'attivazione (ON) o la disattivazione (OFF) del bruciatore della caldaia.



Altro esempio è la cisterna d'acqua, dove lo scopo è mantenere il livello del liquido entro margini prefissati.

Quando il livello risulta inferiore alla soglia minima, il sistema interviene comandando l'apertura di un'elettrovalvola (rubinetto controllabile elettricamente) che rimane aperta (stato "ON") fin quando il livello sale e supera la soglia massima.

L'attuatore viene acceso e spento (mediante relè o transistor) sulla base del valore misurato della grandezza controllata con un'oscillazione definita "isteresi" (es.  $\pm 1^\circ\text{C}$ ).



## SISTEMA DI CONTROLLO PID (PROPORZIONALE – INTEGRALE – DERIVATIVO)

È un sistema in retroazione negativa ampiamente impiegato nei sistemi di controllo automatico.

È molto comune nell'industria, in particolare nella versione PI (senza azione derivativa).

Grazie a un input che determina il valore attuale, è in grado di reagire a un eventuale errore positivo o negativo tendendo verso il valore 0.

Il controllore acquisisce in ingresso un valore da un processo e lo confronta con un valore di riferimento.

La differenza, il cosiddetto segnale di errore, viene quindi usata per determinare il valore della variabile di uscita del controllore, che è la variabile manipolabile del processo.

Il PID regola l'uscita in base a:

- il valore del segnale di errore (azione proporzionale → coefficiente  $K_p$ );
- i valori passati del segnale di errore (azione integrale → coefficiente  $K_i$ );
- quanto velocemente il segnale di errore varia nel tempo (azione derivativa → coefficiente  $K_d$ ).

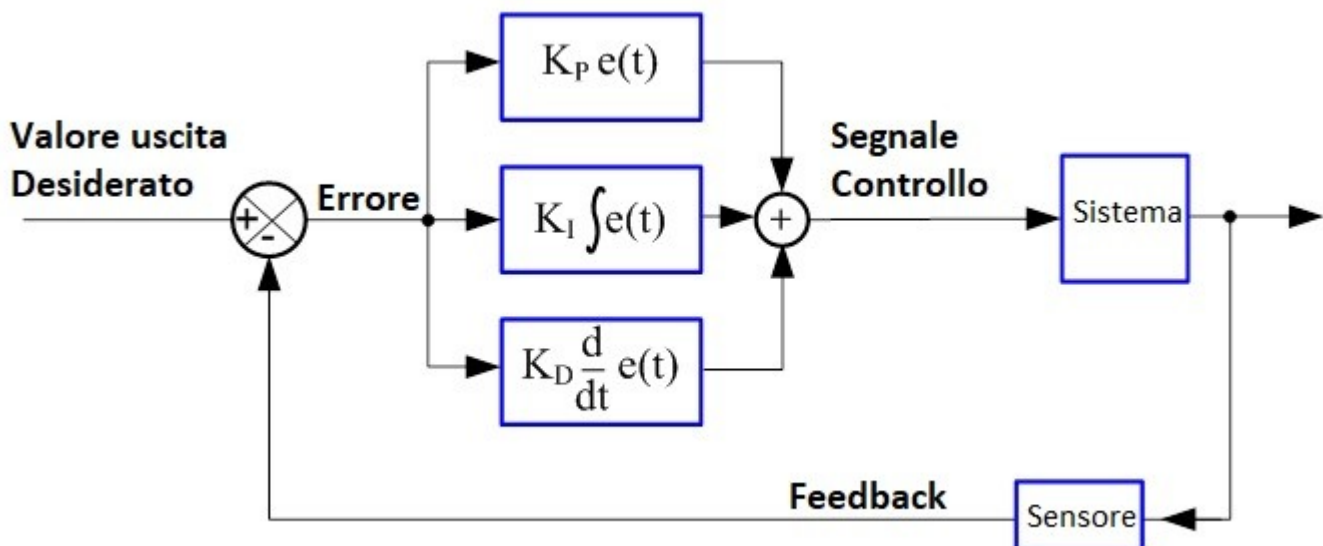
I controllori PID sono relativamente semplici da comprendere, installare e tarare, al confronto con più complessi algoritmi di controllo basati sulla teoria del controllo ottimo e del controllo robusto.

La taratura dei parametri avviene di solito attraverso semplici regole empiriche, come i metodi di Ziegler-Nichols, che risultano in controllori stabilizzanti di buone prestazioni per la maggior parte dei processi.

Molto spesso l'azione derivativa viene rimossa, risultando nel comunissimo controllore PI.

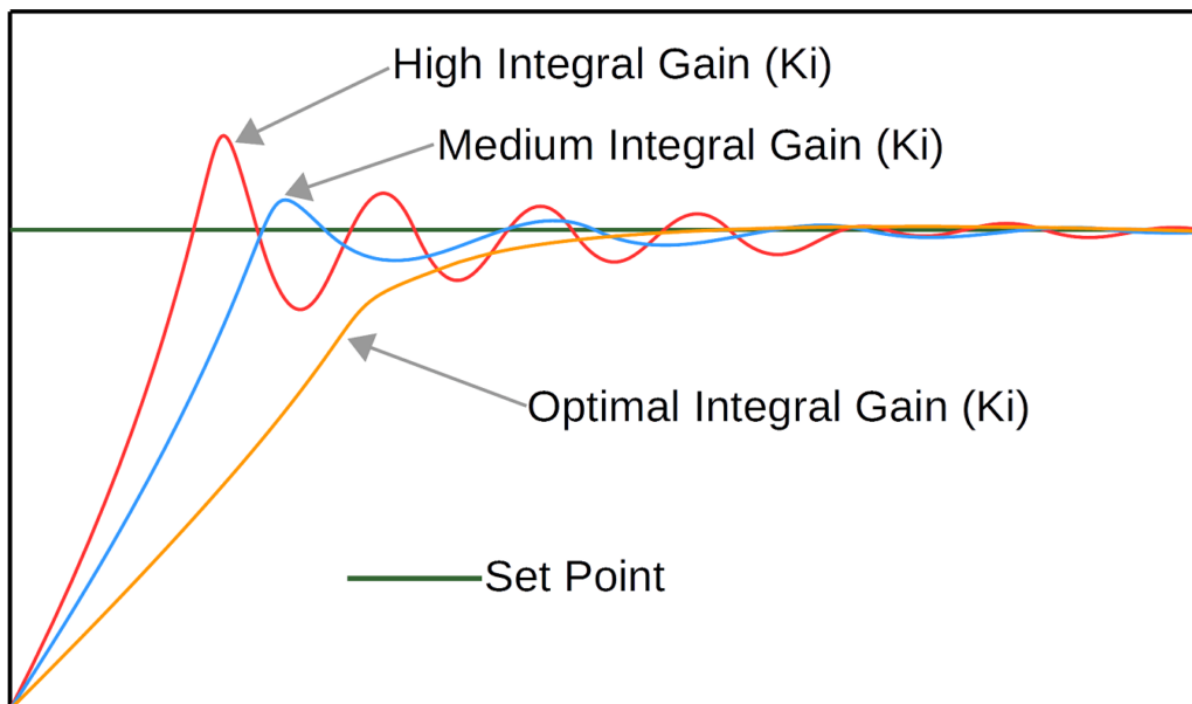
I controllori PID sono spesso sufficienti a controllare processi industriali anche complessi, ma la loro semplicità risulta in una serie di limiti che è bene tener presente:

- Non sono in grado di adattarsi a cambiamenti nei parametri del processo;
- Non sono stabili, a causa della presenza dell'azione integrale;
- Alcune regole di taratura, come quelle di Ziegler-Nichols, reagiscono male in alcune condizioni;
- Sono intrinsecamente monovariabili, non possono quindi essere usati in sistemi inerentemente multi variabili



Segnale controllo =  $K_p * e(t) + K_i * \int e(t) dt + K_d * de(t)/dt$  (in genere una tensione ...)

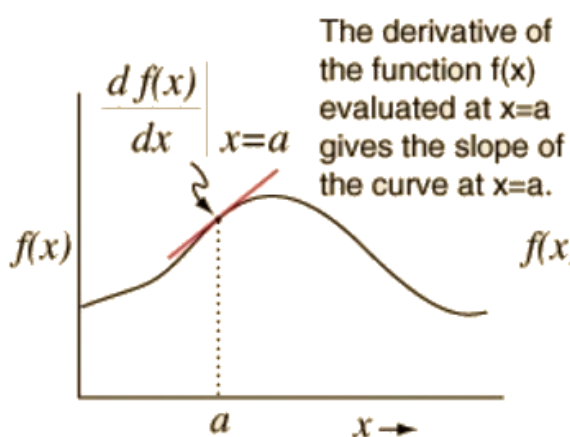
La scelta dei parametri  $K_p$ ,  $K_i$  e  $K_d$  è fondamentale per ottenere il risultato desiderato. Valore non corretti possono rendere il sistema instabile.



## IMPLEMENTAZIONE NUMERICA PID

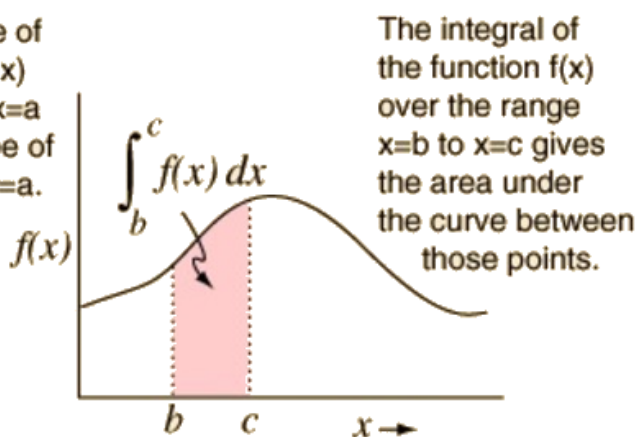
### Derivative

$$\frac{df(x)}{dx}$$



### Integral

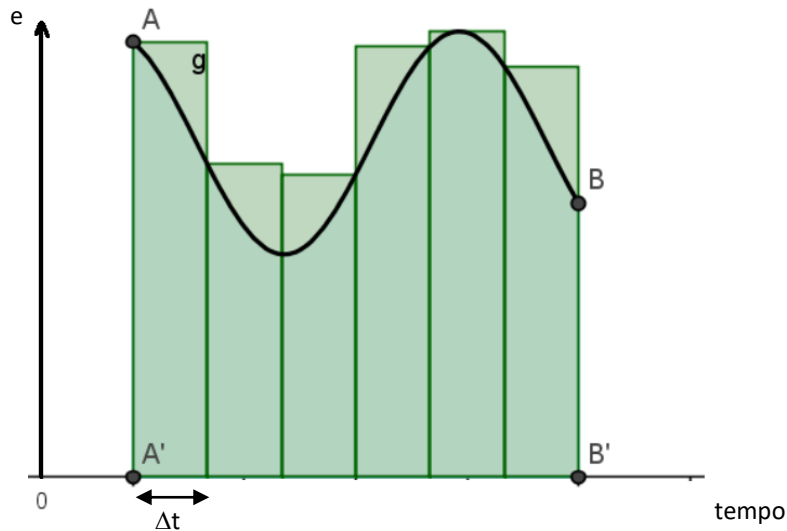
$$\int f(x) dx$$



Derivata dell'errore  $\rightarrow$  variazione dell'errore nell'intervallo di tempo  $\rightarrow D = \Delta e / \Delta t$

Integrale dell'errore  $\rightarrow$  somma aree  $\rightarrow I = \sum \Delta e * \Delta t$

## INTEGRAZIONE NUMERICA DELL'ERRORE (METODO DEI RETTANGOLI)



Sommando le aree dei rettangoli ottenuto col prodotto  $e^* \Delta t$  andiamo ad approssimare l'integrale della curva  $e(t)$ .

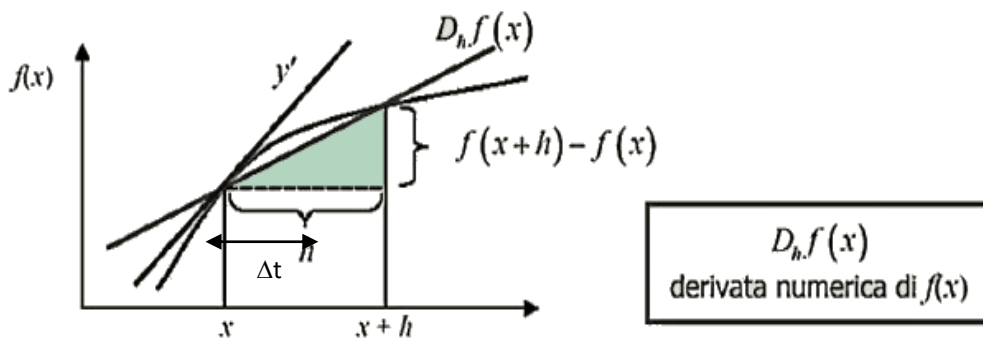
$$\int e(t) dt = \sum e^* \Delta t$$

più il  $\Delta t$  è piccolo e più è preciso il calcolo dell'integrale

## DERIVAZIONE NUMERICA DELL'ERRORE

La derivata puntuale di una funzione si può approssimare con il suo rapporto incrementale fissando un opportuno  $\Delta t$

$$y' = \lim_{h \rightarrow 0} \frac{f(x+h) - f(x)}{h} \quad \rightarrow \quad y' \approx \frac{f(x+h) - f(x)}{h} = D_h f(x)$$



$$e'(t) = \Delta e / \Delta t$$

più il  $\Delta t$  è piccolo e più è preciso il calcolo della derivata

## TEMPO DI CAMPIONAMENTO DI UN SISTEMA AUTOMATICO

In un sistema di controllo automatico, l'**intervallo di campionamento** (spesso indicato con  $T_s$ , dall'inglese *Sampling Time*) è il tempo che intercorre tra due acquisizioni consecutive dei dati da parte del controllore digitale.

Esiste una relazione inversa tra l'intervallo di campionamento e la frequenza di campionamento  $f_s$ :

$$f_s = 1/T_s \text{ (Hz)}$$

- Se  $T_s = 0.1 \text{ s}$ , allora  $f_s = 10 \text{ Hz}$  (il sistema campiona 10 volte al secondo).
- Se  $T_s = 1 \text{ ms}$ , allora  $f_s = 1000 \text{ Hz}$  (il sistema campiona 1000 volte al secondo).

Scegliere l'intervallo di campionamento  $T_s$  è un atto di bilanciamento tra precisione del controllo e risorse computazionali. Se si campiona troppo lentamente, si perdono i dettagli (e il controllo diventa instabile); se si campiona troppo velocemente, si rischia di saturare la CPU o di avere problemi di precisione numerica.

Ecco una guida pratica in campo industriale.

Settore / Tipo di Processo	Tempo di Campionamento $T_s$	Note
Processi Termici / Chimici	1 s – 30 s (o più)	Sistemi molto lenti. Scaldare una vasca da 1000 litri richiede minuti; campionare ogni millisecondo è inutile.
Controllo di Livello / Pressione	100 ms – 1 s	Dinamiche medie. Le valvole regolatrici hanno tempi di attuazione meccanica limitati.
Automazione di Fabbrica (PLC)	10 ms – 50 ms	Logica sequenziale, nastri trasportatori, sensori ottici standard.
Controllo di Movimento (Assi/Robot)	1 ms – 5 ms	Controllo di posizione di motori brushless. Qui la velocità è critica per la precisione millimetrica.
Azionamenti Elettrici (Inverter)	100 $\mu\text{s}$ – 500 $\mu\text{s}$	Controllo di corrente e velocità del motore. Le costanti di tempo elettriche sono molto piccole.
Elettronica di Potenza	< 50 $\mu\text{s}$	Gestione della commutazione dei transistor (PWM). Richiede hardware dedicato come FPGA o DSP.

## COSA SUCCEDA CON UN TEMPO DI CAMPIONAMENTO ERRATO?

### **Campionamento troppo lento (Aliasing e Instabilità)**

Se  $T_s$  è troppo grande, il controllore "vede" il sistema in ritardo.

Questo introduce uno sfasamento portando a oscillazioni o, nel peggiore dei casi, all'instabilità del sistema.

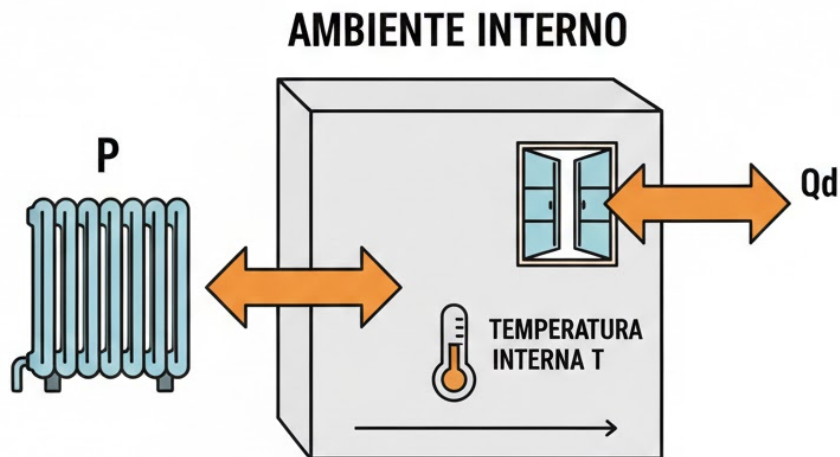
### **Campionamento troppo veloce (Numerical Issues)**

Differenziazione rumorosa: calcolare la derivata (azione D del PID) su segnali campionati troppo velocemente amplifica il rumore di misura.

Errori di arrotondamento: se  $T_s$  è piccolissimo, i coefficienti dei filtri digitali diventano vicini all'unità, e la precisione finita della CPU (floating point) può causare errori numerici significativi.

Tramite una funzione assegnata è possibile valutare la temperatura interna di un locale riscaldato tramite una potenza P.

## FLUSSO TERMICO NETTO = $P - Q_d$



La funzione viene chiamata ad intervalli regolari di 50ms per simulare il comportamento reale della temperatura nel tempo.

Utilizzando piccoli (infinitesimi) intervalli di tempo si approssima in modo efficace la realtà.

Il calcolo della temperatura è basato sul bilancio di energia del locale:

$$(P - Q_d) dt = m c_t dT$$

con

$$Q_d = \text{dispersioni termiche} = U A dT$$

```
// Simula la T(°C) in un locale riscaldato con una P(watt)
// che disperde calore verso l'ambiente tramite le pareti
float Camera(float Pel) {
  float U = 5;
  float Ct = 1006; // J/Kg K
  float A = 2; // m2 area for convection
  float massa = 0.1; // Kg
  float Tamb = 20; // °C
  static float T = Tamb; // °C
  static long last = 0; // static --> mantiene valore fra le varie chiamate
  int dt = 50; // ms
  // ogni 50ms calcola la temperatura del locale
  if (millis() - last >= dt) {
    last = millis();
    float Qd = U * A * (T - Tamb); // dispersioni
    T = T + (Pel - Qd) * (dt / 1000.0) / (massa * Ct);
  }
  return T;
}
```

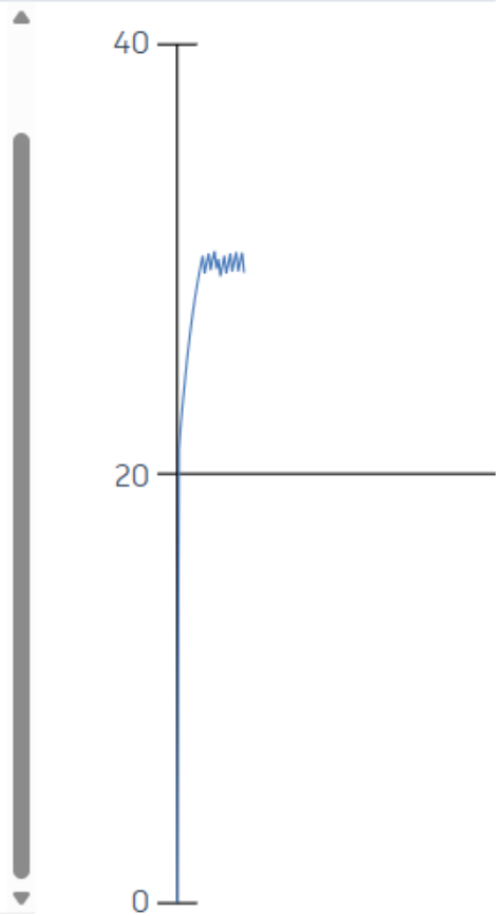
## CONTROLLO ON-OFF

Questo controllo accende/spegne intorno al SETPOINT con alta frequenza. L'errore a regime è di circa 0.5°C

```
311 // ON-OFF
312 if (Tcamera<= Tsp) { P= Pmax; } // ON
313 else { P= 0; } // OFF
314
315 /*
316 // ON-OFF con isteresi
317 float isteresi=0.5;
318 if (Tcamera<(Tsp-isteresi)) { P= Pmax; }
319 else if (Tcamera>(Tsp+isteresi)) { P= 0; }
320 */
```

Monitor seriale

```
23.42;150.00
24.36;150.00
25.28;150.00
26.07;150.00
26.83;150.00
27.53;150.00
28.14;150.00
28.70;150.00
29.24;150.00
29.71;150.00
30.16;0.00
29.33;150.00
29.82;150.00
30.26;0.00
29.48;150.00
29.98;150.00
30.38;0.00
29.54;150.00
30.01;0.00
29.20;150.00
29.69;150.00
30.15;0.00
29.33;150.00
29.79;150.00
30.26;0.00
29.42;150.00
29.90;150.00
30.32;0.00
29.43;150.00
29.88;150.00
30.30;0.00
29.37;150.00
```



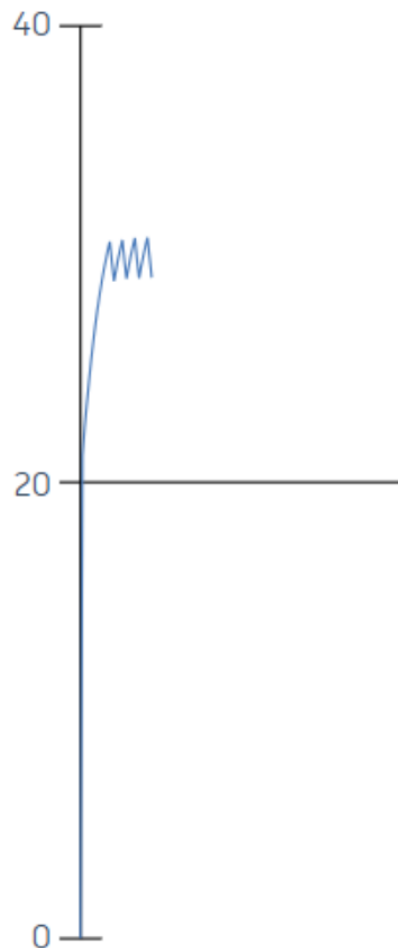
## CONTROLLO ON-OFF CON ISTERESI

Con l'isteresi la frequenza di accensione e spegnimento si riduce con un errore di circa 1°C

```
314 //  
315 // ON-OFF con isteresi  
316 float isteresi=0.5;  
317 if (Tcamera<(Tsp-isteresi)) { P= Pmax; }  
318 else if (Tcamera>(Tsp+isteresi)) { P= 0; }  
319  
320 // -----  
321
```

Monitor seriale

```
23.42;150.00  
24.36;150.00  
25.28;150.00  
26.07;150.00  
26.83;150.00  
27.53;150.00  
28.14;150.00  
28.70;150.00  
29.24;150.00  
29.71;150.00  
30.16;150.00  
30.55;0.00  
29.65;0.00  
28.82;150.00  
29.29;150.00  
29.81;150.00  
30.23;150.00  
30.62;0.00  
29.71;0.00  
28.92;150.00  
29.44;150.00  
29.92;150.00  
30.33;150.00  
30.71;0.00  
29.74;0.00  
28.95;150.00  
29.47;150.00  
29.92;150.00  
30.35;150.00  
30.73;0.00  
29.86;0.00  
28.97;150.00
```





## CONTROLLO PROPORZIONALE-INTEGRALE PI

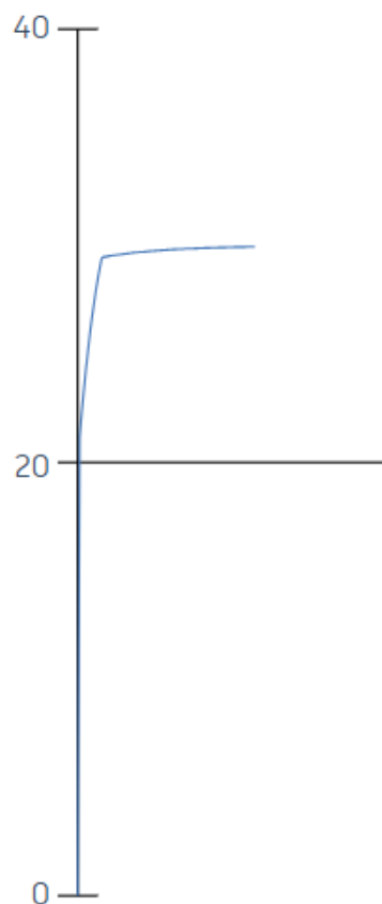
Con questo controllo a regime l'errore si riduce a 0.

E' necessario trovare i coefficienti Kp e Ki specifici per il sistema controllato prestando attenzione a non rendere instabile il controllo. A regime la potenza applicata è una frazione di quella massima (attuatore regolabile).

```
334 float errore= abs(Tsp - Tcamera);
335
336 // PROPORZIONALE + INTEGRALE
337 if (errore>2) {
338     P= Pmax; // max. fino a -2°C dal SP
339 }
340 else {
341     integral= integral + errore * dti;
342     P= Kp*errore+ Ki* integral; // controllo PI.
343     if (P>Pmax) P= Pmax;
344 }
345
346
```

### Monitor seriale

```
29.87;99.21
29.88;99.25
29.88;99.30
29.89;99.28
29.89;99.35
29.89;99.32
29.90;99.39
29.90;99.37
29.90;99.43
29.91;99.41
29.91;99.44
29.91;99.47
29.91;99.46
29.92;99.51
29.92;99.49
29.92;99.54
29.92;99.52
29.93;99.55
29.93;99.58
29.93;99.57
29.93;99.59
29.94;99.60
29.94;99.63
29.94;99.62
29.94;99.65
29.94;99.64
29.94;99.67
29.95;99.66
29.95;99.68
29.95;99.70
29.95;99.69
29.95;99.72
```



## Codice ARDUINO simulazione controllo temperatura PI

```
#include <TimerOne.h>

// Controllo di Temperatura PI
float Tsp= 30; // Set point
int Pmax= 150; // potenza max riscaldamento
float P; // potenza corrente
float Kp= 150;
float Ki=100;
float integral=0; // integrale dell'errore = Tsp-T(t)
float dti = 0.05; // intervallo di tempo per calcolo numerico integrale
//T del locale ('volatile' perché modificata nel Timer)
volatile float Tcamera = 0;
long t0=0;

void setup() {
  Serial.begin(9600);
  Timer1.initialize(50000); // 50.000us (50ms)
  Timer1.attachInterrupt(aggiornaVariabile); // funzione collegata al timer
  Serial.println("Controllo T avviato...");
}

void loop() {
  /*
  // ON-OFF
  if (Tcamera<= Tsp) { P= Pmax; } // ON
  else { P= 0; } // OFF
  */
  /*
  // ON-OFF con isteresi
  float isteresi=0.5;
  if (Tcamera<(Tsp-isteresi)) { P= Pmax; }
  else if (Tcamera>(Tsp+isteresi)) { P= 0; }
  */

  // errore grandezza controllata
  float errore= abs(Tsp - Tcamera);
  /*
  // PROPORZIONALE
  if (errore>2) {
    P= Pmax; // max. fino a -2°C dal SP
  }
  else {
    P= Kp*errore; // controllo PROP.
    if (P>Pmax) P= Pmax;
  }
  */

  // PROPORZIONALE + INTEGRALE
  if (errore>2) {
    P= Pmax; // max. fino a -2°C dal SP
  }
  else {
    integral= integral + errore * dti;
    P= Kp*errore+ Ki* integral; // controllo PI.
    if (P>Pmax) P= Pmax;
  }

  //Serial.print(millis()/1000); Serial.print(",");
  Serial.print(Tcamera);Serial.print(",");
  //Serial.print(integral);Serial.print(",");
  Serial.println(P);
  delay(1000); // il Timer non è influenzato dal delay!
}
```

```

// Funzione richiamata dal timer ogni 50ms
// Ritorna temperatura la T(t) del locale riscaldato con potenza P
void aggiornaVariabile() {
  Tcamera = Camera(P); //
}

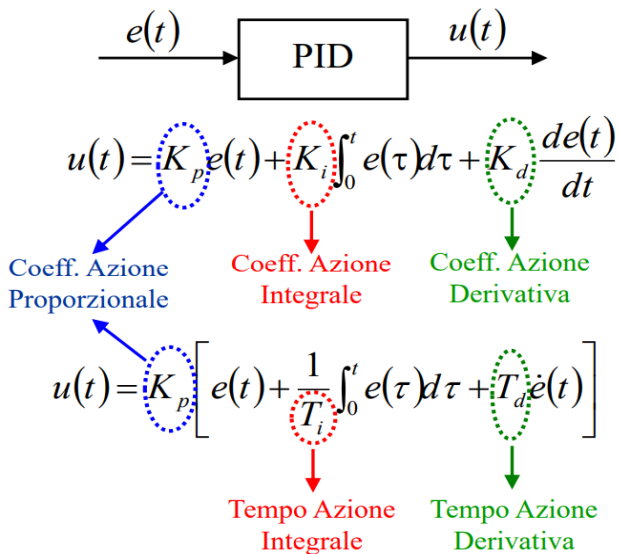
// Simula la T(°C) in un locale riscaldato con una P(watt)
// che disperde calore verso l'ambiente tramite le pareti
float Camera(float Pel) {
  float U = 5;
  float Ct = 1006; // J/Kg K
  float A = 2; // m2 area for convection
  float massa = 0.1; // Kg
  float Tamb = 20; // °C
  static float T = Tamb; // °C
  static long last = 0; // static --> mantiene valore fra le varie chiamate
  int dt = 50; // ms
  // ogni 50ms calcola la temperatura del locale
  if (millis() - last >= dt) {
    last = millis();
    float Qd = U * A * (T-Tamb); // dispersioni
    T = T + (Pel-Qd) * (dt/1000.0) / (massa*Ct);
  }
  return T;
}

```

## REGOLE DI ZIEGLER-NICHOLS

Il metodo di Ziegler-Nichols, risalente al 1942, è tra i più usati ed è apprezzato per la sua semplicità, per il fatto di non richiedere un modello matematico del processo e per le prestazioni che riesce a produrre. Serve a trovare il cosiddetto "guadagno critico  $K_u$ ", dal quale si deriveranno gli altri parametri del PID:

- Il processo viene fatto controllare da un controllore esclusivamente proporzionale ( $K_i$  e  $K_d$  vengono impostati a zero);
- Il guadagno  $K_p$  del controllore proporzionale viene gradualmente aumentato;
- Il guadagno critico  $K_u$  è il valore del guadagno per cui la variabile controllata presenta oscillazioni sostenute, cioè che non spariscono dopo un transitorio (questa è una misura dell'effetto dei ritardi e della dinamica del processo);
- Si registra il periodo critico  $P_u$  delle oscillazioni sostenute e con la tabella allegata si determinano le costanti per il controllore P, PI o PID;

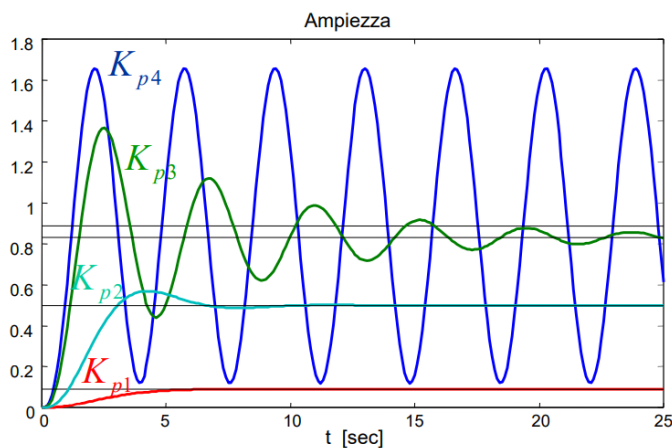


$$T_i = \frac{K_p}{K_i}$$

$$T_d = \frac{K_d}{K_p}$$

Tipo	$K_p$	$T_i$	$T_d$
<b>P</b>	$0,50K_u$	-	-
<b>PI</b>	$0,45K_u$	$P_u/1,2$	-
<b>PID</b>	$0,60K_u$	$P_u/2$	$P_u/8$

### ESEMPIO CALCOLO COSTANTI PID



$$K_{p1} = 0.1$$

$$K_{p2} = 1$$

$$K_{p3} = 5$$

$$K_{p4} = 8 \leftarrow \bar{K}_p$$

$$\bar{T} \cong 3.6$$

$$\text{PID "ideale"} \begin{cases} K_p = 0.6\bar{K}_p = 4.8 \\ T_i = 0.5\bar{T} = 1.8138 \\ T_d = 0.125\bar{T} = 0.4534 \end{cases}$$

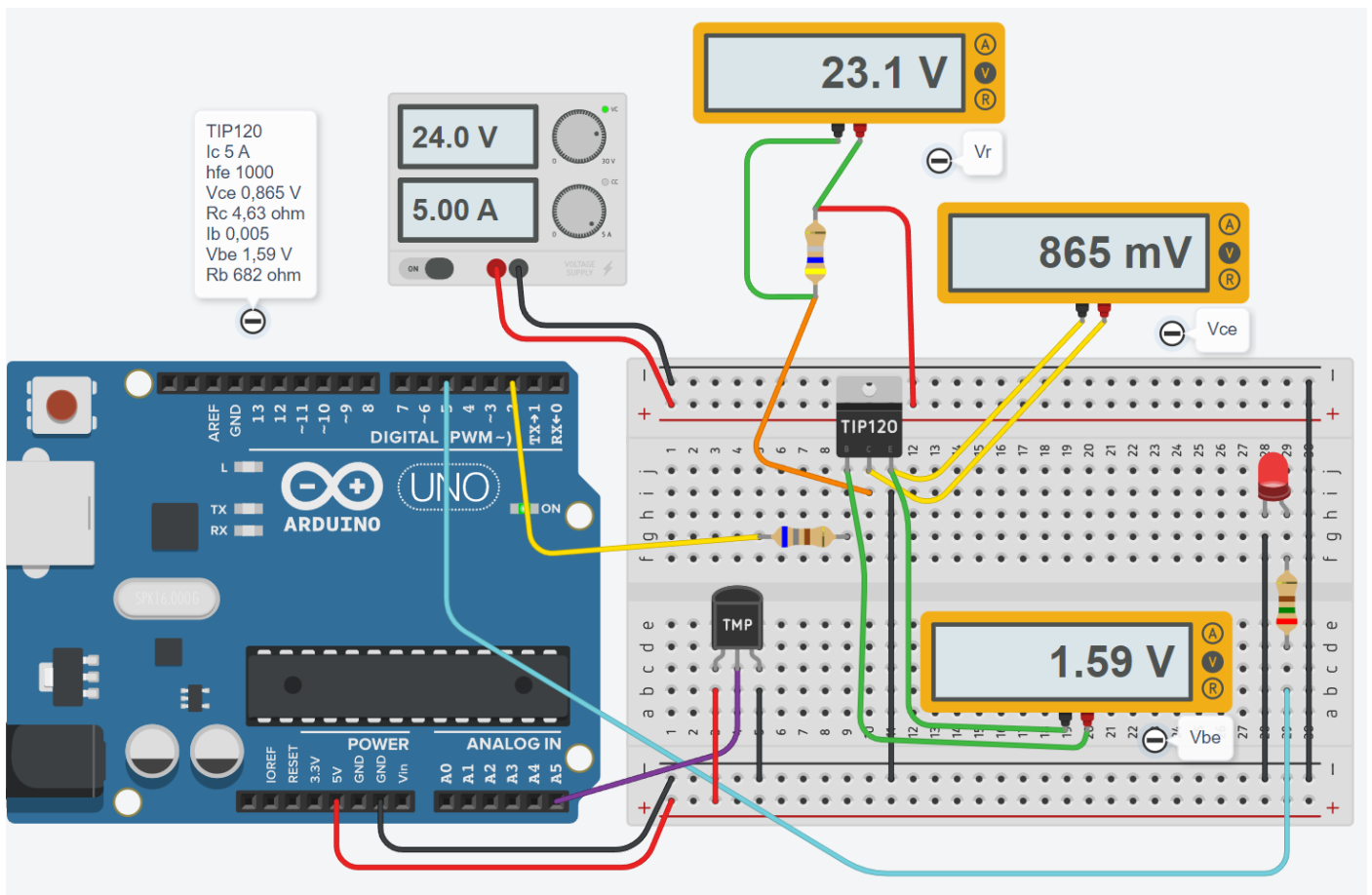
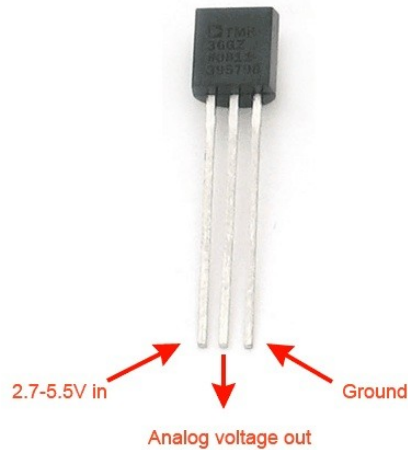
## CONTROLLO DI TEMPERATURA ON-OFF CON SENSORE TMP36

Progettare un sistema di CONTROLLO della temperatura dell'acqua in un recipiente.

L'acqua deve essere mantenuta alla temperatura di 50°C con una tolleranza di +1°C.

Si utilizzi come sensore di temperatura il TMP36.

Si adotti un semplice sistema di regolazione ON-OFF dell'elemento riscaldante con tempo di campionamento (rilevazione) della temperatura di 30 sec.



## CODICE

```
long t0;
long tempoPrint=1000; // tempo frequenza stampa a video
int statoRiscaldamento = 0; // 0=spento; 1=attivo; 2=mantengo
float tempSetPoint= 50.0; // SET POINT +-1°C
float volt;
float temperatura= 0;

void setup()
{
  pinMode(2, OUTPUT); // TIP120
  pinMode(5, OUTPUT); // LED
  pinMode(A5, INPUT); // TMP36
  Serial.begin(9600);
  t0= millis();
}

void loop()
{
  volt = analogRead(A5) * 5.0/1024.0; // usare i decimali nella divisione!
  temperatura = 100 * volt - 50;

  if (temperatura <= 49.0) {
    statoRiscaldamento= 1; // attivo
    digitalWrite(2, HIGH);
    digitalWrite(5, HIGH);
  }
  else if (celsius> 49.0 && celsius< 51.0) {
    statoRiscaldamento= 2; //mantengo
  }
  else {
    statoRiscaldamento= 0; // spengo
    digitalWrite(2, LOW);
    digitalWrite(5, LOW);
  }

  //stampa stato processo
  if ( (millis() - t0) >= tempoPrint) {
    t0= millis();
    Serial.print("T="); Serial.println(celsius);
    switch (statoRiscaldamento) {
      case 1: Serial.println("Attivo");
              break;
      case 2: Serial.println("Mantengo");
              break;
      case 0: Serial.println("Spento");
              break;
    }
  }

  delay(30000); // 30 sec
}
```

Al posto dello "switch" si può usare

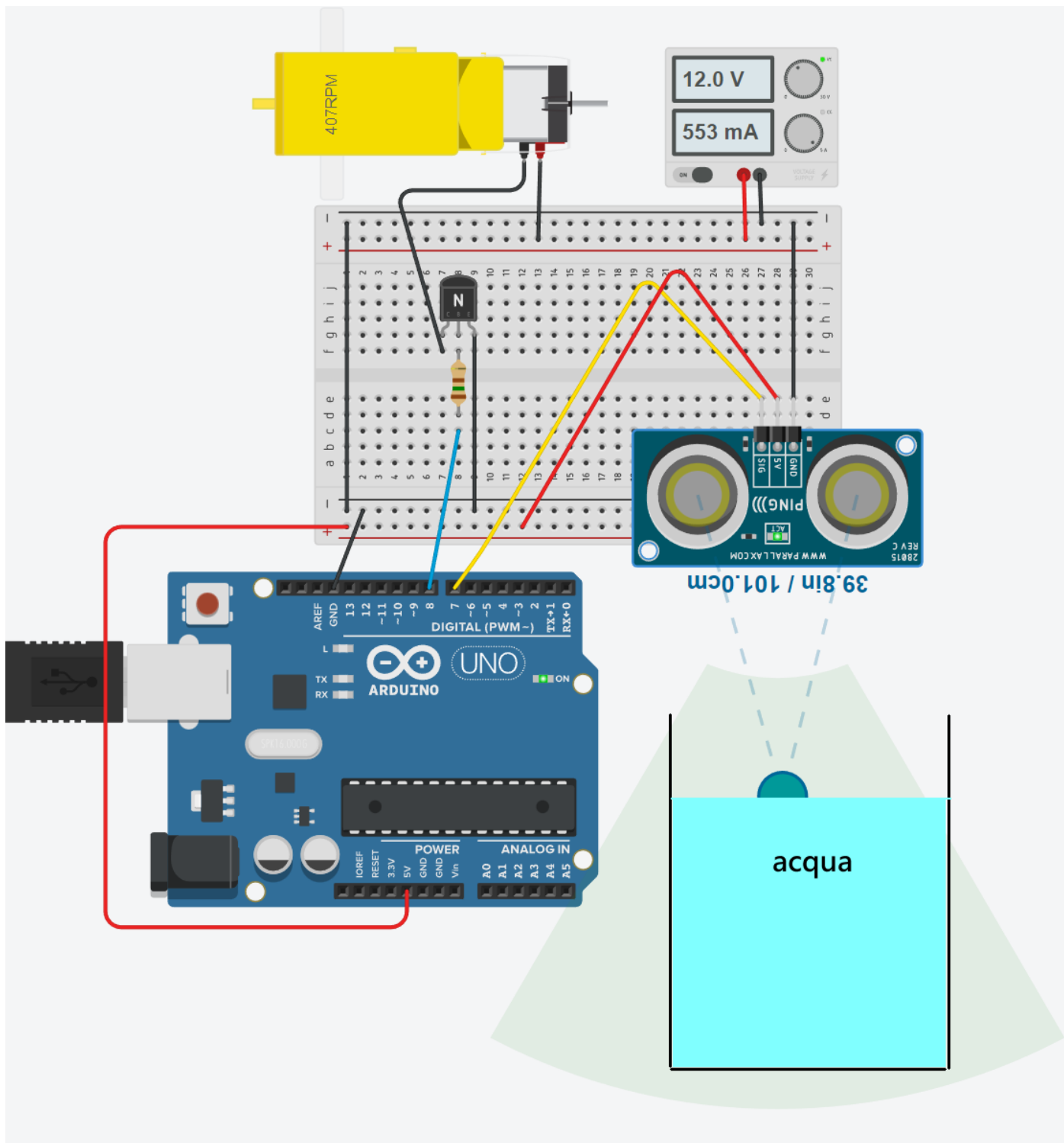
If

Else if

Else if

## CONTROLLO LIVELLO ON-OFF CON SENSORE ULTRASUONI

Si vuole avviare una pompa di riempimento quando il livello dell'acqua scende sotto un valore minimo (es. 100cm).



## CODICE

```
int motorPin=8;
int cm = 0;
int statoM=0; //0 spento; 1 acceso
int livello=100;
int errore=2;

long readUltrasonicDistance(int triggerPin, int echoPin)
{
  pinMode(triggerPin, OUTPUT); // Clear the trigger
  digitalWrite(triggerPin, LOW);
  delayMicroseconds(2);
  // Sets the trigger pin to HIGH state for 10 microseconds
  digitalWrite(triggerPin, HIGH);
  delayMicroseconds(10);
  digitalWrite(triggerPin, LOW);
  pinMode(echoPin, INPUT);
  // Reads the echo pin, and returns the sound wave travel time in microseconds
  return pulseIn(echoPin, HIGH);
}

void setup()
{
  pinMode(motorPin, OUTPUT); // Clear the trigger
  Serial.begin(9600);
}

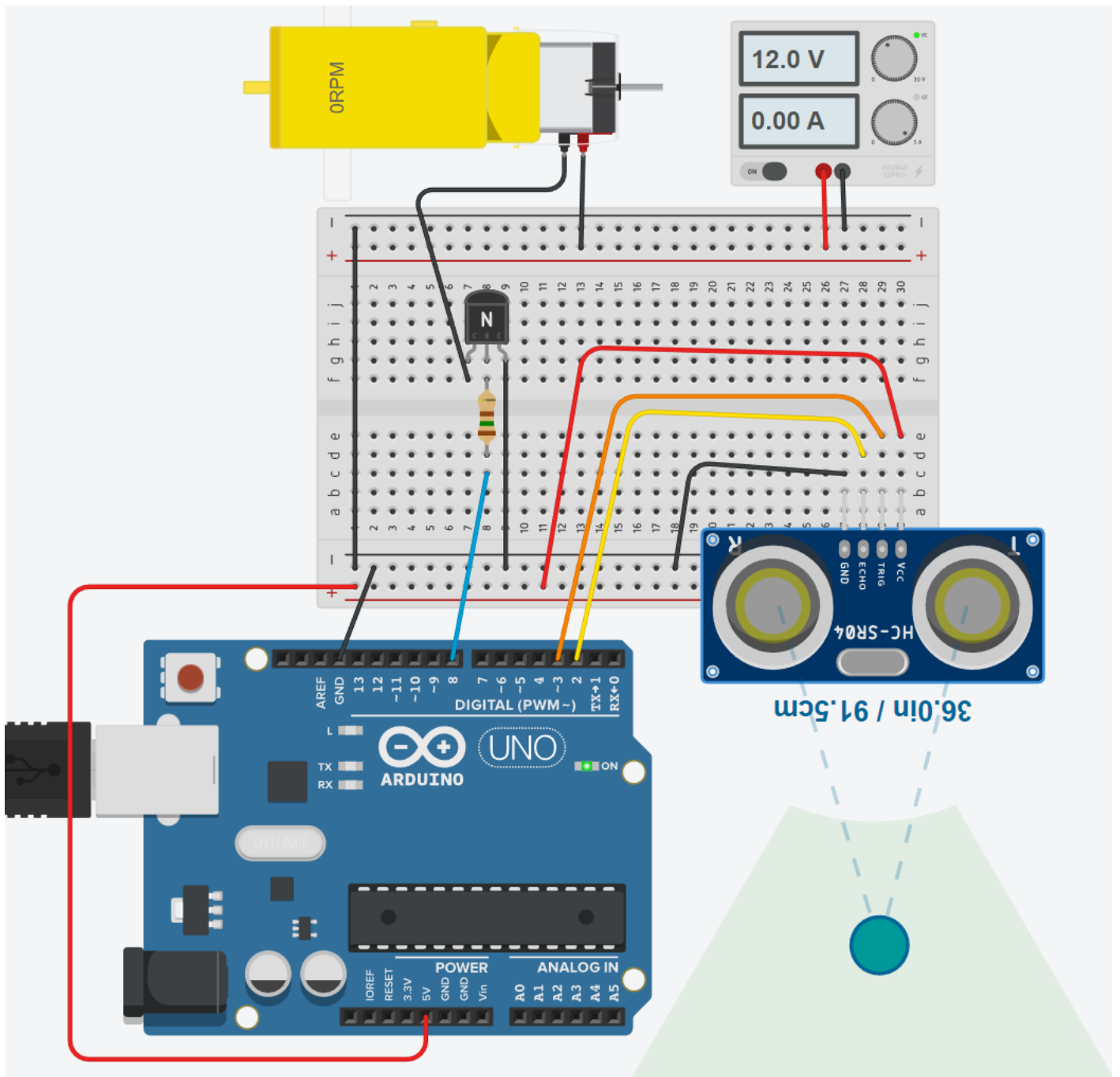
void loop()
{
  // measure the ping time in cm
  cm = 0.01723 * readUltrasonicDistance(7, 7);
  Serial.print(cm);
  Serial.println("cm");

  if (cm<(100-errore/2)) {
    digitalWrite(8,HIGH);
    Serial.println("Attivo motore");
    statoM=1;
  }
  else if (cm>=(100+errore/2)) {
    digitalWrite(8,LOW);
    Serial.println("Spengo motore");
    statoM=0;
  }
  else {
    if (statoM=0) {
      Serial.println("spento");
    }
    else {
      Serial.println("acceso");
    }
  }

  delay(100); // Wait for 100 millisecond(s)
}
```

## CONTROLLO LIVELLO ON-OFF CON SENSORE ULTRASUONI 2

Si vuole avviare una pompa di riempimento quando il livello dell'acqua scende sotto un valore minimo (es. 100cm). Si utilizzi il sensore ad ultrasuoni per Arduino HC-SR04 dotato di due distinti pin per "trigger" e "echo".



## CONTROLLO DI LIVELLO CON SENSORE ANALOGICO

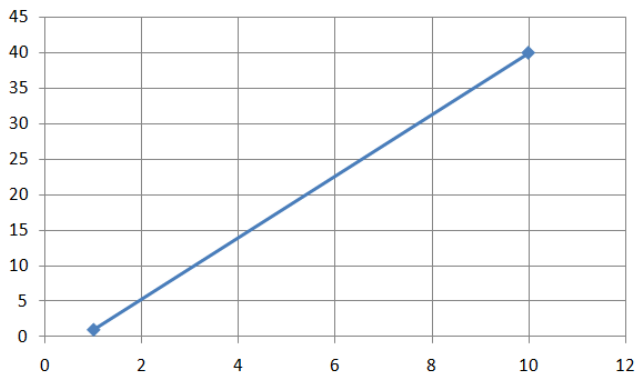
Si vuole mantenere il livello di acqua in un serbatoio a 500mm con una tolleranza di +/-10mm.

Si ha disposizione

-una pompa con motore CC a 24V (I=350mA)

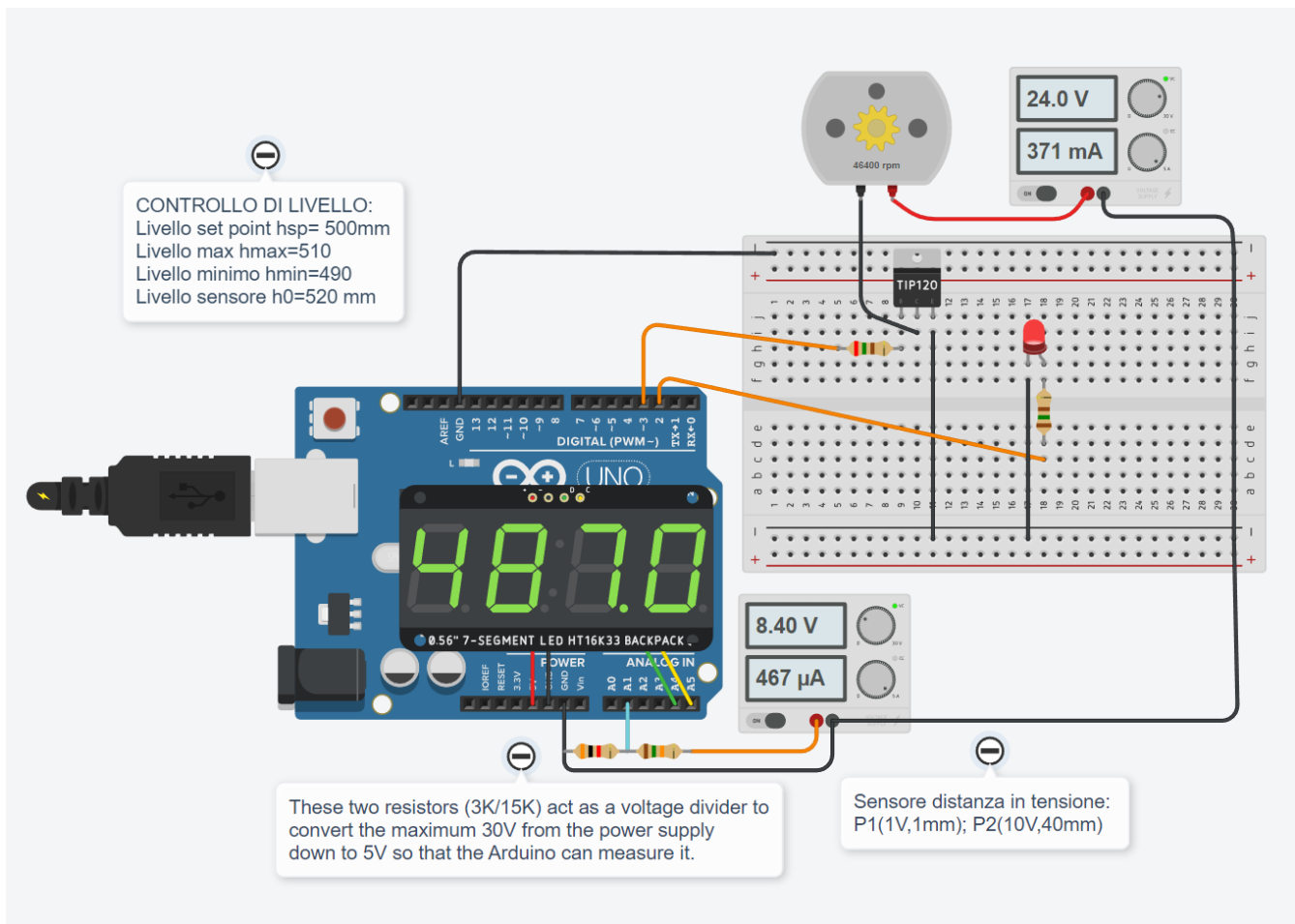
-un transistor di potenza TIP120 (hfe=1000, Vbe=0,7v)

-un sensore di livello analogico in tensione con la seguente caratteristica lineare V (volt) - distanza [mm]:



Curva del sensore:

$$\text{distanza} = 39 \cdot (\text{volt} - 1) / 9 + 1 \text{ [mm]}$$



Utilizzare un LCD a 7 segmenti per mostrare la temperatura attuale e usare la seriale per indicare lo stato attuale della pompa (accesa, spenta, mantengo accesa, mantengo spenta).

Il sensore può essere simulato con un generatore di tensione continua 0-30V e un partitore di tensione 1k-5k che riduce i 30V max. a 5V max. (30/5=6 volte) in ingresso ad Arduino.

**EX: risolvere lo stesso problema utilizzando un sensore ad ultrasuoni**

## CODICE

```
#include "Adafruit_LEDBackpack.h"
float h0=520.0;
float hsp=500.0;
float delta=20.0;
float volt;
float distanza;
float altezza;
float hmax = hsp+delta/2.0;
float hmin = hsp-delta/2.0;
int stato_pompa=0; // 0 off; 1 on

Adafruit_7segment led_display1 = Adafruit_7segment();

void setup()
{
  led_display1.begin(112);
  pinMode(A1, INPUT);
  pinMode(2, OUTPUT);
  pinMode(3, OUTPUT);
  Serial.begin(9600);
}

void loop()
{
  // Convert from 0-1023 range to 0-30V range
  volt= analogRead(A1) * 5.0 / 1023.0 * 6; // multiplico per 6 per ottenere 30V
  // Convert voltage to distance
  distanza= 39.0/9.0*(volt-1.0)+1.0;
  // Get heigh level
  altezza= h0-distanza;

  led_display1.println(altezza);
  led_display1.writeDisplay();

  Serial.println(altezza);

  if (altezza >= hmax) {
    digitalWrite(3, LOW);
    digitalWrite(2, LOW);
    stato_pompa= 0;
    Serial.println("Spento");
  }
  else if (altezza <= hmin) {
    digitalWrite(3, HIGH);
    digitalWrite(2, HIGH);
    stato_pompa= 1;
    Serial.println("Acceso");
  }
  else {
    if (stato_pompa== 1) {
      Serial.println("Mantengo Acceso");
    }
    else {
      Serial.println("Mantengo Spento");
    }
  }

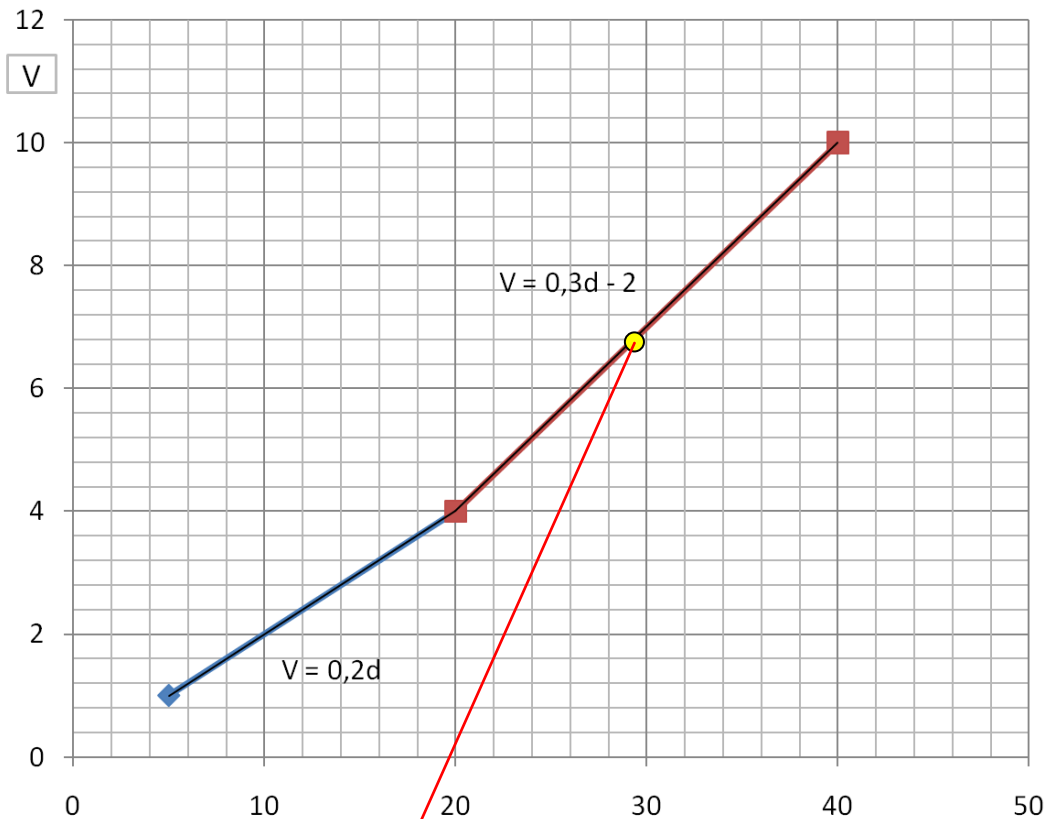
  delay(2000);
}
```

## CONTROLLO LIVELLO CON SENSORE ANALOGICO NON LINEARE

Realizzare un sistema di controllo ON-OFF di livello che mantenga il livello dell'acqua in un serbatoio a 32cm.

Il sensore è montato ad una quota di 60cm dal fondo. La tolleranza del sistema è di  $\pm 2$ cm.

Il sensore di livello analogico assegnato presenta la seguente curva Distanza [cm] –Tensione [volt]



Dalla curva del sensore si ricava la distanza in funzione della tensione fornita dal sensore:

$$V = 0,3 \cdot d - 2 \rightarrow d = (V + 2) / 0,3 \text{ [cm]}$$

La tensione max. in uscita dal sensore è 10V.

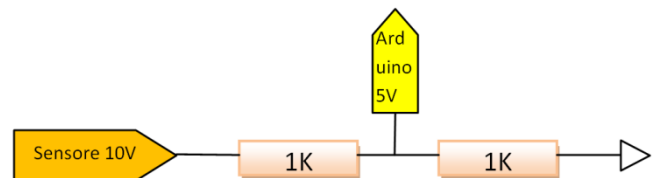
Va ridotta a 5V in ingresso ad Arduino tramite un partitore

(ad es. 1K+1K  $\rightarrow$  riduco 10V a 5V  $\rightarrow$  2 volte).

**CODICE ARDUINO**

*// moltiplico x 2 per ottenere i V effettivi del sensore da usare nella formula della d(cm)*

`Volt = analogRead(pinS)*5/1023 * 2;  $\rightarrow$  Volt = analogRead(pinS)*10/1023;`



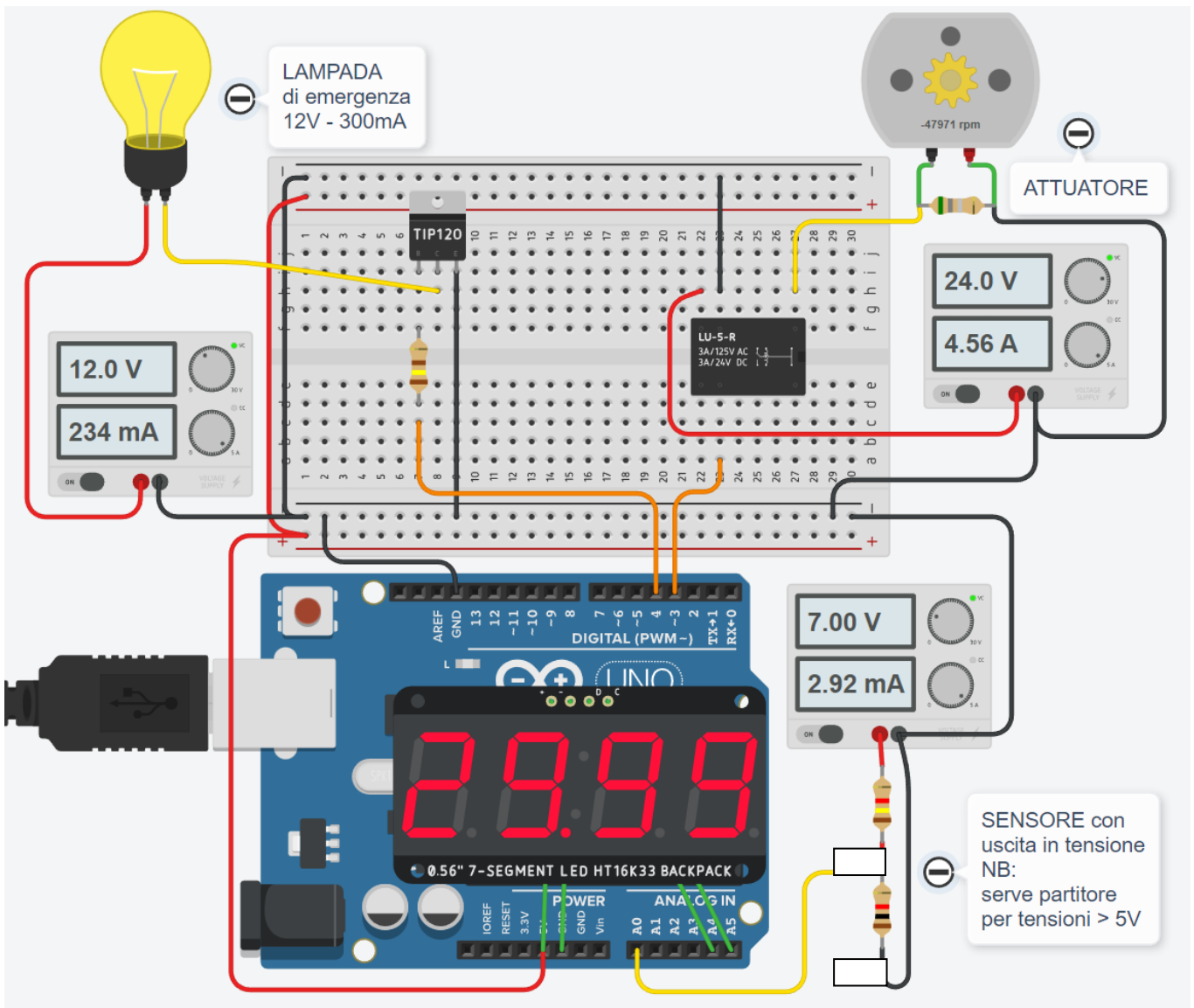
## DIMENSIONAMENTO DEL PARTITORE DI TENSIONE

Se il sensore ha una tensione di uscita max. di 12V allora devo applicare la legge di Ohm per trovare le R:

$\rightarrow$  fisso ad es. la  $R_1 = 1000 \text{ ohm}$  (alta per far circolare correnti basse mA)

$\rightarrow I = 5 / 1000 \text{ A}$

$\rightarrow R_2 = (12 - 5) / I = 1400 \text{ ohm}$



## CODICE

```
#include "Adafruit_LEDBackpack.h"
```

```
Adafruit_7segment led_display1 = Adafruit_7segment();
```

```
int pinPompa = 3;
int pinLampada = 4;
int pinSensore = A0;
```

```
float h0=60.0; // quota sensore dal fondo
float hsp=32.0; // livello SET-POINT
float delta=2.0; // errore tollerato
```

```
float volt;
float distanza;
float altezza;
float hmax = hsp+delta/2.0;
float hmin = hsp-delta/2.0;
int stato_pompa=0; // 0 off; 1 on
```

```
void setup()
{
  pinMode(pinSensore, INPUT);
  pinMode(pinPompa, OUTPUT); // POMPA
```

```

pinMode(pinLampada, OUTPUT); // LAMPADA
led_display1.begin(112);
Serial.begin(9600);
}

void loop()
{
// Convert from 0-1023 range to 0-12V range (partitore riduce a 5!)
volt= analogRead(pinSensore) * 12.0 / 1023.0;
// Convert voltage to distance --> d= (V+2)/0,3 [cm]
distanza= (volt+2)/0.3;
Serial.print("dist cm "); Serial.println(distanza);
// Get heigh
altezza= h0-distanza;
Serial.print("h cm "); Serial.println(altezza);
led_display1.println(altezza);
led_display1.writeDisplay();

if (altezza >= hmax) {
digitalWrite(pinPompa, LOW);
digitalWrite(pinLampada, LOW);
stato_pompa= 0;
Serial.println("Spento");
}
else if (altezza <= hmin) {
digitalWrite(pinPompa, HIGH);
digitalWrite(pinLampada, HIGH);
stato_pompa= 1;
Serial.println("Acceso");
}
else {
if (stato_pompa== 1) {Serial.println("Mantengo Acceso");}
else { Serial.println("Mantengo Spento"); }
}

delay(2000);
}

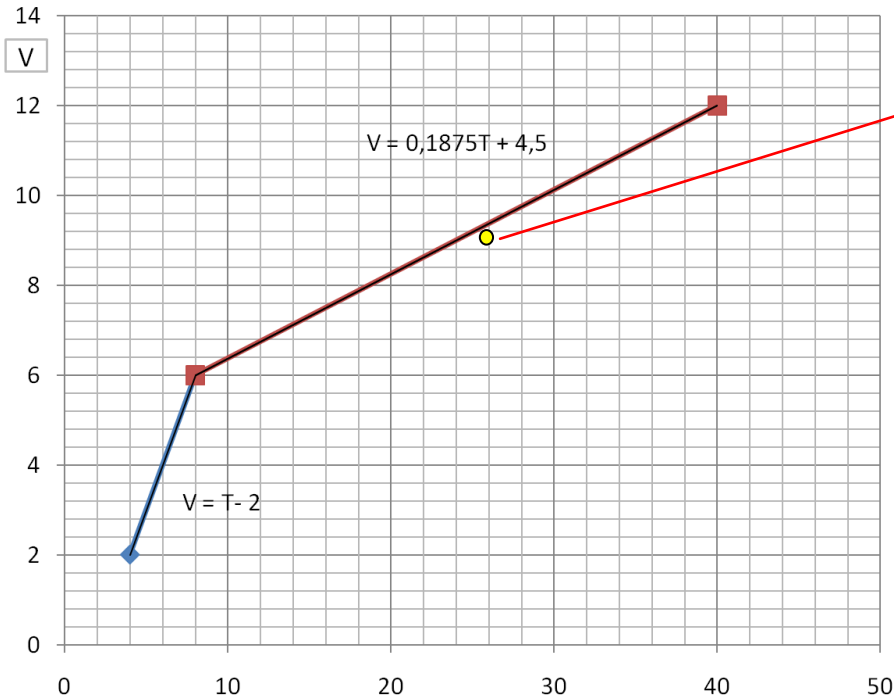
```

## CONTROLLO TEMPERATURA CON SENSORE ANALOGICO NON LINEARE

Realizzare un sistema di controllo ON-OFF di temperatura che mantenga la temperatura in un sistema chiuso a 25°C.

La tolleranza del sistema è di +2°C. Il tempo di campionamento è di 1 secondo.

Il sensore di temperatura analogico assegnato presenta la seguente curva Temperatura [°C] – Tensione [Volt]



Dalla curva

$$V = 0,1875 \cdot T + 4,5 \rightarrow T = (V - 4,5) / 0,1875 \text{ [}^\circ\text{C]}$$

La tensione max. in uscita dal sensore è 12V.  
Va portata sotto i 5V in ingresso ad Arduino  
tramite un partitore di tensione.

Fisso ad es. la  $R1 = 1000 \text{ ohm}$

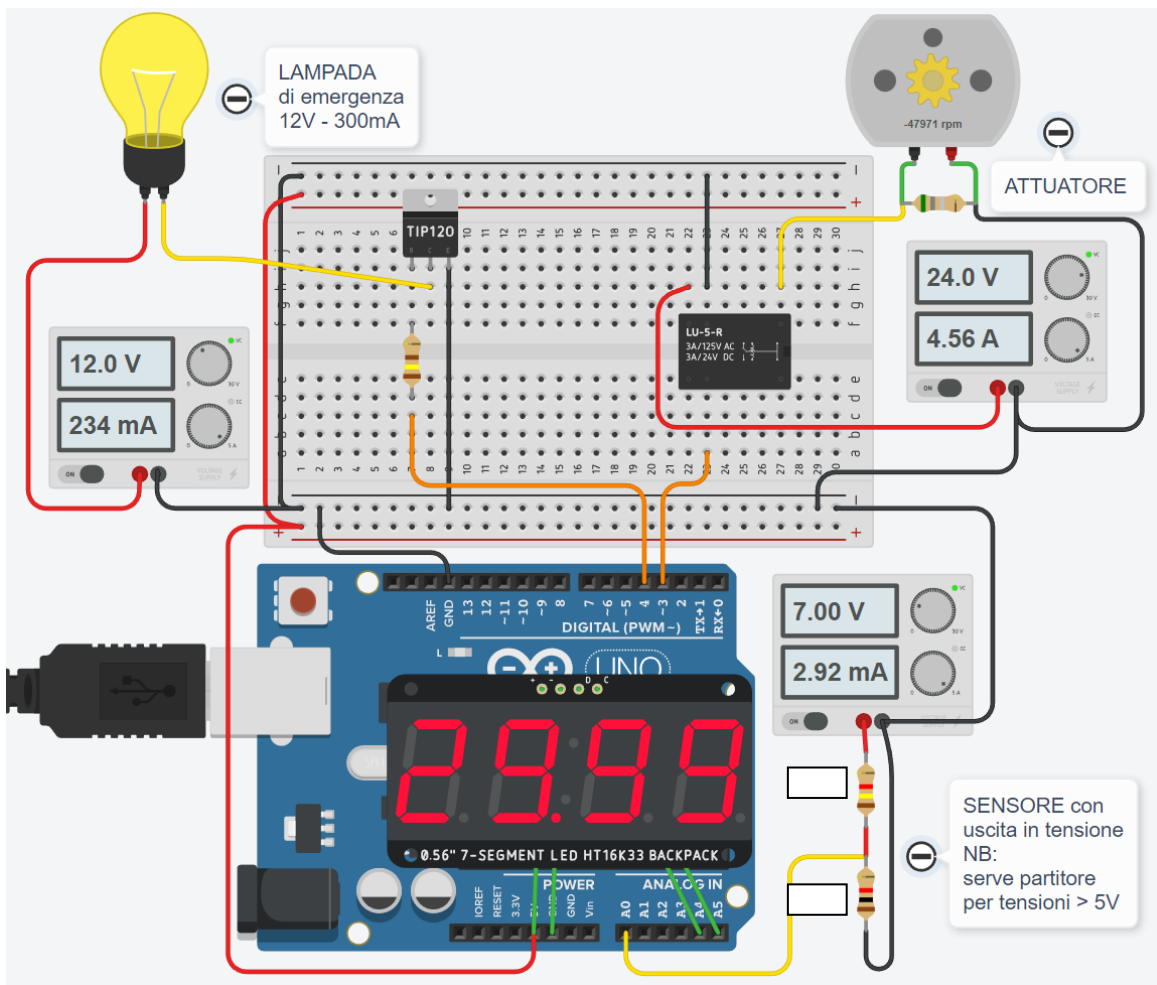
$$\rightarrow I = 5 / 1000 \text{ A}$$

$$\rightarrow R2 = (12 - 5) / I = 1400 \text{ ohm}$$

**CODICE ARDUINO**

// multiplico x 12/5 per ottenere i V effettivi  
del sensore da usare nella formula della  
 $T(^\circ\text{C})$

Volt = analogRead(pinS) \* 5 / 1023 \* 12 / 5;

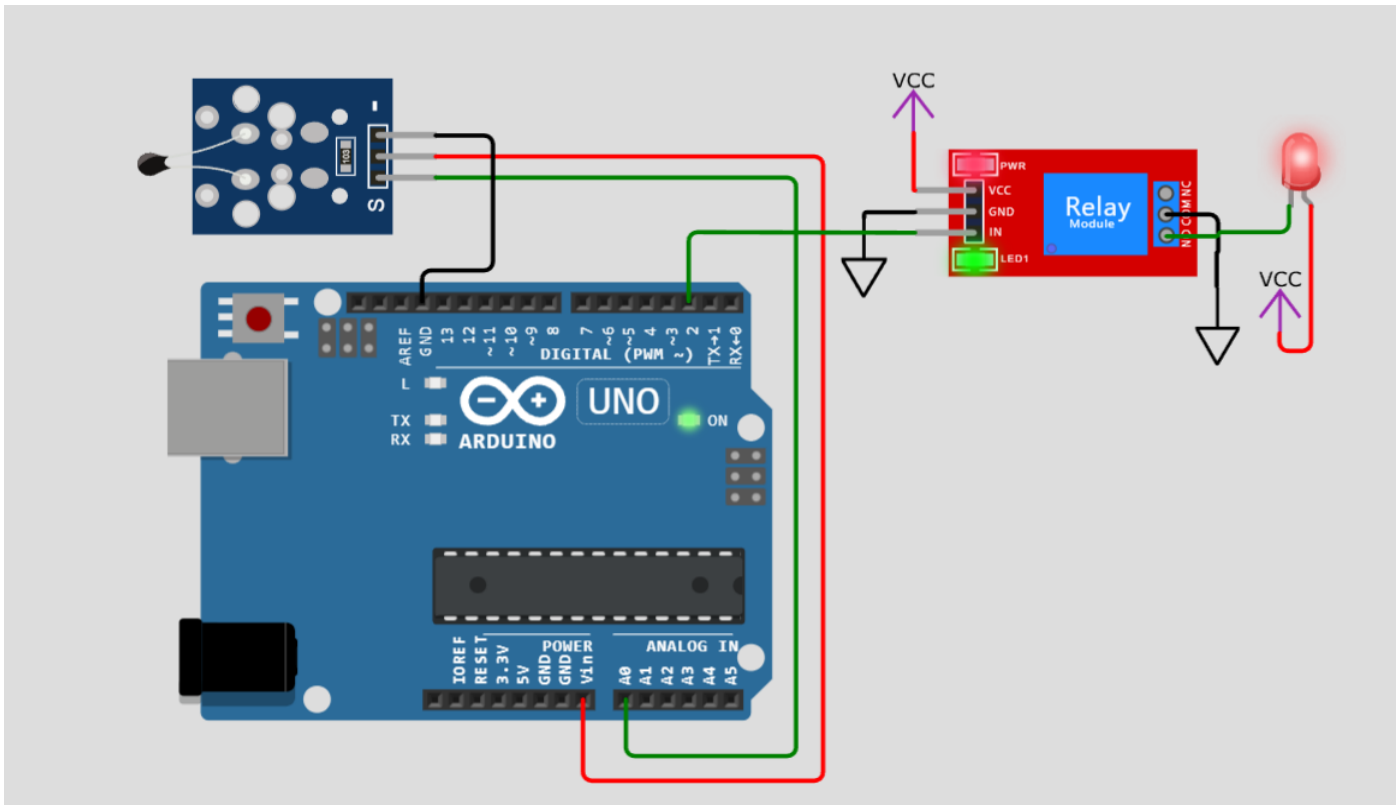


## CONTROLLO DI TEMPERATURA CON TERMISTORE NTC E RELE'

Si vuole mantenere a 30°C la temperatura in un recipiente isolato con tolleranza +-1°C.

Si utilizza come elemento riscaldante una lampadina alogena da 30w attivabile tramite un relè comandato direttamente da Arduino.

Thermistor parameters: RT0: 10KΩ B: 3977 K +- 0.75% T0: 25 C +- 5%



*simulabile su "wokwi.com"*

## CODICE

```
//thermistor parameters: RT0: 10 000 Ω B: 3977 K +- 0.75% T0: 25 C +- 5%

//These values are in the datasheet
#define RT0 10000 // Ω
#define B 3977 // K
//-----
#define VCC 5 //Supply voltage
#define R 10000 //R=10KΩ
//-----
int Tsp=30; // set point
int deltaT=2; // errore tollerato

int pinRele= 2;
int statoLamp= 0;
//Variables
float RT, VR, ln, TX, T0, VRT;

void setup() {
  Serial.begin(9600);
  pinMode(pinRele, OUTPUT);

  T0 = 25 + 273.15; // converto un Kelvin
}

void loop() {
  VRT = analogRead(A0);
  VRT = (5.00 / 1023.00) * VRT; //Conversion to voltage
  VR = VCC - VRT;
  RT = VRT / (VR / R); //Resistance of RT
  ln = log(RT / RT0);
  TX = 1/(ln/ B+1/T0); //Temperature from thermistor in K
  TX = TX - 273.15; //Conversion to °C

  Serial.print("Temperatura: ");
  Serial.print(TX);
  Serial.println(" °C");

  if (TX<(Tsp-deltaT/2)) {
    digitalWrite(pinRele, HIGH);
    Serial.println("ACCESO");
    statoLamp = 1;
  }
  else if ((TX>(Tsp+deltaT/2)))
  {
    digitalWrite(pinRele, LOW);
    Serial.println("SPENTO");
    statoLamp = 0;
  }
  else {
    if (statoLamp==0) {Serial.println("MANTENGO SPENTO");}
    else {Serial.println("MANTENGO ACCESO");}
  }

  delay(1000);
}
```

## CONTROLLO DI TEMPERATURA ON-OFF CON TERMISTORE NTC E NMOS

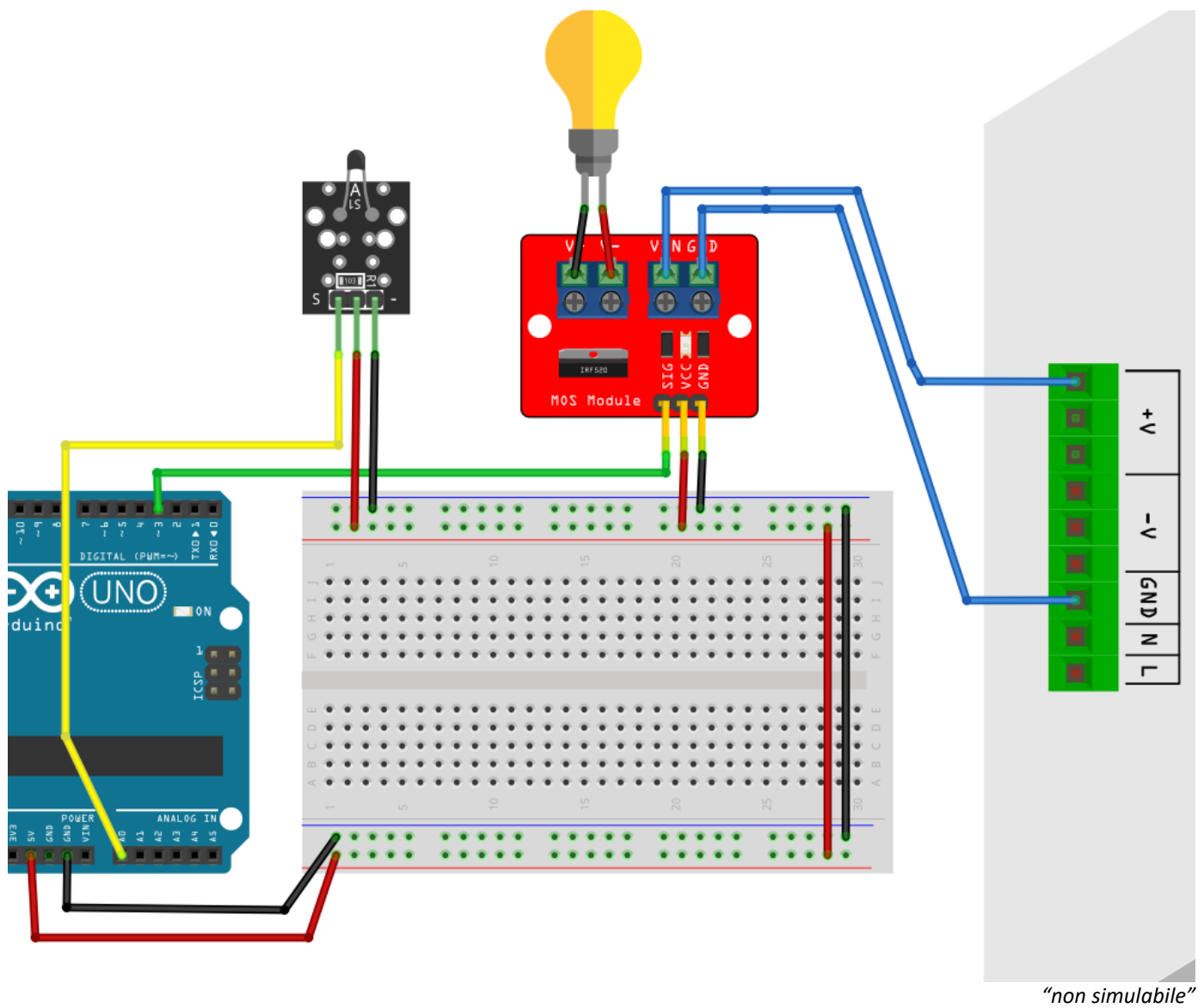
Si vuole mantenere costante la temperatura all'interno di un recipiente coibentato.

Come sensore si utilizza un termistore NTC (RT0: 10K $\Omega$  B: 3977 K  $\pm$  0.75% T0: 25 C  $\pm$  5%).

Come attuatore una lampadina alogena che alimentata a 10V fornisce circa 15w di potenza elettrica.

La lampadina viene attivata da un modulo MOSFET IRF520 per Arduino.

Il tipo di controllo è ON-OFF con tolleranza  $\pm 1^\circ\text{C}$ .



CODICE

```
//Thermistor parameters: RT0: 10KΩ B: 3977 K +- 0.75% T0: 25 C +- 5%
//From datasheet
#define RT0 10000 // Ω
#define B 3977 // K
#define VCC 5 //Supply voltage
#define R 10000 //R=10KΩ
//-----

int pin_rele=2;
int pin_T=A0;
long t;
float delta=0.5;

//Variables
float RT, VR, In, TX, T0, VRT;

void setup() {
  pinMode(pin_rele, OUTPUT);
  pinMode(pin_T, INPUT);

  Serial.begin(9600);
  T0 = 25 + 273.15;
  t= millis();
}

void loop() {
  VRT = analogRead(pin_T); // 0-1023 → tensione sul termistore
  VRT = (5.00 / 1023.00) * VRT; // converto in V
  VR = VCC - VRT; // tensione sulla resistenza R da 10K
  RT = VRT / (VR / R); // Resistenza di RT (V/I)
  In = log(RT / RT0);
  TX =1/ (In / B + 1 / T0); //Temperature from thermistor in K
  TX = TX - 273.15; //Conversion to °C

  if (TX>=(40+ delta/2)) {
    digitalWrite(pin_rele, LOW);
  }
  else if (TX<=(40-delta/2)) {
    digitalWrite(pin_rele, HIGH);
  }

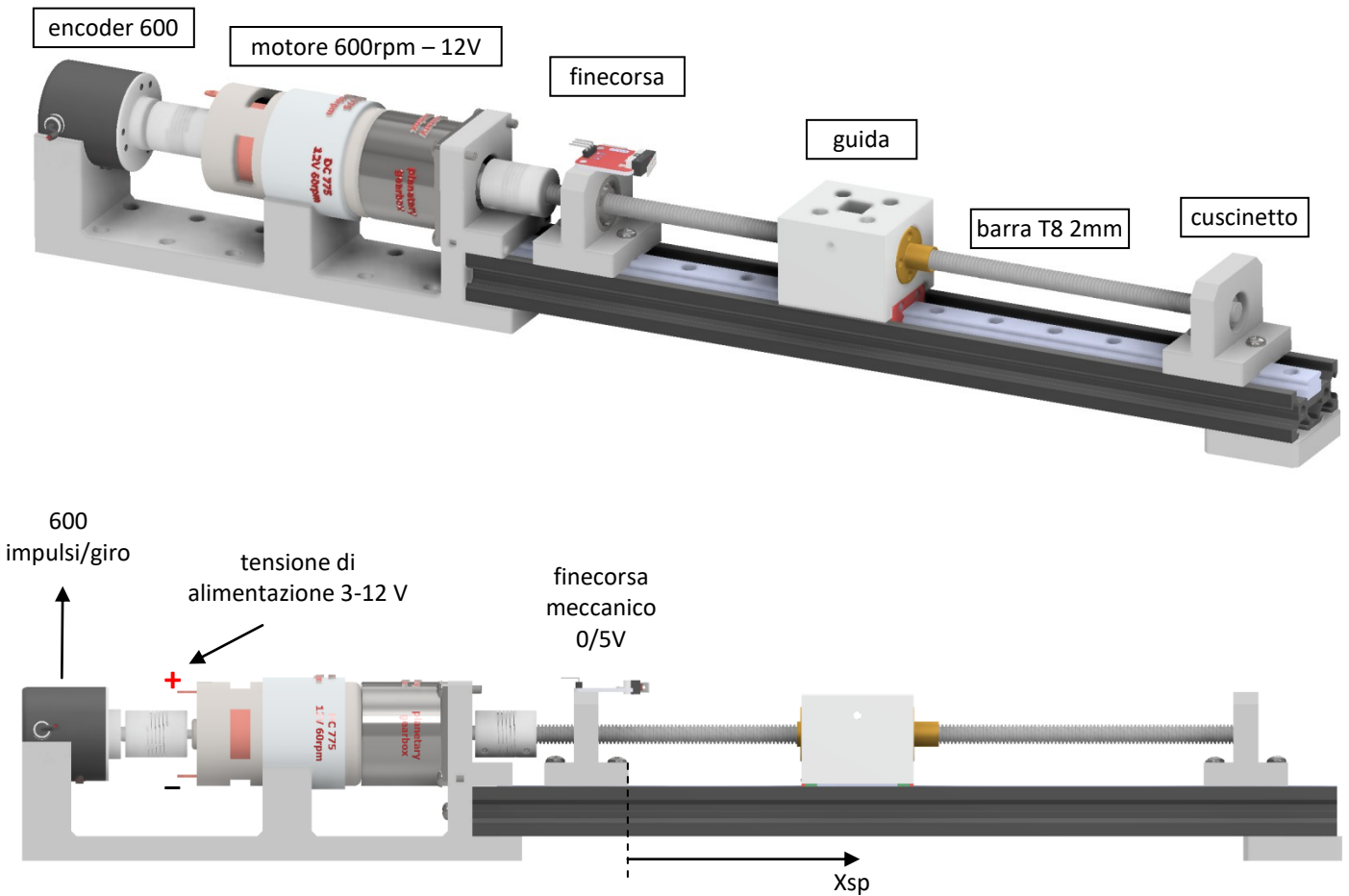
  if ( ( millis()-t)>1000 ) {
    t= millis();
    Serial.print("T:");
    Serial.print(TX);
    Serial.print(",");
    Serial.print("err:");
    Serial.println(err);
  }

  delay(100);
}
```

## CONTROLLO IN POSIZIONE DI UNA GUIDA LINEARE CON MOTORE C.C. E ENCODER OTTICO INCREM.

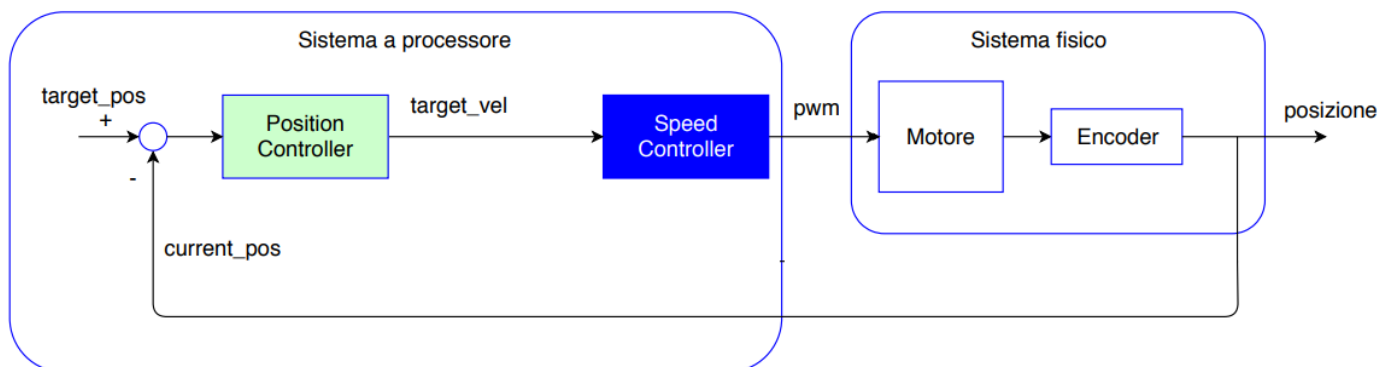
L'obiettivo è portare la guida nella posizione di SET-POINT indicata con un basso margine di errore.

Se "siamo lontani" dalla posizione Xsp di SET-POINT imponiamo una velocità di rotazione del motore alta che diminuisce man mano che ci si avvicina al SET-POINT.



Il controllore di posizione tramite un encoder incrementale fornisce il riferimento di posizione a un controllore di velocità (tipicamente un transistor di potenza con motori C.C.) che fornisce a sua volta la tensione di alimentazione del motore C.C. e fissa quindi la velocità di spostamento della guida.

## SCHEMA A BLOCCHI



Se “siamo lontani” dalla posizione  $X_{sp}$  di SET-PONT imponiamo una velocità di rotazione del motore alta che diminuisce man mano che ci si avvicina al SET-POINT.

Usiamo quindi un controllore di tipo PROPORZIONALE per controllare la velocità del motore tramite la tensione  $V_m$ :

$$\rightarrow V_m = K_p \cdot \text{errore} = K_p \cdot (X_{sp} - X_c) \quad K_p = \text{coeff. Proporzionale, } X_c = \text{posizione corrente}$$

La tensione  $V_m$  è controllata in PWM per mantenere alta la coppia motrice.

*Oltre e sotto una certa velocità il motore in C.C. non può andare e pertanto è necessario prevedere una condizione di saturazione (limite sia sulla velocità massima che minima).*

Per il motore in C.C. a disposizione abbiamo i seguenti limiti operativi:

- $n^\circ \text{ max} = 600 \text{ rpm}$  con  $V_m = 12 \text{ V}$   $\rightarrow 10 \text{ giri/s}$   $\rightarrow a_{\text{max}} = 20 \text{ mm/s}$  (100%)
- $n^\circ \text{ min} = 50 \text{ rpm}$  con  $V_m = 1 \text{ V}$   $\rightarrow 0,834 \text{ giri/s}$   $\rightarrow a_{\text{min}} = 1,667 \text{ mm/s}$  (10%)

Curva del motore lineare:  $n^\circ = (10/12) \cdot V_m$  [giri/s]

L'encoder ottico di tipo incrementale fornisce 600 impulsi al giro.

Noto il numero di impulsi nell'intervallo di tempo di campionamento  $\Delta t$  lo spostamento della guida vale quindi:

$$s = (n_{\text{impulsi}} / 600) \cdot 2 \text{ [mm]}$$

La velocità di spostamento della guida vale:

$$v_a = s / \Delta t \text{ [mm/s]}$$

## SIMULAZIONE CON EXCEL DEL SISTEMA DI CONTROLLO PROPORZIONALE

E' necessario fissare un valore di  $K_p$  che permetta il posizionamento della guida con un margine di errore adeguato alle richieste (es. 0.1mm) e una decelerazione accettabile.

### CONTROLLO POSIZIONE GUIDA PROPORZIONALE

$X_{sp} = 30$        $K_p = 1$   
 $V_{max} = 12$        $dt = 0,1$

t [s]	Vm [V]	n° [giri/s]	s [mm]	vel.	accel.	err. [mm]	Vm_teor.	Vm_eff [V]
0,00	12,00	10,00	0,000	0,0	0,0	30,000	30,000	12,00
0,10	12,00	10,00	2,000	20,0	200,0	28,000	28,000	12,00
0,20	12,00	10,00	4,000	20,0	0,0	26,000	26,000	12,00
0,30	12,00	10,00	6,000	20,0	0,0	24,000	24,000	12,00
0,40	12,00	10,00	8,000	20,0	0,0	22,000	22,000	12,00
0,50	12,00	10,00	10,000	20,0	0,0	20,000	20,000	12,00
0,60	12,00	10,00	12,000	20,0	0,0	18,000	18,000	12,00

### Tensione teorica di controllo del motore

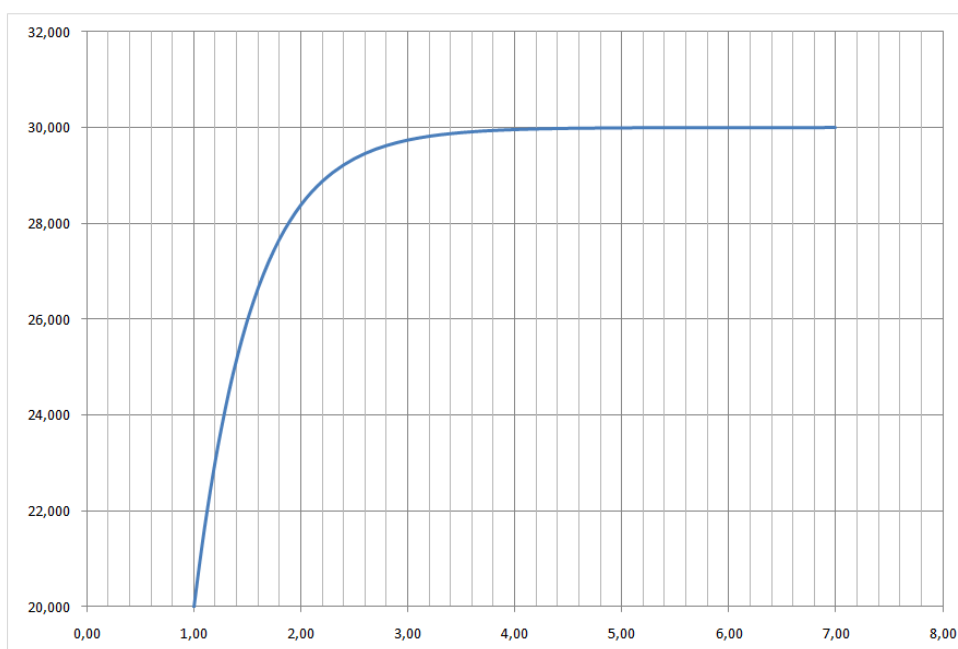
$X_{sp} = 30$        $K_p = 1$   
 $V_{max} = 12$        $dt = 0,1$

t [s]	Vm [V]	n° [giri/s]	s [mm]	vel.	accel.	err. [mm]	Vm_teor.	Vm_eff [V]
0,00	12,00	10,00	0,000	0,0	0,0	30,000	=D\$2*G6	

$X_{sp} = 30$        $K_p = 1$   
 $V_{max} = 12$        $dt = 0,1$

t [s]	Vm [V]	n° [giri/s]	s [mm]	vel.	accel.	err. [mm]	Vm_teor.	Vm_eff [V]
0,00	12,00	10,00	0,000	0,0	0,0	30,000	30,000	=SE(G6>=0;SE(H6>12;12;H6);0)
0,10	12,00	10,00	2,000	20,0	200,0	28,000	28,000	SE(test: [se_vero]; [se_falso])

Il posizionamento si raggiunge dopo circa 4 secondi con una  $a = -33 \text{ mm/s}^2$ .



## SIMULAZIONE CON EXCEL DEL SISTEMA DI CONTROLLO PID

E' necessario fissare dei valori di  $K_p$ ,  $K_i$  e  $K_d$  che permettano un posizionamento della guida con un margine di errore adeguato alle richieste (es. 0.1mm) e una decelerazione accettabile.

### CONTROLLO POSIZIONE GUIDA Pid

$X_{sp}= 30$        $K_p= 1$        $K_i= 0,01$        $K_d= 0,01$   
 $V_{max} 12$        $dt= 0,1$

						errore				
t [s]	Vm [V]	n° [giri/s]	s [mm]	vel.	accel.	err. [mm]	integrale	derivata	Vm_teor.	Vm_eff [V]
0,00	12,00	10,00	0,000	0,0	0,0	30,000	0,000	0,000	30,000	12,00
0,10	12,00	10,00	2,000	20,0	200,0	28,000	3,000	20,000	28,230	12,00
0,20	12,00	10,00	4,000	20,0	0,0	26,000	5,800	20,000	26,258	12,00
0,30	12,00	10,00	6,000	20,0	0,0	24,000	8,400	20,000	24,284	12,00
0,40	12,00	10,00	8,000	20,0	0,0	22,000	10,800	20,000	22,308	12,00
0,50	12,00	10,00	10,000	20,0	0,0	20,000	13,000	20,000	20,330	12,00
0,60	12,00	10,00	12,000	20,0	0,0	18,000	15,000	20,000	18,350	12,00
0,70	12,00	10,00	14,000	20,0	0,0	16,000	16,800	20,000	16,368	12,00
0,80	12,00	10,00	16,000	20,0	0,0	14,000	18,400	20,000	14,384	12,00
0,90	12,00	10,00	18,000	20,0	0,0	12,000	19,800	20,000	12,398	12,00
1,00	12,00	10,00	20,000	20,0	0,0	10,000	21,000	20,000	10,410	10,41
1,10	10,41	8,68	21,735	17,4	-26,5	8,265	22,000	17,350	8,659	8,66

Integrale errore → somma aree errore nell'intervallo di tempo

$X_{sp}= 30$        $K_p= 1$        $K_i= 0$        $K_d= 0$   
 $V_{max} 12$        $dt= 0,1$

						errore				
t [s]	Vm [V]	n° [giri/s]	s [mm]	vel.	accel.	err. [mm]	integrale	derivata	Vm_teor.	Vm_eff [V]
0,00	12,00	10,00	0,000	0,0	0,0	30,000	0,000	0,000	30,000	12,00
0,10	12,00	10,00	2,000	20,0	200,0	28,000	=G6*\$D\$3+H6		28,230	12,00

Derivata errore → variazione errore nell'intervallo di tempo

$X_{sp}= 30$        $K_p= 1$        $K_i= 0$        $K_d= 0$   
 $V_{max} 12$        $dt= 0,1$

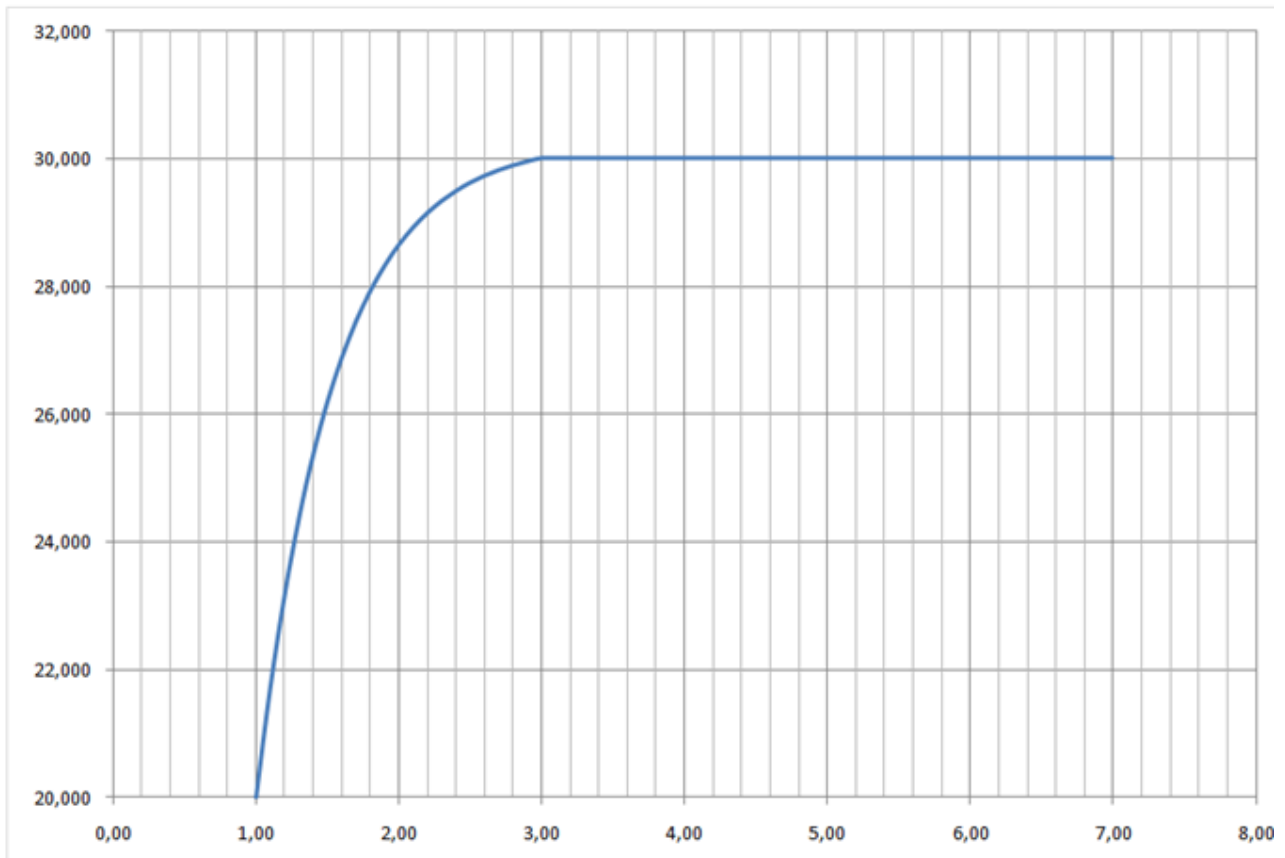
						errore				
t [s]	Vm [V]	n° [giri/s]	s [mm]	vel.	accel.	err. [mm]	integrale	derivata	Vm_teor.	Vm_eff [V]
0,00	12,00	10,00	0,000	0,0	0,0	30,000	0,000	0,000	30,000	12,00
0,10	12,00	10,00	2,000	20,0	200,0	28,000	3,000	=(G6-G7)/\$D\$3	28,230	12,00

Tensione di controllo del motore

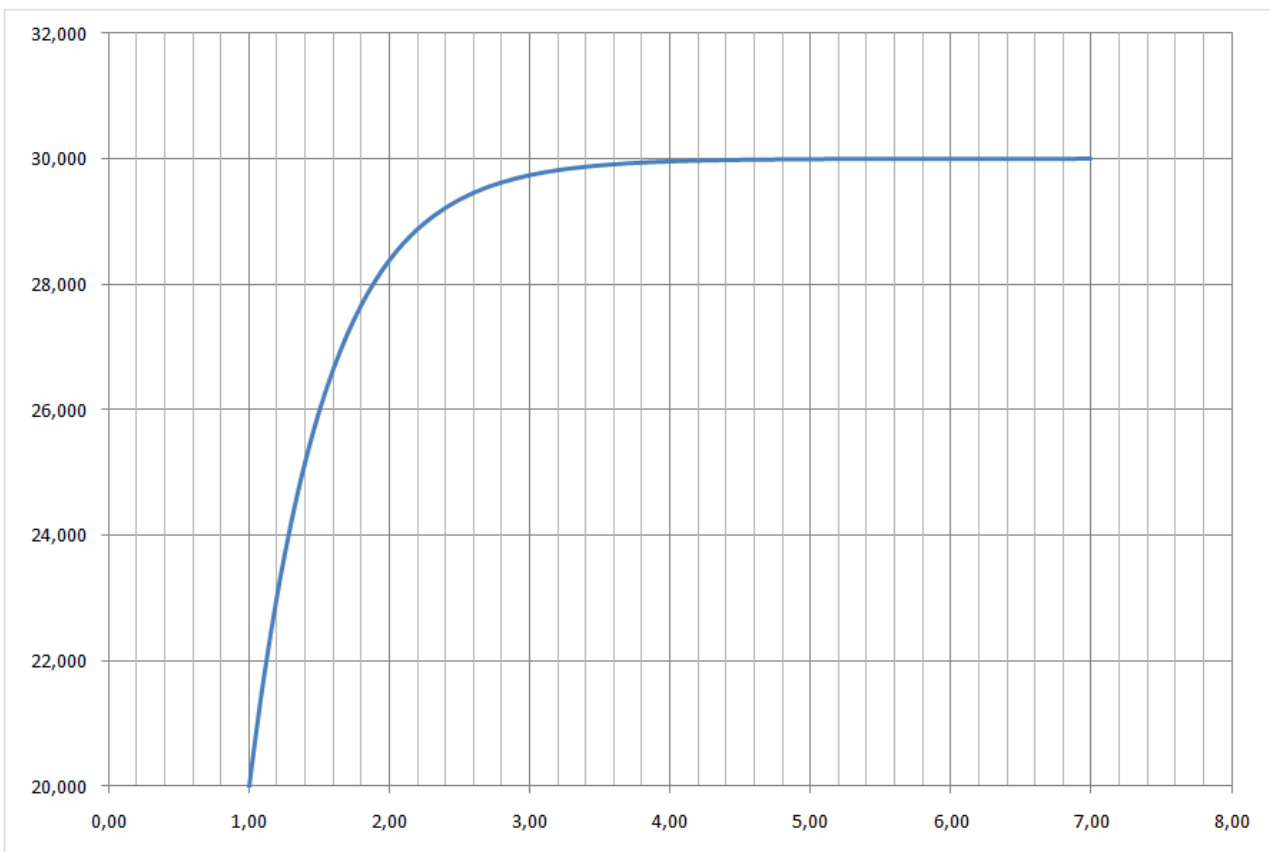
$X_{sp}= 30$        $K_p= 1$        $K_i= 0$        $K_d= 0$   
 $V_{max} 12$        $dt= 0,1$

						errore				
t [s]	Vm [V]	n° [giri/s]	s [mm]	vel.	accel.	err. [mm]	integrale	derivata	Vm_teor.	Vm_eff [V]
0,00	12,00	10,00	0,000	0,0	0,0	30,000	0,000	0,000	=D\$2*G6+F\$2*H6+H\$2*I6	12,00

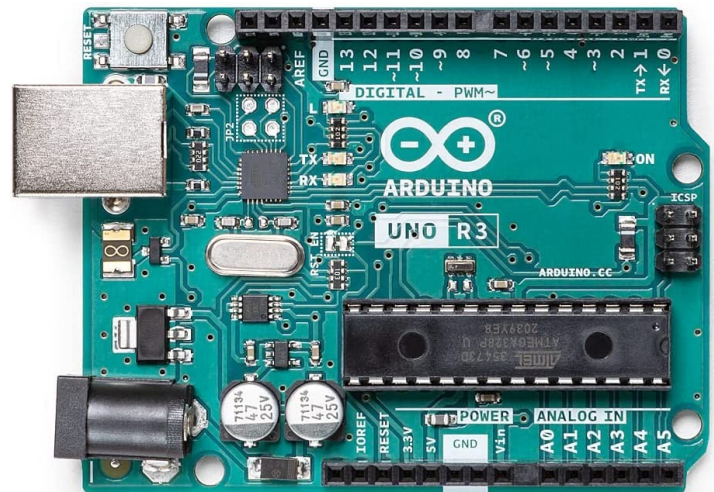
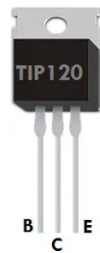
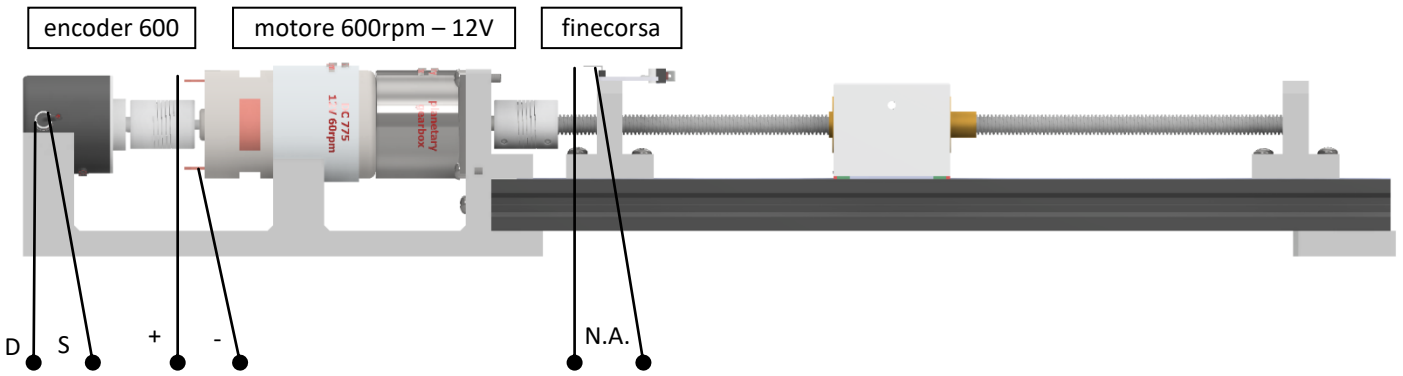
Con il PID il posizionamento si raggiunge in oltre 3 secondi con una  $a=-26 \text{ mm/s}^2$



Senza integrale e derivata dell' errore il posizionamento si raggiunge in oltre 4 secondi con una  $a=-33 \text{ mm/s}^2$

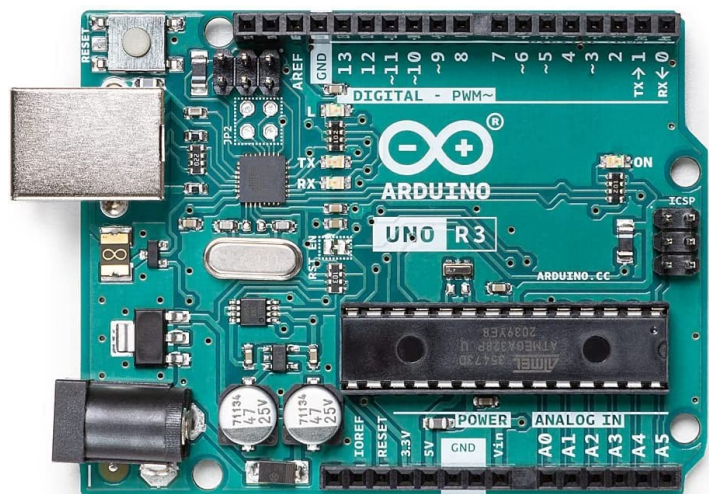
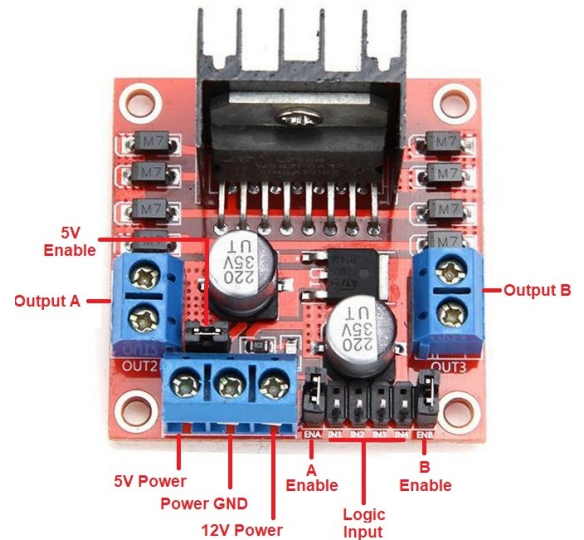
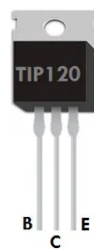
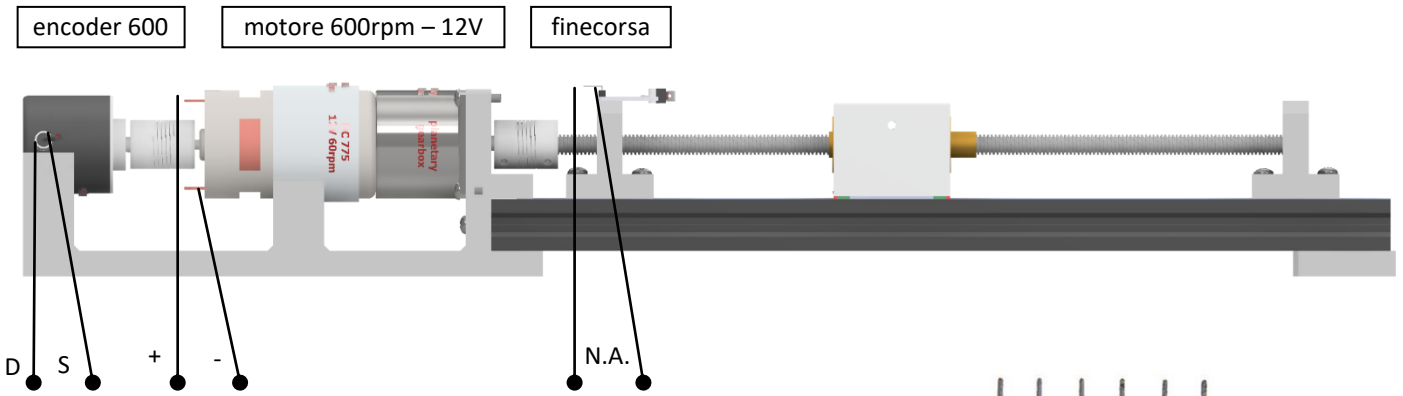


## SCHEMA SISTEMA DI CONTROLLO POSIZIONE CON ARDUINO E TRANSISTOR DI POTENZA TIP120



- Completare lo schema del sistema di controllo.
- Dimensionare eventuali componenti mancanti.
- Utilizzare il finecorsa meccanico N.A. come un semplice pulsante in modalità PULL-UP (0 se premuto).
- Scrivere il programma Arduino che implementa il sistema di controllo proporzionale della posizione.
- Ipotizzare che all'accensione la guida si trovi nella posizione  $X=0$  (finecorsa premuto).

## SCHEMA SISTEMA DI CONTROLLO CON TRANSISTOR DI POTENZA TIP120 E PONTE H L298N



- Completare lo schema del sistema di controllo.
- Dimensionare eventuali componenti mancanti.
- Utilizzare il finecorsa meccanico N.A. come un semplice pulsante in modalità PULL-UP (0 se premuto).
- Scrivere il programma Arduino che implementa il sistema di controllo proporzionale della posizione.
- All'accensione la guida deve essere portata nella posizione X=0 (finecorsa premuto).

## CONTROLLO IN POSIZIONE E IN VELOCITA'

Lo schema usato è quello dei controllori in cascata.

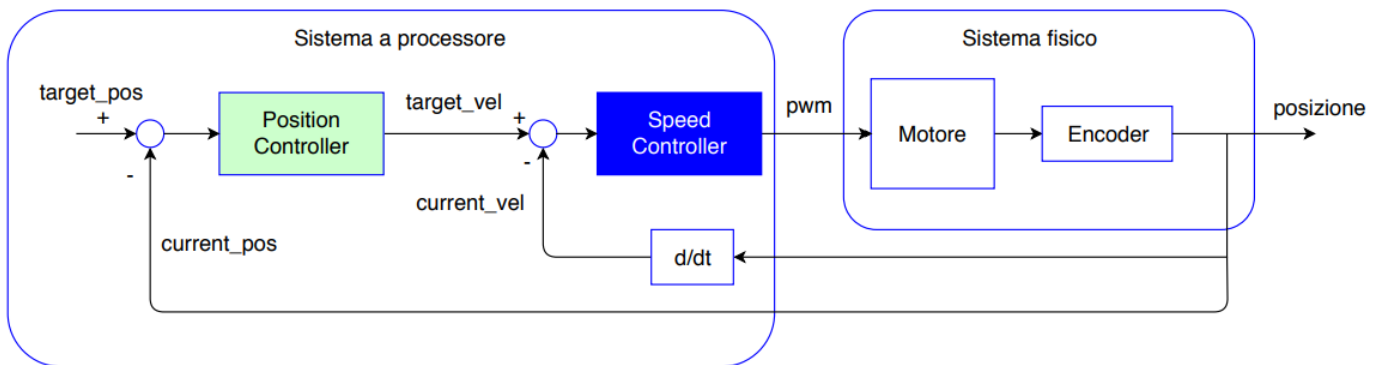
Un controllore di posizione più esterno (outer loop) fornisce il riferimento (di velocità) a un controllore di velocità interno (inner loop).

Concettualmente: se "siamo lontani" imponiamo una velocità alta che diminuisce man mano che ci si avvicina al target.

Praticamente usiamo un controllore proporzionale:

$$\text{target\_speed} = K_p * \text{error\_pos} = K_p * (\text{target\_pos} - \text{current\_pos}) \quad K_p = \text{coeff. proporzionale}$$

Tuttavia, oltre una certa velocità non potremo andare. Pertanto è necessario inserire una saturazione (limite sulla vel. massima).

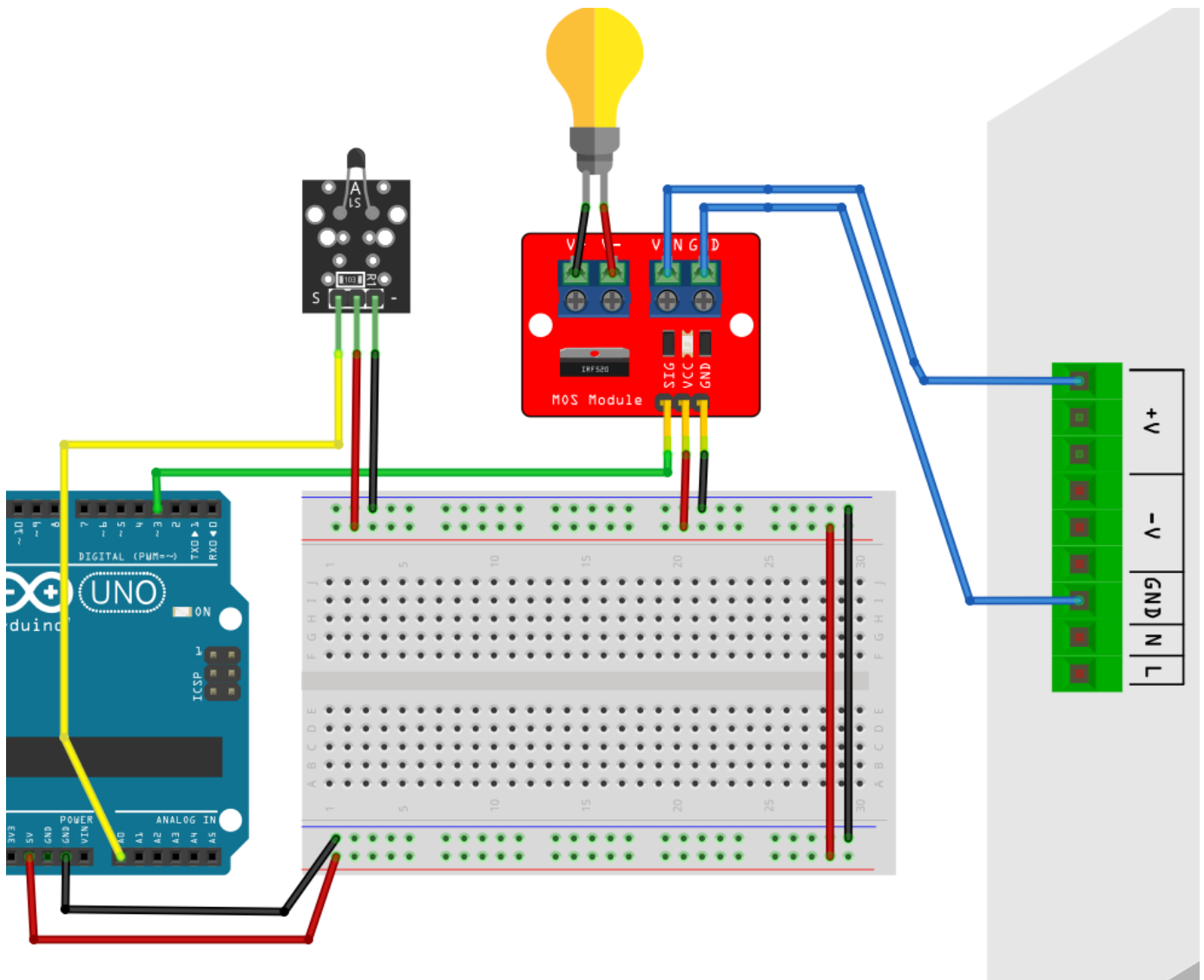


Algoritmo del sistema di controllo

```
void loop(){
  current_pos = read encoder();
  current speed =  $\Delta$ current pos  $\Delta$ t ;
  pos error = target pos - current pos;
  target speed = position controller(pos error);
  speed error = target speed - current speed;
  pwm = speed controller(speed error);
  drive motor(pwm);
  delay(  $\Delta$ t);
}
```

## CONTROLLO DI TEMPERATURA "P.I.D." CON NTC E RF520

Si vuole mantenere costante la temperatura all'interno di un recipiente coibentato.  
Come sensore si utilizza un termistore NTC (RTO: 10KΩ B: 3977 K +- 0.75% T0: 25 C +- 5%).  
Come attuttore una lampadina alogena che alimentata a 10V fornisce circa 15w di potenza elettrica.  
La lampadina viene attivata da un modulo IRF520 per arduino.  
Il tipo di controllo è un P.I.D.



CODICE

```
//Thermistor parameters: RT0: 10KΩ B: 3977 K +- 0.75% T0: 25 C +- 5%
//From datasheet
#define RT0 10000 // Ω
#define B 3977 // K
#define VCC 5 //Supply voltage
#define R 10000 //R=10KΩ
//-----

long t;
int pin_pwm=3;
int pin_T=A0;

float Tsp=43.0;
float T_misurata=20.0;
double err;
double e_pre = 0; //last error of speed
double e_sum = 0; //sum error of speed
double pwm_value = 0; //this value is 0~255

long prevT;
long currT;
float deltaT;

double kp = 200;
double ki = 6;
double kd = 0.0;

//Variables per termistore
float RT, VR, In, TX, T0, VRT;

void setup() {
  pinMode(pin_pwm, OUTPUT);
  pinMode(pin_T, INPUT);
  Serial.begin(9600);
  T0 = 25 + 273.15;
  t= millis();
}

void loop() {
  // misura T con termistore NTC
  VRT = analogRead(pin_T); // 0-1023 → tensione sul termistore
  VRT = (5.00 / 1023.00) * VRT; // converto in V
  VR = VCC - VRT; // tensione sulla resistenza R da 10K
  RT = VRT / (VR / R); // Resistenza di RT (V/I)
  In = log(RT / RT0);
  TX =1/ (ln / B + 1 / T0); //Temperature from thermistor in K
  TX = TX - 273.15; //Conversione in °C
  T_misurata = TX;
  //-----

  // misura intervallo di campionamento DeltaT
  currT = micros();
  deltaT = ((float) (currT-prevT))/1.0e6; // intervallo di tempo
  prevT = currT;

  //PID code
  err = Tsp - T_misurata; // error speed
  // calculate voltage power for R with P.I.D.
  // proportional integral derivative
  pwm_value = kp * err + ki * e_sum + kd * (err - e_pre)/ deltaT;
  e_sum += (err * deltaT); //sum of error --> integral
  e_pre = err; //save last (previous) error

  // set limit to sum of error (integral)
  if (e_sum >50) {e_sum = 50; }
  else if (e_sum <-50) {e_sum = -50; }
```

```
// set PWM limits 0-255
if(pwm_value > 255) { pwm_value = 255; }
else if(pwm_value < 0) { pwm_value = 0; }
```

```
analogWrite(pin_pwm, pwm_value);
```

```
if ( (millis()-t)>1000 ) {
t= millis();
Serial.print("T:");
Serial.print(TX);
Serial.print(",");
Serial.print("PWM%:");
Serial.print(pwm_value /255*100);
Serial.print(",");
Serial.print("err:");
Serial.println(err);
}
}
```

Con le costati PID calibrate opportunamente l'errore a regime è di +-0,1°C !!!

```
// misura intervallo di campionamento DeltaT
long currT = micros();
float deltaT = ((float) (currT-prevT))/1.0e6; // intervallo di tempo
prevT = currT;

//PID code
err = Tsp - T_misurata; // error speeded
// calculate voltage power for R with P.I.D.
// proportional integral derivative
pwm_value = kp * err + ki * e_sum + kd * (err - e_pre)/ deltaT;
e_sum += (err * deltaT); //sum of error --> integral
e_pre = err; //save last (previous) error

// set limit to sum of error (integral)
if (e_sum >50) {e_sum = 50; }
else if (e_sum <-50) {e_sum = -50; }

// set PWM limits 0-255
if(pwm_value > 255) { pwm_value = 255; }
else if(pwm_value < 0) { pwm_value = 0; }

analogWrite(pin_pwm, pwm_value);

if ( (millis()-t)>1000 ) {
t= millis();
Serial.print("T:");
Serial.print(TX);
Serial.print(",");
Serial.print("PWM%:");
Serial.print(pwm_value /255*100);
```

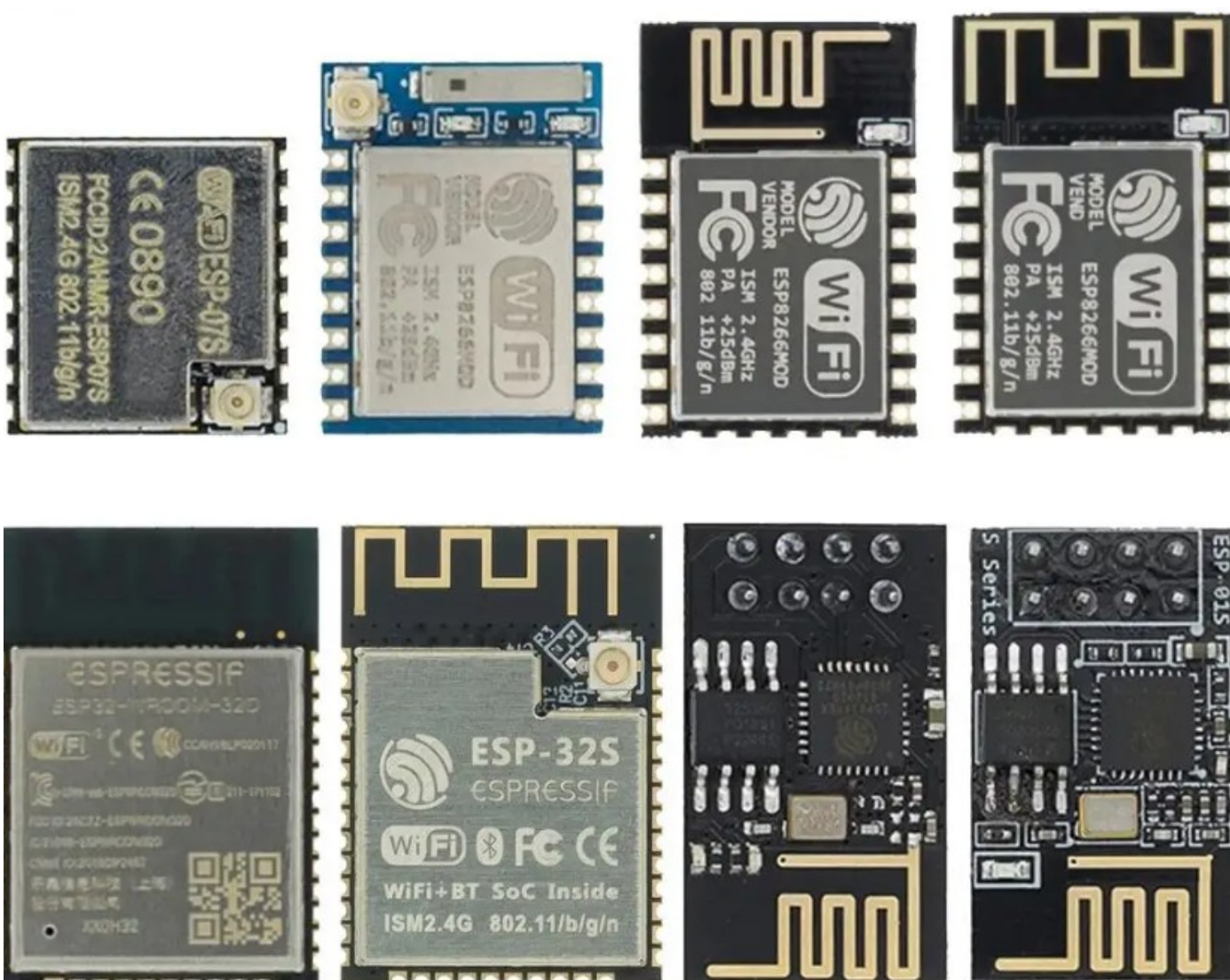
```
T:42.90,PWM%:37.00,err:0.10
T:43.01,PWM%:48.12,err:-0.01
T:43.01,PWM%:48.10,err:-0.01
T:43.12,PWM%:39.20,err:-0.12
T:43.12,PWM%:39.19,err:-0.12
T:43.12,PWM%:39.17,err:-0.12
T:42.90,PWM%:56.91,err:0.10
T:42.90,PWM%:56.90,err:0.10
T:42.90,PWM%:56.89,err:0.10
T:42.90,PWM%:56.88,err:0.10
T:43.01,PWM%:48.02,err:-0.01
T:43.01,PWM%:48.01,err:-0.01
T:42.90,PWM%:56.86,err:0.10
T:43.01,PWM%:47.99,err:-0.01
T:43.01,PWM%:47.96,err:-0.01
T:43.12,PWM%:39.05,err:-0.12
T:42.90,PWM%:56.79,err:0.10
T:42.90,PWM%:56.80,err:0.10
T:43.01,PWM%:47.92,err:-0.01
T:42.90,PWM%:56.77,err:0.10
T:43.01,PWM%:47.91,err:-0.01
T:43.01,PWM%:47.90,err:-0.01
T:43.12,PWM%:39.00,err:-0.12
T:43.01,PWM%:47.88,err:-0.01
T:42.90,PWM%:56.74,err:0.10
T:43.01,PWM%:47.86,err:-0.01
T:43.01,PWM%:47.86,err:-0.01
T:43.01,PWM%:47.86,err:-0.01
T:43.01,PWM%:47.84,err:-0.01
T:43.12,PWM%:38.94,err:-0.12
T:43.01,PWM%:47.82,err:-0.01
T:43.01,PWM%:47.82,err:-0.01
T:43.01,PWM%:47.82,err:-0.01
```

L'ESP32 è una scheda elettronica integrata (SoC) sviluppata da Espressif Systems. È un chip a basso costo e ad alte prestazioni che offre una varietà di funzionalità, tra cui:

- Processore dual core a 32 bit con clock fino a 240 MHz
- Wi-Fi 802.11 b/g/n,
- Bluetooth 5.0,
- 25 piedini GPIO,
- Supporto per sensori e periferiche.

Per quanto riguarda gli utilizzi possibili, L'ESP32 è una piattaforma che può essere utilizzata per una varietà di applicazioni:

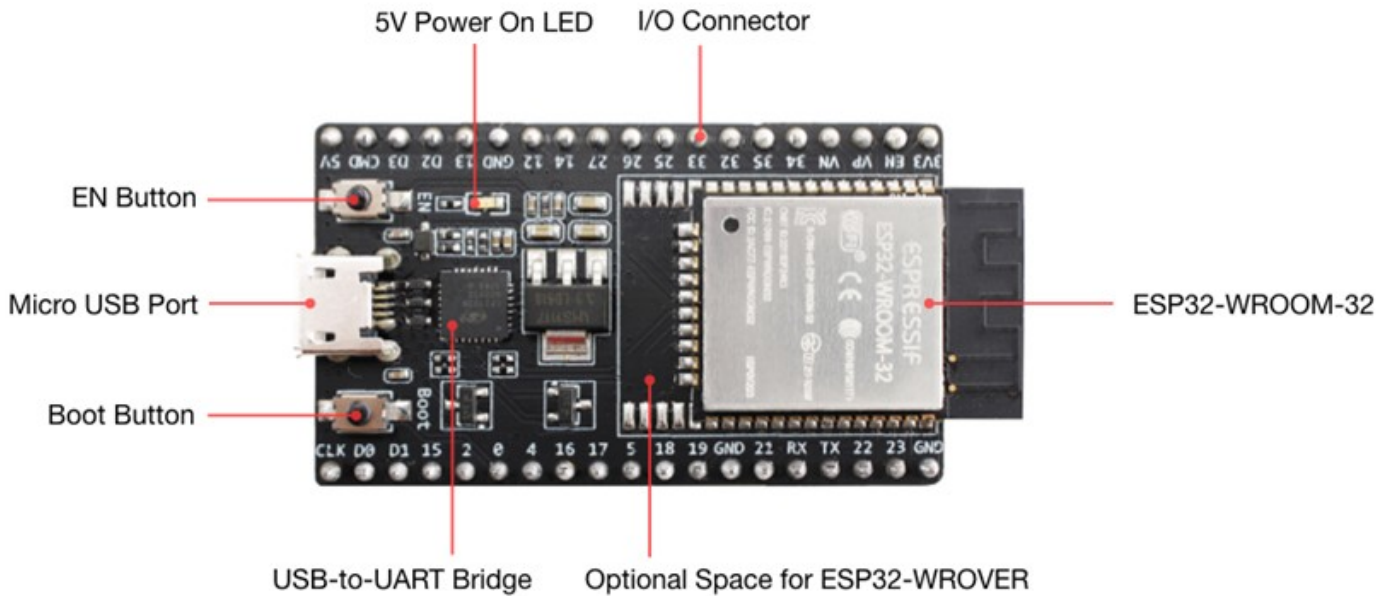
- Internet delle cose (IoT)
- Dispositivi indossabili
- Giochi e intrattenimento
- Sistemi di automazione e controllo



## LA SCHEDA DI SVILUPPO DEVKITC

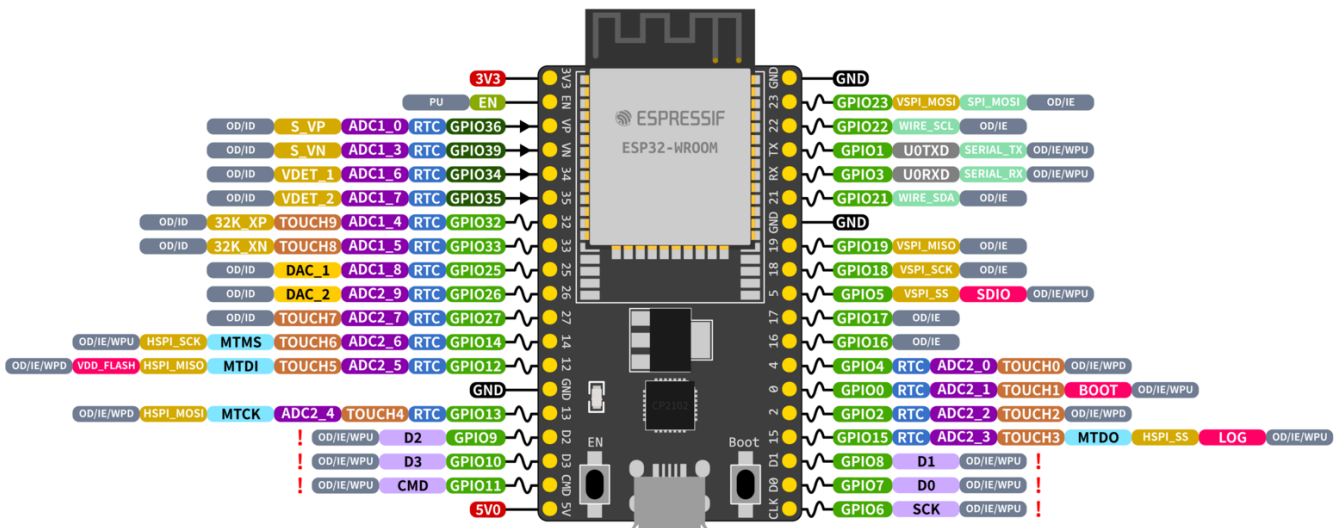
L'ESP32 è un chip versatile ed ampiamente adottato dalla industria "automotive" per esempio, ma per essere usato da hobbysti e programmatori ha bisogno di una scheda di sviluppo che fornisca la alimentazione e la connessione seriale.

Il piccolo chip che provvede alla alimentazione si chiama AMS1117 e lo vedi nella foto al centro della scheda, vicino al bridge UART.



La piedinatura del modulo ESP32 WROOM

## ESP32-DevKitC



### ESP32 Specs

32-bit Xtensa® dual-core @240MHz  
 Wi-Fi IEEE 802.11 b/g/n 2.4GHz  
 Bluetooth 4.2 BR/EDR and BLE  
 520 KB SRAM (16 KB for cache)  
 448 KB ROM  
 34 GPIOs, 4x SPI, 3x UART, 2x I2C,  
 2x I2S, RMT, LED PWM, 1 host SD/eMMC/SDIO,  
 1 slave SDIO/SPI, TWAI®, 12-bit ADC, Ethernet

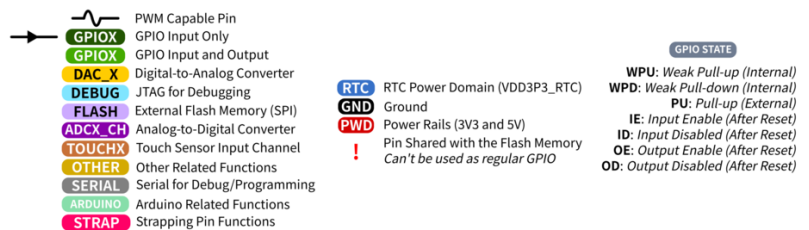


immagine della piedinatura del modulo ESP32 WROOM

Come potete vedere dall'immagine sopra del diagramma di piedinatura del modulo ESP32 WROOM, tutti i diversi tipi di pin sono menzionati in diversi colori e sono raggruppati per utilizzo. Molti piedini possono compiere diverse funzioni.

## I pin digitali

L'ESP32 ha un totale di 34 pin digitali. Questi pin sono simili ai pin digitali Arduino che consentono di aggiungere display a LED, display OLED, sensori, pulsanti, cicalini, ecc. ai nostri progetti.

La maggior parte di questi pin supporta anche l'uso di pull-up interno (in sostanza una resistenza da 10 KOhm). Ciò li rende ideali per il collegamento di pulsanti e tastiere a matrice, e per controllare gruppi di LED.

Il modulo WROOM ESP32 ha 25 pin GPIO e la corrente massima assorbita per un singolo GPIO è 40mA secondo la sezione "Condizioni operative consigliate" nella scheda tecnica dell'ESP32.

### Come settare i pin digitali in "OUTPUT"

È possibile utilizzare i pin GPIO in OUTPUT per controllare qualsiasi cosa, da dispositivi con minimo assorbimento come un LED, fino a dispositivi di elevato wattaggio utilizzando dei relay o dei tiristori. Facciamo l'esempio classico in cui vogliamo accendere e spegnere un LED esterno, ovviamente aggiungendo una resistenza di 330 Ohm!

Prima di tutto, è necessario definire il pin GPIO per operare in modalità di output nella funzione "setup()" e useremo la funzione Arduino "pinMode()" come mostrato di seguito:

```
pinMode(GPIO_pin, OUTPUT);
```

Quindi puoi settare il pin HIGH o LOW per cambiarne lo stato digitale. Puoi accendere il LED scrivendo HIGH o 1: Vengono interpretati allo stesso modo.

Per spegnerlo ovviamente puoi scrivere un LOW o 0. In entrambi i casi si utilizza la funzione Arduino "digitalWrite()" come vedi in basso:

- digitalWrite(GPIO\_pin, HIGH); // Accendi il LED
- digitalWrite(GPIO\_pin, LOW); // Spegni il LED

### Come settare i pin digitali in "INPUT"

I pin dell'ESP32 possono essere usati in modalità di INPUT per leggere segnali digitali esterni. I segnali possono provenire da vari dispositivi come un piccolo pulsante, un sensore di prossimità digitale o magari un sensore di gas digitale.

Proprio come per la modalità di OUTPUT, è necessario prima definire il pin GPIO usando la funzione Arduino "pinMode()" come mostrato di seguito:

```
pinMode(GPIO_pin, INPUT);
```

Supponiamo di volere leggere un normale tast: Dopo il collegamento elettrico, possiamo leggere il segnale usando la funzione Arduino "digitalRead()" come nella riga successiva.

```
BTN_State = digitalRead(GPIO_pin);
```

E' questo è tutto! Come vedi la libreria di Arduino trasforma la intera operazione in una singola riga di codice. Il problema, casomai, potrebbe nascere dal punto di vista elettrico perchè il tasto potrebbe richiedere una resistenza di "pull-up" o "pull-down" per stabilizzare la tensione letta dal GPIO del controller.

Lasciare il pin di ingresso digitale fluttuante è una pratica estremamente "scorretta": l'ESP32 rileverà molto rumore elettrico e la unità di lettura del chip potrebbe non distinguere tra la tensione a 0 o 1. La soluzione consiste nell'inserire una resistenza da 10 kOhm tra il pin di GPIO e la alimentazione (+3.3V). In questo caso parliamo di resistenza di "pull-up".

Alcuni pin dell'ESP32 sono già forniti di una resistenza di "pull-up" e non necessitano di alcuna resistenza aggiuntiva:

Pin con INPUT\_PULL-UP (dispongono di una resistenza di 10KOhm):

- GPIO14
- GPIO16
- GPIO17
- GPIO18
- GPIO19
- GPIO21
- GPIO22
- GPIO23

Altri pin invece non ne sono dotati e richiedono una resistenza esterna:

- GPIO13
- GPIO25
- GPIO26
- GPIO27
- GPIO32
- GPIO33

I pin analogici

Alcuni dei pin elencati nel diagramma di ESP32 possono essere utilizzati per interagire con sensori analogici, come i classici pin analogici di Arduino.

I pin analogici dell'ESP32 hanno una risoluzione di 12 bit (0-4096). Se la tensione osservata è 0 il valore rilevato dalla CPU è 0. Se la tensione arriva sul pin a 3,3V il valore rilevato diventa 4096.

Questi i pin di ingresso analogico:

- ADC1\_CH0 (GPIO 36)
- ADC1\_CH1 (GPIO 37)
- ADC1\_CH2 (GPIO 38)
- ADC1\_CH3 (GPIO 39)
- ADC1\_CH4 (GPIO 32)
- ADC1\_CH5 (GPIO 33)
- ADC1\_CH6 (GPIO 34)
- ADC1\_CH7 (GPIO 35)
- ADC2\_CH0 (GPIO 4)
- ADC2\_CH1 (GPIO 0)
- ADC2\_CH2 (GPIO 2)
- ADC2\_CH3 (GPIO 15)
- ADC2\_CH4 (GPIO 13)
- ADC2\_CH5 (GPIO 12)
- ADC2\_CH6 (GPIO 14)
- ADC2\_CH7 (GPIO 27)
- ADC2\_CH8 (GPIO 25)
- ADC2\_CH9 (GPIO 26)

## COME COLLEGARE UN SENSORE ELETTRONICO AD ESP32

Per essere collegato ad ESP32, un sensore elettronico deve avere le seguenti caratteristiche:

**Tensione di alimentazione compatibile:** Il sensore dovrebbe in linea di massima usare la stessa tensione di alimentazione di ESP32, che è di 3,3V. Se il sensore richiede una tensione diversa, è necessario utilizzare un convertitore di tensione. In genere i convertitori di tensione sono dei dispositivi molto economici ma la loro presenza tende a complicare il progetto complessivo. Nel dubbio sarebbe meglio evitare sensori con alimentazione fuori dal range 3.3~5.0 V.

**Livello di segnale ben definito:** Il sensore deve fornire segnali digitali o analogici compatibili con l'ESP32. Per i segnali digitali, il sensore deve utilizzare una tensione di 3,3V per indicare "1" e 0V per indicare "0". Per i segnali analogici, il sensore deve fornire una tensione compresa tra 0V e 3,3V che rappresenta il valore misurato. Segnali fuori range possono danneggiare i pin GPIO usati come input. Al contrario segnali troppo bassi o oscillanti richiedono delle resistenze di "pull-up" o "pull-down".

### I CANALI DI COMUNICAZIONE DISPONIBILI

Il sensore deve utilizzare un'interfaccia di comunicazione compatibile con l'ESP32, come:

#### **I2C: Interfaccia di comunicazione seriale a due fili.**

L'I2C (Inter-Integrated Circuit) è un'interfaccia di comunicazione seriale sincrona a due fili utilizzata per collegare dispositivi a un microcontrollore, come l'ESP32. I due fili sono: SDA (Serial Data): Bidirezionale per la trasmissione e la ricezione di dati. SCL (Serial Clock): Fornisce un segnale di clock per sincronizzare la comunicazione.

#### **SPI: Interfaccia di comunicazione seriale a quattro fili.**

SPI (Serial Peripheral Interface) è un'interfaccia di comunicazione seriale sincrona a quattro fili utilizzata per collegare dispositivi a un microcontrollore, come l'ESP32. I quattro fili di SPI sono: MOSI (Master Out Slave In): Il master invia dati allo slave. MISO (Master In Slave Out): Lo slave invia dati al master. SCK (Serial Clock): Il master fornisce un segnale di clock per sincronizzare la comunicazione. SS (Slave Select): Il master seleziona lo slave con cui comunicare.

#### **UART: Interfaccia di comunicazione seriale asincrona.**

L'UART (Universal Asynchronous Receiver Transmitter) è un'interfaccia di comunicazione seriale asincrona che utilizza un solo filo per la trasmissione dati e uno per la ricezione.

GPIO: Sono i normali pin di input e output dell'ESP32 e possono leggere sia i valori dei sensori analogici quanto quelli dei sensori digitali. Un pin GPIO che legga un sensore digitale è la situazione più semplice per collegare un sensore. Sensori come il sensore DHT11 ricadono in questa casistica.

### LE LIBRERIE DI COMUNICAZIONE SOFTWARE PER ESP32

#### **I2C:**

Libreria Wire: Libreria ufficiale Espressif per la comunicazione I2C. Semplice da usare e compatibile con la maggior parte dei dispositivi I2C. Adafruit\_I2C: Libreria Adafruit con molte funzioni avanzate per la comunicazione I2C, come la scansione dei dispositivi e la gestione di più bus I2C.

#### **SPI:**

Libreria SPI: Libreria ufficiale Espressif per la comunicazione SPI. Semplice da usare e compatibile con la maggior parte dei dispositivi SPI. Adafruit\_SPIDevice: Libreria Adafruit che facilita la comunicazione con dispositivi SPI specifici, come display LCD e schede SD.

#### **UART:**

SoftwareSerial: Libreria ufficiale Espressif per la comunicazione UART software. Permette di utilizzare i pin GPIO per la comunicazione UART. HardwareSerial: Libreria ufficiale Espressif per la comunicazione UART hardware. Permette di utilizzare le porte UART integrate dell'ESP32. Librerie aggiuntive:

PubSubClient: Libreria per la comunicazione con broker MQTT. WiFiManager: Libreria per la gestione della connessione Wi-Fi. AsyncTCP: Libreria per la comunicazione TCP/IP asincrona.

## ESEMPI DI CODICE C++ PER LEGGERE I SENSORI I2C

Per leggere un sensore I2C con ESP32, è necessario seguire questi passaggi:

Collegare il sensore all'ESP32:

Collegare il pin VCC del sensore al pin 3V3 dell'ESP32. Collegare il pin GND del sensore al pin GND dell'ESP32. Collegare il pin SDA del sensore al pin SDA dell'ESP32. Collegare il pin SCL del sensore al pin SCL dell'ESP32. 2. Installare la libreria Wire:

La libreria Wire fornisce le funzioni per la comunicazione I2C. Apri l'IDE di Arduino e vai su "Strumenti > Gestisci librerie".

Cerca la libreria "Wire" e clicca su "Installa". 3. Incolla il codice seguente:

```
#include <Wire.h>

void setup() {
  // Inizializzare la comunicazione I2C
  Wire.begin();
  // Impostare indirizzo del sensore
  Wire.setI2CAddress(0x42);
}

void loop() {
  // Richiedere un byte di dati dal sensore
  uint8_t data = Wire.read();
  // Attendi un secondo
  delay(1000);
}
```

## ESEMPI DI CODICE C++ PER LEGGERE I SENSORI SPI

Per leggere dati da un dispositivo slave, è necessario utilizzare la funzione SPI.read(). Esempio di codice per utilizzare SPI con ESP32:

```
#include <SPI.h>

void setup() {
  // Configura i pin SPI
  SPI.begin(SCK, MISO, MOSI, SS);
  // Imposta la velocità di clock
  SPI.setFrequency(
  // Inizializza la comunicazione SPI
  SPI.beginTransaction();
}

void loop() {
  // Scrivi i dati su un dispositivo slave
  SPI.write(0x55);
  // Leggi i dati da un dispositivo slave
  uint8_t data = SPI.read();
}
```

### Come leggere i valori che giungono dalla interfaccia UART

Collegare il dispositivo UART all'ESP32. Collegare il pin TX del dispositivo UART al pin RX dell'ESP32. Collegare il pin RX del dispositivo UART al pin TX dell'ESP32. Collegare il pin GND del dispositivo UART al pin GND dell'ESP32. 2. Configurare la comunicazione UART:

Apri l'IDE di Arduino e vai su "Strumenti > Porta". Seleziona la porta seriale a cui è collegato il dispositivo UART. Imposta il "baud rate" della porta seriale. Il baud rate deve essere compatibile con il dispositivo UART. 3. Incolla il codice:

```
#include <SoftwareSerial.h>
SoftwareSerial mySerial(RX, TX);

void setup() {
  // Inizializza la comunicazione UART
  mySerial.begin(9600);
}

void loop() {
  // Controlla se ci sono dati disponibili
  if (mySerial.available()) {
    // Leggi un byte di dati
    uint8_t data = mySerial.read();
  }

  // Attendi 1 secondo
  delay(1000);
}
```

### Come leggere i segnali attraverso i pin GPIO

Collegare il sensore all'ESP32: Collegare il pin di uscita del sensore a un pin GPIO dell'ESP32. Collegare il pin GND del sensore al pin GND dell'ESP32. Configurare il pin GPIO: Impostare il pin GPIO come input. Impostare il pin GPIO come pull-up o pull-down (opzionale).

```
// Imposta il pin GPIO come input
pinMode(GPIO_NUM, INPUT)
// Imposta il pin GPIO come pull-up
digitalWrite(GPIO_NUM, HIGH);
void setup() {
}
void loop() {
  // Leggi il valore del pin GPIO
  uint8_t value = digitalRead(GPIO_NUM);
  // Attendi un secondo
  delay(1000);
}
```

La funzione pinMode() imposta il pin GPIO come input. La funzione digitalWrite() imposta il pin GPIO come pull-up. La funzione digitalRead() legge il valore del pin GPIO.



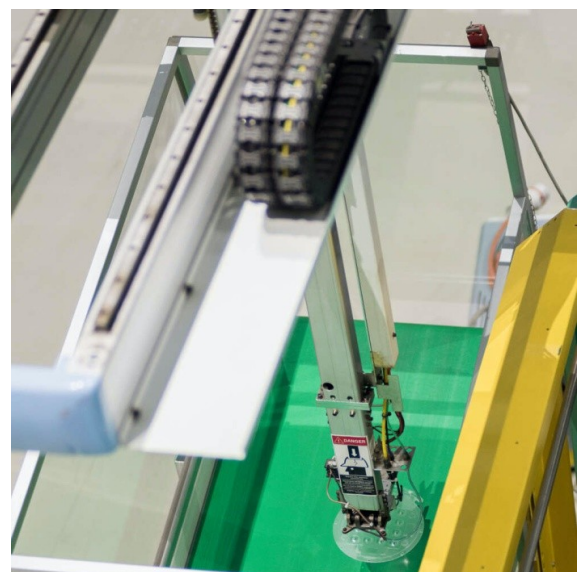
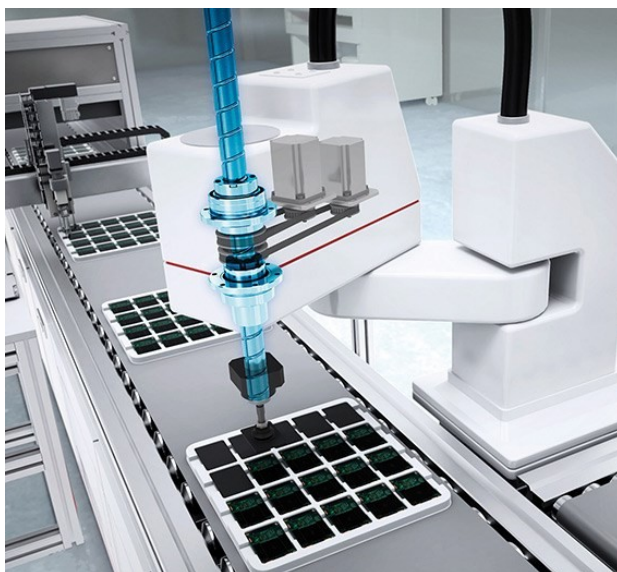
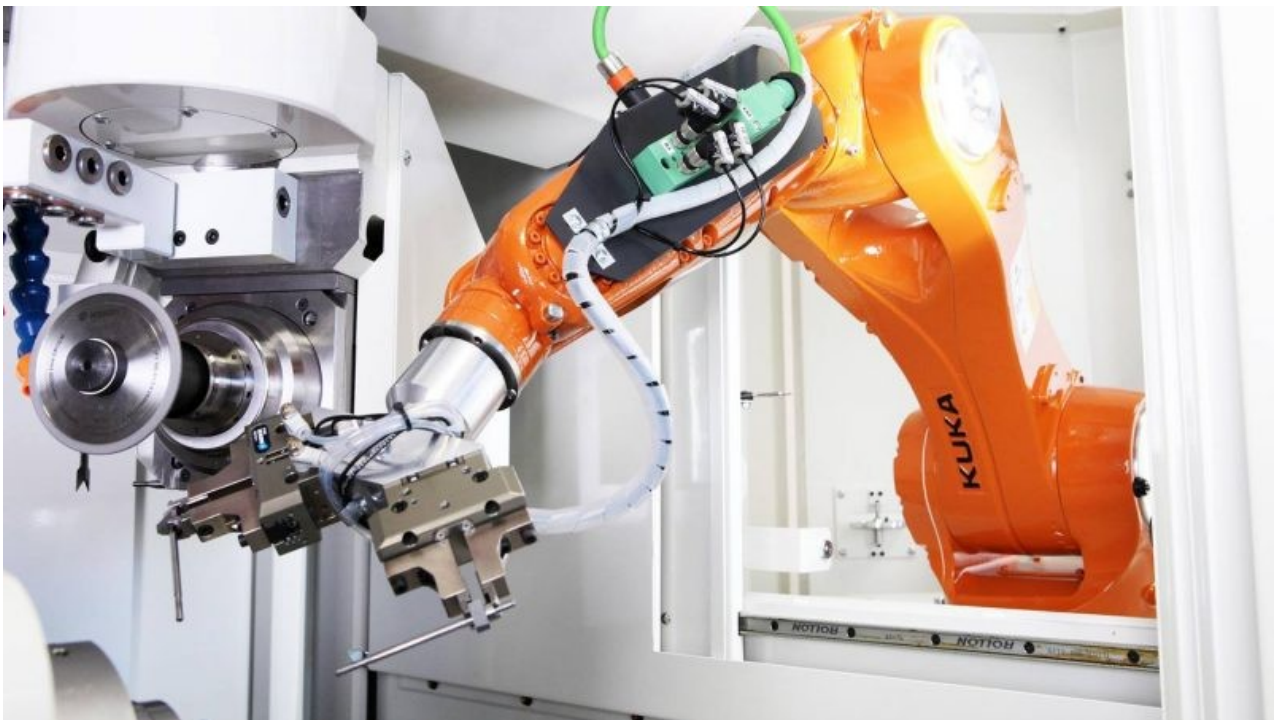
# ROBOTICA INDUSTRIALE

La robotica industriale è un settore sviluppato negli ultimi anni, che vede l'utilizzo di sistemi automatici come parte integrante del lavoro industriale. Nella robotica industriale, un sistema di automazione dunque, sostituisce un uomo nella catena di montaggio, compiendo sempre lo stesso lavoro ad un ritmo costante e frenetico.

Tutti gli strumenti meccanici progettati per compiere un determinato lavoro in autonomia rientrano a far parte della robotica industriale. Il sistema automatico nella fattispecie viene chiamato robot.

## ISO 8373

Esiste poi un'altra definizione che risale all'ISO 8373, che generalmente rappresenta il vocabolario per la materia di robotica industriale e dei robot implementati in questo settore. La definizione in questione afferma che un robot è un sistema con controllo automatico, riprogrammabile e multi-funzione, che può essere sia fisso a terra sia mobile, di tre o più assi ed il suo scopo è quello di essere utilizzato per operazioni di automazione industriale.

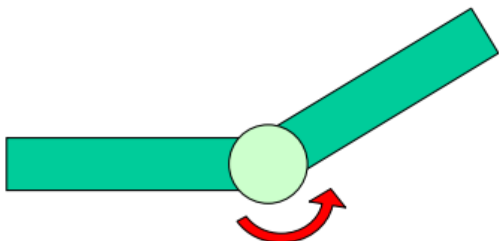


## SISTEMI ROBOTICI

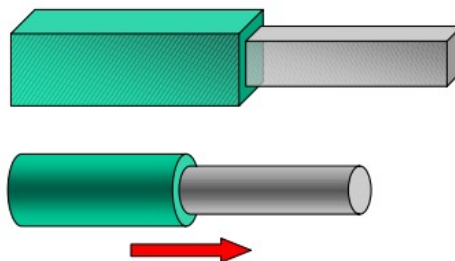
I sistemi robotici sono sistemi costituiti da un insieme di corpi rigidi (link) connessi mediante giunti rotazionali (R) o prismatici (P). Il numero di giunti indipendenti definisce i gradi di libertà del robot DOF (degrees of freedom).

### TIPI DI GIUNTO

Le tipologie principali di giunti sono due: rotazionali "R" e prismatici "P".



R = rotazionale

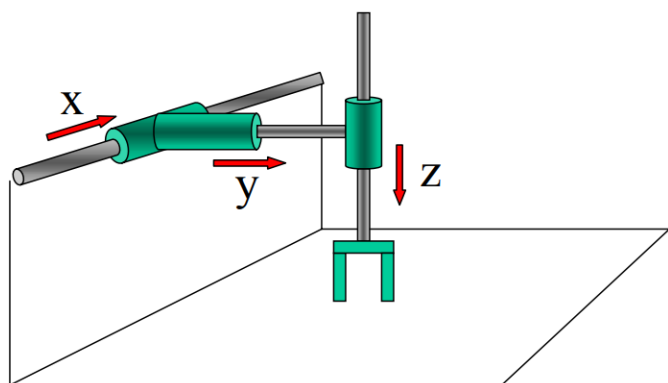


P = prismatico

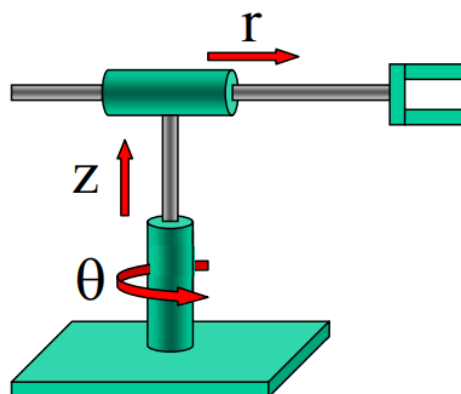
### TIPI DI ROBOT

Le tipologie principali di robot si differenziano in base al tipo di giunti adottato.

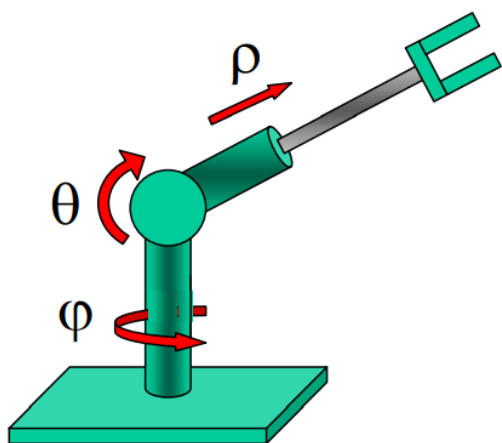
#### CARTESIANO PPP



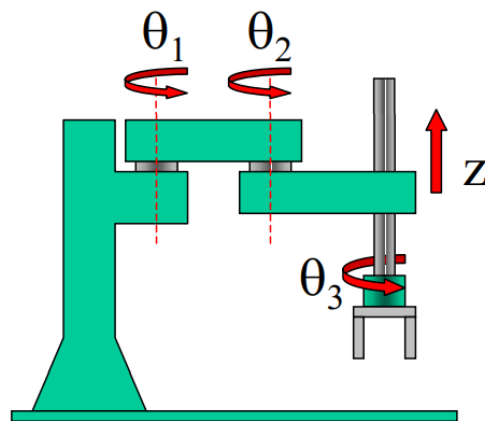
#### CILINDRICO RPP



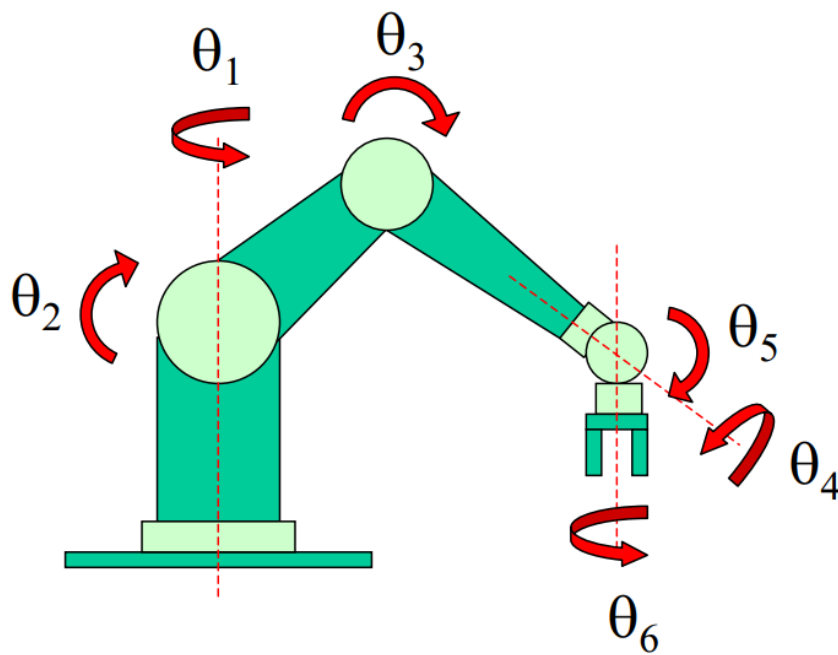
#### POLARE RRP



#### SCARA RRP



## ANTROPOMORFO RRR



## VIDEO

<https://www.youtube.com/@automazioneindustriale/videos>

[https://www.youtube.com/watch?v=PV8\\_7lgl7PE](https://www.youtube.com/watch?v=PV8_7lgl7PE)

<https://www.youtube.com/watch?v=u2BfVmmaWvk>

<https://www.youtube.com/watch?v=BLR5FoFBtal>

<https://www.youtube.com/shorts/x1fXdptiuSU>

<https://www.youtube.com/shorts/srx8h6kHS0Y>

<https://youtube.com/shorts/0Up7F0xpLy4?si=OEKDDoJUDGQxiDNJ>

<https://www.youtube.com/watch?v=UkZc3llwfSM&t=2s>

## ROBOT COLLABORATIVI (COBOT)

Robot collaborative (collaborative robot) o più semplicemente cobot.

I cobot aiutano ogni giorno gli operatori in tutte le attività pesanti o di precisione, portando nelle filiere qualità, velocità, sicurezza ed efficienza. Il tutto in un'unica soluzione.



### INDUSTRIAL ROBOTS

- Installazione difficile** (Icon: gear)
- Alte competenze a livello di programmazione** (Icon: person with gear)
- Installazioni fisse** (Icon: gear)
- Disponibilità di ampi spazi** (Icon: rectangle with arrows)
- Barriera di sicurezza necessaria** (Icon: warning triangle)
- Elevati costi addizionali** (Icon: plus sign in a circle)

V S.

### COLLABORATIVE ROBOTS

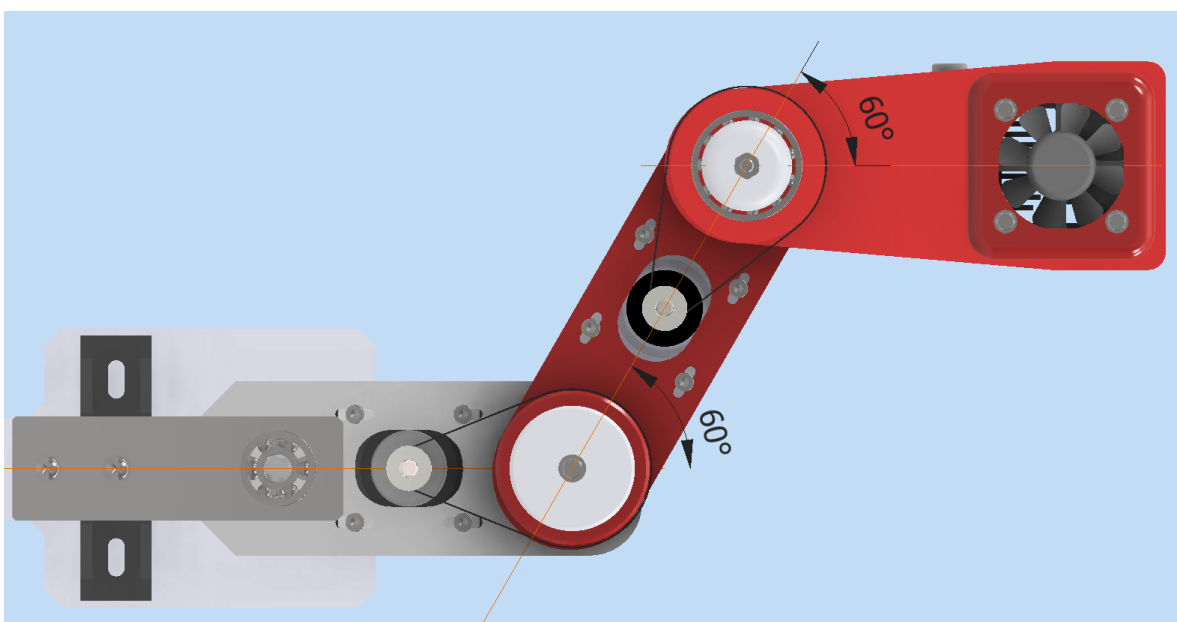
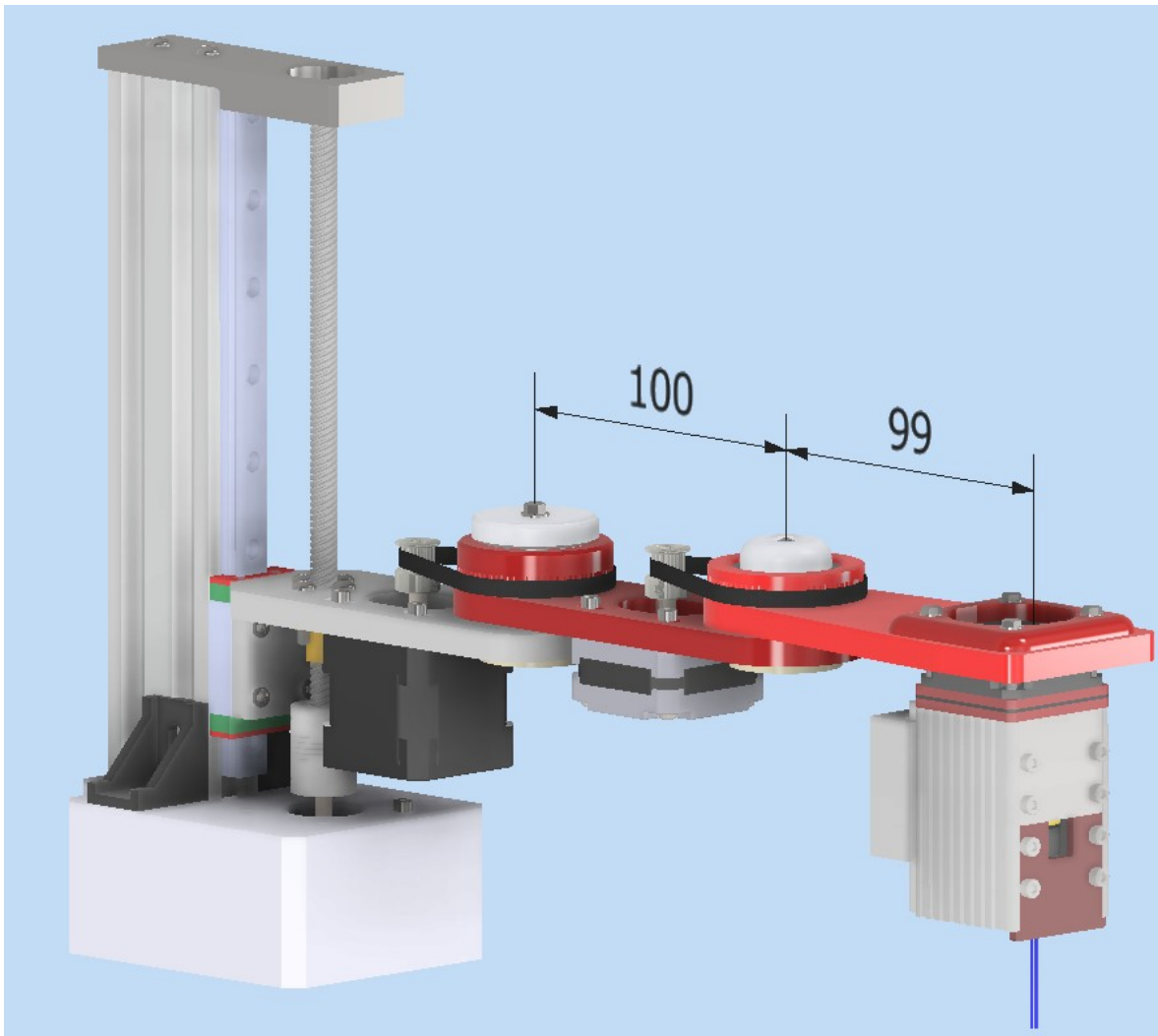
- Installazione facile** (Icon: clock)
- Possano essere programmati da chiunque** (Icon: person)
- Distribuzione flessibile** (Icon: gears)
- Requisiti di spazio ridotti** (Icon: four arrows pointing outwards)
- Collaborano fianco a fianco con gli operatori umani** (Icon: person with checkmark)
- Economicamente convenienti e con un ROI molto rapido** (Icon: stack of coins)

## ROBOT PLANARE

Un robot planare in genere presenta solo 2 gradi di libertà.

In un piano orizzontale si muovono 2 bracci articolati, incernierati ad una estremità con un asse verticale fisso, mentre all'altra estremità libera si trova l'end effector (ad es. laser).

In alcune applicazioni è previsto un terzo asse che permette un movimento lineare verticale dei 2 bracci (3 gradi di libertà).



Il PETG è un capoliestere di polietilene tereftalato trasparente: è una versione modificata di PET.

La "G" sta per "glicole modificato", che viene aggiunto alla composizione del materiale durante la polimerizzazione.

Proprietà fisiche	Valore tipico	Metodo
Peso specifico [g/cm <sup>3</sup> ]	1.27	ISO 1183
Assorbimento umidità in 24 ore [%](1)	0.2	Prusa Polymers
Assorbimento umidità in 7 giorni [%](1)	0.3	Prusa Polymers
Assorbimento umidità in 4 settimane [%](1)	0.3	Prusa Polymers
Temperatura di deflessione del calore (0,45 MPa) [°C]	68	ISO 75
Filamento di resistenza alla trazione [MPa]	46 ± 1	ISO 527

### PROPRIETÀ MECCANICHE DEI CAMPIONI DI PROVA STAMPATI

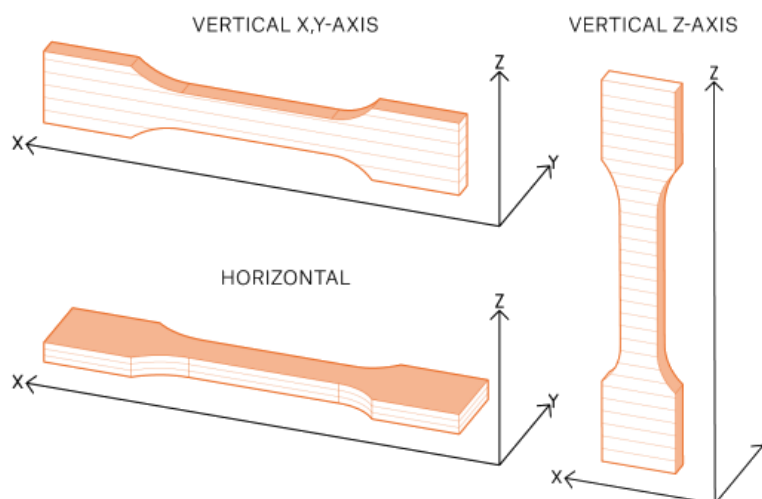
Proprietà / direzione stampa	Orizzontale	Verticale Asse-X,Y	Asse Z verticale	Metodo
Resistenza alla trazione [MPa]	47 ± 2	50 ± 1	30 ± 5	ISO 527-1
Modulo di trazione [GPa]	1.5 ± 0.1	1.5 ± 0.1	1.4 ± 0.1	ISO 527-1
Allungamento al punto di trazione [%]	5.1 ± 0.1	5.1 ± 0.1	2.5 ± 0.5	ISO 527-1
Resistenza all'urto Charpy (3)[kJ/m <sup>2</sup> ]	NB(C)(4)	NB(4)	5 ± 1	ISO 179-1

(1) 30 °C; umidità 30%

(2) La stampante 3D Original Prusa i3 MK3 è stata usata per i campioni di prova. È stato utilizzato Slic3r Prusa Edition 1.40.0 per generare i G-code con le seguenti impostazioni: Filamento Prusa PETG; Impostazioni di stampa 0,20mm FAST (layer 0,2mm); layer solidi superiori:0 Inferiori:0; Riempimento 100% Rettilineo, velocità di stampa riempimento 100mm/s; moltiplicatore estrusione 1.07; temperatura di estrusione 260°C per tutti i layer; temperatura piano 90°C per tutti i layer; altri parametri impostati come predefinito

(3) Charpy non intagliato - Direzione laterale del colpo secondo ISO 179-1

(4) NB (nessuna rottura); C (rottura completa) tra parentesi secondo tipo di guasto più frequente > 1/3



\* Modulo trazione: gradiente della curva nel diagramma sforzo-deformazione

## PETG Veralite® 200 - Scheda tecnica

PROPRIETA' FISICHE			
Proprietà	Metodo	Unità di misura	Veralite® 200
Peso specifico	ISO 1183	g/cm <sup>3</sup>	1,27
Assorbimento d'acqua	ISO 62	%	0,15
PROPRIETA' MECCANICHE			
Proprietà	Metodo	Unità di misura	Veralite® 200
Resistenza alla trazione	ISO 527	Mpa	51,5
Allungamento a rottura	ISO 527	%	> 100
Modulo di trazione	ISO 527	Mpa	± 2200
Resistenza all'urto senza intaglio	ISO 180	KJ/m <sup>2</sup>	no scoppio
Resistenza all'urto con intaglio	ISO 180	KJ/m <sup>2</sup>	9,0
Durezza Rockwell	DIN 2039	M/R	M85/R115
PROPRIETA' TERMICHE			
Proprietà	Metodo	Unità di misura	Veralite® 200
Coefficiente di dilatazione	ASTM D696	mm/mC°	± 0,060
Calore specifico	DSC	J/gC°	1,13
Temperatura di inflessione di calore (0,45 Mpa)	ISO 75	°C	72
Temperatura di inflessione di calore (1,82 Mpa)	ISO 75	°C	68
Punto di rammollimento Vicat (1kg)	ISO 306	°C	82
Punto di rammollimento Vicat (5kg)	ISO 306	°C	72
PROPRIETA' OTTICHE			
Proprietà	Metodo	Unità di misura	Veralite® 200
Trasmissione della luce	ASTMD 1003	%	86 - 90*
Satin	ASTMD 1003	%	< 1
Lucidatura	ASTMD 1003	units	159

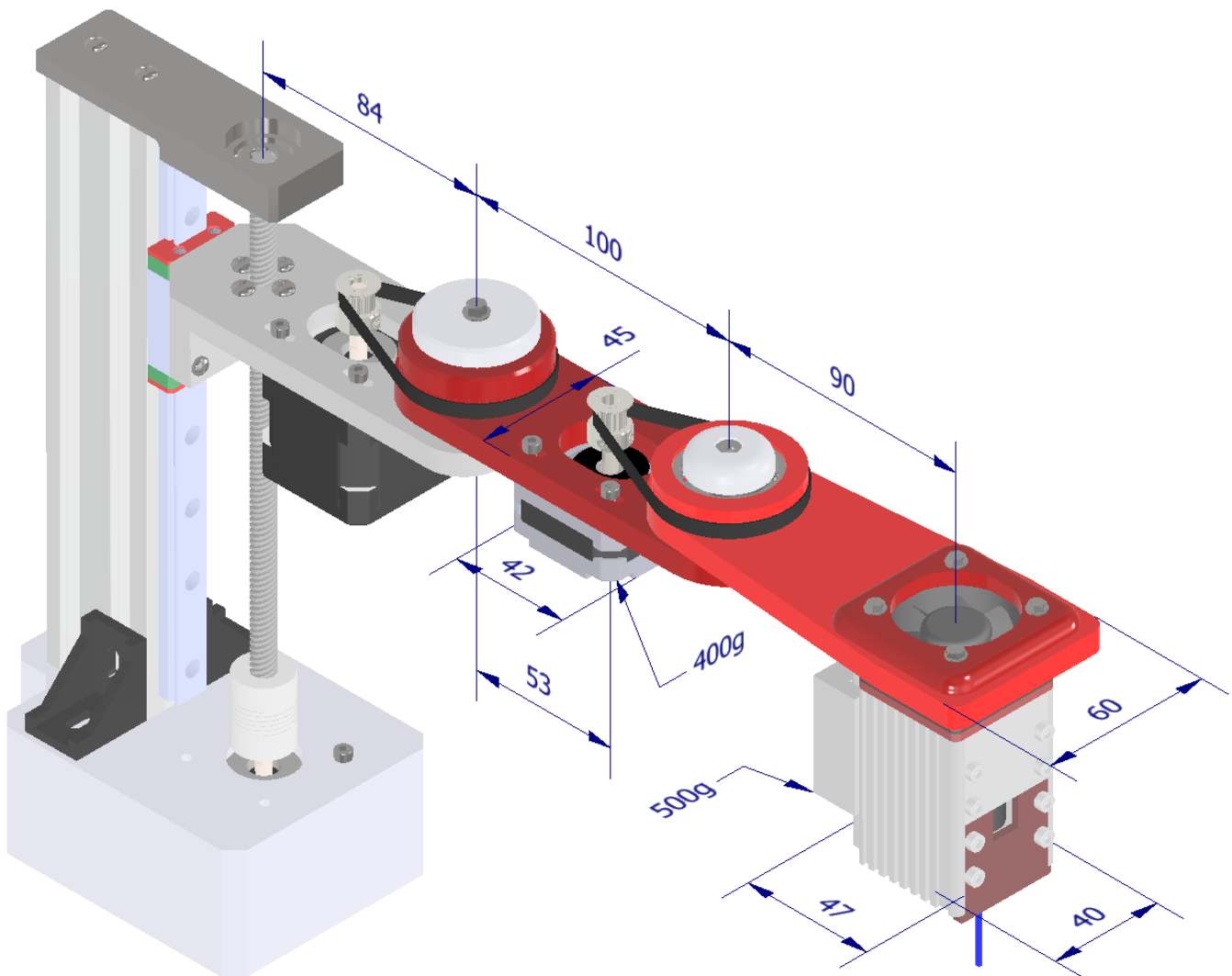
## DIMENSIONARE I LINK DEL ROBOT PLANARE ASSEGNATO

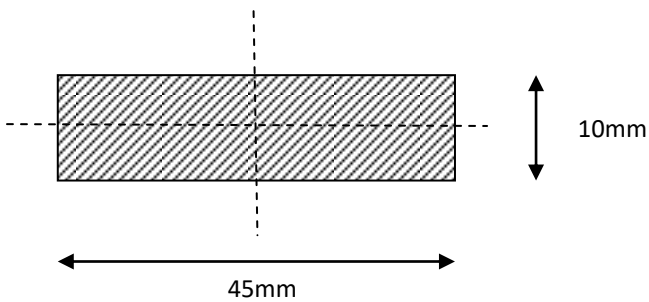
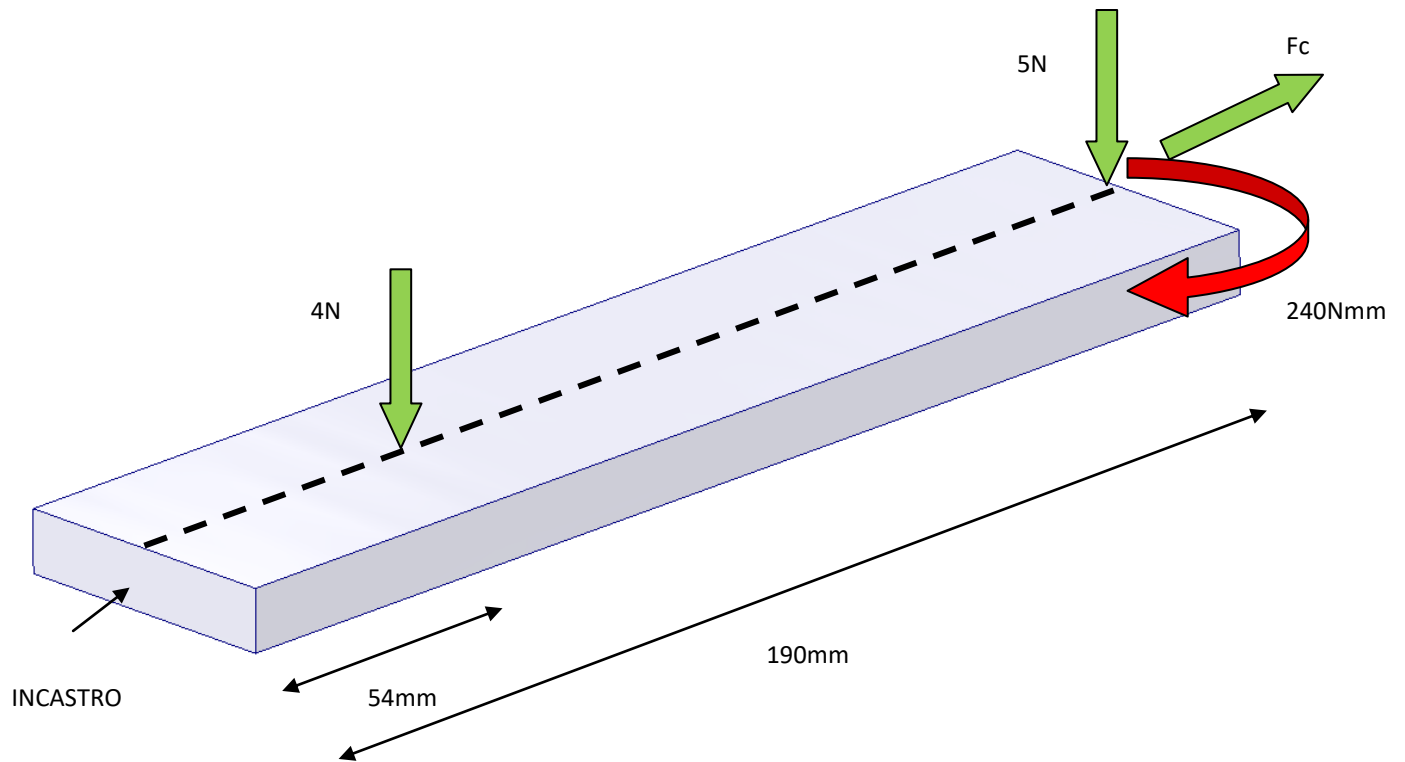
Dimensionare i link (sezione rettangolare) del robot planare assegnato sapendo che sono realizzati in material **PETG**.  
La velocità massima del motore stepper è di 1200 rpm.  
Contenere la deformazione dei link (freccia) nella posizione assegnata a 0.5mm..

Motore NEMA 17

Passo Angle 1.8 °	Coppia motrice massima 59 Nmm (83.6oz.in)
Corrente nominale/phase 2.0A	Fase Resistance 1.4ohms
Voltage 2.8V	Inductance 3.0mH ± 20%(1KHz)
Weight 400g	

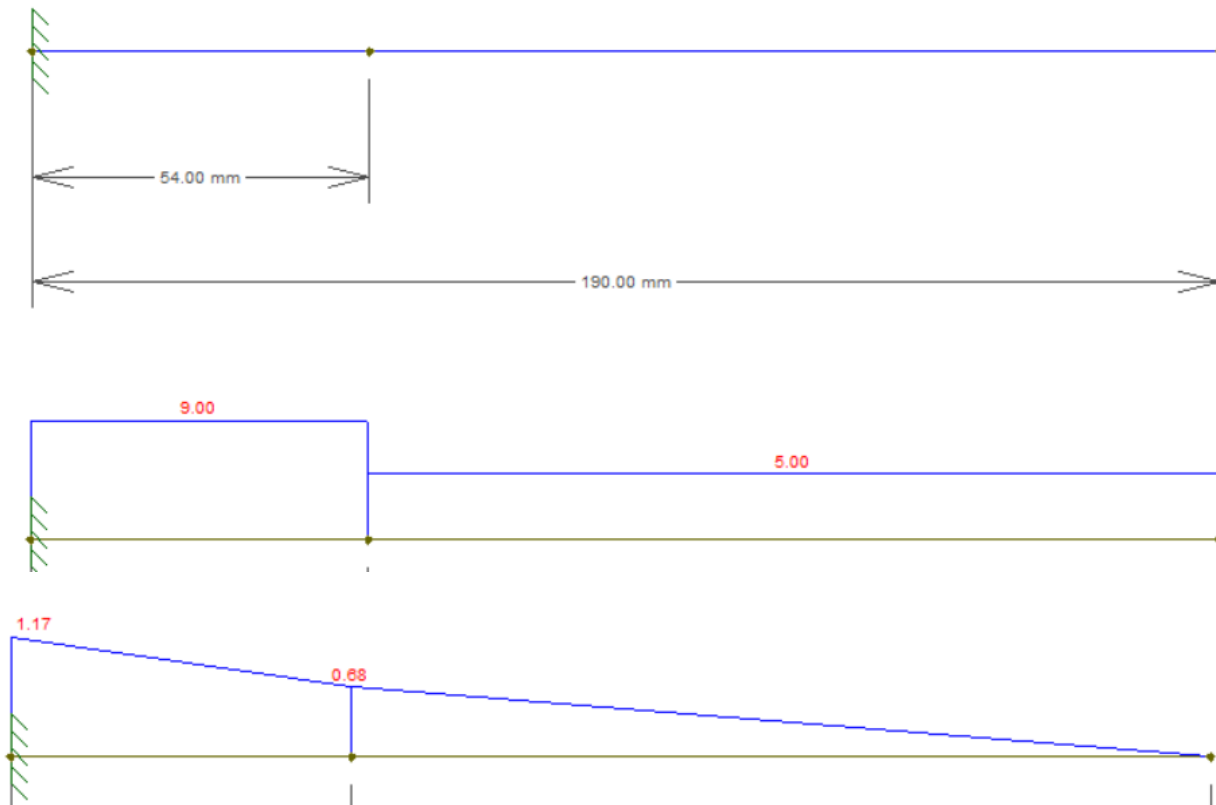
Laser 10watt: massa=500g; parallelepipedo 47x40mm





Sezione	Area della sezione A	Distanza dal baricentro a	Momento di inerzia J	Modulo di resistenza W
	cm <sup>2</sup>	cm	cm <sup>4</sup>	cm <sup>3</sup>
	$B \cdot H$	$\frac{H}{2}$	$\frac{B \cdot H^3}{12}$	$\frac{B \cdot H^2}{6}$

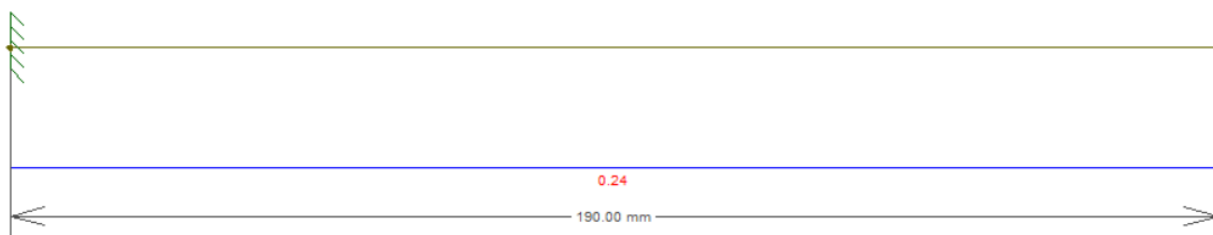
## PIANO VERTICALE: TAGLIO + FLESSIONE



$T_{max} = 9\text{ N}$

$M_f \text{ max} = 1.17\text{ Nm}$

## PIANO ORIZZONTALE

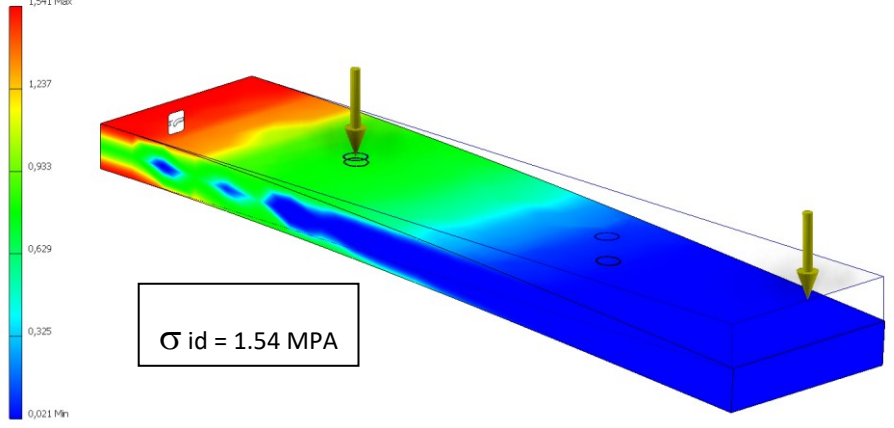


$M_f \text{ max} = 0.24\text{ Nm}$

**PETG**

R	50 N/mm <sup>2</sup>
E	2200 N/mm <sup>2</sup>
ksic. min	4,5 1,5*3
σ amm	11,11 N/mm <sup>2</sup>
τ amm	6,40 N/mm <sup>2</sup>
b	45 mm
h	10 mm
l	190 mm
l'	54 mm Nema
Wfx=bh <sup>2</sup> /6	750 mm <sup>3</sup>
Ix=bh <sup>3</sup> /12	3750 mm <sup>4</sup>
Wfy=hb <sup>2</sup> /6	3375 mm <sup>3</sup>

Tipo: Sollecitazione di Von Mises  
Unità: MPa  
25/01/2023, 13:26:16  
1,541 Max



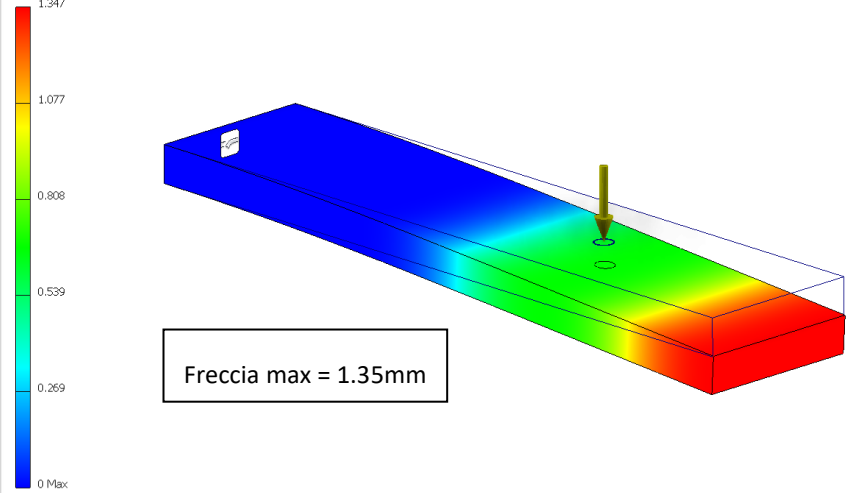
**SOLLECITAZIONI MASSIME**

Mf max	
verticale	1170 Nmm
T max verticale	9 N
Mf max orizz.	240 Nmm

**FORZA CENTRIFUGA (m\*w<sup>2</sup>\*r)**

ngiri	1200 rpm
ω	125,66 rad/s
massa Laser	0,5 Kg
Fc laser	1500,18 N
massa Nema 17	0,40 Kg
Fc motore	341,09 N

Tipo: Spostamento Y  
Unità: mm  
25/01/2023, 13:24:36  
1,347



**FLESSIONE**

σ max vert.	1,56 N/mm <sup>2</sup>
σ max orizz.	0,07 N/mm <sup>2</sup>

**TRAZIONE**

σ max	4,09 N/mm <sup>2</sup>
-------	------------------------

**SFORZO ASSIALE MASSIMO**

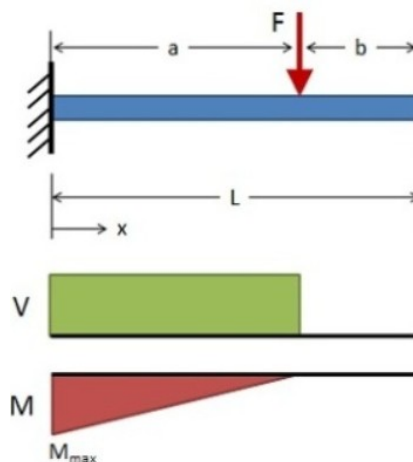
σ max tot.	5,72 N/mm <sup>2</sup>
------------	------------------------

**TAGLIO**

τ max	0,03 N/mm <sup>2</sup>
-------	------------------------

**DEFORMAZIONE ELASTICA**

F1	4,0
F2	5,0
R	9,0 N
distanza R	129,6 mm
deformazione	1,34 mm



Freccia:

$$\delta = -\frac{Fx^2}{6EI} (3a - x) \quad (0 \leq x \leq a)$$

$$\delta = -\frac{Fa^2}{6EI} (3x - a) \quad (a \leq x \leq L)$$

$$\delta_{max} = \frac{Fa^2}{6EI} (3L - a) \quad @ x = L$$

Pendenza:

$$\theta = -\frac{Fx}{2EI} (2a - x) \quad (0 \leq x \leq a)$$

$$\theta = -\frac{Fa^2}{2EI} \quad (a \leq x \leq L)$$

Taglio:

$$V = +F \quad (0 \leq x \leq a)$$

$$V = 0 \quad (a \leq x \leq L)$$

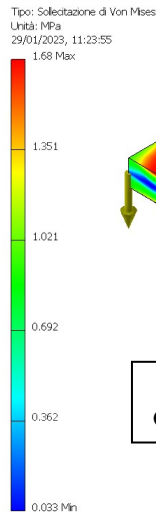
Momento flettente:

$$M = -F(a - x) \quad (0 \leq x \leq a)$$

$$M = 0 \quad (a \leq x \leq L)$$

**ALLUMINIO**

R	309,99	N/mm <sup>2</sup>
E	68899	N/mm <sup>2</sup>
ksic. min	4,5	1,5*3
σ amm	68,89	N/mm <sup>2</sup>
τ amm	39,68	N/mm <sup>2</sup>
b	45	mm
h	10	mm
l	190	mm
I'	54	mm Nema
Wfx=bh <sup>2</sup> /6	750	mm <sup>3</sup>
Ix=bh <sup>3</sup> /12	3750	mm <sup>4</sup>
Wfy=hb <sup>2</sup> /6	3375	mm <sup>3</sup>

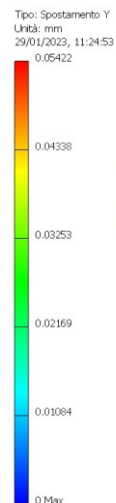


**SOLLECITAZIONI MASSIME**

Mf max	
verticale	1170 Nmm
T max verticale	9 N
Mf max orizz.	240 Nmm

**FORZA CENTRIFUGA (m\*w<sup>2</sup>\*r)**

ngiri	1200 rpm
ω	125,66 rad/s
massa Laser	0,5 Kg
Fc laser	1500,18 N
massa Nema 17	0,40 Kg
Fc motore	341,09 N



**FLESSIONE**

σ max vert.	1,56 N/mm <sup>2</sup>
σ max orizz.	0,07 N/mm <sup>2</sup>

**TRAZIONE**

σ max	4,09 N/mm <sup>2</sup>
-------	------------------------

**SFORZO ASSIALE MASSIMO**

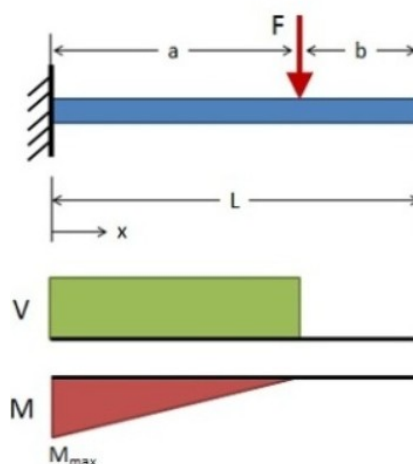
σ max tot.	5,72 N/mm <sup>2</sup>
------------	------------------------

**TAGLIO**

τ max	0,03 N/mm <sup>2</sup>
-------	------------------------

**DEFORMAZIONE ELASTICA**

F1	4,0
F2	5,0
R	9,0 N
distanza R	129,6 mm
deformazione	0,04 mm



Freccia:

$$\delta = -\frac{Fx^2}{6EI} (3a - x) \quad (0 \leq x \leq a)$$

$$\delta = -\frac{Fa^2}{6EI} (3x - a) \quad (a \leq x \leq L)$$

$$\delta_{max} = \frac{Fa^2}{6EI} (3L - a) \quad @ x = L$$

Pendenza:

$$\theta = -\frac{Fx}{2EI} (2a - x) \quad (0 \leq x \leq a)$$

$$\theta = -\frac{Fa^2}{2EI} \quad (a \leq x \leq L)$$

Taglio:

$$V = +F \quad (0 \leq x \leq a)$$

$$V = 0 \quad (a \leq x \leq L)$$

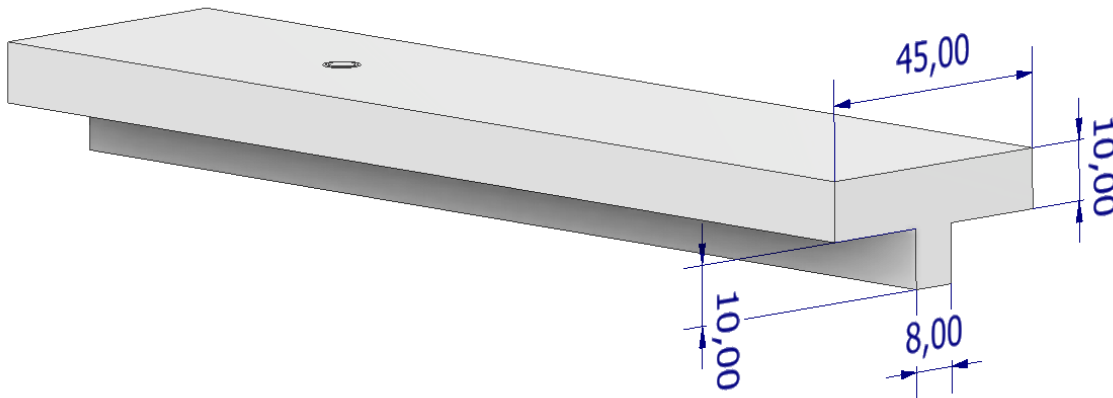
Momento flettente:

$$M = -F(a - x) \quad (0 \leq x \leq a)$$

$$M = 0 \quad (a \leq x \leq L)$$

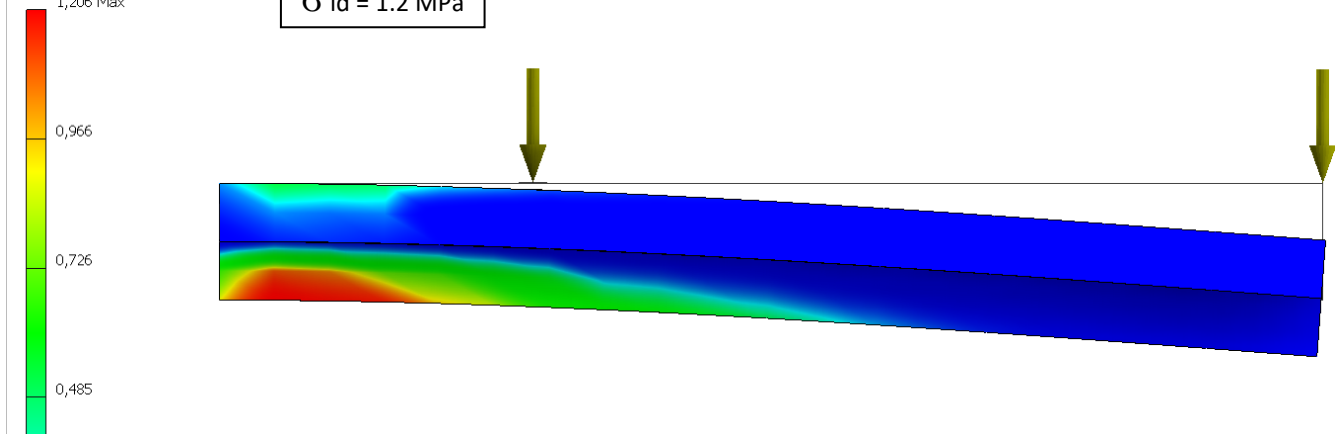
## MIGLIORARE LA RESISTENZA A DEFORMAZIONE ELASTICA TRAMITE NERVATURE LATERALI

Adottando un profilo a T si ottiene un netto miglioramento.



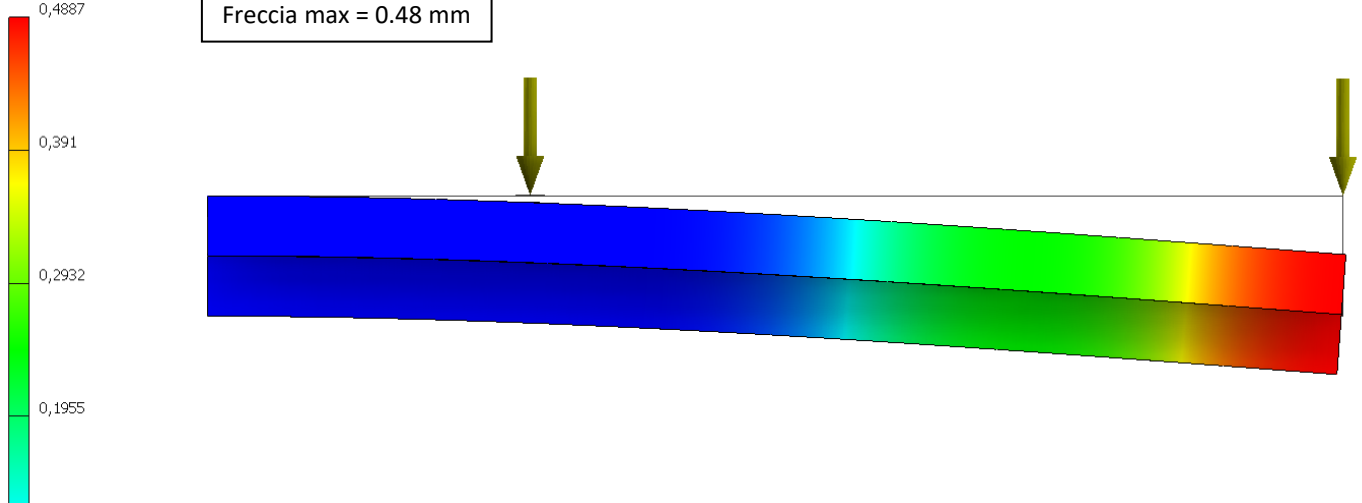
Tipo: Sollecitazione di Von Mises  
Unità: MPa  
03/02/2023, 19:15:14  
1,206 Max

$\sigma_{id} = 1.2 \text{ MPa}$



Tipo: Spostamento Y  
Unità: mm  
03/02/2023, 19:14:40  
0,4887

Freccia max = 0.48 mm



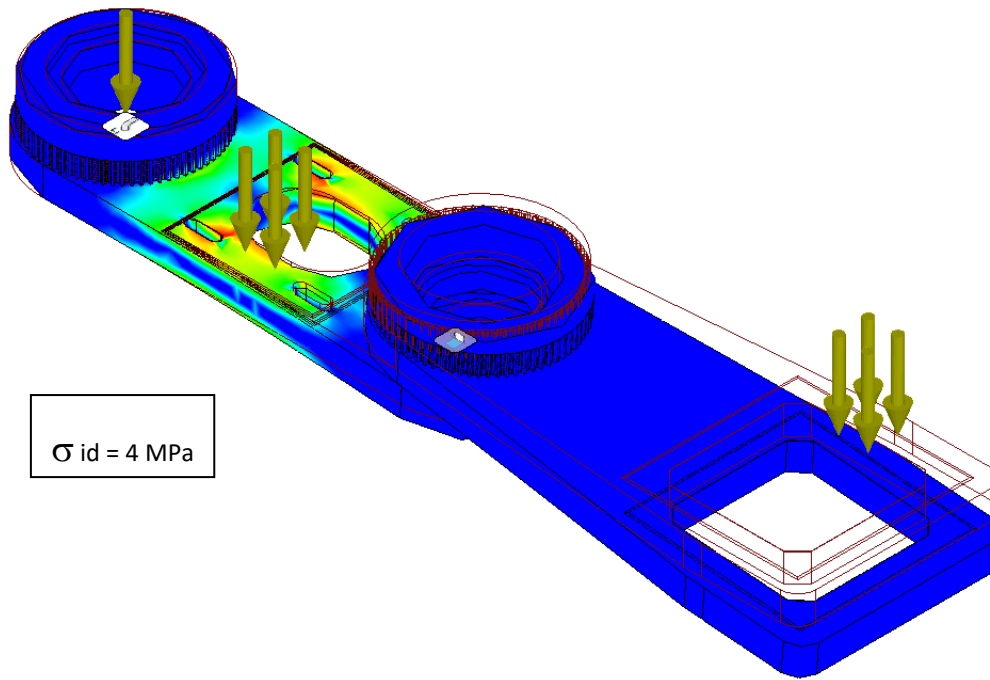
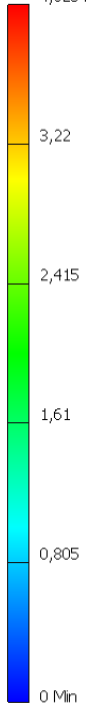
# CALCOLO SFORZI E DEFORMAZIONE SUL MODELLO EFFETTIVO IN ABS NELLA POSIZIONE DISTESA

Tipo: Sollecitazione di Von Mises

Unità: MPa

29/01/2023, 10:04:10

4,025 Max



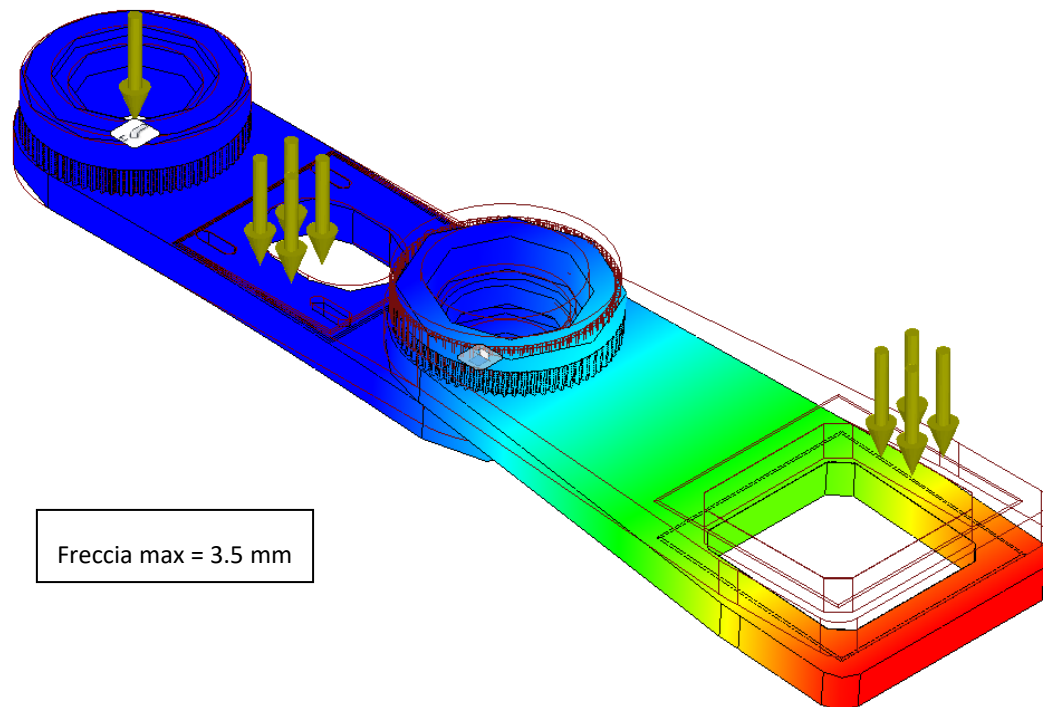
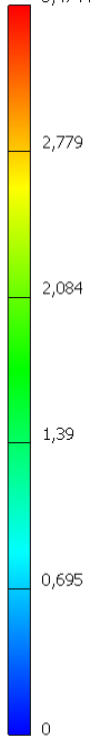
$\sigma_{id} = 4 \text{ MPa}$

Tipo: Spostamento Z

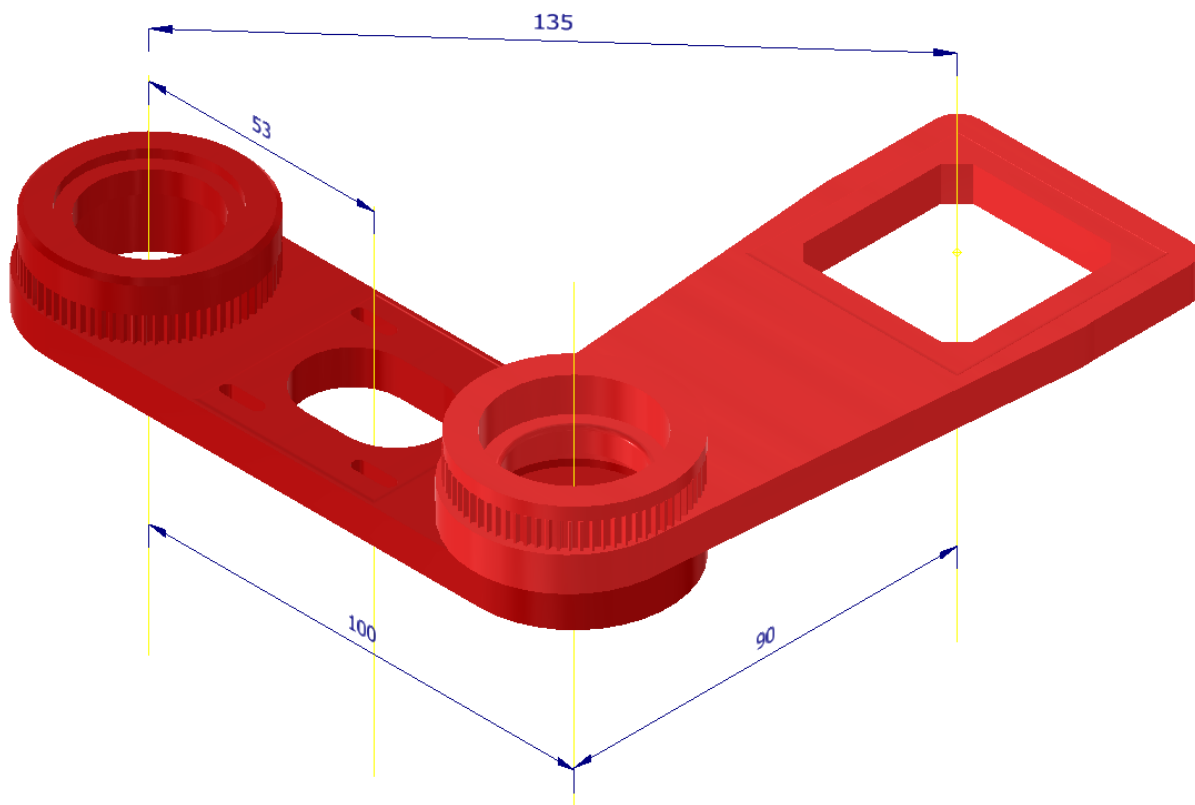
Unità: mm

29/01/2023, 10:01:43

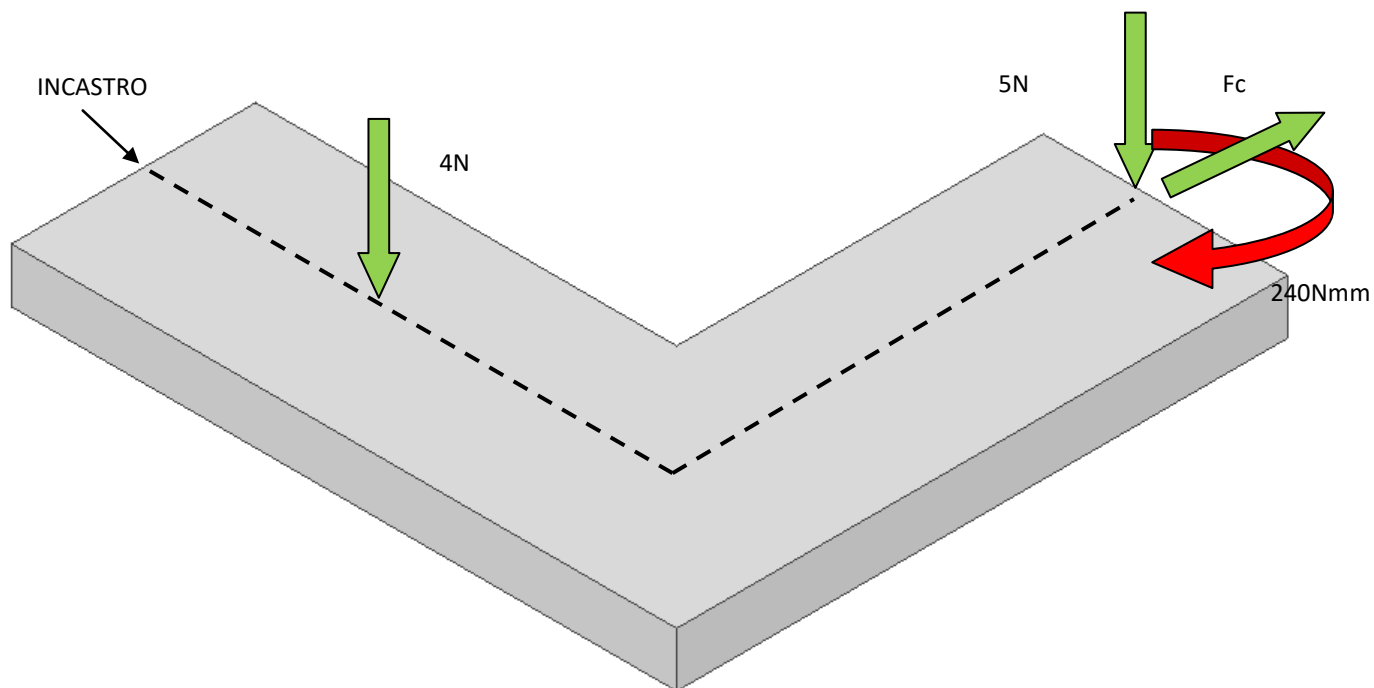
3,474 Max



Freccia max = 3.5 mm

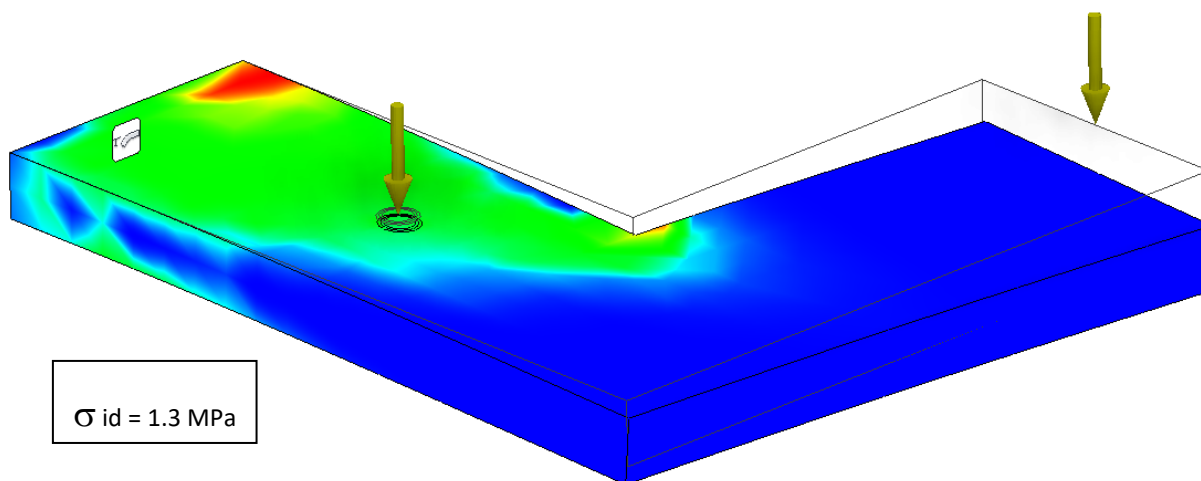
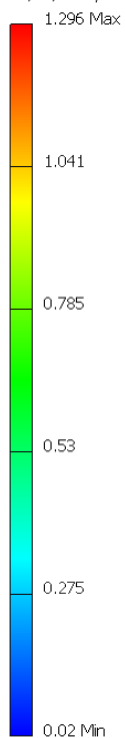


In questa posizione la forza di taglio da 5N genera anche un momento torcente nella sezione incastrata.



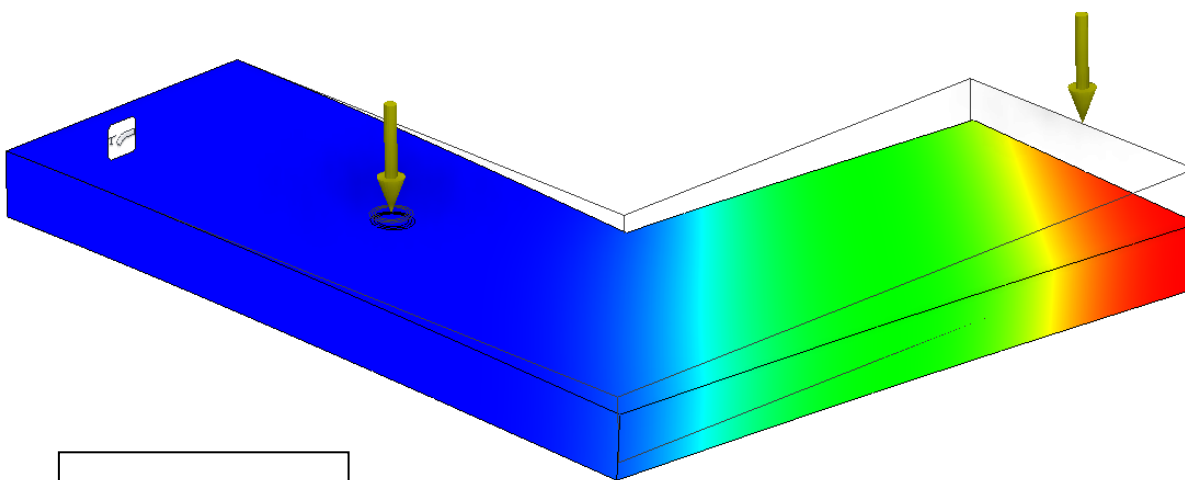
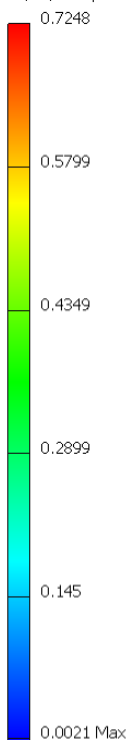
Determinare la  $\sigma_{id}$ .

Tipo: Sollecitazione di Von Mises  
Unità: MPa  
31/01/2023, 16:47:14



$\sigma_{id} = 1.3 \text{ MPa}$

Tipo: Spostamento Y  
Unità: mm  
31/01/2023, 16:26:24



Freccia max = 0.72 mm

In questa posizione la presenza di un momento torcente risulta comunque meno gravosa del momento flettente maggiore che si ha nella posizione distesa.

## CINEMATICA DEL ROBOT

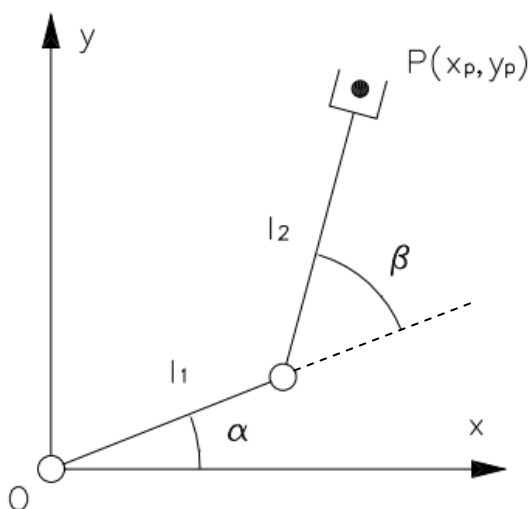
La cinematica del robot è lo studio del suo movimento prescindendo dalle cause che lo generano.

Il robot viene visto come una catena di corpi rigidi, dalla base all'end effector, connessi da giunti che consentono un singolo grado di libertà. La conoscenza del modello cinematico del robot è essenziale nei problemi di pianificazione del moto e controllo

## CINEMATICA DIRETTA DEL ROBOT PLANARE A 2 LINK

La cinematica diretta, noti gli angoli dei link 1 e link 2, permette di ricavare la posizione finale  $P(x_p, y_p)$  della pinza.

Gli angoli si misurano come indicato in figura e sono positive se in senso antiorario e neagativi in senso orario.



Da semplici considerazioni geometriche:

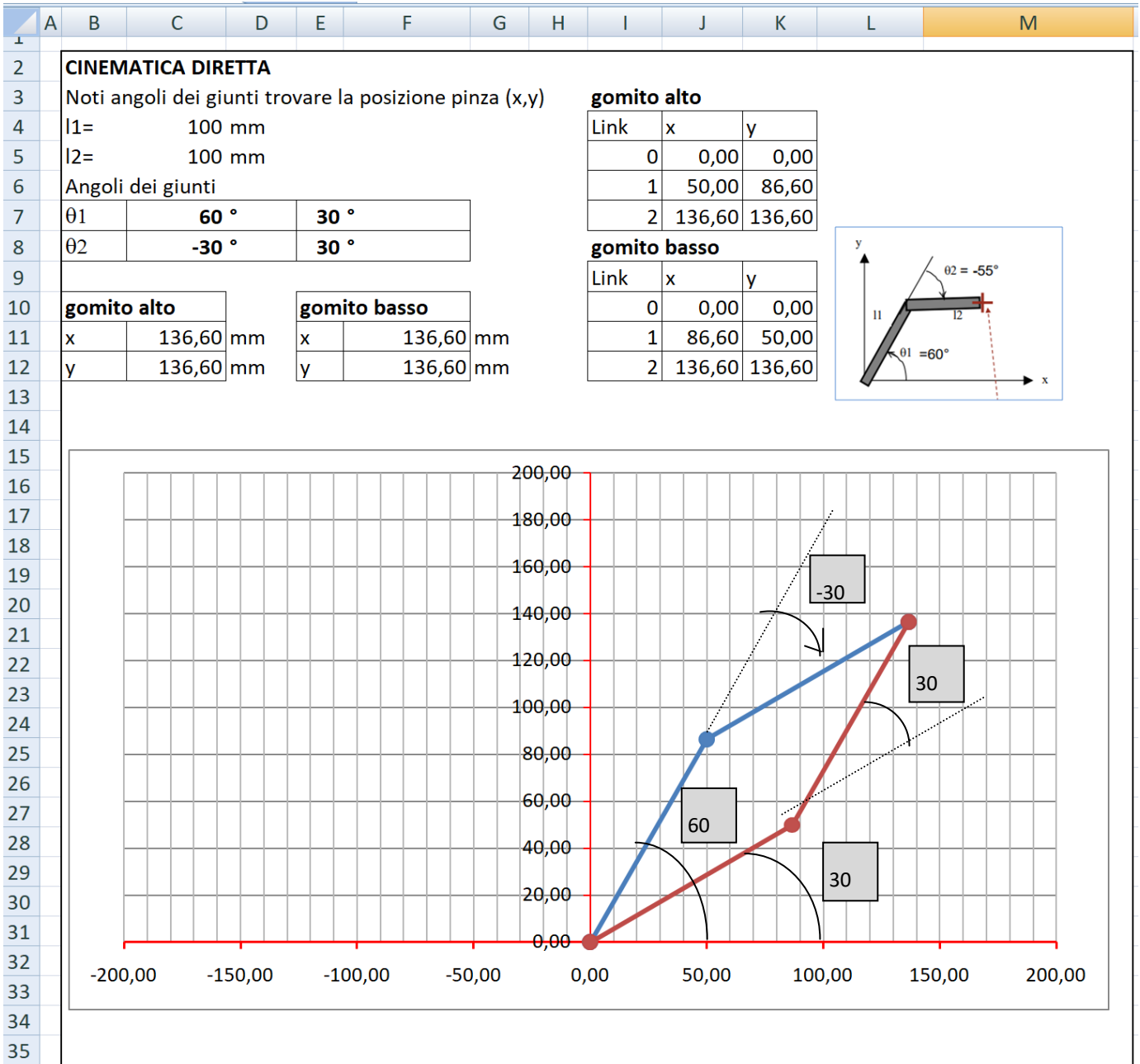
$$\begin{cases} x_p = l_1 \cos \alpha + l_2 \cos(\alpha + \beta) \\ y_p = l_1 \sin \alpha + l_2 \sin(\alpha + \beta) \end{cases}$$

## FOGLIO DI CALCOLO

Il problema presenta due possibili soluzioni dette a "gomito alto" e a "gomito basso".

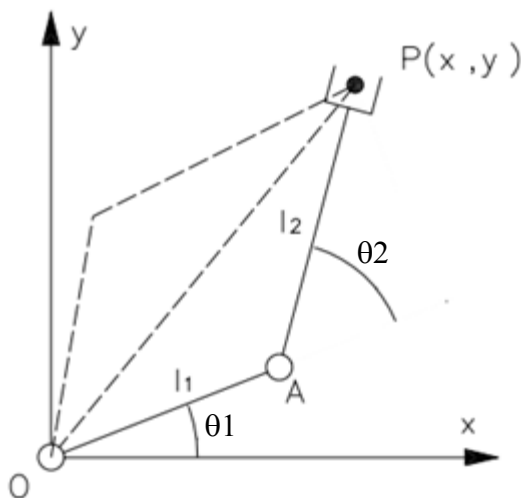
$$x = l_1 \cos(\alpha) + l_2 \cos(\alpha + \beta)$$

$$y = l_1 \sin(\alpha) + l_2 \sin(\alpha + \beta)$$



# CINEMATICA INVERSA DEL ROBOT DEL ROBOT PLANARE

Nota la posizione P(x,y) che si vuole raggiungere si devono ricavare gli angoli necessari.



$$\theta_2 = \arccos\left[\frac{(x^2 + y^2 - l_1^2 - l_2^2)}{2 \cdot l_1 \cdot l_2}\right]$$

$$\theta_1 = \tan^{-1}\left(\frac{y}{x}\right) - \tan^{-1}\left(\frac{l_2 \cdot S_2}{l_1 + l_2 \cdot C_2}\right)$$

S2 = sen θ2      C2 = cos θ2

## FOGLIO DI CALCOLO

	A	B	C	D	E	F	G	H	I	J	K	L	M	N	
1	<b>CINEMATICA DIRETTA</b>														
2	Noti gli angoli dei giunti trovare la posizione del polso (x,y)														
3	l1=	10 CM													
4	l2=	5 CM													
5				ALTO	x	y									
6	θ1	53,1 °	0	0,00	0,00										
7	θ2	-90 °	1	6,00	8,00										
8															
9	x	10,00													
10	y	5,0													
11															
12															
13															
14															
15															
16	<b>CINEMATICA INVERSA</b>														
17	Nota la posizione (x,y) del polso trovare gli angoli dei giunti														
18	l1	10 cm													
19	l2	5 cm													
20				ALTO	x	y									
21	x	10,00 cm	0	0,00	0,00										
22	y	5,00 cm	1	6,00	8,00										
23				2	10,00	5,00									
24	<b>ANGOLI GOMITO ALTO</b>														
25	θ2	-90 °													
26	θ1	53,1 °													
27															
28															
29	<b>Formule Excel</b>														
30	θ2	=GRADI(-ARCCOS(((\$B\$21^2+\$B\$22^2-\$B\$18^2-\$B\$19^2)/(2*\$B\$19*\$B\$18)))													
31	θ1	=GRADI(ARCTAN(\$B\$22/\$B\$21))-GRADI(ARCTAN(\$B\$19*SEN(RADIANTI(\$B\$25)))/(\$B\$18+\$B\$19*COS(RADIANTI(\$B\$25))))													

### Cinematica Inversa Robot Planare

$l1 =$	100,0	mm
$l2 =$	90,0	mm
$x_A =$	190,0	
$y_A =$	0,0	

$l1 =$	100,0	mm
$l2 =$	90,0	mm
$x_B =$	120,0	
$y_B =$	30,0	

$l1 =$	100,0	mm
$l2 =$	90,0	mm
$x_C =$	100,0	
$y_C =$	100,0	

$\cos\theta_2 =$	1,0
$\theta_2 =$	0,0
$\sin\theta_2 =$	0,0
$\theta_1 =$	0,0
$x_1 =$	100,0
$y_1 =$	0,0

$\cos\theta_2 =$	-0,156
$\theta_2 =$	-98,9
$\sin\theta_2 =$	-0,988
$\theta_1 =$	60,0
$x_1 =$	50,0
$y_1 =$	86,6

$\cos\theta_2 =$	0,106
$\theta_2 =$	-83,9
$\sin\theta_2 =$	-0,994
$\theta_1 =$	84,3
$x_1 =$	10,0
$y_1 =$	99,5

A	x	y
0	0,0	0,0
1	100,0	0,0
2	190,0	0,0

B	x	y
0	0,0	0,0
1	50,0	86,6
2	120,0	30,0

C	x	y
0	0,0	0,0
1	10,0	99,5
2	100,0	100,0

A Gomito alto

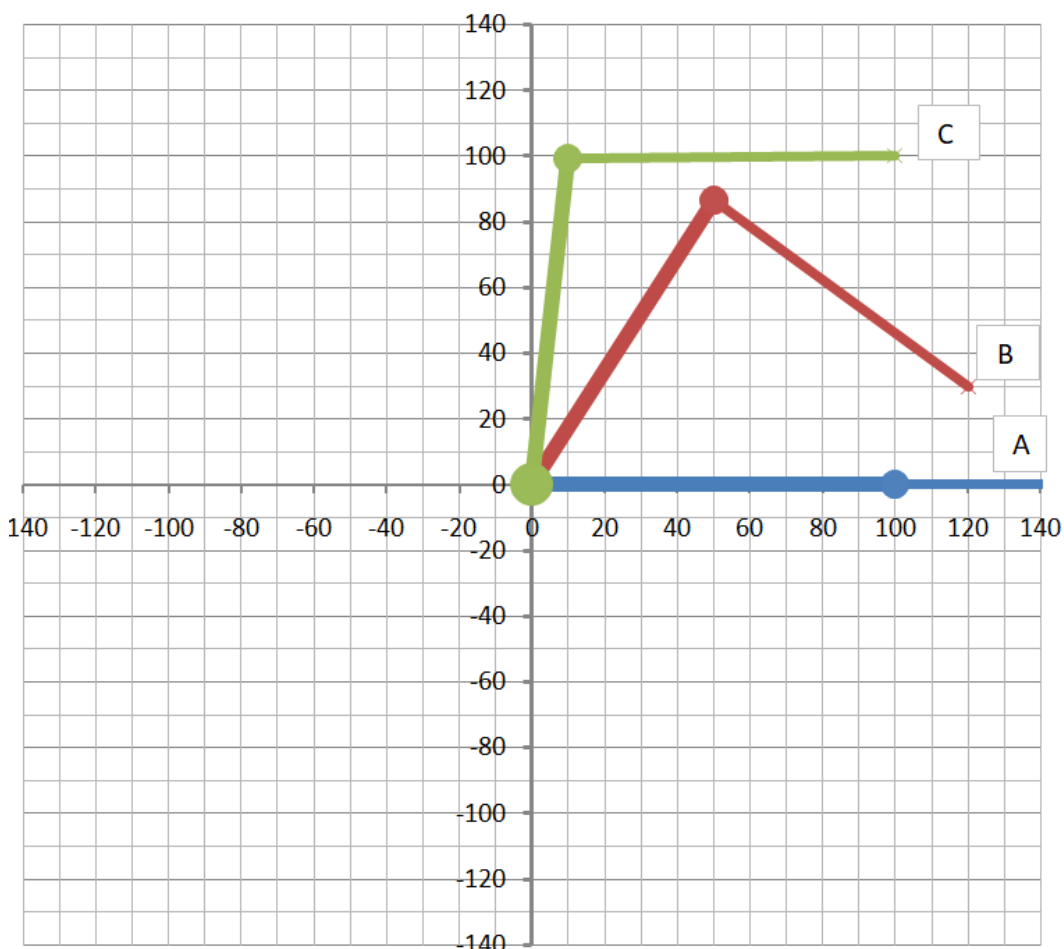
$\theta_1$	0,0
$\theta_2$	0,0

B Gomito alto

$\theta_1$	60,0
$\theta_2$	-98,9

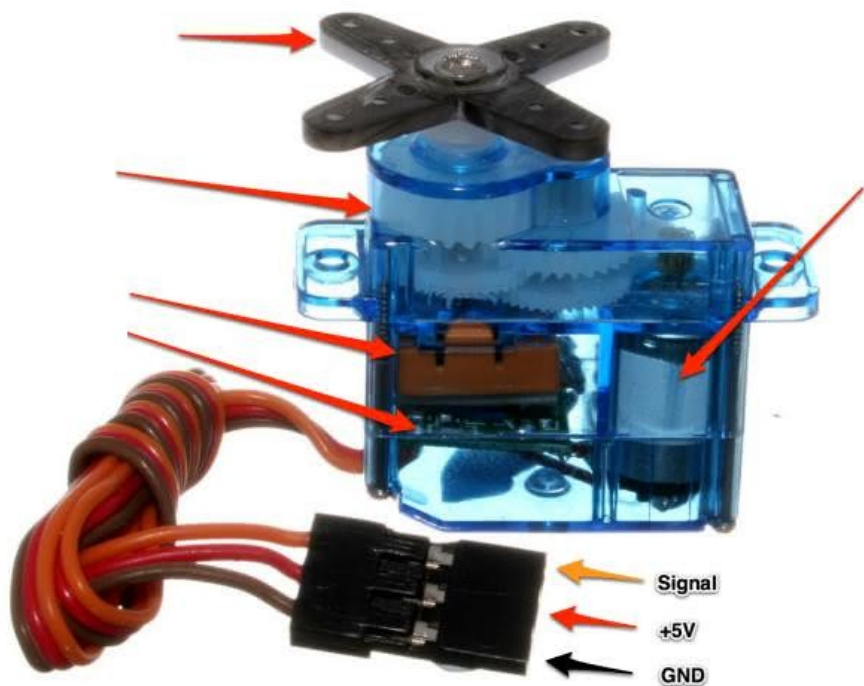
C Gomito alto

$\theta_1$	84,3
$\theta_2$	-83,9



## SERVO SG90

A differenza di un motore convenzionale, la maggior parte dei servomotori di base può ruotare solo tra 0 e +180 gradi. Sono costituiti da un motore a corrente continua, vari ingranaggi per aumentare la coppia (e ridurre la velocità) e un sistema servoassistito



Peso: 9G

Coppia a 4,8V: 1,8 kg/cm

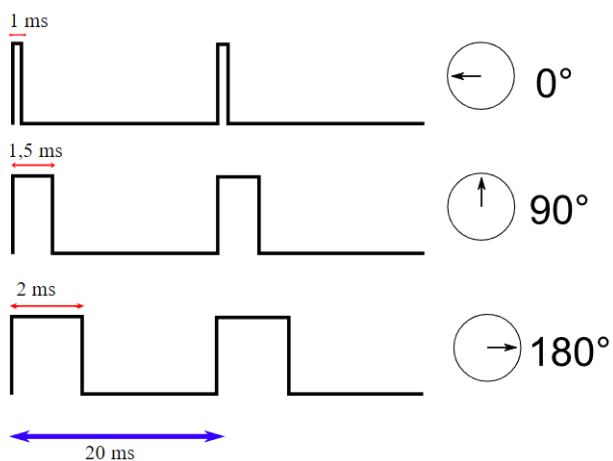
Velocità di rotazione (per 60° a 4,8V):  
0,12s

Coppia di bloccaggio (4,8 V): 1,6 kg/cm

Tensione di funzionamento: 3,5 ~ 6 V

Temperatura: -30 ~ 60 °C

Questo attuatore può essere controllato tramite un segnale a modulazione di larghezza di impulso (PWM) a 50 Hz, che genera un impulso ogni 20 ms. La posizione dell'attuatore può essere regolata variando la durata dell'impulso tra 1 ms e 2 ms.

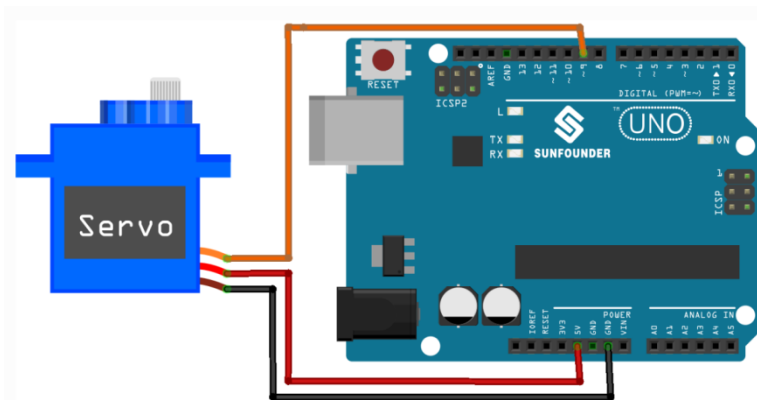


## INDIVIDUARE LA POSIZIONE 0

Per trovare lo "0" (o posizione neutra/iniziale) di un servomotore SG90, il metodo più affidabile consiste nell'utilizzare un microcontrollore come Arduino per inviare un segnale PWM specifico che comanda al servo di posizionarsi a 0 gradi.



### Metodo Software



L'SG90 richiede 5V.  
L'alimentazione deve essere stabile per evitare comportamenti anomali.  
La massima corrente totale gestibile da una scheda Arduino Uno (R3) è di circa 200-400 mA.  
Quindi un solo SG90 servo sotto sforzo supera il limite di Arduino e di conseguenza serve una alimentazione esterna.

Caricare un semplice codice su Arduino per portare il servo nella posizione 0 o 90 gradi (che solitamente rappresenta il centro meccanico) prima di montare le squadrette (le parti in plastica bianca).

Una volta caricato, il servo si sposterà nella posizione definita (0°). A questo punto, inserisci la squadretta di plastica sull'albero del servo in modo che sia allineata con la posizione desiderata (es. perpendicolare al corpo del servo per lo 0° o 90°).

### CODICE

```
#include <Servo.h>

Servo myservo;

void setup() {
  myservo.attach(9); // Il servo è collegato al pin 9
  myservo.write(0); // Comando per la posizione 0 gradi (o 90 per il centro)
}

void loop() {
  //
}
```

## REGOLAZIONE DELLA VELOCITÀ

Regolare la velocità di un servomotore SG90 (o MG90S) con Arduino non si fa tramite un comando diretto, poiché questi servo sono progettati per girare alla massima velocità verso la posizione specificata. Tuttavia, è possibile controllare la velocità rallentando il movimento, ovvero spostando il servo un grado alla volta con un piccolo ritardo (delay) tra ogni passo.

### Metodo principale: Il ciclo for (Arduino)

Per rallentare il movimento, si scompone lo spostamento in piccoli angoli intermedi utilizzando un ciclo for e la funzione delay().

```
#include <Servo.h>

Servo myservo;
int pinServo = 9;
int delayVelocita = 20; // Più alto è il valore, più lento è il servo

void setup() {
  myservo.attach(pinServo);
}

void loop() {
  // Muove da 0 a 180 gradi
  for (int angolo = 0; angolo <= 180; angolo++) {
    myservo.write(angolo);
    delay(delayVelocita); // Regola la velocità qui
  }

  // Muove da 180 a 0 gradi
  for (int angolo = 180; angolo >= 0; angolo--) {
    myservo.write(angolo);
    delay(delayVelocita); // Regola la velocità qui
  }
}
```

## SERVO A ROTAZIONE CONTINUA

Un MS90 360° è un servo a rotazione continua.

Si riconosce dal fatto che non è presente il potenziometro che permette di individuare la posizione angolare dell'albero.

Comandi:

- il comando write(90) lo ferma
- il comando write(0) ruota alla massima velocità in un verso
- il comando write(180) ruota alla massima velocità nell'altro verso

## SERVO MG90S

La differenza principale tra il micro servo SG90 e il MG90S risiede nel materiale degli ingranaggi e nella robustezza complessiva. Mentre condividono dimensioni quasi identiche, l'MG90S è considerato un aggiornamento "premium" dell'SG90 per progetti che richiedono maggiore forza e resistenza.



Red	Positive pole
Brown	Negative pole
Yellow	Signal

Product Model: MG90S	Temperature Range: 0-55 °C.
Weight: 15g	The dead-band setting: 5 microseconds.
Size: 22.8mm * 12.2mm * 28.5mm	Pulse width: 500~2500µsec
Maximum Angle: 180°±3°	Line Length: 250mm
Stall Torque: 1.8kg/cm(4.8V), 2.0kg/cm(6V)	Plug Type: JR, FUTABA General
Operating Speed: 0.12 sec/ 60°(4.8V), 0.09 sec/ 60°(6V)	

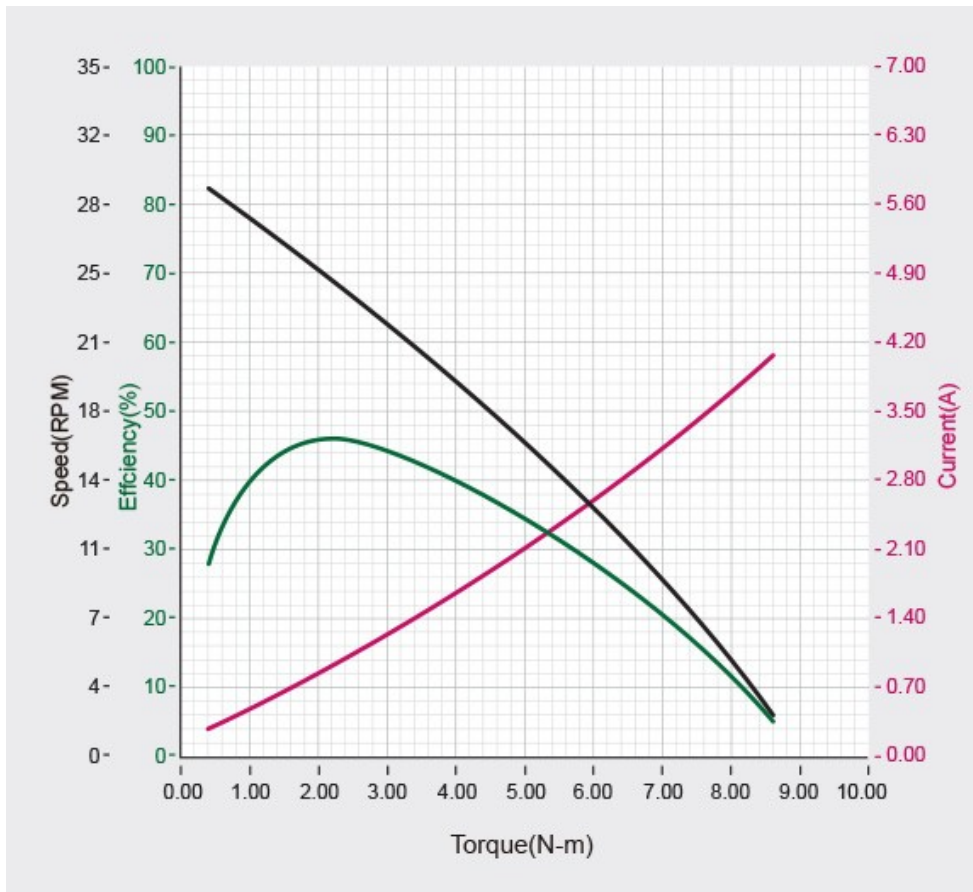


## DYNAMIXEL XM540-W270-T/R

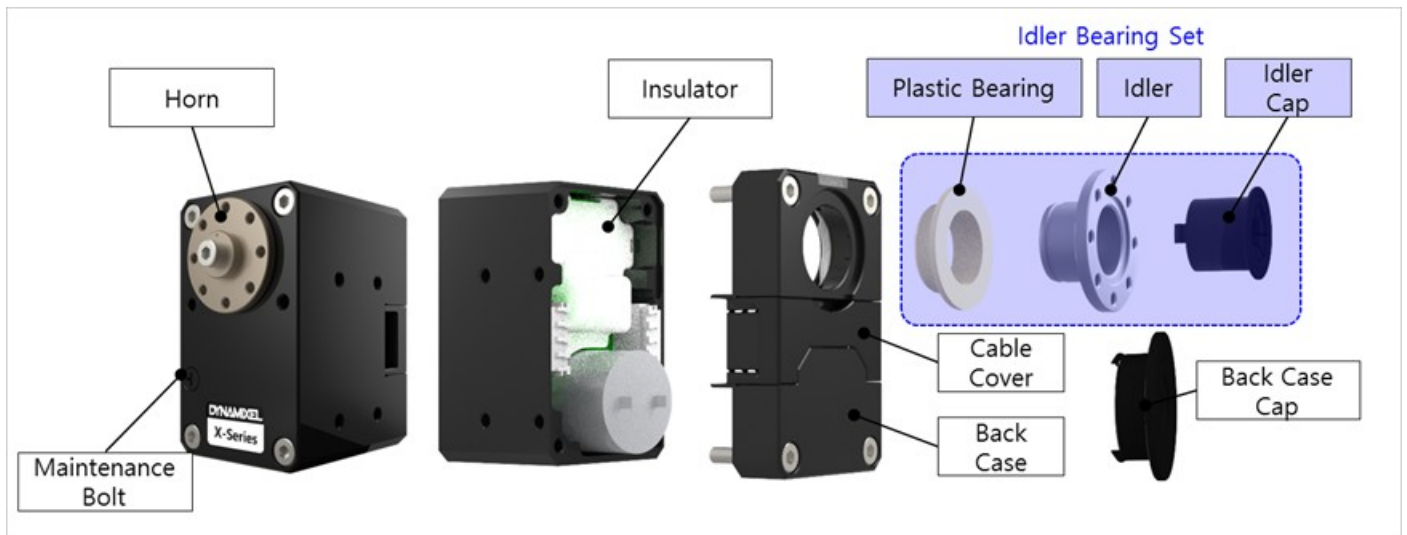
Si tratta di un servo di fascia ALTA.



Item	Specifications
MCU	ARM CORTEX-M3 (72 [MHz], 32Bit)
Position Sensor	Contactless absolute encoder (12Bit, 360 [°]) Maker : ams(www.ams.com), Part No : AS5045
Motor	Coreless
Baud Rate	9,600 [bps] ~ 4.5 [Mbps]
Control Algorithm	PID control
Resolution	4096 [pulse/rev]
Backlash	15 [arcmin] (0.25 [°])
Operating Modes	Current Control Mode Velocity Control Mode Position Control Mode (0 ~ 360 [°]) Extended Position Control Mode (Multi-turn) Current-based Position Control Mode PWM Control Mode (Voltage Control Mode)
Weight	165 [g]
Dimensions (W x H x D)	33.5 x 58.5 x 44 [mm]
Gear Ratio	272.5 : 1
Stall Torque	10.0 [N.m] (at 11.1 [V], 4.2 [A], 2.381 [Nm/A]) <b>10.6 [N.m] (at 12.0 [V], 4.4 [A], 2.409 [Nm/A])</b> 12.9 [N.m] (at 14.8 [V], 5.5 [A], 2.345 [Nm/A])

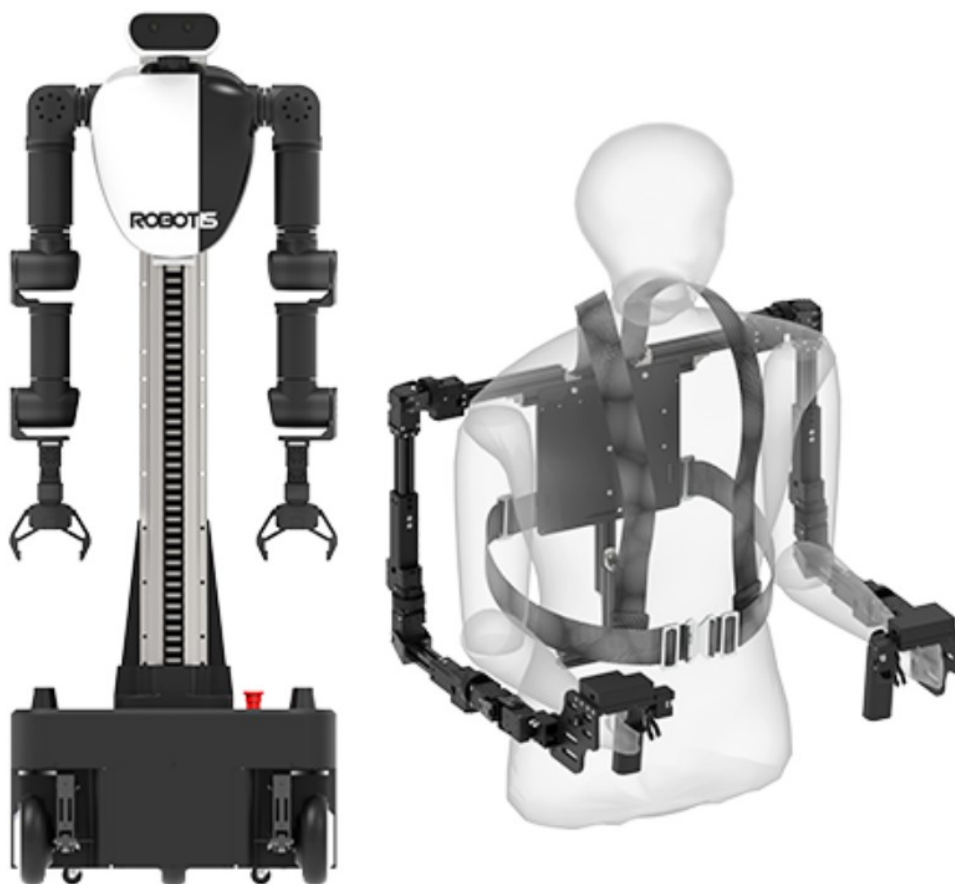


Il Dynamixel XM540-W270-T/R è attualmente uno dei servomotori professionali più equilibrati e performanti per la robotica di precisione. Rispetto alla serie MX, offre una gestione del calore e una durata meccanica nettamente superiori.



### Perché è considerato il "Top" per i Robot

- **Controllo di Corrente (Torque Control):** È la funzione killer. Permette al robot di "sentire" gli ostacoli o di manipolare oggetti delicati regolando la forza, non solo la posizione.
- **Feedback Totale:** Monitora in tempo reale posizione (tramite encoder magnetico a 12-bit/4096 passi), velocità, carico, temperatura e tensione d'ingresso.
- **Cablaggio:** La comunicazione via protocollo RS-485 (versione R) o TTL (versione T) permette di collegare più servo in serie (daisy chain), semplificando drasticamente il design del robot.



## SCARA VS ANTROPOMORFO

La scelta tra un robot SCARA e uno antropomorfo dipende strettamente dall'applicazione, dallo spazio di lavoro e dalla precisione richiesta.

Ecco una comparazione basata sulle loro caratteristiche principali:

### 1. Robot SCARA (Selective Compliance Articulated Robot Arm)

Questi robot sono progettati per movimenti orizzontali veloci e precisi, ideali per operazioni "sopra un piano".

- Assi: Solitamente 4 assi.
- Movimento: Braccio articolato mobile sul piano orizzontale, con un asse verticale per lo spostamento su/giù (Z).
- Punti di forza: Estrema velocità e ripetibilità. Sono perfetti per il pick-and-place, l'assemblaggio di piccoli componenti e il confezionamento.
- Limiti: Raggio d'azione limitato a una forma cilindrica; non possono inclinare l'utensile.
- Costo indicativo: Generalmente tra i \$15.000 e gli \$80.000.

### 2. Robot Antropomorfo (Braccio Articolato)

Questi robot imitano la struttura e la flessibilità del braccio umano, offrendo la massima versatilità.

- Assi: Solitamente 6 assi (o più), il che permette loro di raggiungere punti nello spazio da qualsiasi angolazione.
- Movimento: Rotatorio su tutti i giunti, inclusa una "spalla", un "gomito" e un "polso" articolato.
- Punti di forza: Versatilità totale. Possono eseguire compiti complessi come saldatura, verniciatura, pallettizzazione e lavorazioni su superfici curve.
- Limiti: Programmazione più complessa e ingombro potenzialmente maggiore rispetto a uno SCARA per compiti semplici.
- Costo: Variabile, ma tendenzialmente superiore a causa della maggiore complessità meccanica ed elettronica.

Tabella Comparativa Rapida

Caratteristica	Robot SCARA	Robot Antropomorfo
<b>Gradi di libertà</b>	4 (limitati)	6+ (elevati)
<b>Velocità</b>	Molto elevata in orizzontale	Elevata, ma variabile
<b>Precisione</b>	Eccellente per assemblaggi	Ottima, ma più sensibile al carico
<b>Spazio di lavoro</b>	Cilindrico, "piatto"	Sferico, molto ampio
<b>Applicazione tipica</b>	Pick & Place, Assemblaggio	Saldatura, Smerigliatura, Verniciatura

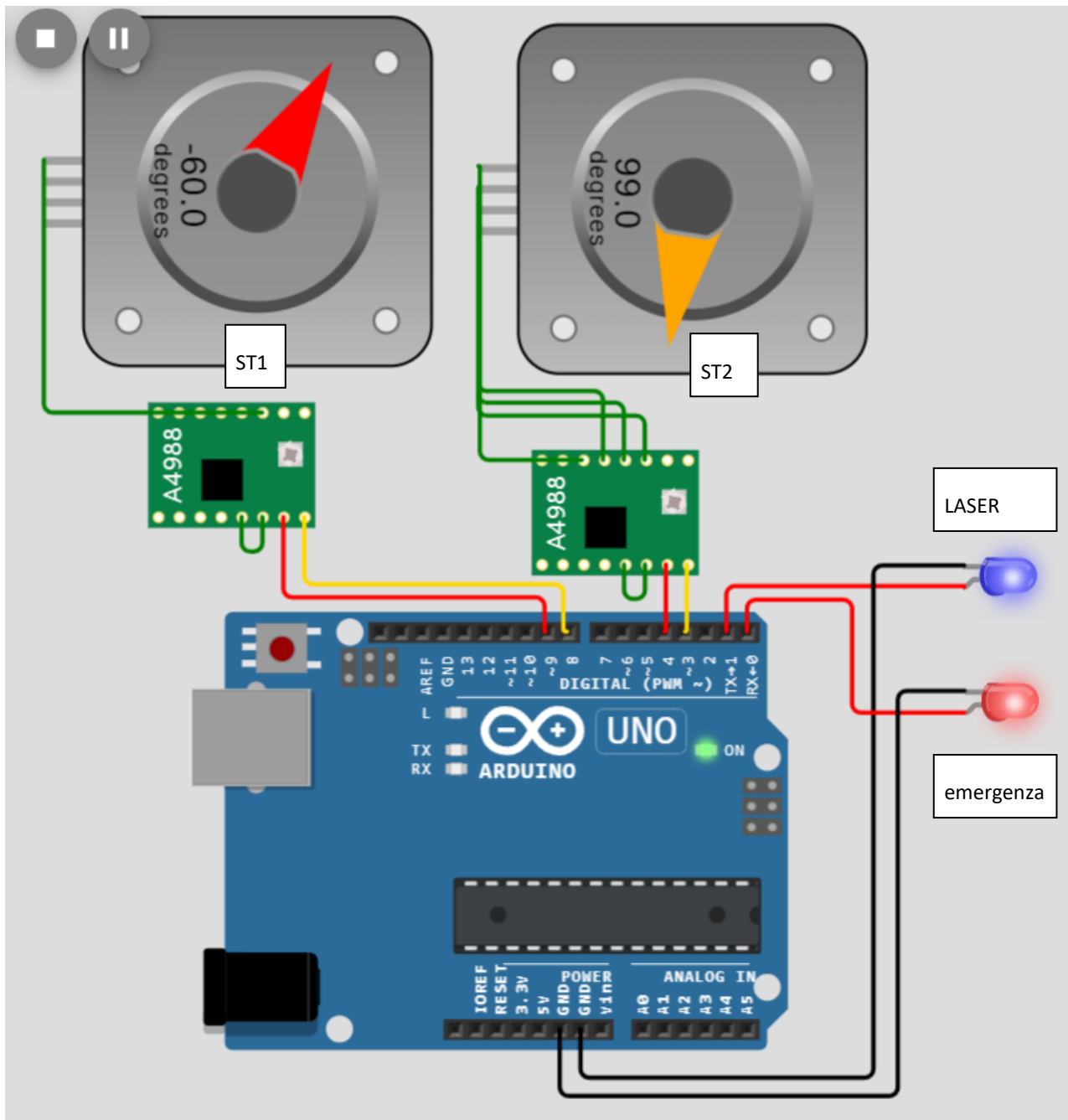
## ESERCIZIO TAGLIO LASER SCARA 2 ASSI

Simulare un TAGLIO LASER SCARA dotato di 2 motori stepper.

- ST1 → movimento angolare link1 (motore con rapporto riduzione 1.8:1 → 360 step per giro)
- ST2 → movimento angolare link2 (motore con rapporto riduzione 1.8:1 → 360 step per giro)

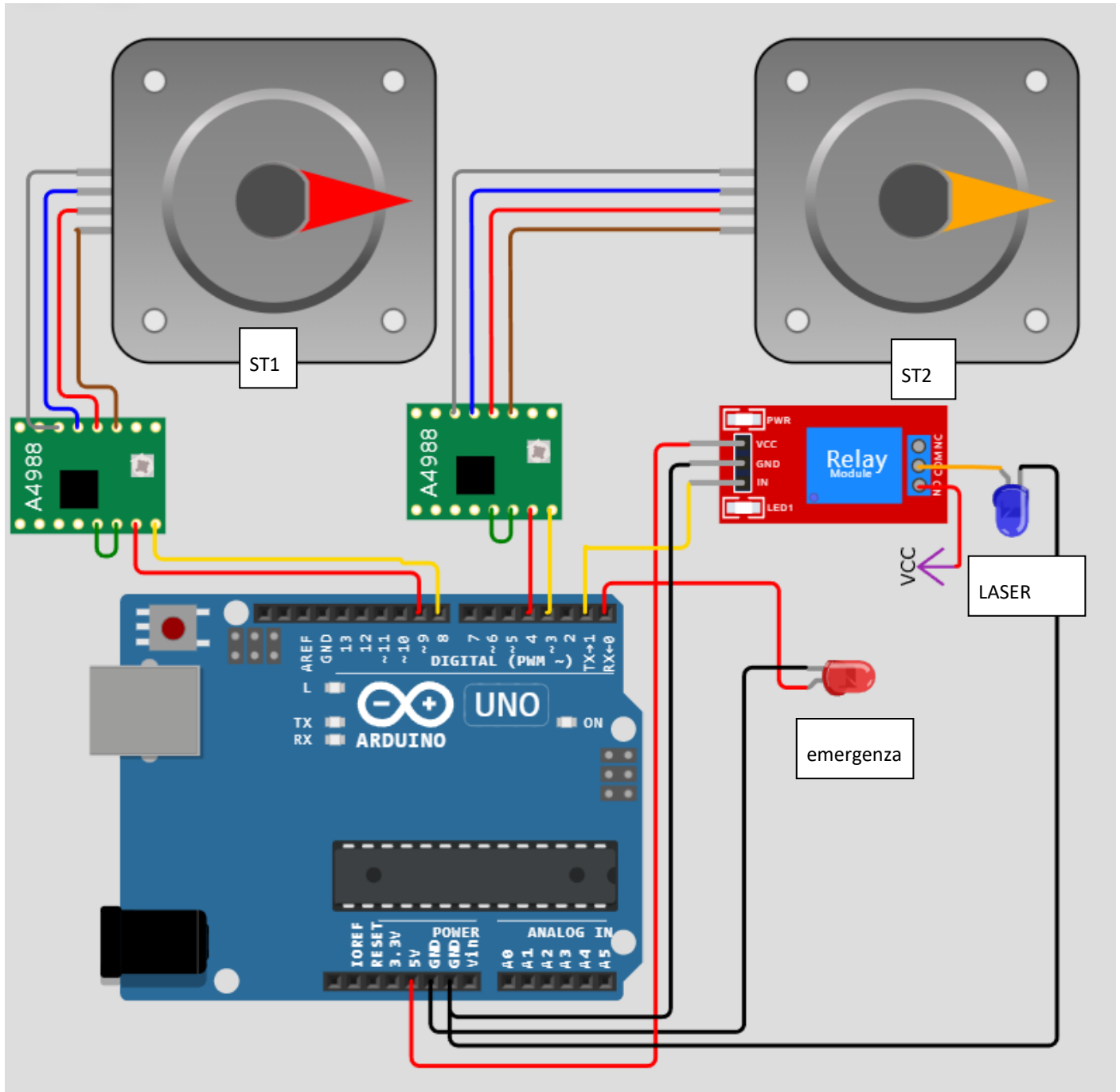
Il robot, partendo dalla posizione di riposo A deve raggiungere prima la posizione B e poi C e attivare il LASER per 1s. Durante gli spostamenti deve essere accesa una lampadina di emergenza a 12V – 150mA.

Al termine del ciclo si deve rientrare alla posizione di riposo A.



simulabile su "wokwi.com"

Schema con relè per attivare il laser



simulabile su "wokwi.com"

**CODICE**

```
// Nema 17 200 passi per giro accoppiato a riduttore 1.8:!  
// "arrow": "orange", "display": "angle", "gearRatio": "1.8:1"  
#define DIR_PIN1 8  
#define STEP_PIN1 9 // set gearRatio 1.8:1 to get 1° for 1 step (1.8=360/200)  
#define DIR_PIN2 3  
#define STEP_PIN2 4 // set gearRatio 1.8:1 to get 1° for 1 step (1.8=360/200)  
#define DELAY_ST 10000 // 2000 micros  
  
#define LASER_PIN 1  
#define LED_PIN 0  
  
int idMotor; // 1,2 ...
```

```

void setup() {
  pinMode(DIR_PIN1, OUTPUT); pinMode(STEP_PIN1, OUTPUT);
  pinMode(DIR_PIN2, OUTPUT); pinMode(STEP_PIN2, OUTPUT);
  pinMode(LASER_PIN, OUTPUT);
  pinMode(LED_PIN, OUTPUT);
  delay(1000);
}

void loop() {
  attivaEmergenza(HIGH);
  // B 60 antior ; 99 orario
  attivaStepper(1,60,LOW); attivaStepper(2,99,HIGH); delay(500);
  attivaLaser(1000);
  delay(3000);

  // C 84 antior; 84 antior
  attivaStepper(1,abs(84-60),LOW); attivaStepper(2,abs(84-99),LOW); delay(500);
  attivaLaser(1000);
  delay(3000);

  // A 0 orario; 0 antior
  attivaStepper(1,84,HIGH); attivaStepper(2,84,LOW);
  attivaEmergenza(LOW);
  delay(3000);
}

// orientation --> LOW=antiorario; HIGH=orario
void attivaStepper(int id, int postion, int orientation) {
  // stepper 1
  if (id==1) {
    digitalWrite(DIR_PIN1, orientation);
    for (int i = 0; i < postion; i++) {
      digitalWrite(STEP_PIN1, HIGH); delayMicroseconds(DELAY_ST);
      digitalWrite(STEP_PIN1, LOW); delayMicroseconds(DELAY_ST);
    }
  }
  // stepper 2
  else if (id==2) {
    digitalWrite(DIR_PIN2, orientation);
    for (int i = 0; i < postion; i++) {
      digitalWrite(STEP_PIN2, HIGH); delayMicroseconds(DELAY_ST);
      digitalWrite(STEP_PIN2, LOW); delayMicroseconds(DELAY_ST);
    }
  }
}

void attivaLaser(int sec) {
  digitalWrite(LASER_PIN, HIGH); delay(2000); digitalWrite(LASER_PIN, LOW);
}

void attivaEmergenza(int stato) {
  if (stato==HIGH) { digitalWrite(LED_PIN, HIGH);}
  if (stato==LOW) { digitalWrite(LED_PIN, LOW);}
}

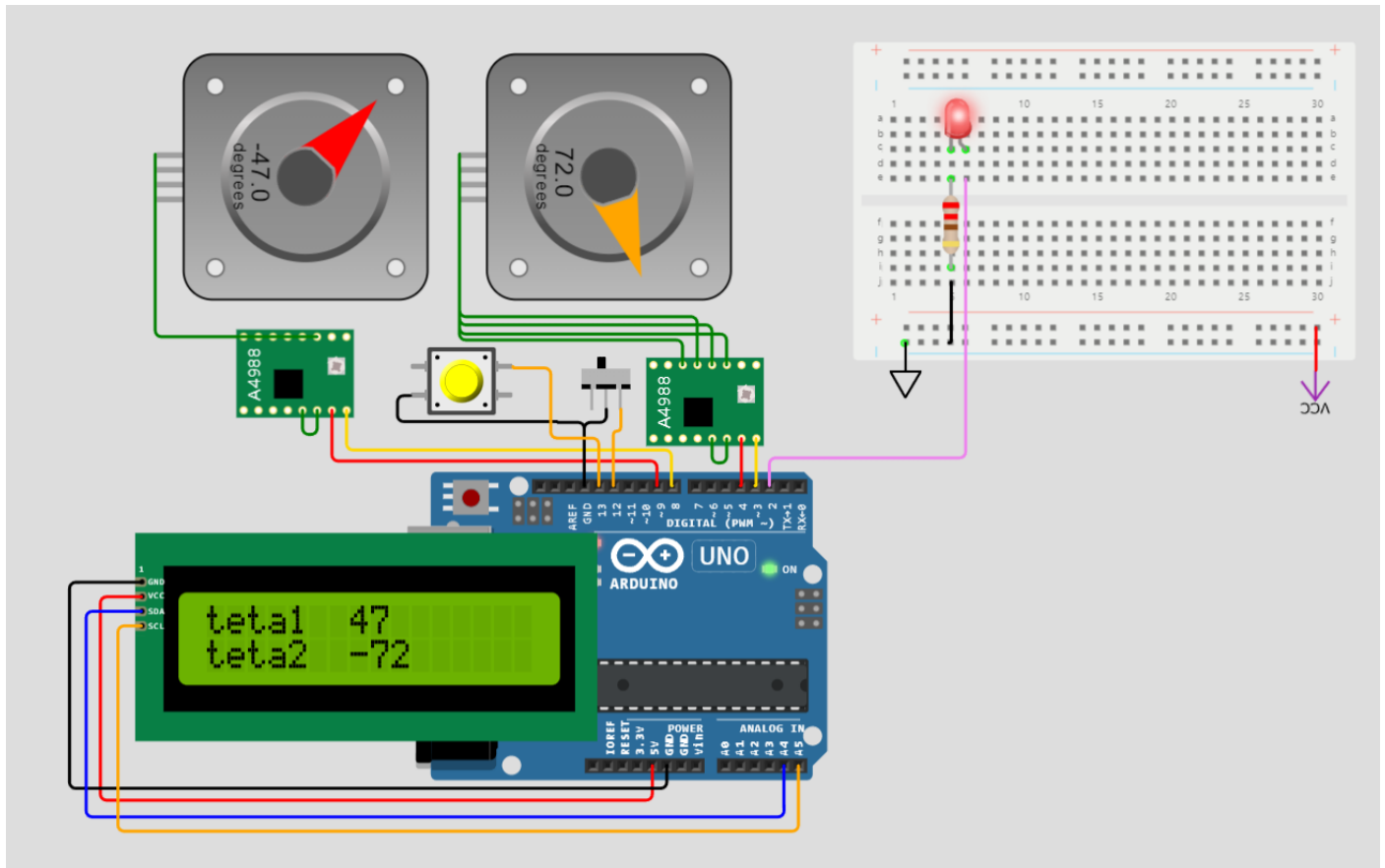
```

## ESERCIZIO TAGLIO LASER SCARA 2 ASSI CON EMERGENZA E RESET

Il laser deve raggiungere le tre posizioni B,C,D assegnate.

Se viene attivata l'emergenza (slider) il laser si deve FERMARE.

Per ripartire deve essere sbloccata l'emergenza e poi premuto il reset (push button giallo).



## FOGLIO DI CALCOLO

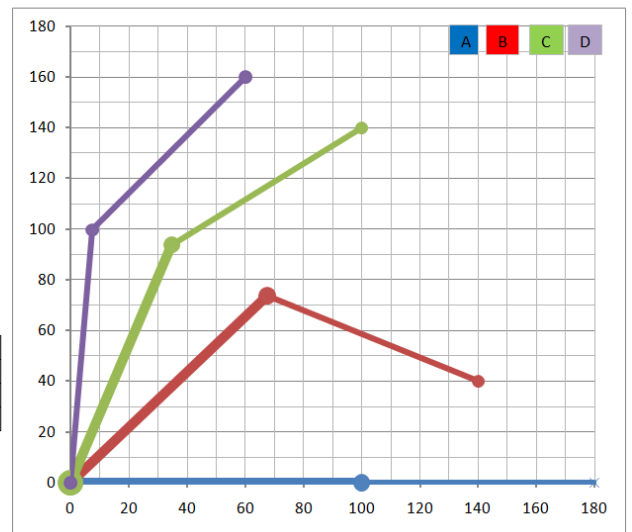
### Cinematica Inversa Robot Planare

$l1 = 100,0$ mm $l2 = 80,0$ mm $x_A = 180,0$ $y_A = 0,0$	$l1 = 100,0$ mm $l2 = 80,0$ mm $x_B = 140,0$ $y_B = 40,0$	$l1 = 100,0$ mm $l2 = 80,0$ mm $x_C = 100,0$ $y_C = 140,0$	$l1 = 100,0$ mm $l2 = 80,0$ mm $x_D = 60,0$ $y_D = 160,0$
---	--	---	--

$\cos\theta_2 = 1,0$ $\theta_2 = 0,0$ $\sin\theta_2 = 0,0$ $\theta_1 = 0,0$ $x_1 = 100,0$ $y_1 = 0,0$	$\cos\theta_2 = 0,300$ $\theta_2 = -72,5$ $\sin\theta_2 = -0,954$ $\theta_1 = 47,6$ $x_1 = 67,5$ $y_1 = 73,8$	$\cos\theta_2 = 0,825$ $\theta_2 = -34,4$ $\sin\theta_2 = -0,565$ $\theta_1 = 69,7$ $x_1 = 34,7$ $y_1 = 93,8$	$\cos\theta_2 = 0,800$ $\theta_2 = -36,9$ $\sin\theta_2 = -0,600$ $\theta_1 = 85,8$ $x_1 = 7,4$ $y_1 = 99,7$
--	--	--	---

A	x	y	B	x	y	C	x	y	D	x	y
0	0,0	0,0	0	0,0	0,0	0	0,0	0,0	0	0,0	0,0
1	100,0	0,0	1	67,5	73,8	1	34,7	93,8	1	7,4	99,7
2	180,0	0,0	2	140,0	40,0	2	100,0	140,0	2	60,0	160,0

A Gomito alto $\theta_1 = 0,0$ $\theta_2 = 0,0$	B Gomito alto $\theta_1 = 47,6$ $\theta_2 = -72,5$	C Gomito alto $\theta_1 = 69,7$ $\theta_2 = -34,4$	C Gomito alto $\theta_1 = 85,8$ $\theta_2 = -36,9$
---	--	--	--



## CODICE

```
#include <LiquidCrystal_I2C.h>
#include <Servo.h>
LiquidCrystal_I2C lcd(0x27, 20, 4);

// Nema 17 200 passi per giro accoppiato a
// vite T8 Trapezoidale Senza Fine Ø8 Mm Pitch 2mm 1 Principio
#define DIR_PIN1 8
#define STEP_PIN1 9 // set gearRatio 1.8:1 to get 1° for 1 step (1.8=360/200)
#define DIR_PIN2 3
#define STEP_PIN2 4 // set gearRatio 1.8:1 to get 1° for 1 step (1.8=360/200)
#define DELAY_ST 15000 // 2000 micros

#define LED_PIN 2
#define POLSO_PIN 5
#define PINZA_PIN 6
#define RESET_PIN 13
#define EM_PIN 12

int idMotor; // 1,2 ...
int statoEmergenza;
int segno,teta1, teta2;

void setup() {
  pinMode(DIR_PIN1, OUTPUT);
  pinMode(STEP_PIN1, OUTPUT);
  pinMode(DIR_PIN2, OUTPUT);
  pinMode(STEP_PIN2, OUTPUT);
  pinMode(EM_PIN, INPUT_PULLUP);
  pinMode(RESET_PIN, INPUT_PULLUP);
  pinMode(LED_PIN, OUTPUT);

  lcd.init();
  lcd.backlight();
  lcd.setCursor(0, 0); lcd.print("teta1 ");
  lcd.setCursor(0, 1); lcd.print("teta2 ");

  // all'inizio devo garantire di essere in HOME
  teta1=0;
  teta2=0;
  statoEmergenza= LOW;

  Serial.begin(115200);
  delay(1000);
}

void loop() {
  lcd.setCursor(7, 1);

  // RESET PREMUTO?
  if (digitalRead(RESET_PIN) == LOW) {
    statoEmergenza= LOW;
    // HOME
    muoviLink1(-teta1);
    muoviLink2(-teta2);
    attivaLampada(LOW);
    delay(1000);
  }

  // EMERGENZA PREMUTA?
  if (digitalRead(EM_PIN) == LOW ) { statoEmergenza=HIGH; attivaLampada(HIGH); }

  if (statoEmergenza==LOW) {
    muoviLink(1,47);
  }
}
```

```

delay(1000);
muoviLink(2,-72);
delay(1000);

muoviLink(1,70-teta1);
delay(1000);
muoviLink(2,-34-teta2);
delay(1000);

muoviLink(1,86-teta1);
delay(1000);
muoviLink(2,-40-teta2);
delay(1000);

muoviLink(1,-teta1);
delay(1000);
muoviLink(2,-teta2);
delay(1000);
}
}

// +antiorario; - orario
void muoviLink(int link, int angolo) {
    int position;
    int orientation;
    position= abs(angolo);
    if (angolo>=0) {segno=1; orientation=LOW;}
    else {segno=-1;orientation=HIGH;}

    if (link==1) {
        digitalWrite(DIR_PIN1, orientation);
        for (int i = 0; i < position; i++) {
            if (digitalRead(EM_PIN) == HIGH && statoEmergenza==LOW) {
                statoEmergenza=0;
                teta1= teta1 + segno;
                digitalWrite(STEP_PIN1, HIGH); delayMicroseconds(DELAY_ST);
                digitalWrite(STEP_PIN1, LOW); delayMicroseconds(DELAY_ST);
                lcd.setCursor(7, 0); lcd.print(teta1); Serial.println(teta1);
            }
            else { statoEmergenza=HIGH; break;}
        }
    }
    if (link==2) {
        digitalWrite(DIR_PIN2, orientation);
        for (int i = 0; i < position; i++) {
            if (digitalRead(EM_PIN) == HIGH && statoEmergenza==LOW) {
                statoEmergenza=0;
                teta2= teta2 + segno;
                digitalWrite(STEP_PIN2, HIGH); delayMicroseconds(DELAY_ST);
                digitalWrite(STEP_PIN2, LOW); delayMicroseconds(DELAY_ST);
                lcd.setCursor(7, 1); lcd.print(teta2); Serial.println(teta2);
            }
            else { statoEmergenza=HIGH; break;}
        }
    }
}

void attivalampada(int stato) {
    if (stato==HIGH) { digitalWrite(LED_PIN, HIGH);}
    if (stato==LOW) { digitalWrite(LED_PIN, LOW);}
}

```

## ESERCIZIO TAGLIO LASER SCARA 3 ASSI

Simulare un TAGLIO LASER SCARA dotato di 3 motori stepper.

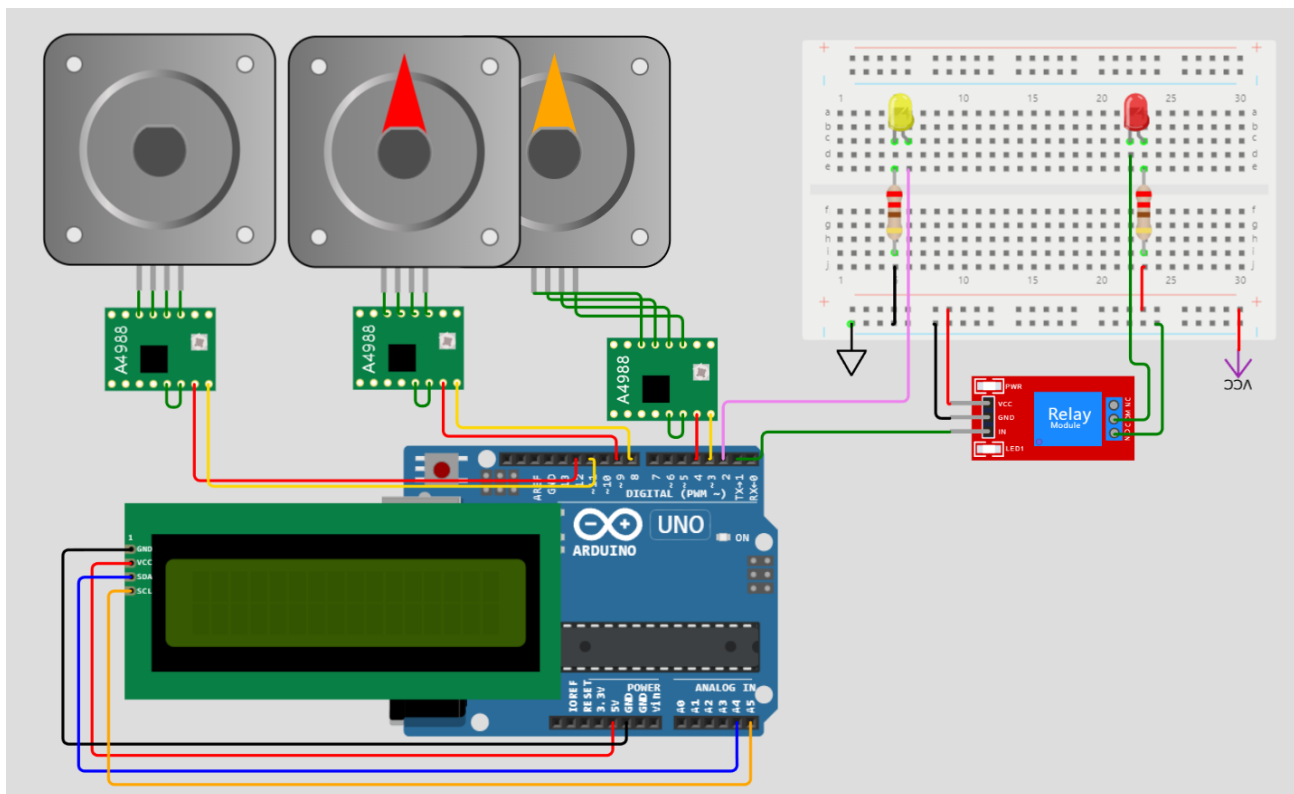
- ST0 → movimento verticale (asse Z) con vite T8 Trapezoidale Senza Fine Ø8 Mm Pitch 2mm 1 Principio
- ST1 → movimento angolare link1 (motore con rapporto riduzione 1.8:1 → 360 step per giro)
- ST2 → movimento angolare link2 (motore con rapporto riduzione 1.8:1 → 360 step per giro)

Il robot deve raggiungere la posizione P(X,Y,Z) e attivare il LASER per 1s.

Il laser viene attivato emndiante un rele'.

Quando il laser è attivo viene acceso un led giallo.

Al termine il robot torna alla posizione di riposo iniziale.



simulabile su "wokwi.com"

CODICE

```
#include <LiquidCrystal_I2C.h>

LiquidCrystal_I2C lcd(0x27, 20, 4);

// Nema 17 200 passi per giro accoppiato a
// vite T8 Trapezoidale Senza Fine Ø8 Mm Pitch 2mm 1 Principio
#define DIR_PIN0 11
#define STEP_PIN0 12 // gearRatio 1:1 --> 1 giro= 200 step --> 2mm di spostamento
#define DIR_PIN1 8
#define STEP_PIN1 9 // set gearRatio 1.8:1 to get 1° for 1 step (1.8=360/200)
#define DIR_PIN2 3
#define STEP_PIN2 4 // set gearRatio 1.8:1 to get 1° for 1 step (1.8=360/200)
#define DELAY_ST 2000 // 2000 micros
#define DELAY_STZ 1000 // 2000 micros

#define LASER_PIN 2
#define LASER_PIN_R 1

int idMotor; // 1,2 ...

void setup() {
  pinMode(DIR_PIN0, OUTPUT);
  pinMode(STEP_PIN0, OUTPUT);
  pinMode(DIR_PIN1, OUTPUT);
  pinMode(STEP_PIN1, OUTPUT);
  pinMode(DIR_PIN2, OUTPUT);
  pinMode(STEP_PIN2, OUTPUT);
  pinMode(LASER_PIN, OUTPUT);
  pinMode(LASER_PIN_R, OUTPUT);

  lcd.init();
  lcd.backlight();
  lcd.setCursor(0, 0); lcd.print("Z(mm)");
  lcd.setCursor(0, 1); lcd.print("v(mm/s)");
  delay(1000);
}

void loop() {

  lcd.setCursor(7, 1);
  // rotazione ORARIA 30°
  movelinkTo(1,30,HIGH);
  delay(1000);

  movelinkTo(2,90,HIGH);
  delay(1000);

  movezTo(30,LOW);
  delay(1000);

  digitalWrite(LASER_PIN, HIGH);
  digitalWrite(LASER_PIN_R, HIGH);
  delay(2000);
  digitalWrite(LASER_PIN, LOW);
  digitalWrite(LASER_PIN_R, LOW);

  movelinkTo(2,90,LOW);
  delay(1000);

  movelinkTo(1,30,LOW);
  delay(1000);

  movezTo(30,HIGH);
  delay(1000);
}

void movelinkTo(int id, int postion, int orientation) {
  if (id==1) {
    digitalWrite(DIR_PIN1, orientation);
    for (int i = 0; i < postion; i++) {
      digitalWrite(STEP_PIN1, HIGH); delayMicroseconds(DELAY_ST);
      digitalWrite(STEP_PIN1, LOW); delayMicroseconds(DELAY_ST);
    }
  }
}
```

```

    }
}
else if (id==2) {
    digitalWrite(DIR_PIN2, orientation);
    for (int i = 0; i < postion; i++) {
        digitalWrite(STEP_PIN2, HIGH); delayMicroseconds(DELAY_ST);
        digitalWrite(STEP_PIN2, LOW); delayMicroseconds(DELAY_ST);
    }
}
}

// spostamento relativo in mm
void movezTo(int z, int orientation) {
    int t0= millis();
    int t= millis();

    // calcolo numero di step necessari (1mm=100 step)
    int step = z * 100;
    digitalWrite(DIR_PIN0, orientation);
    for (int i = 0; i < step; i++) {
        /* questo codice rallenta velocità motore dopo 2-3 volte !!!!
        float cz= (i+1)/100;
        if ( (millis() - t) >= 500) {
            t = millis();
            if (orientation==LOW) {lcd.setCursor(6, 0); lcd.print("-");}
            else {lcd.setCursor(6, 0); lcd.print("+");}
            lcd.setCursor(7, 0); lcd.print(cz);

            // calcolo rpm -> 1 giro = 200 step
            float vel = 1000 * cz / (millis() - t0);
            lcd.setCursor(8, 1); lcd.print(vel);

        }
        */
        digitalWrite(STEP_PIN0, HIGH); delayMicroseconds(DELAY_STZ);
        digitalWrite(STEP_PIN0, LOW); delayMicroseconds(DELAY_STZ);
    }

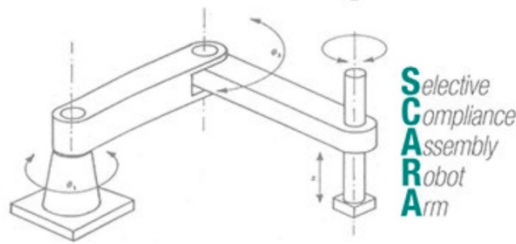
    float cz= step/100;
    if (orientation==LOW) {lcd.setCursor(6, 0); lcd.print("-");}
    else {lcd.setCursor(6, 0); lcd.print("+");}
    lcd.setCursor(7, 0); lcd.print(cz);

    float vel = 1000* cz / (millis() - t0);
    lcd.setCursor(8, 1); lcd.print(vel);
}
}

```



## SCARA: velocità e precisione



Il robot SCARA (Selective Compliance Assembly Robot Arm) è stato concepito per operazioni veloci e precise.

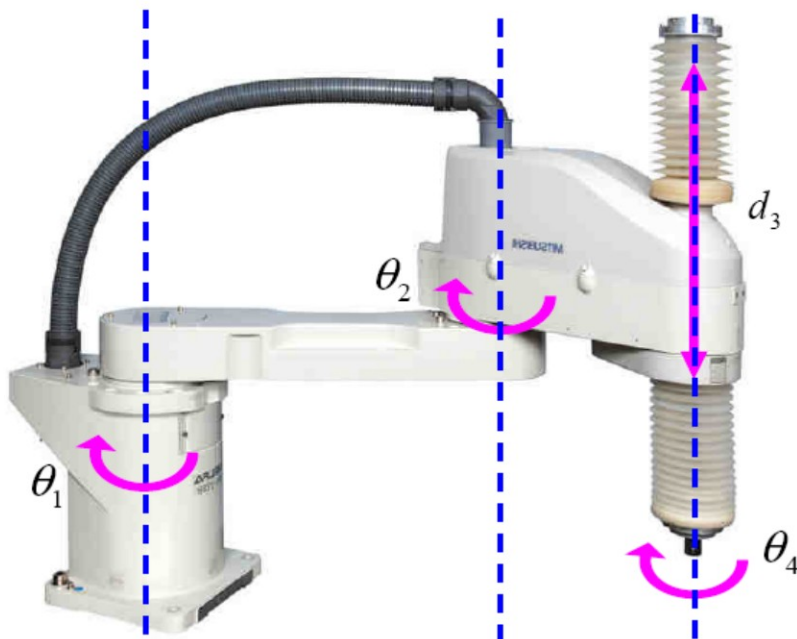
La cinematica del robot SCARA è stata sviluppata all'inizio degli anni '70 in seguito all'osservazione secondo la quale i cicli di movimento più frequenti sono realizzabili con 4 assi.

Il vantaggio che presenta questo tipo di robot rispetto ad altri è dovuto al fatto che per sollevare un pezzo il movimento avviene su un solo asse. Il che ne semplifica la struttura rendendolo più affidabile.

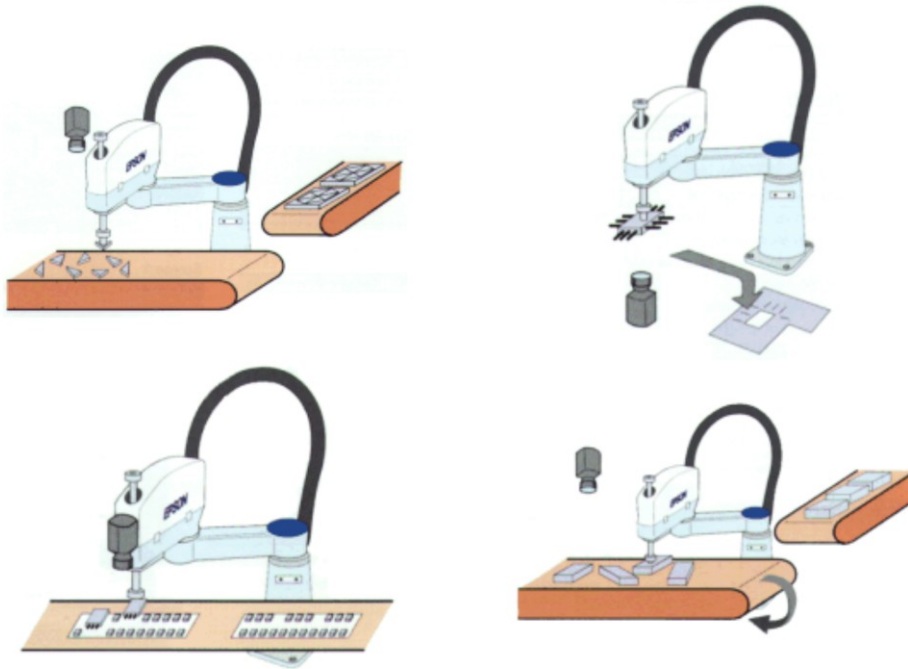
Perciò, laddove è possibile la movimentazione di parti su un livello, i vantaggi dello SCARA prevalgono sensibilmente rispetto a quelli delle altre cinematiche.

Il robot Scara presenta quindi 4 gradi di libertà. In un piano orizzontale si muovono 2 bracci articolati, incernierati ad una estremità con un asse verticale fisso, mentre all'altra estremità libera si trova 1 asse Z, il quale può muoversi sia verticalmente che ruotare intorno al proprio asse.

## MOVIMENTI E ANGOLI DEL ROBOT SCARA



## APPLICAZIONI TIPICHE DEL ROBOT SCARA



I robot SCARA offrono il massimo delle prestazioni di ripetibilità rispetto a tutti i tipi di robot.

Gli errori che si verificano nella posizione X-Y sono dovuti all'utilizzo di due motori in J1 e J2.

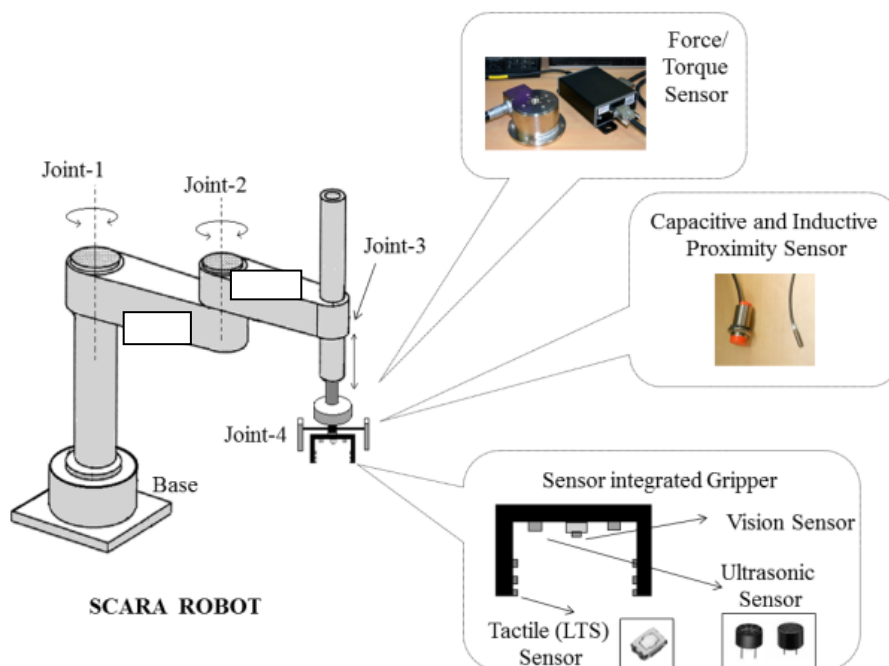
Gli altri tipi di robot utilizzano tre o più motori per contribuire alla posizione X-Y.

Il numero dei motori è direttamente proporzionale agli errori che potrebbero verificarsi.

L'eccellente ripetibilità è un elemento fondamentale per le piccole applicazioni di assemblaggio, in cui occorre rispettare tolleranze inferiori a diversi micron. Ad esempio, può trattarsi dell'inserimento dei connettori nelle schede elettroniche o dello spostamento di un ago in una piccola fessura per la distribuzione.

Uno SCARA può permettere raggi di azione da 100 mm a 1.200 mm, con capacità di carico pagante da 1 kg a 200 kg.

## END EFFECTOR



## ESERCIZIO ROBOT SCARA

Simulare il movimento di un robot SCARA dotato di 3 motori stepper e 2 servomotori:

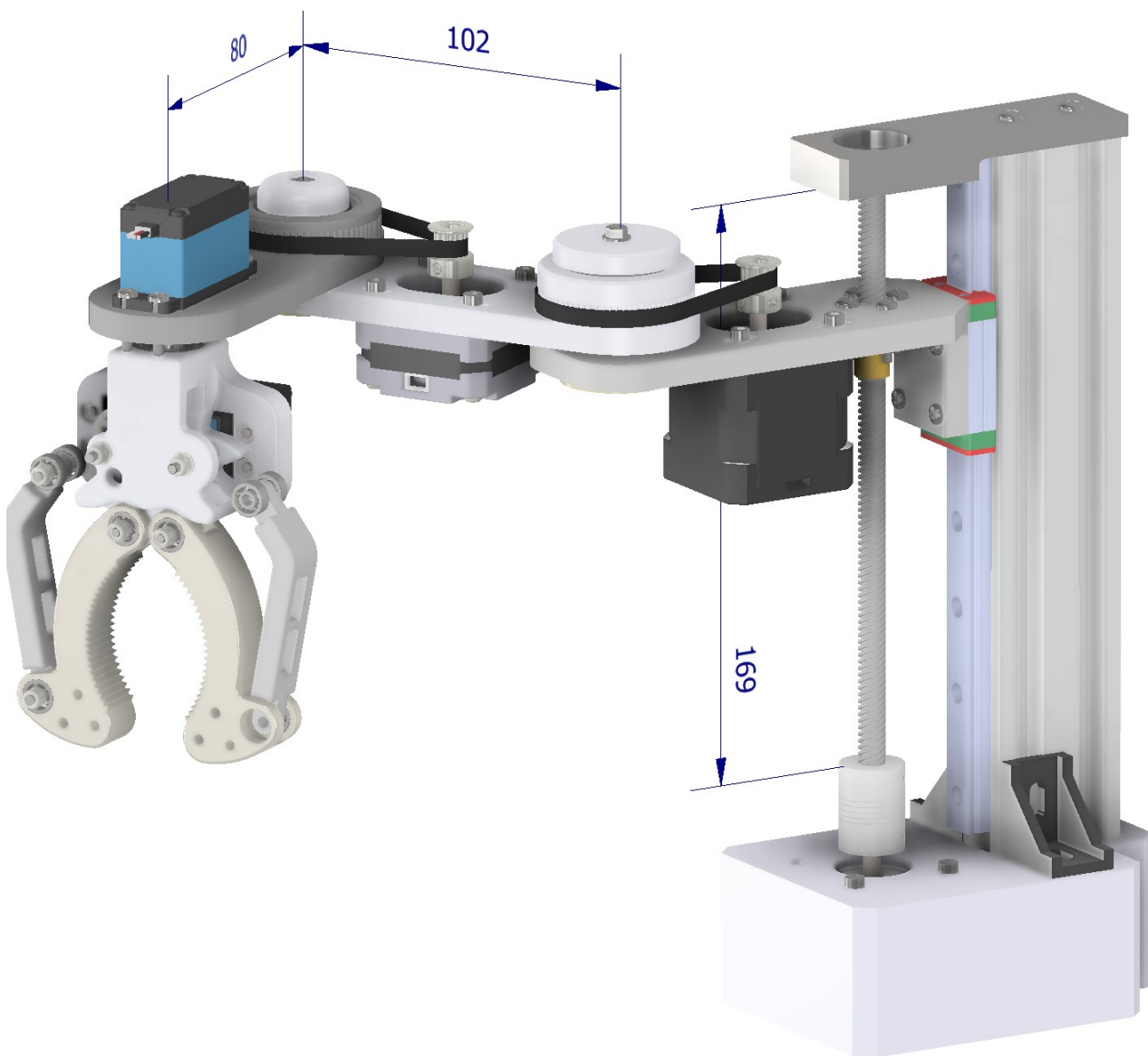
- ST0 → movimento verticale (asse Z) con vite T8 Trapezoidale Senza Fine  $\varnothing 8$  Mm Pitch 2mm 1 Principio
- ST1 → movimento angolare link1 (motore con rapporto riduzione 1.8:1 → 360 step per giro)
- ST2 → movimento angolare link2 (motore con rapporto riduzione 1.8:1 → 360 step per giro)
- SV1 → movimento polso pinza 0-180°
- SV2 → movimento griffe pinza 0°=aperta, 180°=chiusa

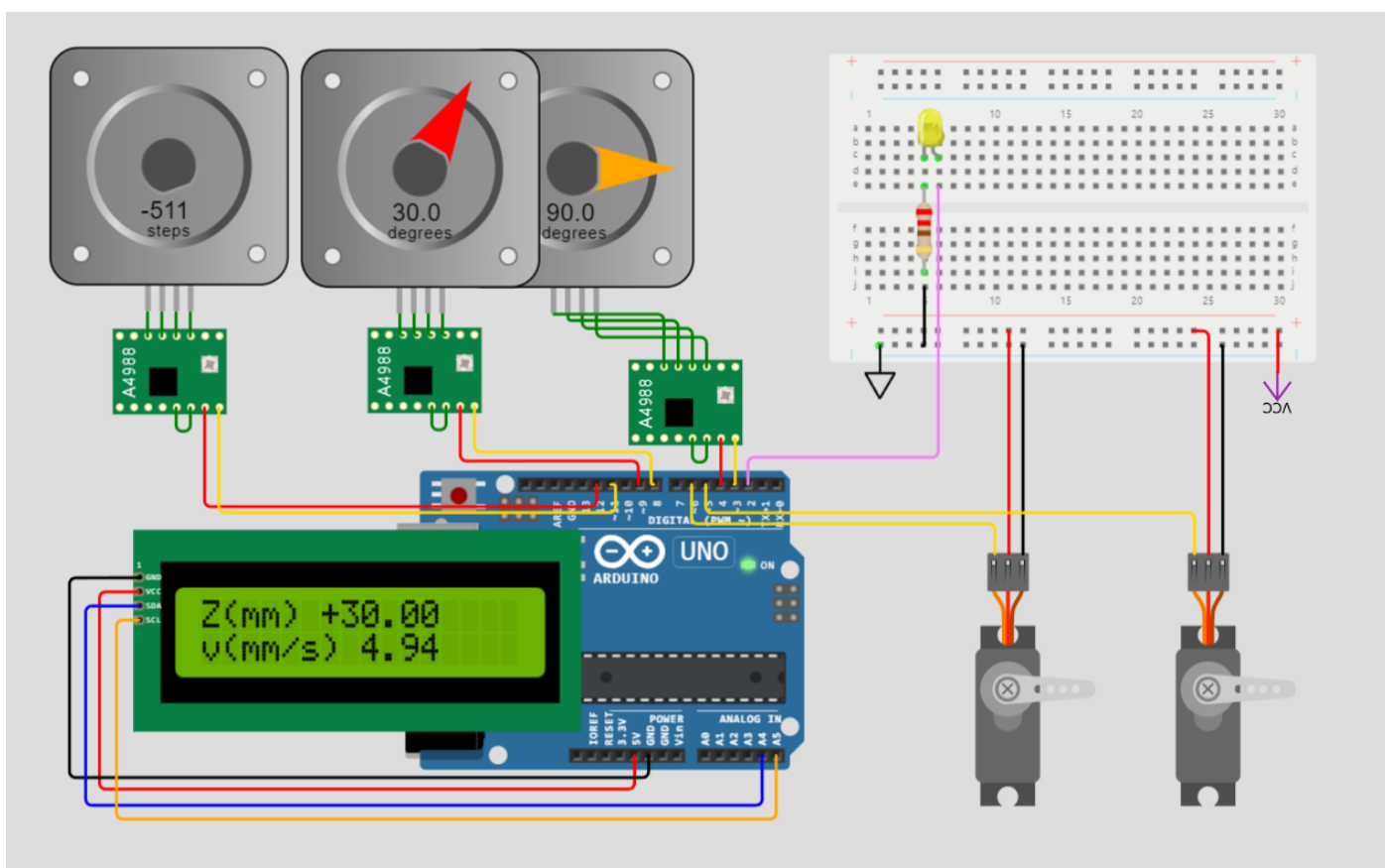
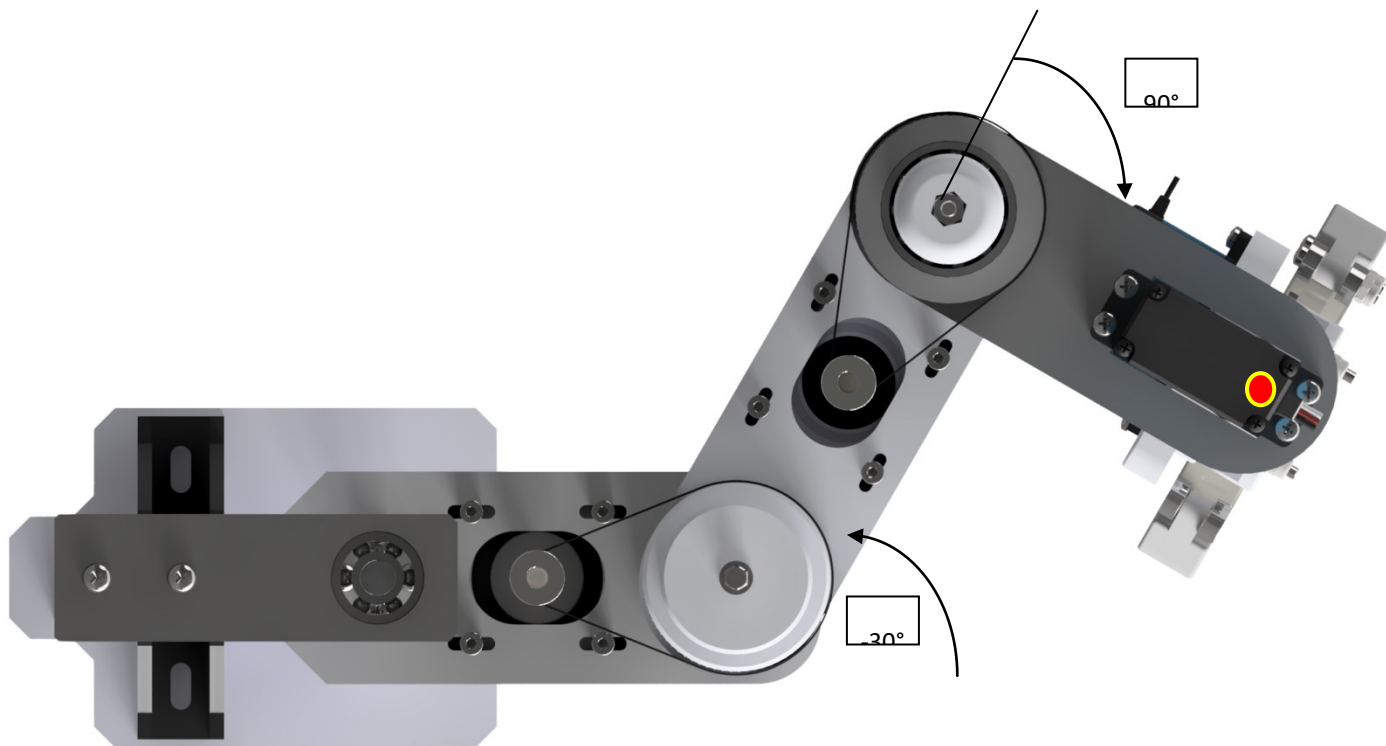
Link1 → 102mm

Link2 → 80

Posizione a riposo della pinza chiusa Z=120mm dal piano di appoggio.

Visualizzare la posizione verticale e la velocità di spostamento su un LCD 16x2 I2C.





simulabile su "wokwi.com"

## CODICE

```
#include <LiquidCrystal_I2C.h>
#include <Servo.h>

LiquidCrystal_I2C lcd(0x27, 20, 4);
Servo servoPolso; // create servo object to control a servo
Servo servoPinza; // create servo object to control a servo

// Nema 17 200 passi per giro accoppiato a
// vite T8 Trapezoidale Senza Fine Ø8 Mm Pitch 2mm 1 Principio
#define DIR_PIN0 11
#define STEP_PIN0 12 // gearRatio 1:1 --> 1 giro= 200 step --> 2mm di spostamento
#define DIR_PIN1 8
#define STEP_PIN1 9 // set gearRatio 1.8:1 to get 1° for 1 step (1.8=360/200)
#define DIR_PIN2 3
#define STEP_PIN2 4 // set gearRatio 1.8:1 to get 1° for 1 step (1.8=360/200)
#define DELAY_ST 2000 // 2000 micros
#define DELAY_STZ 1000 // 2000 micros
#define LED_PIN 2
#define POLSO_PIN 5
#define PINZA_PIN 6
int idMotor; // 1,2 ...

void setup() {
  pinMode(DIR_PIN0, OUTPUT);
  pinMode(STEP_PIN0, OUTPUT);
  pinMode(DIR_PIN1, OUTPUT);
  pinMode(STEP_PIN1, OUTPUT);
  pinMode(DIR_PIN2, OUTPUT);
  pinMode(STEP_PIN2, OUTPUT);
  pinMode(LED_PIN, OUTPUT);
  pinMode(POLSO_PIN, OUTPUT);
  pinMode(PINZA_PIN, OUTPUT);
  servoPolso.attach(POLSO_PIN); servoPolso.write(0);
  servoPinza.attach(PINZA_PIN); servoPinza.write(0); // pinza aperta
  lcd.init();
  lcd.backlight();
  lcd.setCursor(0, 0); lcd.print("Z(mm)");
  lcd.setCursor(0, 1); lcd.print("v(mm/s)");
  delay(1000);
}

void loop() {
  lcd.setCursor(7, 1);
  // rotazione ORARIA 30°
  movelinkTo(1,30,HIGH);
  delay(1000);
  movelinkTo(2,90,HIGH);
  delay(1000);
  movezTo(30,LOW);
  delay(1000);
  digitalWrite(LED_PIN, HIGH);
  servoPolso.write(90); // polso ruotato di 90°
  delay(500);
  servoPinza.write(180); // pinza chiusa
  delay(2000);
  digitalWrite(LED_PIN, LOW);
  movelinkTo(2,90,LOW);
  delay(1000);
  movelinkTo(1,30,LOW);
  delay(1000);
  servoPolso.write(0);
  delay(500);
  servoPinza.write(0); // pinza aperta
  delay(1000);

  movezTo(30,HIGH);
  delay(1000);
}

void movelinkTo(int id, int position, int orientation) {
  if (id==1) {
    digitalWrite(DIR_PIN1, orientation);
  }
}
```

```

    for (int i = 0; i < postion; i++) {
        digitalWrite(STEP_PIN1, HIGH); delayMicroseconds(DELAY_ST);
        digitalWrite(STEP_PIN1, LOW); delayMicroseconds(DELAY_ST);
    }
}
else if (id==2) {
    digitalWrite(DIR_PIN2, orientation);
    for (int i = 0; i < postion; i++) {
        digitalWrite(STEP_PIN2, HIGH); delayMicroseconds(DELAY_ST);
        digitalWrite(STEP_PIN2, LOW); delayMicroseconds(DELAY_ST);
    }
}
}

// spostamento relativo in mm
void movezTo(int z, int orientation) {
    int t0= millis();
    int t= millis();

    // calcolo numero di step necessari (1mm=100 step)
    int step = z * 100;
    digitalWrite(DIR_PIN0, orientation);
    for (int i = 0; i < step; i++) {
        /* questo codice rallenta velocità motore dopo 2-3 volte !!!!
        float cz= (i+1)/100;
        if ( (millis() - t) >= 500) {
            t = millis();
            if (orientation==LOW) {lcd.setCursor(6, 0); lcd.print("-");}
            else {lcd.setCursor(6, 0); lcd.print("+");}
            lcd.setCursor(7, 0); lcd.print(cz);
            // calcolo rpm -> 1 giro = 200 step
            float vel = 1000 * cz / (millis() - t0);
            lcd.setCursor(8, 1); lcd.print(vel);
        }
        */
        digitalWrite(STEP_PIN0, HIGH); delayMicroseconds(DELAY_STZ);
        digitalWrite(STEP_PIN0, LOW); delayMicroseconds(DELAY_STZ);
    }

    float cz= step/100;
    if (orientation==LOW) {lcd.setCursor(6, 0); lcd.print("-");}
    else {lcd.setCursor(6, 0); lcd.print("+");}
    lcd.setCursor(7, 0); lcd.print(cz);

    float vel = 1000* cz / (millis() - t0);
    lcd.setCursor(8, 1); lcd.print(vel);
}
}

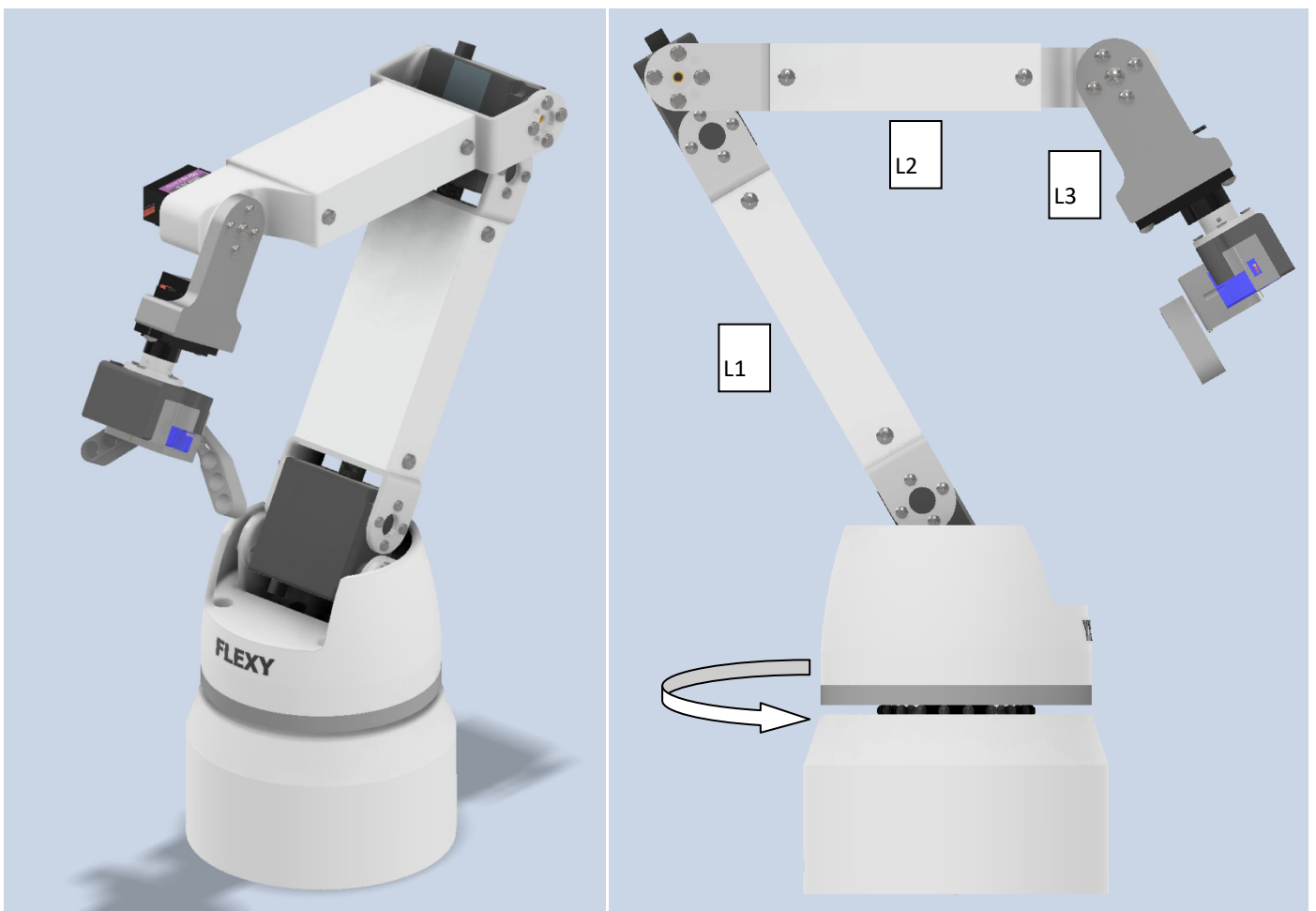
```

## ROBOT ANTROPOMORFO

I robot antropomorfi sono robot con movimenti su 5 o più assi che ricordano nella forma e nelle possibilità di articolazione il braccio umano. Per questo motivo sono anche denominati bracci robotici antropomorfi.



Esempio piccolo robot hobbistico.



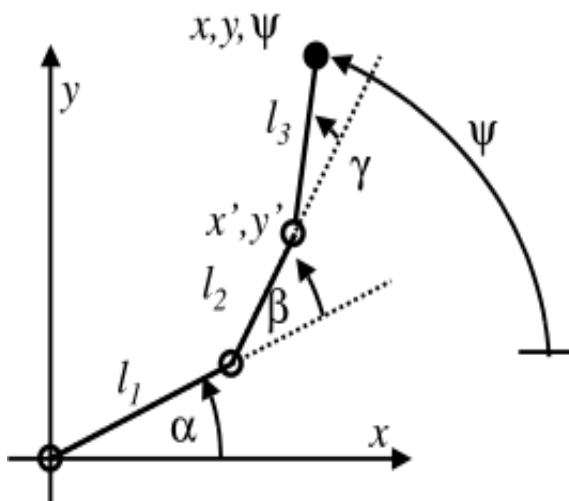
La cinematica diretta è risolta dalle seguenti equazioni:

$$\begin{cases} x = l_1 \cos(\alpha) + l_2 \cos(\alpha + \beta) + l_3 \cos(\alpha + \beta + \gamma) \\ y = l_1 \sin(\alpha) + l_2 \sin(\alpha + \beta) + l_3 \sin(\alpha + \beta + \gamma) \\ \psi = \alpha + \beta + \gamma \end{cases}$$

La cinematica inversa si può risolvere calcolando inizialmente le coordinate  $x'$  e  $y'$  del centro del terzo accoppiamento rotoidale e applicando poi ad esse la soluzione del robot SCARA classico:

$$\begin{cases} x' = x - l_3 \cos(\psi) \\ y' = y - l_3 \sin(\psi) \\ \beta = \pm \arccos\left(\frac{x'^2 + y'^2 - l_1^2 - l_2^2}{2l_1 l_2}\right) \\ \alpha = \operatorname{atan2}(y', x') - \operatorname{atan2}(l_2 \sin(\beta), l_1 + l_2 \cos(\beta)) \\ \gamma = \psi - \alpha - \beta \end{cases}$$

Il robot ha evidentemente due soluzioni e le configurazioni singolari si hanno per  $\beta = 0, \pi$ .



NB: l'angolo  $\Psi$  deve essere assegnato (dato di input noto).



## IL CODICE G IN SINTESI

I produttori di tutto il mondo utilizzano la programmazione CNC per controllare gli utensili di una macchina e produrre pezzi. Il cuore di questo processo di produzione automatizzata è costituito da una serie di istruzioni che indicano a un macchinario CNC dove e come muoversi. Queste istruzioni sono chiamate Codice G (G-Code).

```

1 %
2 001001
3 (Using high feed G1 F5000. instead of G0.)
4 (T1 D=44.45 CR=0. - ZMIN=17.5 - face mill)
5 (T6 D=3.969 CR=0. TAPER=118deg - ZMIN=2.5 - drill)
6 (T9 D=6.35 CR=0.381 - ZMIN=2.5 - bullnose end mill)
7 N10 G90 G94 G17
8 N15 G21
9 N20 G53 G0 Z0.
10
11 (Face3)
12 N30 T1 M6
13 (Aluminum Only Max Depth of Cut = 0.100")
14 N35 S7000 M3
15 N40 G54
16 N45 M8
17 N60 G0 X170.092 Y32.02
18 N65 G43 Z37. H1
19 N70 T9
20 N75 G0 Z27.
21 N80 G1 Z21.945 F1016.
22 N85 G18 G3 X165.647 Z17.5 I-4.445 K0.
23 N90 G1 X141.2
24 N95 X11.2 F2667.
25 N100 G17 G2 Y60.442 I0. J14.211
26 N105 G1 X141.2
27 N110 G3 Y88.864 I0. J14.211
28 N115 G1 X11.2
29 N120 G18 G3 X6.755 Z21.945 I0. K4.445 F1016.
30 N125 G0 Z37.
31
32 (Face3)
    
```

Il codice G è stato creato negli anni '60 dall'Electronics Industry Association (EIA).

Sebbene il linguaggio ufficiale sia documentato come RS-274D, tutti si riferiscono ad esso come codice G.

Perché?

Molti dei termini o dei singoli frammenti di codice che compongono questo linguaggio iniziano con la lettera G.

Anche se il codice G dovrebbe essere uno standard universale, scoprirai che molte aziende produttrici di macchine CNC hanno sviluppato il loro gusto unico. Tutti apprezziamo un buon gelato, ma una Haas potrebbe essere alla fragola e una Tormach al cioccolato. A causa di questa differenza nei gusti del codice G, è fondamentale capire come il proprio macchinario utilizza il codice G.

Perché esistono differenze nei gusti del codice G? La questione è legata alle capacità di ogni macchina. Prendiamo una macchina in grado di elaborare una rotazione del sistema di coordinate in base agli input della sonda. Avrai bisogno di una serie di comandi in codice G in grado di attivare o disattivare questa rotazione. Un'altra macchina che non ha questa capacità di regolazione non avrà bisogno di questo codice G.

In caso di dubbi, fai sempre riferimento alla documentazione della tua macchina CNC mentre leggi il resto di questo articolo. Ti illustreremo le nozioni di base, ma non è detto che la tua macchina non debba seguire un percorso leggermente diverso per raggiungere la stessa destinazione finale.

## BLOCCHI DI CODICE G

Gli standard del codice G sono stati pubblicati all'epoca in cui le macchine avevano una piccola quantità di memoria. A causa di questa limitazione di memoria, il codice G è un linguaggio estremamente compatto e conciso che a prima vista potrebbe sembrare arcaico. Prendiamo ad esempio questa riga di codice:

```
G01 X1 Y1 F20 T01 M03 S500
```

In questa singola riga, stiamo dando alla macchina una serie di istruzioni:

- G01 – Esegue un avanzamento lineare
- X1/Y1 – Si sposta su queste coordinate X e Y
- F20 – Spostamento con avanzamento 20
- T01 – Utilizzo dell'utensile 1 per portare a termine il lavoro
- M03 – Aziona il mandrino
- S500 – Imposta una velocità del mandrino pari a 500

Linee multiple di codice G come queste si combinano per formare un programma CNC completo.

Le macchine CNC leggono il codice una riga alla volta, da sinistra verso destra e dall'alto verso il basso, come se leggessero un libro.

Ogni serie di istruzioni si trova su una linea separata o su un blocco.

L'obiettivo di ogni programma di codice G è quello di produrre pezzi nel modo più sicuro ed efficiente possibile. Per raggiungere questo obiettivo, in genere, i blocchi di codice G sono disposti in un ordine particolare come il seguente:

1. Avvia il programma CNC.
2. Carica l'utensile richiesto.
3. Attiva il mandrino.
4. Attiva il refrigerante.
5. Spostati in una posizione al di sopra del pezzo.
6. Avvia il processo di lavorazione.
7. Disattiva il refrigerante.
8. Disattiva il mandrino.
9. Allontanati dal pezzo verso una posizione sicura.
10. Termina il programma CNC.

Questo flusso è un programma semplice che utilizza un solo strumento per un'unica operazione. In pratica, in genere si ripetono i passaggi da 2 a 9. Ad esempio, il programma in codice G riportato di seguito comprende tutti i blocchi di codice precedenti con sezioni ripetute dove necessario:

Block	Description	Purpose
%	Start of program.	Start Program
O0001 (PROJECT1)	Program number (Program Name).	
(T1 0.25 END MILL)	Tool description for operator.	
N1 G17 G20 G40 G49 G80 G90	Safety block to ensure machine is in safe mode.	Change Tool
N2 T1 M6	Load Tool #1.	
N3 S9200 M3	Spindle Speed 9200 RPM, On CW.	Move To Position
N4 G54	Use Fixture Offset #1.	
N5 M8	Coolant On.	Machine Contour
N6 G00 X-0.025 Y-0.275	Rapid above part.	
N7 G43 Z1. H1	Rapid to safe plane, use Tool Length Offset #1.	
N8 Z0.1	Rapid to feed plane.	
N9 G01 Z-0.1 F18.	Line move to cutting depth at 18 IPM.	
N10 G41 Y0.1 D1 F36.	CDC Left, Lead in line, Dia. Offset #1, 36 IPM.	
N11 Y2.025	Line move.	
N12 X2.025	Line move.	Change Tool
N13 Y-0.025	Line move.	
N14 X-0.025	Line move.	Move To Position
N15 G40 X-0.4	Turn CDC off with lead-out move.	
N16 G00 Z1.	Rapid to safe plane.	Drill Hole
N17 M5	Spindle Off.	
N18 M9	Coolant Off.	End Program
(T2 0.25 DRILL)	Tool description for operator.	
N19 T2 M6	Load Tool #2.	
N20 S3820 M3	Spindle Speed 3820 RPM, On CW.	Move To Position
N21 M8	Coolant On.	
N22 X1. Y1.	Rapid above hole.	Drill Hole
N23 G43 Z1. H2	Rapid to safe plane, use Tool Length Offset 2.	
N24 Z0.25	Rapid to feed plane.	End Program
N25 G98 G81 Z-0.325 R0.1 F12.	Drill hole (canned) cycle, Depth Z-.325, F12.	
N26 G80	Cancel drill cycle.	
N27 Z1.	Rapid to safe plane.	End Program
N28 M5	Spindle Off.	
N29 M9	Coolant Off.	End Program
N30 G91 G28 Z0	Return to machine Home position in Z.	
N31 G91 G28 X0 Y0	Return to machine Home position in XY.	
N32 G90	Reset to absolute positioning mode (for safety).	
N33 M30	Reset program to beginning.	
%	End Program.	

Come altri linguaggi di programmazione, il codice G può ripetere un'azione all'infinito finché non viene interrotta. Questo processo di looping utilizza un codice modale, che agisce fino a quando non viene disattivato o modificato con un altro codice modale. Ad esempio, M03 è un codice modale che fa girare un mandrino all'infinito finché non gli ordini di fermarsi con M05. Ora, aspetta un attimo. Questa parola (ricorda: una parola è un piccolo pezzo di codice) non inizia con la G, ma è comunque un codice G. Le parole che iniziano con una M sono codici macchina e attivano o disattivano funzioni della macchina come il refrigerante, il mandrino e i morsetti. Ne elencheremo alcuni comuni nella prossima sezione, ma puoi trovare un elenco dei codici M della tua macchina nella sua documentazione.

Il codice G include anche un elenco completo di codici di indirizzo. Puoi considerarli come il dizionario del codice G che definisce particolari comportamenti. I codici di indirizzo iniziano con la lettera di designazione, come G, e seguono con una serie di numeri. Ad esempio, X2 definisce un codice di indirizzo per la coordinata X, dove 2 è il valore sull'asse X su cui spostare la macchina.

L'elenco completo dei codici di indirizzo comprende:

Code	Meaning
<b>A</b>	Rotation about X-axis.
<b>B</b>	Rotation about Y-axis.
<b>C</b>	Rotation about Z-axis.
<b>D</b>	Cutter diameter compensation (CDC) offset address.
<b>F</b>	Feed rate.
<b>G</b>	G-Code (preparatory code).
<b>H</b>	Tool length offset (TLO).
<b>I</b>	Arc center X-vector, also used in drill cycles.
<b>J</b>	Arc center Y-vector, also used in drill cycles.
<b>K</b>	Arc center Z-vector, also used in drill cycles.
<b>M</b>	M-Code (miscellaneous code).
<b>N</b>	Block Number.
<b>O</b>	Program Number.
<b>P</b>	Dwell time.
<b>Q</b>	Used in drill cycles.
<b>R</b>	Arc radius, also used in drill cycles.
<b>S</b>	Spindle speed in RPM.
<b>T</b>	Tool number.
<b>X</b>	X-coordinate.
<b>Y</b>	Y-coordinate.
<b>Z</b>	Z-coordinate.

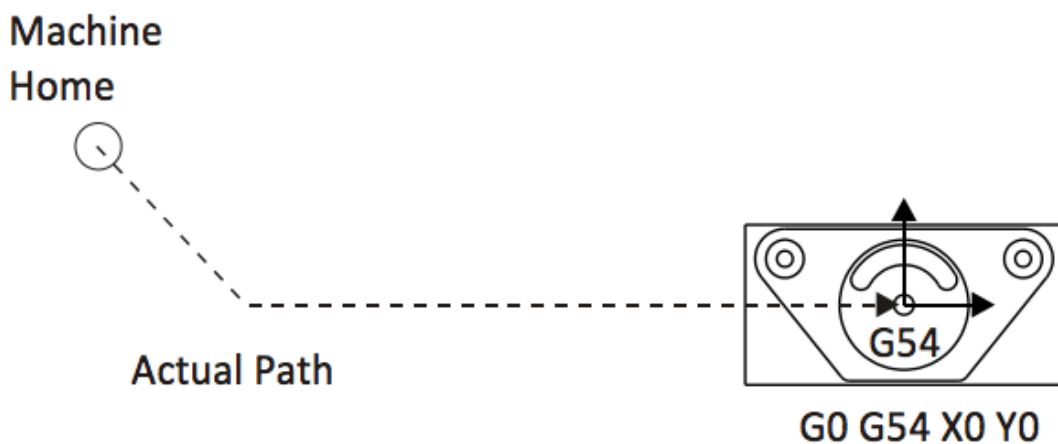
A un programma in codice G possono essere aggiunti diversi codici di caratteri speciali. In genere vengono utilizzati per avviare un programma, eliminare il testo o ignorare i caratteri. Includono:

- % Inizia o termina un programma CNC
- () Definisce un commento scritto da un operatore CNC; occasionalmente deve essere scritto tutto in maiuscolo.
- / Ignora tutti i caratteri che vengono dopo lo slash
- ; Determina la fine di un blocco di codice, non visualizzabile in un editor di testo.

I codici G e M costituiranno la maggior parte del tuo programma CNC. I codici che iniziano con G preparano la tua macchina a eseguire un tipo specifico di movimento. I codici G più comuni che si incontrano più volte in ogni programma CNC sono:

### G0 – MOVIMENTO RAPIDO

Questo codice indica a una macchina di spostarsi il più velocemente possibile verso una posizione di coordinate specificata. G0 sposterà la macchina asse per asse, il che significa che si muoverà prima lungo entrambi gli assi e terminerà lo spostamento su quello che non è in posizione. Nella figura seguente è mostrato un esempio di questo movimento:

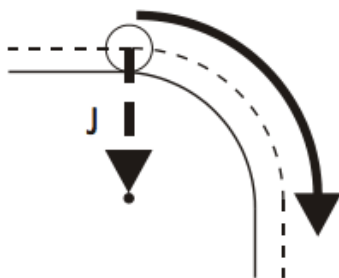


### G1 – MOVIMENTO LINEARE

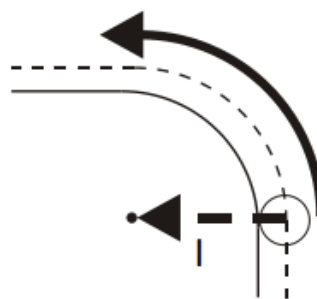
Questo codice indica a una macchina di muoversi in linea retta verso una posizione coordinata con un avanzamento definito. Ad esempio, G1 X1 Y1 F32 sposterà la macchina verso le coordinate X1, Y1, con un avanzamento di 32.

G2, G3 – Arco in senso orario, arco in senso antiorario

Questi codici indicano alla macchina di muoversi in un arco verso una coordinata di destinazione. Due coordinate aggiuntive, I e J, definiscono la posizione centrale dell'arco, come mostrato di seguito:

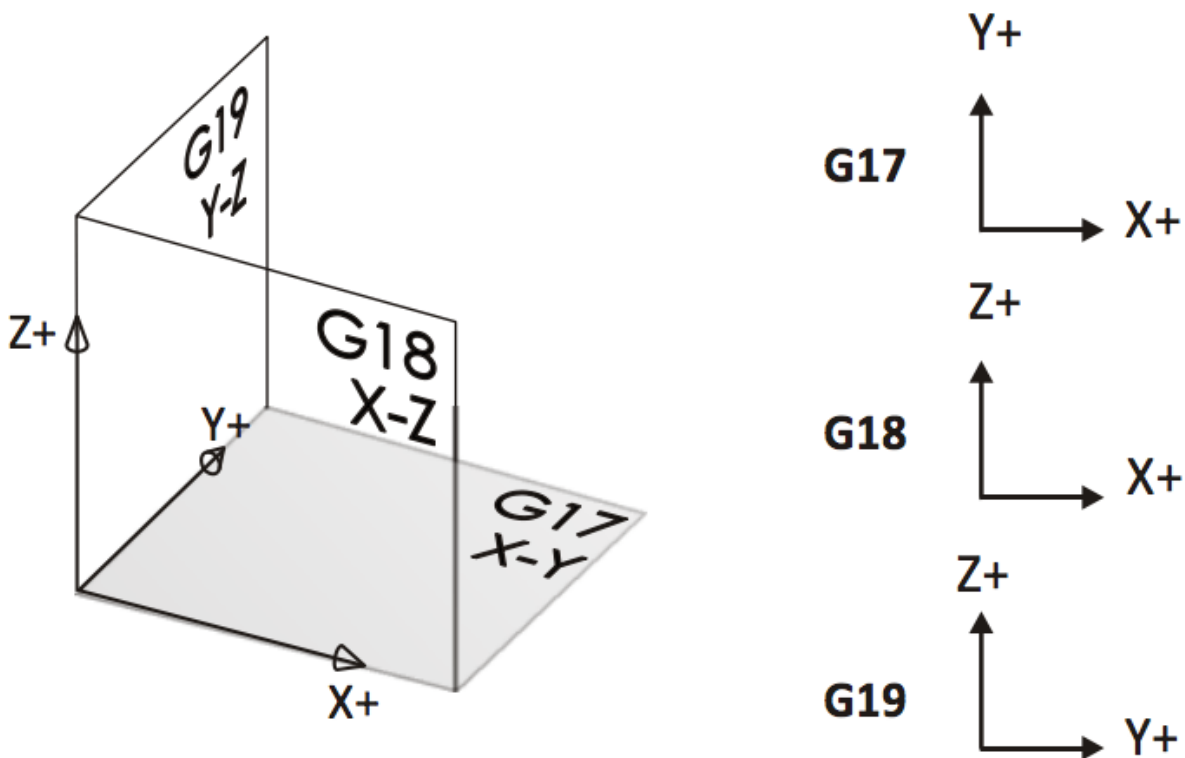


**G2 X0. Y-.25 I0. J-.25**



**G3 X-.25 Y0. I-.25 J0.**

Questi codici definiscono su quale piano verrà lavorato un arco. Per impostazione predefinita, la tua macchina CNC utilizzerà G17, che è il piano XY. Gli altri due piani sono mostrati nell'immagine sottostante:



Questi codici definiscono la compensazione del diametro della lama, o CDC, che permette a una macchina CNC di posizionare l'utensile a sinistra o a destra di un percorso definito.

Un registro D memorizza la compensazione per ogni utensile.

Tool Diameter Offset	Value
D1	0.0020
D2	0.0000
D3	0.0000
D4	0.0000
D5	0.0000
D6	0.0000

#### G43 – Compensazione della lunghezza dell'utensile

Questo codice definisce la lunghezza dei singoli utensili utilizzando l'altezza dell'asse Z.

Ciò consente alla macchina CNC di capire dove si trova la punta di un utensile rispetto al pezzo su cui sta lavorando.

Un registro definisce le compensazioni della lunghezza dell'utensile, dove H è l'offset della lunghezza dell'utensile e Z è la sua lunghezza.

Tool Length Resister	Z
H1	12.6280
H2	6.3582
H3	9.7852
H4	6.8943
H5	10.5673
H6	7.1258

## G54 – COMPENSAZIONE DI LAVORAZIONE

Questo codice viene utilizzato per definire una compensazione, che determina la distanza tra le coordinate interne di una macchina e l'origine di un pezzo.

Nella tabella sottostante, solo G54 ha una definizione di compensazione.

Tuttavia, si possono programmare più compensazioni se un lavoro richiede la lavorazione contemporanea di più pezzi.

Work Offset	X	Y	Z
G54	14.2567	6.6597	2.0183
G55	0.0000	0.0000	0.0000
G56	0.0000	0.0000	0.0000
G57	0.0000	0.0000	0.0000
G58	0.0000	0.0000	0.0000
G59	0.0000	0.0000	0.0000

## CODICI M

I codici M sono codici macchina che possono differire tra le macchine CNC.

Questi codici controllano le funzioni della macchina CNC, come le direzioni del refrigerante e del mandrino.

Alcuni dei codici M più comuni sono i seguenti:

Code	Meaning
<b>M0</b>	Program stop. Press Cycle Start button to continue.
<b>M1</b>	Optional stop. Only executed if Op Stop switch on the CNC control is turned ON.
<b>M2</b>	End of program.
<b>M3</b>	Spindle on Clockwise.
<b>M4</b>	Spindle on Counterclockwise.
<b>M5</b>	Spindle stop.
<b>M6</b>	Change tool.
<b>M8</b>	Coolant on.
<b>M9</b>	Coolant off.
<b>M30</b>	End program and press Cycle Start to run it again.

L'ultimo aspetto del codice G da toccare è quello dei cicli fissi. Sono simili ai metodi o alle funzioni della programmazione informatica.

Consentono di eseguire un'azione complicata con poche righe di codice, senza dover digitare tutti i dettagli.

Prendiamo, ad esempio, il seguente ciclo fisso. In questo caso stiamo dicendo allo strumento CNC di creare un foro con una perforatrice in sole due righe di codice sulla sinistra.

La stessa azione richiede oltre 20 righe di regolare codice G.

<b>Canned Cycle</b>	<b>Equivalent Motion: Expanded Code</b>
N70 G98 G83 X1. Y1. Z-1.04 R0.06 Q0.15 P0 F9. N75 G80	N70 Z0.06 N75 Z0.04 N80 G01 Z-0.19 F9. N85 G00 Z0.06 N90 Z-0.11 N95 G01 Z-0.34 N100 G00 Z0.06 N105 Z-0.26 N110 G01 Z-0.49. N115 G00 Z0.06 N120 Z-0.41 N125 G01 Z-0.64. N130 G00 Z0.06 N135 Z-0.56 N140 G01 Z-0.79 N145 G00 Z0.06 N150 Z-0.71 N155 G01 Z-0.94. N160 G00 Z0.06 N165 Z-0.86 N170 G01 Z-1.04. N175 G00 Z0.25



# ELETTROPNEUMATICA

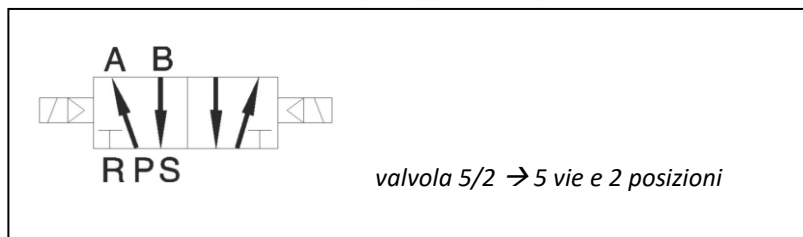
La tecnologia pneumatica è basata sull'utilizzo di un gas compresso (aria) per produrre un movimento meccanico. Questa tecnologia appartiene al campo della tecnologia dei fluidi, assieme all'oleodinamica. Tuttavia, a differenza di quest'ultima che utilizza i fluidi come mezzo propulsivo, la pneumatica utilizza l'aria compressa che è un'alternativa economica ed ecologica per la movimentazione di macchine ed utensili.

Nella pneumatica il passaggio di aria compressa che genera un movimento meccanico avviene tramite comandi di tipo meccanico. Se si utilizzano elettrovalvole e segnali di comando elettrici si parla di ELETTROPNEUMATICA.

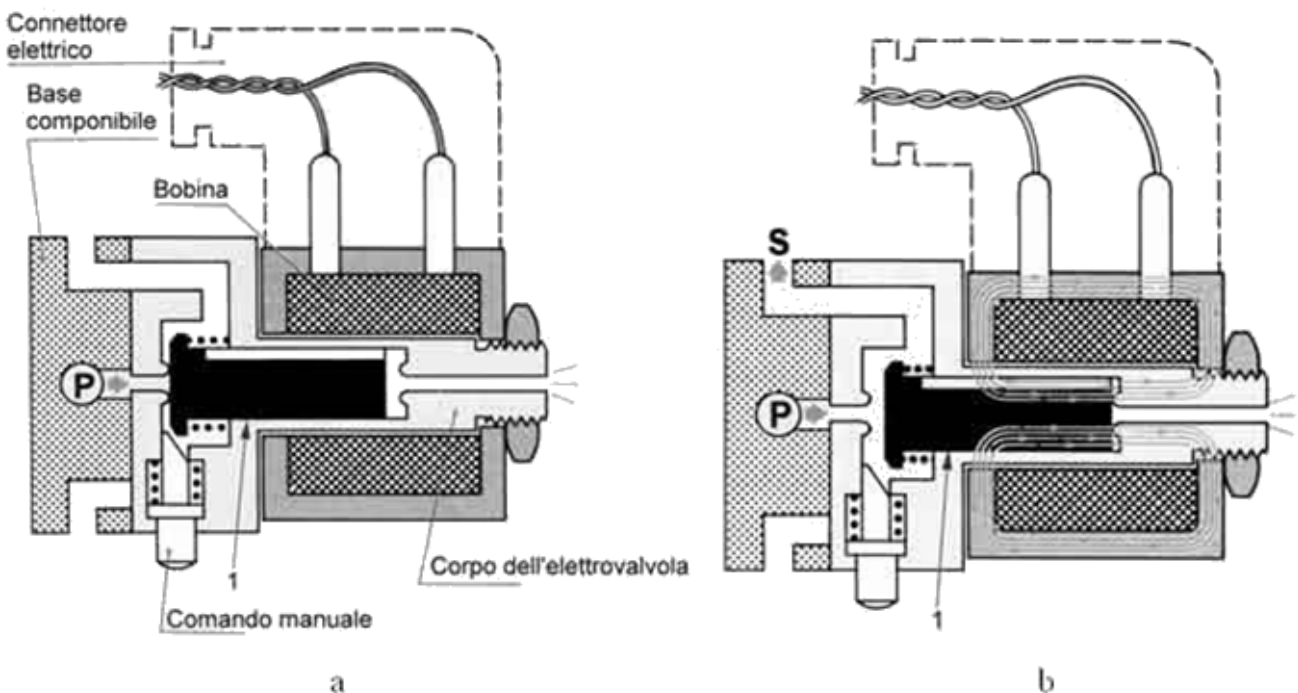


## ELETTROVALVOLE PNEUMATICHE

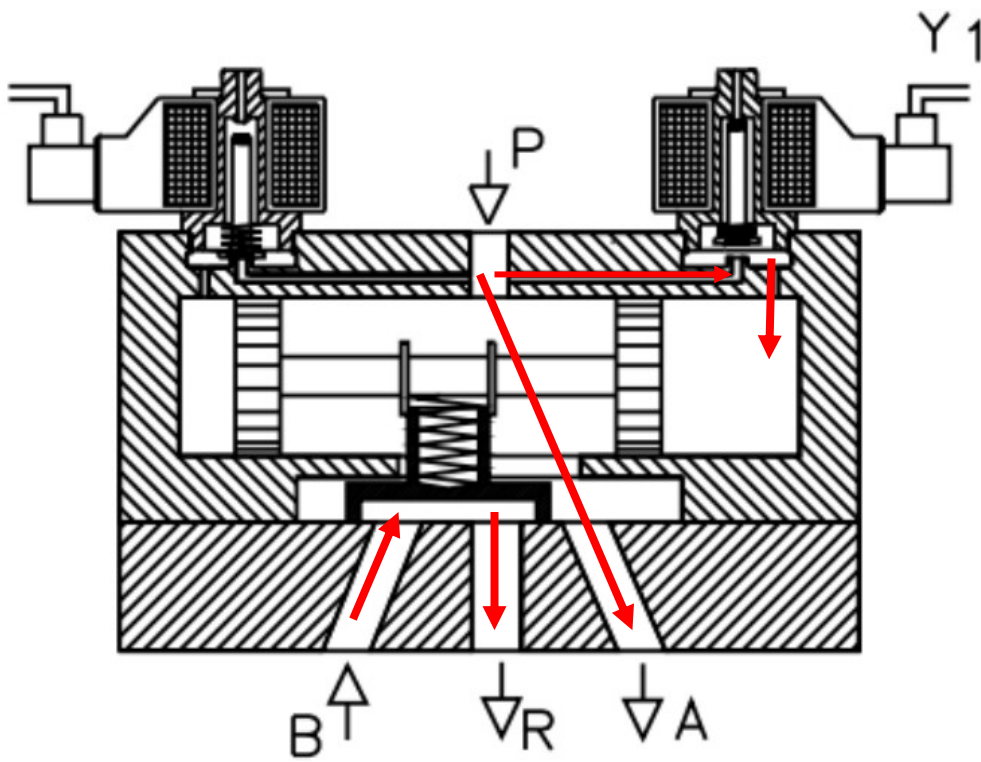
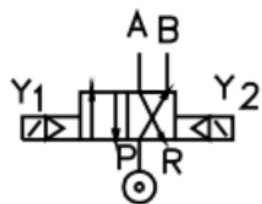
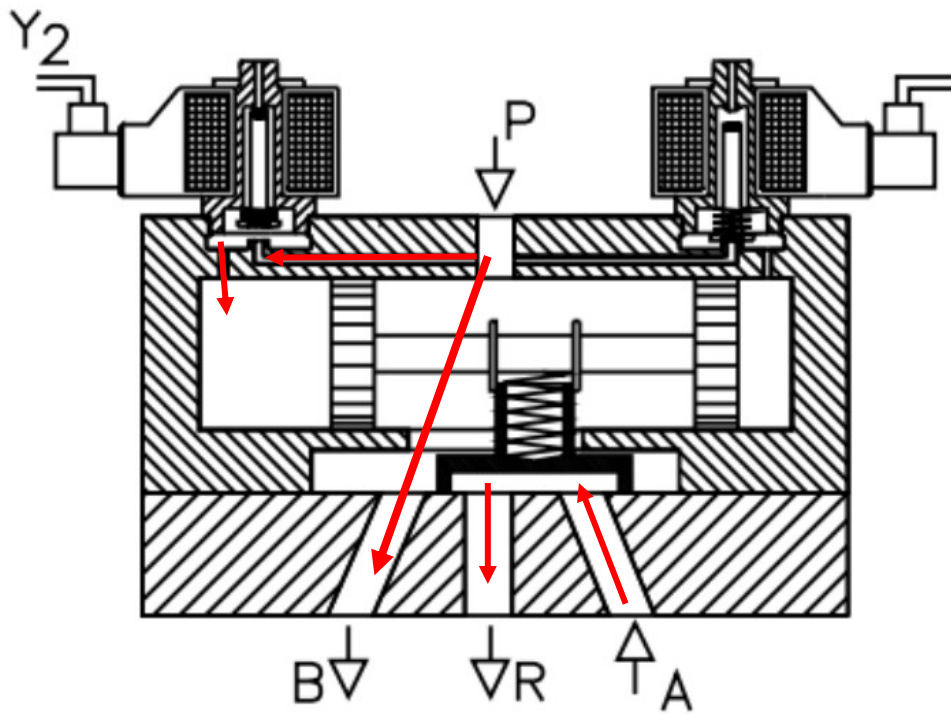
Una elettrovalvola (o valvola a solenoide) è una valvola che utilizza la forza elettromagnetica per funzionare. Quando una corrente elettrica viene fatta passare attraverso la bobina del solenoide (generalmente alimentata a 24V), viene generato un campo magnetico che provoca il movimento di un perno metallico che permette il passaggio dell'aria da una via ad un'altra.



Schema funzionamento della bobina per una valvola unidirezionale



Schema funzionamento delle 2 bobine di una elettrovalvola 4/2 bistabile con piattello scorrevole



## COMANDO ATTUATORI ELETTOPNEUMATICI CON ARDUINO

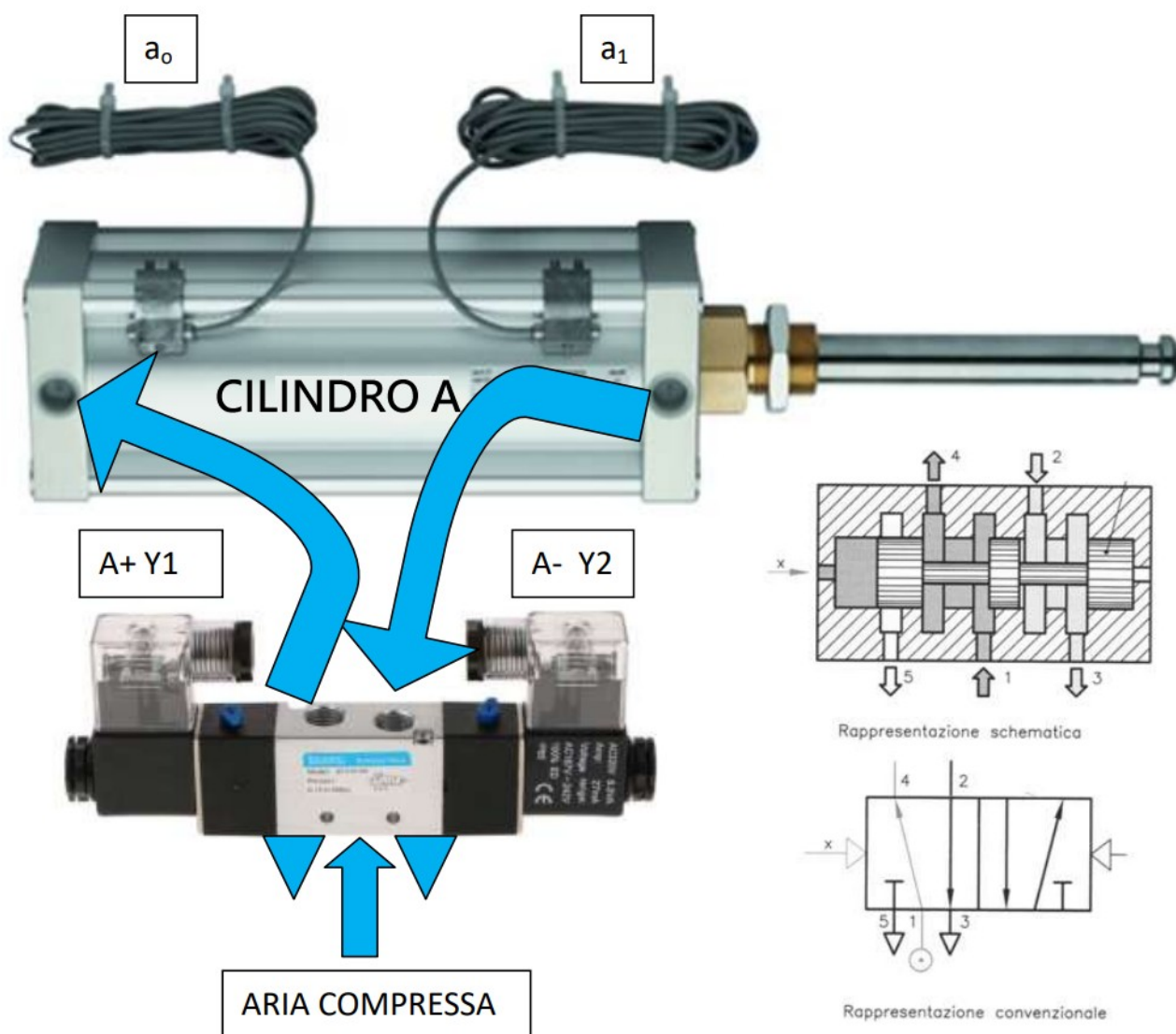
Utilizzando le valvole elettropneumatiche è possibile realizzare automatismi controllabili da un microcontrollore come Arduino.

Le bobine dell'elettrovalvola generalmente vanno alimentate a 24V per consentirne l'attivazione e di conseguenza il passaggio dell'aria 1→4 (uscita pistone) oppure 1→2 (rientro cilindro).

Per avviare le bobine si possono utilizzare dei relè comandati da Arduino tramite una uscita digitale a 5V.

Tramite il contatto NA del relè si connette la bobina dell'elettrovalvola al generatore 24V.

L'attivazione della bobina Y1 (con la Y2 disattivata) avvia la fase A+ (uscita del pistone) mentre l'attivazione della bobina Y2 (con la Y1 disattivata) avvia la fase A- (rientro del pistone).

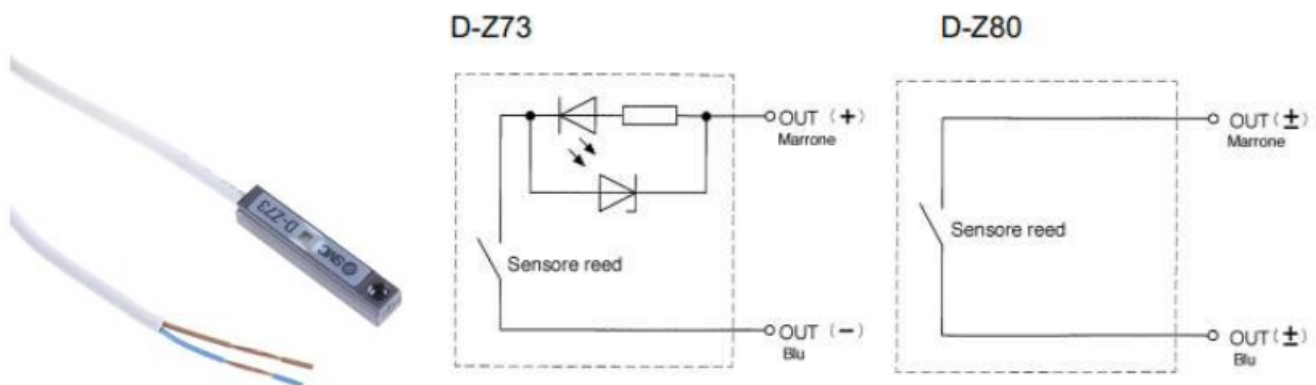


La valvola 5/2, rispetto alla 4/2 consente di avere due scarichi distinti sull'andata e il ritorno del pistone per permettere la regolazione della la velocità in modo differenziato.

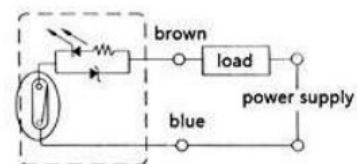
## SENSORI MAGNETICI (REED SWITCHES)

Sono degli interruttori che si attivano in presenza di un campo magnetico.

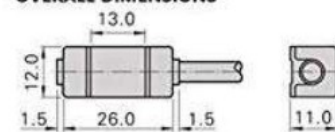
Si trovano sotto forma di una capsula di vetro con due steli metallici alle estremità o completamente avvolti in un case plastico/metallico che garantisce una maggiore resistenza.



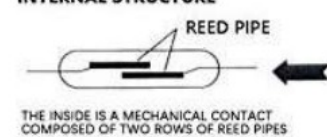
### EXTERNAL WIRING



### OVERALL DIMENSIONS



### INTERNAL STRUCTURE



In campo elettropneumatico vengono impiegati abbinati a cilindri magnetici per rilevare la posizione del pistone (dotato di fascia magnetica) all'interno del cilindro funzionando così da FINECORSA.

Nel caso di sensori a due fili è necessario alimentare il sensore tramite un carico resistivo per limitare la corrente a pochi mA quando il circuito è chiuso (presenza di campo magnetico).

In campo industriale in generale la tensione di alimentazione varia da 4 a 24V con una corrente massima di 50mA.

Se il sensore è dotato di led in generale ha già integrata una resistenza limitatrice.

Il led si accende in presenza di un campo magnetico (presenza pistone con anello magnetico).

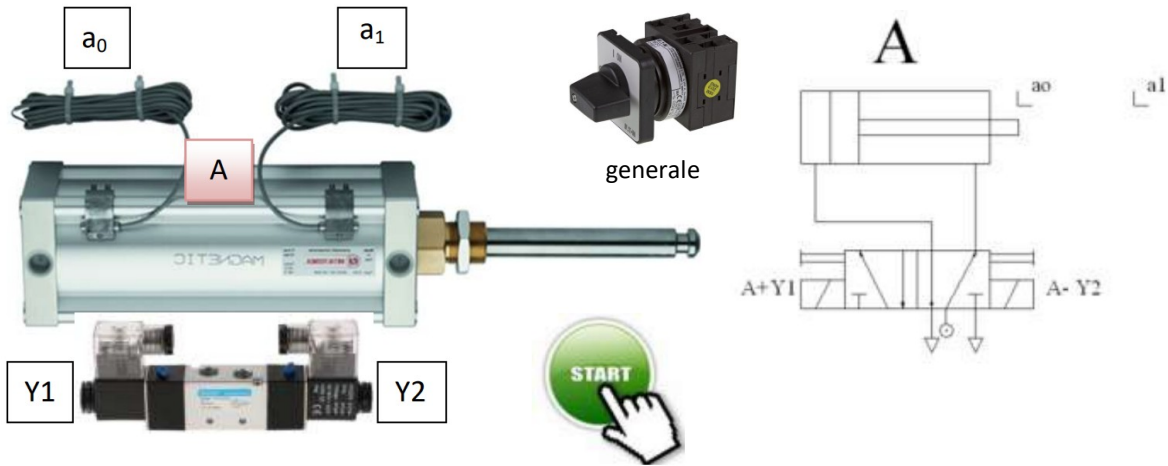
## ESERCITAZIONE SEQUENZA PNEUMATICA

Implementare la sequenza logica "A+/pausa 5s/A-" con un attuatore pneumatico comandato da una elettrovalvola 5/2 (24V) tramite una scheda Arduino che utilizza 2 relè a 5V.

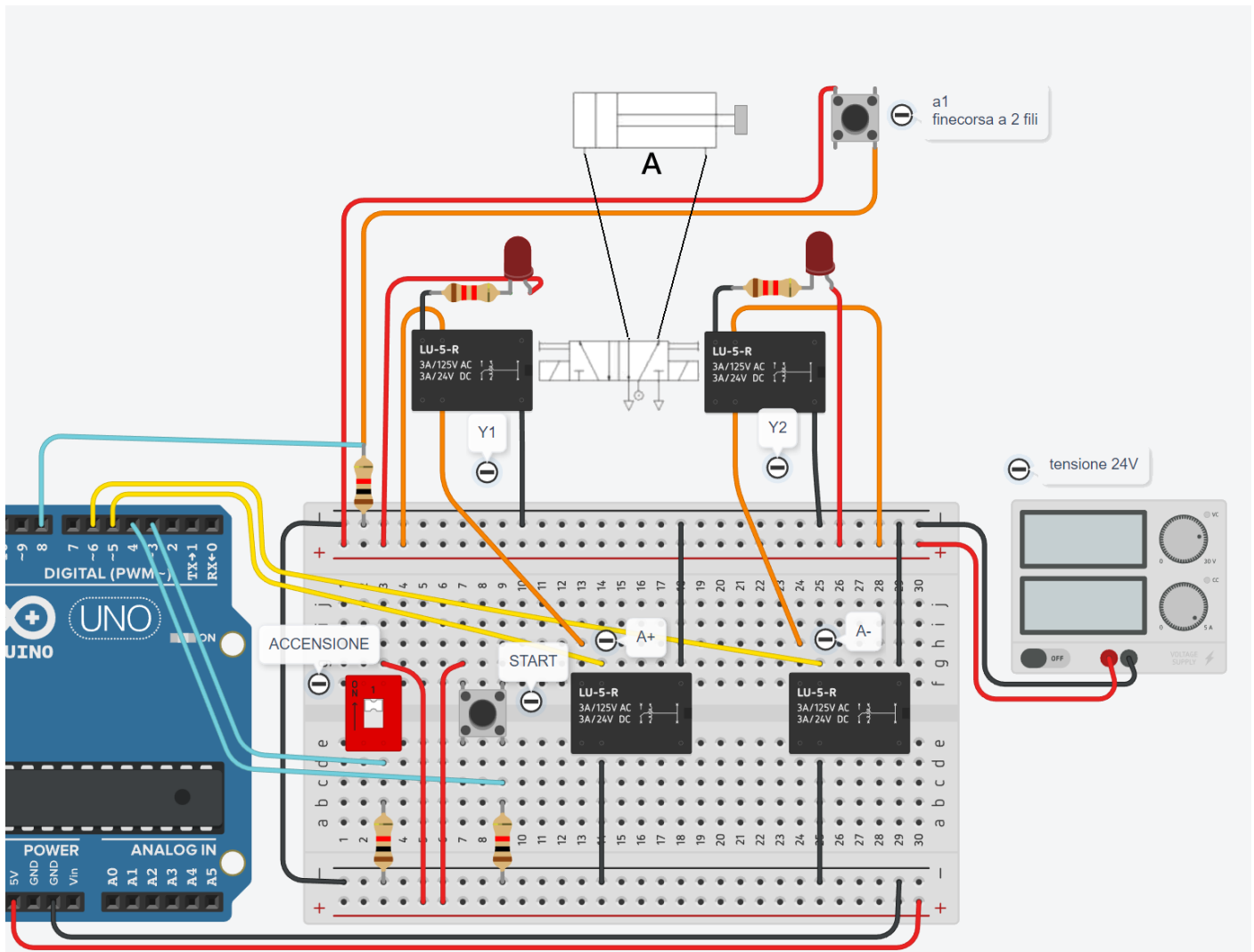
L'attuatore pneumatico è dotato di un sensore di prossimità ( $a_1$ ) a 2 fili senza resistenza interna (24V).

La sequenza viene avviata premendo il pulsante START solo se è attivo un interruttore generale.

Le bobine dell'elettrovalvola vanno simulate tramite 2 relè mentre il finecorsa "a<sub>1</sub>" con un pulsante.



## SCHEMA THINKERCAD



## CODICE

```
int statoStart;
int statoAccensione;
int statoA1;
bool sequenzaAttiva=false;

void setup()
{
  Serial.begin(9600);
  pinMode(3, INPUT);      // interruttore generale
  pinMode(4, INPUT);      // pulsante START
  pinMode(5, OUTPUT);     // bobina Y1
  pinMode(6, OUTPUT);     // bobina Y2
  pinMode(8, INPUT);      // finecorsa a1
}

void loop()
{
  statoAccensione= digitalRead(3);

  statoStart= digitalRead(4);
  if (statoStart== HIGH && statoAccensione== HIGH) {
    sequenzaAttiva= true;
    Serial.println("Avvio sequenza");
  }

  if (sequenzaAttiva== true && statoAccensione== HIGH) {
    digitalWrite(5, HIGH);
    digitalWrite(6, LOW);
    Serial.println("A+");

    statoA1= digitalRead(8);
    // finchè il finecorsa a1 non passa ad alto attendo
    while (statoA1== LOW) {
      statoA1= digitalRead(8);
      delay(100);
    }
    Serial.println("a1 ALTO");
    Serial.println("Pausa 5s");
    delay(5000);

    digitalWrite(5, LOW);
    digitalWrite(6, HIGH);
    Serial.println("A-");
    Serial.println("Pausa 1s"); // pausa per garantire rientro pistone
    delay(1000);

    Serial.println("Disattivo relè");
    digitalWrite(5, LOW);
    digitalWrite(6, LOW);
    Serial.println("Fine sequanza");

    sequenzaAttiva= false;
  }
}
```

## FORMULE ELEMENTI CIRCUITALI IDEALI

Gli elementi elementari del circuito - il resistore, il condensatore e l'induttore - impongono relazioni lineari tra tensione e corrente.

### RESISTORE

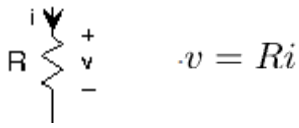


Figura 1. Resistenza.

Il resistore è di gran lunga l'elemento circuitale più semplice. In un resistore la tensione è proporzionale alla corrente, con la costante di proporzionalità, noto come la resistenza.

$$v(t) = Ri(t)$$

La resistenza ha unità di ohm, denotate dal nome dello scienziato elettrico tedesco Georg Ohm. Quando la resistenza è positiva, come nella maggior parte dei casi, un resistore consuma energia. Il consumo energetico istantaneo di un resistore può essere scritto in due modi.

$$p(t) = Ri^2(t) = \frac{1}{R}v^2(t)$$

Quando la resistenza si avvicina all'infinito, abbiamo quello che è noto come un circuito aperto: nessuna corrente scorre ma una tensione diversa da zero può apparire attraverso il circuito aperto. Quando la resistenza diventa zero, la tensione va a zero per un flusso di corrente diverso da zero. Questa situazione corrisponde ad un cortocircuito. Un superconduttore realizza fisicamente un cortocircuito.

### CONDENSATORE

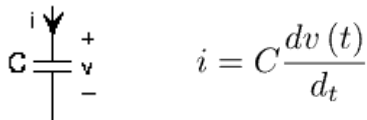


Figura 2. Condensatore.

Il condensatore immagazzina la carica e la relazione tra la carica immagazzinata e la tensione risultante è

$$q = Cv.$$

La costante di proporzionalità, la capacità, ha unità di farad (F), e prende il nome dal fisico sperimentale inglese Michael Faraday.

Poiché la corrente è la velocità di variazione della carica, la relazione vi può essere espressa in forma differenziale o integrale.

$$i(t) = C \frac{dv(t)}{dt} \quad \text{or} \quad v(t) = \frac{1}{C} \int_{-\infty}^t i(\alpha) d\alpha$$

Se la tensione ai capi di un condensatore è costante, la corrente che scorre in esso è uguale a zero. In questa situazione, il condensatore è equivalente a un circuito aperto. La potenza consumata/prodotta da una tensione applicata ad un condensatore dipende dal prodotto della tensione per la sua derivata.

$$p(t) = Cv(t) \frac{dv(t)}{dt}$$

Questo risultato significa che il dispendio energetico totale di un condensatore fino al momento t è sinteticamente dato da

$$E(t) = \frac{1}{2} Cv^2(t)$$

Questa espressione presuppone l' assunto fondamentale della teoria dei circuiti: tutte le tensioni e le correnti in qualsiasi circuito erano pari a zero nel lontano passato (

## INDUTTORE

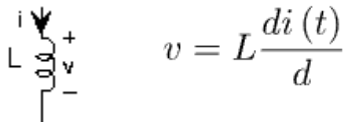


Figura 3. Induttore.

L'induttore immagazzina il flusso magnetico, con induttori di valore maggiore in grado di immagazzinare più flusso. L'induttanza ha unità di henry (H) e prende il nome dal fisico americano Joseph Henry . Le forme differenziali e integrali della relazione vi dell'induttore sono

$$v(t) = L \frac{di(t)}{dt} \quad \text{or} \quad i(t) = \frac{1}{L} \int_{-\infty}^t v(\alpha) d\alpha$$

La potenza consumata/prodotta da un induttore dipende dal prodotto della corrente dell'induttore e della sua derivata

$$p(t) = Li(t) \frac{di(t)}{dt}$$

e il suo dispendio energetico totale fino al momento è dato da

$$E(t) = \frac{1}{2} Li^2(t)$$

## SORGENTI

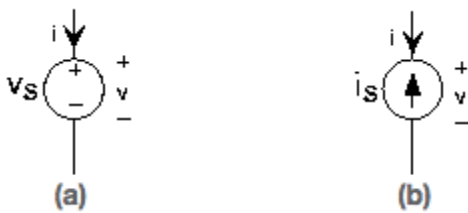


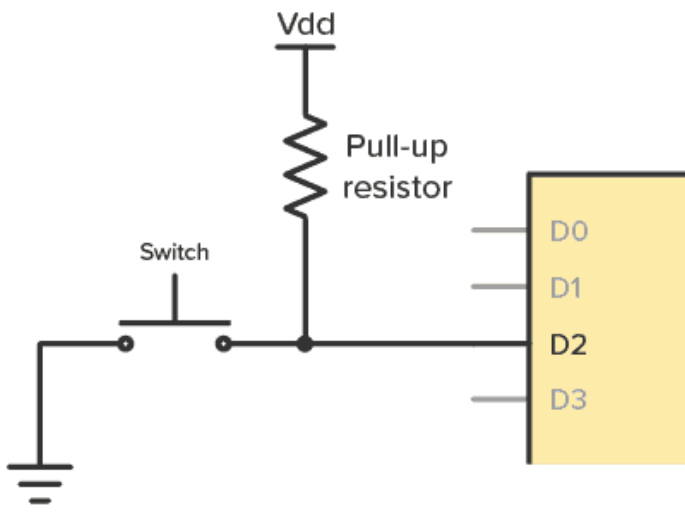
Figura 4. La sorgente di tensione a sinistra e la sorgente di corrente a destra sono come tutti gli elementi del circuito in quanto hanno una relazione particolare tra la tensione e la corrente definita per loro.

Per la sorgente di tensione:  $V = V_s$

Per la sorgente di corrente:  $I = I_s$

La resistenza di pull-up è molto comune e la si vede spesso nei circuiti digitali. È semplicemente una resistenza collegata da un ingresso a Vdd, l'alimentazione positiva del circuito.

Ad esempio sugli ingressi digitali di un Arduino. O sugli ingressi di chip digitali come il circuito integrato della serie 4000.



Le resistenze di pull-up servono a garantire che il pin di ingresso sia in stato ALTO quando il pulsante non è premuto. Senza di esse, l'ingresso sarà flottante e si rischia che cambi casualmente tra ALTO e BASSO, captando il rumore presente nell'aria.

### **Come scegliere il valore di un resistore pull-up**

Regola 1: Il valore non può essere troppo alto.

Maggiore è il valore di pull-up, minore è la tensione sull'ingresso. È importante che la tensione sia sufficientemente alta da essere percepita dal chip come un ingresso HIGH, o logico 1.

Ad esempio, se si utilizza un CD4017 con un alimentatore da 10 V, è necessario un minimo di 7 V in ingresso affinché venga visualizzato come HIGH.

Regola 2: Ma non può essere nemmeno troppo piccolo.

Se ad esempio si sceglie 100  $\Omega$ , il problema è che quando si preme il pulsante scorre molta corrente.

Con un alimentatore da 9 V, si ottengono 9 V su 100  $\Omega$ , ovvero 90 mA. È uno spreco di energia inutile, ma significa anche che il resistore deve sopportare 0,81 W. La maggior parte dei resistori può gestire solo fino a 0,25 W.

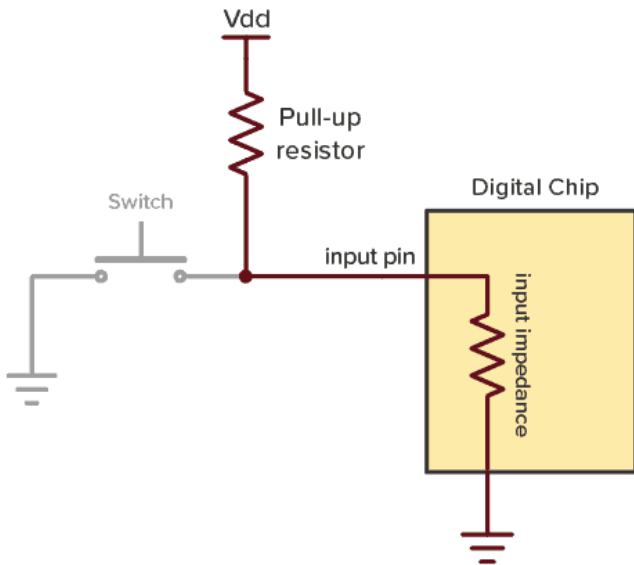
### **Regola pratica**

La regola pratica quando si sceglie un resistore pull-up è quella di scegliere un valore di resistenza che sia almeno 10 volte inferiore all'impedenza di ingresso (o alla resistenza interna) del pin.

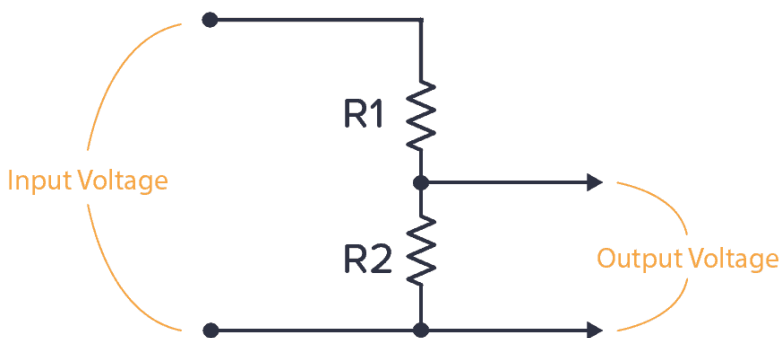
Spesso, un valore di pull-up di 10 k $\Omega$  è sufficiente.

## COME FUNZIONANO I RESISTORI PULL-UP?

Si può pensare al pin di ingresso di un circuito integrato (IC) come a un resistore collegato a massa. Questa è chiamata impedenza di ingresso :



Questi due resistori costituiscono un partitore di tensione . Osservando il circuito standard di un partitore di tensione, si può notare che il resistore di pull-up è R1 e l'impedenza di ingresso è R2:



È possibile utilizzare la formula del partitore di tensione per trovare la tensione sul pin di ingresso quando il pulsante non è premuto:

$$V_{OUT} = V_{IN} * \frac{R_2}{R_1 + R_2}$$

Di seguito, ho rinominato i componenti della formula per adattarli all'esempio di pull-up. La tensione di ingresso è Vdd del nostro esempio di pull-up. E la tensione di uscita è la tensione sul pin di ingresso. Quindi la formula diventa:

$$V_{pin} = V_{DD} * \frac{R_{impedance}}{R_{pullup} + R_{impedance}}$$

## Esempio di calcolo

Supponiamo che il tuo chip abbia un'impedenza di ingresso di 1 MΩ (da 100 kΩ a 1 MΩ è normale per molti chip). Se l'alimentatore è da 9 V e scegli un valore di resistenza di pull-up di 10 kΩ, qual è la tensione che ottieni sul pin di ingresso?

$$V_{pin} = 9V * \frac{1M\Omega}{10k\Omega + 1M\Omega} = 8.9V$$

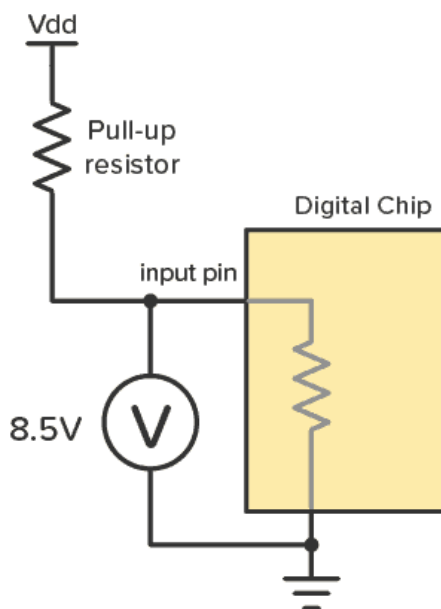
Sul pin di ingresso si ottengono 8,9 V, più che sufficienti per fungere da ingresso HIGH.

In generale, se si segue la regola pratica di utilizzare un resistore pull-up che non sia più di dieci volte inferiore all'impedenza di ingresso, si avrà la certezza di avere sempre almeno il 90% della tensione VDD sul pin di ingresso.

## COME TROVARE L'IMPEDENZA DI INGRESSO DI UN CIRCUITO INTEGRATO

È possibile misurare facilmente l'impedenza di ingresso di un chip. Impedenza è in realtà un termine che indica una resistenza che può variare a seconda della frequenza. Ma in questo caso di pull-up, abbiamo a che fare solo con correnti continue .

Collegare un resistore pull-up, ad esempio da 10 kΩ, all'ingresso del chip e misurare la tensione sull'ingresso.



Supponiamo che durante la misurazione si ottengano 8,5 V.

Usa questo per trovare la corrente che scorre attraverso il resistore usando la legge di Ohm . La caduta di tensione ai capi del resistore è 9 V – 8,5 V = 0,5 V, quindi ottieni:

$$I = \frac{V}{R} = \frac{0.5V}{10k\Omega} = 0.00005A = 0.05mA$$

C'è un flusso di 0,05 mA attraverso il resistore, e quindi anche attraverso il pin di ingresso fino a terra. Ancora una volta, utilizziamo la legge di Ohm per trovare la resistenza di qualcosa con una caduta di tensione di 8,5 V e una corrente di 0,05 mA:

$$R = \frac{V}{I} = \frac{8.5V}{0.00005A} = 170000\Omega = 170k\Omega$$

L'impedenza di ingresso è di 170 kΩ. Ciò significa che la resistenza di pull-up per questo ingresso non deve superare i 17 kΩ.

## CAVI ELETTRICI

Il cavo elettrico si dimensiona principalmente sulla corrente a regime, ma con una verifica fondamentale sulla caduta di tensione durante lo spunto. Deve essere in grado di dissipare il calore prodotto dal passaggio continuo di corrente senza che l'isolante si sciolga. Per un motore DC 775 24V la corrente a regime è di circa 2A.

In questo caso quindi il cavo 22 AWG è più che sufficiente.

### VERIFICA ALLO SPUNTO (CADUTA DI TENSIONE CAVO)

Al momento dell'avvio, un motore DC può assorbire da 3 a 5 volte la corrente nominale (corrente di spunto).

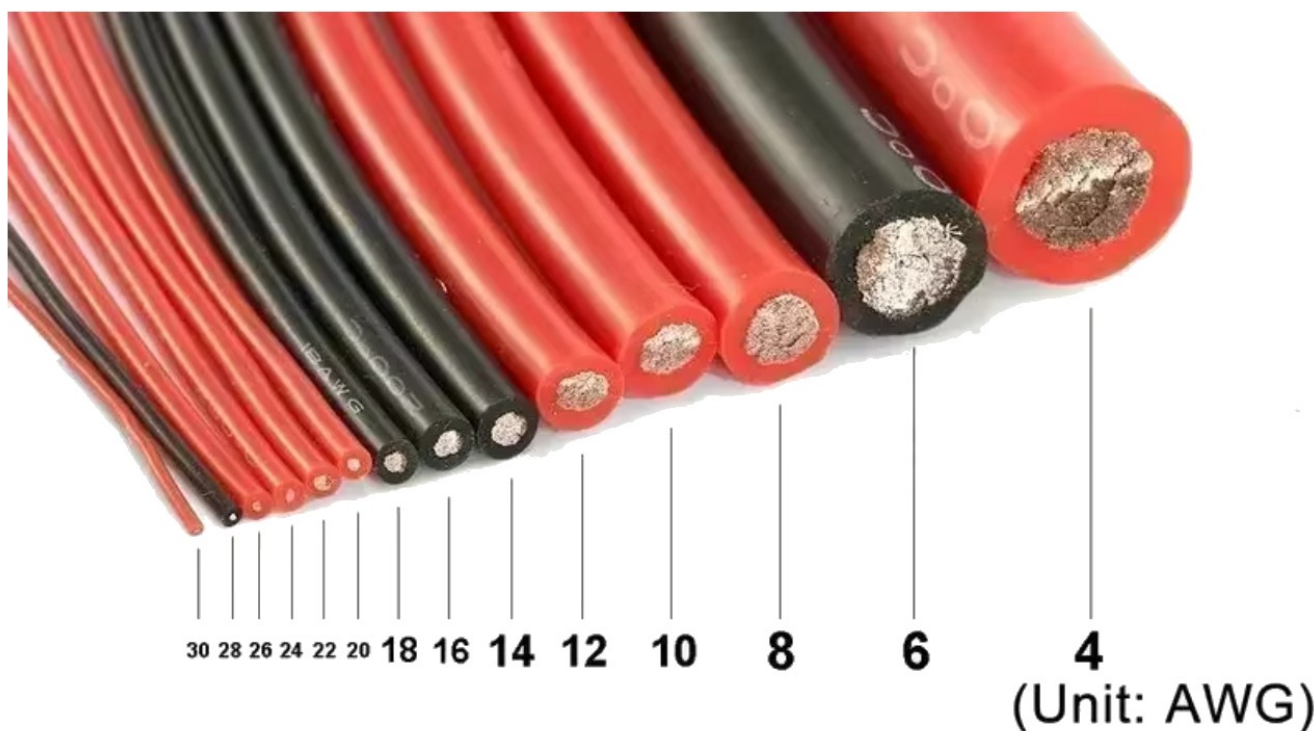
Se il cavo è troppo sottile o molto lungo, l'alta corrente di spunto causa una forte caduta di tensione ( $V = R \cdot I$ ).

Se la tensione scende troppo, il motore non ha abbastanza coppia per partire e rimane bloccato, surriscaldandosi.

Se per alimentare il motore DC 775 24V usiamo un cavo 22 AWG lungo 10m abbiamo una  $R_{tot} = 88,6 \cdot 10^{-3}$  ohm.

La caduta di tensione allo spunto vale:  $V_{cavo} = R \cdot I = (88,6 \cdot 10 / 1000) \cdot (5 \cdot 2) = 8,86$  V

La caduta risulta piuttosto alta e la tensione che arriva al motore (24-8,86) potrebbe non essere sufficiente all'avviamento.



Size NO.	Conductor				Insulation			Rated current (A)	Rated voltage (V)	Temperature range(°C)
	Specification NO./OD	Diameter (MM)	Cross-sectional area(MM <sup>2</sup> )	Resistance (Ohm/KM)	Material	Thickness (MM)	Outer diameter (MM)			
4 AWG	5000*0.08TS	8.25	25	3.70	Silicone Rubber	1.38	11	180A	600	-60~+200
6 AWG	3200*0.08TS	5.25	16	3.70	Silicone Rubber	1.63	8.50	140A	600	-60~+200
8 AWG	1605*0.08TS	3.75	8.29	3.70	Silicone Rubber	1.25	6.00	80A	600	-60~+200
10 AWG	1050*0.08TS	2.92	5.28	6.30	Silicone Rubber	1.12	5.50	50A	600	-60~+200
12 AWG	680*0.08TS	2.41	3.42	9.80	Silicone Rubber	1.00	4.50	30A	600	-60~+200
14 AWG	400*0.08TS	1.85	2.07	15.60	Silicone Rubber	0.90	3.50	20A	600	-60~+200
16 AWG	252*0.08TS	1.47	1.30	24.40	Silicone Rubber	0.80	3.00	10A	600	-60~+200
18 AWG	150*0.08TS	1.13	0.75	39.50	Silicone Rubber	0.60	2.30	6A	600	-60~+200
20 AWG	100*0.08TS	0.92	0.50	62.50	Silicone Rubber	0.55	1.80	5A	600	-60~+200
22 AWG	60*0.08TS	0.72	0.30	88.60	Silicone Rubber	0.55	1.70	3A	600	-60~+200
24 AWG	40*0.08TS	0.58	0.20	97.60	Silicone Rubber	0.55	1.60	2A	600	-60~+200
26 AWG	30*0.08TS	0.44	0.15	123.00	Silicone Rubber	0.55	1.50	1.5A	600	-60~+200
28 AWG	16*0.08TS	0.32	0.08	331.00	Silicone Rubber	0.45	1.20	0.8A	600	-60~+200
30 AWG	11*0.08TS	0.3	0.06	485.71	Silicone Rubber	0.25	0.80	0.6A	600	-60~+200

Note: Diameter tolerance:±0.2mm; The specification date is for reference only.